



**UNIVERSIDAD CÉSAR VALLEJO**

**FACULTAD DE INGENIERÍA Y ARQUITECTURA  
ESCUELA PROFESIONAL DE INGENIERÍA CIVIL**

**Análisis del daño producido por ejes súper simples en el  
pavimento flexible de la carretera MO-612, Ilo, Moquegua,  
2023**

**TESIS PARA OBTENER EL TÍTULO PROFESIONAL DE:**

**Ingeniero Civil**

**AUTORES:**

Carapi Marce, Bryan Gonzalo (orcid.org/0000-0002-4637-3748)  
Copa Nina, Yosselin Rossmerie (orcid.org/0000-0002-3156-7945)

**ASESOR:**

Mg. Olarte Pinares, Jorge Richard (orcid.org/0000-0001-5699-1323)

**LÍNEA DE INVESTIGACIÓN:**

Diseño de Infraestructura Vial

**LÍNEA DE RESPONSABILIDAD SOCIAL UNIVERSITARIA:**

Desarrollo económico, empleo y emprendimiento

LIMA – PERÚ

2023

## **Dedicatoria**

Esta tesis se la dedico a mi madre por todo los valores y principios que me enseñó desde muy pequeño, ya que fue la persona quien me acompañó y me apoyo en mi camino hacia mi formación personal y profesional, también le agradezco a mi familia por el cariño que siempre me brindaron.

(Carapi Marce Bryan Gonzalo)

Está dedicado primero a Dios, de manera especial a nuestros familiares por guiarnos y ser un ejemplo. Y a todas las personas que nos apoyaron en el presente trabajo realizado.

(Copa Nina Yosselin Rossmerie)

## **Agradecimiento**

Agradezco a Dios y a mi madre por haberme dado una familia extraordinaria quienes siempre confiaron en mí y me enseñaron a valorar todo lo que tengo. Al docente que nos acompañó durante este largo camino brindándonos su orientación con profesionalismo, por compartir sus grades conocimientos y experiencias con nosotros.

(Carapi Marce Bryan Gonzalo)

A nuestro asesor por brindarnos el tiempo y conocimientos que nos brindó y las exigencias para poder lograr nuestro objetivo.

(Copa Nina Yosselin Rossmerie)

## Índice de contenidos

|   |      |
|---|------|
| Carátula.....   | i    |
| Dedicatoria .....   | ii   |
| Agradecimiento .....  | iii  |
| Índice de contenidos .....                                  | iv   |
| Índice de tablas .....                                      | v    |
| Índice de figuras .....                                     | vi   |
| Resumen .....   | viii |
| Abstract .....  | ix   |
| I. INTRODUCCIÓN .....                                       | 1    |
| II. MARCO TEÓRICO.....                                      | 4    |
| III. METODOLOGÍA.....                                       | 30   |
| 3.1. Tipo y diseño de investigación .....                   | 30   |
| 3.2. Variables y operacionalización: .....                  | 31   |
| 3.3. Población, muestra y muestreo .....                    | 31   |
| 3.4. Técnicas e instrumentos de recolección de datos: ..... | 32   |
| 3.5. Procedimientos:.....                                   | 33   |
| 3.6. Método de análisis de datos:.....                      | 37   |
| 3.7. Aspectos éticos: .....                                 | 37   |
| IV. RESULTADOS .....  | 38   |
| V. DISCUSIÓN.....   | 233  |
| VI. CONCLUSIONES.....                                       | 235  |
| VII. RECOMENDACIONES .....                                  | 237  |
| REFERENCIAS .....   | 238  |
| ANEXOS .....  | 243  |

## Índice de tablas

|   |     |
|---|-----|
| <b>Tabla 1.</b> Tabla de Pesos y Medidas.....                                 | 15  |
| <b>Tabla 2.</b> Tabla de Pesos y Medidas.....                                 | 16  |
| <b>Tabla 3.</b> Factor Equivalente de Carga por Eje .....                     | 18  |
| <b>Tabla 4.</b> Desviación Estándar ( $Z_r$ ) para 10 o 20 años.....          | 19  |
| <b>Tabla 5.</b> Daño del eje simple y tandem(EALF).....                       | 41  |
| <b>Tabla 6.</b> Daño del eje simple y tándem (EALF).....                      | 42  |
| <b>Tabla 7.</b> Daño del eje tridem (EALF).....                               | 43  |
| <b>Tabla 8.</b> Daño del eje tridem (EALF).....                               | 44  |
| <b>Tabla 9.</b> Especificación de los Ejes Súper Simple .....                 | 45  |
| <b>Tabla 10.</b> Especificación de los Ejes Súper Simple .....                | 46  |
| <b>Tabla 11.</b> Especificación de los Ejes Tridem Convencional.....          | 47  |
| <b>Tabla 12.</b> Especificación de los Ejes Tridem Convencional.....          | 48  |
| <b>Tabla 13.</b> Esfuerzo de un Eje Tridem Súper Simple .....                 | 50  |
| <b>Tabla 14.</b> Esfuerzo de Eje Tridem Convencional .....                    | 51  |
| <b>Tabla 15.</b> Relación .....   | 51  |
| <b>Tabla 16.</b> Análisis de Esfuerzo.....                                    | 53  |
| <b>Tabla 17.</b> Deformaciones que genera un Eje Tridem Súper Simple .....    | 121 |
| <b>Tabla 18.</b> Deformaciones que genera un Eje Tridem Convencional .....    | 122 |
| <b>Tabla 19.</b> Relación de deformaciones.....                               | 122 |
| <b>Tabla 20.</b> Análisis de deformación .....                                | 124 |
| <b>Tabla 21.</b> Deflexión (Eje Tridem Súper Simple) .....                    | 192 |
| <b>Tabla 22.</b> Deflexión (Eje Tridem Convencional).....                     | 192 |
| <b>Tabla 23.</b> Relación de Deflexiones .....                                | 193 |
| <b>Tabla 24.</b> Analisis de Deflexión.....                                   | 194 |
| <b>Tabla 25.</b> Datos para el diseño de pavimento (Eje convencional) .....   | 225 |
| <b>Tabla 26.</b> Datos para el diseño de un pavimento (Eje Súper Simple)..... | 225 |
| <b>Tabla 27.</b> Pruebas de normalidad .....                                  | 227 |
| <b>Tabla 28.</b> Correlaciones .....  | 228 |
| <b>Tabla 29.</b> Pruebas de normalidad .....                                  | 229 |
| <b>Tabla 30.</b> Correlaciones .....  | 230 |
| <b>Tabla 31.</b> Pruebas de normalidad .....                                  | 231 |

|                                     |     |
|-------------------------------------|-----|
| <b>Tabla 32.</b> Correlaciones..... | 232 |
|-------------------------------------|-----|

### Índice de figuras

|   |    |
|---|----|
| Figura 1. Eje Simple .....  | 8  |
| Figura 2. Eje Simple Dual.....                                      | 9  |
| Figura 3. Eje Tándem (2 Ejes de Rueda Simple) .....                 | 9  |
| Figura 4. Eje Tándem (1 Eje Rueda Simple + 1 Eje Rueda Doble) ..... | 9  |
| Figura 5. Eje Tándem (2 Eje de Rueda Doble).....                    | 10 |
| Figura 6. Eje Trídem (3 Ejes de Rueda Simple) .....                 | 10 |
| Figura 7. Eje Trídem (1 Eje Rueda Simple + 2 Ejes Rueda Doble)..... | 10 |
| Figura 8. Eje Trídem (3 Eje de Rueda Doble) .....                   | 11 |
| Figura 9. Neumático de Banda Ancha.....                             | 11 |
| Figura 10. Estructura del Pavimento .....                           | 12 |
| Figura 11. Distribución de Esfuerzos.....                           | 13 |
| Figura 12. Factores que afectan al Pavimento .....                  | 14 |
| Figura 13. Formula empírica .....                                   | 17 |
| Figura 14. Ecuación de ESAL .....                                   | 17 |
| Figura 15. Ecuación para el Diseño del Pavimento Flexible .....     | 19 |
| Figura 16. Ecuación del Módulo de Resiliencia.....                  | 20 |
| Figura 17. Efecto de Presiones .....                                | 21 |
| Figura 18. Presión de inflado de los neumáticos.....                | 21 |
| Figura 19. Área de Contacto de Neumático .....                      | 21 |
| Figura 20. Dimensionamiento del Área de Contacto .....              | 22 |
| Figura 21. Ecuación 1 Área de Contacto.....                         | 22 |
| Figura 22. Ecuación 2 Área de Contacto.....                         | 22 |
| Figura 23. Ecuación del Radio de Contacto .....                     | 22 |
| Figura 24. Radio de Contacto de Neumático.....                      | 23 |
| Figura 25. Ecuación de esfuerzo.....                                | 24 |
| Figura 26. Distribución de Esfuerzos.....                           | 24 |
| Figura 27. Esquema de los Refuerzos de Tensión y Compresión.....    | 25 |
| Figura 28. Ecuación de Deformación .....                            | 25 |
| Figura 29. Diagrama de Deformación Unitaria .....                   | 26 |

|  |     |
|--|-----|
| Figura 30. Ecuación de Rigidez.....  | 26  |
| Figura 31. Diagrama de Rigidez.....  | 26  |
| Figura 32. Diagrama de Deflexión.....  | 27  |
| Figura 33. Deformación de ahuellamiento.....   | 28  |
| Figura 34. Fisura Longitudinal de la carretera MO-612.....                               | 28  |
| Figura 35. Fisura Transversal de la carretera MO-612.....                                | 29  |
| Figura 36. Recolección de datos.....   | 34  |
| Figura 37. Balanza de pesaje.....  | 34  |
| Figura 38. Pesaje de Eje.....  | 34  |
| Figura 39. Censo de carga y presión.....   | 35  |
| Figura 40. Vehículo T3S3 con configuración súper simple.....                             | 35  |
| Figura 41. Presión de inflado de los neumáticos de un eje Tridem Convencional.....       | 35  |
| Figura 42. Presión de inflado de los neumáticos de un Eje Súper Simple.....              | 36  |
| Figura 43. Manómetro.....  | 36  |
| Figura 44. Pantalla inicial software KENPAVE.....  | 37  |
| Figura 45. Mapa político del Perú.....   | 38  |
| Figura 46. Mapa político del Departamento de Moquegua.....                               | 38  |
| Figura 47. Mapa de la provincia de Ilo.....  | 39  |
| Figura 48. Ubicación de la Zona de Estudio.....  | 39  |
| Figura 49. Geometría de modelación en planta y perfil (Eje Tridem Súper Simple)<br>..... | 49  |
| Figura 50. Geometría de modelación en planta y perfil (Eje Trídem Convencional)<br>..... | 50  |
| Figura 51. Distribucion de esfuerzos.....  | 52  |
| Figura 52. Distribución de deformaciones.....  | 123 |
| Figura 53. Distribución de deflexiones.....  | 193 |
| Figura 54. Diseño del Pavimento para un eje convencional.....                            | 225 |
| Figura 55. Diseño del Pavimento para un eje súper simple.....                            | 226 |
| Figura 56. Tabla Pearson.....  | 228 |
| Figura 57. Tabla Pearson.....  | 230 |
| Figura 58. Tabla Pearson.....  | 232 |

## Resumen

La presente investigación tiene por finalidad analizar el daño que generan los ejes súper simple de los camiones que circulan en la Ruta MO-612 ubicada en la Región Moquegua, daño que no es estimado en las formulaciones que plantea la sección Suelos Geología, Geotecnia y Pavimentos del Manual de Carreteras del MTC. La investigación es de tipo aplicada con enfoque cuantitativo y diseño no experimental, teniendo como variable independiente el tipo de eje y la variable dependiente el daño (EALF), por tal razón se tomó como muestra 137 camiones tipo T3S3 con eje tridem súper simple.

De los resultados obtenidos mediante el análisis muestra que el eje súper simple es 3 veces más dañino que el eje convencional, además cuando se hace el diseño de pavimento y no se toma en cuenta el daño del súper simple, los espesores son subdimensionados. Concluyendo que los espesores de las capas del pavimento se elevarían a 18 cm de carpeta asfáltica, 20 cm de base y 20 cm de sub-base.

**Palabras clave:** Daño, Eje Súper Simple, Diseño, Modelación mecánica.



## **Abstract**

The purpose of this research is to analyze the damage generated by the super simple axles of the trucks that circulate on Route MO-612 located in the Moquegua Region, damage that is not estimated in the formulations of the Soils, Geology, Geotechnics and Pavements section of the MTC Highway Manual. The research is applied with a quantitative approach and non-experimental design, having as independent variable the type of axle and the dependent variable the damage (EALF), for this reason 137 trucks type T3S3 with super simple tridem axle were taken as a sample.

The results obtained from the analysis show that the super simple axle is 3 times more damaging than the conventional axle, in addition, when the pavement design is made and the damage of the super simple axle is not taken into account, the thicknesses are undersized. In conclusion, the thickness of the pavement layers would be 18 cm of asphalt binder, 20 cm of base and 20 cm of sub-base.

**Keywords:** Damage, Super Single Axle, Design, Mechanistic modeling.

## I. INTRODUCCIÓN

A nivel mundial, las carreteras son de suma importancia porque permite la circulación de vehículos con diferentes tipos de eje que soportan distintas cargas, también se considera importante por el gran impacto que tiene en la economía, por ende, la estructura de un pavimento debe de estar correctamente diseñada para soportar las repeticiones de carga durante su vida útil, especialmente de los vehículos pesados que van a circular por esa vía. Motivo por el cual debemos conocer todos los tipos de vehículos pesados y los pesos por eje que descargan sobre la superficie de la carretera para evitar posibles daños prematuros en la estructura del pavimento.

En el Perú existen diferentes tipos que carreteras las cuales son: nacionales, departamentales y vecinales que fueron diseñadas para mejorar las comunicaciones y el transporte terrestre, existiendo dos tipos de pavimentos; pavimento rígido que está formado por una losa de concreto sobre una base (es auto resistente) y el pavimento flexible formada por la sub rasante debidamente compactada, subbase, base y la capa de rodadura. La diferencia entre ambas se da porque en los pavimentos rígidos las fuerzas proyectadas por las cargas son asumidas y absorbidas por la capa de concreto, y en los pavimentos flexibles son recibidas por la base. Para poder realizar un correcto diseño es importante conocer el daño que van a generar los vehículos pesados que transitan en dicho pavimento, cabe señalar que en el Perú esta normalizado los tipos de camiones con diferentes tipos de ejes y el daño que genera al pavimento, este se encuentra especificado en el Manual de Carreteras del MTC, que para analizar el daño utiliza la formulación de la cuarta potencia. Con el avance de la industria automotriz y con la mayor demanda de transporte de carga de mercancías en el Perú cada vez se requiere camiones con mayor capacidad de tonelaje, en ese sentido aparecieron los camiones T3S3 que es el camión más utilizado para carga, estos camiones antiguamente tenían el eje convencional pero ahora transitan por todo el Perú con los ejes súper simples. Es increíble como en el Perú les permiten transitar a estos camiones que hacen más daño al pavimento y encima les dan un documento donde les permite transitar con una carga mayor; específicamente según el Instituto

Nacional de Estadística e Informática (INEI) en el Perú el índice Nacional del Flujo Vehicular ha crecido un 6,1% en los últimos 12 meses (agosto de 2021 a julio de 2022) en especial el tráfico de vehículos pesados aumentó un 0,5%, impulsado por el tráfico de mercancías de 3 a 7 ejes, por la mayor demanda de servicios, principalmente en la industria de construcción y comercio.

Hoy en día en la carretera MO-612 ubicada en el departamento de Moquegua es común ver transitar camiones tipo T3S3 con el eje posterior en configuración tridem súper simple, además se ha observado que la carretera se ha deteriorado con mayor velocidad y durante el tiempo han aparecido ahuellamientos y fisuras; por la diferencia en la magnitud de los neumáticos se presume que estos camiones están generando un mayor daño al pavimento.

A partir de lo antes mencionado surge la formulación del problema general: ¿Cómo influye el daño de los ejes súper simples en el diseño de pavimento de la carretera MO-612, Ilo, Moquegua? Como problemas específicos tenemos: PE 1 ¿De qué manera el análisis de esfuerzos de ejes súper simples influye en el diseño del pavimento de la carretera MO-612 Ilo-Moquegua?; PE 2 ¿Cómo se podría relacionar la deformación provocada por ejes súper simples en el diseño del pavimento flexible de la carretera MO-612 Ilo- Moquegua?; PE 3 ¿De qué manera la deflexión provocada por el eje súper simple influye en el diseño del pavimento de la carretera MO-612 Ilo-Moquegua?

La presente investigación tiene como justificación Teórica, analizar el daño que generan los ejes súper simple en el pavimento flexible y cómo influye en la estructura del pavimento, de tal manera poder realizar un correcto diseño del pavimento para que pueda cumplir su periodo de servicio.

Justificación social; se realiza para garantizar la inversión pública provocando que el pavimento cumpla su periodo de servicio y no gastar el dinero de los impuestos en mantenimientos debido a fallas prematuras. Justificación Metodológica, se realizó un análisis mecanístico para obtener el daño que genera un eje súper simple en términos de esfuerzo, deformación y deflexión.

Por lo tanto, en la siguiente investigación se planteó como objetivo general: Analizar el daño de ejes súper simples para fines del diseño del pavimento flexible en la Carretera MO-612 Ilo - Moquegua. Como objetivos específicos tenemos: OE 1 Estimar los esfuerzos provocados por ejes súper simples para fines del diseño del pavimento flexible de la carretera MO-612 en Moquegua. OE 2 Valorar las deformaciones generadas por los ejes súper simples para fines del diseño del pavimento de la carretera MO-612 en Moquegua. OE 3 Evaluar las deflexiones provocadas por ejes súper simples en el diseño de espesores de capas del pavimento flexible de la carretera MO-612 en Moquegua.

Finalmente, se plantea como hipótesis general lo siguiente: Los ejes súper simples al generar mayor daño en el pavimento elevaría los espesores de capas del pavimento de la carretera MO-612, Ilo, Moquegua. HE 1 Considerando el análisis de esfuerzos de ejes súper simples se elevaría los espesores de las capas del pavimento. HE 2 Considerando las deformaciones provocadas por ejes súper simples en el diseño de pavimentos incrementa el espesor de las capas del pavimento. HE 3 Considerando las deflexiones de ejes súper simples en el diseño de pavimentos eleva el espesor de las capas del pavimento.

## II. MARCO TEÓRICO

### 2.1. Antecedentes

Como antecedente Nacional tenemos a Martínez (2015), en la tesis denominada “Impacto del control de pesos por eje de vehículos pesados sobre la estructura de los pavimentos” tuvo como objetivo analizar el efecto real de la carga por eje de los camiones que transitan en la estructura vial del Perú y los controles necesarios para seleccionar medidas correctivas que ayuden a mantener las carreteras. Su estudio fue de tipo no experimental, analítico y observacional, donde la población fue la ruta de la Panamericana Sur y la muestra que se tomó fue de diferentes empresas privadas donde se realizó un censo de vehículos en diferentes puntos de la ruta. Los principales resultados que obtuvo, fue que en los peajes Montalvo y Camaná los vehículos exceden una sobrecarga de 37% y 58% respectivamente al peso máximo permitido en la cual el vehículo con una sobrecarga mayor fueron los de T3S3 con una incidencia del 58% y 84%, dentro de ambas estaciones el factor camión que más daño generó tuvo lugar en la estación de Camaná, donde el eje sencillo excedió en un 41% de daño, en el eje dual un 38%, en el eje tándem 9% y en el trídem un 23%; afectando de gran manera al pavimento y se estimó que la vida útil del pavimento fue diseñada para unos doce años con los pesos correspondientes legales, pero con la evaluación correspondiente se calculó que hubo una reducción de dos años de la vida útil, y esto demostró que la sobrecarga deteriora prematuramente la carretera. El investigador concluyó que el cálculo del daño en un eje dual puede llegar a ser el doble con solo tener una diferencia de 2,000kg como factor destructivo, también que el eje simple es el que más daño generó debido a que a más cantidad de neumáticos mejor se dará la distribución de peso, así mismo determinó que los pesos legales máximos establecidos no representan a la realidad, ya que sobrepasa a gran medida en los diferentes tipos de vehículos, esto afecta para el cálculo del factor camión y tiene un efecto en el cálculo para el diseño del pavimento.

Ponce (2019), en su investigación denominada “El espectro de carga para validar la carga de tráfico acumulada calculado por la AASHTO-93” tuvo como objetivo

principal validar la Carga de tráfico y la ecuación del AASHTO-93 a fin de proponer ajustes para la normativa vigente del MTC a través de espectro de carga de las series históricas de pesaje vehicular y el comportamiento moderno de los materiales. El tipo de investigación que empleo es aplicado por confrontar la teoría con la realidad, no experimental porque no manipulara la variable. Tuvo como resultado que el daño por deformación permanente que se genera es de 0.434 y la vida útil es 2.344 años, se produce un 10% de deformación permanente admisible. Como conclusión valida la ecuación de diseño del pavimento flexible de la guía AASHTO-93 mediante un ajuste de desviación estándar mediante un análisis empírico mecanicista. Recomendó que los diseños deben ser revisados mediante una metodología mecanicista empírica y tener en cuenta el cálculo de esfuerzo y deformaciones permisibles.

Como antecedente internacional tenemos a Hernosa y Coronado (2021), en su tesis presentada en Colombia para la obtención de su título profesional de Ingeniería Civil fue denominada “Evaluación estructural de pavimentos considerando la influencia de camiones con llantas de banda ancha” presentó como objetivo analizar los efectos que generan los ejes de neumático simple con un neumático de banda ancha sobre la estructura del pavimento flexible en la carretera colombiana, así como también evaluar el área de contacto que tiene el neumático con la superficie del pavimento y también analizar mediante los software PitraPave y EverStress evaluar los efectos que ocasionan la llanta de banda ancha en la estructura del pavimento flexible. Como resultado se calculó que el área de contacto que tiene un neumático de doble rueda es mayor que uno de banda ancha, también se evidencio que se genera 2.44 veces un esfuerzo vertical mayor en la llanta de banda ancha, para los vehículos en cuanto a la deformación a tracción hubo un incremento del 23% del eje estándar. Obtuvo como conclusiones, al ser una llanta de banda ancha se evidenció mayor presión de contacto en un 2.44 veces, mayor deformación a tracción respecto a un eje simple, así como también una menor área de contacto en comparación a una simple presentando su desventaja en la distribución y también al haber un aumento de camiones con el uso de banda ancha aumenta 3 veces más daño a la estructura por fatiga. Recomendó hacer un análisis del comportamiento de los neumáticos de banda ancha con diferentes materiales.

Imad L. Al-Qadi (2009), trabajo de investigación con nombre “Evaluación de los daños en el pavimento debido a nuevos diseños de neumáticos”, tuvo como objetivo evaluar los daños causados en el pavimento por los nuevos diseños de neumáticos mediante pruebas de pavimento aceleradas (APT) y modelos de elementos finitos. Como resultado se afirma que el neumático 455 de banda ancha causa mayor daño por fatiga que un convencional de doble rueda, pero estas proporciones relativas en daños va disminuyendo si el espesor del pavimento va aumentando. Como conclusión indica que la nueva generación de neumáticos de banda ancha de 455 causa mucho menos daño por fatiga que el neumático de base ancha 425 y las relaciones medias de tensión longitudinal máxima entre el neumático de base ancha y el conjunto de neumático doble son de 1,25 para el neumático 425 de base ancha y de 1,16 para el neumático 455 de base ancha.

Como artículo científico internacional tenemos a Jaime A. (2014), informe de investigación con nombre de “*Presión de inflado de los neumáticos y la forma en que afectan la estructura*”, tuvo como objetivo conocer sobre la presión de inflado en los neumáticos y como afecta en el deterioro del pavimento. Como resultado se sabe de la evolución de la presión de los neumáticos donde AASHTO genero una prueba en la cual los vehículos transitaban con presiones de 75 y 80 psi , donde actualmente se sabe que las presiones aumentaron un 95 a 105 psi y en algunos casos llegan de 120 a 130 psi; al tener una presión mayor se sabe que esto genera una menor área de contacto en el pavimento y la utilización de neumáticos súper simple generan mayores esfuerzos de contacto vertical y transversal por su mayor área de contacto los esfuerzos verticales llegan hasta 2.50 veces la presión de inflado. Como conclusión obtuvo que los neumáticos de base ancha inciden a mayores deformaciones por compresión vertical, por tensión en la carpeta asfáltica, producen el doble de ahuellamiento que los neumáticos duales y que son 2.8 veces más dañinos en un pavimento delgado, 2.5 veces en un pavimento grueso.

Según Ahmad (2017), tuvo como objetivo investigar el efecto del eje convencional con neumáticos dobles y el eje súper simple con neumáticos de banda ancha, sobre el pavimento flexible y poder evaluar las tensiones causadas por ambos. Fue un

estudio de tipo aplicado y no experimental. Los instrumentos empleados fueron bibliografías e investigaciones ya existentes. Los resultados mostraron que el eje súper simple inducía menos tensiones normales al pavimento flexible analizado en un 28% en la dirección Z, un 47% en dirección X y un 45 % en dirección Y. Concluyo que el eje súper simple influirá en un mejor porcentaje de agrietamiento en la capa de hormigón asfáltico y una menor deformación permanente en todas las capas de pavimento.

Ministerio de Transporte de Ontario (2009), investigación con nombre *“Neumáticos simples de base ancha vs neumáticos dobles: Evaluación del impacto en los pavimentos de asfalto”*, tuvo como objetivo evaluar el daño por eje que genera lo neumáticos de segunda generación de banda ancha. Como resultado al comparar el efecto de las cargas dinámicas de un neumático dual y de un SWB produce menos tensión, la distribución de la tensión no es uniforme en toda la anchura del neumático. Como conclusión el neumático SWB puede causar potencialmente entre 1.7 y 1.9 veces más daño que los neumáticos de rueda doble.

Como artículos científicos en otros idiomas tenemos a Imad L. Al Qadi (2018), con la revista denominada *“Impact of Wide-Base Tires on Pavements\_ A National Study es”*, como objetivo es comparar el impacto que genera la NG-WBT y la DTA. Obtuvo como conclusiones que a una mayor presión se obtiene un daño mayor en un 5% también sobre el impacto ambiental que puede llegar a generar entre ambos neumáticos y que el ahorro en el combustible es mucho mayor en un 10%.

Rupam R. y Umesh C. (2022), como nombre a la investigación *“Respuesta del pavimento bajo neumáticos de base ancha sometidos a cargas móviles”*, tuvo como objetivo analizar la interacción del neumático super sencillo en comparación con un neumático de doble rueda al pavimento con diferentes velocidades usando el programa 3D-Move. Fue un estudio de tipo aplicada, no experimental. Los principales resultados entre el neumático super simple y los neumáticos de doble rueda se dieron de acuerdo a su carga por eje y sus presiones donde hay variaciones en cuanto va aumentando la velocidad, el efecto de la carga por eje en la tensión de tracción es mayor para los neumáticos super simples y a velocidades



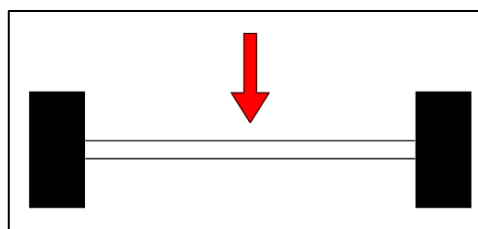
más altas la deformación es menor al haber un aumento en el espesor del pavimento el desplazamiento vertical es menor hasta un 7% en neumáticos de rueda doble y en super singles es de un 13%. Como conclusión se obtuvo que a medida que aumenta el espesor del pavimento la deformación va disminuyendo, también el aumento de velocidad hace que el efecto de la carga por eje, sobre el esfuerzo a tracción es mayor, la fatiga y roderas del pavimento disminuye en un 27.7% y un 89% de un neumático súper simple en lugar de un neumática.

James G., Ulas T., Sungho K., Tom B. y Bouzid C. (2017), con nombre de investigación “*Impacto de los neumáticos simples de base ancha en los daños*”, tuvo como objetivo analizar el impacto de 4 tipos de neumáticos de banda ancha para ver el potencial del daño en el pavimento. Fue un estudio de tipo aplicada, no experimental. Los principales resultados que se realizó en una encuesta donde los pavimentos resultaron con un 6 de daño como grietas y surcos, hasta un 7 que se considera como deficiencia, entre los 4 tipos de modelos de neumáticos de banda ancha el que más daño genera es el NGWB 445 con un 2.3. También nos indica que la deformación por tracción se da en la parte inferior del asfalto y predijo que el neumático NGWB 445 induciría lentamente a una deformación por tracción y crearía más daño por agrietamiento a la fatiga.

## Teoría

### Variable 1: Tipo de eje

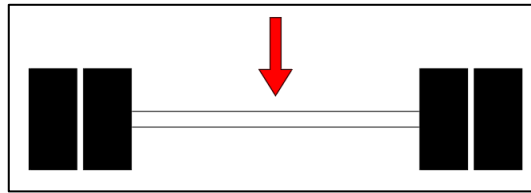
Los tipos de ejes de acuerdo con a la sección Suelos, Geología, Geotecnia y Pavimentos del Manual de Carreteras del MTC existen diferentes tipos de ejes que están normados los cuales son: eje simple, eje simple dual, eje tándem, eje tridem; se llama eje simple al elemento que está constituido por un eje no articulado a otro, el peso máximo admisible para un Eje simple es de 7 Toneladas.



*Figura 1. Eje Simple*

Fuente: Elaboración Propia

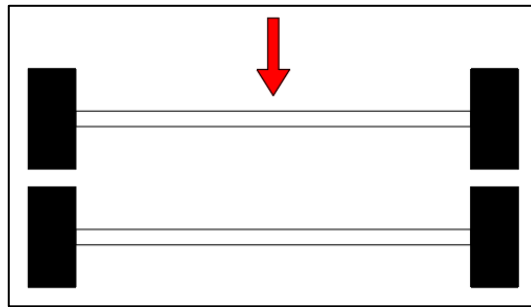
Eje Simple Dual tiene como peso máximo admisible para un eje que cuenta con 4 neumáticos es de 11 Toneladas.



*Figura 2. Eje Simple Dual*

Fuente: Elaboración Propia

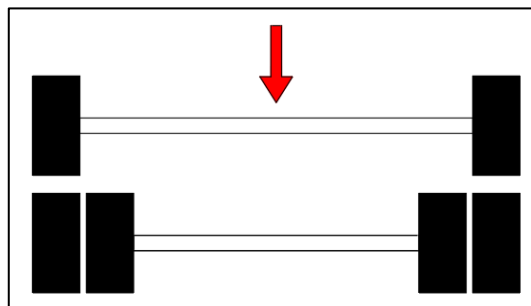
Se denomina Eje Tándem a dicho elemento que está compuesto por dos ejes articulados al vehículo, separados por una distancia menos de 2.4 metros, además, estos reparten la carga en partes igual sobre los 2 ejes; el peso máximo que puede soportar un Eje Tándem de 4 neumáticos es de 10 Toneladas.



*Figura 3. Eje Tándem (2 Ejes de Rueda Simple)*

Fuente: Elaboración Propia

Si nos referimos a un Eje Tándem de 6 neumáticos el peso máximo admisible es de 14 Toneladas.



*Figura 4. Eje Tándem (1 Eje Rueda Simple + 1 Eje Rueda Doble)*

Fuente: Elaboración Propia

Si nos referimos a un Eje Tándem de 8 neumáticos el peso máximo admisible es de 18 Toneladas.

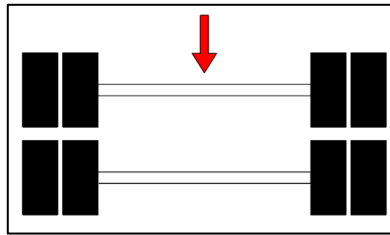


Figura 5. Eje Tándem (2 Eje de Rueda Doble)

Fuente: Elaboración Propia

Se conoce como al Eje Trídem al elemento que es compuesto por tres ejes articulados al vehículo, separados por una distancia menor de 2.4 metros, además, estos reparten la carga sobre los tres ejes. El peso máximo admisible para un eje tridem de 6 neumáticos es de 17 Toneladas.

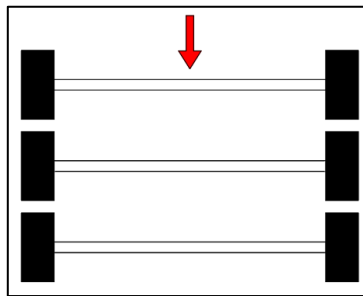


Figura 6. Eje Trídem (3 Ejes de Rueda Simple)

Fuente: Elaboración Propia

Si nos referimos a un eje trídem de 10 neumáticos el peso máximo admisible es de 21 Toneladas.

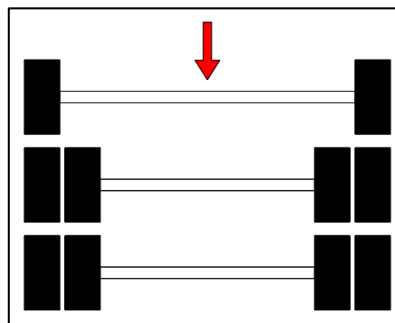
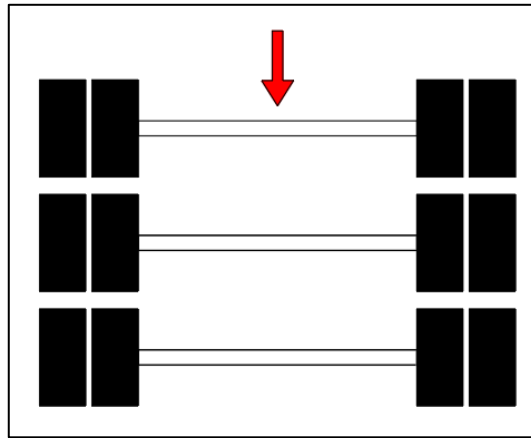


Figura 7. Eje Trídem (1 Eje Rueda Simple + 2 Ejes Rueda Doble)

Fuente: Elaboración Propia

Si hablamos de un Eje Trídem de 12 neumáticos el peso máximo admisible es de 25 Toneladas.



*Figura 8. Eje Trídem (3 Eje de Rueda Doble)*

Fuente: Elaboración Propia

El eje súper simple, en 1980 se desarrollaron los neumáticos de banda ancha cuya zona de contacto es mayor a la de un neumático simple, además este tiene una mayor capacidad de soporte de carga, por ende, el eje súper simple tiene llantas de bandas anchas que pueden ser utilizadas para circular en carreteras mixtas de tierra y asfalto.



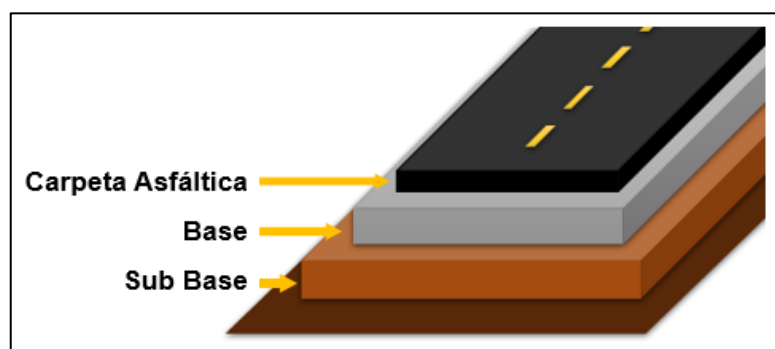
*Figura 9. Neumático de Banda Ancha*

Fuente: Elaboración Propia

Desde la aparición de las llantas de base ancha han generado preocupaciones con respecto al daño que generan al pavimento, debido a una menor área de contacto y a presión de inflado mayores; se conoce que el amortiguamiento de las llantas con ejes súper simple es pequeño y comúnmente se ignora la respuesta del vehículo a la rugosidad del camino, también se conoce que los ejes con llantas de banda ancha tienen una rigidez vertical menor que los ejes duales, lo cual resulta en fuerzas dinámicas menores. Algunos estudios mostraron que se han generado presiones de contacto considerablemente mayores que las duales, provocando un daño mayor al pavimento.

#### Variable 2: Daño

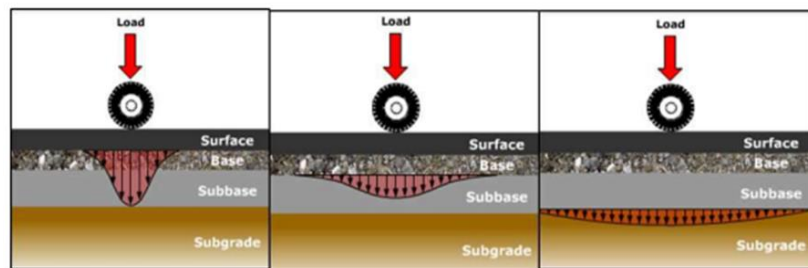
Se define que los pavimentos se diseñan en función al efecto del daño que produce el paso de un eje con una carga, para que este pavimento pueda resistir un determinado número de cargas aplicadas durante su vida útil debe estar correctamente diseñado. El pavimento es una estructura que consisten en capas superpuestas de materiales procesados por encima del terreno natural con la finalidad soportar las cargas impuestas por el tránsito y así lograr un confort para un correcto tránsito. Está conformado por la sub-base, base y carpeta asfáltica; la carpeta asfáltica se encuentra en la parte superior del pavimento la cual tiene la función de conservar la carretera para evitar una posible erosión o penetración de humedad; la base es la capa inferior de la capa de rodadura, se encarga de repartir y transportar las cargas generadas por el tráfico y la Sub-base es la capa que se encuentra debajo de la base. Además, también se usa como capa de drenaje para controlar la capilaridad del agua.



*Figura 10.* Estructura del Pavimento

Fuente. Elaboración Propia

En la figura 11 se puede observar la distribución de esfuerzos sobre la estructura de la carretera, además se muestran las deflexiones que genera un neumático sobre la carpeta asfáltica, la base y la sub base. Se observa que a mayor profundidad los esfuerzos disminuyen, de esta manera se llega a cumplir el objetivo de que la subrasante reciba la menor cantidad de esfuerzos.



*Figura 11.* Distribución de Esfuerzos

Fuente. Pavement Interactive, 2013

Para implementar un diseño vial adecuado, se debe comprender los términos básicos que se describen a continuación de acuerdo a la sección Suelos, Geología, Geotecnia y Pavimentos del Manual de Carreteras del MTC. Demanda de tráfico se refiere a la planificación exitosa de llevar a cabo un plan en donde se toma en cuenta algunos aspectos, con los datos obtenidos del estudio de tráfico se determinará el diseño estructural del pavimento y la capacidad de los tramos de carretera. Subrasante es la capa que se encarga de soportar los esfuerzos que le son transferidos por el pavimento, además influye en el diseño de las distintas capas del pavimento y en su comportamiento. Se debe tener en consideración la compactación correcta del suelo en el que se va a trabajar y adquirir por lo menos el 95% de su grado de compactación. A continuación, observamos que Figura N°12 muestra diversos factores que afectan el desempeño de un pavimento al largo de su vida útil.

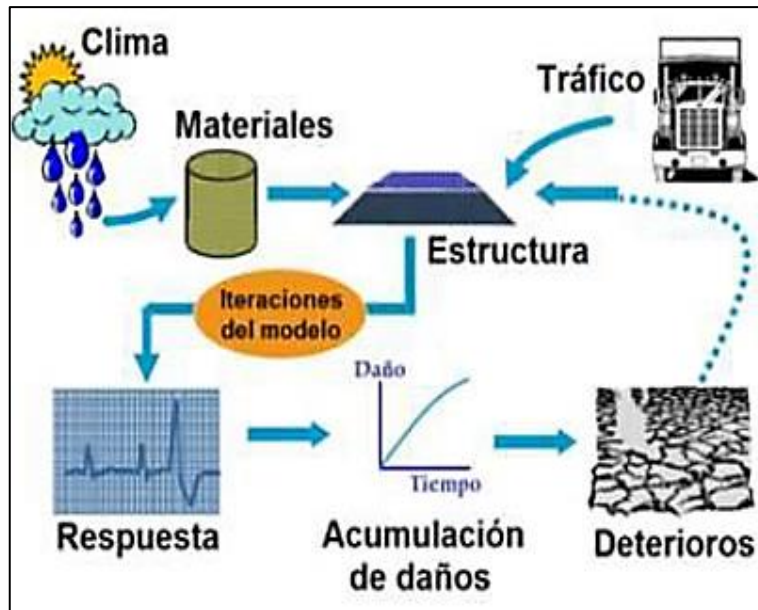


Figura 12. Factores que afectan al Pavimento

Fuente: Quintero, 2004

Determinación del tráfico: Se diseñan los pavimentos para soportar las cargas que se presentan a lo largo de su vida útil, se conoce que el flujo vehicular está conformado por diferentes vehículos con diferentes tipos de ejes que soportan distintas cargas, a continuación, la Tabla 1 y Tabla 2 señala la configuración de ejes para camiones típicos usados en Perú.

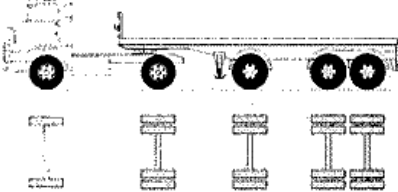
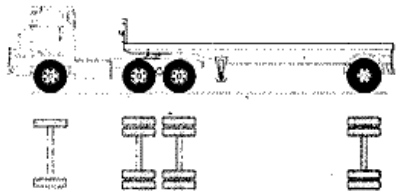
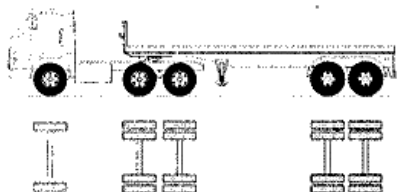
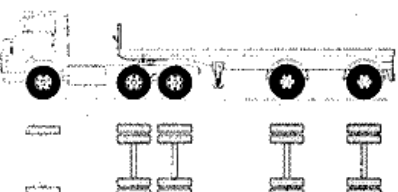
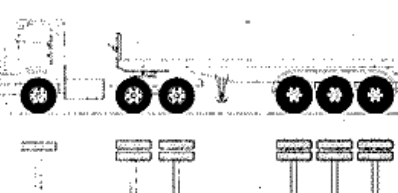
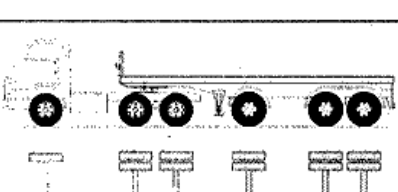
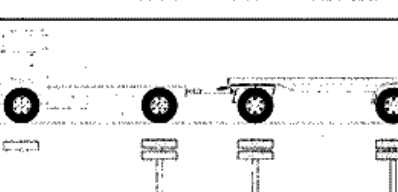
Tabla 1. Tabla de Pesos y Medidas

| TABLA DE PESOS Y MEDIDAS |                                      |                |                    |                              |    |    |                     |    |
|--------------------------|--------------------------------------|----------------|--------------------|------------------------------|----|----|---------------------|----|
| Configuración vehicular  | Descripción gráfica de los vehículos | Long. Máx. (m) | Peso máximo (t)    |                              |    |    | Peso bruto máx. (t) |    |
|                          |                                      |                | Eje Delant         | Conjunto de ejes posteriores |    |    |                     |    |
|                          |                                      |                |                    | 1ª                           | 2ª | 3ª |                     | 4ª |
| C2                       |                                      | 12,30          | 7                  | 11                           | —  | —  | —                   | 18 |
| C3                       |                                      | 13,20          | 7                  | 18                           | —  | —  | —                   | 25 |
| C4                       |                                      | 13,20          | 7                  | 23 <sup>(1)</sup>            | —  | —  | —                   | 30 |
| 8x4                      |                                      | 13,20          | 7+7 <sup>(5)</sup> | 18                           | —  | —  | —                   | 32 |
| T2S1                     |                                      | 20,50          | 7                  | 11                           | 11 | —  | —                   | 29 |
| T2S2                     |                                      | 20,50          | 7                  | 11                           | 18 | —  | —                   | 36 |
| T2Se2                    |                                      | 20,50          | 7                  | 11                           | 11 | 11 | —                   | 40 |
| T2S3                     |                                      | 20,50          | 7                  | 11                           | 25 | —  | —                   | 43 |

Fuente: Compendio Normativo Pesos y Medidas (SUTRAN), 2021 pg.83



Tabla 2. Tabla de Pesos y Medidas

| Configuración vehicular | Descripción gráfica de los vehículos  | Long. Máx. (m) | Eje Delant | Peso máximo (t)              |                   |    |    | Peso bruto máx. (t) |
|-------------------------|---|----------------|------------|------------------------------|-------------------|----|----|---------------------|
|                         |   |                |            | Conjunto de ejes posteriores |                   |    |    |                     |
|                         |   |                |            | 1ª                           | 2ª                | 3ª | 4ª |                     |
| T2Se3                   |    | 20,50          | 7          | 11                           | 11 <sup>(a)</sup> | 18 | —  | 47                  |
| T3S1                    |    | 20,50          | 7          | 18                           | 11                | —  | —  | 36                  |
| T3S2                    |   | 20,50          | 7          | 18                           | 18                | —  | —  | 43                  |
| T3Se2                   |  | 20,50          | 7          | 18                           | 11                | 11 | —  | 47                  |
| T3S3                    |  | 20,50          | 7          | 18                           | 25                | —  | —  | 48 <sup>(a)</sup>   |
| T3Se3                   |  | 20,50          | 7          | 18                           | 11 <sup>(a)</sup> | 18 | —  | 48 <sup>(a)</sup>   |
| C2R2                    |  | 23,00          | 7          | 11                           | 11                | 11 | —  | 40                  |

Fuente: Compendio Normativo Pesos y Medidas (SUTRAN), 2021 pg. 84

Factor de carga del eje equivalente es conocido por las siglas EALF (*Equivalence Axe Load Factor*) en inglés, es el daño que un vehículo pesado imparte a la estructura de pavimento expresado como un número acumulativo relativo a un eje de referencia. El factor de equivalencia de carga se determina utilizando una ecuación de la guía AASHTO (*American Association of State Highway and Transportation Officials*).

$$\log\left(\frac{W_{tx}}{W_{t18}}\right) = 4.79\log(18 + 1) - 4.79\log(L_x + L_2) + 4.33\log L_2 + \frac{G_t}{\beta_x} - \frac{G_t}{\beta_{18}}$$

$$G_t = \log\left(\frac{4.2-p_t}{4.2-1.5}\right) \quad \beta_x = 0.40 + \frac{0.081(L_x + L_2)^{3.23}}{(SN+1)^{5.19} L_2^{3.23}}$$

Figura 13. Formula empírica

Fuente: American Association of State Highway and Transportation Officials, 1993

Dónde:

$L_x$ : Carga en kips

$L_2$ : si es eje simple 1, tándem 2 y 3 trídem

SN: Numero estructural

Pt: Serviciabilidad final

$\beta$ : Función que determina la relación entre la serviciabilidad y las aplicaciones de carga

SN: Número estructural de la estructura

Carga Estándar de Eje Equivalente (ESAL): Este factor equivale a cualquier eje simple de 80 kN o 18 000 lb al que estará expuesto el pavimento a lo largo de su vida útil o de diseño.

$$ESAL = \sum_{i=1}^m F_i n_i$$

$$n_i = \binom{n_0}{i} (G)(D)(L)(365)(Y)$$

Figura 14. Ecuación de ESAL

Fuente: American Association of State Highway and Transportation Officials, 1993

En nuestro país, para el cálculo de EALF se utiliza una relación simplificada obtenida al correlacionar los valores de la tabla en el Apéndice D de la Guía AASHTO 1993. La Tabla 3 muestra estas relaciones que dependen de la configuración del eje para vehículos pesados.

**Tabla 3. Factor Equivalente de Carga por Eje**

| Tipo de Eje   | Eje Equivalente (EE 8.2T) |
|---|---------------------------|
| Eje Simple de Ruedas Simples (EE <sub>S1</sub> )                          | $EE_{S1}=(P/6.6)^4$       |
| Eje Simple de Ruedas dobles (EE <sub>S2</sub> )                           | $EE_{S2}=(P/8.2)^4$       |
| Eje Tandem (1 eje ruedas dobles+1 eje rueda simple) (EE <sub>TA1</sub> )  | $EE_{TA1}=(P/14.8)^4$     |
| Eje Tandem (2 ejes de ruedas dobles) (EE <sub>TA2</sub> )                 | $EE_{TA2}=(P/15.1)^4$     |
| Eje Tridem (2 ejes ruedas dobles+1 eje rueda simple) (EE <sub>TR1</sub> ) | $EE_{TR1}=(P/20.7)^{3.9}$ |
| Eje Tridem (3 eje ruedas dobles) (EE <sub>TR2</sub> )                     | $EE_{TR2}=(P/21.8)^{3.9}$ |
| P= Peso Real por eje en Toneladas   |                           |

Fuente: Manual de carreteras sección suelos y pavimentos 2014, pg. 71

El análisis actual consideró la metodología AASHTO elevada a la cuarta potencia, que es una medida simplificada del daño por eje equivalente calculado para las cargas aplicadas, cabe recalcar que las estructuras viales se deforman por las diferentes cargas que presentan los vehículos, además, las repeticiones de cargas provocan fallas por fatiga, deformación permanente y se producen fisuras en la capa superficial; esto permite que la humedad penetre en la base, la subbase e incluso la subrasante, lo que lleva a un deterioro progresivo a la estructura del pavimento.

Diseño de Pavimento: Al usar el método AASHTO 93, el primer paso debe ser determinar el número de estructuras usando la ecuación presentada en la Figura N°15. Tenga en cuenta que los valores ESAL deben calcularse antes de esta fase.

$$\log_{10}(W_{18}) = Z_R S_o + 9.36 \log_{10}(SN + 1) - 0.2 + \frac{\log_{10}\left(\frac{\Delta PSI}{4.2 - 1.5}\right)}{0.4 + \frac{1094}{(SN + 1)^{5.19}}} + 2.32 \log_{10}(M_R) - 8.07$$

Figura 15. Ecuación para el Diseño del Pavimento Flexible

Fuente: American Association of State Highway and Transportation Officials, 1993

Dónde:

Zr: Desviación estándar

So: Desviación estándar combinada

SN: Numero estructural

ΔPSI: Índice de serviciabilidad

Mr: Modulo de resiliencia

Desviación Estándar (Zr). Este valor se le asigna al índice de confiabilidad (R); puede definirse como la probabilidad estadística de que un pavimento permanezca en condiciones razonables durante la vida útil especificada durante las etapas de diseño. Este factor es muy importante ya que permite tener en cuenta las diferencias que pueden ocurrir en las condiciones de tránsito que experimenta la estructura vial.

Tabla 4. Desviación Estándar (Zr) para 10 o 20 años

| Tipos de Caminos                    | Trafico   | Ejes Equivalentes Acumulados |            | Desviación Estándar Normal (Zr) |
|-------------------------------------|-----------|------------------------------|------------|---------------------------------|
| Caminos de Bajo Volumen de Transito | $T_{p0}$  | 75,000                       | 150,000    | -0.385                          |
|                                     | $T_{p1}$  | 150,001                      | 300,000    | -0.524                          |
|                                     | $T_{p2}$  | 300,001                      | 500,000    | -0.674                          |
|                                     | $T_{p3}$  | 500,001                      | 750,000    | -0.842                          |
|                                     | $T_{p4}$  | 750,001                      | 1,000,000  | -0.842                          |
| Resto de Caminos                    | $T_{p5}$  | 1,000,001                    | 1500'000   | -1.035                          |
|                                     | $T_{p6}$  | 1,500,001                    | 3000'000   | -1.035                          |
|                                     | $T_{p7}$  | 3,000,001                    | 5000'000   | -1.035                          |
|                                     | $T_{p8}$  | 5,000,001                    | 7500'000   | -1.035                          |
|                                     | $T_{p9}$  | 7,500,001                    | 10,000,000 | -1.282                          |
|                                     | $T_{p10}$ | 10,000,001                   | 12,500,000 | -1.282                          |
|                                     | $T_{p11}$ | 12,500,001                   | 15,000,000 | -1.645                          |
|                                     | $T_{p12}$ | 15,000,001                   | 20,000,000 | -1.645                          |
|                                     | $T_{p13}$ | 20,000,001                   | 25,000,000 | -1.645                          |
|                                     | $T_{p14}$ | 25,000,001                   | 30,000,000 | -1.645                          |
|                                     | $T_{p15}$ |                              | 30,000,000 | -1.645                          |

Fuente: Manual de carreteras sección suelos y pavimentos, 2014

Cabe señalar que la confiabilidad no es un parámetro que se pueda ingresar directamente en las ecuaciones de diseño, lo que requiere el uso de un factor estadístico conocido como desviación estándar ( $Z_r$ ).

Desviación Estándar Combinada ( $S_o$ ): Se debe tener en cuenta la variabilidad esperada de la predicción de tráfico y otros factores que afectan el comportamiento del pavimento.

Número Estructural (SN): Representa la capacidad que tiene el pavimento para resistir las cargas consideradas durante el diseño.

Índice de Serviciabilidad ( $\Delta PSI$ ): Su valor varía entre 0 y 5.0, cabe señalar que un valor de 5.0 refleja el mejor confort teórico, en cambio un valor de 0 refleja el peor; el índice de serviciabilidad se puede hallar por el grado de deterioro de la superficie del pavimento que se refleja en la rugosidad. La variación en este factor está influenciada por varios factores como el tráfico, el tipo de suelo y el drenaje.

Módulo de Resiliencia ( $M_r$ ): Este valor caracteriza varias propiedades de la base y sub base, sin embargo, debido a la dificultad de hallar este parámetro para estos materiales en el laboratorio, recomendamos utilizar una correlación con el valor de CBR.

$$M_r(\text{psi}) = 2555 * CBR^{0.64}$$

*Figura 16.* Ecuación del Módulo de Resiliencia

Fuente: Manual de carreteras sección suelos y pavimentos, 2014

## Enfoques Conceptuales

### Variable 1: Tipo de ejes

Presión de Neumáticos: La presión de inflado es un valor que se expresa en varias unidades de medida (kg/cm<sup>2</sup> o Psi), que indica la presión de la masa de aire introducida en la llanta a través de la válvula; existen investigaciones en el Perú que han comprobado que las presiones varían entre 100 y 110 psi, con presiones máximas de inflado de 135 psi. Todas estas consideraciones sugieren determinar cuál es el efecto real de las altas presiones de inflado del neumático sobre los pavimentos asfálticos.

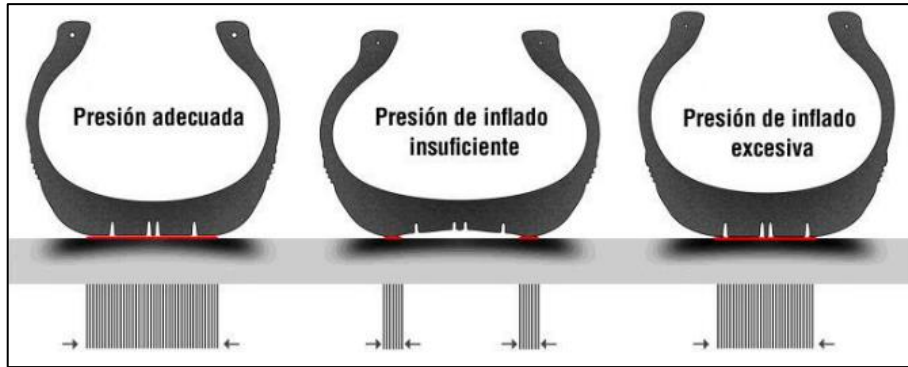


Figura 17. Efecto de Presiones

Fuente: Neumáticos Líder

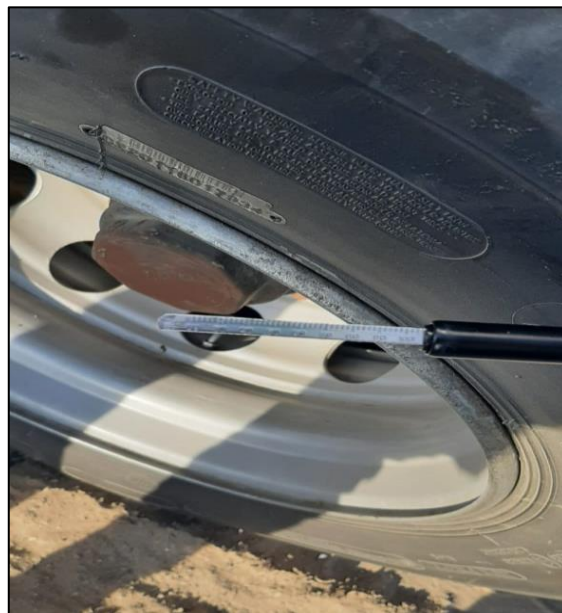


Figura 18. Presión de inflado de los neumáticos

Fuente: Elaboración Propia

Área de contacto: Se define al área de carga y la presión sobre el suelo, a medida que aumente la presión de inflado mayor será el riesgo de compactación del suelo.

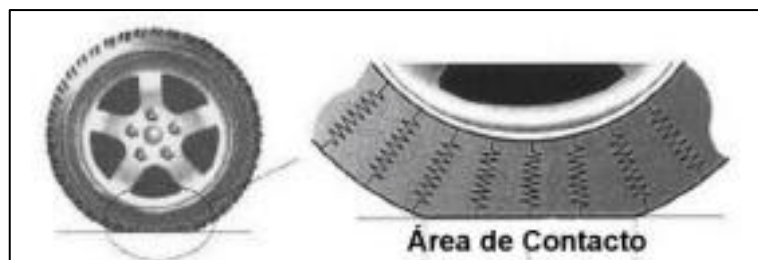


Figura 19. Área de Contacto de Neumático

Fuente: Gustavo R. Di Rado

Se sabe que un neumático ancho de una sola llanta tiene el peso del eje distribuido uniformemente sobre la zona de contacto y el del área de contacto depende de la presión de contacto. La Figura 20(a) se observa el área de contacto de cada llanta, que se compone de un rectángulo y dos semicírculos, la Figura 20(b) es semejante a un rectángulo para el área de contacto.

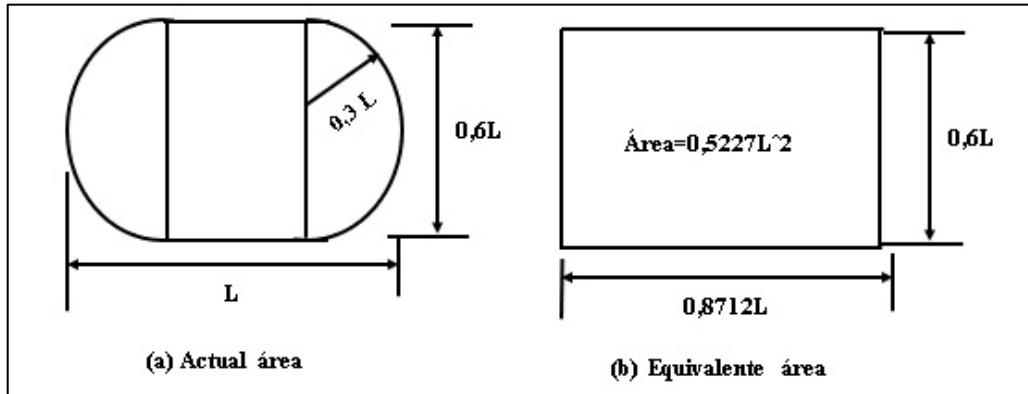


Figura 20. Dimensionamiento del Área de Contacto

Fuente: Yang-Huang 2004

Además, mediante las Ecuaciones 1 y 2 se puede obtener dicha área de contacto

$$A_c = \pi(0.3L)^2 + (0.4L)(0.6L)$$

Figura 21. Ecuación 1 Área de Contacto

Fuente: Yang-Huang 2004

$$A_c = \text{Carga del neumático} / \text{Presión de inflado}$$

Figura 22. Ecuación 2 Área de Contacto

Fuente: Yang-Huang 2004

Radio de Contacto: Para calcular el radio de contacto del neumático con el pavimento se utiliza la ecuación.

$$a = \sqrt{\frac{P}{q\pi}}$$

Figura 23. Ecuación del Radio de Contacto

Fuente: Yang-Huang 2004

Dónde:

$a$ = Radio de contacto

$P$ = carga aplicada

$q$ = Presión de contacto



*Figura 24. Radio de Contacto de Neumático*

Fuente: Elaboración Propia

## Variable 2: Daño

Modelación de un pavimento flexible: Existen muchos softwares en el mercado que pueden determinar el comportamiento de un pavimento sometido a una carga, además permite el análisis estructural del pavimento, el cual permite determinar el daño en términos de esfuerzos, deformaciones y deflexiones ante determinadas cargas.

Esfuerzo: El análisis de esfuerzo da a conocer la magnitud de las fuerzas que se aplican en la superficie y se reparten en la estructura del pavimento, de acuerdo a los espesores que presentan las diferentes capas. Como resultado, el pavimento es un material complejo cuyo diseño no se puede generalizar en un país y debe tener en cuenta una variedad de factores que varían ampliamente en el espacio y tiempo. Por ejemplo, tráfico diario promedio, porcentaje de camiones y condiciones climáticas.



$$\sigma = \frac{\text{Carga}}{\text{Area}} = \frac{P}{A} \dots \dots (N/m^2, Pa, Mpa, psi \text{ o } ksi)$$

Figura 25. Ecuación de esfuerzo

Fuente. García, 2016 pg. 16

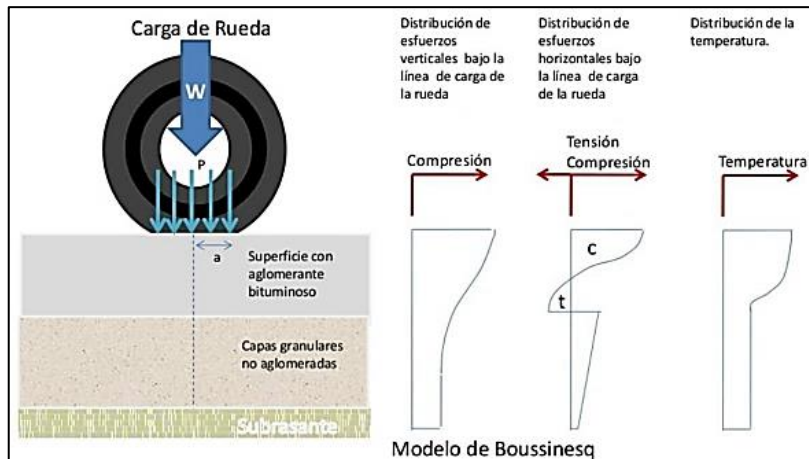


Figura 26. Distribución de Esfuerzos

Fuente. García, 2016

**Esfuerzo vertical:** Está relacionado con los espesores de las capas y el módulo de elasticidad para controlar las fuerzas que se ejercen sobre la estructura del pavimento y no lleguen a la subrasante, como así también controlar la deformación que se pueda producir en la estructura del pavimento, por lo que también es importante tener en cuenta la calidad de los materiales que se ocupan en las diferentes capas.

**Esfuerzo tangencial:** Se considera un punto importante ya que representa la tensión a compresión o viceversa.

**Esfuerzo radial:** Mientras que el esfuerzo de compresión se presenta en la superficie de la estructura del pavimento luego pasa a ser tensión y al ser mayor los espesores de las capas, el esfuerzo radial va disminuyendo al punto de llegar a ser pequeño en la subrasante.

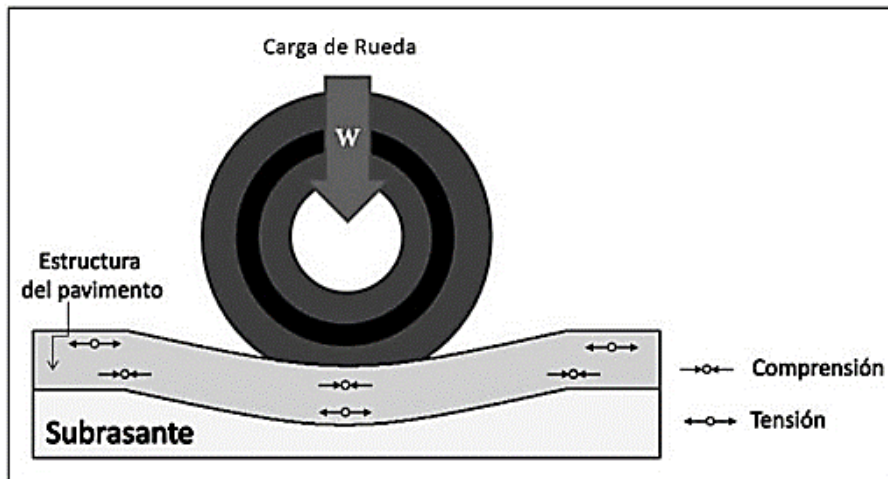


Figura 27. Esquema de los Refuerzos de Tensión y Compresión

Fuente. García, 2016 pg. 03

Existen varios indicadores del comportamiento del pavimento asfáltico. Se considera generalmente que cuatro son los más importantes: la deflexión de la superficie, la deformación por tracción en la capa de asfalto, la deformación por compresión en la subrasante y el material granular. La deflexión de la superficie y la deformación última por tracción en la superficie interior de la capa de asfalto están relacionadas con las grietas que se producen en el hormigón asfáltico debido a la fatiga. Los esfuerzos de compresión y las deformaciones en el subsuelo están relacionados con la deformación permanente de las estructuras viales.

Deformación: El análisis de deformación señala como varia en las dimensiones de la estructura del pavimento cuando está sometida a cargas.

Deformación unitaria: Todo material sufre una deformación, entonces la deformación es el cambio de longitud que sufre el material entre su longitud original.

$$\varepsilon = \frac{\text{Cambio de Longitud}}{\text{Longitud Original}} = \frac{\Delta L}{L}$$

Figura 28. Ecuación de Deformación

Fuente. Alvaro, 2019 pg. 19

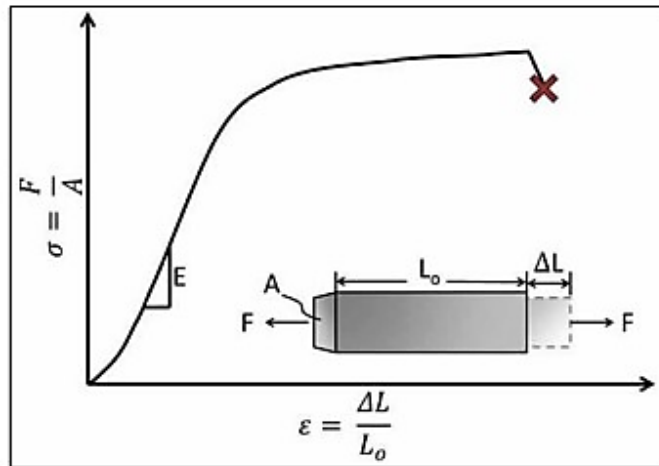


Figura 29. Diagrama de Deformación Unitaria

Fuente. Alvaro, 2019 pg. 19

Rigidez: Es la resistencia que tiene un cuerpo al doblarse debido a que fuerzas exteriores ejercen cargas sobre la superficie.

$$\text{Rigidez} = \frac{\text{Esfuerzo}}{\text{Deformación}} = \frac{\sigma}{\varepsilon}$$

Figura 30. Ecuación de Rigidez

Fuente. Alvaro, 2019 pg. 19

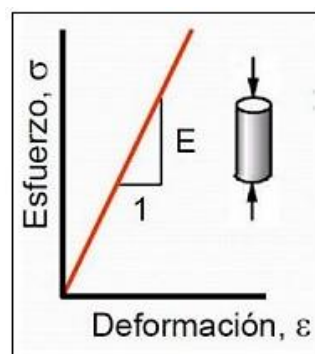
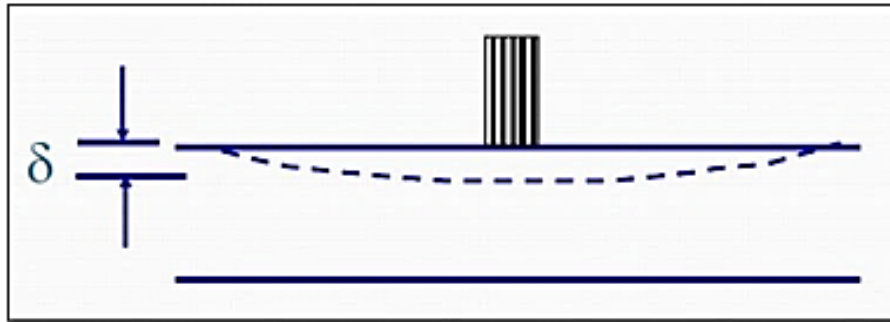


Figura 31. Diagrama de Rigidez

Fuente. Alvaro, 2019 pg. 19

Deflexión: Se considera muy importante ya que se necesita evaluar el comportamiento del pavimento, es el desplazamiento en la superficie del pavimento al aplicar una carga como se presenta en la Figura N°32 su unidad se da en mm, μm (0.001 mm)



*Figura 32. Diagrama de Deflexión*

Fuente. Alvaro, 2019 pg. 21

Deterioro: Para una correcta evaluación es importante contar con una lista de deterioros que nos permita una adecuada simulación y resultados exactos. Es común vincular el número de repeticiones por ejes con los esfuerzos y deformación, además se puede observar puntos críticos en la estructura del pavimento. Para el agrietamiento por fatiga se considera la deformación unitaria de tensión máxima ( $\epsilon_t$ ) que se encuentra en la parte inferior de la carpeta asfáltica y la deformación unitaria por compresión ( $\epsilon_c$ ) se encuentra en la parte superior de la carpeta asfáltica en la parte inferior del neumático.

Fallas: Es una clasificación de distintos daños que se producen y manifiestan en los pavimentos durante el periodo de su vida útil.

Ahuellamiento: Depresión longitudinal continua a lo largo de las huellas de canalización del tránsito. Se entiende por Ahuellamiento cuando la longitud afectada es mayor de 6 metros. Debido a las repeticiones de las cargas conducen a una acumulación de las deformaciones permanentes en cualquiera de las capas del pavimento o su fundación. Cuando el radio de influencia de la zona ahuellada es pequeño, las deformaciones ocurren en las capas superiores y suelen ser acompañadas de un deslizamiento y levantamiento lateral de la superficie del pavimento; cuando el radio de influencia es amplio, las deformaciones ocurren en las capas inferiores o en la fundación.



*Figura 33. Deformación de ahuellamiento*

Fuente. Instituto Mexicano del Transporte, Publicación Técnica N° 197, 2017

Fisura Longitudinal: Este tipo de falla se presente en la superficie del pavimento, es aquella donde se observa esa abertura o fractura a lo largo de un eje que es paralelo a un eje de vía, puede presentarse en el centro de la vía. Se debe a la fatiga, porque la carretera a tenido mucho paso de vehículos y toda esa carga del tránsito sobre el pavimento generó un exceso de carga. A principio suele presentar una fisura simple, pero mientras más avance el deterioro en el pavimento, aumenta ramificaciones laterales y fisuras paralelas.

Las fisuras longitudinales se miden en metros lineales; se identifica la longitud y severidad de cada fisura; si la fisura no presenta el mismo nivel de severidad, se totaliza el número de metros lineales correspondientes a cada uno de los tres niveles de severidad en la sección de pavimento evaluada.



*Figura 34. Fisura Longitudinal de la carretera MO-612*

Fuente. Elaboración Propia

Fisura Transversal: Fractura que aparece y crece a través de la superficie del pavimento perpendicularmente al eje de la calzada. Este tipo de fisura puede presentarse en todo el carril o ancho de calzada y limitarse a los 0.60 metros próximos al borde. A veces las fisuras transversales se distribuyen a intervalos más o menos regulares, con espaciamiento variables entre 5 y 20 metros. Al igual que las fisuras longitudinales puede desarrollar ramificaciones y fisuras paralelas.



*Figura 35.* Fisura Transversal de la carretera MO-612

Fuente. Elaboración Propia

### **III. METODOLOGÍA**

#### **3.1. Tipo y diseño de investigación**

##### **Tipo de investigación**

Hernández, (2014) se conoce como una investigación aplicada porque tiene como propósito resolver problemas prácticos como los problemas de la sociedad o de cualquier tipo de empresa productiva; en consecuencia, la investigación aplicada contribuye indirectamente a mejorar el nivel de vida de la población y al crecimiento del empleo, cabe mencionar que una investigación aplicada se basa en los resultados de la investigación básica. El desarrollo de la investigación fue de tipo aplicada, ya que se busca analizar el daño que genere un eje súper simple al pavimento para un correcto diseño de pavimento tomando en cuenta el daño que va a generar los ejes súper simples al pavimento.

##### **Enfoque de investigación**

Hernández, (2014) El enfoque cuantitativo se basa en la acumulación de datos para luego comprobar la hipótesis, basándose en la precisión numérica y el análisis estadístico, con las que se establece modelos de comportamiento y llegar a probar teorías. Dentro de nuestra investigación tendremos un enfoque cuantitativo porque tendremos como resultados valores numéricos, como el esfuerzo, deformación y deflexión que genera un eje súper simple según los datos obtenidos del software KENPAVE, donde buscaremos comprobar la afirmación o nulidad de acuerdo a las hipótesis planteadas.

##### **El diseño de la investigación**

Hernández y Mendoza (2018) Es importante señalar que en la investigación cuantitativa se puede utilizar un diseño no experimental o un diseño experimental. Dentro de la investigación no experimental es aquella en la que las variables estudiadas no son alteradas por el investigador. En cambio, las investigaciones que utilizan un diseño experimental modifican una o más variables de estudio. También es crucial recordar que las variables en la investigación experimental pura se alteran a propósito. Por lo tanto, en nuestra investigación se tendrá como diseño de investigación no experimental porque no se puede manipular la variable.

### **El nivel de la investigación:**

Ñaupas, Mejía, Novoa y Villagómez (2014) En la investigación de nivel tenemos exploratoria, descriptiva, explicativa y predictiva. El nivel explicativo es básico, más complejo, más profundo y más riguroso, cuyo objetivo principal es probar hipótesis causales o explicativas. El nivel de investigación que usaremos será explicativo porque vamos a demostrar que el daño que genera un eje tridem súper simple es mayor al de un eje tridem convencional.

### **3.2. Variables y operacionalización:**

La variable es un instrumento de análisis, existe la variable independiente y la variable dependiente; la variable independiente puede tener un efecto en la variable dependiente; mientras que, la variable independiente puede ser afectada por la variable dependiente (Baena, 2017)

Variable 1: Daño (EALF)

Variable 2: Tipo de eje

La operacionalización de variable consiste en determinar el método a través del cual las variables serán medidas y analizadas. (Arias, 2021)

(La Operacionalización de variables se aprecia en el anexo 1).

### **3.3. Población, muestra y muestreo**

#### **Población:**

Hernández y Mendoza (2018). Se conoce como población de estudio a aquella a la cual se aplicarán los resultados del proyecto de investigación. Para llevar a cabo una investigación científica, es fundamental reconocer la población que formará parte del estudio y estar familiarizado con sus cualidades. La población de nuestro estudio está conformada por los 486 vehículos que circularon durante el estudio de tráfico.



**Muestra:**

Hernández y Mendoza (2018). Debido a las limitaciones de tiempo y, en ocasiones, financieras, se utilizan muestras de estudio. Es por esto que se debe tomar un subconjunto de la población de la que se van a realizar los estudios pertinentes. En la presente investigación se consideró como muestra 137 vehículos tipo T3S3 con configuración tridem súper simple.

**Muestreo:**

Arias (2012). Se utiliza un método o proceso llamado muestreo para seleccionar una muestra. Para ello, se consideran dos tipos principales de muestreo: probabilístico o aleatorio y no probabilístico. Donde la probabilidad o selección aleatoria se convierte en un proceso que involucra la probabilidad de cada elemento. En el presente trabajo de investigación el muestreo fue del tipo probabilístico, tomándose las muestras de forma aleatoria.

**Unidad de análisis:**

Hernández (2014). Una unidad de análisis también se denomina casos o elementos. Aquí, el foco está en "qué o quién", es decir, si estos objetos, eventos o comunidades de investigación, que se denominan unidades de análisis, dependen del tipo de planificación de la investigación y el alcance de la investigación. La unidad de análisis de este trabajo de investigación es analizar el daño que genera el eje súper simple al pavimento flexible.

**3.4. Técnicas e instrumentos de recolección de datos:****Técnicas de recolección de datos**

Como técnica utilizada fue la observación directa que, según Arroyo, (2020) Señala que es el contacto directo entre el investigador y el problema, que se apoya de herramientas para recopilar, clasificar, analizar, medir y correlacionar datos. Técnicas que permiten obtener información. En el presente proyecto de investigación se utilizó la técnica de la observación directa que permitió la recolección de datos.

## **Instrumentos de recolección de datos**

Según Robledo (2012) se aplicará a la investigación de la ficha de recopilación de información en el cual incluye todos los procedimientos y los instrumentos que se permiten en el uso óptimo y racional de los recursos documentales encontrados de información. En la presente investigación el instrumento utilizado consiste en una ficha en la cual vamos a registrar los datos obtenidos en campo.

## **Validez**

Hernández (2014). La validez es el grado o la precisión con que un instrumento mide realmente la variable que se está midiendo. Los instrumentos fueron validados a través del juicio de expertos, el cual fue revisado por 3 ingenieros civiles especializados en el área de infraestructura vial.

## **Confiabilidad de los instrumentos.**

Hernández (2014). La confiabilidad se define como el grado en que un instrumento proporciona resultados consistentes. La confiabilidad de un instrumento de medición se refiere a la medida en que su uso repetido en la misma persona u objeto siempre da el mismo resultado. Se utilizó un intervalo de confianza del 95% los cuales serán descritos en el análisis estadístico.

## **3.5. Procedimientos:**

Para poder llevar a cabo este proyecto de investigación se tuvo que realizar un acompañamiento a un estudio de tráfico que se realizó en la carretera MO-612, realizando primero la implementación de una estación de pesaje portátil para estimar pesos reales de camiones con eje súper simples para obtener una muestra representativa de cargas por eje de los camiones tipo T3S3 un censo de carga y presiones a los camiones tipo T3S3 especialmente de aquellos que presentan ejes súper simples.



*Figura 36. Recolección de datos*  
Fuente: Elaboración Propia



*Figura 37. Balanza de pesaje*  
Fuente: Elaboración Propia



*Figura 38. Pesaje de Eje*  
Elaboración: Fuente Propia

Luego se hizo el censo de cargas y presiones de los vehículos tipo T3S3 se pudo hacer la recolección de datos que se necesitó para analizar el daño que genera los ejes súper simples al pavimento flexible. Al medir la presión de inflado se pudo verificar el área de contacto del neumático y el área de contacto por eje.



*Figura 39.* Censo de carga y presión.

Fuente: Elaboración Propia



*Figura 40.* Vehículo T3S3 con configuración súper simple

Fuente: Elaboración Propia



*Figura 41.* Presión de inflado de los neumáticos de un eje Tridem Convencional

Fuente: Elaboración Propia



*Figura 42.* Presión de inflado de los neumáticos de un Eje Súper Simple

Fuente: Elaboración Propia



*Figura 43.* Manómetro

Fuente: Elaboración Propia

Luego se pasará a realizar la modelación en el software KENPAVE insertando datos calculados como el radio de contacto, puntos de análisis, de tal manera podremos conocer el esfuerzo, deformación y deflexión que genera un eje tridem convencional y un eje tridem súper simple; además se realizará una comparación

para saber cuánto daño más genera un eje tridem súper simple en comparación con un tridem convencional.

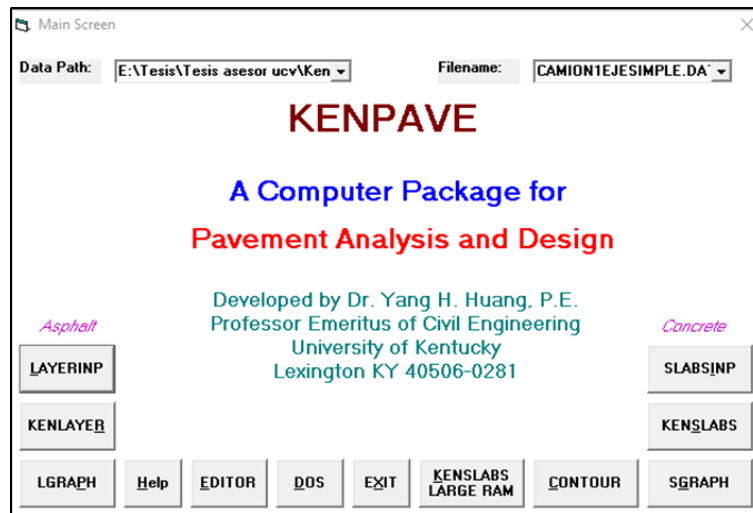


Figura 44. Pantalla inicial software KENPAVE

Fuente: Software KENPAVE

### 3.6. Método de análisis de datos:

Se utilizó el análisis cuantitativo porque los datos recopilados por los gráficos de control dieron valores numéricos que se podían graficar usando el software Microsoft Excel y para validar la hipótesis se empleó la estadística inferencial utilizando el software SPSS v26.

### 3.7. Aspectos éticos:

En el trabajo de investigación actual, los procedimientos, datos y resultados están regulados con respecto a la responsabilidad, honestidad, veracidad y confiabilidad. Toda la información recopilada en este estudio se desarrolló de acuerdo con las reglamentaciones aplicables y los datos se manejaron de manera ética y sin falsear datos.

#### IV. RESULTADOS

##### Descripción de la zona de estudio

##### Ubicación política

La investigación se realizó en la Carretera MO-612 del distrito de Ilo, provincia de Ilo, en el departamento de Moquegua.



Figura 45. Mapa político del Perú

Fuente: Ministerio de Transporte y Comunicaciones



Figura 46. Mapa político del Departamento de Moquegua

Fuente: Ministerio de Transporte y Comunicaciones

## Ubicación del proyecto



Figura 47. Mapa de la provincia de Ilo

Fuente: Ministerio de Transporte y Comunicaciones

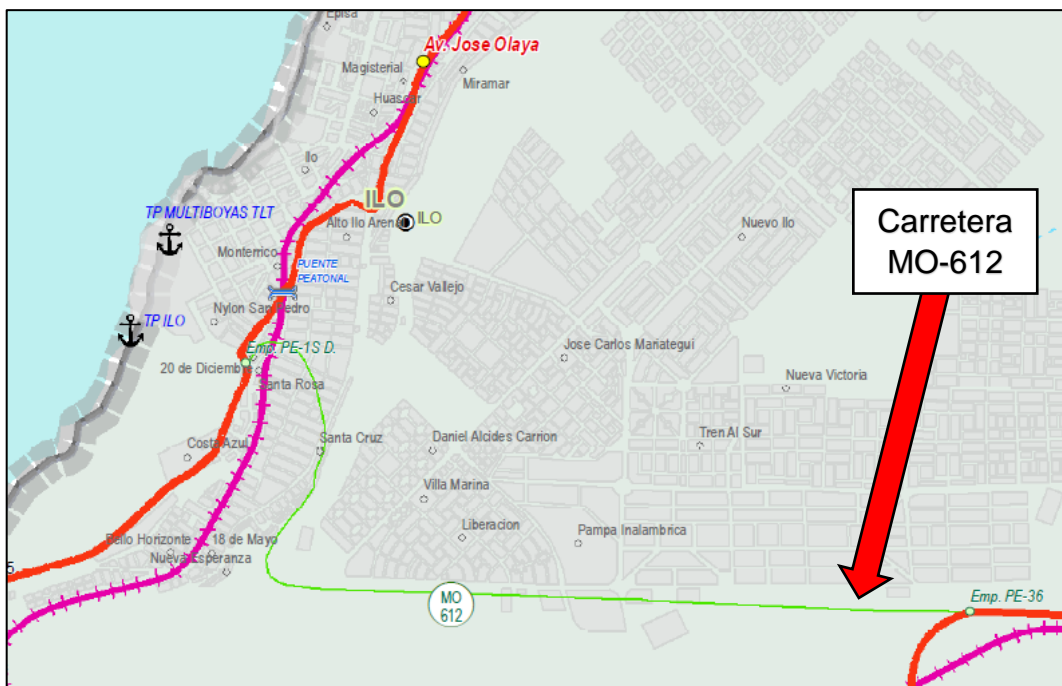


Figura 48. Ubicación de la Zona de Estudio

Fuente: Ministerio de Transporte y Comunicaciones



## **Límites**

|       |   |   |
|-------|---|---|
| Norte | : | Con la Provincia de Mariscal Nieto        |
| Sur   | : | Con el Océano Pacífico                    |
| Este  | : | Con la Provincia de Jorge Basadre (Tacna) |
| Oeste | : | Con la Provincia de Islay (Arequipa)      |

## **Ubicación geográfica**

El distrito de Ilo presenta las siguientes coordenadas geográficas: Latitud Sur 17°38'21.98" y Longitud Oeste 71°20'15", ocupa un área de 294,00 km<sup>2</sup>, con una altitud 15 m.s.n.m. Según la INEI hasta el 2017 tenía una población de 66,118 habitantes.

## **Clima**

En Ilo, los veranos son calurosos y solo duran 4 meses; mientras tanto los inviernos son largos y nublados; en el transcurso del año la temperatura varía de 11°C a 26°C y rara vez la temperatura llegue a descender los 9°C o elevarse a más de 27°C.

## **Daño (EALF)**

Realizado el censo de pesaje se calculó el daño que genera el eje simple, tándem y tridem con la fórmula de la cuarta potencia. En la Tabla 5, Tabla 6, Tabla 7 y Tabla 8 observaremos el daño que genera cada camión.





**Tabla 7. Daño del eje tridem (EALF)**

| Orden | Placa  | Eje 4 Peso (Ton) | Eje 5 Peso (Ton) | Eje 6 Peso (Ton) | Suma Peso Conjunto | Presión de Inflado (psi) | Formula de la 4ta potencia |
|-------|--------|------------------|------------------|------------------|--------------------|--------------------------|----------------------------|
| 1     | F5S894 | 6.280            | 13.400           | 12.050           | 31.730             | 110                      | 4.323                      |
| 2     | D5T706 | 12.230           | 9.590            | 9.480            | 31.300             | 110                      | 4.099                      |
| 3     | F4X925 | 10.920           | 10.110           | 9.640            | 30.670             | 110                      | 3.786                      |
| 4     | ABE920 | 9.990            | 10.050           | 9.890            | 29.930             | 110                      | 3.442                      |
| 5     | AKM949 | 5.430            | 12.220           | 12.560           | 30.210             | 110                      | 3.570                      |
| 6     | AEM701 | 10.150           | 9.610            | 9.980            | 29.740             | 120                      | 3.358                      |
| 7     | AHF809 | 9.460            | 9.270            | 9.390            | 28.120             | 120                      | 2.699                      |
| 8     | ANV793 | 9.690            | 9.230            | 9.520            | 28.440             | 110                      | 2.821                      |
| 9     | F8A856 | 8.490            | 9.570            | 11.760           | 29.820             | 110                      | 3.393                      |
| 10    | B1M813 | 8.030            | 10.790           | 13.630           | 32.450             | 110                      | 4.718                      |
| 11    | W1F835 | 7.300            | 12.150           | 13.970           | 33.420             | 110                      | 5.292                      |
| 12    | C1V727 | 10.630           | 10.360           | 10.120           | 31.110             | 110                      | 4.002                      |
| 13    | F2D828 | 10.520           | 10.150           | 10.100           | 30.770             | 120                      | 3.835                      |
| 14    | D3G720 | 1.510            | 13.160           | 13.150           | 27.820             | 110                      | 2.588                      |
| 15    | AEM925 | 8.820            | 10.710           | 10.460           | 29.990             | 120                      | 3.469                      |
| 16    | D9R818 | 12.910           | 12.400           | 13.010           | 38.320             | 120                      | 9.024                      |
| 17    | D8U934 | 8.780            | 10.070           | 12.520           | 31.370             | 110                      | 4.135                      |
| 18    | F2D706 | 12.280           | 8.210            | 6.880            | 27.370             | 110                      | 2.429                      |
| 19    | F1G935 | 10.320           | 9.620            | 10.000           | 29.940             | 110                      | 3.447                      |
| 20    | T3S823 | 9.660            | 10.060           | 10.350           | 30.070             | 110                      | 3.505                      |
| 21    | AJM905 | 9.540            | 9.200            | 9.430            | 28.170             | 110                      | 2.718                      |
| 22    | AMR702 | 10.510           | 10.330           | 10.520           | 31.360             | 110                      | 4.129                      |
| 23    | D9K827 | 10.410           | 9.950            | 10.390           | 30.750             | 110                      | 3.825                      |
| 24    | AKO813 | 7.220            | 11.780           | 12.030           | 31.030             | 110                      | 3.962                      |
| 25    | AKO901 | 10.590           | 10.230           | 10.670           | 31.490             | 110                      | 4.197                      |
| 26    | AAQ865 | 9.180            | 9.240            | 9.340            | 27.760             | 110                      | 2.567                      |
| 27    | B7O742 | 8.440            | 10.940           | 10.850           | 30.230             | 110                      | 3.579                      |
| 28    | A3R945 | 9.320            | 10.170           | 10.240           | 29.730             | 110                      | 3.353                      |
| 29    | A9X878 | 7.680            | 9.970            | 9.600            | 27.250             | 110                      | 2.388                      |
| 30    | C0G904 | 8.230            | 6.950            | 8.770            | 23.950             | 110                      | 1.443                      |
| 31    | ANX865 | 8.490            | 9.670            | 9.540            | 27.700             | 120                      | 2.545                      |
| 32    | F1C857 | 11.180           | 9.560            | 7.480            | 28.220             | 110                      | 2.736                      |
| 33    | B5C947 | 7.660            | 11.120           | 10.000           | 28.780             | 110                      | 2.954                      |
| 34    | F3H847 | 11.990           | 10.190           | 10.060           | 32.240             | 120                      | 4.600                      |
| 35    | AFF762 | 8.900            | 9.450            | 9.260            | 27.610             | 120                      | 2.513                      |
| 36    | ARA885 | 9.320            | 10.650           | 10.250           | 30.220             | 120                      | 3.574                      |
| 37    | ADY887 | 9.530            | 6.590            | 8.500            | 24.620             | 120                      | 1.607                      |
| 38    | ASR929 | 12.430           | 4.220            | 12.950           | 29.600             | 110                      | 3.297                      |
| 39    | A2J892 | 8.400            | 9.810            | 9.060            | 27.270             | 110                      | 2.394                      |
| 40    | AKG764 | 9.880            | 10.280           | 9.840            | 30.000             | 110                      | 3.474                      |
| 41    | F1J812 | 12.200           | 10.080           | 8.630            | 30.910             | 110                      | 3.903                      |
| 42    | C4T919 | 4.630            | 12.960           | 14.140           | 31.730             | 120                      | 4.323                      |
| 43    | F5J840 | 10.730           | 10.670           | 10.990           | 32.390             | 120                      | 4.684                      |
| 44    | AJM904 | 11.740           | 10.720           | 11.510           | 33.970             | 110                      | 5.640                      |
| 45    | B4N899 | 12.390           | 9.470            | 9.790            | 31.650             | 120                      | 4.280                      |
| 46    | D5P718 | 10.000           | 9.780            | 9.840            | 29.620             | 120                      | 3.305                      |
| 47    | F2D828 | 10.520           | 10.150           | 10.100           | 30.770             | 120                      | 3.835                      |
| 48    | AAK744 | 9.120            | 10.880           | 10.200           | 30.200             | 120                      | 3.565                      |
| 49    | D2R887 | 9.520            | 8.540            | 9.060            | 27.120             | 110                      | 2.343                      |
| 50    | ANM785 | 10.340           | 10.120           | 9.540            | 30.000             | 110                      | 3.474                      |
| 51    | D3T728 | 6.640            | 11.840           | 12.520           | 31.000             | 120                      | 3.948                      |
| 52    | B4W805 | 6.060            | 10.880           | 11.680           | 28.620             | 120                      | 2.891                      |
| 53    | T5R842 | 5.080            | 12.140           | 11.860           | 29.080             | 110                      | 3.076                      |
| 54    | ABL806 | 8.780            | 10.220           | 8.160            | 27.160             | 120                      | 2.357                      |
| 55    | AAZ750 | 10.340           | 9.960            | 10.160           | 30.460             | 120                      | 3.686                      |
| 56    | ANG730 | 9.560            | 9.540            | 9.400            | 28.500             | 120                      | 2.844                      |
| 57    | F3L919 | 10.500           | 11.320           | 13.300           | 35.120             | 110                      | 6.422                      |
| 58    | ARV844 | 10.840           | 10.680           | 10.800           | 32.320             | 120                      | 4.645                      |
| 59    | DOJ776 | 6.260            | 8.680            | 11.860           | 26.800             | 110                      | 2.237                      |
| 60    | ADO749 | 10.420           | 10.960           | 11.380           | 32.760             | 110                      | 4.896                      |
| 61    | F6R886 | 10.020           | 11.120           | 13.400           | 34.540             | 120                      | 6.018                      |
| 62    | ANL845 | 10.500           | 10.580           | 10.320           | 31.400             | 110                      | 4.150                      |
| 63    | A3N911 | 9.980            | 8.780            | 8.960            | 27.720             | 120                      | 2.552                      |
| 64    | C9G781 | 9.880            | 9.480            | 11.640           | 31.000             | 120                      | 3.948                      |
| 65    | W2O851 | 5.280            | 13.920           | 12.820           | 32.020             | 110                      | 4.479                      |
| 66    | ANY765 | 10.880           | 10.740           | 10.660           | 32.280             | 110                      | 4.622                      |
| 67    | C6O842 | 9.600            | 10.000           | 9.540            | 29.140             | 110                      | 3.101                      |
| 68    | F8U906 | 9.580            | 9.690            | 9.510            | 28.780             | 110                      | 2.954                      |
| 69    | ANX777 | 10.360           | 9.540            | 9.300            | 29.200             | 110                      | 3.126                      |
| 70    | ANX931 | 10.520           | 10.440           | 10.260           | 31.220             | 110                      | 4.058                      |

Fuente: Elaboración Propia

**Tabla 8. Daño del eje tridem (EALF)**

| Orden | Placa  | Eje 4 Peso (Ton) | Eje 5 Peso (Ton) | Eje 6 Peso (Ton) | Suma Peso Conjunto | Presión de Inflado (psi) | Formula de la 4ta potencia |
|-------|--------|------------------|------------------|------------------|--------------------|--------------------------|----------------------------|
| 71    | A2C933 | 14.700           | 11.360           | 10.980           | 37.040             | 110                      | 7.904                      |
| 72    | AAS772 | 9.420            | 12.260           | 11.800           | 33.480             | 110                      | 5.329                      |
| 73    | C9F721 | 5.520            | 12.600           | 12.220           | 30.340             | 110                      | 3.630                      |
| 74    | D5Q877 | 8.560            | 7.460            | 7.580            | 23.600             | 110                      | 1.363                      |
| 75    | F3X768 | 9.860            | 9.620            | 9.650            | 29.130             | 110                      | 3.097                      |
| 76    | F3X720 | 7.300            | 11.120           | 11.800           | 30.220             | 120                      | 3.574                      |
| 77    | B4R743 | 9.780            | 9.100            | 9.220            | 28.100             | 110                      | 2.691                      |
| 78    | ART816 | 12.760           | 8.580            | 11.160           | 32.500             | 120                      | 4.746                      |
| 79    | ART855 | 9.540            | 7.920            | 10.140           | 27.600             | 120                      | 2.509                      |
| 80    | B7I853 | 10.860           | 10.140           | 9.240            | 30.240             | 110                      | 3.583                      |
| 81    | C9K931 | 12.900           | 13.190           | 12.700           | 38.790             | 110                      | 9.463                      |
| 82    | B7Q936 | 8.890            | 11.230           | 13.160           | 33.280             | 110                      | 5.206                      |
| 83    | C4C779 | 11.270           | 9.010            | 10.680           | 30.960             | 110                      | 3.928                      |
| 84    | D0P913 | 10.380           | 10.500           | 12.280           | 33.160             | 110                      | 5.134                      |
| 85    | A5K802 | 8.960            | 8.230            | 8.810            | 26.000             | 120                      | 1.988                      |
| 86    | D8S940 | 3.980            | 11.680           | 13.320           | 28.980             | 100                      | 3.035                      |
| 87    | ANL845 | 10.500           | 10.580           | 10.320           | 31.400             | 110                      | 4.150                      |
| 88    | T8I867 | 11.450           | 10.420           | 8.310            | 30.180             | 120                      | 3.556                      |
| 89    | F9D900 | 9.860            | 9.760            | 9.570            | 29.190             | 100                      | 3.122                      |
| 90    | B1W821 | 4.320            | 10.960           | 11.110           | 26.390             | 110                      | 2.107                      |
| 91    | T5R842 | 5.080            | 12.140           | 11.860           | 29.080             | 110                      | 3.076                      |
| 92    | ALS731 | 10.440           | 11.080           | 11.030           | 32.550             | 110                      | 4.775                      |
| 93    | A3Y822 | 7.460            | 9.390            | 9.690            | 26.540             | 110                      | 2.154                      |
| 94    | A9I875 | 9.400            | 9.380            | 9.480            | 28.260             | 120                      | 2.752                      |
| 95    | ARI929 | 9.480            | 9.080            | 9.440            | 28.000             | 110                      | 2.654                      |
| 96    | D9P905 | 10.830           | 9.820            | 10.810           | 31.460             | 120                      | 4.181                      |
| 97    | F2G915 | 0.930            | 10.050           | 11.050           | 22.030             | 120                      | 1.042                      |
| 98    | C8H903 | 7.840            | 8.140            | 8.010            | 23.990             | 110                      | 1.453                      |
| 99    | C4O845 | 10.860           | 10.910           | 12.850           | 34.620             | 120                      | 6.073                      |
| 100   | AEM925 | 8.820            | 10.710           | 10.460           | 29.990             | 120                      | 3.469                      |
| 101   | A3M845 | 10.730           | 9.070            | 7.990            | 27.790             | 110                      | 2.577                      |
| 102   | D2Q938 | 9.130            | 11.290           | 9.830            | 30.250             | 110                      | 3.588                      |
| 103   | B7B779 | 12.620           | 12.270           | 10.610           | 35.500             | 110                      | 6.697                      |
| 104   | F6G921 | 8.650            | 9.660            | 11.040           | 29.350             | 110                      | 3.189                      |
| 105   | D2H765 | 10.860           | 10.470           | 10.730           | 32.060             | 120                      | 4.501                      |
| 106   | F9C923 | 9.880            | 9.540            | 9.900            | 29.320             | 120                      | 3.177                      |
| 107   | C1V842 | 10.720           | 10.500           | 10.630           | 31.850             | 120                      | 4.387                      |
| 108   | AAZ750 | 10.340           | 9.960            | 10.160           | 30.460             | 120                      | 3.686                      |
| 109   | F3X768 | 9.860            | 9.620            | 9.650            | 29.130             | 110                      | 3.097                      |
| 110   | B5P752 | 11.340           | 8.720            | 11.390           | 31.450             | 120                      | 4.176                      |
| 111   | D2Y863 | 9.770            | 9.700            | 9.470            | 28.940             | 120                      | 3.019                      |
| 112   | C2A733 | 11.350           | 10.640           | 11.360           | 33.350             | 110                      | 5.249                      |
| 113   | APC748 | 11.260           | 11.400           | 11.590           | 34.250             | 110                      | 5.824                      |
| 114   | C6O841 | 9.640            | 9.990            | 9.050            | 28.680             | 100                      | 2.915                      |
| 115   | C1G855 | 9.740            | 11.570           | 11.380           | 32.690             | 120                      | 4.856                      |
| 116   | C5V869 | 4.740            | 12.850           | 12.390           | 29.980             | 120                      | 3.465                      |
| 117   | F3Z741 | 8.820            | 9.740            | 10.620           | 29.180             | 120                      | 3.118                      |
| 118   | ANX822 | 9.430            | 9.150            | 9.160            | 27.740             | 115                      | 2.559                      |
| 119   | F8U792 | 9.520            | 9.140            | 9.270            | 27.930             | 120                      | 2.628                      |
| 120   | F8V729 | 8.830            | 9.560            | 9.340            | 27.730             | 115                      | 2.556                      |
| 121   | ANX865 | 8.490            | 9.670            | 9.540            | 27.700             | 120                      | 2.545                      |
| 122   | F8U786 | 9.060            | 8.970            | 9.070            | 27.100             | 120                      | 2.337                      |
| 123   | B4H789 | 6.980            | 11.410           | 13.650           | 32.040             | 115                      | 4.490                      |
| 124   | F8U906 | 9.580            | 9.690            | 9.510            | 28.780             | 120                      | 2.954                      |
| 125   | ANM822 | 12.510           | 5.000            | 6.200            | 23.710             | 110                      | 1.388                      |
| 126   | A7S941 | 11.640           | 8.680            | 8.910            | 29.230             | 115                      | 3.139                      |
| 127   | F2D706 | 12.280           | 8.210            | 6.880            | 27.370             | 115                      | 2.429                      |
| 128   | C5Q798 | 8.450            | 8.740            | 8.690            | 25.880             | 115                      | 1.952                      |
| 129   | AUP847 | 9.550            | 8.890            | 9.200            | 27.640             | 115                      | 2.524                      |
| 130   | F1D702 | 10.730           | 11.040           | 11.250           | 33.020             | 110                      | 5.050                      |
| 131   | D1S896 | 9.230            | 9.340            | 9.360            | 27.930             | 120                      | 2.628                      |
| 132   | F5J840 | 10.730           | 10.670           | 10.990           | 32.390             | 115                      | 4.684                      |
| 133   | C8C916 | 9.190            | 9.030            | 9.310            | 27.530             | 120                      | 2.485                      |
| 134   | C5B919 | 12.040           | 11.050           | 12.030           | 35.120             | 120                      | 6.422                      |
| 135   | B7M837 | 9.490            | 8.550            | 8.830            | 26.870             | 120                      | 2.260                      |
| 136   | F5S894 | 6.280            | 13.400           | 12.050           | 31.730             | 115                      | 4.323                      |
| 137   | ATU858 | 11.060           | 10.780           | 10.980           | 32.820             | 115                      | 4.931                      |

Fuente: Elaboración Propia











**Objetivo específico 1:** Estimar los esfuerzos provocados por ejes súper simples para fines del diseño del pavimento flexible.

Para poder analizar el daño que generan los ejes súper simples en el pavimento flexible se realizó un análisis mecanístico en el software denominado KENPAVE en un modelo estructural específico, en este caso nos enfocaremos en el eje Trídem Súper Simple y lo compararemos con un eje Trídem Convencional. Por lo cual, se requiere hallar los estados de esfuerzo, deformación y deflexión para el siguiente modelo estructural. De acuerdo a la Figura N°49 se aprecia la ventana “Igraph” del software KENPAVE se observa la modelación de un eje tridem súper simple, esta ventana arroja un gráfico del análisis estructural del pavimento.

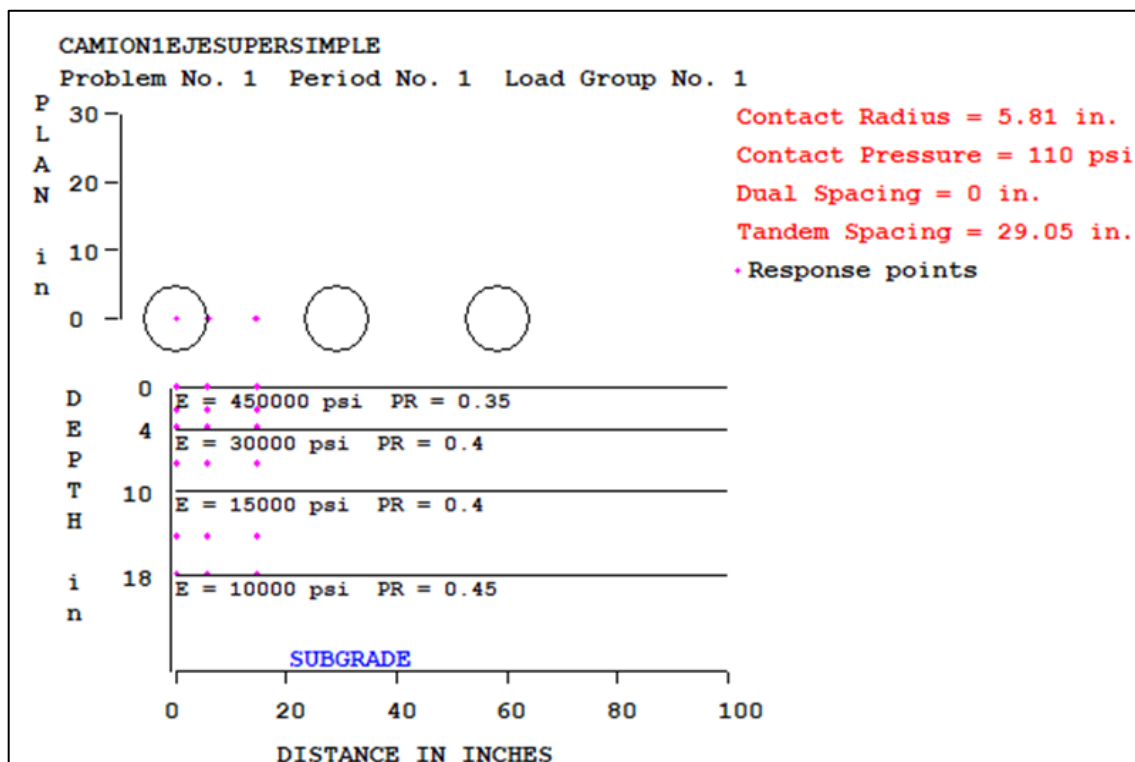


Figura 49. Geometría de modelación en planta y perfil (Eje Tridem Súper Simple)

Fuente: Software KENPAVE

En la Figura N°50 se observa la modelación de un eje Trídem Convencional, se aprecia la ventana “Igraph” del software KENPAVE.

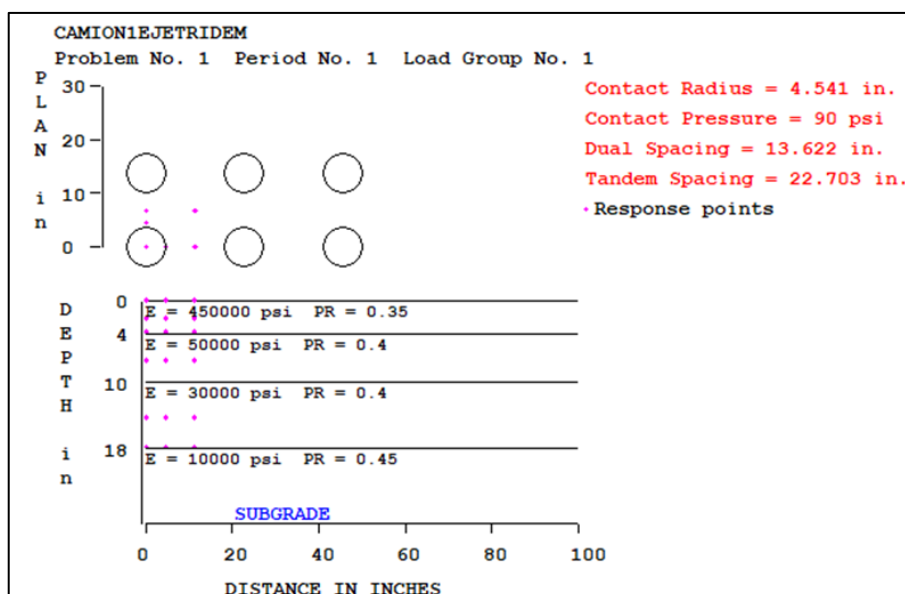


Figura 50. Geometría de modelación en planta y perfil (Eje Trídem Convencional)

Fuente: Software KENPAVE

A continuación, en la Tabla N°13 los esfuerzo que genera un eje Súper Simple y en la Tabla N°14 los esfuerzo que generan un eje Trídem Convencional y en la Tabla N°15 la relación de ambos.

Tabla 13. Esfuerzo de un Eje Tridem Súper Simple

| Puntos de análisis | Profundidades (pulgadas) | T3S3 N°1 Tridem Super Simple |            |
|--------------------|--------------------------|------------------------------|------------|
|                    |                          | Esfuerzo (psi)               |            |
|                    |                          | Vertical                     | Horizontal |
| 1                  | 0                        | 110.00                       | 377.959    |
| 2                  | 2                        | 78.514                       | 47.371     |
| 3                  | 4                        | 40.325                       | -255.14    |
| 4                  | 7                        | 25.918                       | -1.221     |
| 5                  | 14                       | 11.714                       | 0.029      |
| 6                  | 18                       | 8.745                        | -1.382     |
| 7                  | 60                       | 2.346                        | 0.182      |

Fuente: Elaboración Propia

**Tabla 14. Esfuerzo de Eje Tridem Convencional**

| Puntos de análisis | Profundidades (pulgadas) | T3S3 N°1 Tridem Convencional |            |
|--------------------|--------------------------|------------------------------|------------|
|                    |                          | Esfuerzo (psi)               |            |
|                    |                          | Vertical                     | Horizontal |
| 1                  | 0                        | 90.00                        | 284.093    |
| 2                  | 2                        | 62.336                       | 35.607     |
| 3                  | 4                        | 27.313                       | -160.808   |
| 4                  | 7                        | 17.941                       | -0.569     |
| 5                  | 14                       | 9.782                        | 0.119      |
| 6                  | 18                       | 7.996                        | -0.993     |
| 7                  | 60                       | 2.552                        | 0.135      |

Fuente: Elaboración Propia

**Tabla 15. Relación**

| Puntos de análisis | Profundidades (pulgadas) | Relación       |            |
|--------------------|--------------------------|----------------|------------|
|                    |                          | Esfuerzo (psi) |            |
|                    |                          | Vertical       | Horizontal |
| 1                  | 0                        | 1.222          | 1.330      |
| 2                  | 2                        | 1.260          | 1.330      |
| 3                  | 4                        | 1.476          | 1.587      |
| 4                  | 7                        | 1.445          | 2.146      |
| 5                  | 14                       | 1.198          | 0.244      |
| 6                  | 18                       | 1.094          | 1.392      |
| 7                  | 60                       | 0.919          | 1.348      |

Fuente: Elaboración Propia

De acuerdo a la figura N°51 se hizo un gráfico en el cual se muestra el esfuerzo que genera un Eje Tridem Súper Simple y de un Eje Tridem Convencional a diferentes puntos de profundidad.

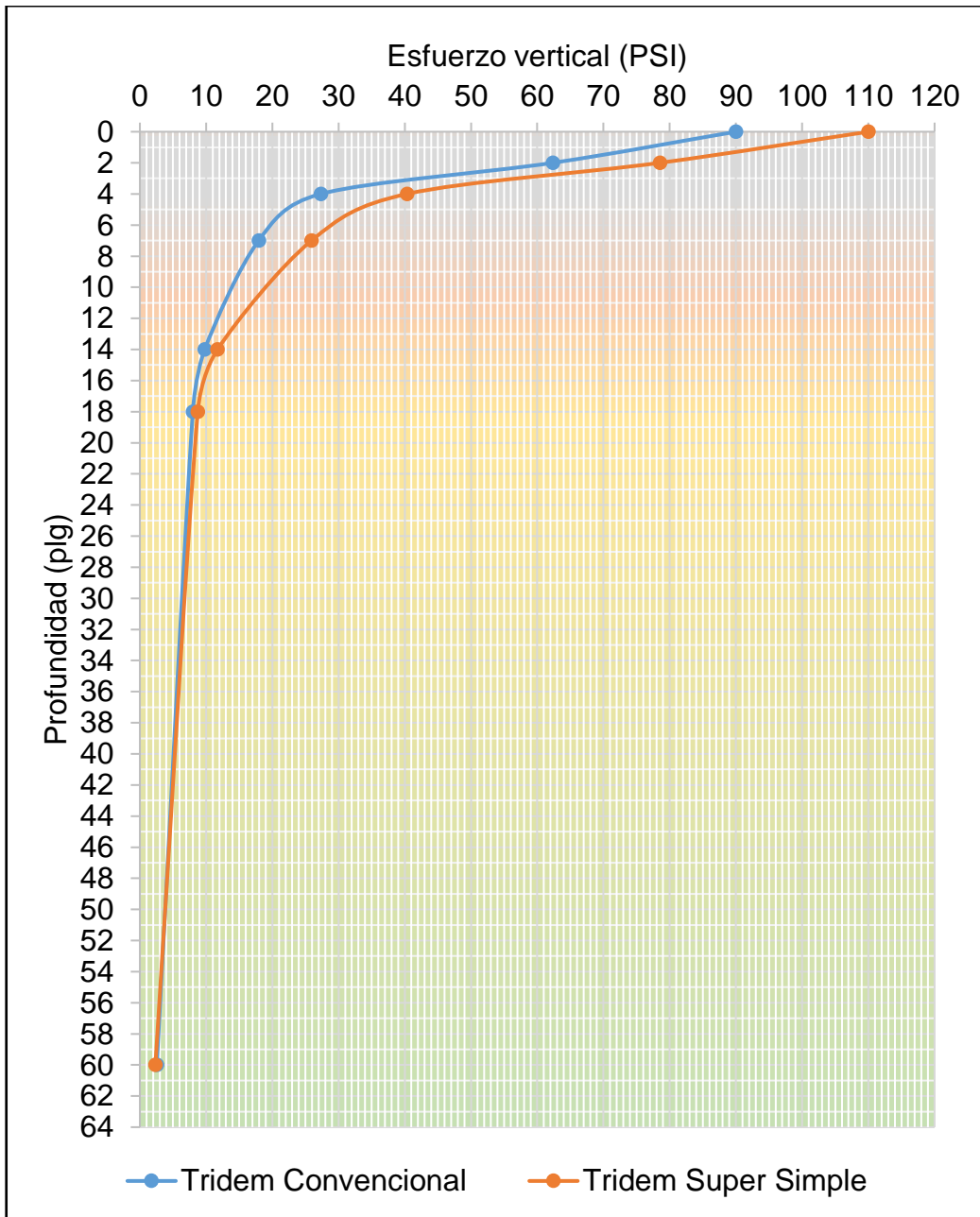
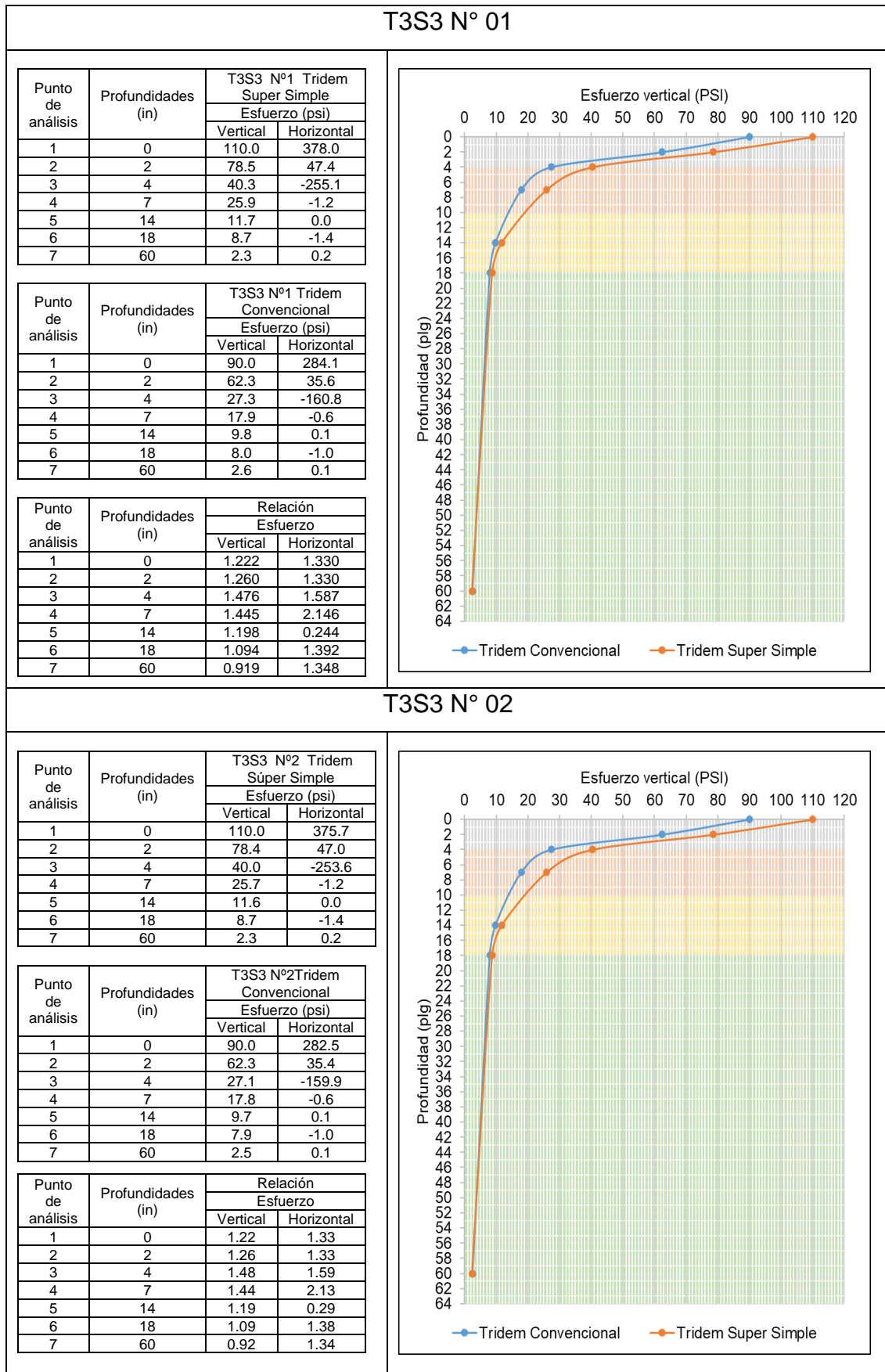


Figura 51. Distribucion de esfuerzos

Fuente: Elaboración Propia

A continuación, se muestra el análisis de esfuerzo a partir de los de los datos de pesaje realizado.

**Tabla 16. Análisis de Esfuerzo**

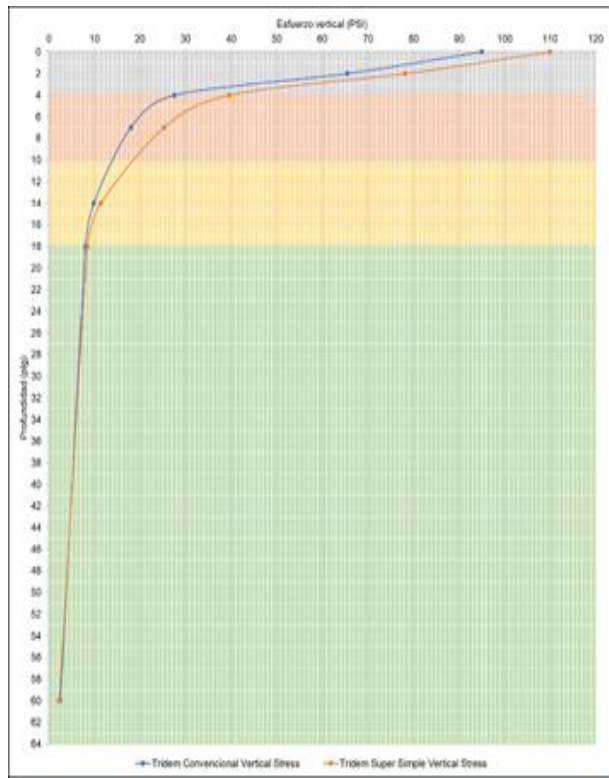


### T3S3 N° 03

| Punto de análisis | Profundidades (in) | T3S3 N°3 Tridem Súper Simple |            |
|-------------------|--------------------|------------------------------|------------|
|                   |                    | Esfuerzo (psi)               |            |
|                   |                    | Vertical                     | Horizontal |
| 1                 | 0                  | 110.0                        | 372.3      |
| 2                 | 2                  | 78.2                         | 46.4       |
| 3                 | 4                  | 39.6                         | -251.2     |
| 4                 | 7                  | 25.3                         | -1.2       |
| 5                 | 14                 | 11.4                         | 0.0        |
| 6                 | 18                 | 8.5                          | -1.3       |
| 7                 | 60                 | 2.3                          | 0.2        |

| Punto de análisis | Profundidades (in) | T3S3 N°3 Tridem Convencional |            |
|-------------------|--------------------|------------------------------|------------|
|                   |                    | Esfuerzo (psi)               |            |
|                   |                    | Vertical                     | Horizontal |
| 1                 | 0                  | 95.0                         | 289.4      |
| 2                 | 2                  | 65.5                         | 35.9       |
| 3                 | 4                  | 27.5                         | -163.4     |
| 4                 | 7                  | 18.0                         | -0.6       |
| 5                 | 14                 | 9.8                          | 0.1        |
| 6                 | 18                 | 8.0                          | -1.0       |
| 7                 | 60                 | 2.5                          | 0.1        |

| Punto de análisis | Profundidades (in) | Relación Esfuerzo |            |
|-------------------|--------------------|-------------------|------------|
|                   |                    | Vertical          | Horizontal |
|                   |                    | 1                 | 0          |
| 2                 | 2                  | 1.20              | 1.29       |
| 3                 | 4                  | 1.44              | 1.54       |
| 4                 | 7                  | 1.41              | 2.02       |
| 5                 | 14                 | 1.16              | 0.45       |
| 6                 | 18                 | 1.06              | 1.29       |
| 7                 | 60                 | 0.91              | 1.40       |

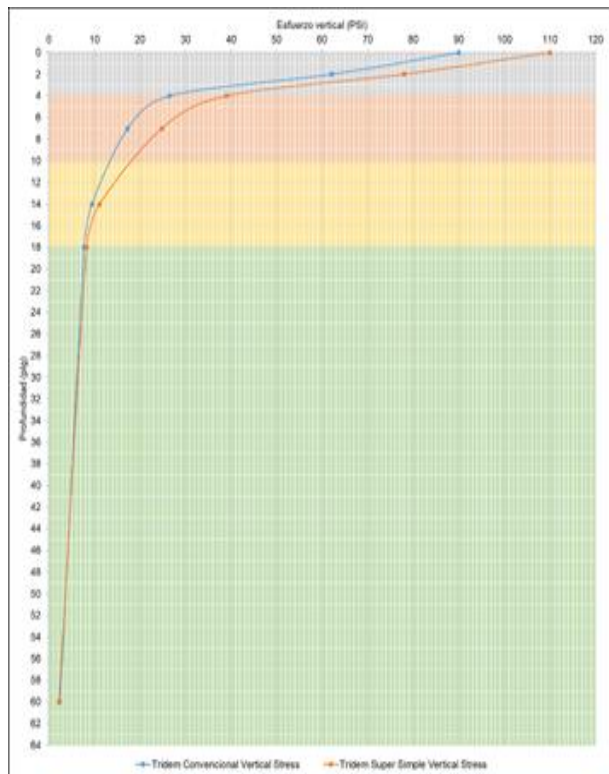


### T3S3 N° 04

| Punto de análisis | Profundidades (in) | T3S3 N°4 Tridem Súper Simple |            |
|-------------------|--------------------|------------------------------|------------|
|                   |                    | Esfuerzo (psi)               |            |
|                   |                    | Vertical                     | Horizontal |
| 1                 | 0                  | 110.0                        | 368.3      |
| 2                 | 2                  | 78.0                         | 45.8       |
| 3                 | 4                  | 39.0                         | -248.4     |
| 4                 | 7                  | 24.9                         | -1.1       |
| 5                 | 14                 | 11.2                         | 0.0        |
| 6                 | 18                 | 8.4                          | -1.3       |
| 7                 | 60                 | 2.2                          | 0.2        |

| Punto de análisis | Profundidades (in) | T3S3 N°4 Tridem Convencional |            |
|-------------------|--------------------|------------------------------|------------|
|                   |                    | Esfuerzo (psi)               |            |
|                   |                    | Vertical                     | Horizontal |
| 1                 | 0                  | 90.0                         | 277.5      |
| 2                 | 2                  | 62.1                         | 34.5       |
| 3                 | 4                  | 26.5                         | -156.8     |
| 4                 | 7                  | 17.3                         | -0.6       |
| 5                 | 14                 | 9.5                          | 0.1        |
| 6                 | 18                 | 7.7                          | -1.0       |
| 7                 | 60                 | 2.4                          | 0.1        |

| Punto de análisis | Profundidades (in) | Relación Esfuerzo |            |
|-------------------|--------------------|-------------------|------------|
|                   |                    | Vertical          | Horizontal |
|                   |                    | 1                 | 0          |
| 2                 | 2                  | 1.26              | 1.33       |
| 3                 | 4                  | 1.47              | 1.58       |
| 4                 | 7                  | 1.43              | 2.05       |
| 5                 | 14                 | 1.18              | 0.47       |
| 6                 | 18                 | 1.08              | 1.32       |
| 7                 | 60                 | 0.92              | 1.35       |

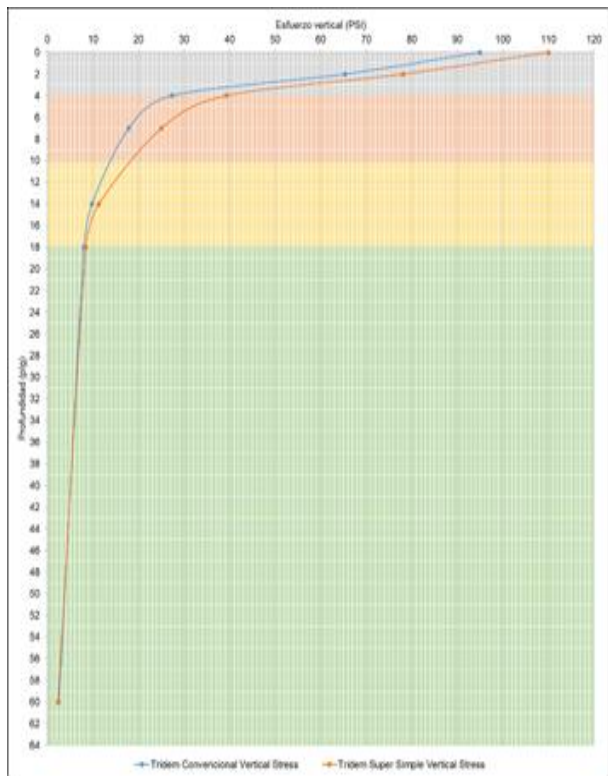


### T3S3 N° 05

| Punto de análisis | Profundidades (in) | T3S3 N°5 Tridem Súper Simple |            |
|-------------------|--------------------|------------------------------|------------|
|                   |                    | Esfuerzo (psi)               |            |
|                   |                    | Vertical                     | Horizontal |
| 1                 | 0                  | 110.0                        | 370.0      |
| 2                 | 2                  | 78.1                         | 46.0       |
| 3                 | 4                  | 39.2                         | -249.6     |
| 4                 | 7                  | 25.1                         | -1.2       |
| 5                 | 14                 | 11.3                         | 0.0        |
| 6                 | 18                 | 8.4                          | -1.3       |
| 7                 | 60                 | 2.3                          | 0.2        |

| Punto de análisis | Profundidades (in) | T3S3 N°5 Tridem Convencional |            |
|-------------------|--------------------|------------------------------|------------|
|                   |                    | Esfuerzo (psi)               |            |
|                   |                    | Vertical                     | Horizontal |
| 1                 | 0                  | 95.0                         | 287.6      |
| 2                 | 2                  | 65.4                         | 35.6       |
| 3                 | 4                  | 27.3                         | -162.4     |
| 4                 | 7                  | 17.8                         | -0.6       |
| 5                 | 14                 | 9.7                          | 0.1        |
| 6                 | 18                 | 8.0                          | -1.0       |
| 7                 | 60                 | 2.5                          | 0.1        |

| Punto de análisis | Profundidades (in) | Relación Esfuerzo |            |
|-------------------|--------------------|-------------------|------------|
|                   |                    | Vertical          | Horizontal |
|                   |                    | 1                 | 0          |
| 2                 | 2                  | 1.19              | 1.29       |
| 3                 | 4                  | 1.44              | 1.54       |
| 4                 | 7                  | 1.41              | 2.00       |
| 5                 | 14                 | 1.16              | 0.53       |
| 6                 | 18                 | 1.06              | 1.28       |
| 7                 | 60                 | 0.91              | 1.40       |

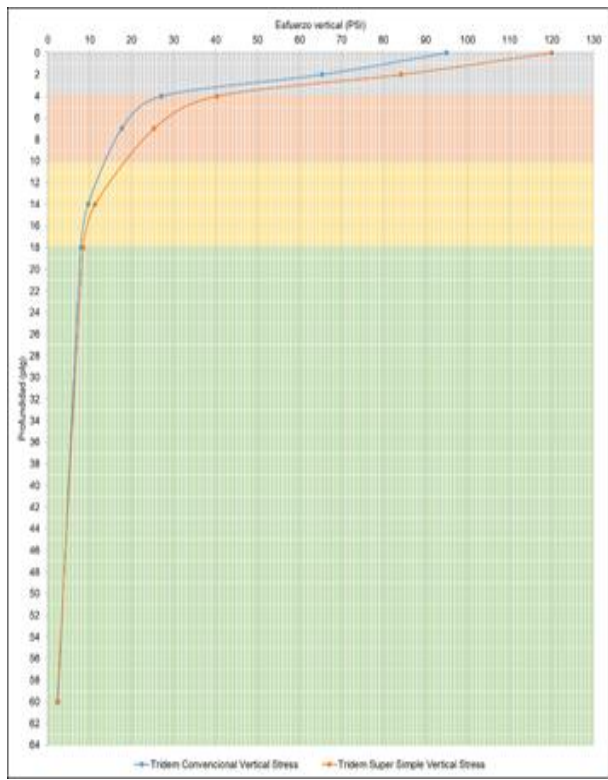


### T3S3 N° 06

| Punto de análisis | Profundidades (in) | T3S3 N°6 Tridem Súper Simple |            |
|-------------------|--------------------|------------------------------|------------|
|                   |                    | Esfuerzo (psi)               |            |
|                   |                    | Vertical                     | Horizontal |
| 1                 | 0                  | 120.0                        | 390.0      |
| 2                 | 2                  | 84.2                         | 47.3       |
| 3                 | 4                  | 40.3                         | -259.4     |
| 4                 | 7                  | 25.4                         | -1.1       |
| 5                 | 14                 | 11.4                         | 0.1        |
| 6                 | 18                 | 8.5                          | -1.3       |
| 7                 | 60                 | 2.3                          | 0.2        |

| Punto de análisis | Profundidades (in) | T3S3 N°6 Tridem Convencional |            |
|-------------------|--------------------|------------------------------|------------|
|                   |                    | Esfuerzo (psi)               |            |
|                   |                    | Vertical                     | Horizontal |
| 1                 | 0                  | 95.0                         | 255.6      |
| 2                 | 2                  | 65.3                         | 35.3       |
| 3                 | 4                  | 27.1                         | -161.3     |
| 4                 | 7                  | 17.7                         | -0.6       |
| 5                 | 14                 | 9.7                          | 0.1        |
| 6                 | 18                 | 7.9                          | -1.0       |
| 7                 | 60                 | 2.5                          | 0.1        |

| Punto de análisis | Profundidades (in) | Relación Esfuerzo |            |
|-------------------|--------------------|-------------------|------------|
|                   |                    | Vertical          | Horizontal |
|                   |                    | 1                 | 0          |
| 2                 | 2                  | 1.29              | 1.34       |
| 3                 | 4                  | 1.49              | 1.61       |
| 4                 | 7                  | 1.44              | 1.95       |
| 5                 | 14                 | 1.18              | 0.91       |
| 6                 | 18                 | 1.08              | 1.27       |
| 7                 | 60                 | 0.93              | 1.34       |



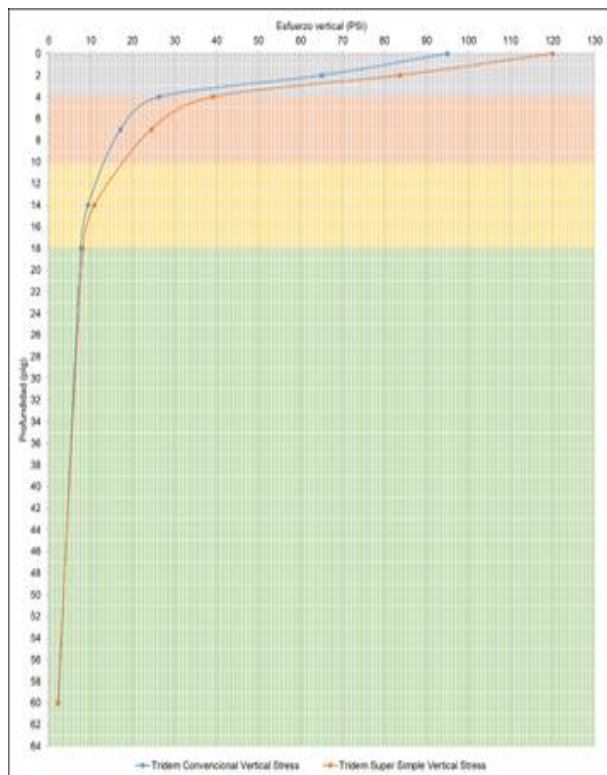


### T3S3 N° 07

| Punto de análisis | Profundidades (in) | T3S3 N°7 Tridem Súper Simple |            |
|-------------------|--------------------|------------------------------|------------|
|                   |                    | Esfuerzo (psi)               |            |
|                   |                    | Vertical                     | Horizontal |
| 1                 | 0                  | 120.0                        | 381.0      |
| 2                 | 2                  | 83.7                         | 45.9       |
| 3                 | 4                  | 39.1                         | -253.0     |
| 4                 | 7                  | 24.5                         | -1.1       |
| 5                 | 14                 | 10.9                         | 0.1        |
| 6                 | 18                 | 8.2                          | -1.2       |
| 7                 | 60                 | 2.2                          | 0.1        |

| Punto de análisis | Profundidades (in) | T3S3 N°7 Tridem Convencional |            |
|-------------------|--------------------|------------------------------|------------|
|                   |                    | Esfuerzo (psi)               |            |
|                   |                    | Esfuerzo                     | Horizontal |
| 1                 | 0                  | 95.0                         | 247.8      |
| 2                 | 2                  | 65.1                         | 34.3       |
| 3                 | 4                  | 26.3                         | -157.3     |
| 4                 | 7                  | 17.1                         | -0.6       |
| 5                 | 14                 | 9.4                          | 0.0        |
| 6                 | 18                 | 7.7                          | -1.0       |
| 7                 | 60                 | 2.4                          | 0.1        |

| Punto de análisis | Profundidades (in) | Relación Esfuerzo |            |
|-------------------|--------------------|-------------------|------------|
|                   |                    | Vertical          | Horizontal |
|                   |                    | 1                 | 0          |
| 2                 | 2                  | 1.29              | 1.34       |
| 3                 | 4                  | 1.49              | 1.61       |
| 4                 | 7                  | 1.43              | 1.86       |
| 5                 | 14                 | 1.16              | 1.58       |
| 6                 | 18                 | 1.07              | 1.22       |
| 7                 | 60                 | 0.93              | 1.35       |

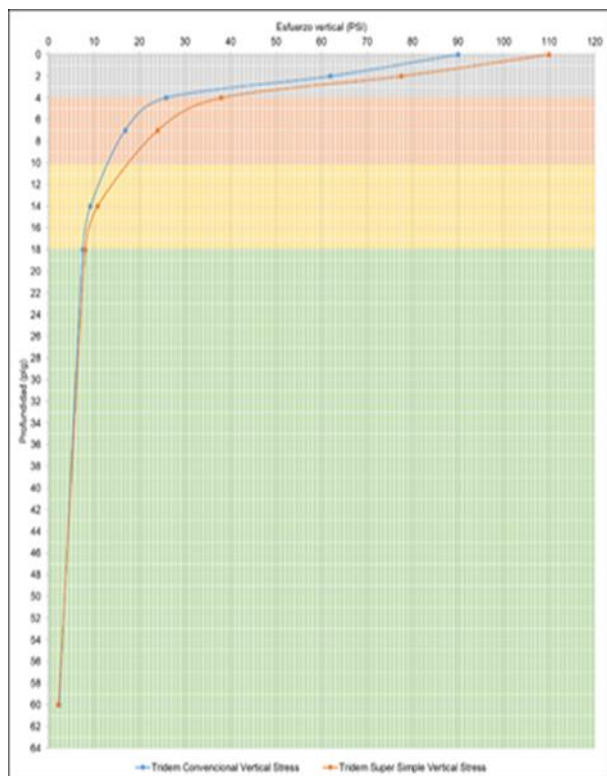


### T3S3 N° 08

| Punto de análisis | Profundidades (in) | T3S3 N°8 Tridem Súper Simple |            |
|-------------------|--------------------|------------------------------|------------|
|                   |                    | Esfuerzo (psi)               |            |
|                   |                    | Vertical                     | Horizontal |
| 1                 | 0                  | 110.0                        | 360.3      |
| 2                 | 2                  | 77.5                         | 44.5       |
| 3                 | 4                  | 37.9                         | -242.7     |
| 4                 | 7                  | 24.0                         | -1.1       |
| 5                 | 14                 | 10.8                         | 0.1        |
| 6                 | 18                 | 8.1                          | -1.2       |
| 7                 | 60                 | 2.2                          | 0.2        |

| Punto de análisis | Profundidades (in) | T3S3 N°8 Tridem Convencional |            |
|-------------------|--------------------|------------------------------|------------|
|                   |                    | Esfuerzo (psi)               |            |
|                   |                    | Vertical                     | Horizontal |
| 1                 | 0                  | 90.0                         | 243.1      |
| 2                 | 2                  | 61.9                         | 33.6       |
| 3                 | 4                  | 25.8                         | -153.4     |
| 4                 | 7                  | 16.8                         | -0.5       |
| 5                 | 14                 | 9.2                          | 0.1        |
| 6                 | 18                 | 7.5                          | -1.0       |
| 7                 | 60                 | 2.4                          | 0.1        |

| Punto de análisis | Profundidades (in) | Relación Esfuerzo |            |
|-------------------|--------------------|-------------------|------------|
|                   |                    | Vertical          | Horizontal |
|                   |                    | 1                 | 0          |
| 2                 | 2                  | 1.25              | 1.32       |
| 3                 | 4                  | 1.47              | 1.58       |
| 4                 | 7                  | 1.43              | 1.97       |
| 5                 | 14                 | 1.17              | 0.76       |
| 6                 | 18                 | 1.07              | 1.27       |
| 7                 | 60                 | 0.92              | 1.36       |

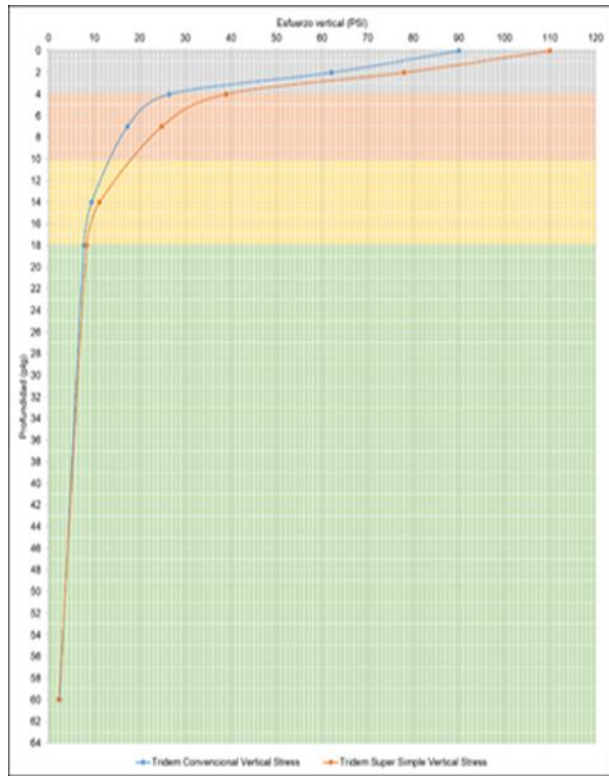


### T3S3 N° 09

| Punto de análisis | Profundidades (in) | T3S3 N°9 Tridem Súper Simple<br>Esfuerzo (psi) |            |
|-------------------|--------------------|--|------------|
|                   |                    | Vertical                                       | Horizontal |
|                   |                    | 1  | 0          |
| 2                 | 2                  | 78.0   | 45.7       |
| 3                 | 4                  | 38.9   | -248.0     |
| 4                 | 7                  | 24.8   | -1.1       |
| 5                 | 14                 | 11.2   | 0.0        |
| 6                 | 18                 | 8.3  | -1.3       |
| 7                 | 60                 | 2.2  | 0.2        |

| Punto de análisis | Profundidades (in) | T3S3 N°9 Tridem Convencional<br>Esfuerzo (psi) |            |
|-------------------|--------------------|--|------------|
|                   |                    | Vertical                                       | Horizontal |
|                   |                    | 1  | 0          |
| 2                 | 2                  | 62.1   | 34.5       |
| 3                 | 4                  | 26.4   | -156.6     |
| 4                 | 7                  | 17.3   | -0.6       |
| 5                 | 14                 | 9.4  | 0.1        |
| 6                 | 18                 | 7.7  | -1.0       |
| 7                 | 60                 | 2.4  | 0.1        |

| Punto de análisis | Profundidades (in) | Relación<br>Esfuerzo |            |
|-------------------|--------------------|----------------------|------------|
|                   |                    | Vertical             | Horizontal |
|                   |                    | 1                    | 0          |
| 2                 | 2                  | 1.26                 | 1.32       |
| 3                 | 4                  | 1.47                 | 1.58       |
| 4                 | 7                  | 1.43                 | 2.05       |
| 5                 | 14                 | 1.18                 | 0.48       |
| 6                 | 18                 | 1.08                 | 1.32       |
| 7                 | 60                 | 0.92                 | 1.35       |

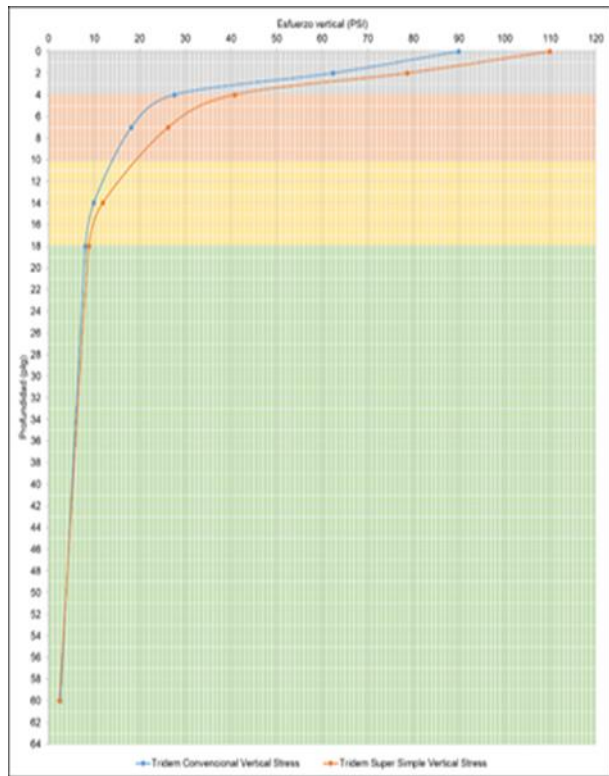


### T3S3 N° 10

| Punto de análisis | Profundidades (in) | T3S3 N°10 Tridem Súper Simple<br>Esfuerzo (psi) |            |
|-------------------|--------------------|---|------------|
|                   |                    | Vertical  | Horizontal |
|                   |                    | 1   | 0          |
| 2                 | 2                  | 78.7  | 47.9       |
| 3                 | 4                  | 40.8  | -257.5     |
| 4                 | 7                  | 26.3  | -1.2       |
| 5                 | 14                 | 11.9  | 0.0        |
| 6                 | 18                 | 8.9   | -1.4       |
| 7                 | 60                 | 2.4   | 0.2        |

| Punto de análisis | Profundidades (in) | T3S3 N°10 Tridem Convencional<br>Esfuerzo (psi) |            |
|-------------------|--------------------|---|------------|
|                   |                    | Vertical  | Horizontal |
|                   |                    | 1   | 0          |
| 2                 | 2                  | 62.4  | 36.0       |
| 3                 | 4                  | 27.6  | -162.3     |
| 4                 | 7                  | 18.2  | -0.6       |
| 5                 | 14                 | 9.9   | 0.1        |
| 6                 | 18                 | 8.1   | -1.0       |
| 7                 | 60                 | 2.6   | 0.1        |

| Punto de análisis | Profundidades (in) | Relación<br>Esfuerzo |            |
|-------------------|--------------------|----------------------|------------|
|                   |                    | Vertical             | Horizontal |
|                   |                    | 1                    | 0          |
| 2                 | 2                  | 1.26                 | 1.33       |
| 3                 | 4                  | 1.48                 | 1.59       |
| 4                 | 7                  | 1.45                 | 2.17       |
| 5                 | 14                 | 1.20                 | 0.18       |
| 6                 | 18                 | 1.10                 | 1.42       |
| 7                 | 60                 | 0.92                 | 1.34       |

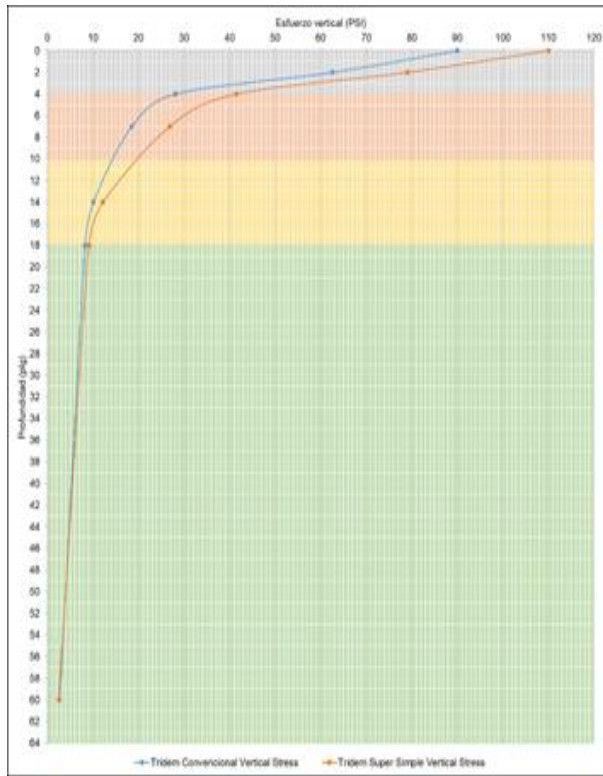


### T3S3 N° 11

| Punto de análisis | Profundidades (in) | T3S3 N°11 Tridem Súper Simple |            |
|-------------------|--------------------|-------------------------------|------------|
|                   |                    | Esfuerzo (psi)                |            |
|                   |                    | Vertical                      | Horizontal |
| 1                 | 0                  | 110.0                         | 386.4      |
| 2                 | 2                  | 79.0                          | 48.8       |
| 3                 | 4                  | 41.5                          | -260.9     |
| 4                 | 7                  | 26.8                          | -1.3       |
| 5                 | 14                 | 12.2                          | 0.0        |
| 6                 | 18                 | 9.1                           | -1.5       |
| 7                 | 60                 | 2.4                           | 0.2        |

| Punto de análisis | Profundidades (in) | T3S3 N°11 Tridem Convencional |            |
|-------------------|--------------------|-------------------------------|------------|
|                   |                    | Esfuerzo (psi)                |            |
|                   |                    | Vertical                      | Horizontal |
| 1                 | 0                  | 90.0                          | 290.1      |
| 2                 | 2                  | 62.6                          | 36.6       |
| 3                 | 4                  | 28.1                          | -164.3     |
| 4                 | 7                  | 18.5                          | -0.6       |
| 5                 | 14                 | 10.1                          | 0.1        |
| 6                 | 18                 | 8.2                           | -1.0       |
| 7                 | 60                 | 2.7                           | 0.1        |

| Punto de análisis | Profundades (in) | Relación Esfuerzo |            |
|-------------------|------------------|-------------------|------------|
|                   |                  | Vertical          | Horizontal |
|                   |                  | 1                 | 0          |
| 2                 | 2                | 1.26              | 1.33       |
| 3                 | 4                | 1.48              | 1.59       |
| 4                 | 7                | 1.45              | 2.22       |
| 5                 | 14               | 1.21              | 0.09       |
| 6                 | 18               | 1.10              | 1.45       |
| 7                 | 60               | 0.92              | 1.33       |

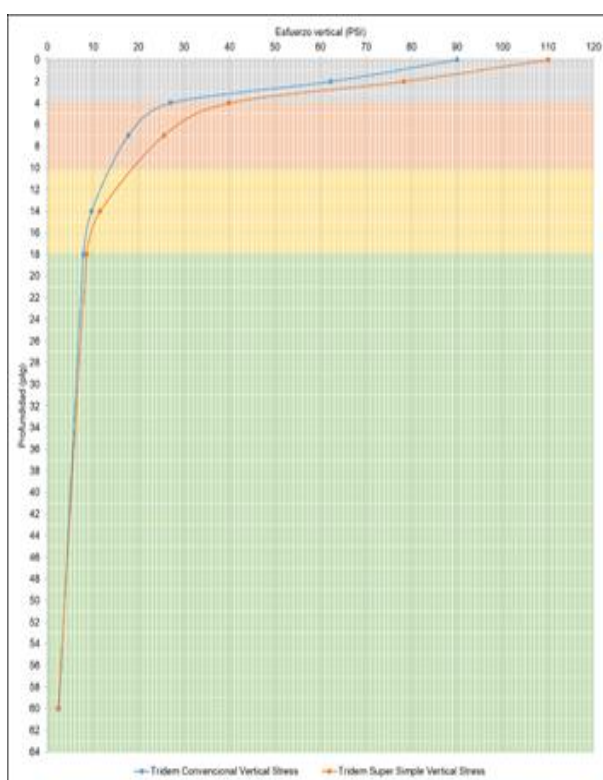


### T3S3 N° 12

| Punto de análisis | Profundades (in) | T3S3 N°12 Tridem Súper Simple |            |
|-------------------|------------------|-------------------------------|------------|
|                   |                  | Esfuerzo (psi)                |            |
|                   |                  | Vertical                      | Horizontal |
| 1                 | 0                | 110.0                         | 374.6      |
| 2                 | 2                | 78.3                          | 46.8       |
| 3                 | 4                | 39.9                          | -252.8     |
| 4                 | 7                | 25.5                          | -1.2       |
| 5                 | 14               | 11.5                          | 0.0        |
| 6                 | 18               | 8.6                           | -1.4       |
| 7                 | 60               | 2.3                           | 0.2        |

| Punto de análisis | Profundades (in) | T3S3 N°12 Tridem Convencional |            |
|-------------------|------------------|-------------------------------|------------|
|                   |                  | Esfuerzo (psi)                |            |
|                   |                  | Vertical                      | Horizontal |
| 1                 | 0                | 90.0                          | 281.8      |
| 2                 | 2                | 62.3                          | 35.2       |
| 3                 | 4                | 27.0                          | -159.4     |
| 4                 | 7                | 17.7                          | -0.6       |
| 5                 | 14               | 9.7                           | 0.1        |
| 6                 | 18               | 7.9                           | -1.0       |
| 7                 | 60               | 2.5                           | 0.1        |

| Punto de análisis | Profundades (in) | Relación Esfuerzo |            |
|-------------------|------------------|-------------------|------------|
|                   |                  | Vertical          | Horizontal |
|                   |                  | 1                 | 0          |
| 2                 | 2                | 1.26              | 1.33       |
| 3                 | 4                | 1.47              | 1.59       |
| 4                 | 7                | 1.44              | 2.11       |
| 5                 | 14               | 1.19              | 0.32       |
| 6                 | 18               | 1.09              | 1.37       |
| 7                 | 60               | 0.92              | 1.34       |

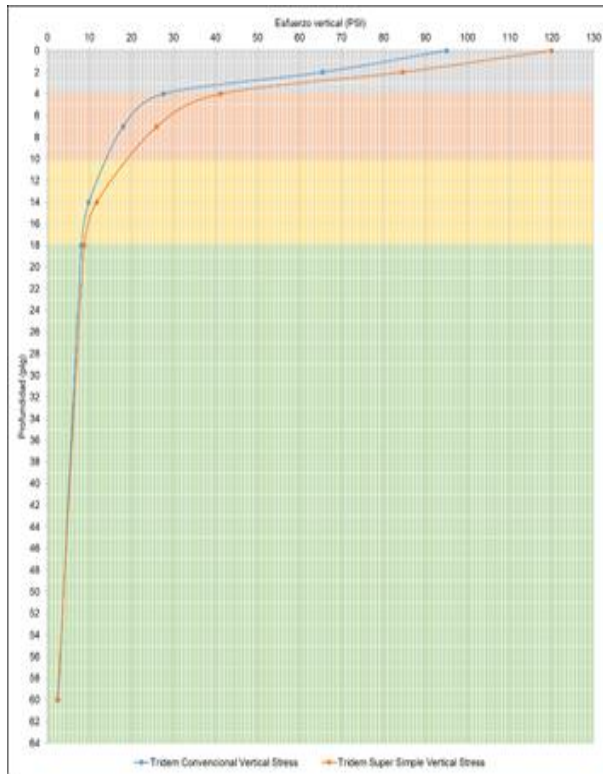


### T3S3 N° 13

| Punto de análisis | Profundidades (in) | T3S3 N°13 Tridem Súper Simple |            |
|-------------------|--------------------|-------------------------------|------------|
|                   |                    | Esfuerzo (psi)                |            |
|                   |                    | Vertical                      | Horizontal |
| 1                 | 0                  | 120.0                         | 391.7      |
| 2                 | 2                  | 84.5                          | 48.3       |
| 3                 | 4                  | 41.2                          | -263.9     |
| 4                 | 7                  | 26.1                          | -1.2       |
| 5                 | 14                 | 11.7                          | 0.1        |
| 6                 | 18                 | 8.7                           | -1.3       |
| 7                 | 60                 | 2.4                           | 0.2        |

| Punto de análisis | Profundidades (in) | T3S3 N°13 Tridem Convencional |            |
|-------------------|--------------------|-------------------------------|------------|
|                   |                    | Esfuerzo (psi)                |            |
|                   |                    | Vertical                      | Horizontal |
| 1                 | 0                  | 95.0                          | 289.8      |
| 2                 | 2                  | 65.5                          | 36.0       |
| 3                 | 4                  | 27.6                          | -163.7     |
| 4                 | 7                  | 18.0                          | -0.6       |
| 5                 | 14                 | 9.8                           | 0.1        |
| 6                 | 18                 | 8.1                           | -1.0       |
| 7                 | 60                 | 2.5                           | 0.1        |

| Punto de análisis | Profundidades (in) | Relación Esfuerzo |            |
|-------------------|--------------------|-------------------|------------|
|                   |                    | Vertical          | Horizontal |
|                   |                    | 1                 | 0          |
| 2                 | 2                  | 1.29              | 1.34       |
| 3                 | 4                  | 1.49              | 1.61       |
| 4                 | 7                  | 1.45              | 2.01       |
| 5                 | 14                 | 1.19              | 0.69       |
| 6                 | 18                 | 1.09              | 1.30       |
| 7                 | 60                 | 0.93              | 1.34       |

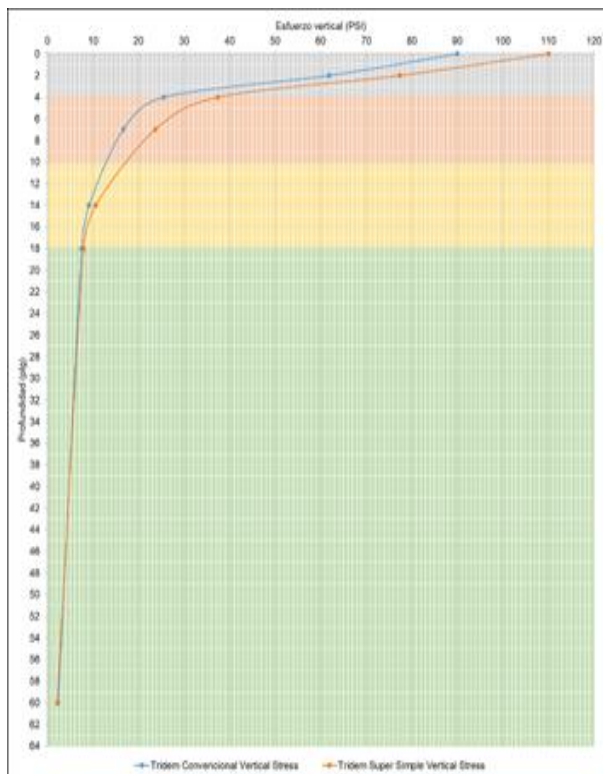


### T3S3 N° 14

| Punto de análisis | Profundidades (in) | T3S3 N°14 Tridem Súper Simple |            |
|-------------------|--------------------|-------------------------------|------------|
|                   |                    | Esfuerzo (psi)                |            |
|                   |                    | Vertical                      | Horizontal |
| 1                 | 0                  | 110.0                         | 361.0      |
| 2                 | 2                  | 77.4                          | 43.9       |
| 3                 | 4                  | 37.4                          | -240.3     |
| 4                 | 7                  | 23.6                          | -1.1       |
| 5                 | 14                 | 10.6                          | 0.1        |
| 6                 | 18                 | 7.9                           | -1.2       |
| 7                 | 60                 | 2.1                           | 0.2        |

| Punto de análisis | Profundidades (in) | T3S3 N°14 Tridem Convencional |            |
|-------------------|--------------------|-------------------------------|------------|
|                   |                    | Esfuerzo (psi)                |            |
|                   |                    | Vertical                      | Horizontal |
| 1                 | 0                  | 90.0                          | 240.9      |
| 2                 | 2                  | 61.8                          | 33.2       |
| 3                 | 4                  | 25.5                          | -151.9     |
| 4                 | 7                  | 16.6                          | -0.5       |
| 5                 | 14                 | 9.1                           | 0.1        |
| 6                 | 18                 | 7.4                           | -1.0       |
| 7                 | 60                 | 2.3                           | 0.1        |

| Punto de análisis | Profundidades (in) | Relación Esfuerzo |            |
|-------------------|--------------------|-------------------|------------|
|                   |                    | Vertical          | Horizontal |
|                   |                    | 1                 | 0          |
| 2                 | 2                  | 1.25              | 1.32       |
| 3                 | 4                  | 1.47              | 1.58       |
| 4                 | 7                  | 1.42              | 1.94       |
| 5                 | 14                 | 1.16              | 0.93       |
| 6                 | 18                 | 1.07              | 1.25       |
| 7                 | 60                 | 0.92              | 1.36       |

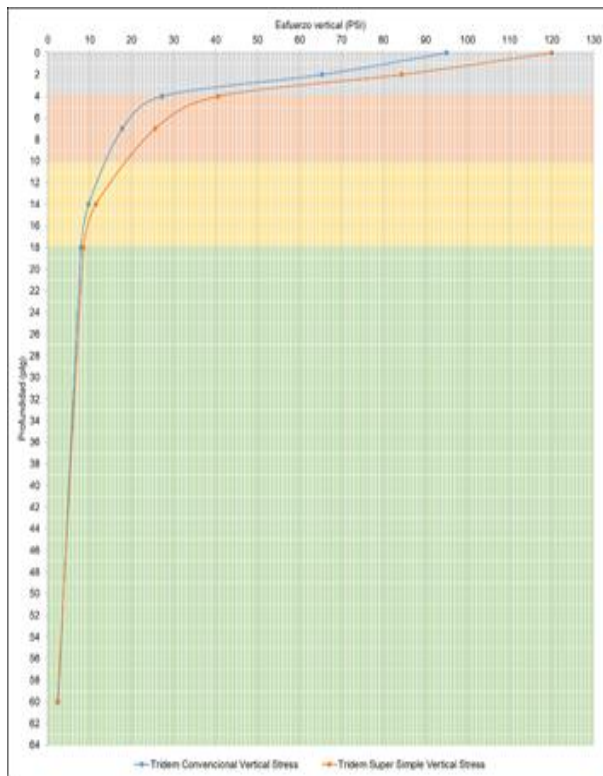


### T3S3 N° 15

| Punto de análisis | Profundidades (in) | T3S3 N°15 Tridem Super Simple |            |
|-------------------|--------------------|-------------------------------|------------|
|                   |                    | Esfuerzo (psi)                |            |
|                   |                    | Vertical                      | Horizontal |
| 1                 | 0                  | 120.0                         | 391.9      |
| 2                 | 2                  | 84.3                          | 47.6       |
| 3                 | 4                  | 40.6                          | -260.8     |
| 4                 | 7                  | 25.6                          | -1.1       |
| 5                 | 14                 | 11.5                          | 0.1        |
| 6                 | 18                 | 8.6                           | -1.3       |
| 7                 | 60                 | 2.3                           | 0.2        |

| Punto de análisis | Profundidades (in) | T3S3 N°15 Tridem Convencional |            |
|-------------------|--------------------|-------------------------------|------------|
|                   |                    | Esfuerzo (psi)                |            |
|                   |                    | Vertical                      | Horizontal |
| 1                 | 0                  | 95.0                          | 256.5      |
| 2                 | 2                  | 65.4                          | 35.5       |
| 3                 | 4                  | 27.2                          | -161.9     |
| 4                 | 7                  | 17.8                          | -0.6       |
| 5                 | 14                 | 9.7                           | 0.1        |
| 6                 | 18                 | 7.9                           | -1.0       |
| 7                 | 60                 | 2.5                           | 0.1        |

| Punto de análisis | Profundidades (in) | Relación Esfuerzo |            |
|-------------------|--------------------|-------------------|------------|
|                   |                    | Vertical          | Horizontal |
|                   |                    | 1                 | 0          |
| 2                 | 2                  | 1.29              | 1.34       |
| 3                 | 4                  | 1.49              | 1.61       |
| 4                 | 7                  | 1.44              | 1.97       |
| 5                 | 14                 | 1.18              | 0.84       |
| 6                 | 18                 | 1.08              | 1.28       |
| 7                 | 60                 | 0.93              | 1.34       |

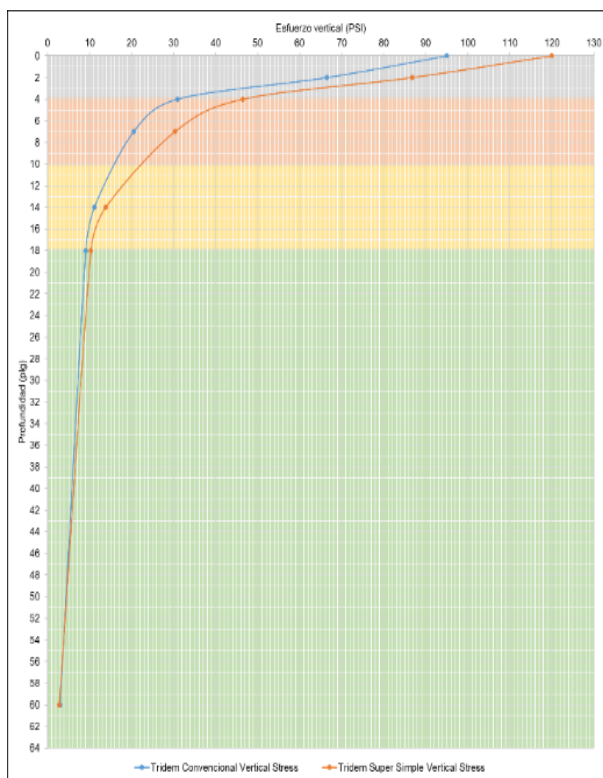


### T3S3 N° 16

| Punto de análisis | Profundidades (in) | T3S3 N°16 Tridem Super Simple |            |
|-------------------|--------------------|-------------------------------|------------|
|                   |                    | Esfuerzo (psi)                |            |
|                   |                    | Vertical                      | Horizontal |
| 1                 | 0                  | 120.0                         | 430.7      |
| 2                 | 2                  | 86.8                          | 54.7       |
| 3                 | 4                  | 46.5                          | -290.6     |
| 4                 | 7                  | 30.3                          | -1.5       |
| 5                 | 14                 | 13.8                          | 0.0        |
| 6                 | 18                 | 10.3                          | -1.7       |
| 7                 | 60                 | 2.8                           | 0.2        |

| Punto de análisis | Profundidades (in) | T3S3 N°16 Tridem Convencional |            |
|-------------------|--------------------|-------------------------------|------------|
|                   |                    | Esfuerzo (psi)                |            |
|                   |                    | Vertical                      | Horizontal |
| 1                 | 0                  | 95.0                          | 320.5      |
| 2                 | 2                  | 66.5                          | 40.2       |
| 3                 | 4                  | 30.9                          | -179.4     |
| 4                 | 7                  | 20.5                          | -0.6       |
| 5                 | 14                 | 11.1                          | 0.2        |
| 6                 | 18                 | 9.1                           | -1.1       |
| 7                 | 60                 | 3.0                           | 0.2        |

| Punto de análisis | Profundidades (in) | Relación Esfuerzo |            |
|-------------------|--------------------|-------------------|------------|
|                   |                    | Vertical          | Horizontal |
|                   |                    | 1                 | 0          |
| 2                 | 2                  | 1.31              | 1.36       |
| 3                 | 4                  | 1.50              | 1.62       |
| 4                 | 7                  | 1.48              | 2.34       |
| 5                 | 14                 | 1.24              | -0.03      |
| 6                 | 18                 | 1.13              | 1.55       |
| 7                 | 60                 | 0.93              | 1.30       |

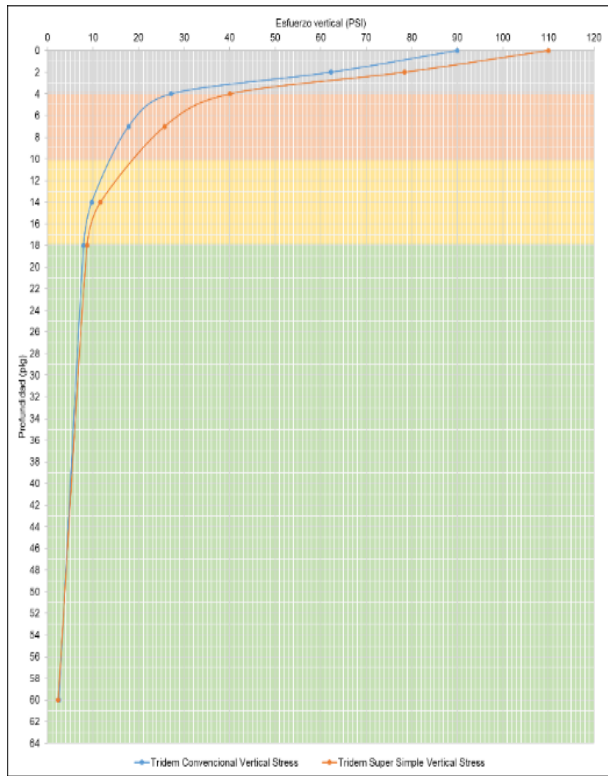


### T3S3 N° 17

| Punto de análisis | Profundidades (in) | T3S3 N°17 Tridem Super Simple |            |
|-------------------|--------------------|-------------------------------|------------|
|                   |                    | Esfuerzo (psi)                |            |
|                   |                    | Vertical                      | Horizontal |
| 1                 | 0                  | 110.0                         | 376.3      |
| 2                 | 2                  | 78.4                          | 47.1       |
| 3                 | 4                  | 40.1                          | -254.0     |
| 4                 | 7                  | 25.7                          | -1.2       |
| 5                 | 14                 | 11.6                          | 0.0        |
| 6                 | 18                 | 8.7                           | -1.4       |
| 7                 | 60                 | 2.3                           | 0.2        |

| Punto de análisis | Profundidades (in) | T3S3 N°17 Tridem Convencional |            |
|-------------------|--------------------|-------------------------------|------------|
|                   |                    | Esfuerzo (psi)                |            |
|                   |                    | Vertical                      | Horizontal |
| 1                 | 0                  | 90.0                          | 282.8      |
| 2                 | 2                  | 62.3                          | 35.4       |
| 3                 | 4                  | 27.2                          | -160.0     |
| 4                 | 7                  | 17.8                          | -0.6       |
| 5                 | 14                 | 9.7                           | 0.1        |
| 6                 | 18                 | 7.9                           | -1.0       |
| 7                 | 60                 | 2.5                           | 0.1        |

| Punto de análisis | Profundidades (in) | Relación Esfuerzo |            |
|-------------------|--------------------|-------------------|------------|
|                   |                    | Vertical          | Horizontal |
|                   |                    | 1                 | 0          |
| 2                 | 2                  | 1.26              | 1.33       |
| 3                 | 4                  | 1.48              | 1.59       |
| 4                 | 7                  | 1.44              | 2.13       |
| 5                 | 14                 | 1.20              | 0.28       |
| 6                 | 18                 | 1.09              | 1.38       |
| 7                 | 60                 | 0.92              | 1.35       |

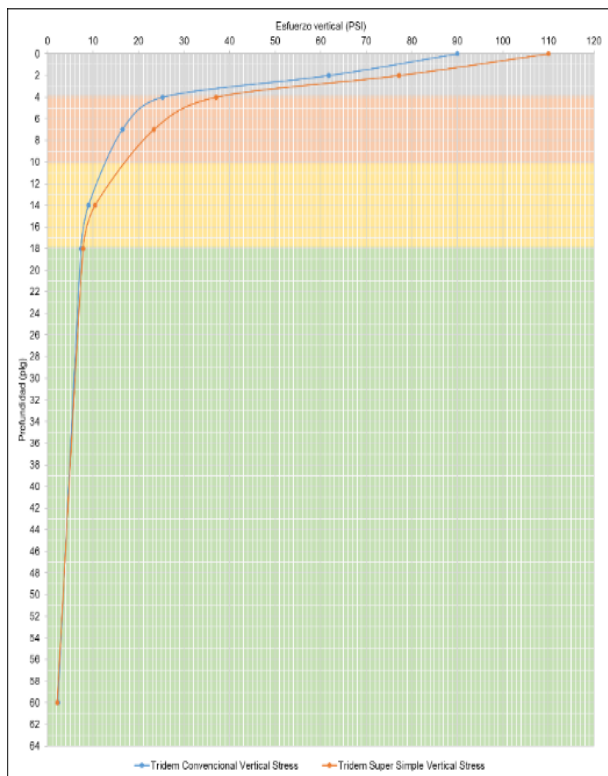


### T3S3 N° 18

| Punto de análisis | Profundidades (in) | T3S3 N°18 Tridem Súper Simple |            |
|-------------------|--------------------|-------------------------------|------------|
|                   |                    | Esfuerzo (psi)                |            |
|                   |                    | Vertical                      | Horizontal |
| 1                 | 0                  | 110.0                         | 358.1      |
| 2                 | 2                  | 77.2                          | 43.4       |
| 3                 | 4                  | 37.1                          | -238.2     |
| 4                 | 7                  | 23.3                          | -1.0       |
| 5                 | 14                 | 10.4                          | 0.1        |
| 6                 | 18                 | 7.8                           | -1.2       |
| 7                 | 60                 | 2.1                           | 0.1        |

| Punto de análisis | Profundidades (in) | T3S3 N°18 Tridem Convencional |            |
|-------------------|--------------------|-------------------------------|------------|
|                   |                    | Esfuerzo (psi)                |            |
|                   |                    | Vertical                      | Horizontal |
| 1                 | 0                  | 90.0                          | 239.3      |
| 2                 | 2                  | 61.8                          | 32.9       |
| 3                 | 4                  | 25.3                          | -150.8     |
| 4                 | 7                  | 16.5                          | -0.5       |
| 5                 | 14                 | 9.0                           | 0.1        |
| 6                 | 18                 | 7.4                           | -1.0       |
| 7                 | 60                 | 2.3                           | 0.1        |

| Punto de análisis | Profundidades (in) | Relación Esfuerzo |            |
|-------------------|--------------------|-------------------|------------|
|                   |                    | Vertical          | Horizontal |
|                   |                    | 1                 | 0          |
| 2                 | 2                  | 1.25              | 1.32       |
| 3                 | 4                  | 1.47              | 1.58       |
| 4                 | 7                  | 1.42              | 1.91       |
| 5                 | 14                 | 1.16              | 1.09       |
| 6                 | 18                 | 1.06              | 1.23       |
| 7                 | 60                 | 0.92              | 1.36       |

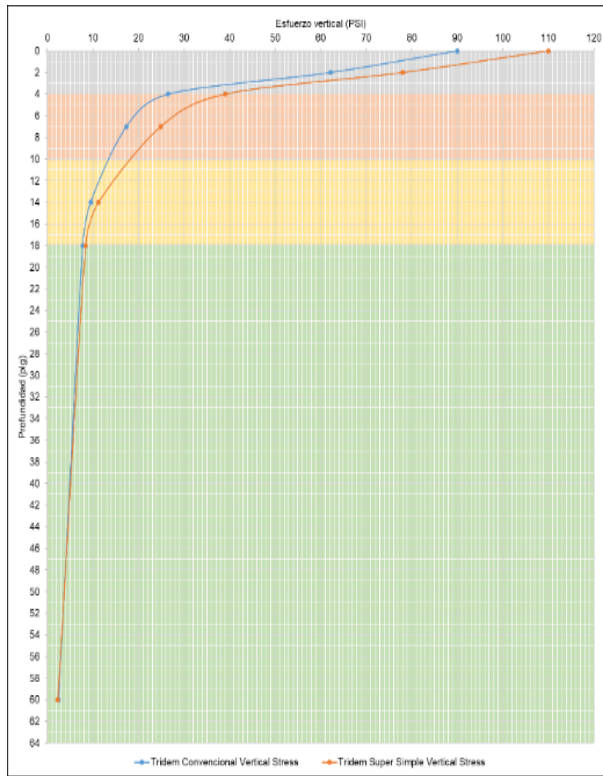


### T3S3 N° 19

| Punto de análisis | Profundidades (in) | T3S3 N°19 Tridem Súper Simple |            |
|-------------------|--------------------|-------------------------------|------------|
|                   |                    | Esfuerzo (psi)                |            |
|                   |                    | Vertical                      | Horizontal |
| 1                 | 0                  | 110.0                         | 368.3      |
| 2                 | 2                  | 78.0                          | 45.8       |
| 3                 | 4                  | 39.0                          | -248.4     |
| 4                 | 7                  | 24.9                          | -1.1       |
| 5                 | 14                 | 11.2                          | 0.0        |
| 6                 | 18                 | 8.4                           | -1.3       |
| 7                 | 60                 | 2.2                           | 0.2        |

| Punto de análisis | Profundidades (in) | T3S3 N°19 Tridem Convencional |            |
|-------------------|--------------------|-------------------------------|------------|
|                   |                    | Esfuerzo (psi)                |            |
|                   |                    | Vertical                      | Horizontal |
| 1                 | 0                  | 90.0                          | 277.5      |
| 2                 | 2                  | 62.1                          | 34.5       |
| 3                 | 4                  | 26.5                          | -156.9     |
| 4                 | 7                  | 17.3                          | -0.6       |
| 5                 | 14                 | 9.5                           | 0.1        |
| 6                 | 18                 | 7.7                           | -1.0       |
| 7                 | 60                 | 2.4                           | 0.1        |

| Punto de análisis | Profundidades (in) | Relación Esfuerzo |            |
|-------------------|--------------------|-------------------|------------|
|                   |                    | Vertical          | Horizontal |
|                   |                    | 1                 | 0          |
| 2                 | 2                  | 1.26              | 1.32       |
| 3                 | 4                  | 1.47              | 1.58       |
| 4                 | 7                  | 1.43              | 2.05       |
| 5                 | 14                 | 1.18              | 0.47       |
| 6                 | 18                 | 1.08              | 1.32       |
| 7                 | 60                 | 0.92              | 1.35       |

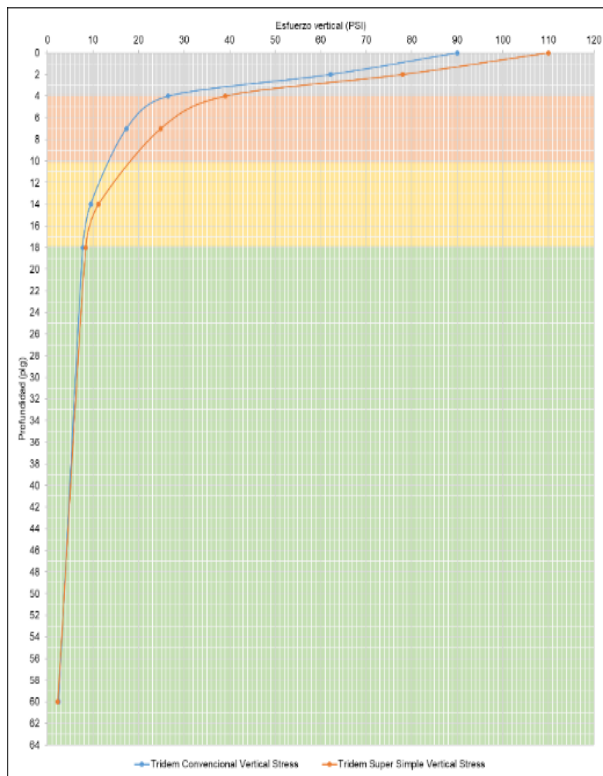


### T3S3 N° 20

| Punto de análisis | Profundidades (in) | T3S3 N°20 Tridem Super Simple |            |
|-------------------|--------------------|-------------------------------|------------|
|                   |                    | Esfuerzo (psi)                |            |
|                   |                    | Vertical                      | Horizontal |
| 1                 | 0                  | 110.0                         | 368.9      |
| 2                 | 2                  | 78.0                          | 45.9       |
| 3                 | 4                  | 39.1                          | -248.8     |
| 4                 | 7                  | 24.9                          | -1.1       |
| 5                 | 14                 | 11.2                          | 0.0        |
| 6                 | 18                 | 8.4                           | -1.3       |
| 7                 | 60                 | 2.3                           | 0.2        |

| Punto de análisis | Profundidades (in) | T3S3 N°20 Tridem Convencional |            |
|-------------------|--------------------|-------------------------------|------------|
|                   |                    | Esfuerzo (psi)                |            |
|                   |                    | Vertical                      | Horizontal |
| 1                 | 0                  | 95.0                          | 287.1      |
| 2                 | 2                  | 65.4                          | 35.5       |
| 3                 | 4                  | 27.3                          | -162.0     |
| 4                 | 7                  | 17.8                          | -0.6       |
| 5                 | 14                 | 9.7                           | 0.1        |
| 6                 | 18                 | 7.9                           | -1.0       |
| 7                 | 60                 | 2.5                           | 0.1        |

| Punto de análisis | Profundidades (in) | Relación Esfuerzo |            |
|-------------------|--------------------|-------------------|------------|
|                   |                    | Vertical          | Horizontal |
|                   |                    | 1                 | 0          |
| 2                 | 2                  | 1.19              | 1.29       |
| 3                 | 4                  | 1.43              | 1.54       |
| 4                 | 7                  | 1.40              | 1.98       |
| 5                 | 14                 | 1.15              | 0.57       |
| 6                 | 18                 | 1.06              | 1.27       |
| 7                 | 60                 | 0.91              | 1.39       |

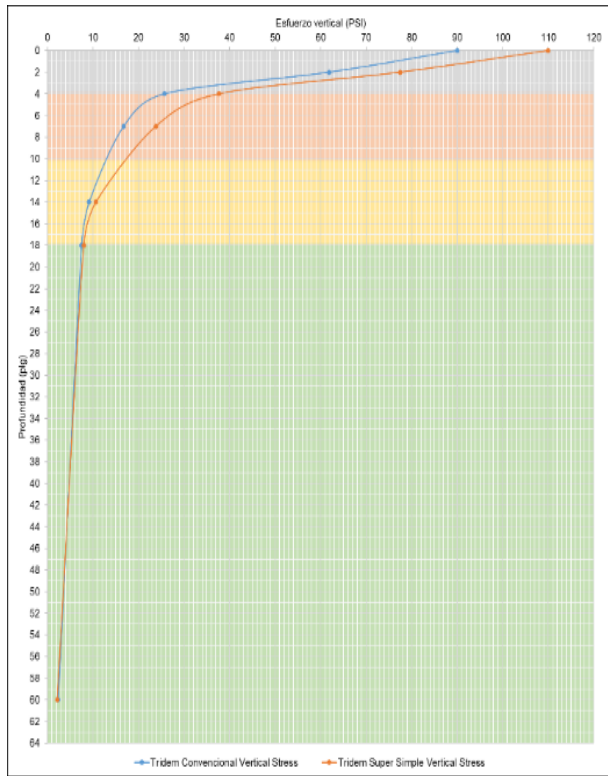


### T3S3 N° 21

| Punto de análisis | Profundidades (in) | T3S3 N°21 Tridem Súper Simple |            |
|-------------------|--------------------|-------------------------------|------------|
|                   |                    | Esfuerzo (psi)                |            |
|                   |                    | Vertical                      | Horizontal |
| 1                 | 0                  | 110.0                         | 358.5      |
| 2                 | 2                  | 77.4                          | 44.2       |
| 3                 | 4                  | 37.7                          | -241.5     |
| 4                 | 7                  | 23.8                          | -1.1       |
| 5                 | 14                 | 10.7                          | 0.1        |
| 6                 | 18                 | 8.0                           | -1.2       |
| 7                 | 60                 | 2.2                           | 0.2        |

| Punto de análisis | Profundidades (in) | T3S3 N°21 Tridem Convencional |            |
|-------------------|--------------------|-------------------------------|------------|
|                   |                    | Esfuerzo (psi)                |            |
|                   |                    | Vertical                      | Horizontal |
| 1                 | 0                  | 90.0                          | 242.1      |
| 2                 | 2                  | 61.9                          | 33.5       |
| 3                 | 4                  | 25.7                          | -152.8     |
| 4                 | 7                  | 16.7                          | -0.5       |
| 5                 | 14                 | 9.2                           | 0.1        |
| 6                 | 18                 | 7.5                           | -1.0       |
| 7                 | 60                 | 2.3                           | 0.1        |

| Punto de análisis | Profundidades (in) | Relación Esfuerzo |            |
|-------------------|--------------------|-------------------|------------|
|                   |                    | Vertical          | Horizontal |
|                   |                    | 1                 | 0          |
| 2                 | 2                  | 1.25              | 1.32       |
| 3                 | 4                  | 1.47              | 1.58       |
| 4                 | 7                  | 1.42              | 1.95       |
| 5                 | 14                 | 1.17              | 0.82       |
| 6                 | 18                 | 1.07              | 1.26       |
| 7                 | 60                 | 0.92              | 1.37       |

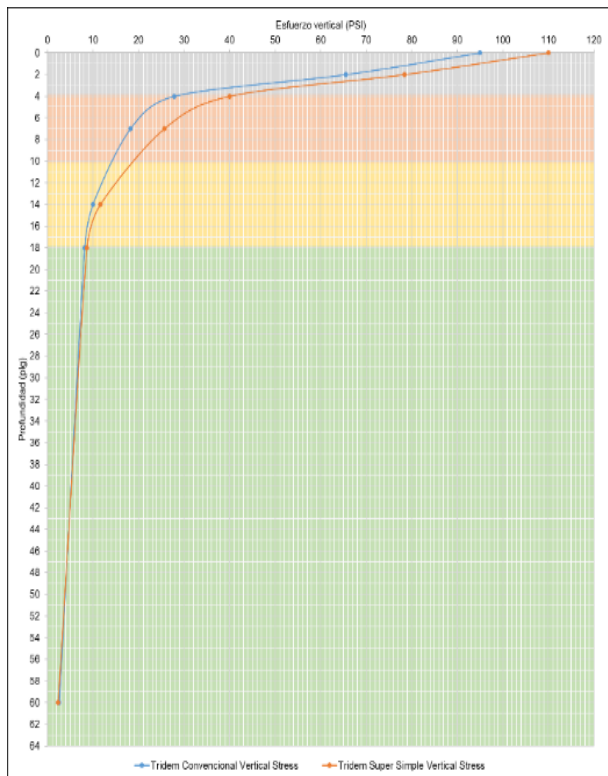


### T3S3 N° 22

| Punto de análisis | Profundidades (in) | T3S3 N°22 Tridem Súper Simple |            |
|-------------------|--------------------|-------------------------------|------------|
|                   |                    | Esfuerzo (psi)                |            |
|                   |                    | Vertical                      | Horizontal |
| 1                 | 0                  | 110.0                         | 375.7      |
| 2                 | 2                  | 78.4                          | 47.0       |
| 3                 | 4                  | 40.0                          | -253.6     |
| 4                 | 7                  | 25.7                          | -1.2       |
| 5                 | 14                 | 11.6                          | 0.0        |
| 6                 | 18                 | 8.7                           | -1.4       |
| 7                 | 60                 | 2.3                           | 0.2        |

| Punto de análisis | Profundidades (in) | T3S3 N°22 Tridem Convencional |            |
|-------------------|--------------------|-------------------------------|------------|
|                   |                    | Esfuerzo (psi)                |            |
|                   |                    | Vertical                      | Horizontal |
| 1                 | 0                  | 95.0                          | 292.0      |
| 2                 | 2                  | 65.6                          | 36.3       |
| 3                 | 4                  | 27.9                          | -165.0     |
| 4                 | 7                  | 18.2                          | -0.6       |
| 5                 | 14                 | 10.0                          | 0.1        |
| 6                 | 18                 | 8.1                           | -1.0       |
| 7                 | 60                 | 2.6                           | 0.1        |

| Punto de análisis | Profundidades (in) | Relación Esfuerzo |            |
|-------------------|--------------------|-------------------|------------|
|                   |                    | Vertical          | Horizontal |
|                   |                    | 1                 | 0          |
| 2                 | 2                  | 1.20              | 1.29       |
| 3                 | 4                  | 1.44              | 1.54       |
| 4                 | 7                  | 1.41              | 2.05       |
| 5                 | 14                 | 1.16              | 0.35       |
| 6                 | 18                 | 1.06              | 1.31       |
| 7                 | 60                 | 0.90              | 1.38       |



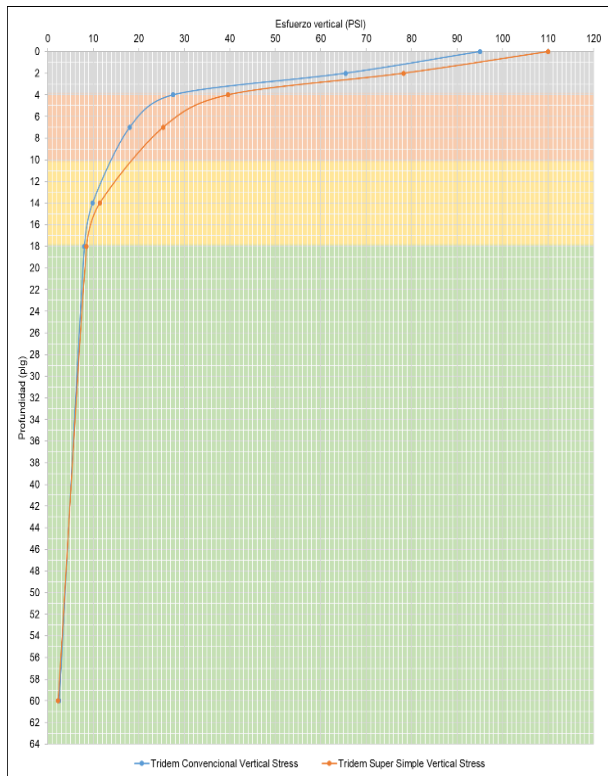


### T3S3 N°23

| Punto de análisis | Profundidades (in) | T3S3 N°23 Tridem Súper Simple |            |
|-------------------|--------------------|-------------------------------|------------|
|                   |                    | Esfuerzo (psi)                |            |
|                   |                    | Vertical                      | Horizontal |
| 1                 | 0                  | 110.0                         | 372.8      |
| 2                 | 2                  | 78.2                          | 46.5       |
| 3                 | 4                  | 39.6                          | -251.6     |
| 4                 | 7                  | 25.4                          | -1.2       |
| 5                 | 14                 | 11.4                          | 0.0        |
| 6                 | 18                 | 8.5                           | -1.3       |
| 7                 | 60                 | 2.3                           | 0.2        |

| Punto de análisis | Profundidades (in) | T3S3 N°23 Tridem Convencional |            |
|-------------------|--------------------|-------------------------------|------------|
|                   |                    | Esfuerzo (psi)                |            |
|                   |                    | Vertical                      | Horizontal |
| 1                 | 0                  | 95.0                          | 289.7      |
| 2                 | 2                  | 65.5                          | 35.9       |
| 3                 | 4                  | 27.6                          | -163.6     |
| 4                 | 7                  | 18.0                          | -0.6       |
| 5                 | 14                 | 9.8                           | 0.1        |
| 6                 | 18                 | 8.1                           | -1.0       |
| 7                 | 60                 | 2.5                           | 0.1        |

| Punto de análisis | Profundidades (in) | Relación Esfuerzo |            |
|-------------------|--------------------|-------------------|------------|
|                   |                    | Vertical          | Horizontal |
|                   |                    | 1                 | 0          |
| 2                 | 2                  | 1.19              | 1.29       |
| 3                 | 4                  | 1.44              | 1.54       |
| 4                 | 7                  | 1.41              | 2.03       |
| 5                 | 14                 | 1.16              | 0.43       |
| 6                 | 18                 | 1.06              | 1.30       |
| 7                 | 60                 | 0.91              | 1.39       |

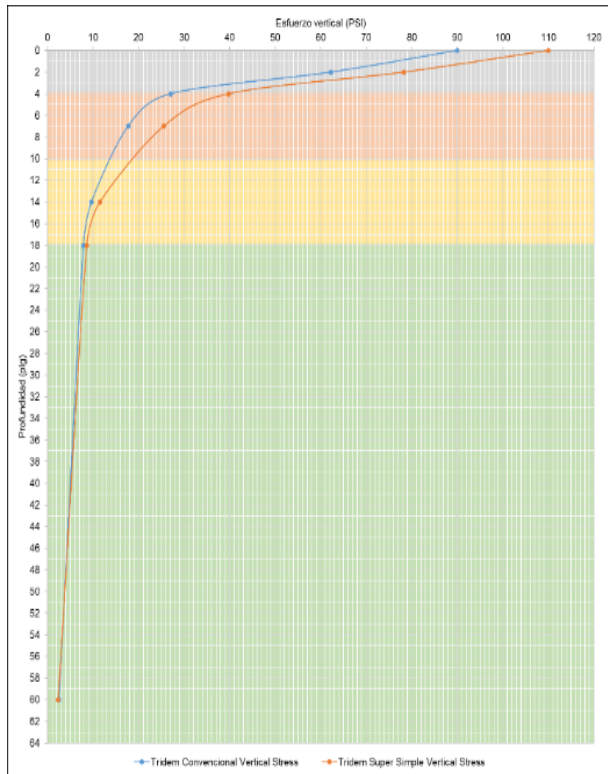


### T3S3 N° 24

| Punto de análisis | Profundidades (in) | T3S3 N°24 Tridem Súper Simple |            |
|-------------------|--------------------|-------------------------------|------------|
|                   |                    | Esfuerzo (psi)                |            |
|                   |                    | Vertical                      | Horizontal |
| 1                 | 0                  | 110.0                         | 374.0      |
| 2                 | 2                  | 78.3                          | 46.7       |
| 3                 | 4                  | 39.8                          | -252.4     |
| 4                 | 7                  | 25.5                          | -1.2       |
| 5                 | 14                 | 11.5                          | 0.0        |
| 6                 | 18                 | 8.6                           | -1.3       |
| 7                 | 60                 | 2.3                           | 0.2        |

| Punto de análisis | Profundidades (in) | T3S3 N°24 Tridem Convencional |            |
|-------------------|--------------------|-------------------------------|------------|
|                   |                    | Esfuerzo (psi)                |            |
|                   |                    | Vertical                      | Horizontal |
| 1                 | 0                  | 90.0                          | 281.5      |
| 2                 | 2                  | 62.2                          | 35.2       |
| 3                 | 4                  | 27.0                          | -159.3     |
| 4                 | 7                  | 17.7                          | -0.6       |
| 5                 | 14                 | 9.7                           | 0.1        |
| 6                 | 18                 | 7.9                           | -1.0       |
| 7                 | 60                 | 2.5                           | 0.1        |

| Punto de análisis | Profundidades (in) | Relación Esfuerzo |            |
|-------------------|--------------------|-------------------|------------|
|                   |                    | Vertical          | Horizontal |
|                   |                    | 1                 | 0          |
| 2                 | 2                  | 1.26              | 1.33       |
| 3                 | 4                  | 1.47              | 1.58       |
| 4                 | 7                  | 1.44              | 2.11       |
| 5                 | 14                 | 1.19              | 0.33       |
| 6                 | 18                 | 1.09              | 1.36       |
| 7                 | 60                 | 0.92              | 1.34       |

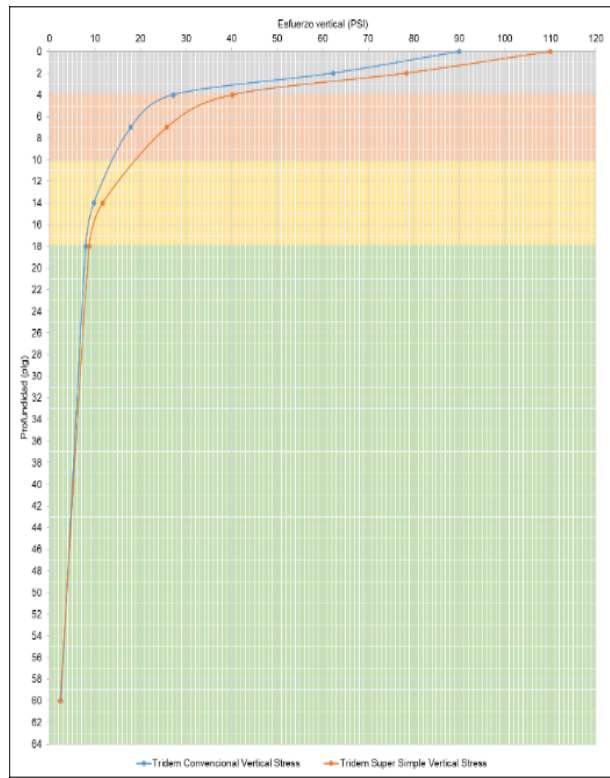


### T3S3 N° 25

| Punto de análisis | Profundidades (in) | T3S3 N°25 Tridem Super Simple |            |
|-------------------|--------------------|-------------------------------|------------|
|                   |                    | Esfuerzo (psi)                |            |
|                   |                    | Vertical                      | Horizontal |
| 1                 | 0                  | 110.0                         | 376.8      |
| 2                 | 2                  | 78.4                          | 47.2       |
| 3                 | 4                  | 40.2                          | -254.4     |
| 4                 | 7                  | 25.8                          | -1.2       |
| 5                 | 14                 | 11.7                          | 0.0        |
| 6                 | 18                 | 8.7                           | -1.4       |
| 7                 | 60                 | 2.3                           | 0.2        |

| Punto de análisis | Profundades (in) | T3S3 N°25 Tridem Convencional |            |
|-------------------|------------------|-------------------------------|------------|
|                   |                  | Esfuerzo (psi)                |            |
|                   |                  | Vertical                      | Horizontal |
| 1                 | 0                | 90.0                          | 283.2      |
| 2                 | 2                | 62.3                          | 35.5       |
| 3                 | 4                | 27.2                          | -160.3     |
| 4                 | 7                | 17.9                          | -0.6       |
| 5                 | 14               | 9.7                           | 0.1        |
| 6                 | 18               | 8.0                           | -1.0       |
| 7                 | 60               | 2.5                           | 0.1        |

| Punto de análisis | Profundades (in) | Relación Esfuerzo |            |
|-------------------|------------------|-------------------|------------|
|                   |                  | Vertical          | Horizontal |
|                   |                  | 1                 | 0          |
| 2                 | 2                | 1.26              | 1.33       |
| 3                 | 4                | 1.48              | 1.59       |
| 4                 | 7                | 1.44              | 2.13       |
| 5                 | 14               | 1.20              | 0.27       |
| 6                 | 18               | 1.09              | 1.38       |
| 7                 | 60               | 0.92              | 1.34       |

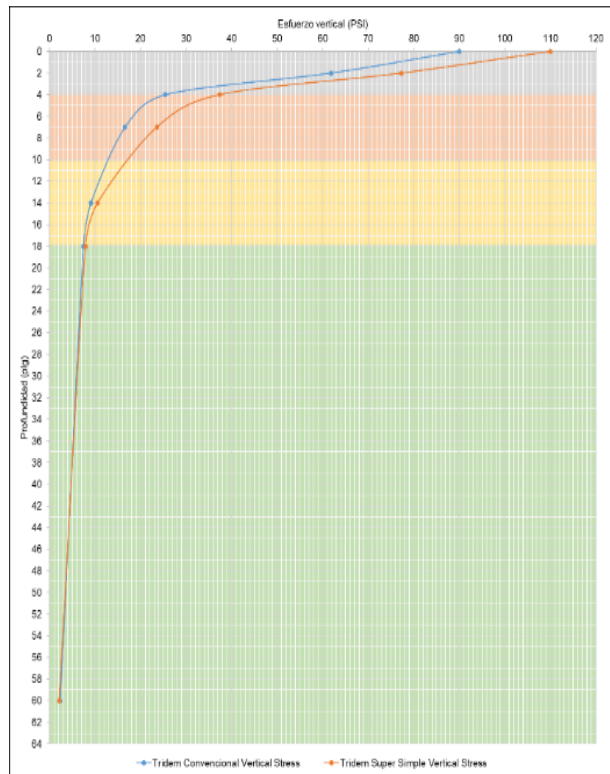


### T3S3 N° 26

| Punto de análisis | Profundades (in) | T3S3 N°26 Tridem Súper Simple |            |
|-------------------|------------------|-------------------------------|------------|
|                   |                  | Esfuerzo (psi)                |            |
|                   |                  | Vertical                      | Horizontal |
| 1                 | 0                | 110.0                         | 360.4      |
| 2                 | 2                | 77.3                          | 43.8       |
| 3                 | 4                | 37.4                          | -239.9     |
| 4                 | 7                | 23.6                          | -1.1       |
| 5                 | 14               | 10.6                          | 0.1        |
| 6                 | 18               | 7.9                           | -1.2       |
| 7                 | 60               | 2.1                           | 0.1        |

| Punto de análisis | Profundades (in) | T3S3 N°26 Tridem Convencional |            |
|-------------------|------------------|-------------------------------|------------|
|                   |                  | Esfuerzo (psi)                |            |
|                   |                  | Vertical                      | Horizontal |
| 1                 | 0                | 90.0                          | 240.7      |
| 2                 | 2                | 61.8                          | 33.2       |
| 3                 | 4                | 25.5                          | -151.8     |
| 4                 | 7                | 16.6                          | -0.5       |
| 5                 | 14               | 9.1                           | 0.1        |
| 6                 | 18               | 7.4                           | -1.0       |
| 7                 | 60               | 2.3                           | 0.1        |

| Punto de análisis | Profundades (in) | Relación Esfuerzo |            |
|-------------------|------------------|-------------------|------------|
|                   |                  | Vertical          | Horizontal |
|                   |                  | 1                 | 0          |
| 2                 | 2                | 1.25              | 1.32       |
| 3                 | 4                | 1.47              | 1.58       |
| 4                 | 7                | 1.42              | 1.93       |
| 5                 | 14               | 1.16              | 0.95       |
| 6                 | 18               | 1.07              | 1.25       |
| 7                 | 60               | 0.92              | 1.35       |

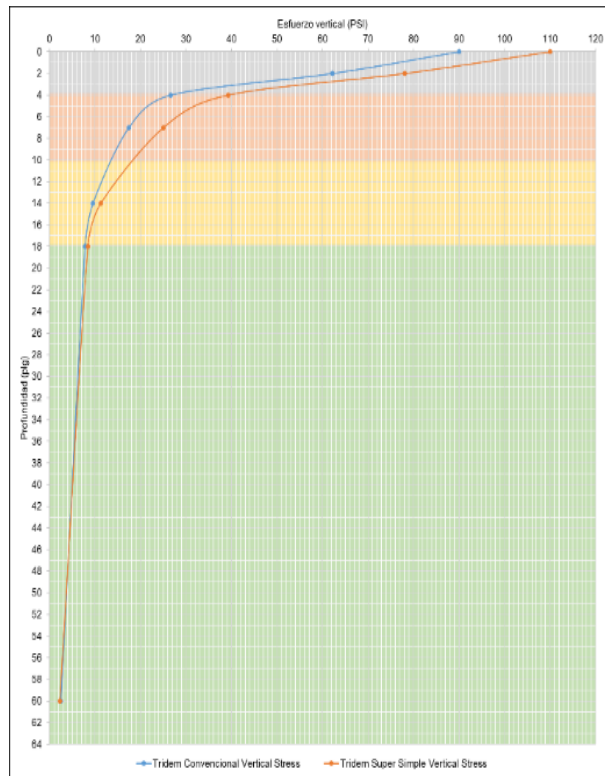


### T3S3 N° 27

| Punto de análisis | Profundidades (in) | T3S3 N°27 Tridem Súper Simple |            |
|-------------------|--------------------|-------------------------------|------------|
|                   |                    | Esfuerzo (psi)                |            |
|                   |                    | Vertical                      | Horizontal |
| 1                 | 0                  | 110.0                         | 370.0      |
| 2                 | 2                  | 78.1                          | 46.0       |
| 3                 | 4                  | 39.2                          | -249.6     |
| 4                 | 7                  | 25.1                          | -1.2       |
| 5                 | 14                 | 11.3                          | 0.0        |
| 6                 | 18                 | 8.4                           | -1.3       |
| 7                 | 60                 | 2.3                           | 0.2        |

| Punto de análisis | Profundades (in) | T3S3 N°27 Tridem Convencional |            |
|-------------------|------------------|-------------------------------|------------|
|                   |                  | Esfuerzo (psi)                |            |
|                   |                  | Vertical                      | Horizontal |
| 1                 | 0                | 90.0                          | 278.6      |
| 2                 | 2                | 62.2                          | 34.7       |
| 3                 | 4                | 26.6                          | -157.5     |
| 4                 | 7                | 17.4                          | -0.6       |
| 5                 | 14               | 9.5                           | 0.1        |
| 6                 | 18               | 7.8                           | -1.0       |
| 7                 | 60               | 2.5                           | 0.1        |

| Punto de análisis | Profundades (in) | Relación Esfuerzo |            |
|-------------------|------------------|-------------------|------------|
|                   |                  | Vertical          | Horizontal |
|                   |                  | 1                 | 0          |
| 2                 | 2                | 1.26              | 1.33       |
| 3                 | 4                | 1.47              | 1.58       |
| 4                 | 7                | 1.44              | 2.07       |
| 5                 | 14               | 1.19              | 0.42       |
| 6                 | 18               | 1.08              | 1.34       |
| 7                 | 60               | 0.92              | 1.34       |

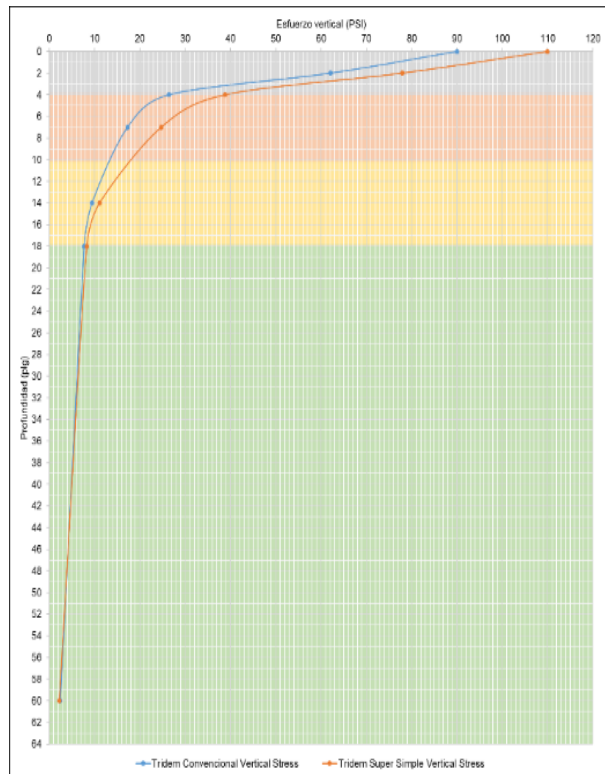


### T3S3 N° 28

| Punto de análisis | Profundades (in) | T3S3 N°28 Tridem Súper Simple |            |
|-------------------|------------------|-------------------------------|------------|
|                   |                  | Esfuerzo (psi)                |            |
|                   |                  | Vertical                      | Horizontal |
| 1                 | 0                | 110.0                         | 367.1      |
| 2                 | 2                | 77.9                          | 45.6       |
| 3                 | 4                | 38.9                          | -247.6     |
| 4                 | 7                | 24.7                          | -1.1       |
| 5                 | 14               | 11.1                          | 0.0        |
| 6                 | 18               | 8.3                           | -1.3       |
| 7                 | 60               | 2.2                           | 0.2        |

| Punto de análisis | Profundades (in) | T3S3 N°28 Tridem Convencional |            |
|-------------------|------------------|-------------------------------|------------|
|                   |                  | Esfuerzo (psi)                |            |
|                   |                  | Vertical                      | Horizontal |
| 1                 | 0                | 90.0                          | 276.7      |
| 2                 | 2                | 62.1                          | 34.4       |
| 3                 | 4                | 26.4                          | -156.4     |
| 4                 | 7                | 17.3                          | -0.6       |
| 5                 | 14               | 9.4                           | 0.1        |
| 6                 | 18               | 7.7                           | -1.0       |
| 7                 | 60               | 2.4                           | 0.1        |

| Punto de análisis | Profundades (in) | Relación Esfuerzo |            |
|-------------------|------------------|-------------------|------------|
|                   |                  | Vertical          | Horizontal |
|                   |                  | 1                 | 0          |
| 2                 | 2                | 1.25              | 1.32       |
| 3                 | 4                | 1.47              | 1.58       |
| 4                 | 7                | 1.43              | 2.04       |
| 5                 | 14               | 1.18              | 0.50       |
| 6                 | 18               | 1.08              | 1.32       |
| 7                 | 60               | 0.92              | 1.35       |

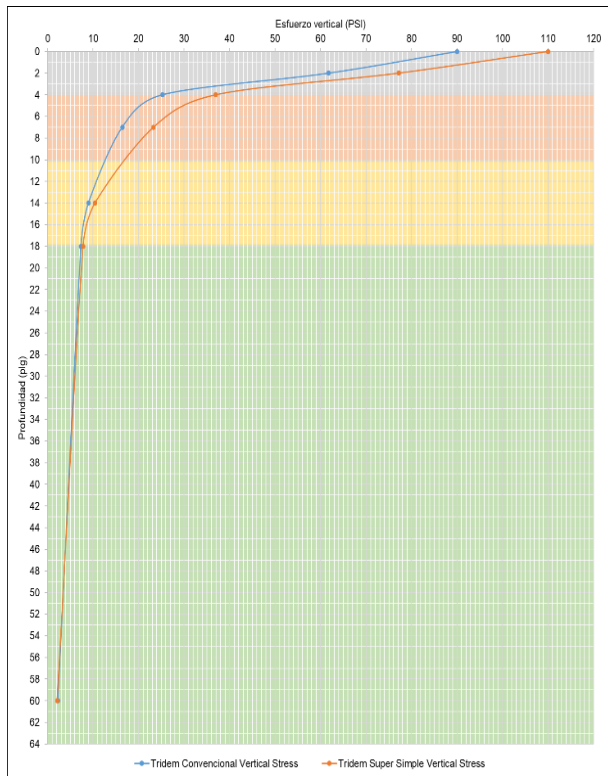


### T3S3 N° 29

| Punto de análisis | Profundidades (in) | T3S3 N°29 Tridem Súper Simple |            |
|-------------------|--------------------|-------------------------------|------------|
|                   |                    | Esfuerzo (psi)                |            |
|                   |                    | Vertical                      | Horizontal |
| 1                 | 0                  | 110.0                         | 357.5      |
| 2                 | 2                  | 77.2                          | 43.3       |
| 3                 | 4                  | 37.0                          | -237.8     |
| 4                 | 7                  | 23.3                          | -1.0       |
| 5                 | 14                 | 10.4                          | 0.1        |
| 6                 | 18                 | 7.8                           | -1.2       |
| 7                 | 60                 | 2.1                           | 0.1        |

| Punto de análisis | Profundidades (in) | T3S3 N°29 Tridem Convencional |            |
|-------------------|--------------------|-------------------------------|------------|
|                   |                    | Esfuerzo (psi)                |            |
|                   |                    | Vertical                      | Horizontal |
| 1                 | 0                  | 90.0                          | 231.7      |
| 2                 | 2                  | 61.8                          | 32.9       |
| 3                 | 4                  | 25.2                          | -150.6     |
| 4                 | 7                  | 16.4                          | -0.5       |
| 5                 | 14                 | 9.0                           | 0.1        |
| 6                 | 18                 | 7.3                           | -1.0       |
| 7                 | 60                 | 2.3                           | 0.1        |

| Punto de análisis | Profundades (in) | Relación Esfuerzo |            |
|-------------------|------------------|-------------------|------------|
|                   |                  | Vertical          | Horizontal |
|                   |                  | 1                 | 0          |
| 2                 | 2                | 1.25              | 1.32       |
| 3                 | 4                | 1.47              | 1.58       |
| 4                 | 7                | 1.42              | 1.90       |
| 5                 | 14               | 1.16              | 1.14       |
| 6                 | 18               | 1.06              | 1.23       |
| 7                 | 60               | 0.92              | 1.37       |

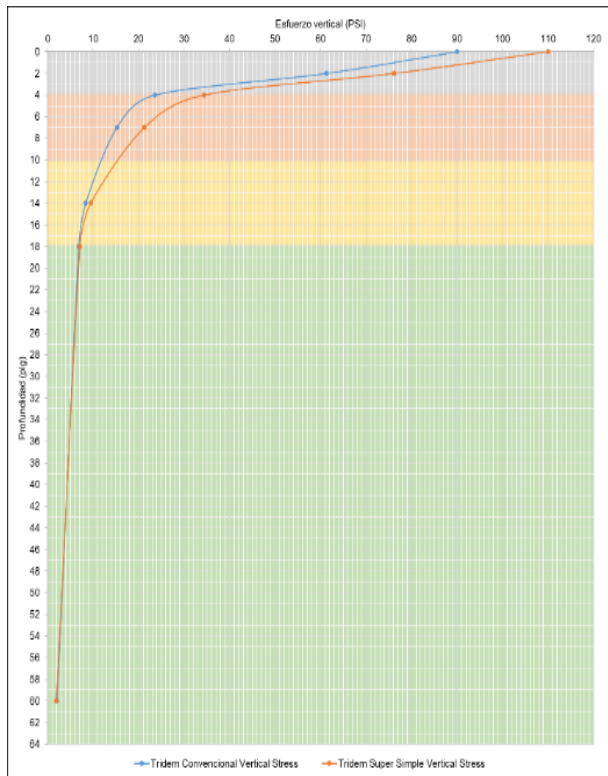


### T3S3 N° 30

| Punto de análisis | Profundades (in) | T3S3 N°30 Tridem Súper Simple |            |
|-------------------|------------------|-------------------------------|------------|
|                   |                  | Esfuerzo (psi)                |            |
|                   |                  | Vertical                      | Horizontal |
| 1                 | 0                | 110.0                         | 345.9      |
| 2                 | 2                | 76.1                          | 40.3       |
| 3                 | 4                | 34.4                          | -223.7     |
| 4                 | 7                | 21.3                          | -0.9       |
| 5                 | 14               | 9.5                           | 0.1        |
| 6                 | 18               | 7.1                           | -1.1       |
| 7                 | 60               | 1.9                           | 0.1        |

| Punto de análisis | Profundades (in) | T3S3 N°30 Tridem Convencional |            |
|-------------------|------------------|-------------------------------|------------|
|                   |                  | Esfuerzo (psi)                |            |
|                   |                  | Vertical                      | Horizontal |
| 1                 | 0                | 90.0                          | 224.9      |
| 2                 | 2                | 61.3                          | 30.6       |
| 3                 | 4                | 23.6                          | -142.0     |
| 4                 | 7                | 15.2                          | -0.5       |
| 5                 | 14               | 8.4                           | 0.0        |
| 6                 | 18               | 6.8                           | -1.0       |
| 7                 | 60               | 2.1                           | 0.1        |

| Punto de análisis | Profundades (in) | Relación Esfuerzo |            |
|-------------------|------------------|-------------------|------------|
|                   |                  | Vertical          | Horizontal |
|                   |                  | 1                 | 0          |
| 2                 | 2                | 1.24              | 1.31       |
| 3                 | 4                | 1.46              | 1.57       |
| 4                 | 7                | 1.40              | 1.69       |
| 5                 | 14               | 1.13              | -8.00      |
| 6                 | 18               | 1.04              | 1.12       |
| 7                 | 60               | 0.92              | 1.40       |

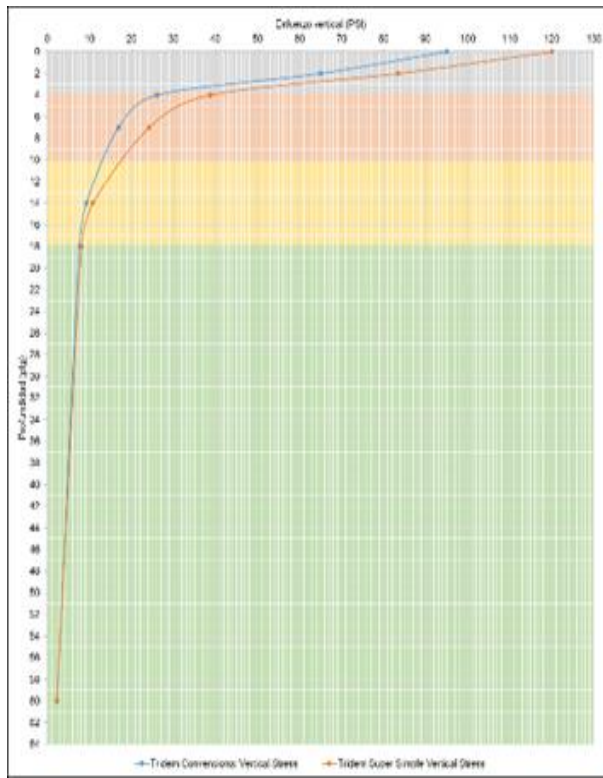


### T3S3 N° 31

| Punto de análisis | Profundidades (in) | T3S3 N°31 Tridem Súper Simple |            |
|-------------------|--------------------|-------------------------------|------------|
|                   |                    | Esfuerzo (psi)                |            |
|                   |                    | Vertical                      | Horizontal |
| 1                 | 0                  | 120.0                         | 378.4      |
| 2                 | 2                  | 83.5                          | 45.5       |
| 3                 | 4                  | 38.8                          | -251.1     |
| 4                 | 7                  | 24.2                          | -1.0       |
| 5                 | 14                 | 10.8                          | 0.1        |
| 6                 | 18                 | 8.1                           | -1.2       |
| 7                 | 60                 | 2.2                           | 0.1        |

| Punto de análisis | Profundidades (in) | T3S3 N°31 Tridem Convencional |            |
|-------------------|--------------------|-------------------------------|------------|
|                   |                    | Esfuerzo (psi)                |            |
|                   |                    | Vertical                      | Horizontal |
| 1                 | 0                  | 95.0                          | 246.2      |
| 2                 | 2                  | 65.0                          | 34.0       |
| 3                 | 4                  | 26.1                          | -156.3     |
| 4                 | 7                  | 16.9                          | -0.6       |
| 5                 | 14                 | 9.3                           | 0.0        |
| 6                 | 18                 | 7.6                           | -1.0       |
| 7                 | 60                 | 2.3                           | 0.1        |

| Punto de análisis | Profundidades (in) | Relación Esfuerzo |            |
|-------------------|--------------------|-------------------|------------|
|                   |                    | Vertical          | Horizontal |
|                   |                    | 1                 | 0          |
| 2                 | 2                  | 1.28              | 1.34       |
| 3                 | 4                  | 1.49              | 1.61       |
| 4                 | 7                  | 1.43              | 1.84       |
| 5                 | 14                 | 1.16              | 1.92       |
| 6                 | 18                 | 1.07              | 1.20       |
| 7                 | 60                 | 0.93              | 1.35       |

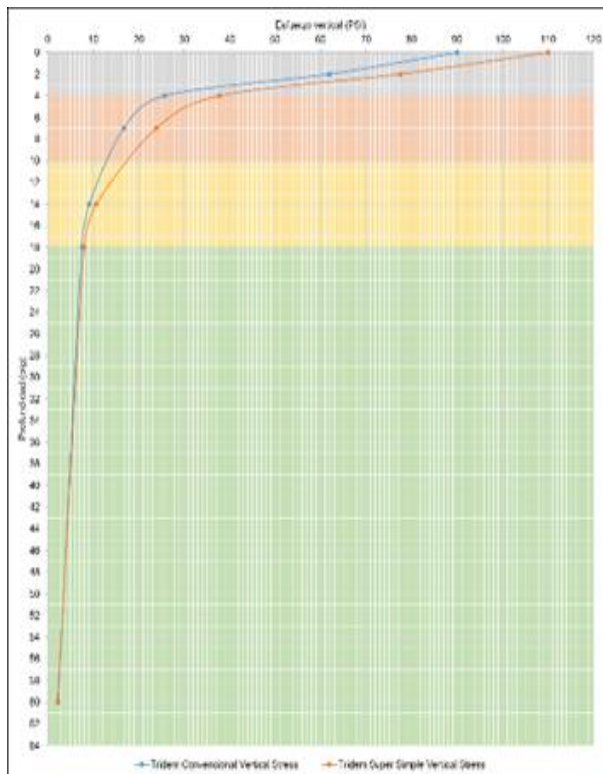


### T3S3 N° 32

| Punto de análisis | Profundidades (in) | T3S3 N°32 Tridem Super Simple |            |
|-------------------|--------------------|-------------------------------|------------|
|                   |                    | Esfuerzo (psi)                |            |
|                   |                    | Vertical                      | Horizontal |
| 1                 | 0                  | 110.0                         | 359.1      |
| 2                 | 2                  | 77.5                          | 44.3       |
| 3                 | 4                  | 37.8                          | -241.9     |
| 4                 | 7                  | 23.9                          | -1.1       |
| 5                 | 14                 | 10.7                          | 0.1        |
| 6                 | 18                 | 8.0                           | -1.2       |
| 7                 | 60                 | 2.2                           | 0.2        |

| Punto de análisis | Profundidades (in) | T3S3 N°32 Tridem Convencional |            |
|-------------------|--------------------|-------------------------------|------------|
|                   |                    | Esfuerzo (psi)                |            |
|                   |                    | Vertical                      | Horizontal |
| 1                 | 0                  | 90.0                          | 242.3      |
| 2                 | 2                  | 61.9                          | 33.5       |
| 3                 | 4                  | 25.7                          | -152.9     |
| 4                 | 7                  | 16.8                          | -0.5       |
| 5                 | 14                 | 9.2                           | 0.1        |
| 6                 | 18                 | 7.5                           | -1.0       |
| 7                 | 60                 | 2.3                           | 0.1        |

| Punto de análisis | Profundidades (in) | Relación Esfuerzo |            |
|-------------------|--------------------|-------------------|------------|
|                   |                    | Vertical          | Horizontal |
|                   |                    | 1                 | 0          |
| 2                 | 2                  | 1.25              | 1.32       |
| 3                 | 4                  | 1.47              | 1.58       |
| 4                 | 7                  | 1.43              | 1.96       |
| 5                 | 14                 | 1.17              | 0.81       |
| 6                 | 18                 | 1.07              | 1.26       |
| 7                 | 60                 | 0.92              | 1.35       |

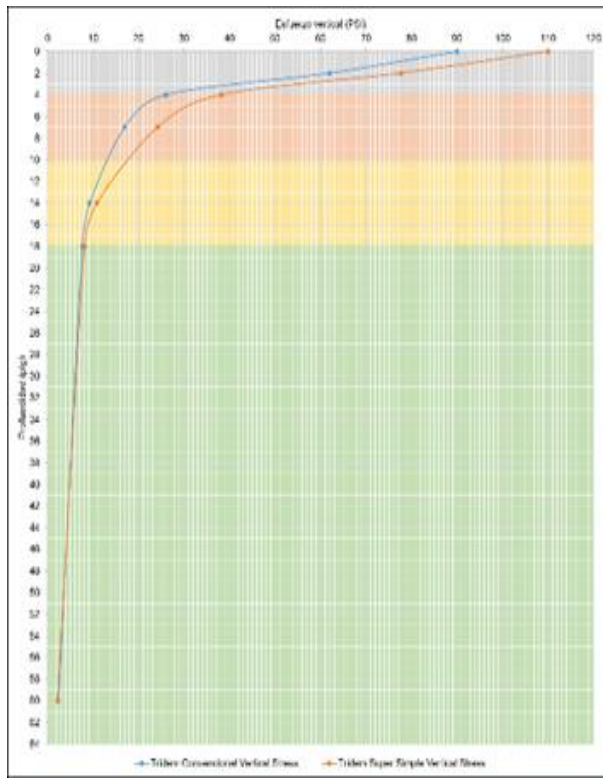


### T3S3 N° 33

| Punto de análisis | Profundidades (in) | T3S3 N°33 Tridem Súper Simple |            |
|-------------------|--------------------|-------------------------------|------------|
|                   |                    | Esfuerzo (psi)                |            |
|                   |                    | Vertical                      | Horizontal |
| 1                 | 0                  | 110.0                         | 362.0      |
| 2                 | 2                  | 77.6                          | 44.7       |
| 3                 | 4                  | 38.1                          | -244.0     |
| 4                 | 7                  | 24.2                          | -1.1       |
| 5                 | 14                 | 10.9                          | 0.1        |
| 6                 | 18                 | 8.1                           | -1.3       |
| 7                 | 60                 | 2.2                           | 0.2        |

| Punto de análisis | Profundidades (in) | T3S3 N°33 Tridem Convencional |            |
|-------------------|--------------------|-------------------------------|------------|
|                   |                    | Esfuerzo (psi)                |            |
|                   |                    | Vertical                      | Horizontal |
| 1                 | 0                  | 90.0                          | 273.1      |
| 2                 | 2                  | 62.0                          | 33.8       |
| 3                 | 4                  | 26.0                          | -154.2     |
| 4                 | 7                  | 16.9                          | -0.6       |
| 5                 | 14                 | 9.3                           | 0.1        |
| 6                 | 18                 | 7.6                           | -1.0       |
| 7                 | 60                 | 2.4                           | 0.1        |

| Punto de análisis | Profundidades (in) | Relación Esfuerzo |            |
|-------------------|--------------------|-------------------|------------|
|                   |                    | Vertical          | Horizontal |
|                   |                    | 1                 | 0          |
| 2                 | 2                  | 1.25              | 1.32       |
| 3                 | 4                  | 1.47              | 1.58       |
| 4                 | 7                  | 1.43              | 1.99       |
| 5                 | 14                 | 1.17              | 0.67       |
| 6                 | 18                 | 1.07              | 1.28       |
| 7                 | 60                 | 0.92              | 1.35       |

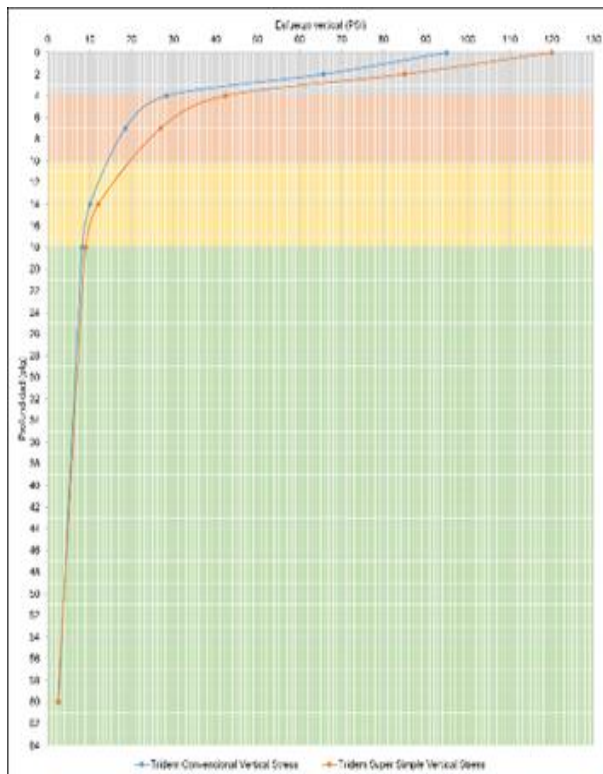


### T3S3 N° 34

| Punto de análisis | Profundidades (in) | T3S3 N°34 Tridem Súper Simple |            |
|-------------------|--------------------|-------------------------------|------------|
|                   |                    | Esfuerzo (psi)                |            |
|                   |                    | Vertical                      | Horizontal |
| 1                 | 0                  | 120.0                         | 399.9      |
| 2                 | 2                  | 85.0                          | 49.6       |
| 3                 | 4                  | 42.3                          | -269.7     |
| 4                 | 7                  | 26.9                          | -1.2       |
| 5                 | 14                 | 12.1                          | 0.1        |
| 6                 | 18                 | 9.1                           | -1.4       |
| 7                 | 60                 | 2.4                           | 0.2        |

| Punto de análisis | Profundidades (in) | T3S3 N°34 Tridem Convencional |            |
|-------------------|--------------------|-------------------------------|------------|
|                   |                    | Esfuerzo (psi)                |            |
|                   |                    | Vertical                      | Horizontal |
| 1                 | 0                  | 95.0                          | 295.3      |
| 2                 | 2                  | 65.6                          | 36.9       |
| 3                 | 4                  | 28.3                          | -167.0     |
| 4                 | 7                  | 18.5                          | -0.6       |
| 5                 | 14                 | 10.1                          | 0.1        |
| 6                 | 18                 | 8.3                           | -1.0       |
| 7                 | 60                 | 2.6                           | 0.1        |

| Punto de análisis | Profundidades (in) | Relación Esfuerzo |            |
|-------------------|--------------------|-------------------|------------|
|                   |                    | Vertical          | Horizontal |
|                   |                    | 1                 | 0          |
| 2                 | 2                  | 1.29              | 1.35       |
| 3                 | 4                  | 1.50              | 1.61       |
| 4                 | 7                  | 1.45              | 2.08       |
| 5                 | 14                 | 1.20              | 0.46       |
| 6                 | 18                 | 1.10              | 1.35       |
| 7                 | 60                 | 0.93              | 1.33       |

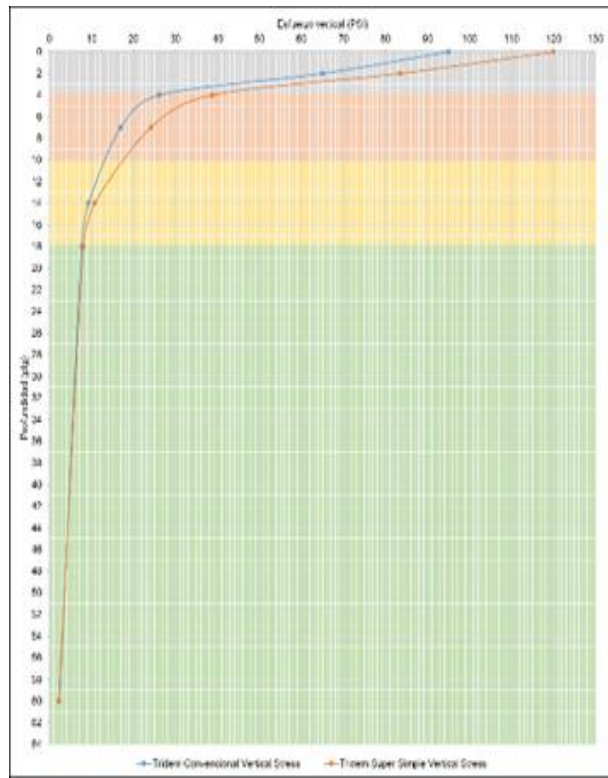


### T3S3 N° 35

| Punto de análisis | Profundidades (in) | T3S3 N°35 Tridem Super Simple |            |
|-------------------|--------------------|-------------------------------|------------|
|                   |                    | Esfuerzo (psi)                |            |
|                   |                    | Vertical                      | Horizontal |
| 1                 | 0                  | 120.0                         | 377.8      |
| 2                 | 2                  | 83.5                          | 45.4       |
| 3                 | 4                  | 38.7                          | -250.6     |
| 4                 | 7                  | 24.1                          | -1.0       |
| 5                 | 14                 | 10.8                          | 0.1        |
| 6                 | 18                 | 8.1                           | -1.2       |
| 7                 | 60                 | 2.2                           | 0.1        |

| Punto de análisis | Profundidades (in) | T3S3 N°35 Tridem Convencional |            |
|-------------------|--------------------|-------------------------------|------------|
|                   |                    | Esfuerzo (psi)                |            |
|                   |                    | Vertical                      | Horizontal |
| 1                 | 0                  | 95.0                          | 246.0      |
| 2                 | 2                  | 65.0                          | 33.9       |
| 3                 | 4                  | 26.1                          | -156.1     |
| 4                 | 7                  | 16.9                          | -0.6       |
| 5                 | 14                 | 9.3                           | 0.0        |
| 6                 | 18                 | 7.6                           | -1.0       |
| 7                 | 60                 | 2.3                           | 0.1        |

| Punto de análisis | Profundidades (in) | Relación Esfuerzo |            |
|-------------------|--------------------|-------------------|------------|
|                   |                    | Vertical          | Horizontal |
|                   |                    | 1                 | 0          |
| 2                 | 2                  | 1.28              | 1.34       |
| 3                 | 4                  | 1.48              | 1.61       |
| 4                 | 7                  | 1.43              | 1.83       |
| 5                 | 14                 | 1.16              | 2.03       |
| 6                 | 18                 | 1.06              | 1.20       |
| 7                 | 60                 | 0.93              | 1.35       |

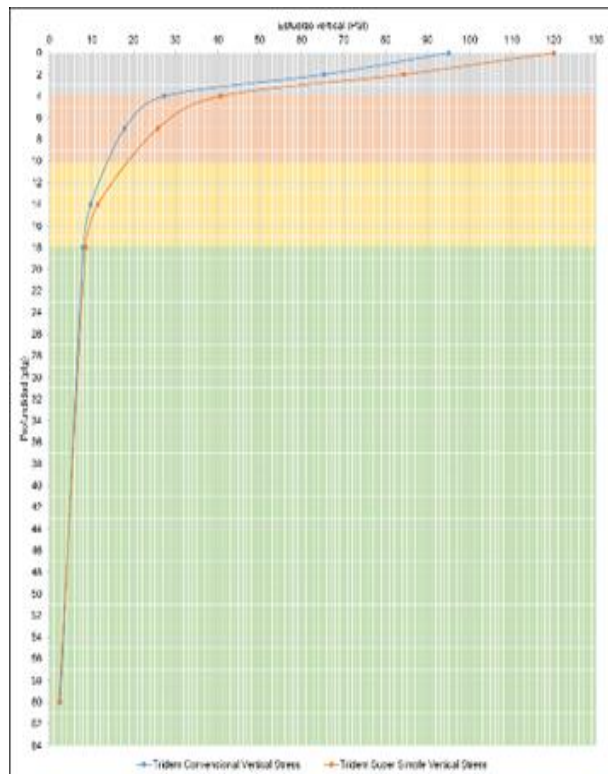


### T3S3 N° 36

| Punto de análisis | Profundidades (in) | T3S3 N°36 Tridem Súper Simple |            |
|-------------------|--------------------|-------------------------------|------------|
|                   |                    | Esfuerzo (psi)                |            |
|                   |                    | Vertical                      | Horizontal |
| 1                 | 0                  | 120.0                         | 393.2      |
| 2                 | 2                  | 84.3                          | 47.8       |
| 3                 | 4                  | 40.8                          | -261.7     |
| 4                 | 7                  | 25.7                          | -1.1       |
| 5                 | 14                 | 11.5                          | 0.1        |
| 6                 | 18                 | 8.6                           | -1.3       |
| 7                 | 60                 | 2.3                           | 0.2        |

| Punto de análisis | Profundidades (in) | T3S3 N°36 Tridem Convencional |            |
|-------------------|--------------------|-------------------------------|------------|
|                   |                    | Esfuerzo (psi)                |            |
|                   |                    | Vertical                      | Horizontal |
| 1                 | 0                  | 95.0                          | 287.7      |
| 2                 | 2                  | 65.4                          | 35.6       |
| 3                 | 4                  | 27.3                          | -162.4     |
| 4                 | 7                  | 17.8                          | -0.6       |
| 5                 | 14                 | 9.7                           | 0.1        |
| 6                 | 18                 | 8.0                           | -1.0       |
| 7                 | 60                 | 2.5                           | 0.1        |

| Punto de análisis | Profundidades (in) | Relación Esfuerzo |            |
|-------------------|--------------------|-------------------|------------|
|                   |                    | Vertical          | Horizontal |
|                   |                    | 1                 | 0          |
| 2                 | 2                  | 1.29              | 1.34       |
| 3                 | 4                  | 1.49              | 1.61       |
| 4                 | 7                  | 1.44              | 1.98       |
| 5                 | 14                 | 1.18              | 0.79       |
| 6                 | 18                 | 1.08              | 1.28       |
| 7                 | 60                 | 0.93              | 1.34       |

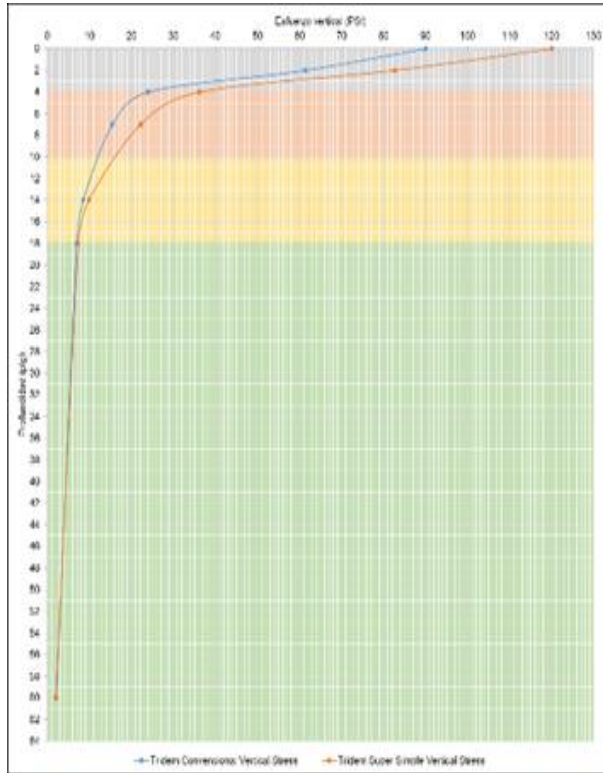


### T3S3 N° 37

| Punto de análisis | Profundidades (in) | T3S3 N°37 Tridem Súper Simple |            |
|-------------------|--------------------|-------------------------------|------------|
|                   |                    | Esfuerzo (psi)                |            |
|                   |                    | Vertical                      | Horizontal |
| 1                 | 0                  | 120.0                         | 362.4      |
| 2                 | 2                  | 82.6                          | 42.4       |
| 3                 | 4                  | 36.2                          | -236.8     |
| 4                 | 7                  | 22.2                          | -0.9       |
| 5                 | 14                 | 9.9                           | 0.1        |
| 6                 | 18                 | 7.4                           | -1.1       |
| 7                 | 60                 | 2.0                           | 0.1        |

| Punto de análisis | Profundidades (in) | T3S3 N°37 Tridem Convencional |            |
|-------------------|--------------------|-------------------------------|------------|
|                   |                    | Esfuerzo (psi)                |            |
|                   |                    | Vertical                      | Horizontal |
| 1                 | 0                  | 90.0                          | 227.4      |
| 2                 | 2                  | 61.4                          | 31.1       |
| 3                 | 4                  | 23.9                          | -143.9     |
| 4                 | 7                  | 15.5                          | -0.5       |
| 5                 | 14                 | 8.5                           | 0.0        |
| 6                 | 18                 | 6.9                           | -1.0       |
| 7                 | 60                 | 2.1                           | 0.1        |

| Punto de análisis | Profundidades (in) | Relación Esfuerzo |            |
|-------------------|--------------------|-------------------|------------|
|                   |                    | Vertical          | Horizontal |
|                   |                    | 1                 | 0          |
| 2                 | 2                  | 1.35              | 1.36       |
| 3                 | 4                  | 1.51              | 1.65       |
| 4                 | 7                  | 1.44              | 1.72       |
| 5                 | 14                 | 1.16              | 13.40      |
| 6                 | 18                 | 1.07              | 1.16       |
| 7                 | 60                 | 0.94              | 1.32       |

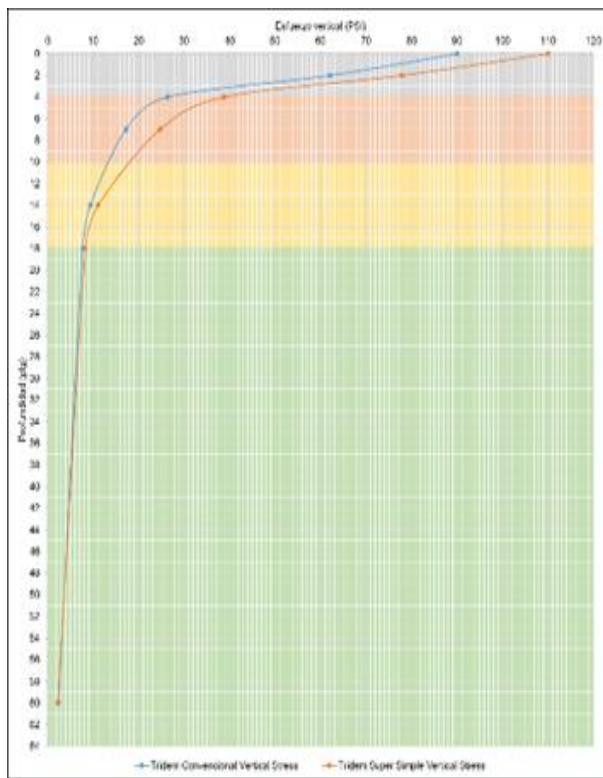


### T3S3 N° 38

| Punto de análisis | Profundidades (in) | T3S3 N°38 Tridem Súper Simple |            |
|-------------------|--------------------|-------------------------------|------------|
|                   |                    | Esfuerzo (psi)                |            |
|                   |                    | Vertical                      | Horizontal |
| 1                 | 0                  | 110.0                         | 366.6      |
| 2                 | 2                  | 77.9                          | 45.5       |
| 3                 | 4                  | 38.8                          | -247.2     |
| 4                 | 7                  | 24.7                          | -1.1       |
| 5                 | 14                 | 11.1                          | 0.0        |
| 6                 | 18                 | 8.3                           | -1.3       |
| 7                 | 60                 | 2.2                           | 0.2        |

| Punto de análisis | Profundidades (in) | T3S3 N°38 Tridem Convencional |            |
|-------------------|--------------------|-------------------------------|------------|
|                   |                    | Esfuerzo (psi)                |            |
|                   |                    | Vertical                      | Horizontal |
| 1                 | 0                  | 90.0                          | 276.2      |
| 2                 | 2                  | 62.1                          | 34.3       |
| 3                 | 4                  | 26.3                          | -156.1     |
| 4                 | 7                  | 17.2                          | -0.6       |
| 5                 | 14                 | 9.4                           | 0.1        |
| 6                 | 18                 | 7.7                           | -1.0       |
| 7                 | 60                 | 2.4                           | 0.1        |

| Punto de análisis | Profundidades (in) | Relación Esfuerzo |            |
|-------------------|--------------------|-------------------|------------|
|                   |                    | Vertical          | Horizontal |
|                   |                    | 1                 | 0          |
| 2                 | 2                  | 1.25              | 1.32       |
| 3                 | 4                  | 1.47              | 1.58       |
| 4                 | 7                  | 1.43              | 2.04       |
| 5                 | 14                 | 1.18              | 0.52       |
| 6                 | 18                 | 1.08              | 1.31       |
| 7                 | 60                 | 0.92              | 1.36       |



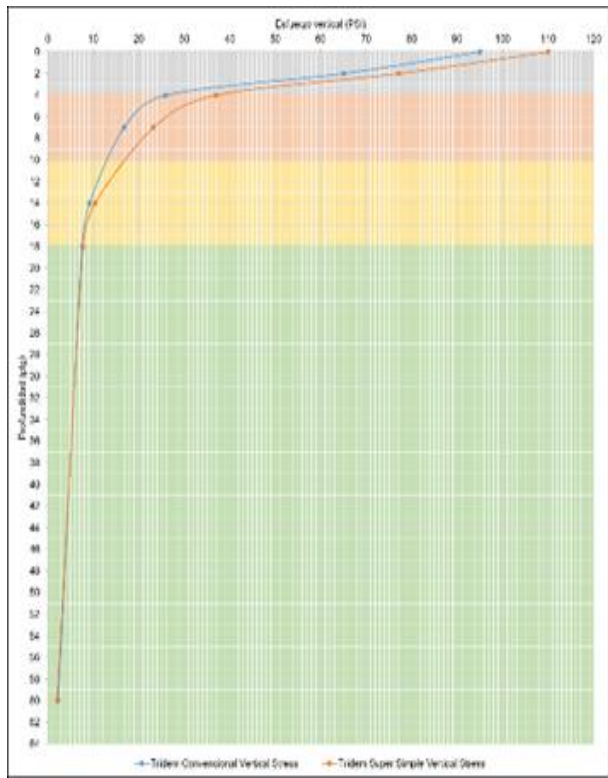


### T3S3 N° 39

| Punto de análisis | Profundidades (in) | T3S3 N°39 Tridem Súper Simple |            |
|-------------------|--------------------|-------------------------------|------------|
|                   |                    | Esfuerzo (psi)                |            |
|                   |                    | Vertical                      | Horizontal |
| 1                 | 0                  | 110.0                         | 357.5      |
| 2                 | 2                  | 77.2                          | 43.3       |
| 3                 | 4                  | 37.0                          | -237.8     |
| 4                 | 7                  | 23.3                          | -1.0       |
| 5                 | 14                 | 10.4                          | 0.1        |
| 6                 | 18                 | 7.8                           | -1.2       |
| 7                 | 60                 | 2.1                           | 0.1        |

| Punto de análisis | Profundidades (in) | T3S3 N°39 Tridem Convencional |            |
|-------------------|--------------------|-------------------------------|------------|
|                   |                    | Esfuerzo (psi)                |            |
|                   |                    | Vertical                      | Horizontal |
| 1                 | 0                  | 95.0                          | 244.7      |
| 2                 | 2                  | 65.0                          | 33.7       |
| 3                 | 4                  | 25.9                          | -155.2     |
| 4                 | 7                  | 16.8                          | -0.6       |
| 5                 | 14                 | 9.2                           | 0.0        |
| 6                 | 18                 | 7.5                           | -1.0       |
| 7                 | 60                 | 2.3                           | 0.1        |

| Punto de análisis | Profundidades (in) | Relación Esfuerzo |            |
|-------------------|--------------------|-------------------|------------|
|                   |                    | Vertical          | Horizontal |
|                   |                    | 1                 | 0          |
| 2                 | 2                  | 1.19              | 1.29       |
| 3                 | 4                  | 1.43              | 1.53       |
| 4                 | 7                  | 1.39              | 1.83       |
| 5                 | 14                 | 1.13              | 2.07       |
| 6                 | 18                 | 1.04              | 1.17       |
| 7                 | 60                 | 0.91              | 1.41       |

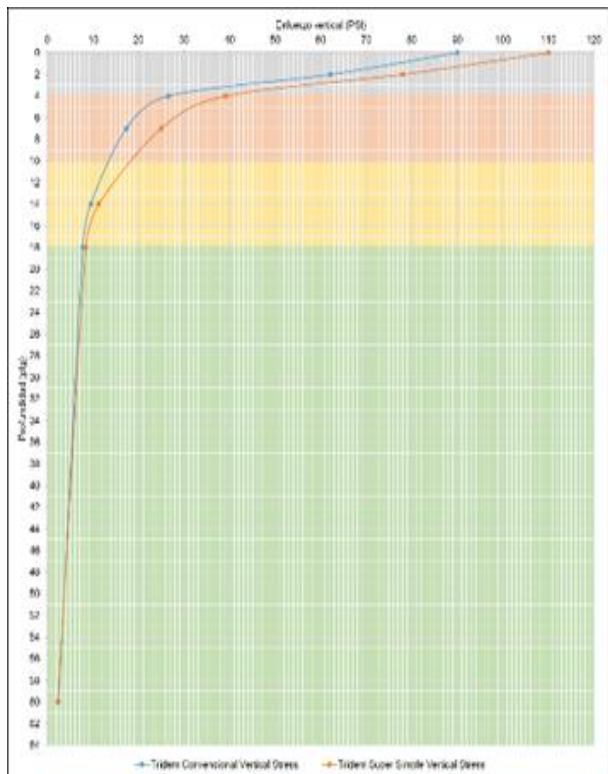


### T3S3 N° 40

| Punto de análisis | Profundidades (in) | T3S3 N°40 Tridem Súper Simple |            |
|-------------------|--------------------|-------------------------------|------------|
|                   |                    | Esfuerzo (psi)                |            |
|                   |                    | Vertical                      | Horizontal |
| 1                 | 0                  | 110.0                         | 368.9      |
| 2                 | 2                  | 78.0                          | 45.9       |
| 3                 | 4                  | 39.1                          | -248.8     |
| 4                 | 7                  | 24.9                          | -1.1       |
| 5                 | 14                 | 11.2                          | 0.0        |
| 6                 | 18                 | 8.4                           | -1.3       |
| 7                 | 60                 | 2.3                           | 0.2        |

| Punto de análisis | Profundidades (in) | T3S3 N°40 Tridem Convencional |            |
|-------------------|--------------------|-------------------------------|------------|
|                   |                    | Esfuerzo (psi)                |            |
|                   |                    | Vertical                      | Horizontal |
| 1                 | 0                  | 90.0                          | 277.7      |
| 2                 | 2                  | 62.1                          | 34.6       |
| 3                 | 4                  | 26.5                          | -157.0     |
| 4                 | 7                  | 17.4                          | -0.6       |
| 5                 | 14                 | 9.5                           | 0.1        |
| 6                 | 18                 | 7.8                           | -1.0       |
| 7                 | 60                 | 2.4                           | 0.1        |

| Punto de análisis | Profundidades (in) | Relación Esfuerzo |            |
|-------------------|--------------------|-------------------|------------|
|                   |                    | Vertical          | Horizontal |
|                   |                    | 1                 | 0          |
| 2                 | 2                  | 1.26              | 1.33       |
| 3                 | 4                  | 1.47              | 1.58       |
| 4                 | 7                  | 1.44              | 2.06       |
| 5                 | 14                 | 1.18              | 0.46       |
| 6                 | 18                 | 1.08              | 1.33       |
| 7                 | 60                 | 0.92              | 1.35       |

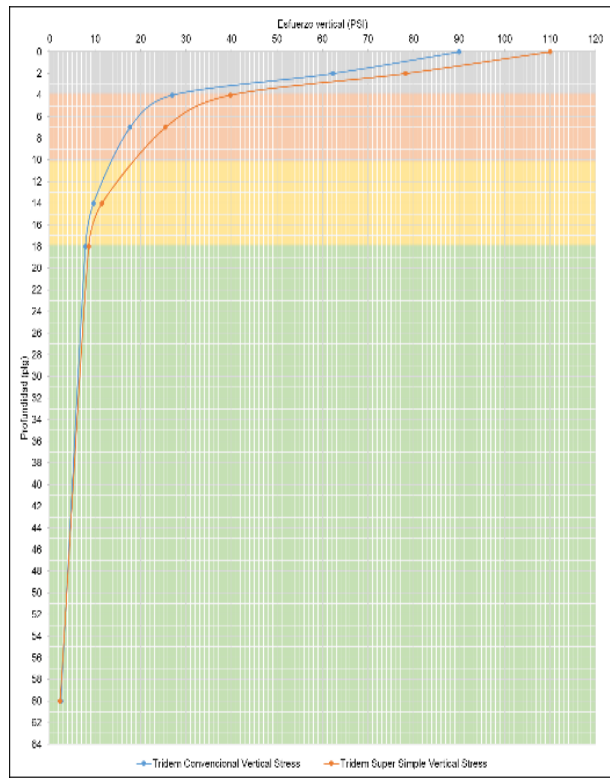


### T3S3 N° 41

| Punto de análisis | Profundidades (in) | T3S3 N°41 Tridem Súper Simple |            |
|-------------------|--------------------|-------------------------------|------------|
|                   |                    | Esfuerzo (psi)                |            |
|                   |                    | Vertical                      | Horizontal |
| 1                 | 0                  | 110.0                         | 373.4      |
| 2                 | 2                  | 78.3                          | 46.6       |
| 3                 | 4                  | 39.7                          | -252.0     |
| 4                 | 7                  | 25.4                          | -1.2       |
| 5                 | 14                 | 11.5                          | 0.0        |
| 6                 | 18                 | 8.6                           | -1.3       |
| 7                 | 60                 | 2.3                           | 0.2        |

| Punto de análisis | Profundidades (in) | T3S3 N°41 Tridem Convencional |            |
|-------------------|--------------------|-------------------------------|------------|
|                   |                    | Esfuerzo (psi)                |            |
|                   |                    | Vertical                      | Horizontal |
| 1                 | 0                  | 90.0                          | 281.1      |
| 2                 | 2                  | 62.2                          | 35.1       |
| 3                 | 4                  | 26.9                          | -159.0     |
| 4                 | 7                  | 17.7                          | -0.6       |
| 5                 | 14                 | 9.6                           | 0.1        |
| 6                 | 18                 | 7.9                           | -1.0       |
| 7                 | 60                 | 2.5                           | 0.1        |

| Punto de análisis | Profundidades (in) | Relación Esfuerzo |            |
|-------------------|--------------------|-------------------|------------|
|                   |                    | Vertical          | Horizontal |
|                   |                    | 1                 | 0          |
| 2                 | 2                  | 1.26              | 1.33       |
| 3                 | 4                  | 1.47              | 1.58       |
| 4                 | 7                  | 1.44              | 2.10       |
| 5                 | 14                 | 1.19              | 0.33       |
| 6                 | 18                 | 1.09              | 1.36       |
| 7                 | 60                 | 0.92              | 1.35       |

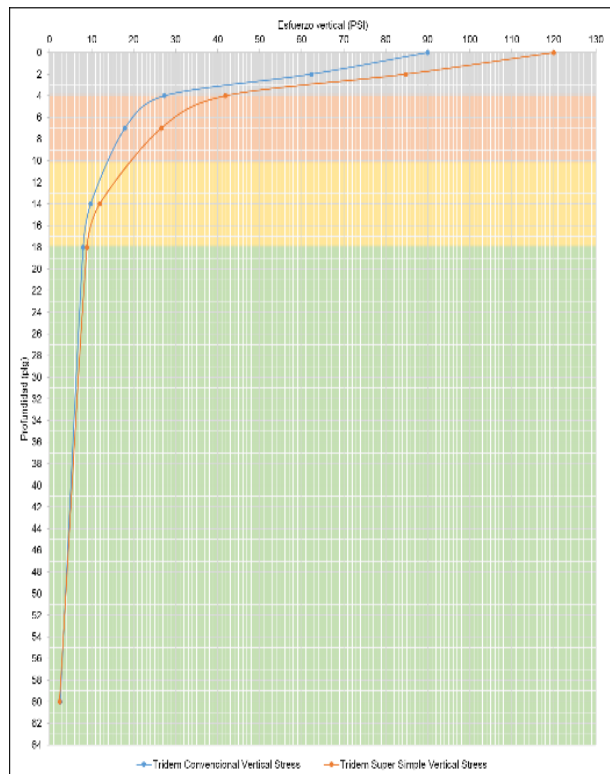


### T3S3 N° 42

| Punto de análisis | Profundidades (in) | T3S3 N°42 Tridem Súper Simple |            |
|-------------------|--------------------|-------------------------------|------------|
|                   |                    | Esfuerzo (psi)                |            |
|                   |                    | Vertical                      | Horizontal |
| 1                 | 0                  | 120.0                         | 396.8      |
| 2                 | 2                  | 84.8                          | 49.1       |
| 3                 | 4                  | 41.9                          | -267.5     |
| 4                 | 7                  | 26.6                          | -1.2       |
| 5                 | 14                 | 11.9                          | 0.1        |
| 6                 | 18                 | 8.9                           | -1.4       |
| 7                 | 60                 | 2.4                           | 0.2        |

| Punto de análisis | Profundidades (in) | T3S3 N°42 Tridem Convencional |            |
|-------------------|--------------------|-------------------------------|------------|
|                   |                    | Esfuerzo (psi)                |            |
|                   |                    | Vertical                      | Horizontal |
| 1                 | 0                  | 90.0                          | 284.1      |
| 2                 | 2                  | 62.3                          | 35.6       |
| 3                 | 4                  | 27.3                          | -160.8     |
| 4                 | 7                  | 17.9                          | -0.6       |
| 5                 | 14                 | 9.8                           | 0.1        |
| 6                 | 18                 | 8.0                           | -1.0       |
| 7                 | 60                 | 2.6                           | 0.1        |

| Punto de análisis | Profundidades (in) | Relación Esfuerzo |            |
|-------------------|--------------------|-------------------|------------|
|                   |                    | Vertical          | Horizontal |
|                   |                    | 1                 | 0          |
| 2                 | 2                  | 1.36              | 1.38       |
| 3                 | 4                  | 1.53              | 1.66       |
| 4                 | 7                  | 1.48              | 2.12       |
| 5                 | 14                 | 1.22              | 0.45       |
| 6                 | 18                 | 1.12              | 1.39       |
| 7                 | 60                 | 0.94              | 1.30       |

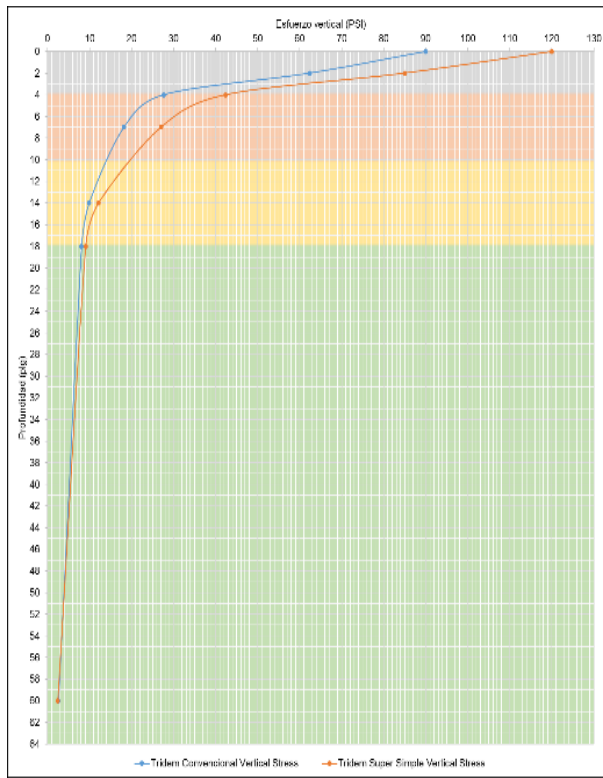


### T3S3 N° 43

| Punto de análisis | Profundidades (in) | T3S3 N°43 Tridem Súper Simple |            |
|-------------------|--------------------|-------------------------------|------------|
|                   |                    | Esfuerzo (psi)                |            |
|                   |                    | Vertical                      | Horizontal |
| 1                 | 0                  | 120.0                         | 400.5      |
| 2                 | 2                  | 85.0                          | 49.7       |
| 3                 | 4                  | 42.4                          | -270.1     |
| 4                 | 7                  | 27.0                          | -1.2       |
| 5                 | 14                 | 12.1                          | 0.0        |
| 6                 | 18                 | 9.1                           | -1.4       |
| 7                 | 60                 | 2.4                           | 0.2        |

| Punto de análisis | Profundidades (in) | T3S3 N°43 Tridem Convencional |            |
|-------------------|--------------------|-------------------------------|------------|
|                   |                    | Esfuerzo (psi)                |            |
|                   |                    | Vertical                      | Horizontal |
| 1                 | 0                  | 90.0                          | 286.5      |
| 2                 | 2                  | 62.4                          | 36.0       |
| 3                 | 4                  | 27.6                          | -162.2     |
| 4                 | 7                  | 18.2                          | -0.6       |
| 5                 | 14                 | 9.9                           | 0.1        |
| 6                 | 18                 | 8.1                           | -1.0       |
| 7                 | 60                 | 2.6                           | 0.1        |

| Punto de análisis | Profundidades (in) | Relación Esfuerzo |            |
|-------------------|--------------------|-------------------|------------|
|                   |                    | Vertical          | Horizontal |
|                   |                    | 1                 | 0          |
| 2                 | 2                  | 1.36              | 1.38       |
| 3                 | 4                  | 1.54              | 1.67       |
| 4                 | 7                  | 1.49              | 2.16       |
| 5                 | 14                 | 1.23              | 0.38       |
| 6                 | 18                 | 1.12              | 1.42       |
| 7                 | 60                 | 0.94              | 1.29       |

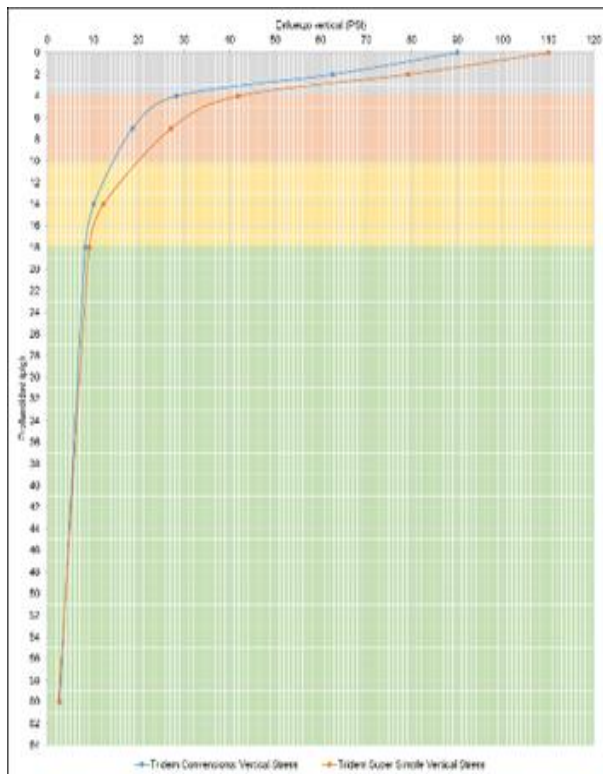


### T3S3 N° 44

| Punto de análisis | Profundidades (in) | T3S3 N°44 Tridem Súper Simple |            |
|-------------------|--------------------|-------------------------------|------------|
|                   |                    | Esfuerzo (psi)                |            |
|                   |                    | Vertical                      | Horizontal |
| 1                 | 0                  | 110.0                         | 389.2      |
| 2                 | 2                  | 79.2                          | 49.2       |
| 3                 | 4                  | 41.9                          | -262.7     |
| 4                 | 7                  | 27.2                          | -1.3       |
| 5                 | 14                 | 12.3                          | 0.0        |
| 6                 | 18                 | 9.2                           | -1.5       |
| 7                 | 60                 | 2.5                           | 0.2        |

| Punto de análisis | Profundidades (in) | T3S3 N°44 Tridem Convencional |            |
|-------------------|--------------------|-------------------------------|------------|
|                   |                    | Esfuerzo (psi)                |            |
|                   |                    | Vertical                      | Horizontal |
| 1                 | 0                  | 90.0                          | 292.0      |
| 2                 | 2                  | 62.6                          | 36.9       |
| 3                 | 4                  | 28.3                          | -165.4     |
| 4                 | 7                  | 18.7                          | -0.6       |
| 5                 | 14                 | 10.2                          | 0.1        |
| 6                 | 18                 | 8.3                           | -1.0       |
| 7                 | 60                 | 2.7                           | 0.2        |

| Punto de análisis | Profundidades (in) | Relación Esfuerzo |            |
|-------------------|--------------------|-------------------|------------|
|                   |                    | Vertical          | Horizontal |
|                   |                    | 1                 | 0          |
| 2                 | 2                  | 1.26              | 1.34       |
| 3                 | 4                  | 1.48              | 1.59       |
| 4                 | 7                  | 1.45              | 2.25       |
| 5                 | 14                 | 1.21              | 0.05       |
| 6                 | 18                 | 1.11              | 1.47       |
| 7                 | 60                 | 0.92              | 1.32       |

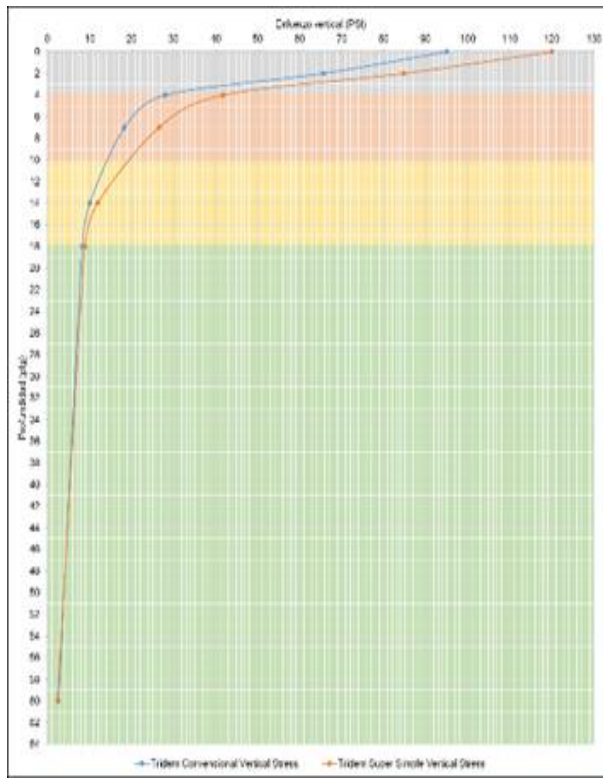


### T3S3 N° 45

| Punto de análisis | Profundidades (in) | T3S3 N°45 Tridem Súper Simple |            |
|-------------------|--------------------|-------------------------------|------------|
|                   |                    | Esfuerzo (psi)                |            |
|                   |                    | Vertical                      | Horizontal |
| 1                 | 0                  | 120.0                         | 396.1      |
| 2                 | 2                  | 84.8                          | 49.0       |
| 3                 | 4                  | 41.8                          | -267.0     |
| 4                 | 7                  | 26.5                          | -1.2       |
| 5                 | 14                 | 11.9                          | 0.1        |
| 6                 | 18                 | 8.9                           | -1.4       |
| 7                 | 60                 | 2.4                           | 0.2        |

| Punto de análisis | Profundidades (in) | T3S3 N°45 Tridem Convencional |            |
|-------------------|--------------------|-------------------------------|------------|
|                   |                    | Esfuerzo (psi)                |            |
|                   |                    | Vertical                      | Horizontal |
| 1                 | 0                  | 95.0                          | 293.1      |
| 2                 | 2                  | 65.6                          | 36.5       |
| 3                 | 4                  | 28.0                          | -165.7     |
| 4                 | 7                  | 18.3                          | -0.6       |
| 5                 | 14                 | 10.0                          | 0.1        |
| 6                 | 18                 | 8.2                           | -1.0       |
| 7                 | 60                 | 2.6                           | 0.1        |

| Punto de análisis | Profundidades (in) | Relación Esfuerzo |            |
|-------------------|--------------------|-------------------|------------|
|                   |                    | Vertical          | Horizontal |
|                   |                    | 1                 | 0          |
| 2                 | 2                  | 1.29              | 1.34       |
| 3                 | 4                  | 1.49              | 1.61       |
| 4                 | 7                  | 1.45              | 2.05       |
| 5                 | 14                 | 1.19              | 0.55       |
| 6                 | 18                 | 1.09              | 1.33       |
| 7                 | 60                 | 0.93              | 1.33       |

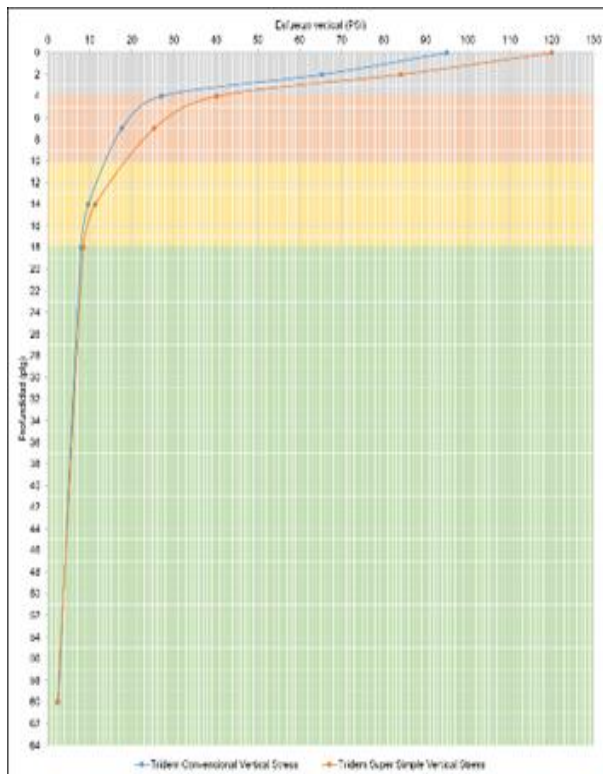


### T3S3 N° 46

| Punto de análisis | Profundidades (in) | T3S3 N°46 Tridem Súper Simple |            |
|-------------------|--------------------|-------------------------------|------------|
|                   |                    | Esfuerzo (psi)                |            |
|                   |                    | Vertical                      | Horizontal |
| 1                 | 0                  | 120.0                         | 389.4      |
| 2                 | 2                  | 84.1                          | 47.2       |
| 3                 | 4                  | 40.2                          | -258.9     |
| 4                 | 7                  | 25.3                          | -1.1       |
| 5                 | 14                 | 11.3                          | 0.1        |
| 6                 | 18                 | 8.5                           | -1.3       |
| 7                 | 60                 | 2.3                           | 0.2        |

| Punto de análisis | Profundidades (in) | T3S3 N°46 Tridem Convencional |            |
|-------------------|--------------------|-------------------------------|------------|
|                   |                    | Esfuerzo (psi)                |            |
|                   |                    | Vertical                      | Horizontal |
| 1                 | 0                  | 95.0                          | 255.2      |
| 2                 | 2                  | 65.3                          | 35.2       |
| 3                 | 4                  | 27.0                          | -161.0     |
| 4                 | 7                  | 17.6                          | -0.6       |
| 5                 | 14                 | 9.6                           | 0.1        |
| 6                 | 18                 | 7.9                           | -1.0       |
| 7                 | 60                 | 2.5                           | 0.1        |

| Punto de análisis | Profundidades (in) | Relación Esfuerzo |            |
|-------------------|--------------------|-------------------|------------|
|                   |                    | Vertical          | Horizontal |
|                   |                    | 1                 | 0          |
| 2                 | 2                  | 1.29              | 1.34       |
| 3                 | 4                  | 1.49              | 1.61       |
| 4                 | 7                  | 1.44              | 1.94       |
| 5                 | 14                 | 1.17              | 0.94       |
| 6                 | 18                 | 1.08              | 1.26       |
| 7                 | 60                 | 0.93              | 1.34       |

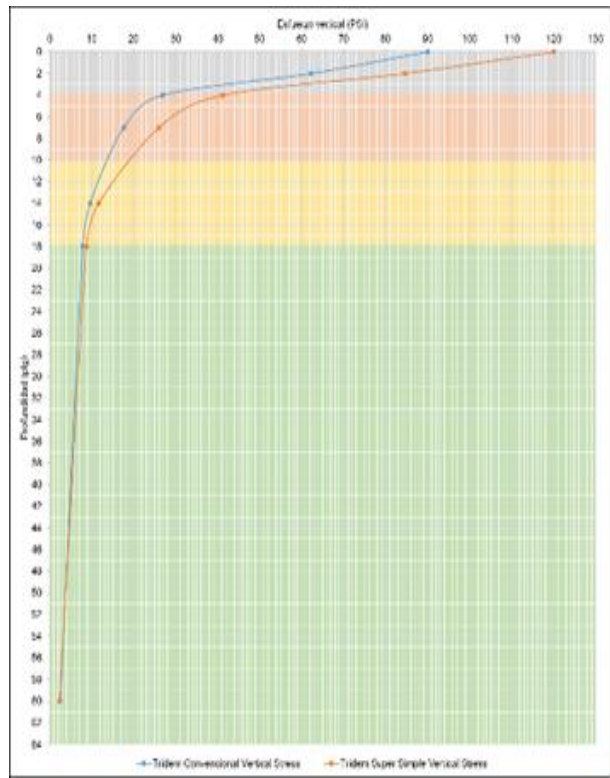


### T3S3 N° 47

| Punto de análisis | Profundidades (in) | T3S3 N°47 Tridem Súper Simple |            |
|-------------------|--------------------|-------------------------------|------------|
|                   |                    | Esfuerzo (psi)                |            |
|                   |                    | Vertical                      | Horizontal |
| 1                 | 0                  | 120.0                         | 391.7      |
| 2                 | 2                  | 84.5                          | 48.3       |
| 3                 | 4                  | 41.2                          | -263.9     |
| 4                 | 7                  | 26.1                          | -1.2       |
| 5                 | 14                 | 11.7                          | 0.1        |
| 6                 | 18                 | 8.7                           | -1.3       |
| 7                 | 60                 | 2.4                           | 0.2        |

| Punto de análisis | Profundidades (in) | T3S3 N°47 Tridem Convencional |            |
|-------------------|--------------------|-------------------------------|------------|
|                   |                    | Esfuerzo (psi)                |            |
|                   |                    | Vertical                      | Horizontal |
| 1                 | 0                  | 90.0                          | 280.5      |
| 2                 | 2                  | 62.2                          | 35.0       |
| 3                 | 4                  | 26.9                          | -158.7     |
| 4                 | 7                  | 17.6                          | -0.6       |
| 5                 | 14                 | 9.6                           | 0.1        |
| 6                 | 18                 | 7.9                           | -1.0       |
| 7                 | 60                 | 2.5                           | 0.1        |

| Punto de análisis | Profundidades (in) | Relación Esfuerzo |            |
|-------------------|--------------------|-------------------|------------|
|                   |                    | Vertical          | Horizontal |
|                   |                    | 1                 | 0          |
| 2                 | 2                  | 1.36              | 1.38       |
| 3                 | 4                  | 1.53              | 1.66       |
| 4                 | 7                  | 1.48              | 2.08       |
| 5                 | 14                 | 1.22              | 0.56       |
| 6                 | 18                 | 1.11              | 1.36       |
| 7                 | 60                 | 0.94              | 1.29       |

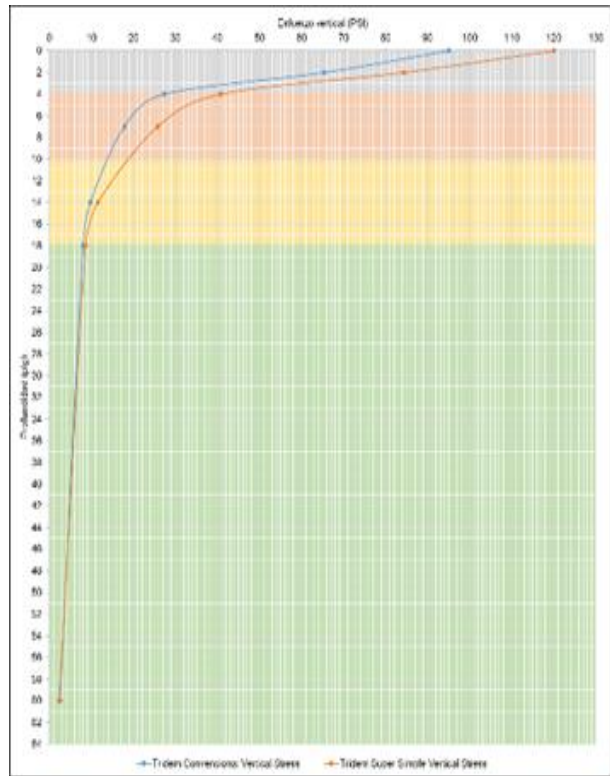


### T3S3 N° 48

| Punto de análisis | Profundidades (in) | T3S3 N°48 Tridem Súper Simple |            |
|-------------------|--------------------|-------------------------------|------------|
|                   |                    | Esfuerzo (psi)                |            |
|                   |                    | Vertical                      | Horizontal |
| 1                 | 0                  | 120.0                         | 393.2      |
| 2                 | 2                  | 84.3                          | 47.8       |
| 3                 | 4                  | 40.8                          | -261.7     |
| 4                 | 7                  | 25.7                          | -1.1       |
| 5                 | 14                 | 11.5                          | 0.1        |
| 6                 | 18                 | 8.6                           | -1.3       |
| 7                 | 60                 | 2.3                           | 0.2        |

| Punto de análisis | Profundidades (in) | T3S3 N°48 Tridem Convencional |            |
|-------------------|--------------------|-------------------------------|------------|
|                   |                    | Esfuerzo (psi)                |            |
|                   |                    | Vertical                      | Horizontal |
| 1                 | 0                  | 95.0                          | 287.6      |
| 2                 | 2                  | 65.4                          | 35.6       |
| 3                 | 4                  | 27.3                          | -162.4     |
| 4                 | 7                  | 17.8                          | -0.6       |
| 5                 | 14                 | 9.7                           | 0.1        |
| 6                 | 18                 | 8.0                           | -1.0       |
| 7                 | 60                 | 2.5                           | 0.1        |

| Punto de análisis | Profundidades (in) | Relación Esfuerzo |            |
|-------------------|--------------------|-------------------|------------|
|                   |                    | Vertical          | Horizontal |
|                   |                    | 1                 | 0          |
| 2                 | 2                  | 1.29              | 1.34       |
| 3                 | 4                  | 1.49              | 1.61       |
| 4                 | 7                  | 1.44              | 1.98       |
| 5                 | 14                 | 1.18              | 0.79       |
| 6                 | 18                 | 1.08              | 1.28       |
| 7                 | 60                 | 0.93              | 1.35       |

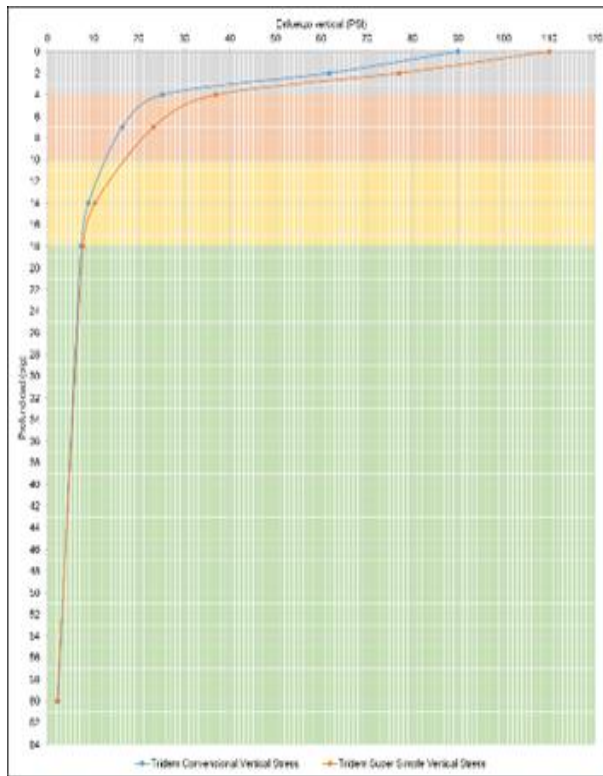


### T3S3 N° 49

| Punto de análisis | Profundidades (in) | T3S3 N°49 Tridem Súper Simple |            |
|-------------------|--------------------|-------------------------------|------------|
|                   |                    | Esfuerzo (psi)                |            |
|                   |                    | Vertical                      | Horizontal |
| 1                 | 0                  | 110.0                         | 356.9      |
| 2                 | 2                  | 77.1                          | 43.2       |
| 3                 | 4                  | 36.9                          | -237.4     |
| 4                 | 7                  | 23.2                          | -1.0       |
| 5                 | 14                 | 10.4                          | 0.1        |
| 6                 | 18                 | 7.8                           | -1.2       |
| 7                 | 60                 | 2.1                           | 0.1        |

| Punto de análisis | Profundidades (in) | T3S3 N°49 Tridem Convencional |            |
|-------------------|--------------------|-------------------------------|------------|
|                   |                    | Esfuerzo (psi)                |            |
|                   |                    | Vertical                      | Horizontal |
| 1                 | 0                  | 90.0                          | 236.4      |
| 2                 | 2                  | 61.7                          | 32.8       |
| 3                 | 4                  | 25.2                          | -150.2     |
| 4                 | 7                  | 16.4                          | -0.5       |
| 5                 | 14                 | 9.0                           | 0.0        |
| 6                 | 18                 | 7.3                           | -1.0       |
| 7                 | 60                 | 2.3                           | 0.1        |

| Punto de análisis | Profundidades (in) | Relación Esfuerzo |            |
|-------------------|--------------------|-------------------|------------|
|                   |                    | Vertical          | Horizontal |
|                   |                    | 1                 | 0          |
| 2                 | 2                  | 1.25              | 1.32       |
| 3                 | 4                  | 1.47              | 1.58       |
| 4                 | 7                  | 1.42              | 1.90       |
| 5                 | 14                 | 1.16              | 1.20       |
| 6                 | 18                 | 1.06              | 1.23       |
| 7                 | 60                 | 0.92              | 1.36       |

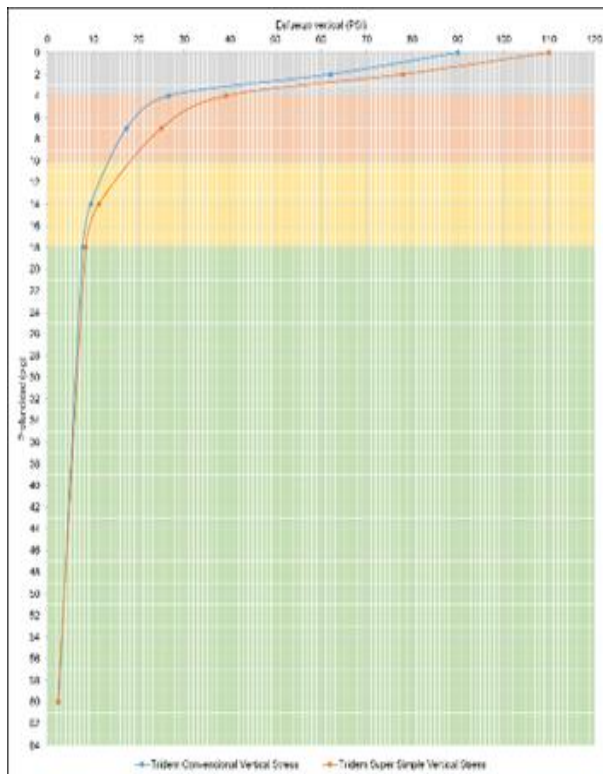


### T3S3 N° 50

| Punto de análisis | Profundidades (in) | T3S3 N°50 Tridem Súper Simple |            |
|-------------------|--------------------|-------------------------------|------------|
|                   |                    | Esfuerzo (psi)                |            |
|                   |                    | Vertical                      | Horizontal |
| 1                 | 0                  | 110.0                         | 368.9      |
| 2                 | 2                  | 78.0                          | 45.9       |
| 3                 | 4                  | 39.1                          | -248.8     |
| 4                 | 7                  | 24.9                          | -1.1       |
| 5                 | 14                 | 11.2                          | 0.0        |
| 6                 | 18                 | 8.4                           | -1.3       |
| 7                 | 60                 | 2.3                           | 0.2        |

| Punto de análisis | Profundidades (in) | T3S3 N°50 Tridem Convencional |            |
|-------------------|--------------------|-------------------------------|------------|
|                   |                    | Esfuerzo (psi)                |            |
|                   |                    | Vertical                      | Horizontal |
| 1                 | 0                  | 90.0                          | 277.7      |
| 2                 | 2                  | 62.1                          | 34.6       |
| 3                 | 4                  | 26.5                          | -157.0     |
| 4                 | 7                  | 17.4                          | -0.6       |
| 5                 | 14                 | 9.5                           | 0.1        |
| 6                 | 18                 | 7.8                           | -1.0       |
| 7                 | 60                 | 2.4                           | 0.1        |

| Punto de análisis | Profundidades (in) | Relación Esfuerzo |            |
|-------------------|--------------------|-------------------|------------|
|                   |                    | Vertical          | Horizontal |
|                   |                    | 1                 | 0          |
| 2                 | 2                  | 1.26              | 1.33       |
| 3                 | 4                  | 1.47              | 1.58       |
| 4                 | 7                  | 1.44              | 2.06       |
| 5                 | 14                 | 1.18              | 0.46       |
| 6                 | 18                 | 1.08              | 1.33       |
| 7                 | 60                 | 0.92              | 1.35       |

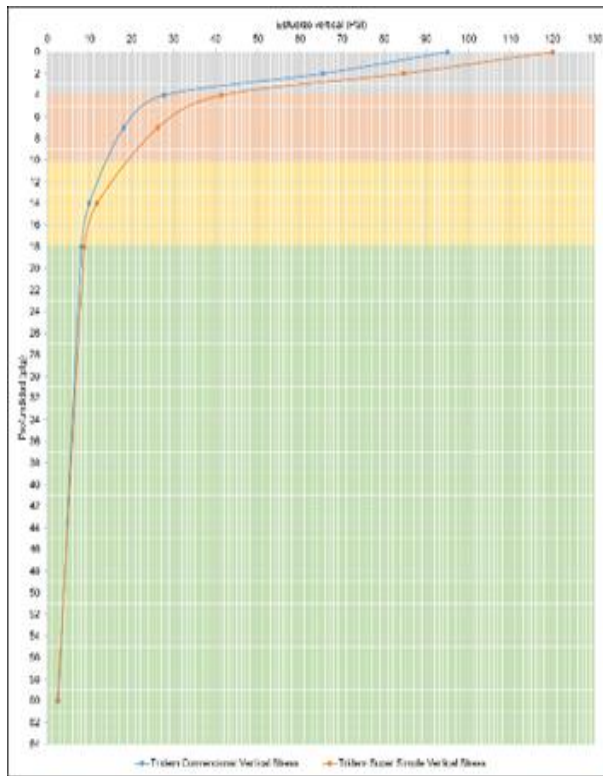


### T3S3 N° 51

| Punto de análisis | Profundidades (in) | T3S3 N°51 Tridem Súper Simple |            |
|-------------------|--------------------|-------------------------------|------------|
|                   |                    | Esfuerzo (psi)                |            |
|                   |                    | Vertical                      | Horizontal |
| 1                 | 0                  | 120.0                         | 393.0      |
| 2                 | 2                  | 84.6                          | 48.5       |
| 3                 | 4                  | 41.4                          | -264.8     |
| 4                 | 7                  | 26.2                          | -1.2       |
| 5                 | 14                 | 11.7                          | 0.1        |
| 6                 | 18                 | 8.8                           | -1.4       |
| 7                 | 60                 | 2.4                           | 0.2        |

| Punto de análisis | Profundidades (in) | T3S3 N°51 Tridem Convencional |            |
|-------------------|--------------------|-------------------------------|------------|
|                   |                    | Esfuerzo (psi)                |            |
|                   |                    | Vertical                      | Horizontal |
| 1                 | 0                  | 95.0                          | 290.6      |
| 2                 | 2                  | 65.5                          | 36.1       |
| 3                 | 4                  | 27.7                          | -164.2     |
| 4                 | 7                  | 18.1                          | -0.6       |
| 5                 | 14                 | 9.9                           | 0.1        |
| 6                 | 18                 | 8.1                           | -1.0       |
| 7                 | 60                 | 2.5                           | 0.1        |

| Punto de análisis | Profundidades (in) | Relación Esfuerzo |            |
|-------------------|--------------------|-------------------|------------|
|                   |                    | Vertical          | Horizontal |
|                   |                    | 1                 | 0          |
| 2                 | 2                  | 1.29              | 1.34       |
| 3                 | 4                  | 1.49              | 1.61       |
| 4                 | 7                  | 1.45              | 2.02       |
| 5                 | 14                 | 1.19              | 0.64       |
| 6                 | 18                 | 1.09              | 1.31       |
| 7                 | 60                 | 0.93              | 1.33       |

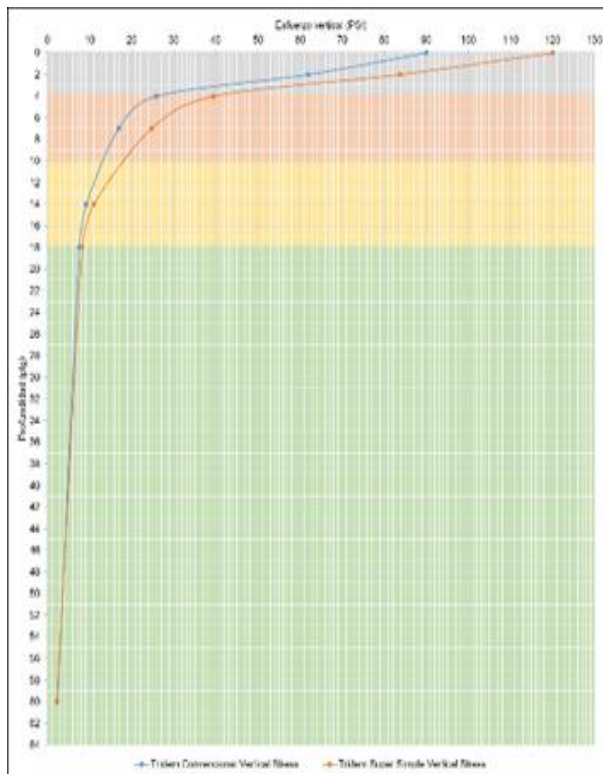


### T3S3 N° 52

| Punto de análisis | Profundidades (in) | T3S3 N°52 Tridem Súper Simple |            |
|-------------------|--------------------|-------------------------------|------------|
|                   |                    | Esfuerzo (psi)                |            |
|                   |                    | Vertical                      | Horizontal |
| 1                 | 0                  | 120.0                         | 383.6      |
| 2                 | 2                  | 83.8                          | 46.3       |
| 3                 | 4                  | 39.5                          | -254.8     |
| 4                 | 7                  | 24.7                          | -1.1       |
| 5                 | 14                 | 11.0                          | 0.1        |
| 6                 | 18                 | 8.3                           | -1.3       |
| 7                 | 60                 | 2.2                           | 0.2        |

| Punto de análisis | Profundidades (in) | T3S3 N°52 Tridem Convencional |            |
|-------------------|--------------------|-------------------------------|------------|
|                   |                    | Esfuerzo (psi)                |            |
|                   |                    | Vertical                      | Horizontal |
| 1                 | 0                  | 90.0                          | 272.5      |
| 2                 | 2                  | 61.9                          | 33.7       |
| 3                 | 4                  | 25.9                          | -153.8     |
| 4                 | 7                  | 16.9                          | -0.5       |
| 5                 | 14                 | 9.2                           | 0.1        |
| 6                 | 18                 | 7.5                           | -1.0       |
| 7                 | 60                 | 2.4                           | 0.1        |

| Punto de análisis | Profundidades (in) | Relación Esfuerzo |            |
|-------------------|--------------------|-------------------|------------|
|                   |                    | Vertical          | Horizontal |
|                   |                    | 1                 | 0          |
| 2                 | 2                  | 1.35              | 1.37       |
| 3                 | 4                  | 1.52              | 1.66       |
| 4                 | 7                  | 1.46              | 1.96       |
| 5                 | 14                 | 1.20              | 0.92       |
| 6                 | 18                 | 1.10              | 1.29       |
| 7                 | 60                 | 0.94              | 1.30       |

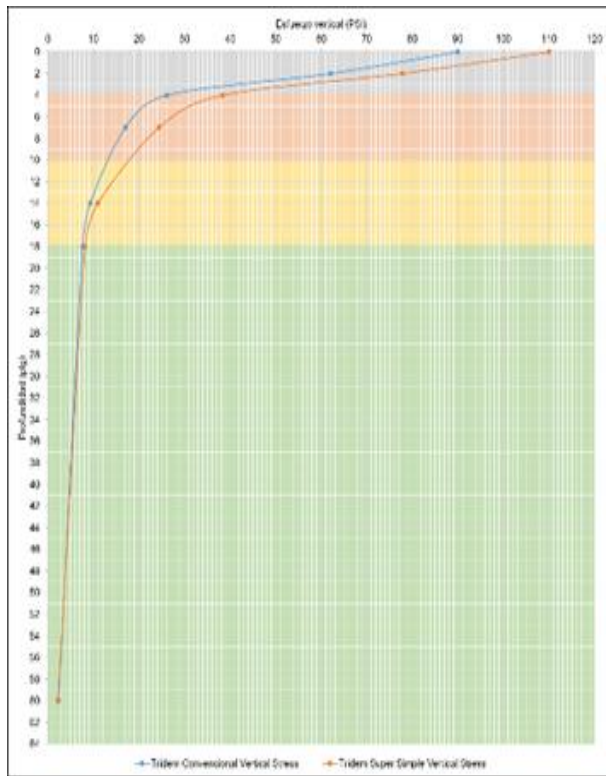


### T3S3 N° 53

| Punto de análisis | Profundidades (in) | T3S3 N°53 Tridem Súper Simple |            |
|-------------------|--------------------|-------------------------------|------------|
|                   |                    | Esfuerzo (psi)                |            |
|                   |                    | Vertical                      | Horizontal |
| 1                 | 0                  | 110.0                         | 363.7      |
| 2                 | 2                  | 77.7                          | 45.0       |
| 3                 | 4                  | 38.4                          | -245.2     |
| 4                 | 7                  | 24.4                          | -1.1       |
| 5                 | 14                 | 10.9                          | 0.0        |
| 6                 | 18                 | 8.2                           | -1.3       |
| 7                 | 60                 | 2.2                           | 0.2        |

| Punto de análisis | Profundidades (in) | T3S3 N°53 Tridem Convencional |            |
|-------------------|--------------------|-------------------------------|------------|
|                   |                    | Esfuerzo (psi)                |            |
|                   |                    | Vertical                      | Horizontal |
| 1                 | 0                  | 90.0                          | 274.3      |
| 2                 | 2                  | 62.0                          | 34.0       |
| 3                 | 4                  | 26.1                          | -154.9     |
| 4                 | 7                  | 17.0                          | -0.6       |
| 5                 | 14                 | 9.3                           | 0.1        |
| 6                 | 18                 | 7.6                           | -1.0       |
| 7                 | 60                 | 2.4                           | 0.1        |

| Punto de análisis | Profundidades (in) | Relación Esfuerzo |            |
|-------------------|--------------------|-------------------|------------|
|                   |                    | Vertical          | Horizontal |
|                   |                    | 1                 | 0          |
| 2                 | 2                  | 1.25              | 1.32       |
| 3                 | 4                  | 1.47              | 1.58       |
| 4                 | 7                  | 1.43              | 2.01       |
| 5                 | 14                 | 1.18              | 0.61       |
| 6                 | 18                 | 1.07              | 1.29       |
| 7                 | 60                 | 0.92              | 1.36       |

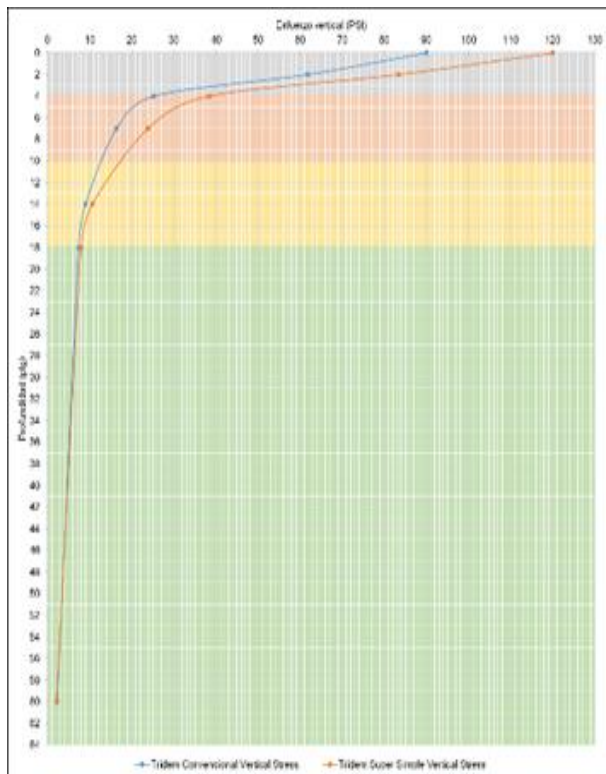


### T3S3 N° 54

| Punto de análisis | Profundidades (in) | T3S3 N°54 Tridem Súper Simple |            |
|-------------------|--------------------|-------------------------------|------------|
|                   |                    | Esfuerzo (psi)                |            |
|                   |                    | Vertical                      | Horizontal |
| 1                 | 0                  | 120.0                         | 384.0      |
| 2                 | 2                  | 83.4                          | 44.9       |
| 3                 | 4                  | 38.3                          | -248.8     |
| 4                 | 7                  | 23.9                          | -1.0       |
| 5                 | 14                 | 10.6                          | 0.1        |
| 6                 | 18                 | 8.0                           | -1.2       |
| 7                 | 60                 | 2.1                           | 0.1        |

| Punto de análisis | Profundidades (in) | T3S3 N°54 Tridem Convencional |            |
|-------------------|--------------------|-------------------------------|------------|
|                   |                    | Esfuerzo (psi)                |            |
|                   |                    | Vertical                      | Horizontal |
| 1                 | 0                  | 90.0                          | 236.5      |
| 2                 | 2                  | 61.7                          | 32.8       |
| 3                 | 4                  | 25.2                          | -150.3     |
| 4                 | 7                  | 16.4                          | -0.5       |
| 5                 | 14                 | 9.0                           | 0.1        |
| 6                 | 18                 | 7.3                           | -1.0       |
| 7                 | 60                 | 2.3                           | 0.1        |

| Punto de análisis | Profundidades (in) | Relación Esfuerzo |            |
|-------------------|--------------------|-------------------|------------|
|                   |                    | Vertical          | Horizontal |
|                   |                    | 1                 | 0          |
| 2                 | 2                  | 1.35              | 1.37       |
| 3                 | 4                  | 1.52              | 1.65       |
| 4                 | 7                  | 1.46              | 1.88       |
| 5                 | 14                 | 1.18              | 1.38       |
| 6                 | 18                 | 1.09              | 1.25       |
| 7                 | 60                 | 0.94              | 1.31       |



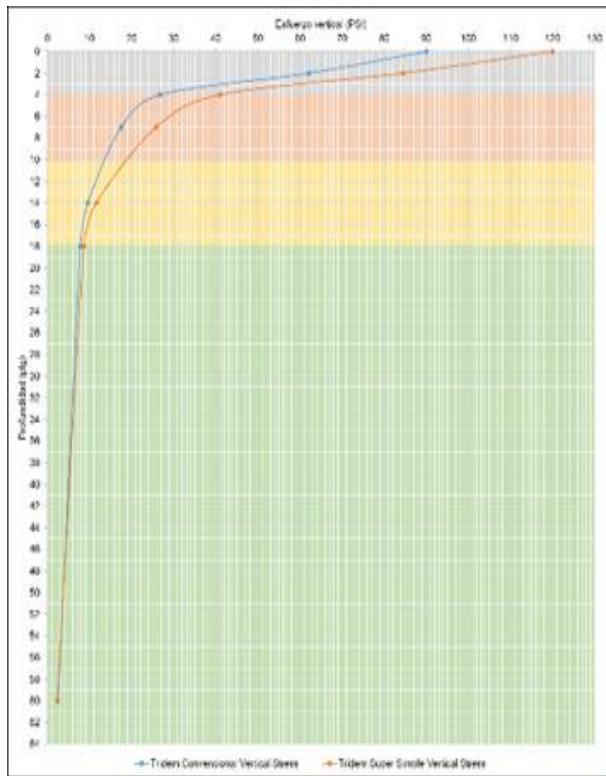


### T3S3 N° 55

| Punto de análisis | Profundidades (in) | T3S3 N°55 Tridem Súper Simple |            |
|-------------------|--------------------|-------------------------------|------------|
|                   |                    | Esfuerzo (psi)                |            |
|                   |                    | Vertical                      | Horizontal |
| 1                 | 0                  | 120.0                         | 394.5      |
| 2                 | 2                  | 84.4                          | 48.0       |
| 3                 | 4                  | 40.9                          | -262.6     |
| 4                 | 7                  | 25.9                          | -1.2       |
| 5                 | 14                 | 11.6                          | 0.1        |
| 6                 | 18                 | 8.7                           | -1.3       |
| 7                 | 60                 | 2.3                           | 0.2        |

| Punto de análisis | Profundidades (in) | T3S3 N°55 Tridem Convencional |            |
|-------------------|--------------------|-------------------------------|------------|
|                   |                    | Esfuerzo (psi)                |            |
|                   |                    | Vertical                      | Horizontal |
| 1                 | 0                  | 90.0                          | 279.4      |
| 2                 | 2                  | 62.2                          | 34.9       |
| 3                 | 4                  | 26.7                          | -158.0     |
| 4                 | 7                  | 17.5                          | -0.6       |
| 5                 | 14                 | 9.6                           | 0.1        |
| 6                 | 18                 | 7.8                           | -1.0       |
| 7                 | 60                 | 2.5                           | 0.1        |

| Punto de análisis | Profundidades (in) | Relación Esfuerzo |            |
|-------------------|--------------------|-------------------|------------|
|                   |                    | Vertical          | Horizontal |
|                   |                    | 1                 | 0          |
| 2                 | 2                  | 1.36              | 1.38       |
| 3                 | 4                  | 1.53              | 1.66       |
| 4                 | 7                  | 1.48              | 2.06       |
| 5                 | 14                 | 1.21              | 0.59       |
| 6                 | 18                 | 1.11              | 1.35       |
| 7                 | 60                 | 0.94              | 1.30       |

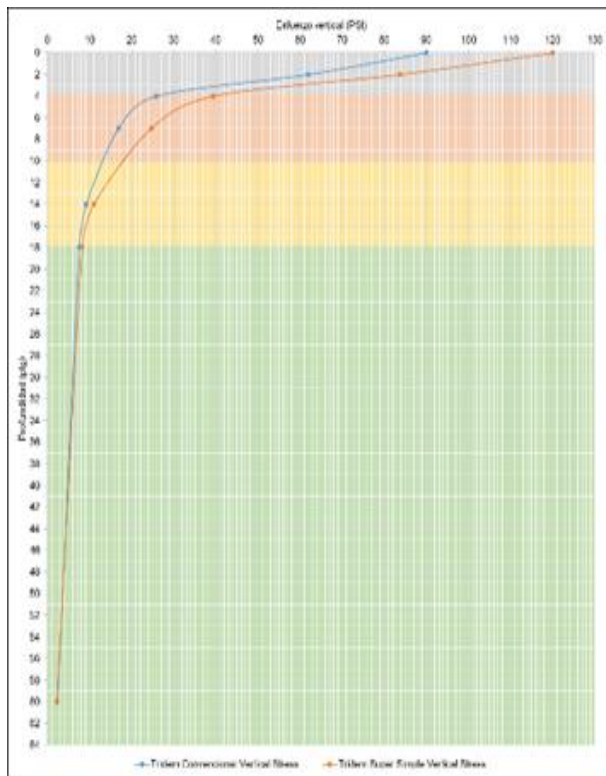


### T3S3 N° 56

| Punto de análisis | Profundidades (in) | T3S3 N°56 Tridem Súper Simple |            |
|-------------------|--------------------|-------------------------------|------------|
|                   |                    | Esfuerzo (psi)                |            |
|                   |                    | Vertical                      | Horizontal |
| 1                 | 0                  | 120.0                         | 382.9      |
| 2                 | 2                  | 83.8                          | 46.2       |
| 3                 | 4                  | 39.4                          | -254.3     |
| 4                 | 7                  | 24.7                          | -1.1       |
| 5                 | 14                 | 11.0                          | 0.1        |
| 6                 | 18                 | 8.3                           | -1.3       |
| 7                 | 60                 | 2.2                           | 0.1        |

| Punto de análisis | Profundidades (in) | T3S3 N°56 Tridem Convencional |            |
|-------------------|--------------------|-------------------------------|------------|
|                   |                    | Esfuerzo (psi)                |            |
|                   |                    | Vertical                      | Horizontal |
| 1                 | 0                  | 90.0                          | 272.0      |
| 2                 | 2                  | 61.9                          | 33.7       |
| 3                 | 4                  | 25.8                          | -153.5     |
| 4                 | 7                  | 16.8                          | -0.5       |
| 5                 | 14                 | 9.2                           | 0.1        |
| 6                 | 18                 | 7.5                           | -1.0       |
| 7                 | 60                 | 2.4                           | 0.1        |

| Punto de análisis | Profundidades (in) | Relación Esfuerzo |            |
|-------------------|--------------------|-------------------|------------|
|                   |                    | Vertical          | Horizontal |
|                   |                    | 1                 | 0          |
| 2                 | 2                  | 1.35              | 1.37       |
| 3                 | 4                  | 1.52              | 1.66       |
| 4                 | 7                  | 1.46              | 1.95       |
| 5                 | 14                 | 1.19              | 0.96       |
| 6                 | 18                 | 1.10              | 1.29       |
| 7                 | 60                 | 0.94              | 1.31       |

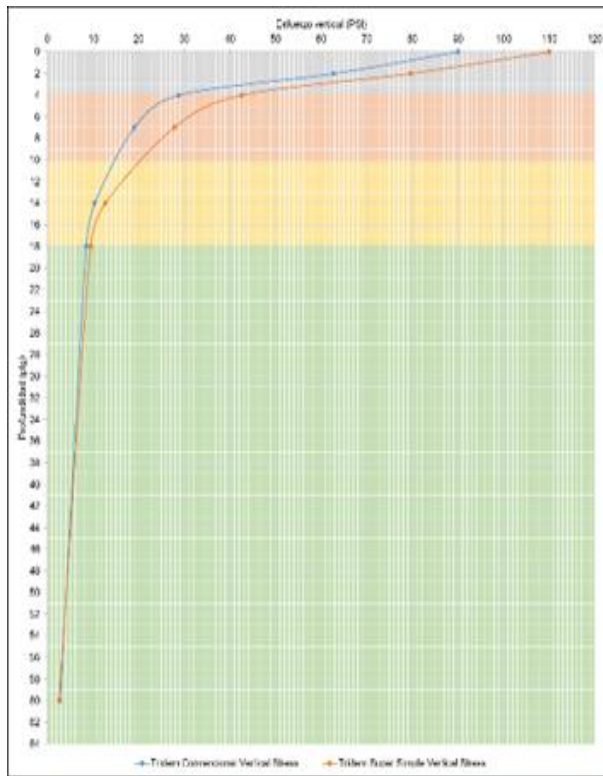


### T3S3 N° 57

| Punto de análisis | Profundidades (in) | T3S3 N°57 Tridem Súper Simple |            |
|-------------------|--------------------|-------------------------------|------------|
|                   |                    | Esfuerzo (psi)                |            |
|                   |                    | Vertical                      | Horizontal |
| 1                 | 0                  | 110.0                         | 394.8      |
| 2                 | 2                  | 79.5                          | 50.2       |
| 3                 | 4                  | 42.6                          | -266.4     |
| 4                 | 7                  | 27.8                          | -1.4       |
| 5                 | 14                 | 12.7                          | 0.0        |
| 6                 | 18                 | 9.4                           | -1.5       |
| 7                 | 60                 | 2.5                           | 0.2        |

| Punto de análisis | Profundidades (in) | T3S3 N°57 Tridem Convencional |            |
|-------------------|--------------------|-------------------------------|------------|
|                   |                    | Esfuerzo (psi)                |            |
|                   |                    | Vertical                      | Horizontal |
| 1                 | 0                  | 90.0                          | 299.5      |
| 2                 | 2                  | 62.8                          | 37.5       |
| 3                 | 4                  | 28.8                          | -167.7     |
| 4                 | 7                  | 19.0                          | -0.6       |
| 5                 | 14                 | 10.4                          | 0.2        |
| 6                 | 18                 | 8.5                           | -1.0       |
| 7                 | 60                 | 2.7                           | 0.2        |

| Punto de análisis | Profundidades (in) | Relación Esfuerzo |            |
|-------------------|--------------------|-------------------|------------|
|                   |                    | Vertical          | Horizontal |
|                   |                    | 1                 | 0          |
| 2                 | 2                  | 1.27              | 1.34       |
| 3                 | 4                  | 1.48              | 1.59       |
| 4                 | 7                  | 1.46              | 2.29       |
| 5                 | 14                 | 1.22              | -0.04      |
| 6                 | 18                 | 1.12              | 1.51       |
| 7                 | 60                 | 0.92              | 1.33       |

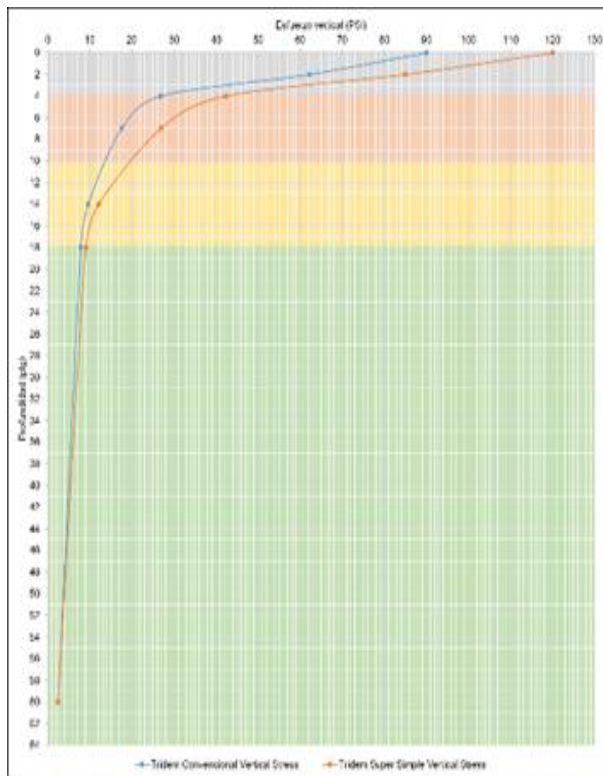


### T3S3 N° 58

| Punto de análisis | Profundidades (in) | T3S3 N°58 Tridem Súper Simple |            |
|-------------------|--------------------|-------------------------------|------------|
|                   |                    | Esfuerzo (psi)                |            |
|                   |                    | Vertical                      | Horizontal |
| 1                 | 0                  | 120.0                         | 399.9      |
| 2                 | 2                  | 85.0                          | 49.6       |
| 3                 | 4                  | 42.3                          | -269.7     |
| 4                 | 7                  | 26.9                          | -1.2       |
| 5                 | 14                 | 12.1                          | 0.1        |
| 6                 | 18                 | 9.1                           | -1.4       |
| 7                 | 60                 | 2.4                           | 0.2        |

| Punto de análisis | Profundidades (in) | T3S3 N°58 Tridem Convencional |            |
|-------------------|--------------------|-------------------------------|------------|
|                   |                    | Esfuerzo (psi)                |            |
|                   |                    | Vertical                      | Horizontal |
| 1                 | 0                  | 90.0                          | 280.0      |
| 2                 | 2                  | 62.2                          | 35.0       |
| 3                 | 4                  | 26.8                          | -158.4     |
| 4                 | 7                  | 17.6                          | -0.6       |
| 5                 | 14                 | 9.6                           | 0.1        |
| 6                 | 18                 | 7.8                           | -1.0       |
| 7                 | 60                 | 2.5                           | 0.1        |

| Punto de análisis | Profundidades (in) | Relación Esfuerzo |            |
|-------------------|--------------------|-------------------|------------|
|                   |                    | Vertical          | Horizontal |
|                   |                    | 1                 | 0          |
| 2                 | 2                  | 1.37              | 1.42       |
| 3                 | 4                  | 1.58              | 1.70       |
| 4                 | 7                  | 1.53              | 2.20       |
| 5                 | 14                 | 1.26              | 0.49       |
| 6                 | 18                 | 1.16              | 1.43       |
| 7                 | 60                 | 0.98              | 1.40       |

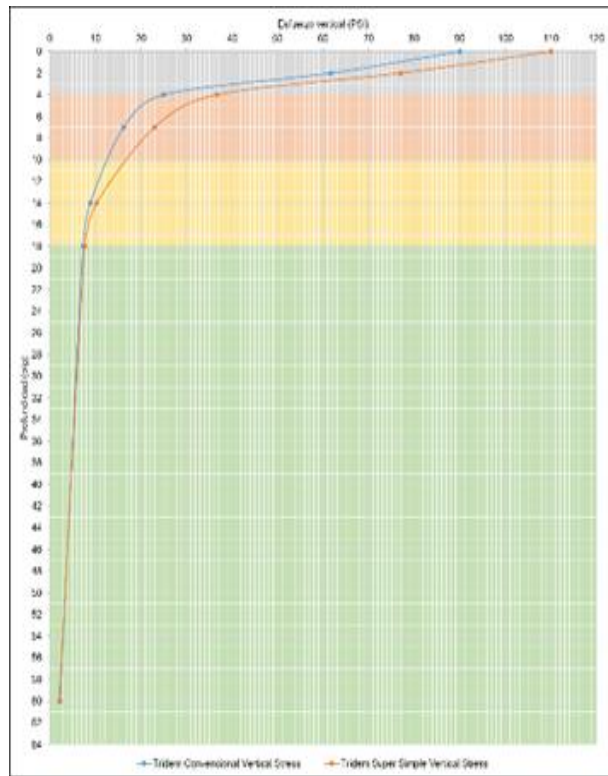


### T3S3 N° 59

| Punto de análisis | Profundidades (in) | T3S3 N°59 Tridem Súper Simple |            |
|-------------------|--------------------|-------------------------------|------------|
|                   |                    | Esfuerzo (psi)                |            |
|                   |                    | Vertical                      | Horizontal |
| 1                 | 0                  | 110.0                         | 355.2      |
| 2                 | 2                  | 77.0                          | 43.0       |
| 3                 | 4                  | 36.7                          | -236.1     |
| 4                 | 7                  | 23.0                          | -1.0       |
| 5                 | 14                 | 10.3                          | 0.1        |
| 6                 | 18                 | 7.7                           | -1.2       |
| 7                 | 60                 | 2.1                           | 0.1        |

| Punto de análisis | Profundidades (in) | T3S3 N°59 Tridem Convencional |            |
|-------------------|--------------------|-------------------------------|------------|
|                   |                    | Esfuerzo (psi)                |            |
|                   |                    | Vertical                      | Horizontal |
| 1                 | 0                  | 90.0                          | 235.3      |
| 2                 | 2                  | 61.7                          | 32.6       |
| 3                 | 4                  | 25.0                          | -149.4     |
| 4                 | 7                  | 16.3                          | -0.5       |
| 5                 | 14                 | 8.9                           | 0.0        |
| 6                 | 18                 | 7.3                           | -1.0       |
| 7                 | 60                 | 2.3                           | 0.1        |

| Punto de análisis | Profundidades (in) | Relación Esfuerzo |            |
|-------------------|--------------------|-------------------|------------|
|                   |                    | Vertical          | Horizontal |
|                   |                    | 1                 | 0          |
| 2                 | 2                  | 1.25              | 1.32       |
| 3                 | 4                  | 1.47              | 1.58       |
| 4                 | 7                  | 1.42              | 1.88       |
| 5                 | 14                 | 1.16              | 1.40       |
| 6                 | 18                 | 1.06              | 1.21       |
| 7                 | 60                 | 0.92              | 1.37       |

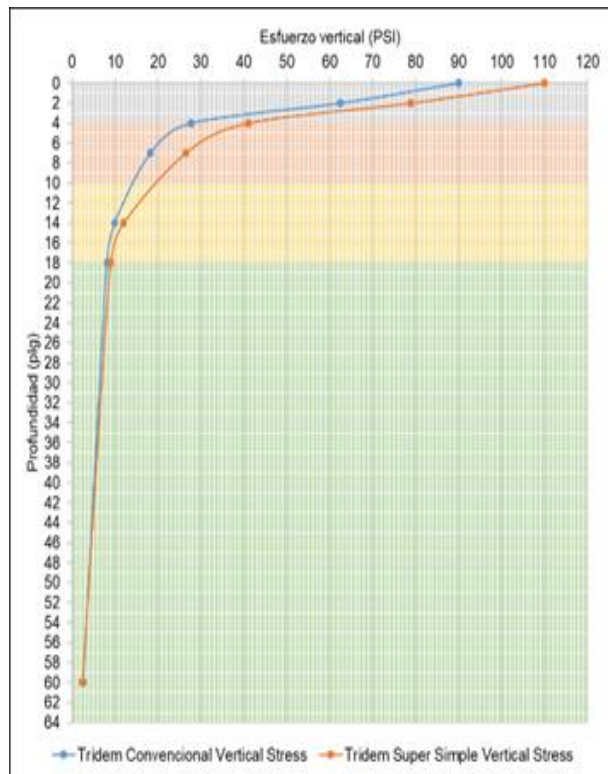


### T3S3 N° 60

| Punto de análisis | Profundidades (in) | T3S3 N°60 Tridem Súper Simple |            |
|-------------------|--------------------|-------------------------------|------------|
|                   |                    | Esfuerzo (psi)                |            |
|                   |                    | Vertical                      | Horizontal |
| 1                 | 0                  | 110.0                         | 383.0      |
| 2                 | 2                  | 78.8                          | 48.2       |
| 3                 | 4                  | 41.0                          | -258.6     |
| 4                 | 7                  | 26.5                          | -1.3       |
| 5                 | 14                 | 12.0                          | 0.0        |
| 6                 | 18                 | 8.9                           | -1.4       |
| 7                 | 60                 | 2.4                           | 0.2        |

| Punto de análisis | Profundidades (in) | T3S3 N°60 Tridem Convencional |            |
|-------------------|--------------------|-------------------------------|------------|
|                   |                    | Esfuerzo (psi)                |            |
|                   |                    | Vertical                      | Horizontal |
| 1                 | 0                  | 90.0                          | 287.8      |
| 2                 | 2                  | 62.5                          | 36.2       |
| 3                 | 4                  | 27.8                          | -163.0     |
| 4                 | 7                  | 18.3                          | -0.6       |
| 5                 | 14                 | 10.0                          | 0.1        |
| 6                 | 18                 | 8.1                           | -1.0       |
| 7                 | 60                 | 2.6                           | 0.1        |

| Punto de análisis | Profundidades (in) | Relación Esfuerzo |            |
|-------------------|--------------------|-------------------|------------|
|                   |                    | Vertical          | Horizontal |
|                   |                    | 1                 | 0          |
| 2                 | 2                  | 1.26              | 1.33       |
| 3                 | 4                  | 1.48              | 1.59       |
| 4                 | 7                  | 1.45              | 2.19       |
| 5                 | 14                 | 1.20              | 0.15       |
| 6                 | 18                 | 1.10              | 1.43       |
| 7                 | 60                 | 0.92              | 1.34       |

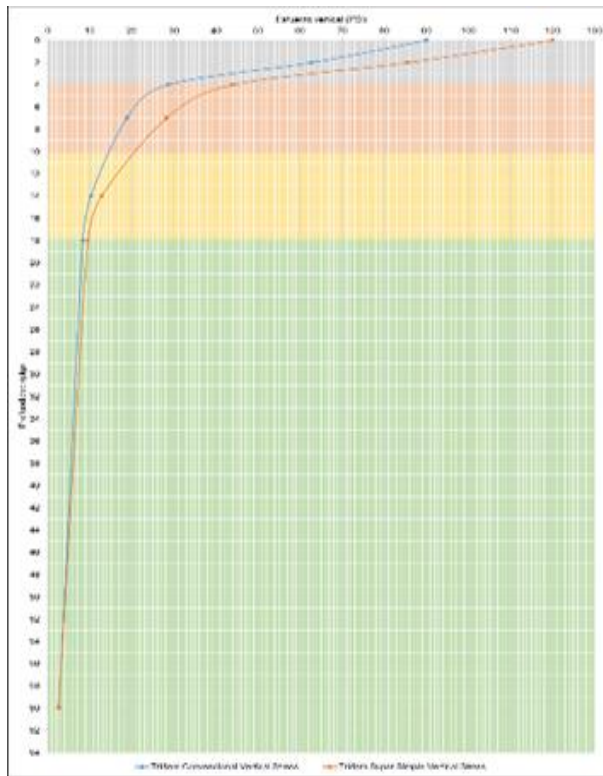


### T3S3 N° 61

| Punto de análisis | Profundidades (in) | T3S3 N°61 Tridem Súper Simple |            |
|-------------------|--------------------|-------------------------------|------------|
|                   |                    | Esfuerzo (psi)                |            |
|                   |                    | Vertical                      | Horizontal |
| 1                 | 0                  | 120.0                         | 411.7      |
| 2                 | 2                  | 85.6                          | 51.6       |
| 3                 | 4                  | 43.9                          | -277.9     |
| 4                 | 7                  | 28.2                          | -1.3       |
| 5                 | 14                 | 12.7                          | 0.0        |
| 6                 | 18                 | 9.5                           | -1.5       |
| 7                 | 60                 | 2.6                           | 0.2        |

| Punto de análisis | Profundidades (in) | T3S3 N°61 Tridem Convencional |            |
|-------------------|--------------------|-------------------------------|------------|
|                   |                    | Esfuerzo (psi)                |            |
|                   |                    | Vertical                      | Horizontal |
| 1                 | 0                  | 90.0                          | 297.4      |
| 2                 | 2                  | 62.7                          | 37.2       |
| 3                 | 4                  | 28.5                          | -166.6     |
| 4                 | 7                  | 18.8                          | -0.6       |
| 5                 | 14                 | 10.3                          | 0.2        |
| 6                 | 18                 | 8.4                           | -1.0       |
| 7                 | 60                 | 2.7                           | 0.2        |

| Punto de análisis | Profundidades (in) | Relación Esfuerzo |            |
|-------------------|--------------------|-------------------|------------|
|                   |                    | Vertical          | Horizontal |
|                   |                    | 1                 | 0          |
| 2                 | 2                  | 1.37              | 1.39       |
| 3                 | 4                  | 1.54              | 1.67       |
| 4                 | 7                  | 1.50              | 2.26       |
| 5                 | 14                 | 1.24              | 0.21       |
| 6                 | 18                 | 1.14              | 1.49       |
| 7                 | 60                 | 0.94              | 1.28       |

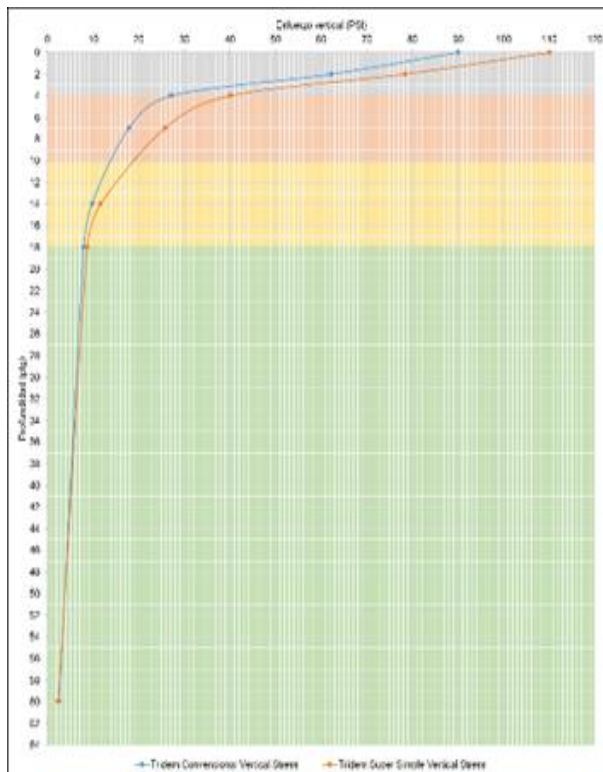


### T3S3 N° 62

| Punto de análisis | Profundidades (in) | T3S3 N°62 Tridem Súper Simple |            |
|-------------------|--------------------|-------------------------------|------------|
|                   |                    | Esfuerzo (psi)                |            |
|                   |                    | Vertical                      | Horizontal |
| 1                 | 0                  | 110.0                         | 376.3      |
| 2                 | 2                  | 78.4                          | 47.1       |
| 3                 | 4                  | 40.1                          | -254.0     |
| 4                 | 7                  | 25.7                          | -1.2       |
| 5                 | 14                 | 11.6                          | 0.0        |
| 6                 | 18                 | 8.7                           | -1.4       |
| 7                 | 60                 | 2.3                           | 0.2        |

| Punto de análisis | Profundidades (in) | T3S3 N°62 Tridem Convencional |            |
|-------------------|--------------------|-------------------------------|------------|
|                   |                    | Esfuerzo (psi)                |            |
|                   |                    | Vertical                      | Horizontal |
| 1                 | 0                  | 90.0                          | 282.9      |
| 2                 | 2                  | 62.3                          | 35.4       |
| 3                 | 4                  | 27.2                          | -160.1     |
| 4                 | 7                  | 17.8                          | -0.6       |
| 5                 | 14                 | 9.7                           | 0.1        |
| 6                 | 18                 | 7.9                           | -1.0       |
| 7                 | 60                 | 2.5                           | 0.1        |

| Punto de análisis | Profundidades (in) | Relación Esfuerzo |            |
|-------------------|--------------------|-------------------|------------|
|                   |                    | Vertical          | Horizontal |
|                   |                    | 1                 | 0          |
| 2                 | 2                  | 1.26              | 1.33       |
| 3                 | 4                  | 1.48              | 1.59       |
| 4                 | 7                  | 1.44              | 2.13       |
| 5                 | 14                 | 1.20              | 0.28       |
| 6                 | 18                 | 1.09              | 1.38       |
| 7                 | 60                 | 0.92              | 1.35       |

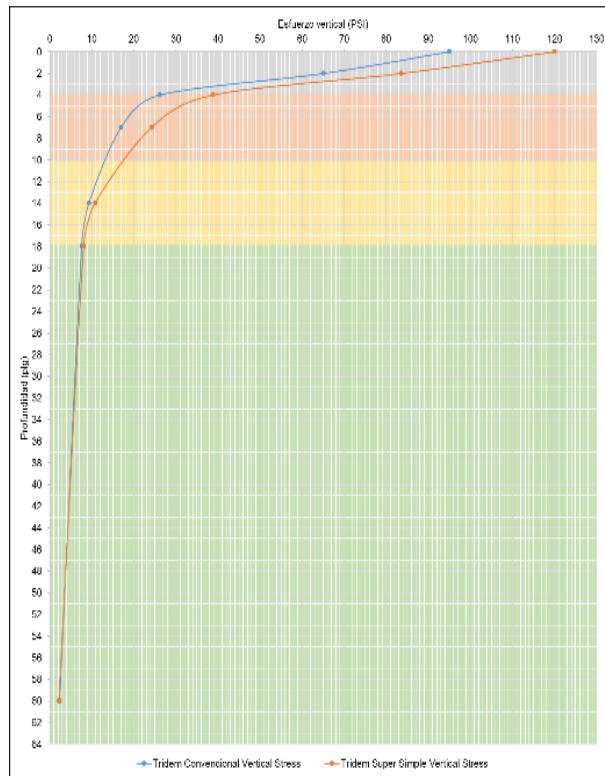


### T3S3 N° 63

| Punto de análisis | Profundidades (in) | T3S3 N°63 Tridem Súper Simple |            |
|-------------------|--------------------|-------------------------------|------------|
|                   |                    | Esfuerzo (psi)                |            |
|                   |                    | Vertical                      | Horizontal |
| 1                 | 0                  | 120.00                        | 378.41     |
| 2                 | 2                  | 83.53                         | 45.46      |
| 3                 | 4                  | 38.78                         | -251.10    |
| 4                 | 7                  | 24.19                         | -1.04      |
| 5                 | 14                 | 10.78                         | 0.07       |
| 6                 | 18                 | 8.09                          | -1.23      |
| 7                 | 60                 | 2.18                          | 0.14       |

| Punto de análisis | Profundidades (in) | T3S3 N°63 Tridem Convencional |            |
|-------------------|--------------------|-------------------------------|------------|
|                   |                    | Esfuerzo (psi)                |            |
|                   |                    | Vertical                      | Horizontal |
| 1                 | 0                  | 95.00                         | 246.34     |
| 2                 | 2                  | 65.04                         | 34.02      |
| 3                 | 4                  | 26.13                         | -156.34    |
| 4                 | 7                  | 16.96                         | -0.57      |
| 5                 | 14                 | 9.29                          | 0.04       |
| 6                 | 18                 | 7.60                          | -1.02      |
| 7                 | 60                 | 2.34                          | 0.11       |

| Punto de análisis | Profundidades (in) | Relación Esfuerzo |            |
|-------------------|--------------------|-------------------|------------|
|                   |                    | Vertical          | Horizontal |
|                   |                    | 1                 | 0          |
| 2                 | 2                  | 1.28              | 1.34       |
| 3                 | 4                  | 1.48              | 1.61       |
| 4                 | 7                  | 1.43              | 1.84       |
| 5                 | 14                 | 1.16              | 1.92       |
| 6                 | 18                 | 1.07              | 1.20       |
| 7                 | 60                 | 0.93              | 1.35       |

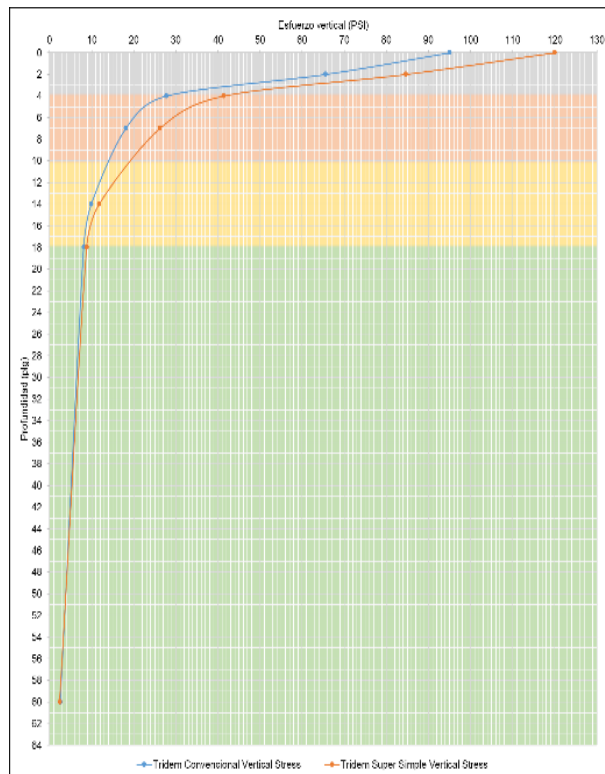


### T3S3 N° 64

| Punto de análisis | Profundidades (in) | T3S3 N°64 Tridem Súper Simple |            |
|-------------------|--------------------|-------------------------------|------------|
|                   |                    | Esfuerzo (psi)                |            |
|                   |                    | Vertical                      | Horizontal |
| 1                 | 0                  | 120.00                        | 393.00     |
| 2                 | 2                  | 84.59                         | 48.50      |
| 3                 | 4                  | 41.36                         | -264.82    |
| 4                 | 7                  | 26.19                         | -1.18      |
| 5                 | 14                 | 11.75                         | 0.06       |
| 6                 | 18                 | 8.79                          | -1.36      |
| 7                 | 60                 | 2.36                          | 0.17       |

| Punto de análisis | Profundidades (in) | T3S3 N°64 Tridem Convencional |            |
|-------------------|--------------------|-------------------------------|------------|
|                   |                    | Esfuerzo (psi)                |            |
|                   |                    | Vertical                      | Horizontal |
| 1                 | 0                  | 95.00                         | 290.62     |
| 2                 | 2                  | 65.50                         | 36.09      |
| 3                 | 4                  | 27.69                         | -164.19    |
| 4                 | 7                  | 18.10                         | -0.59      |
| 5                 | 14                 | 9.89                          | 0.09       |
| 6                 | 18                 | 8.08                          | -1.04      |
| 7                 | 60                 | 2.55                          | 0.13       |

| Punto de análisis | Profundidades (in) | Relación Esfuerzo |            |
|-------------------|--------------------|-------------------|------------|
|                   |                    | Vertical          | Horizontal |
|                   |                    | 1                 | 0          |
| 2                 | 2                  | 1.29              | 1.34       |
| 3                 | 4                  | 1.49              | 1.61       |
| 4                 | 7                  | 1.45              | 2.02       |
| 5                 | 14                 | 1.19              | 0.64       |
| 6                 | 18                 | 1.09              | 1.31       |
| 7                 | 60                 | 0.93              | 1.33       |

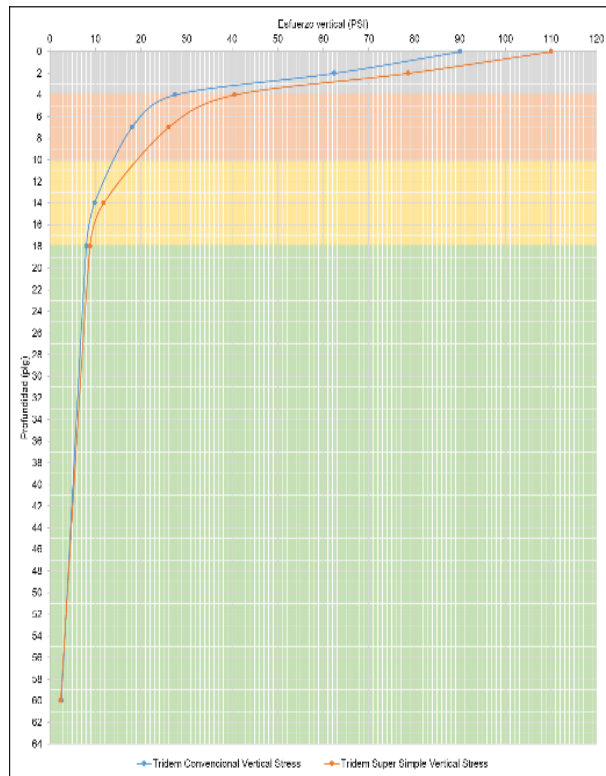


### T3S3 N° 65

| Punto de análisis | Profundidades (in) | T3S3 N°65 Tridem Súper Simple |            |
|-------------------|--------------------|-------------------------------|------------|
|                   |                    | Esfuerzo (psi)                |            |
|                   |                    | Vertical                      | Horizontal |
| 1                 | 0                  | 110.00                        | 379.09     |
| 2                 | 2                  | 78.58                         | 47.56      |
| 3                 | 4                  | 40.48                         | -255.92    |
| 4                 | 7                  | 26.04                         | -1.23      |
| 5                 | 14                 | 11.78                         | 0.03       |
| 6                 | 18                 | 8.79                          | -1.39      |
| 7                 | 60                 | 2.36                          | 0.18       |

| Punto de análisis | Profundidades (in) | T3S3 N°65 Tridem Convencional |            |
|-------------------|--------------------|-------------------------------|------------|
|                   |                    | Esfuerzo (psi)                |            |
|                   |                    | Vertical                      | Horizontal |
| 1                 | 0                  | 90.00                         | 285.10     |
| 2                 | 2                  | 62.37                         | 35.76      |
| 3                 | 4                  | 27.44                         | -161.40    |
| 4                 | 7                  | 18.03                         | -0.57      |
| 5                 | 14                 | 9.83                          | 0.12       |
| 6                 | 18                 | 8.03                          | -1.00      |
| 7                 | 60                 | 2.57                          | 0.14       |

| Punto de análisis | Profundidades (in) | Relación Esfuerzo |            |
|-------------------|--------------------|-------------------|------------|
|                   |                    | Vertical          | Horizontal |
|                   |                    | 1                 | 0          |
| 2                 | 2                  | 1.26              | 1.33       |
| 3                 | 4                  | 1.48              | 1.59       |
| 4                 | 7                  | 1.44              | 2.15       |
| 5                 | 14                 | 1.20              | 0.22       |
| 6                 | 18                 | 1.09              | 1.40       |
| 7                 | 60                 | 0.92              | 1.34       |

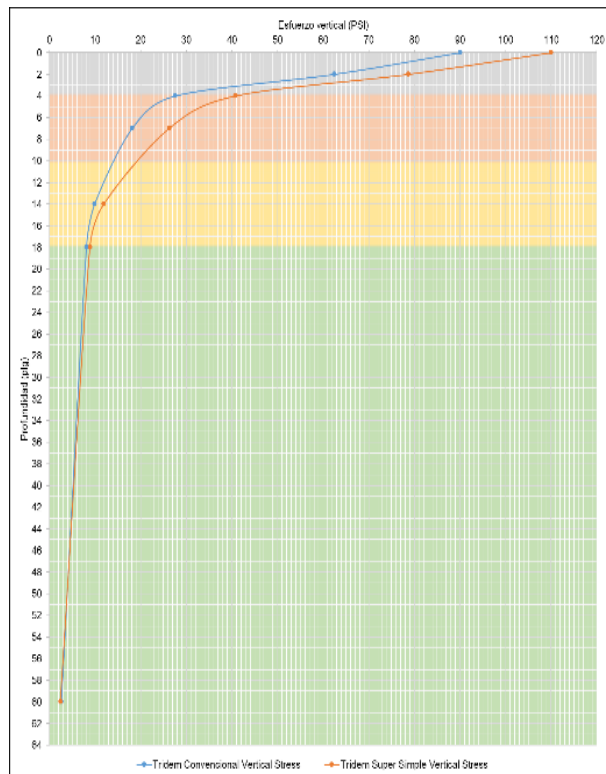


### T3S3 N° 66

| Punto de análisis | Profundidades (in) | T3S3 N°66 Tridem Súper Simple |            |
|-------------------|--------------------|-------------------------------|------------|
|                   |                    | Esfuerzo (psi)                |            |
|                   |                    | Vertical                      | Horizontal |
| 1                 | 0                  | 110.00                        | 380.79     |
| 2                 | 2                  | 78.68                         | 47.84      |
| 3                 | 4                  | 40.71                         | -257.08    |
| 4                 | 7                  | 26.23                         | -1.24      |
| 5                 | 14                 | 11.87                         | 0.02       |
| 6                 | 18                 | 8.86                          | -1.41      |
| 7                 | 60                 | 2.38                          | 0.19       |

| Punto de análisis | Profundidades (in) | T3S3 N°66 Tridem Convencional |            |
|-------------------|--------------------|-------------------------------|------------|
|                   |                    | Esfuerzo (psi)                |            |
|                   |                    | Vertical                      | Horizontal |
| 1                 | 0                  | 90.00                         | 286.07     |
| 2                 | 2                  | 62.41                         | 35.92      |
| 3                 | 4                  | 27.56                         | -161.97    |
| 4                 | 7                  | 18.12                         | -0.57      |
| 5                 | 14                 | 9.88                          | 0.13       |
| 6                 | 18                 | 8.07                          | -1.00      |
| 7                 | 60                 | 2.58                          | 0.14       |

| Punto de análisis | Profundidades (in) | Relación Esfuerzo |            |
|-------------------|--------------------|-------------------|------------|
|                   |                    | Vertical          | Horizontal |
|                   |                    | 1                 | 0          |
| 2                 | 2                  | 1.26              | 1.33       |
| 3                 | 4                  | 1.48              | 1.59       |
| 4                 | 7                  | 1.45              | 2.17       |
| 5                 | 14                 | 1.20              | 0.19       |
| 6                 | 18                 | 1.10              | 1.41       |
| 7                 | 60                 | 0.92              | 1.34       |

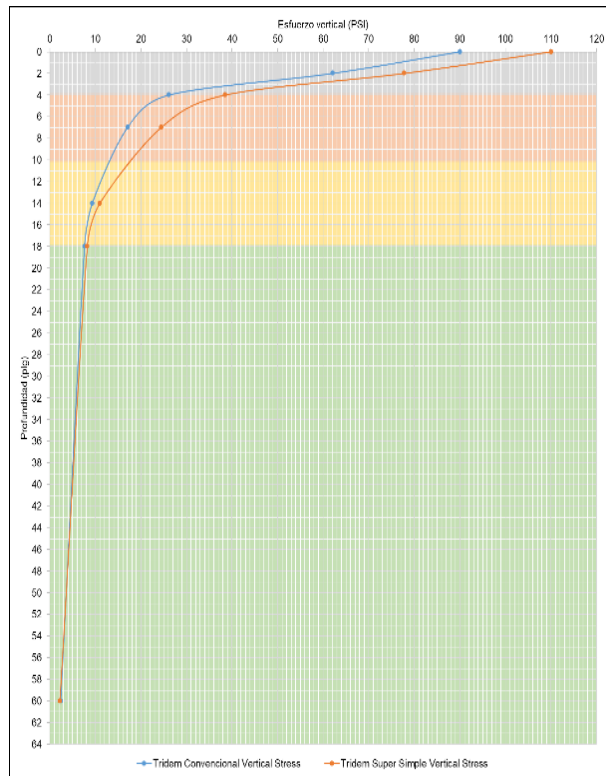


### T3S3 N° 67

| Punto de análisis | Profundidades (in) | T3S3 N°67 Tridem Súper Simple |            |
|-------------------|--------------------|-------------------------------|------------|
|                   |                    | Esfuerzo (psi)                |            |
|                   |                    | Vertical                      | Horizontal |
| 1                 | 0                  | 110.00                        | 364.27     |
| 2                 | 2                  | 77.77                         | 45.11      |
| 3                 | 4                  | 38.46                         | -245.60    |
| 4                 | 7                  | 24.44                         | -1.11      |
| 5                 | 14                 | 10.98                         | 0.05       |
| 6                 | 18                 | 8.21                          | -1.27      |
| 7                 | 60                 | 2.21                          | 0.16       |

| Punto de análisis | Profundidades (in) | T3S3 N°67 Tridem Convencional |            |
|-------------------|--------------------|-------------------------------|------------|
|                   |                    | Esfuerzo (psi)                |            |
|                   |                    | Vertical                      | Horizontal |
| 1                 | 0                  | 90.00                         | 274.46     |
| 2                 | 2                  | 62.02                         | 34.06      |
| 3                 | 4                  | 26.13                         | -155.03    |
| 4                 | 7                  | 17.07                         | -0.55      |
| 5                 | 14                 | 9.33                          | 0.08       |
| 6                 | 18                 | 7.63                          | -0.98      |
| 7                 | 60                 | 2.40                          | 0.12       |

| Punto de análisis | Profundidades (in) | Relación Esfuerzo |            |
|-------------------|--------------------|-------------------|------------|
|                   |                    | Vertical          | Horizontal |
|                   |                    | 1                 | 0          |
| 2                 | 2                  | 1.25              | 1.32       |
| 3                 | 4                  | 1.47              | 1.58       |
| 4                 | 7                  | 1.43              | 2.01       |
| 5                 | 14                 | 1.18              | 0.60       |
| 6                 | 18                 | 1.08              | 1.30       |
| 7                 | 60                 | 0.92              | 1.36       |

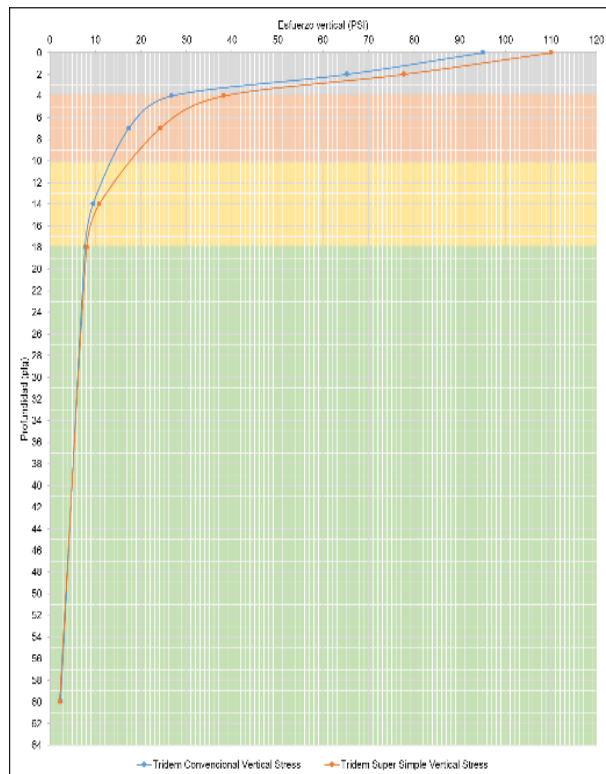


### T3S3 N° 68

| Punto de análisis | Profundidades (in) | T3S3 N°68 Tridem Súper Simple |            |
|-------------------|--------------------|-------------------------------|------------|
|                   |                    | Esfuerzo (psi)                |            |
|                   |                    | Vertical                      | Horizontal |
| 1                 | 0                  | 110.00                        | 361.98     |
| 2                 | 2                  | 77.64                         | 44.74      |
| 3                 | 4                  | 38.15                         | -243.97    |
| 4                 | 7                  | 24.19                         | -1.10      |
| 5                 | 14                 | 10.86                         | 0.05       |
| 6                 | 18                 | 8.12                          | -1.26      |
| 7                 | 60                 | 2.18                          | 0.16       |

| Punto de análisis | Profundidades (in) | T3S3 N°68 Tridem Convencional |            |
|-------------------|--------------------|-------------------------------|------------|
|                   |                    | Esfuerzo (psi)                |            |
|                   |                    | Vertical                      | Horizontal |
| 1                 | 0                  | 95.00                         | 244.66     |
| 2                 | 2                  | 65.19                         | 34.71      |
| 3                 | 4                  | 26.64                         | -158.96    |
| 4                 | 7                  | 17.33                         | -0.57      |
| 5                 | 14                 | 9.49                          | 0.05       |
| 6                 | 18                 | 7.76                          | -1.03      |
| 7                 | 60                 | 2.41                          | 0.11       |

| Punto de análisis | Profundidades (in) | Relación Esfuerzo |            |
|-------------------|--------------------|-------------------|------------|
|                   |                    | Vertical          | Horizontal |
|                   |                    | 1                 | 0          |
| 2                 | 2                  | 1.19              | 1.29       |
| 3                 | 4                  | 1.43              | 1.53       |
| 4                 | 7                  | 1.40              | 1.92       |
| 5                 | 14                 | 1.14              | 0.94       |
| 6                 | 18                 | 1.05              | 1.22       |
| 7                 | 60                 | 0.91              | 1.40       |

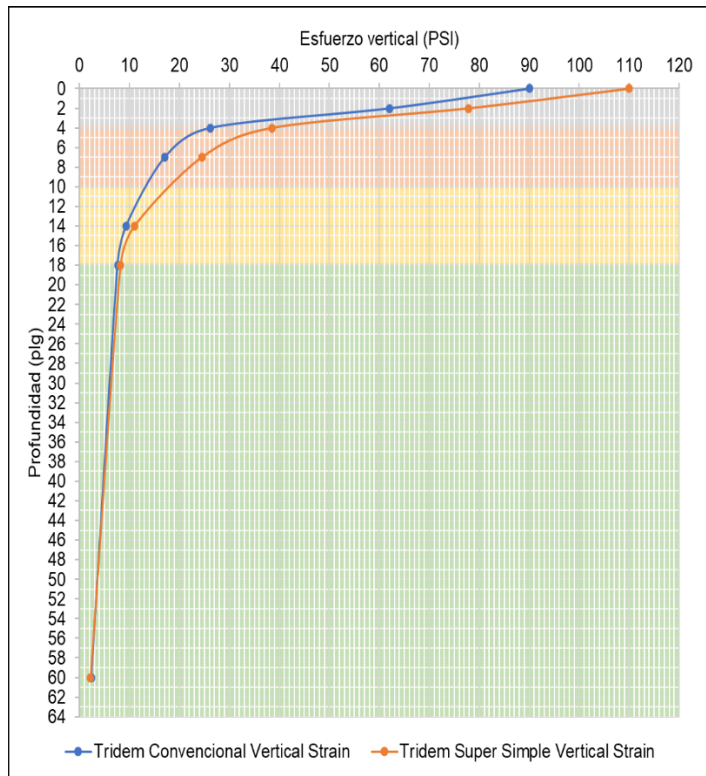


### T3S3 N° 69

| Punto de analisis | Profundidades (in) | T3S3 N°69 Tridem Super Simple |            |
|-------------------|--------------------|-------------------------------|------------|
|                   |                    | Esfuerzo (psi)                |            |
|                   |                    | Vertical                      | Horizontal |
| 1                 | 0                  | 110                           | 364.388    |
| 2                 | 2                  | 77.775                        | 45.133     |
| 3                 | 4                  | 38.478                        | -245.681   |
| 4                 | 7                  | 24.451                        | -1.114     |
| 5                 | 14                 | 10.984                        | 0.048      |
| 6                 | 18                 | 8.216                         | -1.273     |
| 7                 | 60                 | 2.209                         | 0.161      |

| Punto de analisis | Profundidades (in) | T3S3 N°69 Tridem Convencional |            |
|-------------------|--------------------|-------------------------------|------------|
|                   |                    | Esfuerzo (psi)                |            |
|                   |                    | Vertical                      | Horizontal |
| 1                 | 0                  | 90                            | 274.718    |
| 2                 | 2                  | 62.03                         | 34.098     |
| 3                 | 4                  | 26.16                         | -155.181   |
| 4                 | 7                  | 17.089                        | -0.553     |
| 5                 | 14                 | 9.339                         | 0.082      |
| 6                 | 18                 | 7.636                         | -0.98      |
| 7                 | 60                 | 2.401                         | 0.119      |

| Punto de analisis | T3S3 69 Profundidades (pulg) | Relacion       |            |
|-------------------|------------------------------|----------------|------------|
|                   |                              | Esfuerzo (psi) |            |
|                   |                              | Vertical       | Horizontal |
| 1                 | 0                            | 1.222          | 1.326      |
| 2                 | 2                            | 1.254          | 1.324      |
| 3                 | 4                            | 1.471          | 1.583      |
| 4                 | 7                            | 1.431          | 2.014      |
| 5                 | 14                           | 1.176          | 0.585      |
| 6                 | 18                           | 1.076          | 1.299      |
| 7                 | 60                           | 0.920          | 1.353      |

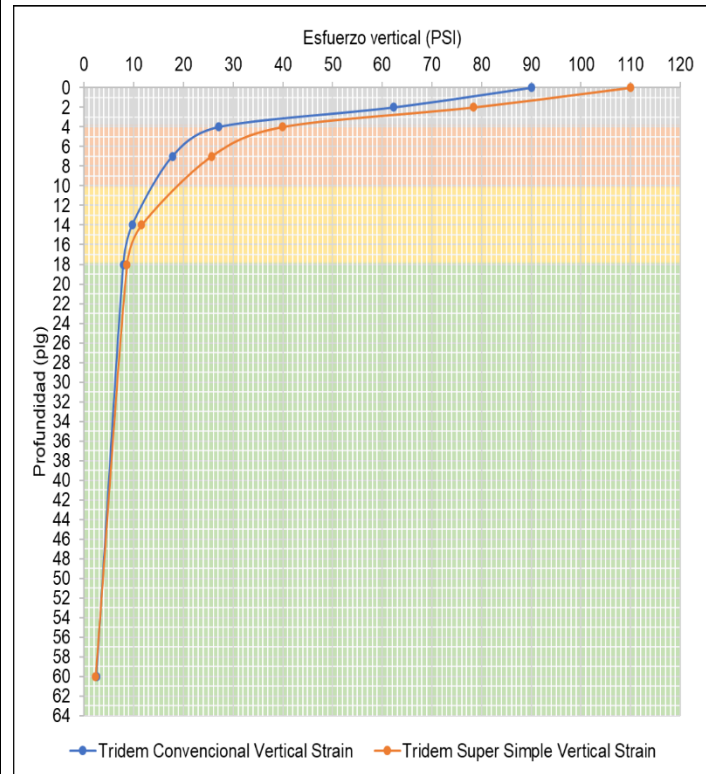


### T3S3 N° 70

| Punto de analisis | Profundidades (in) | T3S3 N°70 Tridem Super Simple |            |
|-------------------|--------------------|-------------------------------|------------|
|                   |                    | Esfuerzo (psi)                |            |
|                   |                    | Vertical                      | Horizontal |
| 1                 | 0                  | 110                           | 375.234    |
| 2                 | 2                  | 78.356                        | 46.922     |
| 3                 | 4                  | 39.954                        | -253.259   |
| 4                 | 7                  | 25.622                        | -1.199     |
| 5                 | 14                 | 11.565                        | 0.034      |
| 6                 | 18                 | 8.637                         | -1.359     |
| 7                 | 60                 | 2.319                         | 0.177      |

| Punto de analisis | Profundidades (in) | T3S3 N°70 Tridem Convencional |            |
|-------------------|--------------------|-------------------------------|------------|
|                   |                    | Esfuerzo (psi)                |            |
|                   |                    | Vertical                      | Horizontal |
| 1                 | 0                  | 90.00                         | 282.216    |
| 2                 | 2                  | 62.266                        | 35.309     |
| 3                 | 4                  | 27.082                        | -159.689   |
| 4                 | 7                  | 17.769                        | -0.566     |
| 5                 | 14                 | 9.692                         | 0.112      |
| 6                 | 18                 | 7.923                         | -0.99      |
| 7                 | 60                 | 2.522                         | 0.132      |

| Punto de analisis | T3S3 70 Profundidades (pulg) | Relacion       |            |
|-------------------|------------------------------|----------------|------------|
|                   |                              | Esfuerzo (psi) |            |
|                   |                              | Vertical       | Horizontal |
| 1                 | 0                            | 1.222          | 1.330      |
| 2                 | 2                            | 1.258          | 1.329      |
| 3                 | 4                            | 1.475          | 1.586      |
| 4                 | 7                            | 1.442          | 2.118      |
| 5                 | 14                           | 1.193          | 0.304      |
| 6                 | 18                           | 1.090          | 1.373      |
| 7                 | 60                           | 0.920          | 1.341      |



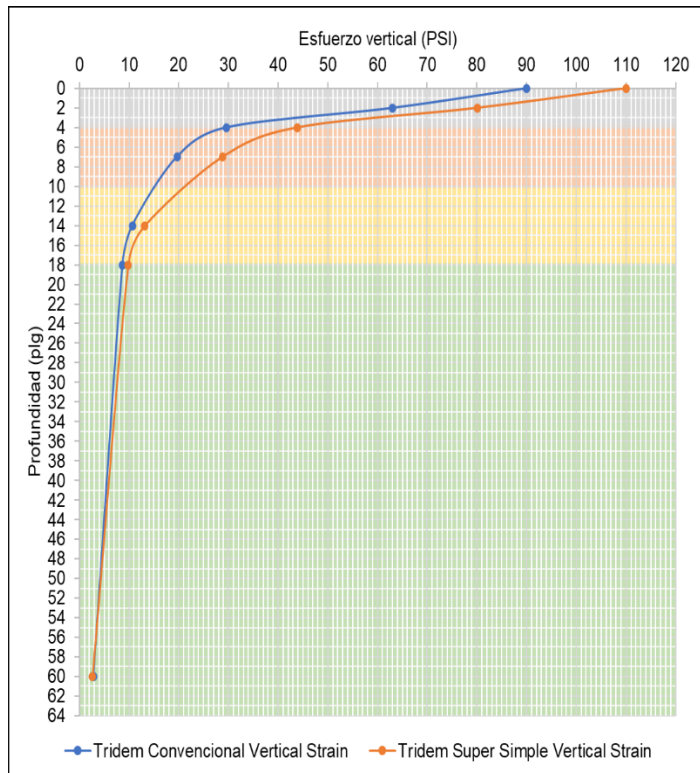


### T3S3 N° 71

| Punto de analisis | Profundidades (in) | T3S3 N°71 Tridem Super Simple |            |
|-------------------|--------------------|-------------------------------|------------|
|                   |                    | Esfuerzo (psi)                |            |
|                   |                    | Vertical                      | Horizontal |
| 1                 | 0                  | 110                           | 403.974    |
| 2                 | 2                  | 80.038                        | 51.76      |
| 3                 | 4                  | 43.86                         | -272.442   |
| 4                 | 7                  | 28.797                        | -1.432     |
| 5                 | 14                 | 13.198                        | -0.03      |
| 6                 | 18                 | 9.825                         | -1.625     |
| 7                 | 60                 | 2.62                          | 0.226      |

| Punto de analisis | Profundidades (in) | T3S3 N°71 Tridem Convencional |            |
|-------------------|--------------------|-------------------------------|------------|
|                   |                    | Esfuerzo (psi)                |            |
|                   |                    | Vertical                      | Horizontal |
| 1                 | 0                  | 90                            | 306.123    |
| 2                 | 2                  | 63.063                        | 38.459     |
| 3                 | 4                  | 29.56                         | -171.364   |
| 4                 | 7                  | 19.635                        | -0.604     |
| 5                 | 14                 | 10.664                        | -0.0003983 |
| 6                 | 18                 | 8.706                         | -0.0004225 |
| 7                 | 60                 | 2.852                         | -0.0001467 |

| Punto de analisis | T3S3 71 Profundidades (pulg) | Relacion       |            |
|-------------------|------------------------------|----------------|------------|
|                   |                              | Esfuerzo (psi) |            |
|                   |                              | Vertical       | Horizontal |
| 1                 | 0                            | 1.222          | 1.320      |
| 2                 | 2                            | 1.269          | 1.346      |
| 3                 | 4                            | 1.484          | 1.590      |
| 4                 | 7                            | 1.467          | 2.371      |
| 5                 | 14                           | 1.238          | 75.320     |
| 6                 | 18                           | 1.129          | 3846.154   |
| 7                 | 60                           | 0.919          | -1540.559  |

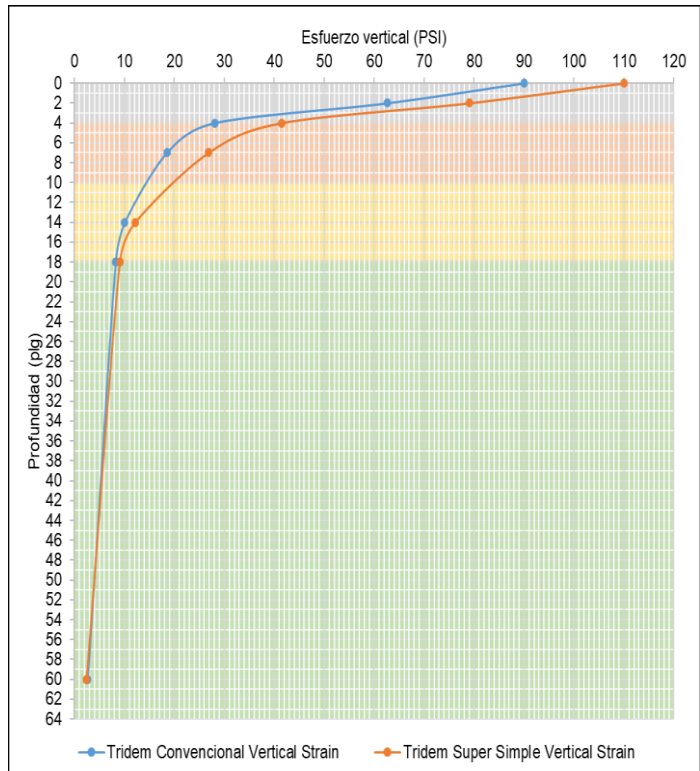


### T3S3 N° 72

| Punto de analisis | Profundades (in) | T3S3 N°72 Tridem Super Simple |            |
|-------------------|------------------|-------------------------------|------------|
|                   |                  | Esfuerzo (psi)                |            |
|                   |                  | Vertical                      | Horizontal |
| 1                 | 0                | 110                           | 386.759    |
| 2                 | 2                | 79.035                        | 48.831     |
| 3                 | 4                | 41.523                        | -261.148   |
| 4                 | 7                | 26.881                        | -1.292     |
| 5                 | 14               | 12.202                        | 0.012      |
| 6                 | 18               | 9.1                           | -1.459     |
| 7                 | 60               | 2.437                         | 0.196      |

| Punto de analisis | Profundades (in) | T3S3 N°72 Tridem Convencional |            |
|-------------------|------------------|-------------------------------|------------|
|                   |                  | Esfuerzo (psi)                |            |
|                   |                  | Vertical                      | Horizontal |
| 1                 | 0                | 90                            | 290.319    |
| 2                 | 2                | 62.563                        | 36.583     |
| 3                 | 4                | 28.075                        | -164.453   |
| 4                 | 7                | 18.509                        | -0.581     |
| 5                 | 14               | 10.077                        | 0.141      |
| 6                 | 18               | 8.234                         | -1.004     |
| 7                 | 60               | 2.653                         | 0.147      |

| Punto de analisis | T3S3 72 Profundades (pulg) | Relacion       |            |
|-------------------|----------------------------|----------------|------------|
|                   |                            | Esfuerzo (psi) |            |
|                   |                            | Vertical       | Horizontal |
| 1                 | 0                          | 1.222          | 1.332      |
| 2                 | 2                          | 1.263          | 1.335      |
| 3                 | 4                          | 1.479          | 1.588      |
| 4                 | 7                          | 1.452          | 2.224      |
| 5                 | 14                         | 1.211          | 0.085      |
| 6                 | 18                         | 1.105          | 1.453      |
| 7                 | 60                         | 0.919          | 1.333      |

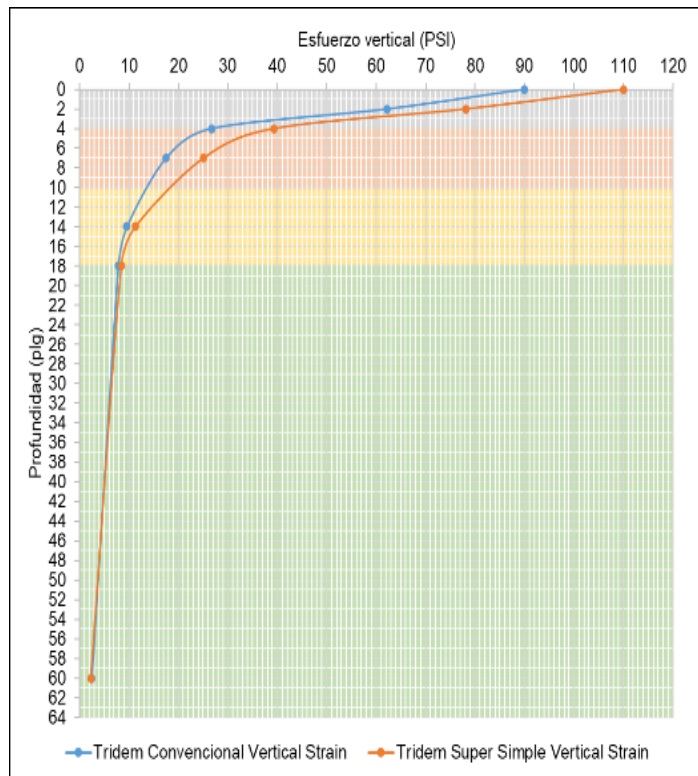


### T3S3 N° 73

| Punto de analisis | Profundidades (in) | T3S3 N°73 Tridem Super Simple |            |
|-------------------|--------------------|-------------------------------|------------|
|                   |                    | Esfuerzo (psi)                |            |
|                   |                    | Vertical                      | Horizontal |
| 1                 | 0                  | 110                           | 370.567    |
| 2                 | 2                  | 78.128                        | 46.141     |
| 3                 | 4                  | 39.318                        | -250.015   |
| 4                 | 7                  | 25.117                        | -1.163     |
| 5                 | 14                 | 11.313                        | 0.041      |
| 6                 | 18                 | 8.454                         | -1.321     |
| 7                 | 60                 | 2.271                         | 0.17       |

| Punto de analisis | Profundidades (in) | T3S3 N°73 Tridem Convencional |            |
|-------------------|--------------------|-------------------------------|------------|
|                   |                    | Esfuerzo (psi)                |            |
|                   |                    | Vertical                      | Horizontal |
| 1                 | 0                  | 90                            | 278.764    |
| 2                 | 2                  | 62.195                        | 34.873     |
| 3                 | 4                  | 26.708                        | -157.705   |
| 4                 | 7                  | 17.507                        | -0.549     |
| 5                 | 14                 | 9.579                         | 0.095      |
| 6                 | 18                 | 7.837                         | -0.994     |
| 7                 | 60                 | 2.48                          | 0.125      |

| Punto de analisis | T3S3 73 Profundidades (pulg) | Relacion       |            |
|-------------------|------------------------------|----------------|------------|
|                   |                              | Esfuerzo (psi) |            |
|                   |                              | Vertical       | Horizontal |
| 1                 | 0                            | 1.222          | 1.329      |
| 2                 | 2                            | 1.256          | 1.323      |
| 3                 | 4                            | 1.472          | 1.585      |
| 4                 | 7                            | 1.435          | 2.118      |
| 5                 | 14                           | 1.181          | 0.432      |
| 6                 | 18                           | 1.079          | 1.329      |
| 7                 | 60                           | 0.916          | 1.360      |

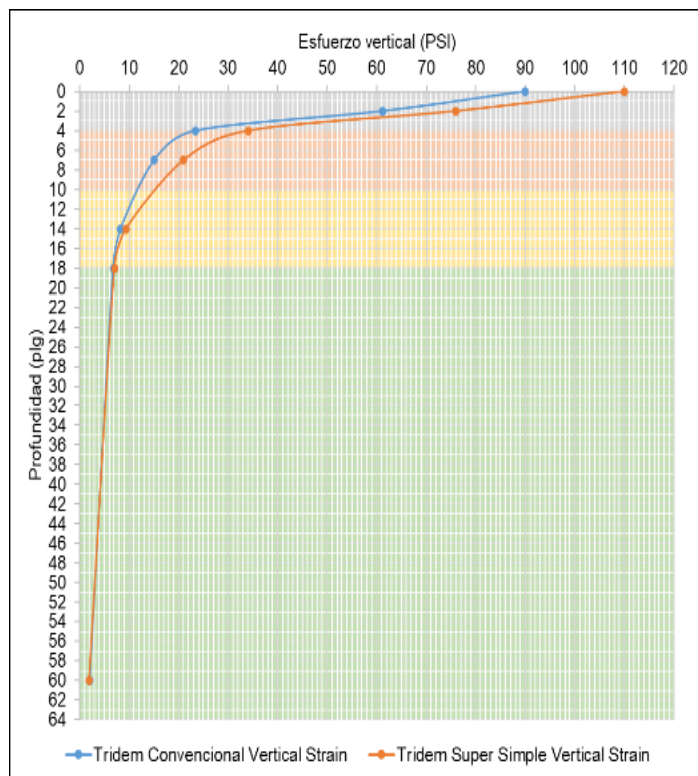


### T3S3 N° 74

| Punto de analisis | Profundidades (in) | T3S3 N°74 Tridem Super Simple |            |
|-------------------|--------------------|-------------------------------|------------|
|                   |                    | Esfuerzo (psi)                |            |
|                   |                    | Vertical                      | Horizontal |
| 1                 | 0                  | 110                           | 343.358    |
| 2                 | 2                  | 76.017                        | 39.871     |
| 3                 | 4                  | 34.028                        | -221.882   |
| 4                 | 7                  | 21.015                        | -0.876     |
| 5                 | 14                 | 9.337                         | 0.063      |
| 6                 | 18                 | 7.024                         | -1.06      |
| 7                 | 60                 | 1.888                         | 0.117      |

| Punto de analisis | Profundidades (in) | T3S3 N°74 Tridem Convencional |            |
|-------------------|--------------------|-------------------------------|------------|
|                   |                    | Esfuerzo (psi)                |            |
|                   |                    | Vertical                      | Horizontal |
| 1                 | 0                  | 90                            | 223.63     |
| 2                 | 2                  | 61.237                        | 30.364     |
| 3                 | 4                  | 23.391                        | -141.042   |
| 4                 | 7                  | 15.091                        | -0.525     |
| 5                 | 14                 | 8.294                         | -0.014     |
| 6                 | 18                 | 6.778                         | -0.959     |
| 7                 | 60                 | 2.045                         | 0.084      |

| Punto de analisis | T3S3 74 Profundidades (pulg) | Relacion       |            |
|-------------------|------------------------------|----------------|------------|
|                   |                              | Esfuerzo (psi) |            |
|                   |                              | Vertical       | Horizontal |
| 1                 | 0                            | 1.222          | 1.535      |
| 2                 | 2                            | 1.241          | 1.313      |
| 3                 | 4                            | 1.455          | 1.573      |
| 4                 | 7                            | 1.393          | 1.669      |
| 5                 | 14                           | 1.126          | -4.500     |
| 6                 | 18                           | 1.036          | 1.105      |
| 7                 | 60                           | 0.923          | 1.393      |

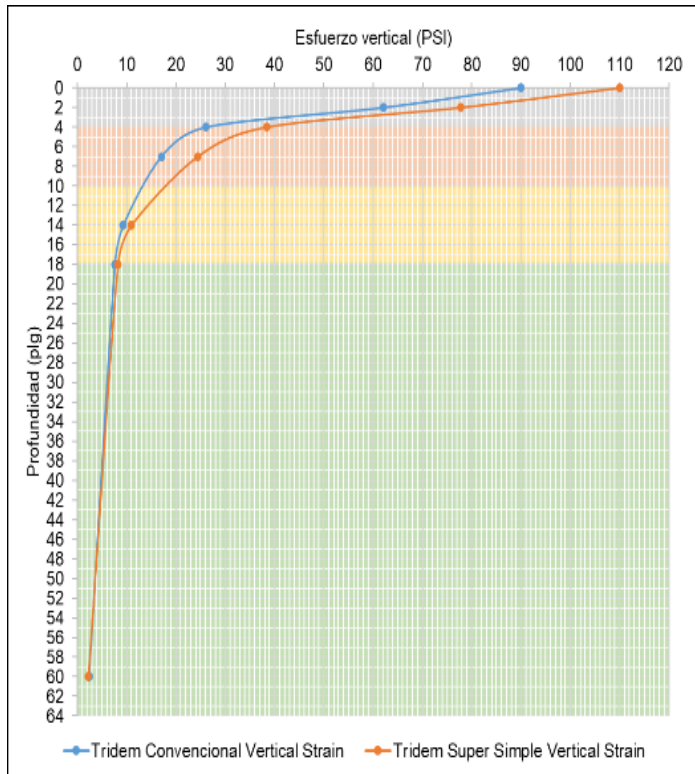


### T3S3 N° 75

| Punto de analisis | Profundidades (in) | T3S3 N°75 Tridem Super Simple |            |
|-------------------|--------------------|-------------------------------|------------|
|                   |                    | Esfuerzo (psi)                |            |
|                   |                    | Vertical                      | Horizontal |
| 1                 | 0                  | 110                           | 363.988    |
| 2                 | 2                  | 77.752                        | 45.066     |
| 3                 | 4                  | 38.423                        | -245.399   |
| 4                 | 7                  | 24.407                        | -1.111     |
| 5                 | 14                 | 10.962                        | 0.049      |
| 6                 | 18                 | 8.2                           | -1.27      |
| 7                 | 60                 | 2.205                         | 0.16       |

| Punto de analisis | Profundidades (in) | T3S3 N°75 Tridem Convencional |            |
|-------------------|--------------------|-------------------------------|------------|
|                   |                    | Esfuerzo (psi)                |            |
|                   |                    | Vertical                      | Horizontal |
| 1                 | 0                  | 90                            | 274.468    |
| 2                 | 2                  | 62.021                        | 34.058     |
| 3                 | 4                  | 26.13                         | -155.028   |
| 4                 | 7                  | 17.067                        | -0.553     |
| 5                 | 14                 | 9.327                         | 0.081      |
| 6                 | 18                 | 7.626                         | -0.98      |
| 7                 | 60                 | 2.397                         | 0.118      |

| Punto de analisis | T3S3 75 Profundidades (pulg) | Relacion       |            |
|-------------------|------------------------------|----------------|------------|
|                   |                              | Esfuerzo (psi) |            |
|                   |                              | Vertical       | Horizontal |
| 1                 | 0                            | 1.222          | 1.326      |
| 2                 | 2                            | 1.254          | 1.323      |
| 3                 | 4                            | 1.470          | 1.583      |
| 4                 | 7                            | 1.430          | 2.009      |
| 5                 | 14                           | 1.175          | 0.605      |
| 6                 | 18                           | 1.075          | 1.296      |
| 7                 | 60                           | 0.920          | 1.356      |

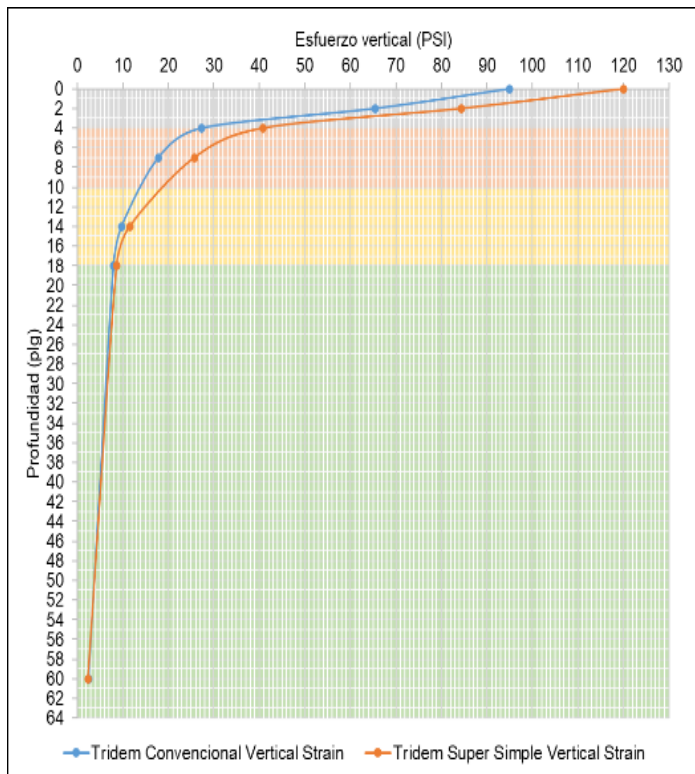


### T3S3 N° 76

| Punto de analisis | Profundades (in) | T3S3 N°76 Tridem Super Simple |            |
|-------------------|------------------|-------------------------------|------------|
|                   |                  | Esfuerzo (psi)                |            |
|                   |                  | Vertical                      | Horizontal |
| 1                 | 0                | 120                           | 393.025    |
| 2                 | 2                | 84.339                        | 47.758     |
| 3                 | 4                | 40.736                        | -261.523   |
| 4                 | 7                | 25.702                        | -1.146     |
| 5                 | 14               | 11.508                        | 0.062      |
| 6                 | 18               | 8.619                         | -1.323     |
| 7                 | 60               | 2.319                         | 0.163      |

| Punto de analisis | Profundades (in) | T3S3 N°76 Tridem Convencional |            |
|-------------------|------------------|-------------------------------|------------|
|                   |                  | Esfuerzo (psi)                |            |
|                   |                  | Vertical                      | Horizontal |
| 1                 | 0                | 95                            | 287.683    |
| 2                 | 2                | 65.393                        | 35.619     |
| 3                 | 4                | 27.33                         | -162.397   |
| 4                 | 7                | 17.83                         | -0.58      |
| 5                 | 14               | 9.749                         | 0.077      |
| 6                 | 18               | 7.971                         | -1.032     |
| 7                 | 60               | 2.498                         | 0.122      |

| Punto de analisis | T3S3 76 Profundidades (pulg) | Relacion       |            |
|-------------------|------------------------------|----------------|------------|
|                   |                              | Esfuerzo (psi) |            |
|                   |                              | Vertical       | Horizontal |
| 1                 | 0                            | 1.263          | 1.366      |
| 2                 | 2                            | 1.290          | 1.341      |
| 3                 | 4                            | 1.491          | 1.610      |
| 4                 | 7                            | 1.442          | 1.976      |
| 5                 | 14                           | 1.180          | 0.805      |
| 6                 | 18                           | 1.081          | 1.282      |
| 7                 | 60                           | 0.928          | 1.336      |

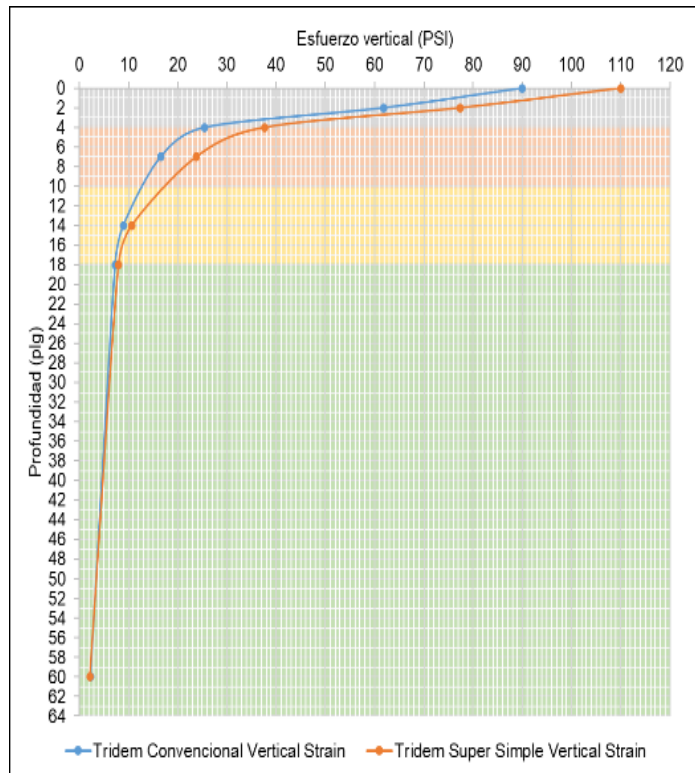


### T3S3 N° 77

| Punto de analisis | Profundidades (in) | T3S3 N°77 Tridem Super Simple |            |
|-------------------|--------------------|-------------------------------|------------|
|                   |                    | Esfuerzo (psi)                |            |
|                   |                    | Vertical                      | Horizontal |
| 1                 | 0                  | 110                           | 358.291    |
| 2                 | 2                  | 77.434                        | 44.143     |
| 3                 | 4                  | 37.647                        | -241.338   |
| 4                 | 7                  | 23.8                          | -1.068     |
| 5                 | 14                 | 10.665                        | 0.055      |
| 6                 | 18                 | 7.985                         | -1.229     |
| 7                 | 60                 | 2.148                         | 0.152      |

| Punto de analisis | Profundidades (in) | T3S3 N°77 Tridem Convencional |            |
|-------------------|--------------------|-------------------------------|------------|
|                   |                    | Esfuerzo (psi)                |            |
|                   |                    | Vertical                      | Horizontal |
| 1                 | 0                  | 90                            | 242.872    |
| 2                 | 2                  | 61.826                        | 32.972     |
| 3                 | 4                  | 25.523                        | -152.789   |
| 4                 | 7                  | 16.549                        | -0.599     |
| 5                 | 14                 | 8.95                          | 0.087      |
| 6                 | 18                 | 7.291                         | -0.935     |
| 7                 | 60                 | 2.287                         | 0.118      |

| Punto de analisis | T3S3 77 Profundidades (pulg) | Relacion       |            |
|-------------------|------------------------------|----------------|------------|
|                   |                              | Esfuerzo (psi) |            |
|                   |                              | Vertical       | Horizontal |
| 1                 | 0                            | 1.222          | 1.475      |
| 2                 | 2                            | 1.252          | 1.339      |
| 3                 | 4                            | 1.475          | 1.580      |
| 4                 | 7                            | 1.438          | 1.783      |
| 5                 | 14                           | 1.192          | 0.632      |
| 6                 | 18                           | 1.095          | 1.314      |
| 7                 | 60                           | 0.939          | 1.288      |

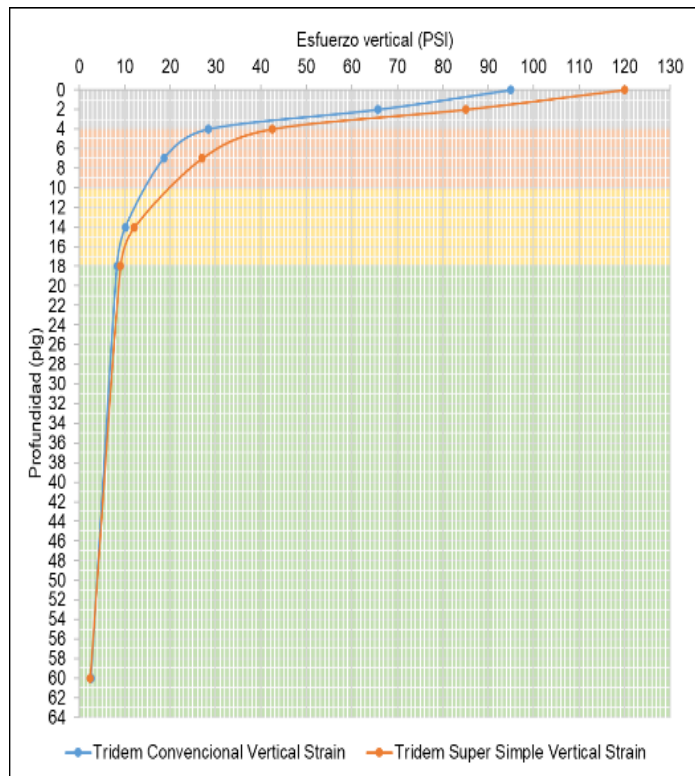


### T3S3 N° 78

| Punto de analisis | Profundidades (in) | T3S3 N°78 Tridem Super Simple |            |
|-------------------|--------------------|-------------------------------|------------|
|                   |                    | Esfuerzo (psi)                |            |
|                   |                    | Vertical                      | Horizontal |
| 1                 | 0                  | 120                           | 401.015    |
| 2                 | 2                  | 85.044                        | 49.805     |
| 3                 | 4                  | 42.452                        | -270.479   |
| 4                 | 7                  | 27.049                        | -1.242     |
| 5                 | 14                 | 12.168                        | 0.049      |
| 6                 | 18                 | 9.097                         | -1.416     |
| 7                 | 60                 | 2.445                         | 0.181      |

| Punto de analisis | Profundidades (in) | T3S3 N°78 Tridem Convencional |            |
|-------------------|--------------------|-------------------------------|------------|
|                   |                    | Esfuerzo (psi)                |            |
|                   |                    | Vertical                      | Horizontal |
| 1                 | 0                  | 95                            | 296.24     |
| 2                 | 2                  | 65.666                        | 37.008     |
| 3                 | 4                  | 28.384                        | -167.574   |
| 4                 | 7                  | 18.606                        | -0.594     |
| 5                 | 14                 | 10.153                        | 0.112      |
| 6                 | 18                 | 8.3                           | -1.043     |
| 7                 | 60                 | 2.636                         | 0.136      |

| Punto de analisis | T3S3 78 Profundidades (pulg) | Relacion       |            |
|-------------------|------------------------------|----------------|------------|
|                   |                              | Esfuerzo (psi) |            |
|                   |                              | Vertical       | Horizontal |
| 1                 | 0                            | 1.263          | 1.354      |
| 2                 | 2                            | 1.295          | 1.346      |
| 3                 | 4                            | 1.496          | 1.614      |
| 4                 | 7                            | 1.454          | 2.091      |
| 5                 | 14                           | 1.198          | 0.438      |
| 6                 | 18                           | 1.096          | 1.358      |
| 7                 | 60                           | 0.928          | 1.331      |

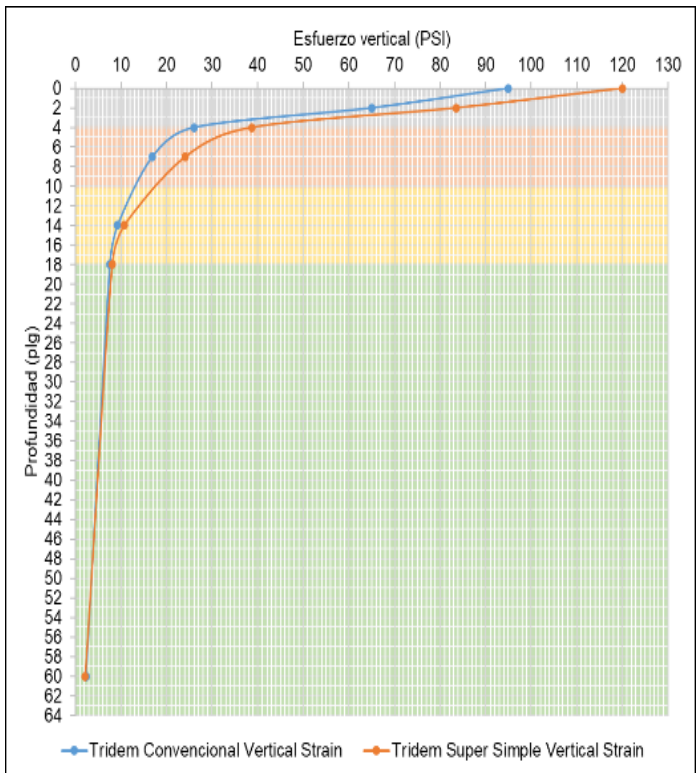


### T3S3 N° 79

| Punto de analisis | Profundidades (in) | T3S3 N°79 Tridem Super Simple |            |
|-------------------|--------------------|-------------------------------|------------|
|                   |                    | Esfuerzo (psi)                |            |
|                   |                    | Vertical                      | Horizontal |
| 1                 | 0                  | 120                           | 377.566    |
| 2                 | 2                  | 83.49                         | 45.324     |
| 3                 | 4                  | 38.668                        | -250.485   |
| 4                 | 7                  | 24.104                        | -1.034     |
| 5                 | 14                 | 10.741                        | 0.069      |
| 6                 | 18                 | 8.064                         | -1.223     |
| 7                 | 60                 | 2.169                         | 0.142      |

| Punto de analisis | Profundidades (in) | T3S3 N°79 Tridem Convencional |            |
|-------------------|--------------------|-------------------------------|------------|
|                   |                    | Esfuerzo (psi)                |            |
|                   |                    | Vertical                      | Horizontal |
| 1                 | 0                  | 95                            | 245.907    |
| 2                 | 2                  | 65.023                        | 33.935     |
| 3                 | 4                  | 26.065                        | -156.029   |
| 4                 | 7                  | 16.911                        | -0.566     |
| 5                 | 14                 | 9.27                          | 0.034      |
| 6                 | 18                 | 7.579                         | -1.021     |
| 7                 | 60                 | 2.334                         | 0.105      |

| Punto de analisis | Profundades (pulg) | T3S3 79        |            | Relacion |  |
|-------------------|--------------------|----------------|------------|----------|--|
|                   |                    | Esfuerzo (psi) |            |          |  |
|                   |                    | Vertical       | Horizontal |          |  |
| 1                 | 0                  | 1.263          | 1.535      |          |  |
| 2                 | 2                  | 1.284          | 1.336      |          |  |
| 3                 | 4                  | 1.484          | 1.605      |          |  |
| 4                 | 7                  | 1.425          | 1.827      |          |  |
| 5                 | 14                 | 1.159          | 2.029      |          |  |
| 6                 | 18                 | 1.064          | 1.198      |          |  |
| 7                 | 60                 | 0.929          | 1.352      |          |  |

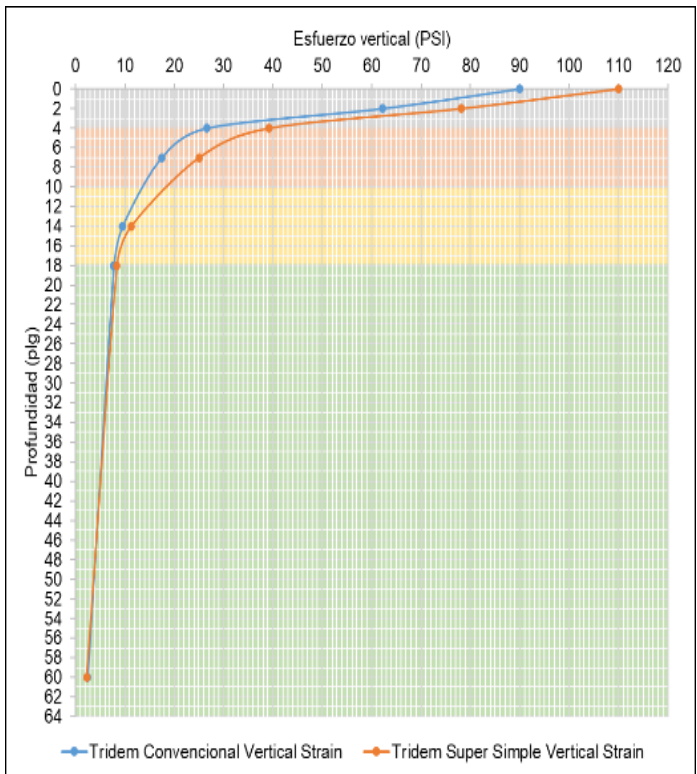


### T3S3 N° 80

| Punto de analisis | Profundidades (in) | T3S3 N°80 Tridem Super Simple |            |
|-------------------|--------------------|-------------------------------|------------|
|                   |                    | Esfuerzo (psi)                |            |
|                   |                    | Vertical                      | Horizontal |
| 1                 | 0                  | 110                           | 370.001    |
| 2                 | 2                  | 78.095                        | 46.047     |
| 3                 | 4                  | 39.241                        | -249.621   |
| 4                 | 7                  | 25.055                        | -1.159     |
| 5                 | 14                 | 11.282                        | 0.041      |
| 6                 | 18                 | 8.432                         | -1.317     |
| 7                 | 60                 | 2.265                         | 0.169      |

| Punto de analisis | Profundades (in) | T3S3 N°80 Tridem Convencional |            |
|-------------------|------------------|-------------------------------|------------|
|                   |                  | Esfuerzo (psi)                |            |
|                   |                  | Vertical                      | Horizontal |
| 1                 | 0                | 90                            | 278.623    |
| 2                 | 2                | 62.172                        | 34.725     |
| 3                 | 4                | 26.641                        | -157.541   |
| 4                 | 7                | 17.443                        | -0.56      |
| 5                 | 14               | 9.523                         | 0.098      |
| 6                 | 18               | 7.785                         | -0.985     |
| 7                 | 60               | 2.464                         | 0.126      |

| Punto de analisis | Profundades (pulg) | T3S3 80        |            | Relacion |  |
|-------------------|--------------------|----------------|------------|----------|--|
|                   |                    | Esfuerzo (psi) |            |          |  |
|                   |                    | Vertical       | Horizontal |          |  |
| 1                 | 0                  | 1.222          | 1.328      |          |  |
| 2                 | 2                  | 1.256          | 1.326      |          |  |
| 3                 | 4                  | 1.473          | 1.584      |          |  |
| 4                 | 7                  | 1.436          | 2.070      |          |  |
| 5                 | 14                 | 1.185          | 0.418      |          |  |
| 6                 | 18                 | 1.083          | 1.337      |          |  |
| 7                 | 60                 | 0.919          | 1.341      |          |  |

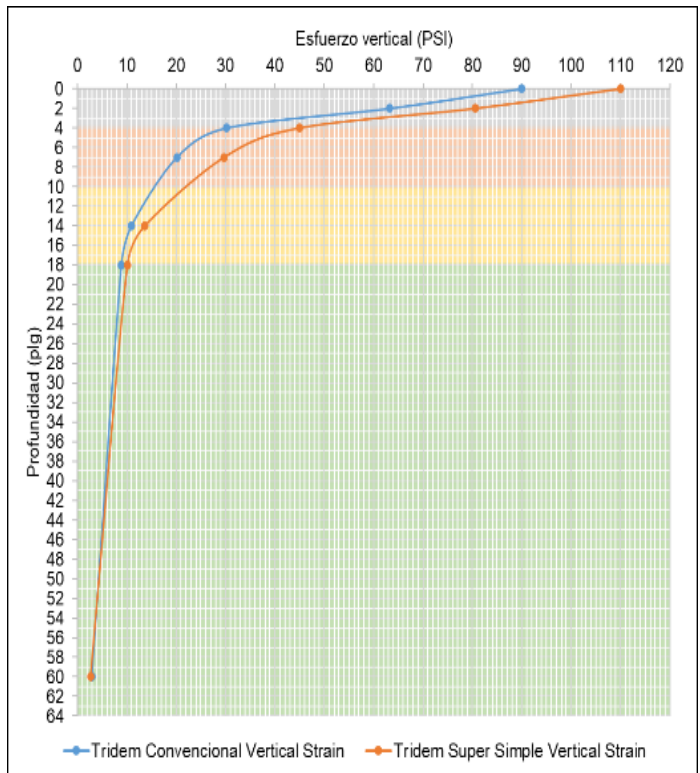


### T3S3 N° 81

| Punto de análisis | Profundidades (in) | T3S3 N°81 Tridem Super Simple |            |
|-------------------|--------------------|-------------------------------|------------|
|                   |                    | Esfuerzo (psi)                |            |
|                   |                    | Vertical                      | Horizontal |
| 1                 | 0                  | 110                           | 411.959    |
| 2                 | 2                  | 80.535                        | 53.137     |
| 3                 | 4                  | 44.95                         | -277.608   |
| 4                 | 7                  | 29.699                        | -1.499     |
| 5                 | 14                 | 13.676                        | -0.054     |
| 6                 | 18                 | 10.175                        | -1.71      |
| 7                 | 60                 | 2.706                         | 0.24       |

| Punto de análisis | Profundidades (in) | T3S3 N°81 Tridem Convencional |            |
|-------------------|--------------------|-------------------------------|------------|
|                   |                    | Esfuerzo (psi)                |            |
|                   |                    | Vertical                      | Horizontal |
| 1                 | 0                  | 90                            | 315.399    |
| 2                 | 2                  | 63.297                        | 39.329     |
| 3                 | 4                  | 30.256                        | -174.55    |
| 4                 | 7                  | 20.168                        | -0.614     |
| 5                 | 14                 | 10.942                        | 0.198      |
| 6                 | 18                 | 8.928                         | -1.043     |
| 7                 | 60                 | 2.945                         | 0.184      |

| Punto de análisis | T3S3 81 Profundidades (pulg) | Relacion Esfuerzo (psi) |            |
|-------------------|------------------------------|-------------------------|------------|
|                   |                              | Vertical                | Horizontal |
|                   |                              | 1                       | 0          |
| 2                 | 2                            | 1.272                   | 1.351      |
| 3                 | 4                            | 1.486                   | 1.590      |
| 4                 | 7                            | 1.473                   | 2.441      |
| 5                 | 14                           | 1.250                   | -0.273     |
| 6                 | 18                           | 1.140                   | 1.640      |
| 7                 | 60                           | 0.919                   | 1.304      |

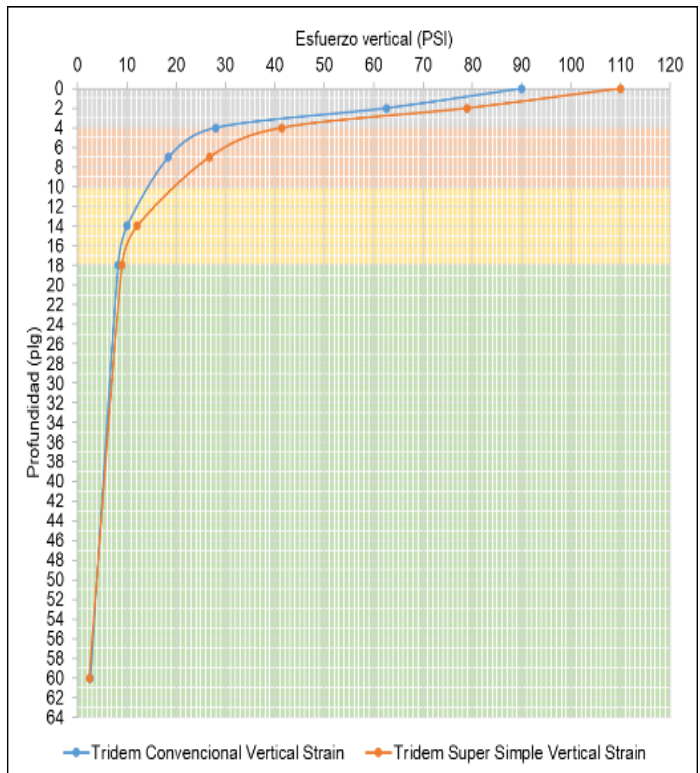


### T3S3 N° 82

| Punto de análisis | Profundidades (in) | T3S3 N°82 Tridem Super Simple |            |
|-------------------|--------------------|-------------------------------|------------|
|                   |                    | Esfuerzo (psi)                |            |
|                   |                    | Vertical                      | Horizontal |
| 1                 | 0                  | 110                           | 385.801    |
| 2                 | 2                  | 78.978                        | 48.673     |
| 3                 | 4                  | 41.393                        | -260.495   |
| 4                 | 7                  | 26.777                        | -1.284     |
| 5                 | 14                 | 12.15                         | 0.014      |
| 6                 | 18                 | 9.061                         | -1.45      |
| 7                 | 60                 | 2.427                         | 0.194      |

| Punto de análisis | Profundades (in) | T3S3 N°82 Tridem Convencional |            |
|-------------------|------------------|-------------------------------|------------|
|                   |                  | Esfuerzo (psi)                |            |
|                   |                  | Vertical                      | Horizontal |
| 1                 | 0                | 90                            | 289.606    |
| 2                 | 2                | 62.537                        | 36.472     |
| 3                 | 4                | 27.987                        | -164.041   |
| 4                 | 7                | 18.444                        | -0.579     |
| 5                 | 14               | 10.043                        | 0.139      |
| 6                 | 18               | 8.207                         | -1.002     |
| 7                 | 60               | 2.642                         | 0.146      |

| Punto de análisis | T3S3 82 Profundades (pulg) | Relacion Esfuerzo (psi) |          |
|-------------------|----------------------------|-------------------------|----------|
|                   |                            | Vertical                | Vertical |
|                   |                            | 1                       | 0        |
| 2                 | 2                          | 1.263                   | 1.335    |
| 3                 | 4                          | 1.479                   | 1.588    |
| 4                 | 7                          | 1.452                   | 2.218    |
| 5                 | 14                         | 1.210                   | 0.101    |
| 6                 | 18                         | 1.104                   | 1.447    |
| 7                 | 60                         | 0.919                   | 1.329    |

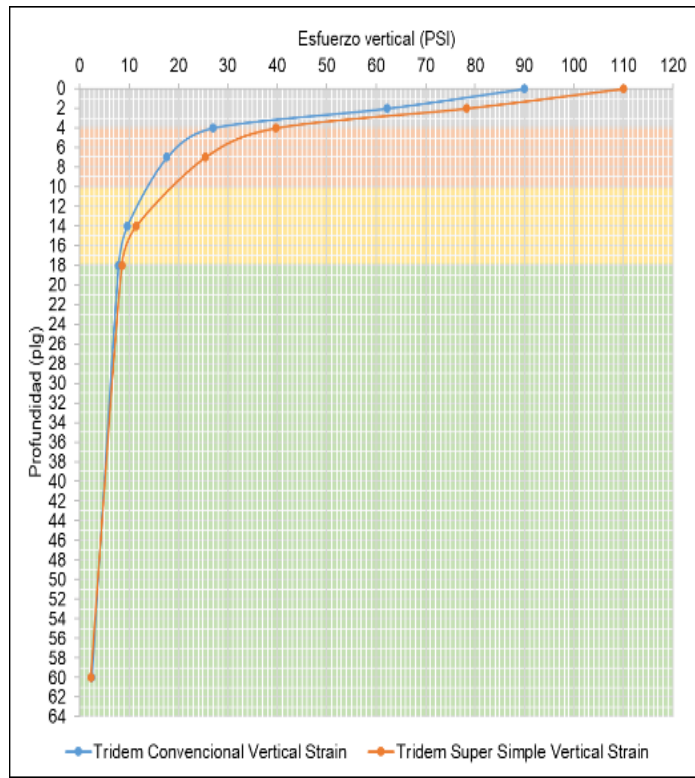


### T3S3 N° 83

| Punto de analisis | Profundidades (in) | T3S3 N°83 Tridem Super Simple |            |
|-------------------|--------------------|-------------------------------|------------|
|                   |                    | Esfuerzo (psi)                |            |
|                   |                    | Vertical                      | Horizontal |
| 1                 | 0                  | 110                           | 373.818    |
| 2                 | 2                  | 78.274                        | 46.687     |
| 3                 | 4                  | 39.76                         | -252.28    |
| 4                 | 7                  | 25.468                        | -1.189     |
| 5                 | 14                 | 11.488                        | 0.036      |
| 6                 | 18                 | 8.581                         | -1.348     |
| 7                 | 60                 | 2.304                         | 0.175      |

| Punto de analisis | Profundidades (in) | T3S3 N°83 Tridem Convencional |            |
|-------------------|--------------------|-------------------------------|------------|
|                   |                    | Esfuerzo (psi)                |            |
|                   |                    | Vertical                      | Horizontal |
| 1                 | 0                  | 90                            | 281.25     |
| 2                 | 2                  | 62.231                        | 35.155     |
| 3                 | 4                  | 26.964                        | -159.115   |
| 4                 | 7                  | 17.681                        | -0.564     |
| 5                 | 14                 | 9.646                         | 0.108      |
| 6                 | 18                 | 7.886                         | -0.989     |
| 7                 | 60                 | 2.507                         | 0.13       |

| Punto de analisis | T3S3 83 Profundidades (pulg) | Relacion Esfuerzo (psi) |            |
|-------------------|------------------------------|-------------------------|------------|
|                   |                              | Vertical                | Horizontal |
|                   |                              | 1                       | 0          |
| 2                 | 2                            | 1.258                   | 1.328      |
| 3                 | 4                            | 1.475                   | 1.586      |
| 4                 | 7                            | 1.440                   | 2.108      |
| 5                 | 14                           | 1.191                   | 0.333      |
| 6                 | 18                           | 1.088                   | 1.363      |
| 7                 | 60                           | 0.919                   | 1.346      |

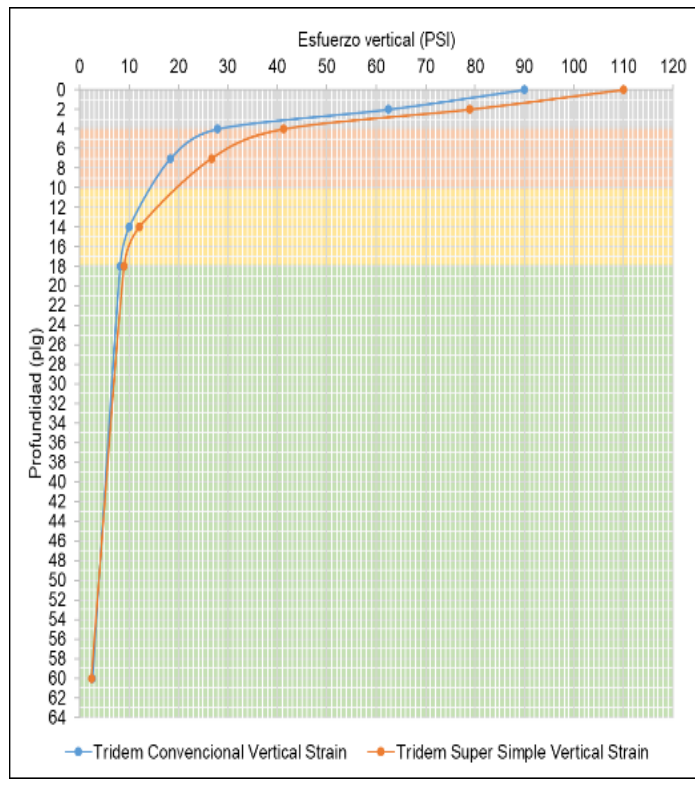


### T3S3 N° 84

| Punto de analisis | Profundidades (in) | T3S3 N°84 Tridem Super Simple |            |
|-------------------|--------------------|-------------------------------|------------|
|                   |                    | Esfuerzo (psi)                |            |
|                   |                    | Vertical                      | Horizontal |
| 1                 | 0                  | 110                           | 385.182    |
| 2                 | 2                  | 78.941                        | 48.569     |
| 3                 | 4                  | 41.309                        | -260.077   |
| 4                 | 7                  | 26.709                        | -1.279     |
| 5                 | 14                 | 12.115                        | 0.015      |
| 6                 | 18                 | 9.036                         | -1.444     |
| 7                 | 60                 | 2.421                         | 0.193      |

| Punto de analisis | Profundidades (in) | T3S3 N°84 Tridem Convencional |            |
|-------------------|--------------------|-------------------------------|------------|
|                   |                    | Esfuerzo (psi)                |            |
|                   |                    | Vertical                      | Horizontal |
| 1                 | 0                  | 90                            | 289.208    |
| 2                 | 2                  | 62.522                        | 36.411     |
| 3                 | 4                  | 27.939                        | -163.807   |
| 4                 | 7                  | 18.408                        | -0.579     |
| 5                 | 14                 | 10.025                        | 0.137      |
| 6                 | 18                 | 8.192                         | -1.002     |
| 7                 | 60                 | 2.635                         | 0.145      |

| Punto de analisis | T3S3 84 Profundidades (pulg) | Relacion Esfuerzo (psi) |            |
|-------------------|------------------------------|-------------------------|------------|
|                   |                              | Vertical                | Horizontal |
|                   |                              | 1                       | 0          |
| 2                 | 2                            | 1.263                   | 1.334      |
| 3                 | 4                            | 1.479                   | 1.588      |
| 4                 | 7                            | 1.451                   | 2.209      |
| 5                 | 14                           | 1.208                   | 0.109      |
| 6                 | 18                           | 1.103                   | 1.441      |
| 7                 | 60                           | 0.919                   | 1.331      |

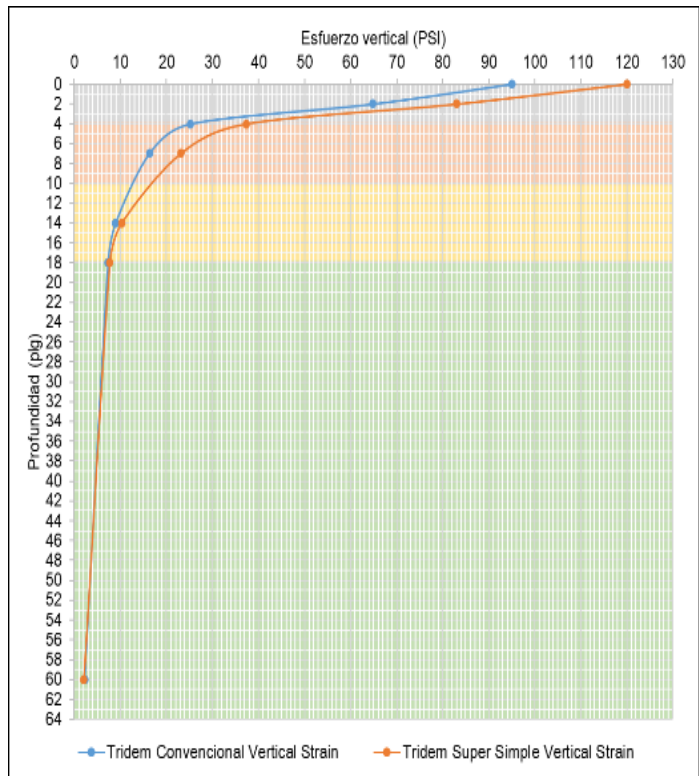


### T3S3 N° 85

| Punto de analisis | Profundidades (in) | T3S3 N°85 Tridem Super Simple |            |
|-------------------|--------------------|-------------------------------|------------|
|                   |                    | Esfuerzo (psi)                |            |
|                   |                    | Vertical                      | Horizontal |
| 1                 | 0                  | 120                           | 376.252    |
| 2                 | 2                  | 83.006                        | 43.753     |
| 3                 | 4                  | 37.34                         | -243.249   |
| 4                 | 7                  | 23.091                        | -0.966     |
| 5                 | 14                 | 10.263                        | 0.069      |
| 6                 | 18                 | 7.719                         | -1.165     |
| 7                 | 60                 | 2.075                         | 0.13       |

| Punto de analisis | Profundidades (in) | T3S3 N°85 Tridem Convencional |            |
|-------------------|--------------------|-------------------------------|------------|
|                   |                    | Esfuerzo (psi)                |            |
|                   |                    | Vertical                      | Horizontal |
| 1                 | 0                  | 95                            | 240.124    |
| 2                 | 2                  | 64.786                        | 32.842     |
| 3                 | 4                  | 25.261                        | -151.885   |
| 4                 | 7                  | 16.334                        | -0.559     |
| 5                 | 14                 | 8.968                         | 0.005      |
| 6                 | 18                 | 7.33                          | -1.016     |
| 7                 | 60                 | 2.231                         | 0.095      |

| Punto de analisis | Profundidades (pulg) | Relacion       |            |
|-------------------|----------------------|----------------|------------|
|                   |                      | Esfuerzo (psi) |            |
|                   |                      | Vertical       | Horizontal |
| 1                 | 0                    | 1.263          | 1.567      |
| 2                 | 2                    | 1.281          | 1.332      |
| 3                 | 4                    | 1.478          | 1.602      |
| 4                 | 7                    | 1.414          | 1.728      |
| 5                 | 14                   | 1.144          | 13.800     |
| 6                 | 18                   | 1.053          | 1.147      |
| 7                 | 60                   | 0.930          | 1.368      |

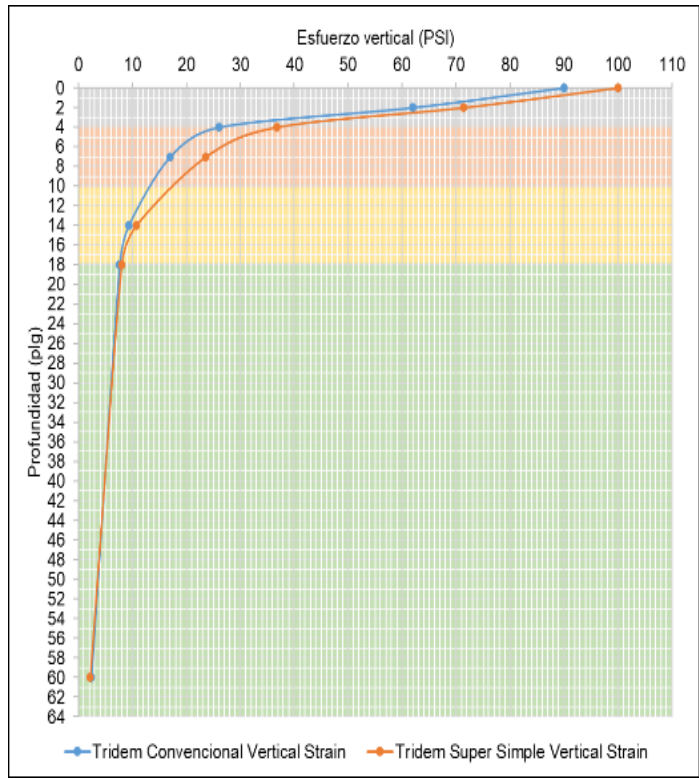


### T3S3 N° 86

| Punto de analisis | Profundidades (in) | T3S3 N°86 Tridem Super Simple |            |
|-------------------|--------------------|-------------------------------|------------|
|                   |                    | Esfuerzo (psi)                |            |
|                   |                    | Vertical                      | Horizontal |
| 1                 | 0                  | 100                           | 344.218    |
| 2                 | 2                  | 71.413                        | 43.167     |
| 3                 | 4                  | 36.743                        | -232.371   |
| 4                 | 7                  | 23.629                        | -1.115     |
| 5                 | 14                 | 10.683                        | 0.025      |
| 6                 | 18                 | 7.975                         | -1.261     |
| 7                 | 60                 | 2.139                         | 0.166      |

| Punto de analisis | Profundidades (in) | T3S3 N°86 Tridem Convencional |            |
|-------------------|--------------------|-------------------------------|------------|
|                   |                    | Esfuerzo (psi)                |            |
|                   |                    | Vertical                      | Horizontal |
| 1                 | 0                  | 90                            | 273.856    |
| 2                 | 2                  | 61.998                        | 33.956     |
| 3                 | 4                  | 26.053                        | -154.655   |
| 4                 | 7                  | 17.01                         | -0.552     |
| 5                 | 14                 | 9.297                         | 0.079      |
| 6                 | 18                 | 7.602                         | -0.979     |
| 7                 | 60                 | 2.387                         | 0.117      |

| Punto de analisis | Profundidades (pulg) | Relacion       |            |
|-------------------|----------------------|----------------|------------|
|                   |                      | Esfuerzo (psi) |            |
|                   |                      | Vertical       | Horizontal |
| 1                 | 0                    | 1.111          | 1.257      |
| 2                 | 2                    | 1.152          | 1.271      |
| 3                 | 4                    | 1.410          | 1.503      |
| 4                 | 7                    | 1.389          | 2.020      |
| 5                 | 14                   | 1.149          | 0.316      |
| 6                 | 18                   | 1.049          | 1.288      |
| 7                 | 60                   | 0.896          | 1.419      |



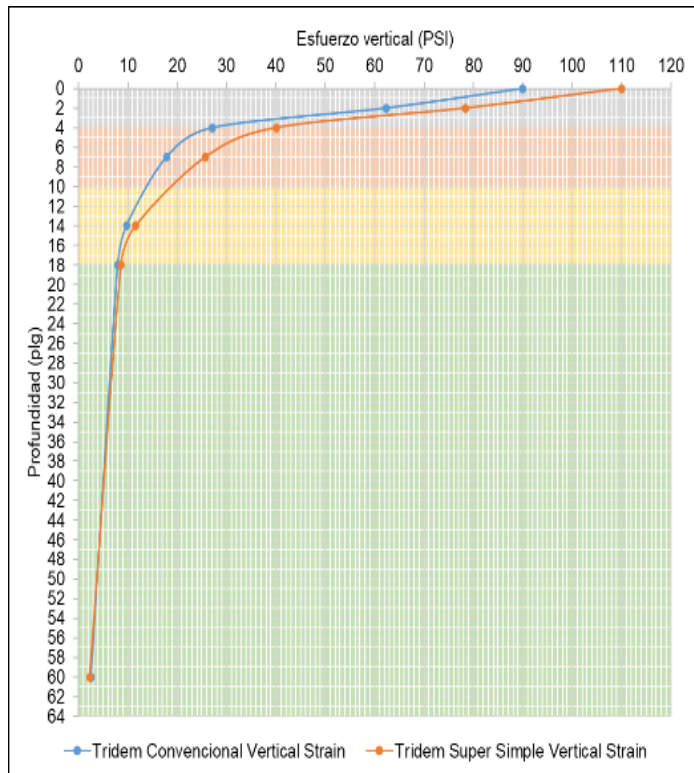


### T3S3 N° 87

| Punto de analisis | Profundidades (in) | T3S3 N°87 Tridem Super Simple |            |
|-------------------|--------------------|-------------------------------|------------|
|                   |                    | Esfuerzo (psi)                |            |
|                   |                    | Vertical                      | Horizontal |
| 1                 | 0                  | 110                           | 376.146    |
| 2                 | 2                  | 78.408                        | 47.071     |
| 3                 | 4                  | 40.077                        | -253.889   |
| 4                 | 7                  | 25.721                        | -1.207     |
| 5                 | 14                 | 11.615                        | 0.032      |
| 6                 | 18                 | 8.673                         | -1.367     |
| 7                 | 60                 | 2.328                         | 0.179      |

| Punto de analisis | Profundidades (in) | T3S3 N°87 Tridem Convencional |             |
|-------------------|--------------------|-------------------------------|-------------|
|                   |                    | Esfuerzo (psi)                |             |
|                   |                    | Vertica l                     | Horizonta l |
| 1                 | 0                  | 90                            | 282.874     |
| 2                 | 2                  | 62.29                         | 35.414      |
| 3                 | 4                  | 27.163                        | -160.087    |
| 4                 | 7                  | 17.829                        | -0.567      |
| 5                 | 14                 | 9.724                         | 0.114       |
| 6                 | 18                 | 7.948                         | -0.991      |
| 7                 | 60                 | 2.533                         | 0.133       |

| Punto de analisis | Profundidades (pulg) | Relacion       |            |
|-------------------|----------------------|----------------|------------|
|                   |                      | Esfuerzo (psi) |            |
|                   |                      | Vertical       | Horizontal |
| 1                 | 0                    | 1.222          | 1.330      |
| 2                 | 2                    | 1.259          | 1.329      |
| 3                 | 4                    | 1.475          | 1.586      |
| 4                 | 7                    | 1.443          | 2.129      |
| 5                 | 14                   | 1.194          | 0.281      |
| 6                 | 18                   | 1.091          | 1.379      |
| 7                 | 60                   | 0.919          | 1.346      |

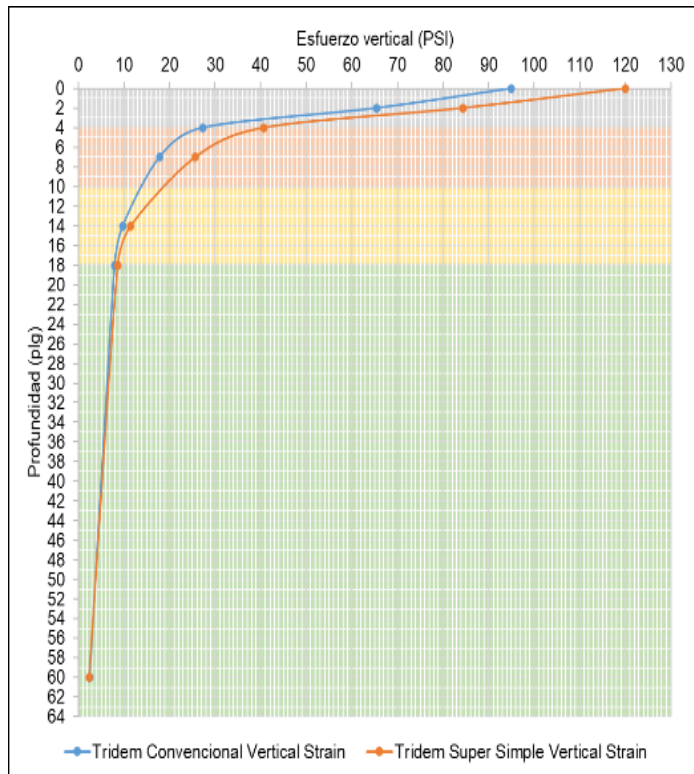


### T3S3 N° 88

| Punto de analisis | Profundidades (in) | T3S3 N°88 Tridem Super Simple |            |
|-------------------|--------------------|-------------------------------|------------|
|                   |                    | Esfuerzo (psi)                |            |
|                   |                    | Vertical                      | Horizontal |
| 1                 | 0                  | 120                           | 392.829    |
| 2                 | 2                  | 84.329                        | 47.728     |
| 3                 | 4                  | 40.71                         | -261.383   |
| 4                 | 7                  | 25.683                        | -1.144     |
| 5                 | 14                 | 11.498                        | 0.062      |
| 6                 | 18                 | 8.612                         | -1.322     |
| 7                 | 60                 | 2.317                         | 0.162      |

| Punto de analisis | Profundidades (in) | T3S3 N°88 Tridem Convencional |             |
|-------------------|--------------------|-------------------------------|-------------|
|                   |                    | Esfuerzo (psi)                |             |
|                   |                    | Vertica l                     | Horizonta l |
| 1                 | 0                  | 95                            | 287.52      |
| 2                 | 2                  | 65.386                        | 35.592      |
| 3                 | 4                  | 27.309                        | -162.298    |
| 4                 | 7                  | 17.815                        | -0.58       |
| 5                 | 14                 | 9.741                         | 0.077       |
| 6                 | 18                 | 7.965                         | -1.032      |
| 7                 | 60                 | 2.495                         | 0.121       |

| Punto de analisis | Profundidades (pulg) | Relacion       |            |
|-------------------|----------------------|----------------|------------|
|                   |                      | Esfuerzo (psi) |            |
|                   |                      | Vertical       | Horizontal |
| 1                 | 0                    | 1.263          | 1.366      |
| 2                 | 2                    | 1.290          | 1.341      |
| 3                 | 4                    | 1.491          | 1.611      |
| 4                 | 7                    | 1.442          | 1.972      |
| 5                 | 14                   | 1.180          | 0.805      |
| 6                 | 18                   | 1.081          | 1.281      |
| 7                 | 60                   | 0.929          | 1.339      |

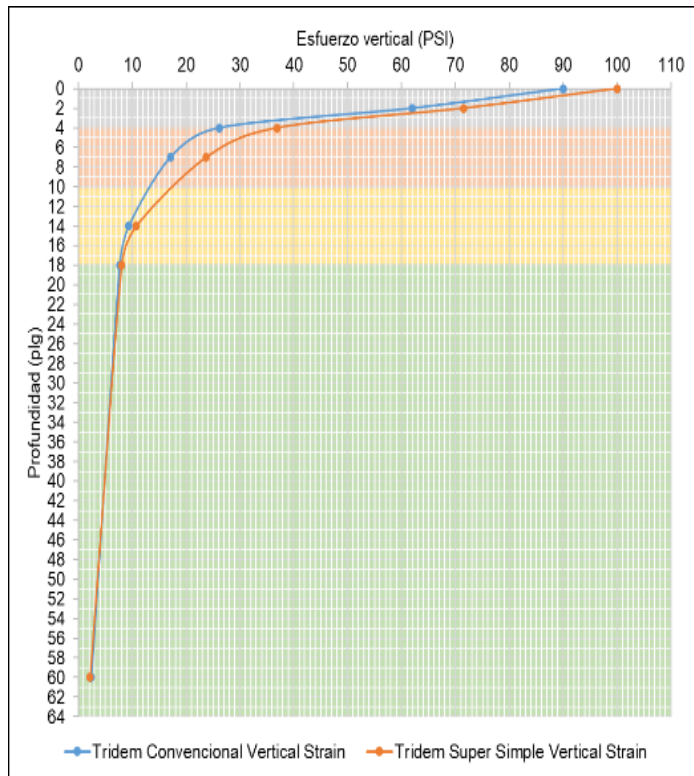


### T3S3 N° 89

| Punto de analisis | Profundidades (in) | T3S3 N°89 Tridem Super Simple |            |
|-------------------|--------------------|-------------------------------|------------|
|                   |                    | Esfuerzo (psi)                |            |
|                   |                    | Vertical                      | Horizontal |
| 1                 | 0                  | 100                           | 345.298    |
| 2                 | 2                  | 71.476                        | 43.345     |
| 3                 | 4                  | 36.89                         | -233.112   |
| 4                 | 7                  | 23.747                        | -1.124     |
| 5                 | 14                 | 10.743                        | 0.023      |
| 6                 | 18                 | 8.018                         | -1.271     |
| 7                 | 60                 | 2.151                         | 0.168      |

| Punto de analisis | Profundidades (in) | T3S3 N°89 Tridem Convencional |           |
|-------------------|--------------------|-------------------------------|-----------|
|                   |                    | Esfuerzo (psi)                |           |
|                   |                    | Vertica                       | Horizonta |
| 1                 | 0                  | 90                            | 274.669   |
| 2                 | 2                  | 62.028                        | 34.089    |
| 3                 | 4                  | 26.154                        | -155.15   |
| 4                 | 7                  | 17.084                        | -0.553    |
| 5                 | 14                 | 9.336                         | 0.082     |
| 6                 | 18                 | 7.633                         | -0.98     |
| 7                 | 60                 | 2.4                           | 0.119     |

| Punto de analisis | T3S3 89 Profundidades (pulg) | Relacion Esfuerzo (psi) |            |
|-------------------|------------------------------|-------------------------|------------|
|                   |                              | Vertical                | Horizontal |
|                   |                              | 1                       | 0          |
| 2                 | 2                            | 1.152                   | 1.272      |
| 3                 | 4                            | 1.410                   | 1.502      |
| 4                 | 7                            | 1.390                   | 2.033      |
| 5                 | 14                           | 1.151                   | 0.280      |
| 6                 | 18                           | 1.050                   | 1.297      |
| 7                 | 60                           | 0.896                   | 1.412      |

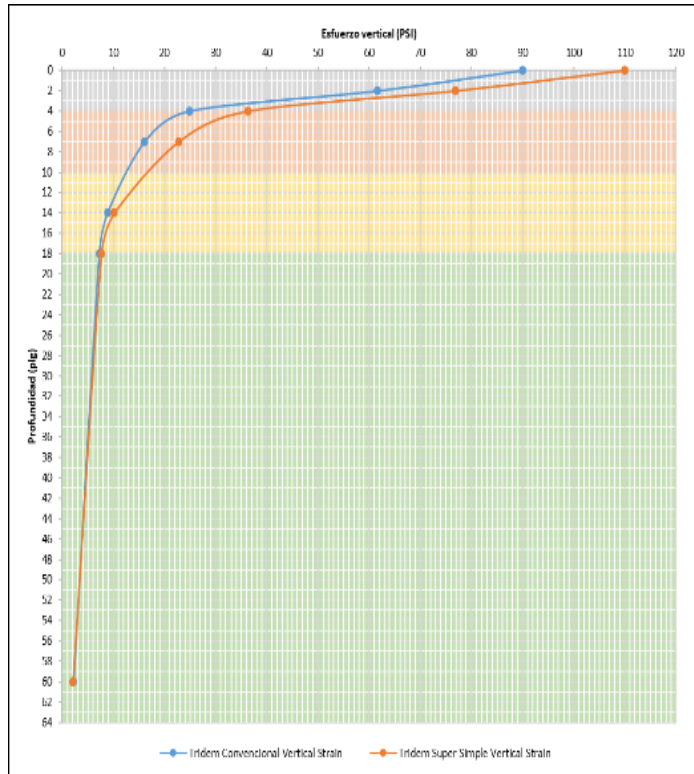


### T3S3 N° 90

| Punto de analisis | Profundidades (in) | T3S3 N°90 Tridem Super Simple |            |
|-------------------|--------------------|-------------------------------|------------|
|                   |                    | Esfuerzo (psi)                |            |
|                   |                    | Vertical                      | Horizontal |
| 1                 | 0                  | 110                           | 352.614    |
| 2                 | 2                  | 76.86                         | 42.579     |
| 3                 | 4                  | 36.317                        | -234.296   |
| 4                 | 7                  | 22.765                        | -0.995     |
| 5                 | 14                 | 10.165                        | 0.061      |
| 6                 | 18                 | 7.623                         | -1.162     |
| 7                 | 60                 | 2.051                         | 0.139      |

| Punto de analisis | Profundidades (in) | T3S3 N°90 Tridem Convencional |           |
|-------------------|--------------------|-------------------------------|-----------|
|                   |                    | Esfuerzo (psi)                |           |
|                   |                    | Vertica                       | Horizonta |
| 1                 | 0                  | 90                            | 233.826   |
| 2                 | 2                  | 61.635                        | 32.309    |
| 3                 | 4                  | 24.813                        | -148.427  |
| 4                 | 7                  | 16.107                        | -0.537    |
| 5                 | 14                 | 8.827                         | 0.037     |
| 6                 | 18                 | 7.217                         | -0.968    |
| 7                 | 60                 | 2.226                         | 0.101     |

| Punto de analisis | T3S3 90 Profundidades (pulg) | Relacion Esfuerzo (psi) |            |
|-------------------|------------------------------|-------------------------|------------|
|                   |                              | Vertical                | Horizontal |
|                   |                              | 1                       | 0          |
| 2                 | 2                            | 1.247                   | 1.318      |
| 3                 | 4                            | 1.464                   | 1.579      |
| 4                 | 7                            | 1.413                   | 1.853      |
| 5                 | 14                           | 1.152                   | 1.649      |
| 6                 | 18                           | 1.056                   | 1.200      |
| 7                 | 60                           | 0.921                   | 1.376      |

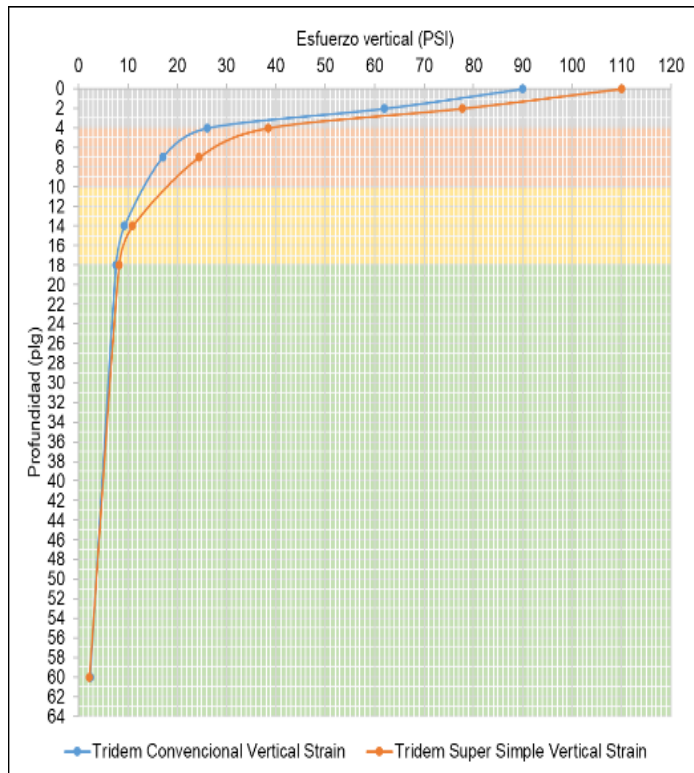


### T3S3 N° 91

| Punto de analisis | Profundidades (in) | T3S3 N°91 Tridem Super Simple |            |
|-------------------|--------------------|-------------------------------|------------|
|                   |                    | Esfuerzo (psi)                |            |
|                   |                    | Vertical                      | Horizontal |
| 1                 | 0                  | 110                           | 363.755    |
| 2                 | 2                  | 77.739                        | 45.03      |
| 3                 | 4                  | 38.392                        | -245.232   |
| 4                 | 7                  | 24.383                        | -1.109     |
| 5                 | 14                 | 10.951                        | 0.049      |
| 6                 | 18                 | 8.192                         | -1.268     |
| 7                 | 60                 | 2.202                         | 0.16       |

| Punto de analisis | Profundidades (in) | T3S3 N°91 Tridem Convencional |             |
|-------------------|--------------------|-------------------------------|-------------|
|                   |                    | Esfuerzo (psi)                |             |
|                   |                    | Vertica l                     | Horizonta l |
| 1                 | 0                  | 90                            | 274.263     |
| 2                 | 2                  | 62.014                        | 34.024      |
| 3                 | 4                  | 26.104                        | -154.903    |
| 4                 | 7                  | 17.048                        | -0.552      |
| 5                 | 14                 | 9.317                         | 0.08        |
| 6                 | 18                 | 7.618                         | -0.98       |
| 7                 | 60                 | 2.394                         | 0.118       |

| Punto de analisis | T3S3 91 Profundidades (pulg) | Relacion       |            |
|-------------------|------------------------------|----------------|------------|
|                   |                              | Esfuerzo (psi) |            |
|                   |                              | Vertical       | Horizontal |
| 1                 | 0                            | 1.222          | 1.326      |
| 2                 | 2                            | 1.254          | 1.323      |
| 3                 | 4                            | 1.471          | 1.583      |
| 4                 | 7                            | 1.430          | 2.009      |
| 5                 | 14                           | 1.175          | 0.613      |
| 6                 | 18                           | 1.075          | 1.294      |
| 7                 | 60                           | 0.920          | 1.356      |

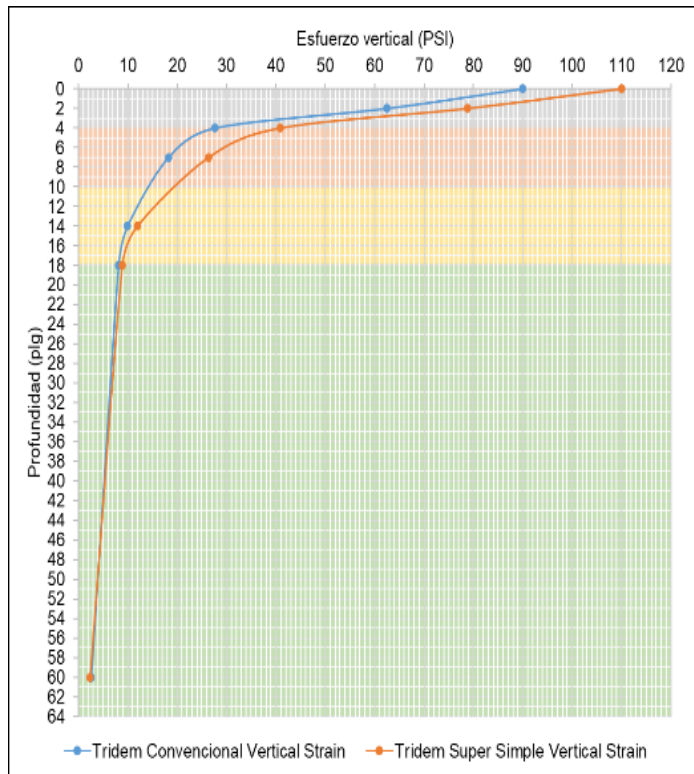


### T3S3 N° 92

| Punto de analisis | Profundidades (in) | T3S3 N°92 Tridem Super Simple |            |
|-------------------|--------------------|-------------------------------|------------|
|                   |                    | Esfuerzo (psi)                |            |
|                   |                    | Vertical                      | Horizontal |
| 1                 | 0                  | 110                           | 382.086    |
| 2                 | 2                  | 78.757                        | 48.054     |
| 3                 | 4                  | 40.887                        | -257.969   |
| 4                 | 7                  | 26.369                        | -1.254     |
| 5                 | 14                 | 11.942                        | 0.022      |
| 6                 | 18                 | 8.91                          | -1.417     |
| 7                 | 60                 | 2.389                         | 0.188      |

| Punto de analisis | Profundades (in) | T3S3 N°92 Tridem Convencional |             |
|-------------------|------------------|-------------------------------|-------------|
|                   |                  | Esfuerzo (psi)                |             |
|                   |                  | Vertica l                     | Horizonta l |
| 1                 | 0                | 90                            | 287.028     |
| 2                 | 2                | 62.442                        | 36.069      |
| 3                 | 4                | 27.672                        | -162.535    |
| 4                 | 7                | 18.208                        | -0.575      |
| 5                 | 14               | 9.921                         | 0.13        |
| 6                 | 18               | 8.108                         | -0.998      |
| 7                 | 60               | 2.6                           | 0.141       |

| Punto de analisis | T3S3 92 Profundidades (pulg) | Relacion       |            |
|-------------------|------------------------------|----------------|------------|
|                   |                              | Esfuerzo (psi) |            |
|                   |                              | Vertical       | Horizontal |
| 1                 | 0                            | 1.222          | 1.331      |
| 2                 | 2                            | 1.261          | 1.332      |
| 3                 | 4                            | 1.478          | 1.587      |
| 4                 | 7                            | 1.448          | 2.181      |
| 5                 | 14                           | 1.204          | 0.169      |
| 6                 | 18                           | 1.099          | 1.420      |
| 7                 | 60                           | 0.919          | 1.333      |

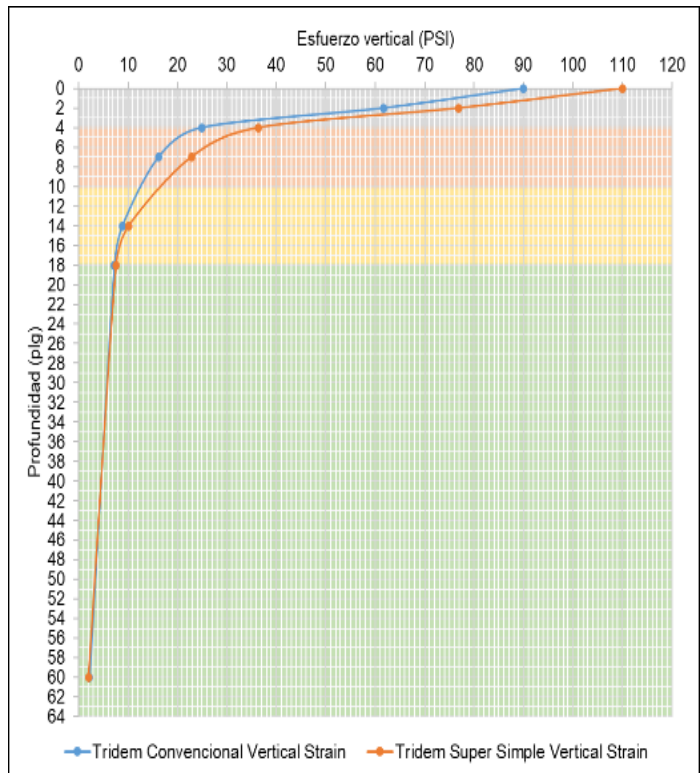


### T3S3 N° 93

| Punto de analisis | Profundidades (in) | T3S3 N°93 Tridem Super Simple |            |
|-------------------|--------------------|-------------------------------|------------|
|                   |                    | Esfuerzo (psi)                |            |
|                   |                    | Vertical                      | Horizontal |
| 1                 | 0                  | 110                           | 353.5      |
| 2                 | 2                  | 76.905                        | 42.72      |
| 3                 | 4                  | 36.435                        | -234.928   |
| 4                 | 7                  | 22.857                        | -1.001     |
| 5                 | 14                 | 10.209                        | 0.061      |
| 6                 | 18                 | 7.655                         | -1.168     |
| 7                 | 60                 | 2.06                          | 0.14       |

| Punto de analisis | Profundidades (in) | T3S3 N°93 Tridem Convencional |             |
|-------------------|--------------------|-------------------------------|-------------|
|                   |                    | Esfuerzo (psi)                |             |
|                   |                    | Vertica l                     | Horizonta l |
| 1                 | 0                  | 90                            | 234.371     |
| 2                 | 2                  | 61.658                        | 32.412      |
| 3                 | 4                  | 24.889                        | -148.811    |
| 4                 | 7                  | 16.162                        | -0.538      |
| 5                 | 14                 | 8.856                         | 0.039       |
| 6                 | 18                 | 7.241                         | -0.969      |
| 7                 | 60                 | 2.236                         | 0.102       |

| Punto de analisis | T3S3 93 Profundidades (pulg) | Relacion       |            |
|-------------------|------------------------------|----------------|------------|
|                   |                              | Esfuerzo (psi) |            |
|                   |                              | Vertical       | Horizontal |
| 1                 | 0                            | 1.222          | 1.508      |
| 2                 | 2                            | 1.247          | 1.318      |
| 3                 | 4                            | 1.464          | 1.579      |
| 4                 | 7                            | 1.414          | 1.861      |
| 5                 | 14                           | 1.153          | 1.564      |
| 6                 | 18                           | 1.057          | 1.205      |
| 7                 | 60                           | 0.921          | 1.373      |

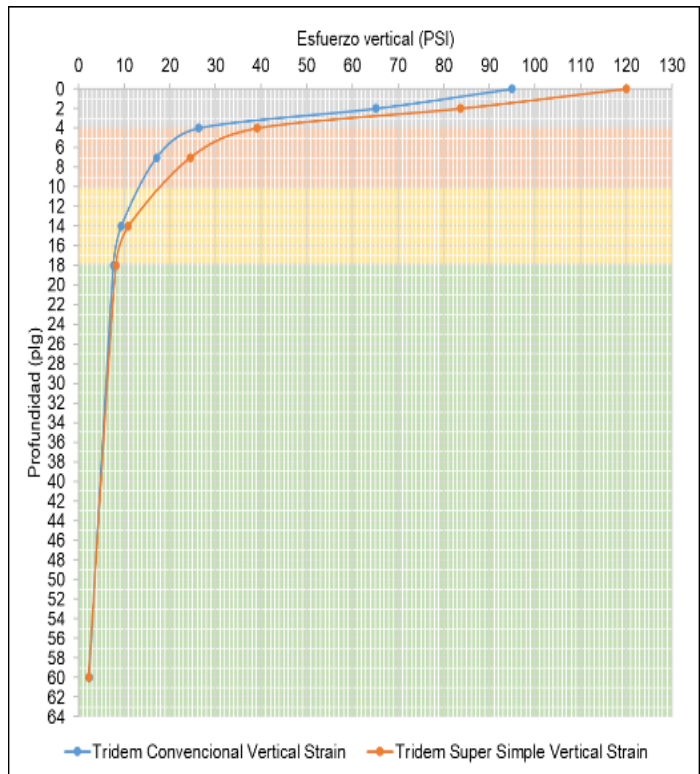


### T3S3 N° 94

| Punto de analisis | Profundidades (in) | T3S3 N°94 Tridem Super Simple |            |
|-------------------|--------------------|-------------------------------|------------|
|                   |                    | Esfuerzo (psi)                |            |
|                   |                    | Vertical                      | Horizontal |
| 1                 | 0                  | 120                           | 381.512    |
| 2                 | 2                  | 83.687                        | 45.948     |
| 3                 | 4                  | 39.196                        | -253.331   |
| 4                 | 7                  | 24.509                        | -1.063     |
| 5                 | 14                 | 10.933                        | 0.068      |
| 6                 | 18                 | 8.203                         | -1.247     |
| 7                 | 60                 | 2.207                         | 0.147      |

| Punto de analisis | Profundidades (in) | T3S3 N°94 Tridem Convencional |             |
|-------------------|--------------------|-------------------------------|-------------|
|                   |                    | Esfuerzo (psi)                |             |
|                   |                    | Vertica l                     | Horizonta l |
| 1                 | 0                  | 95                            | 248.248     |
| 2                 | 2                  | 65.118                        | 34.371      |
| 3                 | 4                  | 26.39                         | -157.683    |
| 4                 | 7                  | 17.146                        | -0.569      |
| 5                 | 14                 | 9.393                         | 0.045       |
| 6                 | 18                 | 7.68                          | -1.024      |
| 7                 | 60                 | 2.376                         | 0.109       |

| Punto de analisis | T3S3 94 Profundidades (pulg) | Relacion       |            |
|-------------------|------------------------------|----------------|------------|
|                   |                              | Esfuerzo (psi) |            |
|                   |                              | Vertical       | Horizontal |
| 1                 | 0                            | 1.263          | 1.537      |
| 2                 | 2                            | 1.285          | 1.337      |
| 3                 | 4                            | 1.485          | 1.607      |
| 4                 | 7                            | 1.429          | 1.868      |
| 5                 | 14                           | 1.164          | 1.511      |
| 6                 | 18                           | 1.068          | 1.218      |
| 7                 | 60                           | 0.929          | 1.349      |

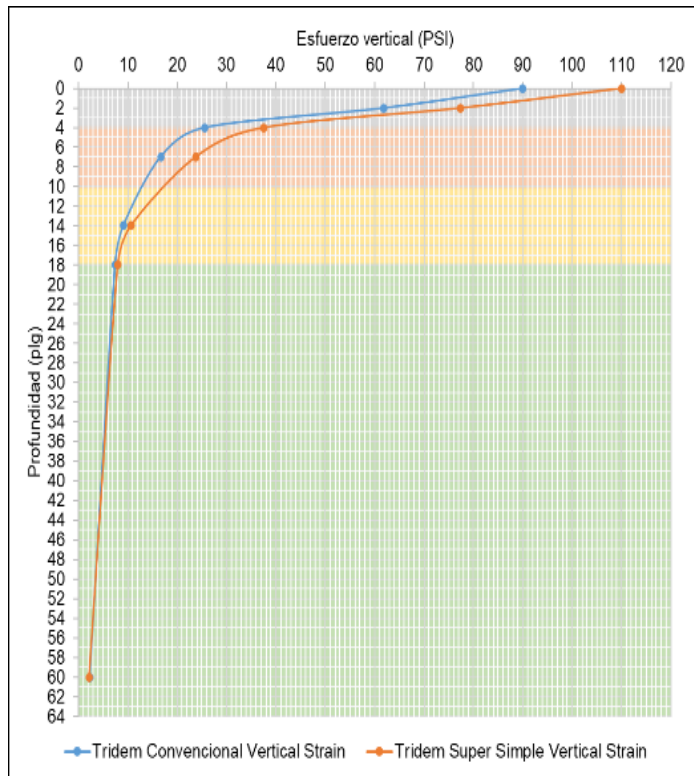


### T3S3 N° 95

| Punto de analisis | Profundidades (in) | T3S3 N°95 Tridem Super Simple |            |
|-------------------|--------------------|-------------------------------|------------|
|                   |                    | Esfuerzo (psi)                |            |
|                   |                    | Vertical                      | Horizontal |
| 1                 | 0                  | 110                           | 361.977    |
| 2                 | 2                  | 77.403                        | 44.049     |
| 3                 | 4                  | 37.569                        | -240.929   |
| 4                 | 7                  | 23.738                        | -1.063     |
| 5                 | 14                 | 10.635                        | 0.055      |
| 6                 | 18                 | 7.963                         | -1.225     |
| 7                 | 60                 | 2.142                         | 0.151      |

| Punto de analisis | Profundidades (in) | T3S3 N°95 Tridem Convencional |           |
|-------------------|--------------------|-------------------------------|-----------|
|                   |                    | Esfuerzo (psi)                |           |
|                   |                    | Vertica                       | Horizonta |
| 1                 | 0                  | 90                            | 241.526   |
| 2                 | 2                  | 61.862                        | 33.346    |
| 3                 | 4                  | 25.59                         | -152.351  |
| 4                 | 7                  | 16.671                        | -0.546    |
| 5                 | 14                 | 9.121                         | 0.063     |
| 6                 | 18                 | 7.458                         | -0.975    |
| 7                 | 60                 | 2.327                         | 0.111     |

| Punto de analisis | T3S3 95 Profundidades (pulg) | Relacion       |            |
|-------------------|------------------------------|----------------|------------|
|                   |                              | Esfuerzo (psi) |            |
|                   |                              | Vertical       | Horizontal |
| 1                 | 0                            | 1.222          | 1.499      |
| 2                 | 2                            | 1.251          | 1.321      |
| 3                 | 4                            | 1.468          | 1.581      |
| 4                 | 7                            | 1.424          | 1.947      |
| 5                 | 14                           | 1.166          | 0.873      |
| 6                 | 18                           | 1.068          | 1.256      |
| 7                 | 60                           | 0.920          | 1.360      |

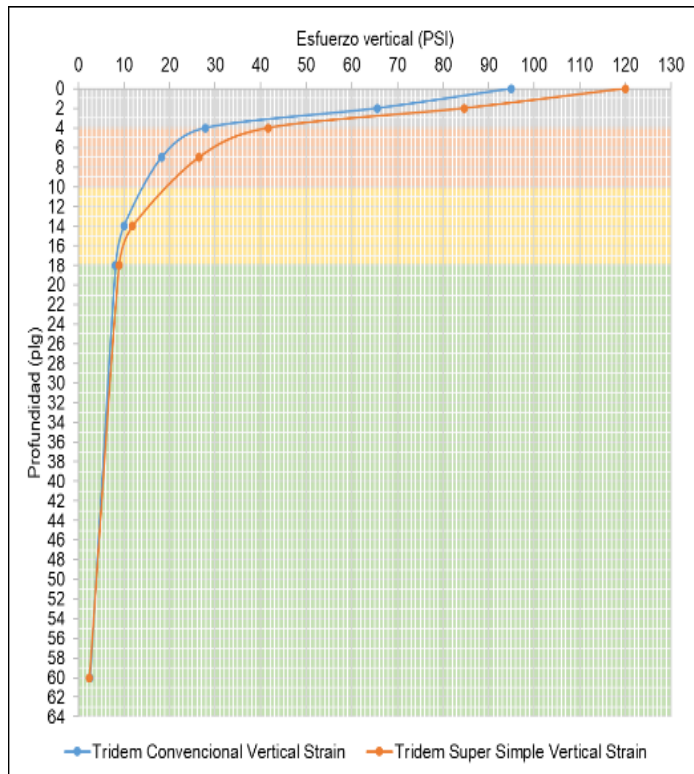


### T3S3 N° 96

| Punto de analisis | Profundades (in) | T3S3 N°96 Tridem Super Simple |            |
|-------------------|------------------|-------------------------------|------------|
|                   |                  | Esfuerzo (psi)                |            |
|                   |                  | Vertical                      | Horizontal |
| 1                 | 0                | 120                           | 395.325    |
| 2                 | 2                | 84.722                        | 48.878     |
| 3                 | 4                | 41.677                        | -266.467   |
| 4                 | 7                | 26.439                        | -1.199     |
| 5                 | 14               | 11.867                        | 0.055      |
| 6                 | 18               | 8.879                         | -1.373     |
| 7                 | 60               | 2.387                         | 0.172      |

| Punto de analisis | Profundades (in) | T3S3 N°96 Tridem Convencional |           |
|-------------------|------------------|-------------------------------|-----------|
|                   |                  | Esfuerzo (psi)                |           |
|                   |                  | Vertica                       | Horizonta |
| 1                 | 0                | 95                            | 292.39    |
| 2                 | 2                | 65.564                        | 36.381    |
| 3                 | 4                | 27.911                        | -165.262  |
| 4                 | 7                | 18.257                        | -0.588    |
| 5                 | 14               | 9.971                         | 0.096     |
| 6                 | 18               | 8.153                         | -1.038    |
| 7                 | 60               | 2.574                         | 0.13      |

| Punto de analisis | T3S3 96 Profundades (pulg) | Relacion       |            |
|-------------------|----------------------------|----------------|------------|
|                   |                            | Esfuerzo (psi) |            |
|                   |                            | Vertical       | Horizontal |
| 1                 | 0                          | 1.263          | 1.352      |
| 2                 | 2                          | 1.292          | 1.344      |
| 3                 | 4                          | 1.493          | 1.612      |
| 4                 | 7                          | 1.448          | 2.039      |
| 5                 | 14                         | 1.190          | 0.573      |
| 6                 | 18                         | 1.089          | 1.323      |
| 7                 | 60                         | 0.927          | 1.323      |

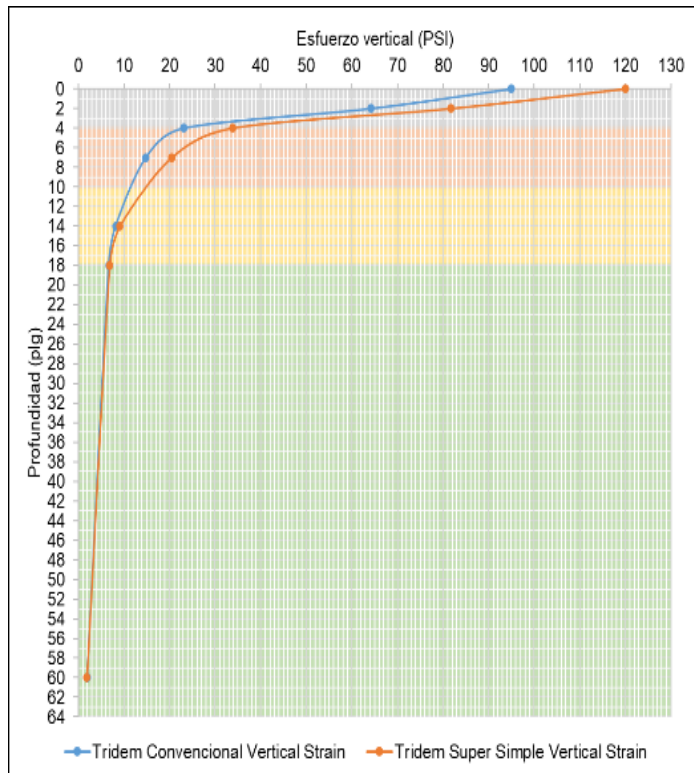


### T3S3 N° 97

| Punto de analisis | Profundidades (in) | T3S3 N°97 Tridem Super Simple |            |
|-------------------|--------------------|-------------------------------|------------|
|                   |                    | Esfuerzo (psi)                |            |
|                   |                    | Vertical                      | Horizontal |
| 1                 | 0                  | 120                           | 344.757    |
| 2                 | 2                  | 81.785                        | 39.62      |
| 3                 | 4                  | 33.838                        | -223.627   |
| 4                 | 7                  | 20.476                        | -0.8       |
| 5                 | 14                 | 9.06                          | 0.055      |
| 6                 | 18                 | 6.848                         | -1.036     |
| 7                 | 60                 | 1.832                         | 0.1        |

| Punto de analisis | Profundidades (in) | T3S3 N°97 Tridem Convencional |             |
|-------------------|--------------------|-------------------------------|-------------|
|                   |                    | Esfuerzo (psi)                |             |
|                   |                    | Vertica l                     | Horizonta l |
| 1                 | 0                  | 95                            | 222.068     |
| 2                 | 2                  | 64.129                        | 29.852      |
| 3                 | 4                  | 23.131                        | -140.526    |
| 4                 | 7                  | 14.832                        | -0.548      |
| 5                 | 14                 | 8.176                         | -0.073      |
| 6                 | 18                 | 6.673                         | -1.004      |
| 7                 | 60                 | 1.962                         | 0.072       |

| Punto de analisis | T3S3 97 Profundidades (pulg) | Relacion       |            |
|-------------------|------------------------------|----------------|------------|
|                   |                              | Esfuerzo (psi) |            |
|                   |                              | Vertical       | Horizontal |
| 1                 | 0                            | 1.263          | 1.552      |
| 2                 | 2                            | 1.275          | 1.327      |
| 3                 | 4                            | 1.463          | 1.591      |
| 4                 | 7                            | 1.381          | 1.460      |
| 5                 | 14                           | 1.108          | -0.753     |
| 6                 | 18                           | 1.026          | 1.032      |
| 7                 | 60                           | 0.934          | 1.389      |

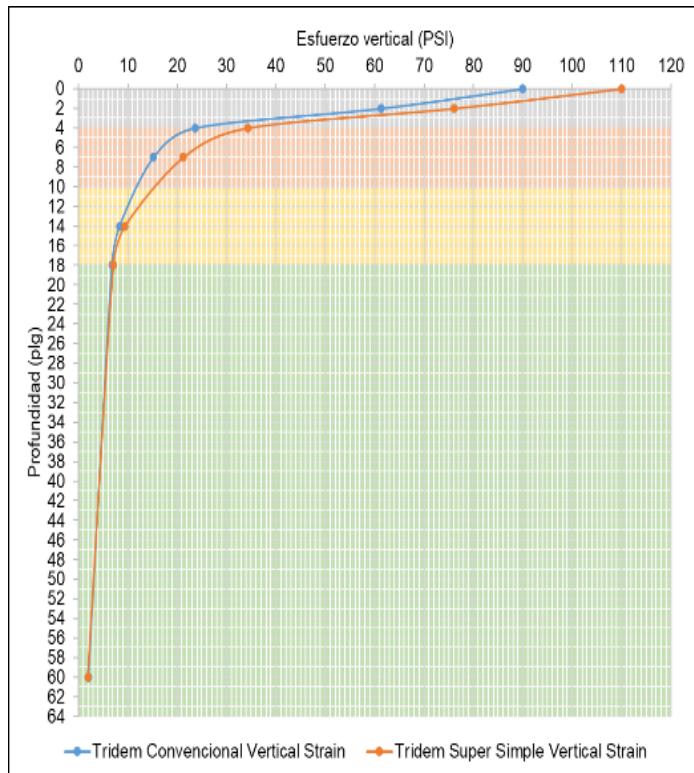


### T3S3 N° 98

| Punto de analisis | Profundidades (in) | T3S3 N°98 Tridem Super Simple |            |
|-------------------|--------------------|-------------------------------|------------|
|                   |                    | Esfuerzo (psi)                |            |
|                   |                    | Vertical                      | Horizontal |
| 1                 | 0                  | 110                           | 345.944    |
| 2                 | 2                  | 76.137                        | 40.268     |
| 3                 | 4                  | 34.364                        | -223.72    |
| 4                 | 7                  | 21.27                         | -0.892     |
| 5                 | 14                 | 9.456                         | 0.064      |
| 6                 | 18                 | 7.111                         | -1.074     |
| 7                 | 60                 | 1.912                         | 0.12       |

| Punto de analisis | Profundidades (in) | T3S3 N°98 Tridem Convencional |             |
|-------------------|--------------------|-------------------------------|-------------|
|                   |                    | Esfuerzo (psi)                |             |
|                   |                    | Vertica l                     | Horizonta l |
| 1                 | 0                  | 90                            | 225.082     |
| 2                 | 2                  | 61.275                        | 30.651      |
| 3                 | 4                  | 23.596                        | -142.149    |
| 4                 | 7                  | 15.234                        | -0.527      |
| 5                 | 14                 | 8.37                          | -0.007      |
| 6                 | 18                 | 6.84                          | -0.96       |
| 7                 | 60                 | 2.071                         | 0.086       |

| Punto de analisis | T3S3 98 Profundidades (pulg) | Relacion       |            |
|-------------------|------------------------------|----------------|------------|
|                   |                              | Esfuerzo (psi) |            |
|                   |                              | Vertical       | Horizontal |
| 1                 | 0                            | 1.222          | 1.537      |
| 2                 | 2                            | 1.243          | 1.314      |
| 3                 | 4                            | 1.456          | 1.574      |
| 4                 | 7                            | 1.396          | 1.693      |
| 5                 | 14                           | 1.130          | -9.143     |
| 6                 | 18                           | 1.040          | 1.119      |
| 7                 | 60                           | 0.923          | 1.395      |

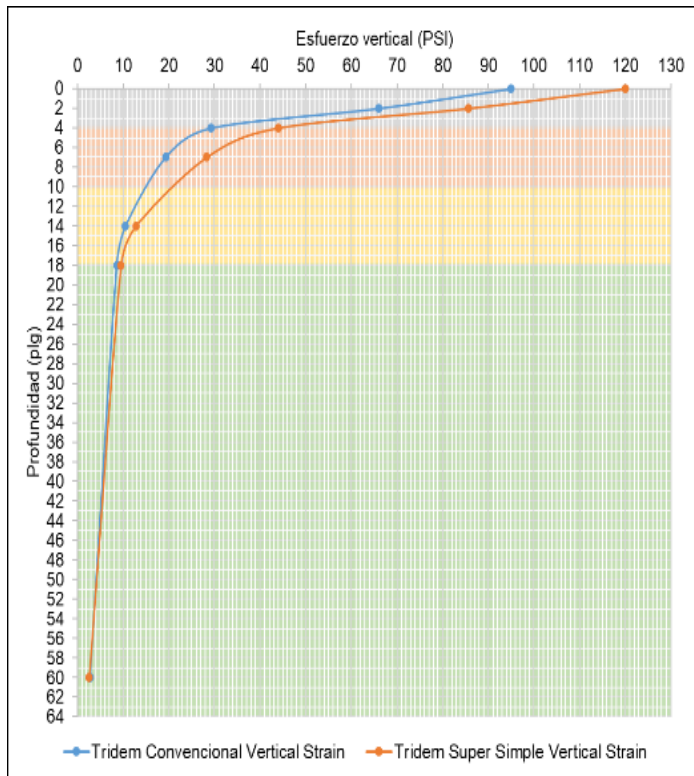


### T3S3 N° 99

| Punto de analisis | Profundidades (in) | T3S3 N°99 Tridem Super Simple |            |
|-------------------|--------------------|-------------------------------|------------|
|                   |                    | Esfuerzo (psi)                |            |
|                   |                    | Vertical                      | Horizontal |
| 1                 | 0                  | 120                           | 412.257    |
| 2                 | 2                  | 85.649                        | 51.667     |
| 3                 | 4                  | 43.982                        | -278.291   |
| 4                 | 7                  | 28.268                        | -1.332     |
| 5                 | 14                 | 12.776                        | 0.032      |
| 6                 | 18                 | 9.538                         | -1.507     |
| 7                 | 60                 | 2.559                         | 0.198      |

| Punto de analisis | Profundidades (in) | T3S3 N°99 Tridem Convencional |            |
|-------------------|--------------------|-------------------------------|------------|
|                   |                    | Esfuerzo (psi)                |            |
|                   |                    | Vertical                      | Horizontal |
| 1                 | 0                  | 95                            | 303.88     |
| 2                 | 2                  | 65.944                        | 38.214     |
| 3                 | 4                  | 29.32                         | -172.096   |
| 4                 | 7                  | 19.302                        | -0.608     |
| 5                 | 14                 | 10.514                        | 0.14       |
| 6                 | 18                 | 8.593                         | -1.055     |
| 7                 | 60                 | 2.759                         | 0.151      |

| Punto de analisis | T3S3 99 Profundidades (pulg) | Relacion       |            |
|-------------------|------------------------------|----------------|------------|
|                   |                              | Esfuerzo (psi) |            |
|                   |                              | Vertical       | Horizontal |
| 1                 | 0                            | 1.263          | 1.357      |
| 2                 | 2                            | 1.299          | 1.352      |
| 3                 | 4                            | 1.500          | 1.617      |
| 4                 | 7                            | 1.465          | 2.191      |
| 5                 | 14                           | 1.215          | 0.229      |
| 6                 | 18                           | 1.110          | 1.428      |
| 7                 | 60                           | 0.928          | 1.311      |

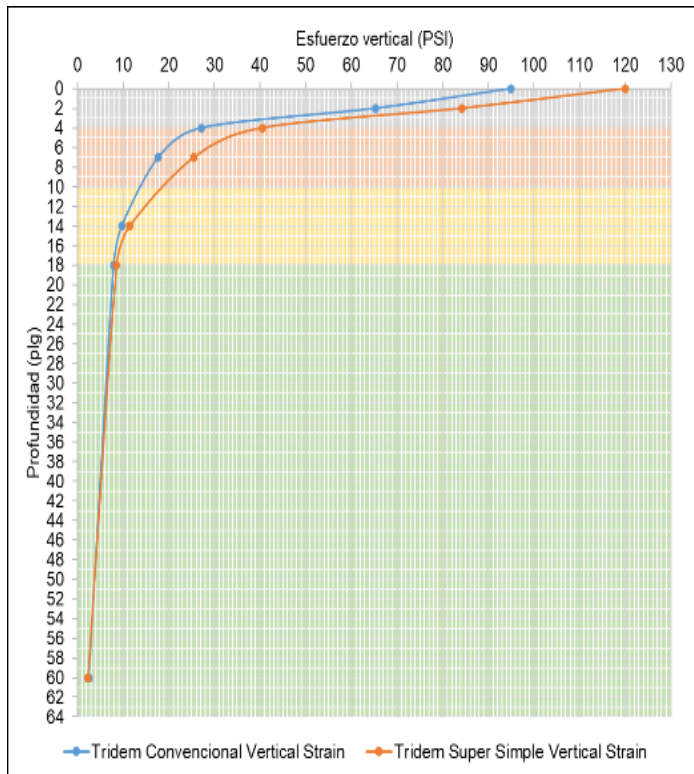


### T3S3 N° 100

| Punto de analisis | Profundades (in) | T3S3 N°100 Tridem Super Simple |            |
|-------------------|------------------|--------------------------------|------------|
|                   |                  | Esfuerzo (psi)                 |            |
|                   |                  | Vertical                       | Horizontal |
| 1                 | 0                | 120                            | 391.68     |
| 2                 | 2                | 84.267                         | 47.544     |
| 3                 | 4                | 40.556                         | -260.575   |
| 4                 | 7                | 25.562                         | -1.136     |
| 5                 | 14               | 11.439                         | 0.063      |
| 6                 | 18               | 8.57                           | -1.314     |
| 7                 | 60               | 2.305                          | 0.161      |

| Punto de analisis | Profundades (in) | T3S3 N°100 Tridem Convencional |            |
|-------------------|------------------|--------------------------------|------------|
|                   |                  | Esfuerzo (psi)                 |            |
|                   |                  | Vertical                       | Horizontal |
| 1                 | 0                | 95                             | 256.491    |
| 2                 | 2                | 65.362                         | 35.481     |
| 3                 | 4                | 27.225                         | -161.873   |
| 4                 | 7                | 17.754                         | -0.579     |
| 5                 | 14               | 9.71                           | 0.074      |
| 6                 | 18               | 7.939                          | -1.031     |
| 7                 | 60               | 2.484                          | 0.12       |

| Punto de analisis | T3S3 100 Profundades (pulg) | Relacion       |            |
|-------------------|-----------------------------|----------------|------------|
|                   |                             | Esfuerzo (psi) |            |
|                   |                             | Vertical       | Horizontal |
| 1                 | 0                           | 1.263          | 1.527      |
| 2                 | 2                           | 1.289          | 1.340      |
| 3                 | 4                           | 1.490          | 1.610      |
| 4                 | 7                           | 1.440          | 1.962      |
| 5                 | 14                          | 1.178          | 0.851      |
| 6                 | 18                          | 1.079          | 1.274      |
| 7                 | 60                          | 0.928          | 1.342      |

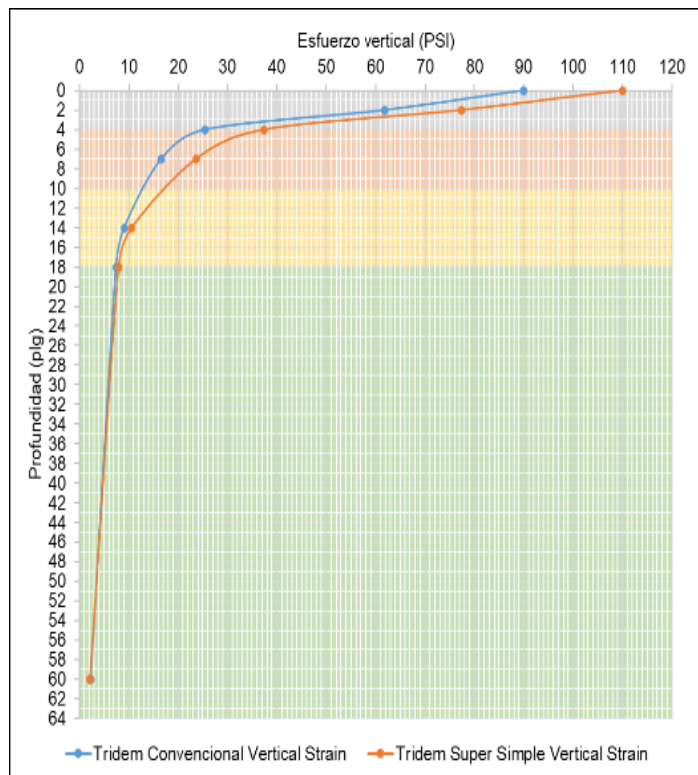


### T3S3 N° 101

| Punto de analisis | Profundidades (in) | T3S3 N°101 Tridem Super Simple |            |
|-------------------|--------------------|--------------------------------|------------|
|                   |                    | Esfuerzo (psi)                 |            |
|                   |                    | Vertical                       | Horizontal |
| 1                 | 0                  | 110                            | 360.799    |
| 2                 | 2                  | 77.339                         | 43.863     |
| 3                 | 4                  | 37.412                         | -240.099   |
| 4                 | 7                  | 23.616                         | -1.054     |
| 5                 | 14                 | 10.576                         | 0.056      |
| 6                 | 18                 | 7.92                           | -1.216     |
| 7                 | 60                 | 2.131                          | 0.15       |

| Punto de analisis | Profundades (in) | T3S3 N°101 Tridem Convencional |            |
|-------------------|------------------|--------------------------------|------------|
|                   |                  | Esfuerzo (psi)                 |            |
|                   |                  | Vertical                       | Horizontal |
| 1                 | 0                | 90                             | 240.794    |
| 2                 | 2                | 61.833                         | 33.213     |
| 3                 | 4                | 25.49                          | -151.849   |
| 4                 | 7                | 16.598                         | -0.545     |
| 5                 | 14               | 9.083                          | 0.06       |
| 6                 | 18               | 7.427                          | -0.974     |
| 7                 | 60               | 2.314                          | 0.11       |

| Punto de analisis | T3S3 101 Profundidades (pulg) | Relacion Esfuerzo (psi) |            |
|-------------------|-------------------------------|-------------------------|------------|
|                   |                               | Vertical                | Horizontal |
|                   |                               | 1                       | 0          |
| 2                 | 2                             | 1.251                   | 1.321      |
| 3                 | 4                             | 1.468                   | 1.581      |
| 4                 | 7                             | 1.423                   | 1.934      |
| 5                 | 14                            | 1.164                   | 0.933      |
| 6                 | 18                            | 1.066                   | 1.248      |
| 7                 | 60                            | 0.921                   | 1.364      |

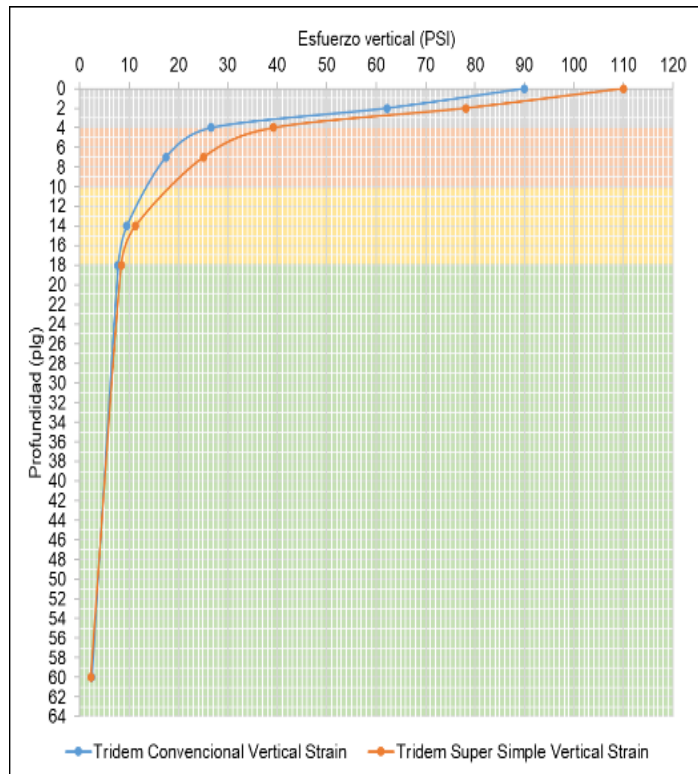


### T3S3 N° 102

| Punto de analisis | Profundades (in) | T3S3 N°102 Tridem Super Simple |            |
|-------------------|------------------|--------------------------------|------------|
|                   |                  | Esfuerzo (psi)                 |            |
|                   |                  | Vertical                       | Horizontal |
| 1                 | 0                | 110                            | 370.056    |
| 2                 | 2                | 78.098                         | 46.056     |
| 3                 | 4                | 39.248                         | -249.66    |
| 4                 | 7                | 25.061                         | -1.159     |
| 5                 | 14               | 11.285                         | 0.041      |
| 6                 | 18               | 8.434                          | -1.317     |
| 7                 | 60               | 2.266                          | 0.169      |

| Punto de analisis | Profundades (in) | T3S3 N°102 Tridem Convencional |            |
|-------------------|------------------|--------------------------------|------------|
|                   |                  | Esfuerzo (psi)                 |            |
|                   |                  | Vertical                       | Horizontal |
| 1                 | 0                | 90                             | 278.617    |
| 2                 | 2                | 62.172                         | 34.723     |
| 3                 | 4                | 26.64                          | -157.539   |
| 4                 | 7                | 17.442                         | -0.56      |
| 5                 | 14               | 9.522                          | 0.098      |
| 6                 | 18               | 7.785                          | -0.985     |
| 7                 | 60               | 2.464                          | 0.126      |

| Punto de analisis | T3S3 102 Profundidades (pulg) | Relacion Esfuerzo (psi) |            |
|-------------------|-------------------------------|-------------------------|------------|
|                   |                               | Vertical                | Horizontal |
|                   |                               | 1                       | 0          |
| 2                 | 2                             | 1.256                   | 1.326      |
| 3                 | 4                             | 1.473                   | 1.585      |
| 4                 | 7                             | 1.437                   | 2.070      |
| 5                 | 14                            | 1.185                   | 0.418      |
| 6                 | 18                            | 1.083                   | 1.337      |
| 7                 | 60                            | 0.920                   | 1.341      |



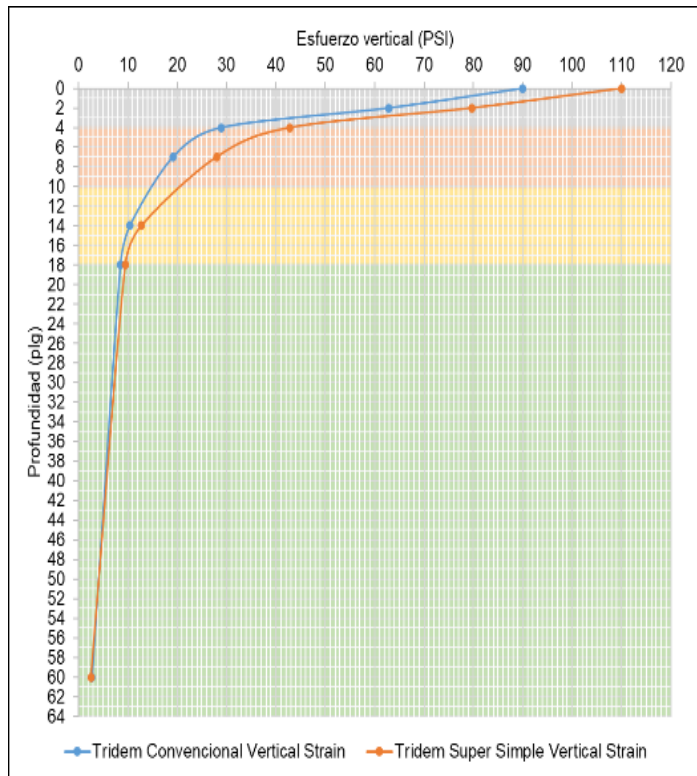


### T3S3 N° 103

| Punto de analisis | Profundidades (in) | T3S3 N°103 Tridem Super Simple |            |
|-------------------|--------------------|--------------------------------|------------|
|                   |                    | Esfuerzo (psi)                 |            |
|                   |                    | Vertical                       | Horizontal |
| 1                 | 0                  | 110                            | 396.687    |
| 2                 | 2                  | 79.639                         | 50.5       |
| 3                 | 4                  | 42.867                         | -267.656   |
| 4                 | 7                  | 27.982                         | -1.373     |
| 5                 | 14                 | 12.77                          | -0.011     |
| 6                 | 18                 | 9.513                          | -1.552     |
| 7                 | 60                 | 2.542                          | 0.213      |

| Punto de analisis | Profundidades (in) | T3S3 N°103 Tridem Convencional |            |
|-------------------|--------------------|--------------------------------|------------|
|                   |                    | Esfuerzo (psi)                 |            |
|                   |                    | Vertical                       | Horizontal |
| 1                 | 0                  | 90                             | 300.843    |
| 2                 | 2                  | 62.828                         | 37.674     |
| 3                 | 4                  | 28.929                         | -168.437   |
| 4                 | 7                  | 19.156                         | -0.594     |
| 5                 | 14                 | 10.414                         | 0.165      |
| 6                 | 18                 | 8.505                          | -1.017     |
| 7                 | 60                 | 2.767                          | 0.161      |

| Punto de analisis | T3S3 103 Profundidades (pulg) | Relacion Esfuerzo (psi) |            |
|-------------------|-------------------------------|-------------------------|------------|
|                   |                               | Vertical                | Horizontal |
|                   |                               | 1                       | 0          |
| 2                 | 2                             | 1.268                   | 1.340      |
| 3                 | 4                             | 1.482                   | 1.589      |
| 4                 | 7                             | 1.461                   | 2.311      |
| 5                 | 14                            | 1.226                   | -0.067     |
| 6                 | 18                            | 1.119                   | 1.526      |
| 7                 | 60                            | 0.919                   | 1.323      |

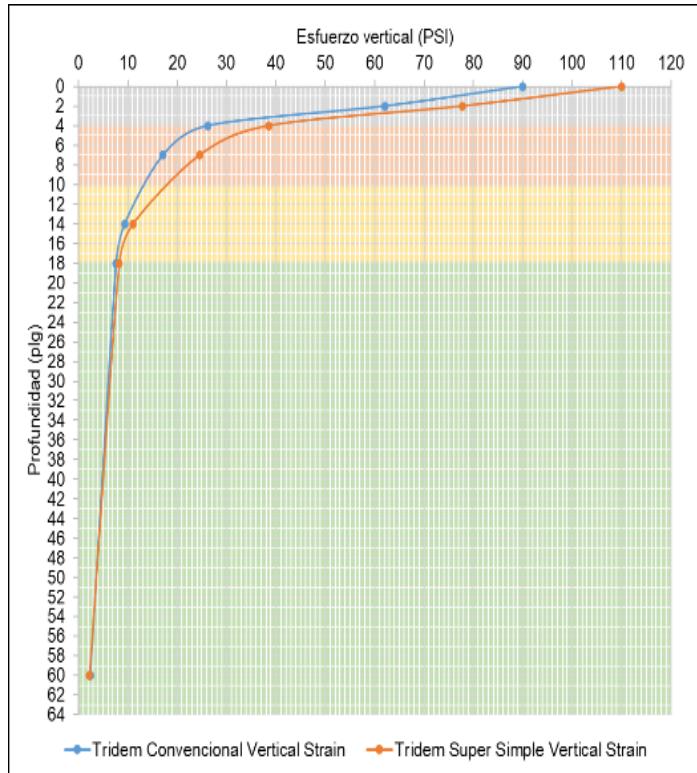


### T3S3 N° 104

| Punto de analisis | Profundidades (in) | T3S3 N°104 Tridem Super Simple |            |
|-------------------|--------------------|--------------------------------|------------|
|                   |                    | Esfuerzo (psi)                 |            |
|                   |                    | Vertical                       | Horizontal |
| 1                 | 0                  | 110                            | 365.192    |
| 2                 | 2                  | 77.82                          | 45.263     |
| 3                 | 4                  | 38.587                         | -246.248   |
| 4                 | 7                  | 24.537                         | -1.12      |
| 5                 | 14                 | 11.026                         | 0.047      |
| 6                 | 18                 | 8.246                          | -1.279     |
| 7                 | 60                 | 2.217                          | 0.162      |

| Punto de analisis | Profundidades (in) | T3S3 N°104 Tridem Convencional |            |
|-------------------|--------------------|--------------------------------|------------|
|                   |                    | Esfuerzo (psi)                 |            |
|                   |                    | Vertical                       | Horizontal |
| 1                 | 0                  | 90                             | 275.277    |
| 2                 | 2                  | 62.051                         | 34.187     |
| 3                 | 4                  | 26.229                         | -155.52    |
| 4                 | 7                  | 17.139                         | -0.554     |
| 5                 | 14                 | 9.365                          | 0.085      |
| 6                 | 18                 | 7.657                          | -0.981     |
| 7                 | 60                 | 2.41                           | 0.12       |

| Punto de analisis | T3S3 104 Profundidades (pulg) | Relacion Esfuerzo (psi) |            |
|-------------------|-------------------------------|-------------------------|------------|
|                   |                               | Vertical                | Horizontal |
|                   |                               | 1                       | 0          |
| 2                 | 2                             | 1.254                   | 1.324      |
| 3                 | 4                             | 1.471                   | 1.583      |
| 4                 | 7                             | 1.432                   | 2.022      |
| 5                 | 14                            | 1.177                   | 0.553      |
| 6                 | 18                            | 1.077                   | 1.304      |
| 7                 | 60                            | 0.920                   | 1.350      |

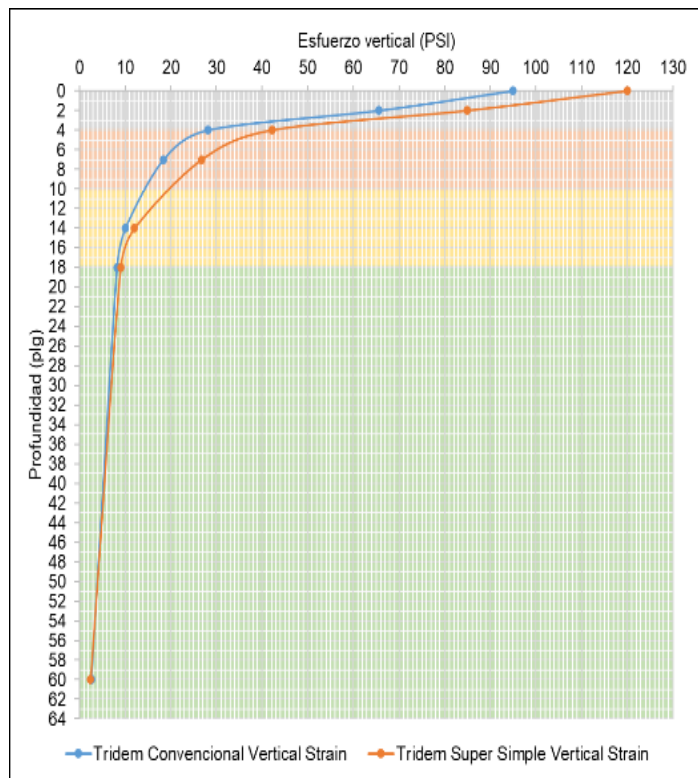


### T3S3 N° 105

| Punto de analisis | Profundidades (in) | T3S3 N°105 Tridem Super Simple |            |
|-------------------|--------------------|--------------------------------|------------|
|                   |                    | Esfuerzo (psi)                 |            |
|                   |                    | Vertical                       | Horizontal |
| 1                 | 0                  | 120                            | 398.641    |
| 2                 | 2                  | 84.909                         | 49.419     |
| 3                 | 4                  | 42.129                         | -268.809   |
| 4                 | 7                  | 26.794                         | -1.224     |
| 5                 | 14                 | 12.042                         | 0.052      |
| 6                 | 18                 | 9.006                          | -1.397     |
| 7                 | 60                 | 2.421                          | 0.177      |

| Punto de analisis | Profundades (in) | T3S3 N°105 Tridem Convencional |            |
|-------------------|------------------|--------------------------------|------------|
|                   |                  | Esfuerzo (psi)                 |            |
|                   |                  | Vertical                       | Horizontal |
| 1                 | 0                | 95                             | 294.577    |
| 2                 | 2                | 65.643                         | 36.729     |
| 3                 | 4                | 28.179                         | -166.58    |
| 4                 | 7                | 18.454                         | -0.592     |
| 5                 | 14               | 10.073                         | 0.105      |
| 6                 | 18               | 8.235                          | -1.04      |
| 7                 | 60               | 2.609                          | 0.133      |

| Punto de analisis | T3S3 105 Profundidades (pulg) | Relacion Esfuerzo (psi) |            |
|-------------------|-------------------------------|-------------------------|------------|
|                   |                               | Vertical                | Horizontal |
|                   |                               | 1                       | 0          |
| 2                 | 2                             | 1.293                   | 1.346      |
| 3                 | 4                             | 1.495                   | 1.614      |
| 4                 | 7                             | 1.452                   | 2.068      |
| 5                 | 14                            | 1.195                   | 0.495      |
| 6                 | 18                            | 1.094                   | 1.343      |
| 7                 | 60                            | 0.928                   | 1.331      |

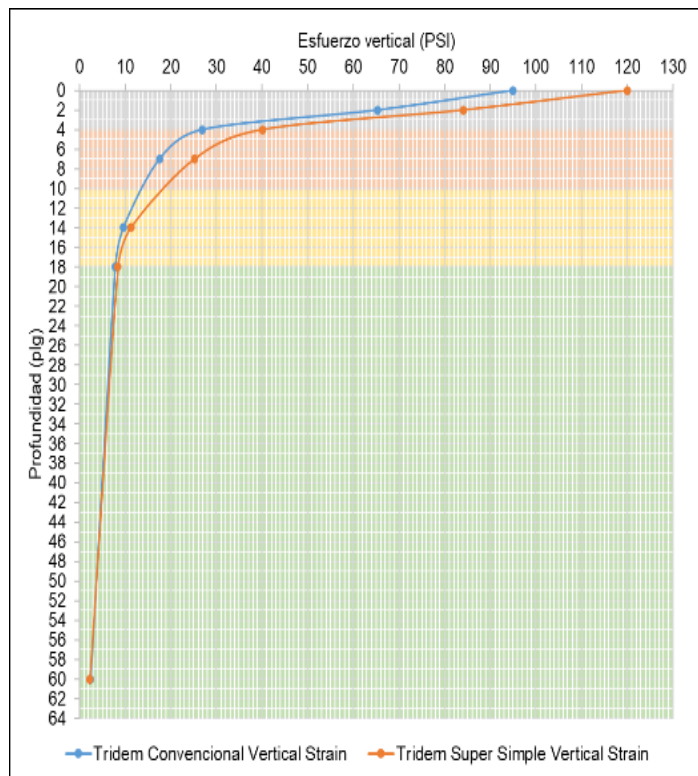


### T3S3 N° 106

| Punto de analisis | Profundades (in) | T3S3 N°106 Tridem Super Simple |            |
|-------------------|------------------|--------------------------------|------------|
|                   |                  | Esfuerzo (psi)                 |            |
|                   |                  | Vertical                       | Horizontal |
| 1                 | 0                | 120                            | 387.823    |
| 2                 | 2                | 84.062                         | 46.933     |
| 3                 | 4                | 40.04                          | -257.84    |
| 4                 | 7                | 25.162                         | -1.108     |
| 5                 | 14               | 11.246                         | 0.065      |
| 6                 | 18               | 8.43                           | -1.288     |
| 7                 | 60               | 2.268                          | 0.155      |

| Punto de analisis | Profundades (in) | T3S3 N°106 Tridem Convencional |            |
|-------------------|------------------|--------------------------------|------------|
|                   |                  | Esfuerzo (psi)                 |            |
|                   |                  | Vertical                       | Horizontal |
| 1                 | 0                | 95                             | 254.124    |
| 2                 | 2                | 65.266                         | 35.049     |
| 3                 | 4                | 26.899                         | -160.252   |
| 4                 | 7                | 17.516                         | -0.575     |
| 5                 | 14               | 9.585                          | 0.063      |
| 6                 | 18               | 7.837                          | -1.028     |
| 7                 | 60               | 2.442                          | 0.116      |

| Punto de analisis | T3S3 106 Profundades (pulg) | Relacion Esfuerzo (psi) |            |
|-------------------|-----------------------------|-------------------------|------------|
|                   |                             | Vertical                | Horizontal |
|                   |                             | 1                       | 0          |
| 2                 | 2                           | 1.288                   | 1.339      |
| 3                 | 4                           | 1.489                   | 1.609      |
| 4                 | 7                           | 1.437                   | 1.927      |
| 5                 | 14                          | 1.173                   | 1.032      |
| 6                 | 18                          | 1.076                   | 1.253      |
| 7                 | 60                          | 0.929                   | 1.336      |

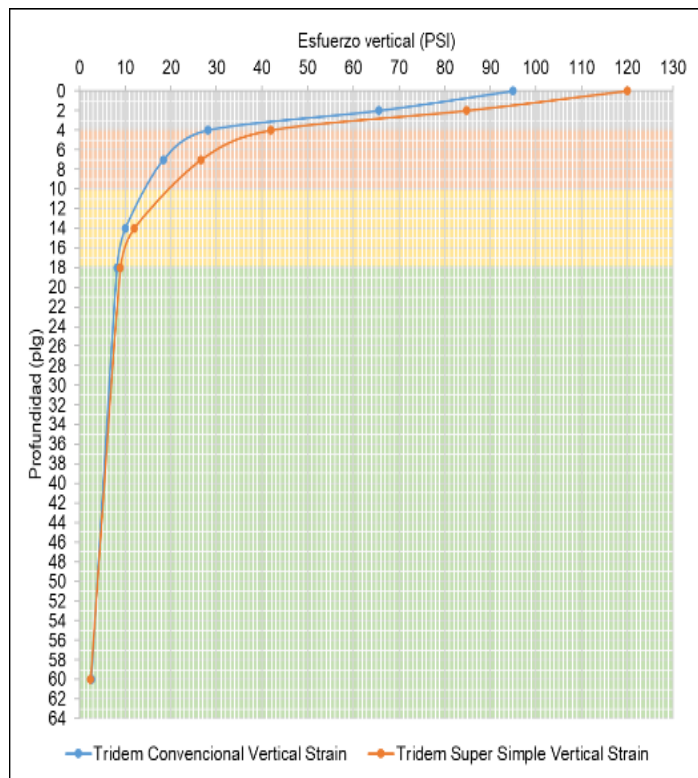


### T3S3 N° 107

| Punto de analisis | Profundidades (in) | T3S3 N°107 Tridem Super Simple |            |
|-------------------|--------------------|--------------------------------|------------|
|                   |                    | Esfuerzo (psi)                 |            |
|                   |                    | Vertical                       | Horizontal |
| 1                 | 0                  | 120                            | 397.513    |
| 2                 | 2                  | 84.845                         | 49.236     |
| 3                 | 4                  | 41.976                         | -268.012   |
| 4                 | 7                  | 26.674                         | -1.215     |
| 5                 | 14                 | 11.983                         | 0.053      |
| 6                 | 18                 | 8.963                          | -1.389     |
| 7                 | 60                 | 2.41                           | 0.176      |

| Punto de analisis | Profundidades (in) | T3S3 N°107 Tridem Convencional |            |
|-------------------|--------------------|--------------------------------|------------|
|                   |                    | Esfuerzo (psi)                 |            |
|                   |                    | Vertical                       | Horizontal |
| 1                 | 0                  | 95                             | 293.83     |
| 2                 | 2                  | 65.616                         | 36.611     |
| 3                 | 4                  | 28.088                         | -166.131   |
| 4                 | 7                  | 18.387                         | -0.59      |
| 5                 | 14                 | 10.039                         | 0.102      |
| 6                 | 18                 | 8.208                          | -1.039     |
| 7                 | 60                 | 2.597                          | 0.132      |

| Punto de analisis | T3S3 107 Profundidades (pulg) | Relacion Esfuerzo (psi) |            |
|-------------------|-------------------------------|-------------------------|------------|
|                   |                               | Vertical                | Horizontal |
|                   |                               | 1                       | 0          |
| 2                 | 2                             | 1.293                   | 1.345      |
| 3                 | 4                             | 1.494                   | 1.613      |
| 4                 | 7                             | 1.451                   | 2.059      |
| 5                 | 14                            | 1.194                   | 0.520      |
| 6                 | 18                            | 1.092                   | 1.337      |
| 7                 | 60                            | 0.928                   | 1.333      |

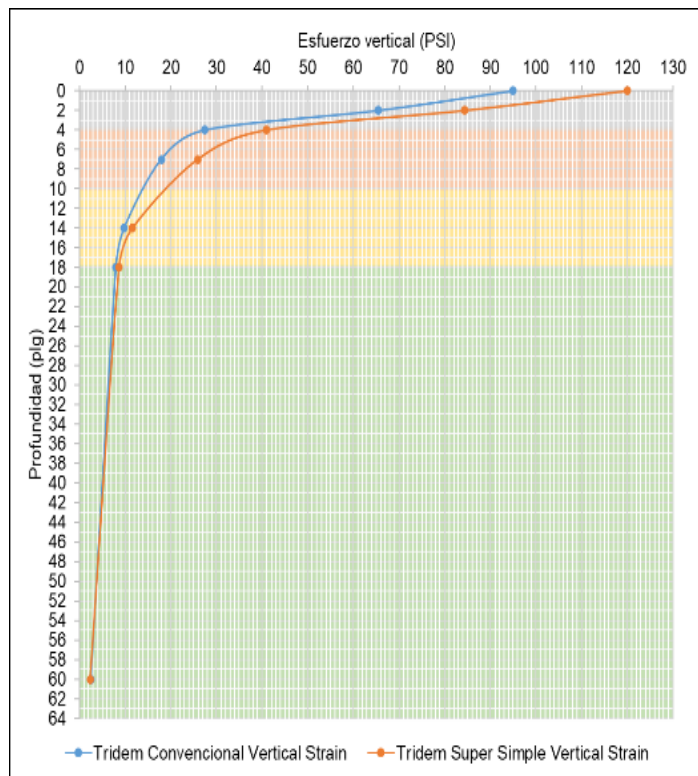


### T3S3 N° 108

| Punto de analisis | Profundades (in) | T3S3 N°108 Tridem Super Simple |            |
|-------------------|------------------|--------------------------------|------------|
|                   |                  | Esfuerzo (psi)                 |            |
|                   |                  | Vertical                       | Horizontal |
| 1                 | 0                | 120                            | 394.432    |
| 2                 | 2                | 84.415                         | 47.983     |
| 3                 | 4                | 40.924                         | -262.51    |
| 4                 | 7                | 25.85                          | -1.156     |
| 5                 | 14               | 11.58                          | 0.06       |
| 6                 | 18               | 8.671                          | -1.333     |
| 7                 | 60               | 2.332                          | 0.165      |

| Punto de analisis | Profundades (in) | T3S3 N°108 Tridem Convencional |            |
|-------------------|------------------|--------------------------------|------------|
|                   |                  | Esfuerzo (psi)                 |            |
|                   |                  | Vertical                       | Horizontal |
| 1                 | 0                | 95                             | 288.593    |
| 2                 | 2                | 65.426                         | 35.766     |
| 3                 | 4                | 27.442                         | -162.954   |
| 4                 | 7                | 17.912                         | -0.582     |
| 5                 | 14               | 9.792                          | 0.081      |
| 6                 | 18               | 8.006                          | -1.033     |
| 7                 | 60               | 2.512                          | 0.123      |

| Punto de analisis | T3S3 108 Profundades (pulg) | Relacion Esfuerzo (psi) |            |
|-------------------|-----------------------------|-------------------------|------------|
|                   |                             | Vertical                | Horizontal |
|                   |                             | 1                       | 0          |
| 2                 | 2                           | 1.290                   | 1.342      |
| 3                 | 4                           | 1.491                   | 1.611      |
| 4                 | 7                           | 1.443                   | 1.986      |
| 5                 | 14                          | 1.183                   | 0.741      |
| 6                 | 18                          | 1.083                   | 1.290      |
| 7                 | 60                          | 0.928                   | 1.341      |

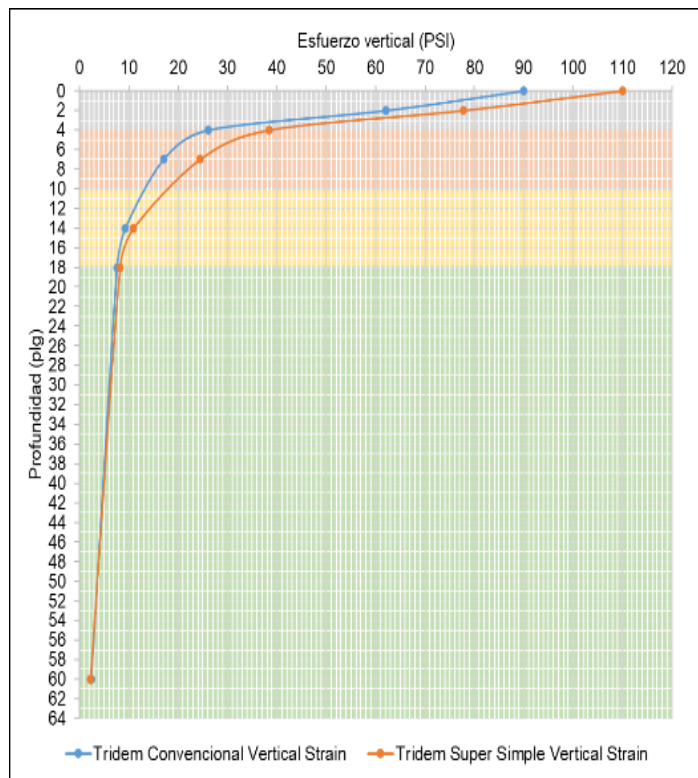


### T3S3 N° 109

| Punto de analisis | Profundidades (in) | T3S3 N°109 Tridem Super Simple |            |
|-------------------|--------------------|--------------------------------|------------|
|                   |                    | Esfuerzo (psi)                 |            |
|                   |                    | Vertical                       | Horizontal |
| 1                 | 0                  | 110                            | 363.988    |
| 2                 | 2                  | 77.752                         | 45.066     |
| 3                 | 4                  | 38.423                         | -245.399   |
| 4                 | 7                  | 24.407                         | -1.111     |
| 5                 | 14                 | 10.962                         | 0.049      |
| 6                 | 18                 | 8.2                            | -1.27      |
| 7                 | 60                 | 2.205                          | 0.16       |

| Punto de analisis | Profundades (in) | T3S3 N°109 Tridem Convencional |            |
|-------------------|------------------|--------------------------------|------------|
|                   |                  | Esfuerzo (psi)                 |            |
|                   |                  | Vertical                       | Horizontal |
| 1                 | 0                | 90                             | 274.468    |
| 2                 | 2                | 62.021                         | 34.058     |
| 3                 | 4                | 26.13                          | -155.028   |
| 4                 | 7                | 17.067                         | -0.553     |
| 5                 | 14               | 9.327                          | 0.081      |
| 6                 | 18               | 7.626                          | -0.98      |
| 7                 | 60               | 2.397                          | 0.118      |

| Punto de analisis | T3S3 109 Profundidades (pulg) | Relacion Esfuerzo (psi) |            |
|-------------------|-------------------------------|-------------------------|------------|
|                   |                               | Vertical                | Horizontal |
|                   |                               | 1                       | 0          |
| 2                 | 2                             | 1.254                   | 1.323      |
| 3                 | 4                             | 1.470                   | 1.583      |
| 4                 | 7                             | 1.430                   | 2.009      |
| 5                 | 14                            | 1.175                   | 0.605      |
| 6                 | 18                            | 1.075                   | 1.296      |
| 7                 | 60                            | 0.920                   | 1.356      |

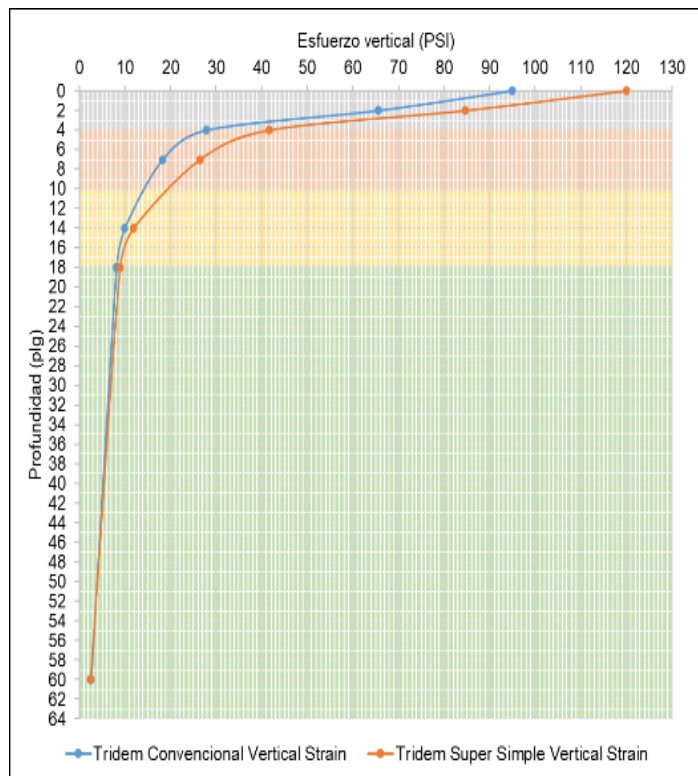


### T3S3 N° 110

| Punto de analisis | Profundades (in) | T3S3 N°110 Tridem Super Simple |            |
|-------------------|------------------|--------------------------------|------------|
|                   |                  | Esfuerzo (psi)                 |            |
|                   |                  | Vertical                       | Horizontal |
| 1                 | 0                | 120                            | 395.319    |
| 2                 | 2                | 84.722                         | 48.88      |
| 3                 | 4                | 41.677                         | -266.46    |
| 4                 | 7                | 26.439                         | -1.198     |
| 5                 | 14               | 11.867                         | 0.055      |
| 6                 | 18               | 8.879                          | -1.373     |
| 7                 | 60               | 2.388                          | 0.172      |

| Punto de analisis | Profundades (in) | T3S3 N°110 Tridem Convencional |            |
|-------------------|------------------|--------------------------------|------------|
|                   |                  | Esfuerzo (psi)                 |            |
|                   |                  | Vertical                       | Horizontal |
| 1                 | 0                | 95                             | 292.333    |
| 2                 | 2                | 65.561                         | 36.371     |
| 3                 | 4                | 27.903                         | -165.229   |
| 4                 | 7                | 18.251                         | -0.588     |
| 5                 | 14               | 9.968                          | 0.096      |
| 6                 | 18               | 8.15                           | -1.038     |
| 7                 | 60               | 2.573                          | 0.129      |

| Punto de analisis | T3S3 110 Profundades (pulg) | Relacion Esfuerzo (psi) |            |
|-------------------|-----------------------------|-------------------------|------------|
|                   |                             | Vertical                | Horizontal |
|                   |                             | 1                       | 0          |
| 2                 | 2                           | 1.292                   | 1.344      |
| 3                 | 4                           | 1.494                   | 1.613      |
| 4                 | 7                           | 1.449                   | 2.037      |
| 5                 | 14                          | 1.191                   | 0.573      |
| 6                 | 18                          | 1.089                   | 1.323      |
| 7                 | 60                          | 0.928                   | 1.333      |

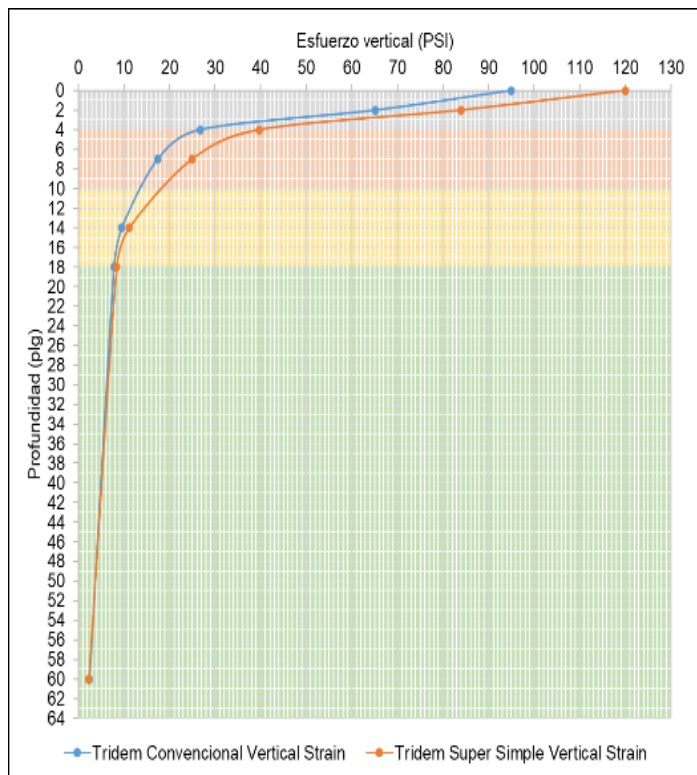


### T3S3 N° 111

| Punto de analisis | Profundidades (in) | T3S3 N°111 Tridem Super Simple |            |
|-------------------|--------------------|--------------------------------|------------|
|                   |                    | Esfuerzo (psi)                 |            |
|                   |                    | Vertical                       | Horizontal |
| 1                 | 0                  | 120                            | 385.571    |
| 2                 | 2                  | 83.893                         | 46.593     |
| 3                 | 4                  | 39.739                         | -256.238   |
| 4                 | 7                  | 24.928                         | -1.092     |
| 5                 | 14                 | 11.134                         | 0.066      |
| 6                 | 18                 | 8.349                          | -1.273     |
| 7                 | 60                 | 2.246                          | 0.152      |

| Punto de analisis | Profundidades (in) | T3S3 N°111 Tridem Convencional |            |
|-------------------|--------------------|--------------------------------|------------|
|                   |                    | Esfuerzo (psi)                 |            |
|                   |                    | Vertical                       | Horizontal |
| 1                 | 0                  | 95                             | 252.828    |
| 2                 | 2                  | 65.215                         | 34.814     |
| 3                 | 4                  | 26.722                         | -159.357   |
| 4                 | 7                  | 17.387                         | -0.573     |
| 5                 | 14                 | 9.519                          | 0.057      |
| 6                 | 18                 | 7.783                          | -1.027     |
| 7                 | 60                 | 2.419                          | 0.113      |

| Punto de analisis | T3S3 111 Profundidades (pulg) | Relacion Esfuerzo (psi) |            |
|-------------------|-------------------------------|-------------------------|------------|
|                   |                               | Vertical                | Horizontal |
|                   |                               | 1                       | 0          |
| 2                 | 2                             | 1.286                   | 1.338      |
| 3                 | 4                             | 1.487                   | 1.608      |
| 4                 | 7                             | 1.434                   | 1.906      |
| 5                 | 14                            | 1.170                   | 1.158      |
| 6                 | 18                            | 1.073                   | 1.240      |
| 7                 | 60                            | 0.928                   | 1.345      |

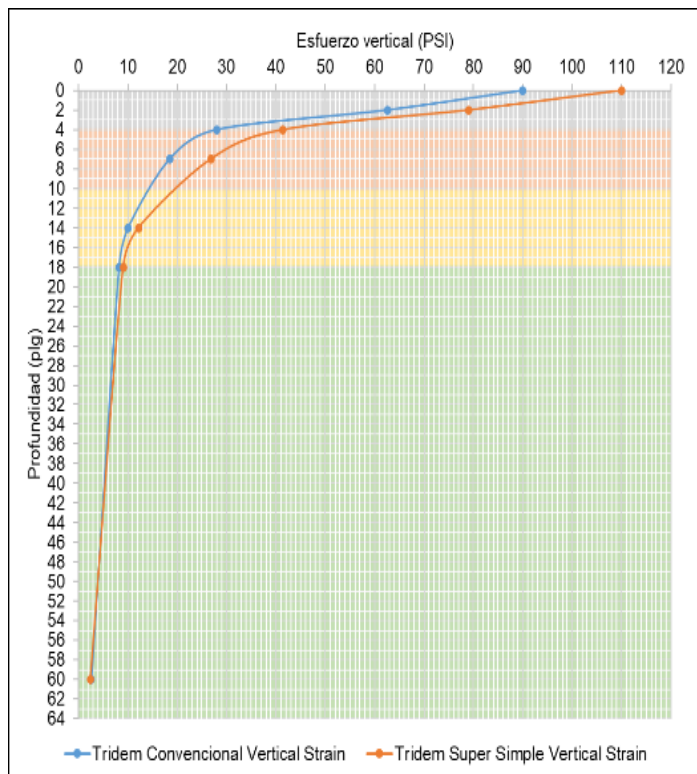


### T3S3 N° 112

| Punto de analisis | Profundidades (in) | T3S3 N°112 Tridem Super Simple |            |
|-------------------|--------------------|--------------------------------|------------|
|                   |                    | Esfuerzo (psi)                 |            |
|                   |                    | Vertical                       | Horizontal |
| 1                 | 0                  | 110                            | 386.137    |
| 2                 | 2                  | 78.998                         | 48.728     |
| 3                 | 4                  | 41.439                         | -260.725   |
| 4                 | 7                  | 26.814                         | -1.287     |
| 5                 | 14                 | 12.168                         | 0.013      |
| 6                 | 18                 | 9.075                          | -1.453     |
| 7                 | 60                 | 2.431                          | 0.195      |

| Punto de analisis | Profundidades (in) | T3S3 N°112 Tridem Convencional |            |
|-------------------|--------------------|--------------------------------|------------|
|                   |                    | Esfuerzo (psi)                 |            |
|                   |                    | Vertical                       | Horizontal |
| 1                 | 0                  | 90                             | 289.862    |
| 2                 | 2                  | 62.546                         | 36.513     |
| 3                 | 4                  | 28.019                         | -164.188   |
| 4                 | 7                  | 18.468                         | -0.58      |
| 5                 | 14                 | 10.056                         | 0.14       |
| 6                 | 18                 | 8.217                          | -1.003     |
| 7                 | 60                 | 2.646                          | 0.146      |

| Punto de analisis | T3S3 112 Profundidades (pulg) | Relacion Esfuerzo (psi) |            |
|-------------------|-------------------------------|-------------------------|------------|
|                   |                               | Vertical                | Horizontal |
|                   |                               | 1                       | 0          |
| 2                 | 2                             | 1.263                   | 1.335      |
| 3                 | 4                             | 1.479                   | 1.588      |
| 4                 | 7                             | 1.452                   | 2.219      |
| 5                 | 14                            | 1.210                   | 0.093      |
| 6                 | 18                            | 1.104                   | 1.449      |
| 7                 | 60                            | 0.919                   | 1.336      |

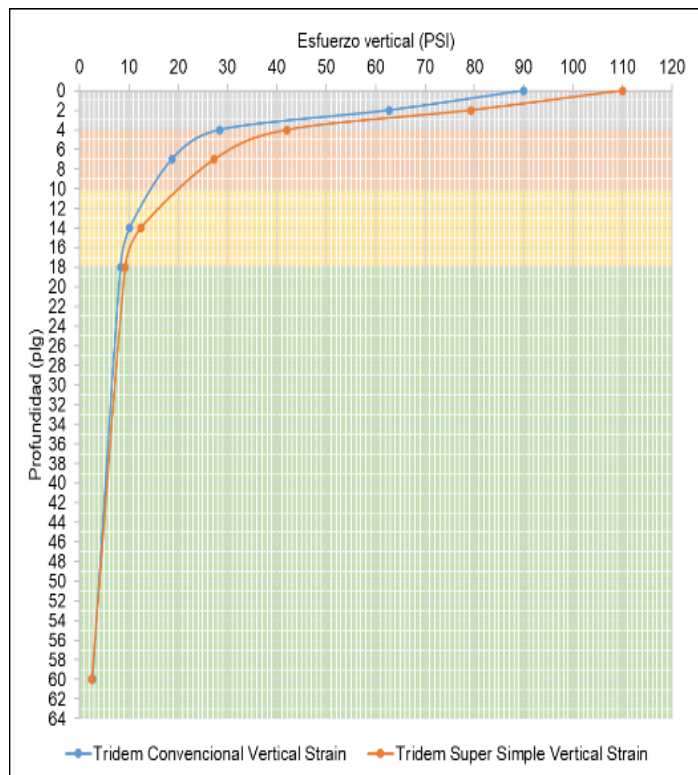


### T3S3 N° 113

| Punto de analisis | Profundidades (in) | T3S3 N°113 Tridem Super Simple |            |
|-------------------|--------------------|--------------------------------|------------|
|                   |                    | Esfuerzo (psi)                 |            |
|                   |                    | Vertical                       | Horizontal |
| 1                 | 0                  | 110                            | 390.617    |
| 2                 | 2                  | 79.268                         | 49.478     |
| 3                 | 4                  | 42.04                          | -263.616   |
| 4                 | 7                  | 27.308                         | -1.323     |
| 5                 | 14                 | 12.421                         | 0.004      |
| 6                 | 18                 | 9.259                          | -1.494     |
| 7                 | 60                 | 2.478                          | 0.202      |

| Punto de analisis | Profundidades (in) | T3S3 N°113 Tridem Convencional |            |
|-------------------|--------------------|--------------------------------|------------|
|                   |                    | Esfuerzo (psi)                 |            |
|                   |                    | Vertical                       | Horizontal |
| 1                 | 0                  | 90                             | 296.416    |
| 2                 | 2                  | 62.663                         | 37         |
| 3                 | 4                  | 28.401                         | -166.002   |
| 4                 | 7                  | 18.755                         | -0.586     |
| 5                 | 14                 | 10.205                         | 0.15       |
| 6                 | 18                 | 8.337                          | -1.009     |
| 7                 | 60                 | 2.696                          | 0.152      |

| Punto de analisis | T3S3 113 Profundidades (pulg) | Relacion Esfuerzo (psi) |            |
|-------------------|-------------------------------|-------------------------|------------|
|                   |                               | Vertical                | Horizontal |
|                   |                               | 1                       | 0          |
| 2                 | 2                             | 1.265                   | 1.337      |
| 3                 | 4                             | 1.480                   | 1.588      |
| 4                 | 7                             | 1.456                   | 2.258      |
| 5                 | 14                            | 1.217                   | 0.027      |
| 6                 | 18                            | 1.111                   | 1.481      |
| 7                 | 60                            | 0.919                   | 1.329      |

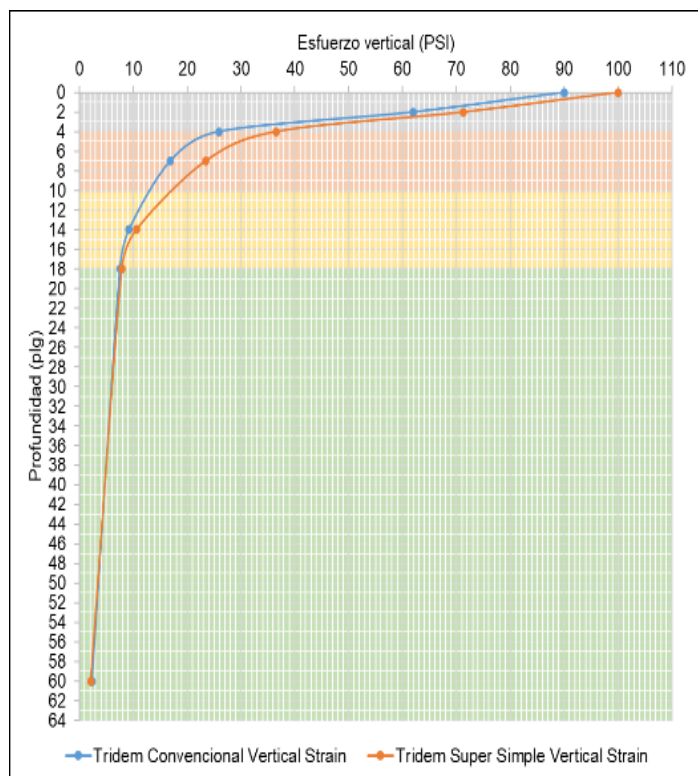


### T3S3 N° 114

| Punto de analisis | Profundades (in) | T3S3 N°114 Tridem Super Simple |            |
|-------------------|------------------|--------------------------------|------------|
|                   |                  | Esfuerzo (psi)                 |            |
|                   |                  | Vertical                       | Horizontal |
| 1                 | 0                | 100                            | 342.671    |
| 2                 | 2                | 71.322                         | 42.912     |
| 3                 | 4                | 36.532                         | -231.304   |
| 4                 | 7                | 23.461                         | -1.103     |
| 5                 | 14               | 10.598                         | 0.028      |
| 6                 | 18               | 7.913                          | -1.248     |
| 7                 | 60               | 2.124                          | 0.164      |

| Punto de analisis | Profundades (in) | T3S3 N°114 Tridem Convencional |            |
|-------------------|------------------|--------------------------------|------------|
|                   |                  | Esfuerzo (psi)                 |            |
|                   |                  | Vertical                       | Horizontal |
| 1                 | 0                | 90                             | 272.743    |
| 2                 | 2                | 61.958                         | 33.777     |
| 3                 | 4                | 25.917                         | -153.974   |
| 4                 | 7                | 16.91                          | -0.55      |
| 5                 | 14               | 9.246                          | 0.074      |
| 6                 | 18               | 7.56                           | -0.978     |
| 7                 | 60               | 2.37                           | 0.115      |

| Punto de analisis | T3S3 114 Profundades (pulg) | Relacion Esfuerzo (psi) |            |
|-------------------|-----------------------------|-------------------------|------------|
|                   |                             | Vertical                | Horizontal |
|                   |                             | 1                       | 0          |
| 2                 | 2                           | 1.151                   | 1.270      |
| 3                 | 4                           | 1.410                   | 1.502      |
| 4                 | 7                           | 1.387                   | 2.005      |
| 5                 | 14                          | 1.146                   | 0.378      |
| 6                 | 18                          | 1.047                   | 1.276      |
| 7                 | 60                          | 0.896                   | 1.426      |

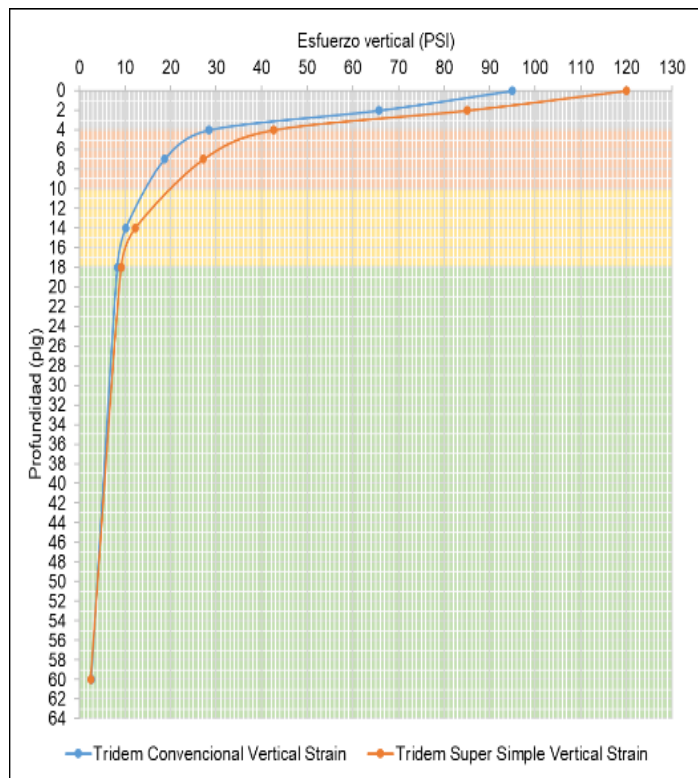


### T3S3 N° 115

| Punto de analisis | Profundidades (in) | T3S3 N°115 Tridem Super Simple |            |
|-------------------|--------------------|--------------------------------|------------|
|                   |                    | Esfuerzo (psi)                 |            |
|                   |                    | Vertical                       | Horizontal |
| 1                 | 0                  | 120                            | 402.073    |
| 2                 | 2                  | 85.105                         | 49.98      |
| 3                 | 4                  | 42.596                         | -271.218   |
| 4                 | 7                  | 27.163                         | -1.25      |
| 5                 | 14                 | 12.225                         | 0.047      |
| 6                 | 18                 | 9.138                          | -1.424     |
| 7                 | 60                 | 2.455                          | 0.182      |

| Punto de analisis | Profundidades (in) | T3S3 N°115 Tridem Convencional |            |
|-------------------|--------------------|--------------------------------|------------|
|                   |                    | Esfuerzo (psi)                 |            |
|                   |                    | Vertical                       | Horizontal |
| 1                 | 0                  | 95                             | 296.931    |
| 2                 | 2                  | 65.691                         | 37.118     |
| 3                 | 4                  | 28.469                         | -167.988   |
| 4                 | 7                  | 18.669                         | -0.596     |
| 5                 | 14                 | 10.186                         | 0.114      |
| 6                 | 18                 | 8.327                          | -1.044     |
| 7                 | 60                 | 2.647                          | 0.138      |

| Punto de analisis | T3S3 115 Profundidades (pulg) | Relacion Esfuerzo (psi) |            |
|-------------------|-------------------------------|-------------------------|------------|
|                   |                               | Vertical                | Horizontal |
|                   |                               | 1                       | 0          |
| 2                 | 2                             | 1.296                   | 1.347      |
| 3                 | 4                             | 1.496                   | 1.615      |
| 4                 | 7                             | 1.455                   | 2.097      |
| 5                 | 14                            | 1.200                   | 0.412      |
| 6                 | 18                            | 1.097                   | 1.364      |
| 7                 | 60                            | 0.927                   | 1.319      |

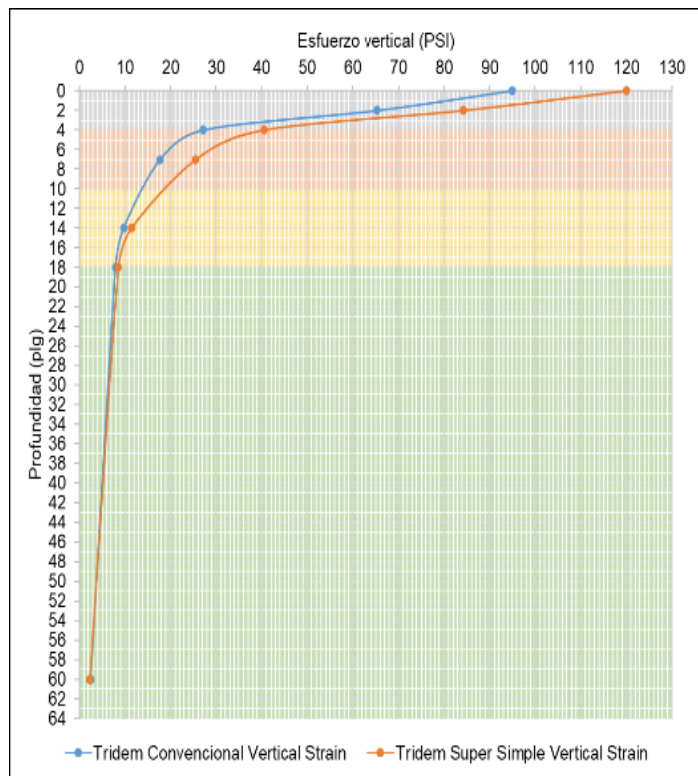


### T3S3 N° 116

| Punto de analisis | Profundades (in) | T3S3 N°116 Tridem Super Simple |            |
|-------------------|------------------|--------------------------------|------------|
|                   |                  | Esfuerzo (psi)                 |            |
|                   |                  | Vertical                       | Horizontal |
| 1                 | 0                | 120                            | 391.675    |
| 2                 | 2                | 84.267                         | 47.545     |
| 3                 | 4                | 40.556                         | -260.569   |
| 4                 | 7                | 25.562                         | -1.136     |
| 5                 | 14               | 11.44                          | 0.063      |
| 6                 | 18               | 8.57                           | -1.314     |
| 7                 | 60               | 2.306                          | 0.161      |

| Punto de analisis | Profundades (in) | T3S3 N°116 Tridem Convencional |            |
|-------------------|------------------|--------------------------------|------------|
|                   |                  | Esfuerzo (psi)                 |            |
|                   |                  | Vertical                       | Horizontal |
| 1                 | 0                | 95                             | 256.44     |
| 2                 | 2                | 65.36                          | 35.471     |
| 3                 | 4                | 27.218                         | -161.839   |
| 4                 | 7                | 17.748                         | -0.579     |
| 5                 | 14               | 9.706                          | 0.074      |
| 6                 | 18               | 7.936                          | -1.031     |
| 7                 | 60               | 2.483                          | 0.12       |

| Punto de analisis | T3S3 116 Profundades (pulg) | Relacion Esfuerzo (psi) |            |
|-------------------|-----------------------------|-------------------------|------------|
|                   |                             | Vertical                | Horizontal |
|                   |                             | 1                       | 0          |
| 2                 | 2                           | 1.289                   | 1.340      |
| 3                 | 4                           | 1.490                   | 1.610      |
| 4                 | 7                           | 1.440                   | 1.962      |
| 5                 | 14                          | 1.179                   | 0.851      |
| 6                 | 18                          | 1.080                   | 1.274      |
| 7                 | 60                          | 0.929                   | 1.342      |

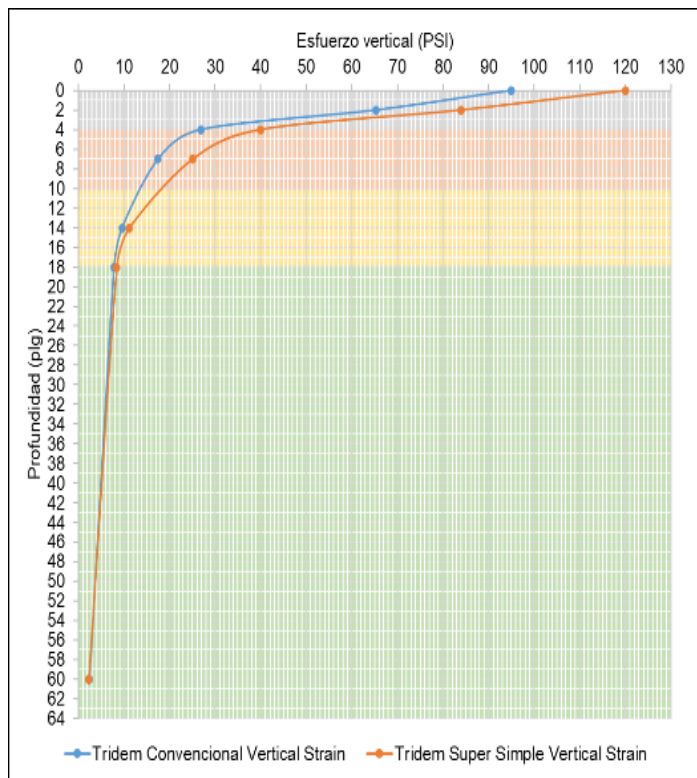


### T3S3 N° 117

| Punto de analisis | Profundidades (in) | T3S3 N°117 Tridem Super Simple |            |
|-------------------|--------------------|--------------------------------|------------|
|                   |                    | Esfuerzo (psi)                 |            |
|                   |                    | Vertical                       | Horizontal |
| 1                 | 0                  | 120                            | 386.988    |
| 2                 | 2                  | 83.966                         | 46.818     |
| 3                 | 4                  | 39.928                         | -257.247   |
| 4                 | 7                  | 25.075                         | -1.102     |
| 5                 | 14                 | 11.204                         | 0.066      |
| 6                 | 18                 | 8.4                            | -1.283     |
| 7                 | 60                 | 2.26                           | 0.154      |

| Punto de analisis | Profundades (in) | T3S3 N°117 Tridem Convencional |            |
|-------------------|------------------|--------------------------------|------------|
|                   |                  | Esfuerzo (psi)                 |            |
|                   |                  | Vertical                       | Horizontal |
| 1                 | 0                | 95                             | 253.641    |
| 2                 | 2                | 65.247                         | 34.962     |
| 3                 | 4                | 26.833                         | -159.92    |
| 4                 | 7                | 17.468                         | -0.574     |
| 5                 | 14               | 9.56                           | 0.061      |
| 6                 | 18               | 7.817                          | -1.027     |
| 7                 | 60               | 2.433                          | 0.115      |

| Punto de analisis | T3S3 117 Profundidades (pulg) | Relacion Esfuerzo (psi) |            |
|-------------------|-------------------------------|-------------------------|------------|
|                   |                               | Vertical                | Horizontal |
|                   |                               | 1                       | 0          |
| 2                 | 2                             | 1.287                   | 1.339      |
| 3                 | 4                             | 1.488                   | 1.609      |
| 4                 | 7                             | 1.435                   | 1.920      |
| 5                 | 14                            | 1.172                   | 1.082      |
| 6                 | 18                            | 1.075                   | 1.249      |
| 7                 | 60                            | 0.929                   | 1.339      |

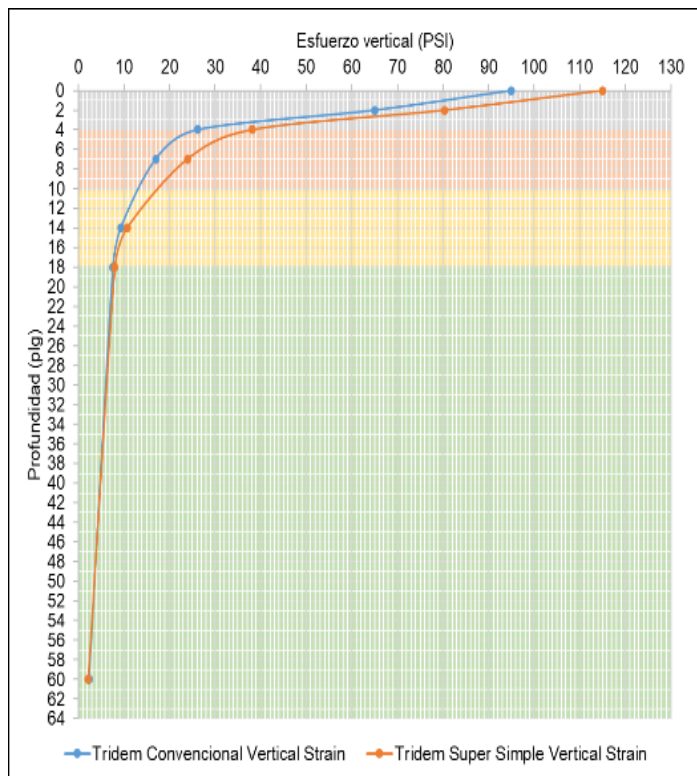


### T3S3 N° 118

| Punto de analisis | Profundades (in) | T3S3 N°118 Tridem Super Simple |            |
|-------------------|------------------|--------------------------------|------------|
|                   |                  | Esfuerzo (psi)                 |            |
|                   |                  | Vertical                       | Horizontal |
| 1                 | 0                | 115                            | 369.565    |
| 2                 | 2                | 80.401                         | 44.662     |
| 3                 | 4                | 38.092                         | -245.602   |
| 4                 | 7                | 23.896                         | -1.046     |
| 5                 | 14               | 10.673                         | 0.064      |
| 6                 | 18               | 8.003                          | -1.221     |
| 7                 | 60               | 2.153                          | 0.146      |

| Punto de analisis | Profundades (in) | T3S3 N°118 Tridem Convencional |            |
|-------------------|------------------|--------------------------------|------------|
|                   |                  | Esfuerzo (psi)                 |            |
|                   |                  | Vertical                       | Horizontal |
| 1                 | 0                | 95                             | 246.384    |
| 2                 | 2                | 65.042                         | 34.022     |
| 3                 | 4                | 26.131                         | -156.367   |
| 4                 | 7                | 16.958                         | -0.567     |
| 5                 | 14               | 9.294                          | 0.037      |
| 6                 | 18               | 7.599                          | -1.022     |
| 7                 | 60               | 2.342                          | 0.106      |

| Punto de analisis | T3S3 118 Profundades (pulg) | Relacion Esfuerzo (psi) |            |
|-------------------|-----------------------------|-------------------------|------------|
|                   |                             | Vertical                | Horizontal |
|                   |                             | 1                       | 0          |
| 2                 | 2                           | 1.236                   | 1.313      |
| 3                 | 4                           | 1.458                   | 1.571      |
| 4                 | 7                           | 1.409                   | 1.845      |
| 5                 | 14                          | 1.148                   | 1.730      |
| 6                 | 18                          | 1.053                   | 1.195      |
| 7                 | 60                          | 0.919                   | 1.377      |



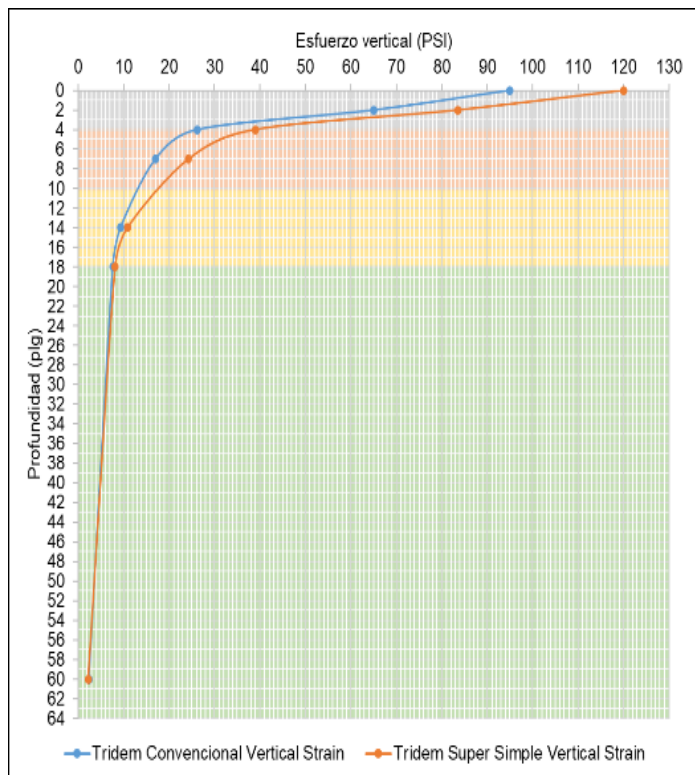


### T3S3 N° 119

| Punto de analisis | Profundidades (in) | T3S3 N°119 Tridem Super Simple |            |
|-------------------|--------------------|--------------------------------|------------|
|                   |                    | Esfuerzo (psi)                 |            |
|                   |                    | Vertical                       | Horizontal |
| 1                 | 0                  | 120                            | 379.51     |
| 2                 | 2                  | 83.586                         | 45.63      |
| 3                 | 4                  | 38.928                         | -251.892   |
| 4                 | 7                  | 24.302                         | -1.049     |
| 5                 | 14                 | 10.835                         | 0.069      |
| 6                 | 18                 | 8.132                          | -1.235     |
| 7                 | 60                 | 2.188                          | 0.145      |

| Punto de analisis | Profundidades (in) | T3S3 N°119 Tridem Convencional |            |
|-------------------|--------------------|--------------------------------|------------|
|                   |                    | Esfuerzo (psi)                 |            |
|                   |                    | Vertical                       | Horizontal |
| 1                 | 0                  | 95                             | 247.052    |
| 2                 | 2                  | 65.069                         | 34.147     |
| 3                 | 4                  | 26.224                         | -156.84    |
| 4                 | 7                  | 17.025                         | -0.567     |
| 5                 | 14                 | 9.329                          | 0.04       |
| 6                 | 18                 | 7.628                          | -1.022     |
| 7                 | 60                 | 2.354                          | 0.107      |

| Punto de analisis | T3S3 119 Profundidades (pulg) | Relacion Esfuerzo (psi) |            |
|-------------------|-------------------------------|-------------------------|------------|
|                   |                               | Vertical                | Horizontal |
|                   |                               | 1                       | 0          |
| 2                 | 2                             | 1.285                   | 1.336      |
| 3                 | 4                             | 1.484                   | 1.606      |
| 4                 | 7                             | 1.427                   | 1.850      |
| 5                 | 14                            | 1.161                   | 1.725      |
| 6                 | 18                            | 1.066                   | 1.208      |
| 7                 | 60                            | 0.929                   | 1.355      |

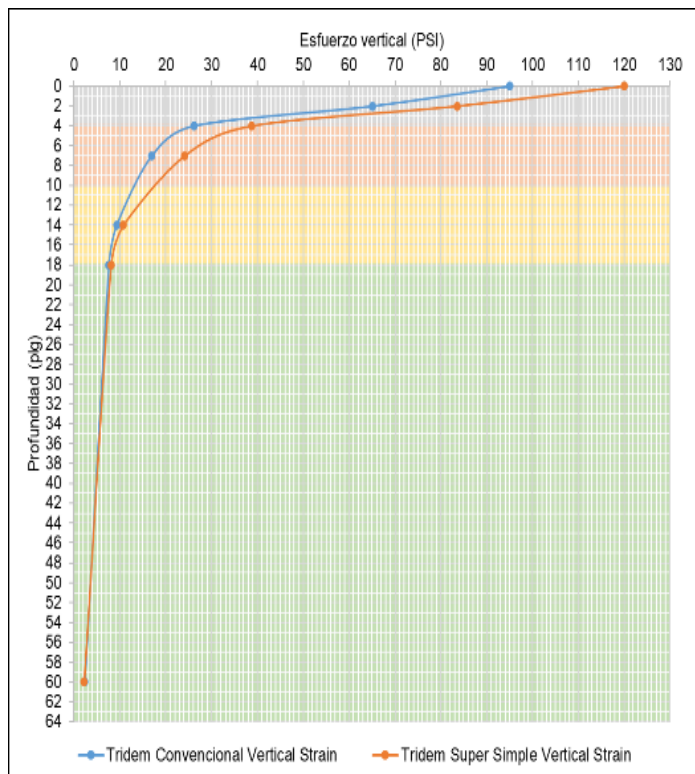


### T3S3 N° 121

| Punto de analisis | Profundidades (in) | T3S3 N°121 Tridem Super Simple |            |
|-------------------|--------------------|--------------------------------|------------|
|                   |                    | Esfuerzo (psi)                 |            |
|                   |                    | Vertical                       | Horizontal |
| 1                 | 0                  | 120                            | 377.972    |
| 2                 | 2                  | 83.509                         | 45.38      |
| 3                 | 4                  | 38.719                         | -250.792   |
| 4                 | 7                  | 24.142                         | -1.039     |
| 5                 | 14                 | 10.757                         | 0.069      |
| 6                 | 18                 | 8.075                          | -1.225     |
| 7                 | 60                 | 2.172                          | 0.143      |

| Punto de analisis | Profundidades (in) | T3S3 N°121 Tridem Convencional |            |
|-------------------|--------------------|--------------------------------|------------|
|                   |                    | Esfuerzo (psi)                 |            |
|                   |                    | Vertical                       | Horizontal |
| 1                 | 0                  | 95                             | 246.24     |
| 2                 | 2                  | 65.036                         | 33.995     |
| 3                 | 4                  | 26.111                         | -156.266   |
| 4                 | 7                  | 16.944                         | -0.566     |
| 5                 | 14                 | 9.287                          | 0.036      |
| 6                 | 18                 | 7.593                          | -1.021     |
| 7                 | 60                 | 2.34                           | 0.106      |

| Punto de analisis | T3S3 121 Profundidades (pulg) | Relacion Esfuerzo (psi) |            |
|-------------------|-------------------------------|-------------------------|------------|
|                   |                               | Vertical                | Horizontal |
|                   |                               | 1                       | 0          |
| 2                 | 2                             | 1.284                   | 1.335      |
| 3                 | 4                             | 1.483                   | 1.605      |
| 4                 | 7                             | 1.425                   | 1.836      |
| 5                 | 14                            | 1.158                   | 1.917      |
| 6                 | 18                            | 1.063                   | 1.200      |
| 7                 | 60                            | 0.928                   | 1.349      |

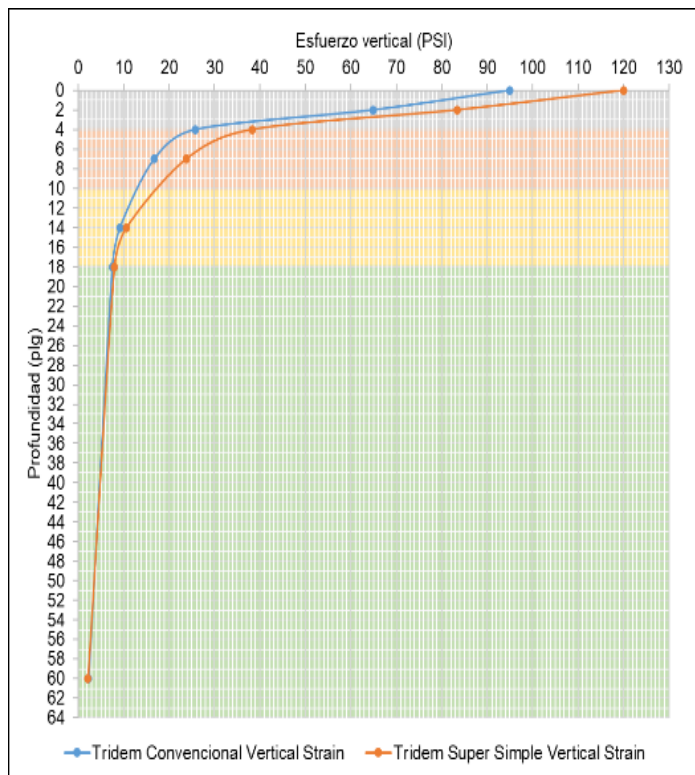


### T3S3 N° 122

| Punto de analisis | Profundidades (in) | T3S3 N°122 Tridem Super Simple |            |
|-------------------|--------------------|--------------------------------|------------|
|                   |                    | Esfuerzo (psi)                 |            |
|                   |                    | Vertical                       | Horizontal |
| 1                 | 0                  | 120                            | 383.304    |
| 2                 | 2                  | 83.336                         | 44.831     |
| 3                 | 4                  | 38.252                         | -248.237   |
| 4                 | 7                  | 23.785                         | -1.013     |
| 5                 | 14                 | 10.589                         | 0.07       |
| 6                 | 18                 | 7.955                          | -1.205     |
| 7                 | 60                 | 2.14                           | 0.138      |

| Punto de analisis | Profundidades (in) | T3S3 N°122 Tridem Convencional |            |
|-------------------|--------------------|--------------------------------|------------|
|                   |                    | Esfuerzo (psi)                 |            |
|                   |                    | Vertical                       | Horizontal |
| 1                 | 0                  | 95                             | 244.088    |
| 2                 | 2                  | 64.948                         | 33.591     |
| 3                 | 4                  | 25.812                         | -154.736   |
| 4                 | 7                  | 16.728                         | -0.563     |
| 5                 | 14                 | 9.174                          | 0.025      |
| 6                 | 18                 | 7.5                            | -1.019     |
| 7                 | 60                 | 2.301                          | 0.102      |

| Punto de analisis | T3S3 122 Profundidades (pulg) | Relacion Esfuerzo (psi) |            |
|-------------------|-------------------------------|-------------------------|------------|
|                   |                               | Vertical                | Horizontal |
|                   |                               | 1                       | 0          |
| 2                 | 2                             | 1.283                   | 1.335      |
| 3                 | 4                             | 1.482                   | 1.604      |
| 4                 | 7                             | 1.422                   | 1.799      |
| 5                 | 14                            | 1.154                   | 2.800      |
| 6                 | 18                            | 1.061                   | 1.183      |
| 7                 | 60                            | 0.930                   | 1.353      |

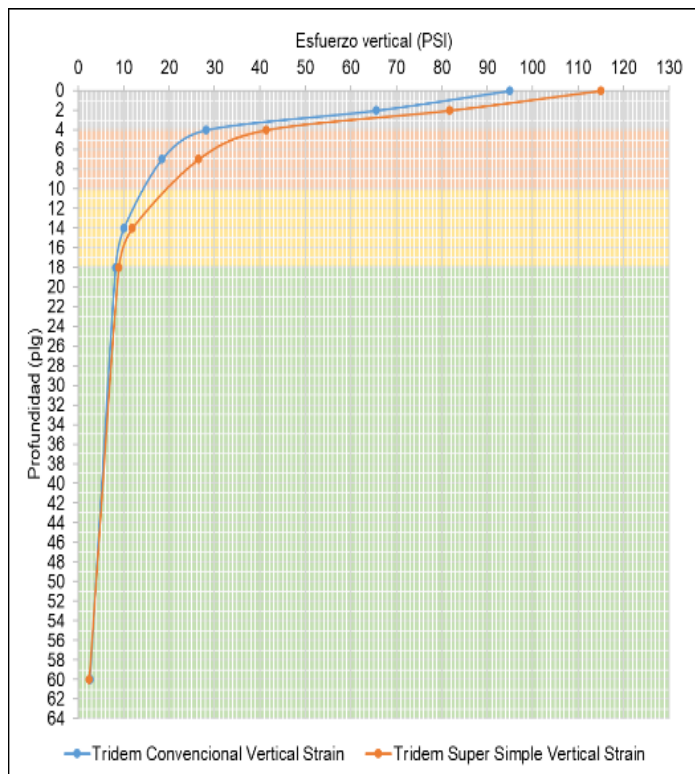


### T3S3 N° 123

| Punto de analisis | Profundidades (in) | T3S3 N°123 Tridem Super Simple |            |
|-------------------|--------------------|--------------------------------|------------|
|                   |                    | Esfuerzo (psi)                 |            |
|                   |                    | Vertical                       | Horizontal |
| 1                 | 0                  | 115                            | 389.083    |
| 2                 | 2                  | 81.776                         | 48.511     |
| 3                 | 4                  | 41.333                         | -262.548   |
| 4                 | 7                  | 26.439                         | -1.229     |
| 5                 | 14                 | 11.917                         | 0.04       |
| 6                 | 18                 | 8.903                          | -1.395     |
| 7                 | 60                 | 2.391                          | 0.181      |

| Punto de analisis | Profundidades (in) | T3S3 N°123 Tridem Convencional |            |
|-------------------|--------------------|--------------------------------|------------|
|                   |                    | Esfuerzo (psi)                 |            |
|                   |                    | Vertical                       | Horizontal |
| 1                 | 0                  | 95                             | 294.526    |
| 2                 | 2                  | 65.642                         | 36.722     |
| 3                 | 4                  | 28.173                         | -166.549   |
| 4                 | 7                  | 18.45                          | -0.591     |
| 5                 | 14                 | 10.072                         | 0.105      |
| 6                 | 18                 | 8.234                          | -1.04      |
| 7                 | 60                 | 2.608                          | 0.133      |

| Punto de analisis | T3S3 123 Profundidades (pulg) | Relacion Esfuerzo (psi) |            |
|-------------------|-------------------------------|-------------------------|------------|
|                   |                               | Vertical                | Horizontal |
|                   |                               | 1                       | 0          |
| 2                 | 2                             | 1.246                   | 1.321      |
| 3                 | 4                             | 1.467                   | 1.576      |
| 4                 | 7                             | 1.433                   | 2.080      |
| 5                 | 14                            | 1.183                   | 0.381      |
| 6                 | 18                            | 1.081                   | 1.341      |
| 7                 | 60                            | 0.917                   | 1.361      |

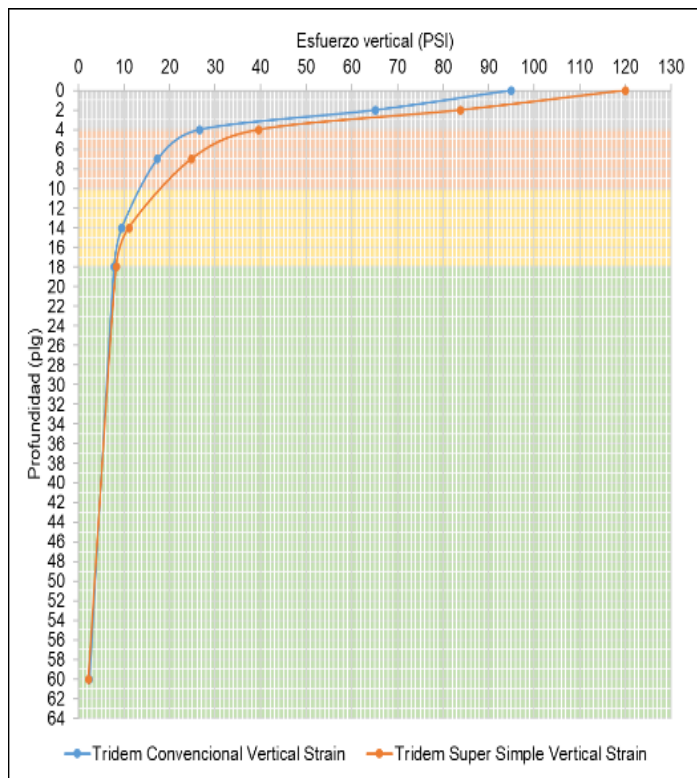


### T3S3 N° 124

| Punto de analisis | Profundidades (in) | T3S3 N°124 Tridem Super Simple |            |
|-------------------|--------------------|--------------------------------|------------|
|                   |                    | Esfuerzo (psi)                 |            |
|                   |                    | Vertical                       | Horizontal |
| 1                 | 0                  | 120                            | 384.606    |
| 2                 | 2                  | 83.844                         | 46.439     |
| 3                 | 4                  | 39.61                          | -255.549   |
| 4                 | 7                  | 24.828                         | -1.085     |
| 5                 | 14                 | 11.086                         | 0.067      |
| 6                 | 18                 | 8.314                          | -1.267     |
| 7                 | 60                 | 2.237                          | 0.151      |

| Punto de analisis | Profundidades (in) | T3S3 N°124 Tridem Convencional |            |
|-------------------|--------------------|--------------------------------|------------|
|                   |                    | Esfuerzo (psi)                 |            |
|                   |                    | Vertical                       | Horizontal |
| 1                 | 0                  | 95                             | 244.662    |
| 2                 | 2                  | 65.191                         | 34.708     |
| 3                 | 4                  | 26.642                         | -158.956   |
| 4                 | 7                  | 17.329                         | -0.572     |
| 5                 | 14                 | 9.488                          | 0.054      |
| 6                 | 18                 | 7.758                          | -1.026     |
| 7                 | 60                 | 2.408                          | 0.112      |

| Punto de analisis | T3S3 124 Profundidades (pulg) | Relacion Esfuerzo (psi) |            |
|-------------------|-------------------------------|-------------------------|------------|
|                   |                               | Vertical                | Horizontal |
|                   |                               | 1                       | 0          |
| 2                 | 2                             | 1.286                   | 1.338      |
| 3                 | 4                             | 1.487                   | 1.608      |
| 4                 | 7                             | 1.433                   | 1.897      |
| 5                 | 14                            | 1.168                   | 1.241      |
| 6                 | 18                            | 1.072                   | 1.235      |
| 7                 | 60                            | 0.929                   | 1.348      |

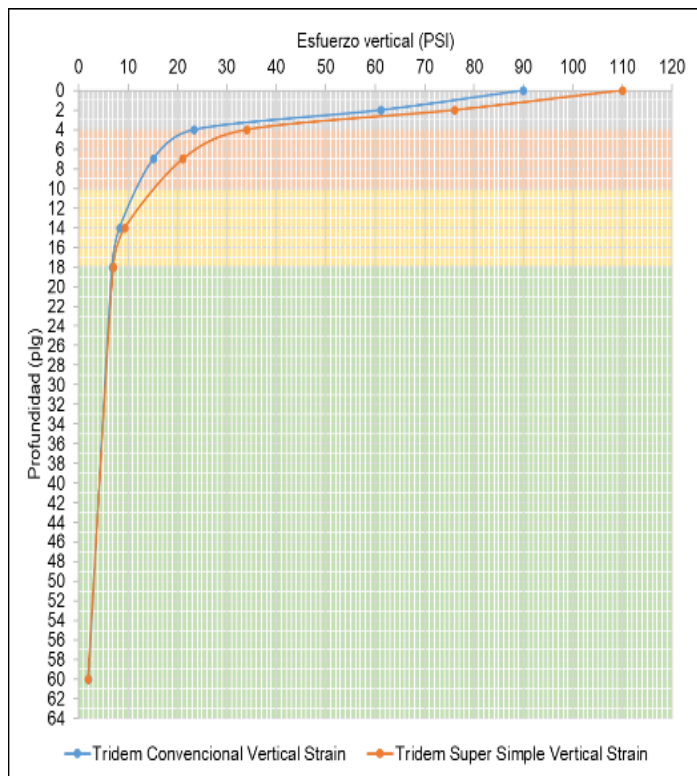


### T3S3 N° 125

| Punto de analisis | Profundidades (in) | T3S3 N°125 Tridem Super Simple |            |
|-------------------|--------------------|--------------------------------|------------|
|                   |                    | Esfuerzo (psi)                 |            |
|                   |                    | Vertical                       | Horizontal |
| 1                 | 0                  | 110                            | 344.096    |
| 2                 | 2                  | 76.052                         | 39.984     |
| 3                 | 4                  | 34.124                         | -222.408   |
| 4                 | 7                  | 21.088                         | -0.88      |
| 5                 | 14                 | 9.371                          | 0.064      |
| 6                 | 18                 | 7.049                          | -1.064     |
| 7                 | 60                 | 1.895                          | 0.118      |

| Punto de analisis | Profundidades (in) | T3S3 N°125 Tridem Convencional |            |
|-------------------|--------------------|--------------------------------|------------|
|                   |                    | Esfuerzo (psi)                 |            |
|                   |                    | Vertical                       | Horizontal |
| 1                 | 0                  | 90                             | 224.037    |
| 2                 | 2                  | 61.231                         | 30.45      |
| 3                 | 4                  | 23.448                         | -141.34    |
| 4                 | 7                  | 15.131                         | -0.526     |
| 5                 | 14                 | 8.316                          | -0.012     |
| 6                 | 18                 | 6.795                          | -0.959     |
| 7                 | 60                 | 2.052                          | 0.085      |

| Punto de analisis | T3S3 125 Profundidades (pulg) | Relacion Esfuerzo (psi) |            |
|-------------------|-------------------------------|-------------------------|------------|
|                   |                               | Vertical                | Horizontal |
|                   |                               | 1                       | 0          |
| 2                 | 2                             | 1.242                   | 1.313      |
| 3                 | 4                             | 1.455                   | 1.574      |
| 4                 | 7                             | 1.394                   | 1.673      |
| 5                 | 14                            | 1.127                   | -5.333     |
| 6                 | 18                            | 1.037                   | 1.109      |
| 7                 | 60                            | 0.923                   | 1.388      |

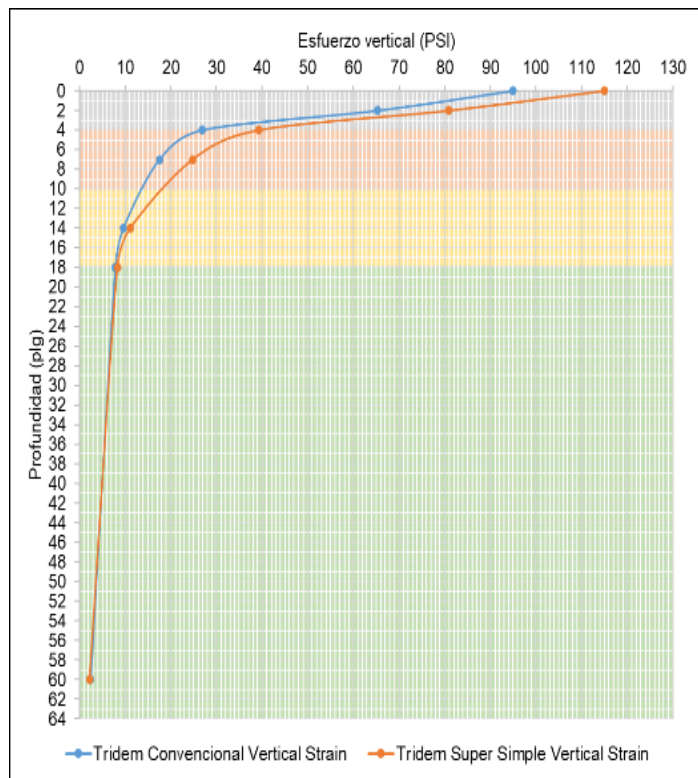


### T3S3 N° 126

| Punto de analisis | Profundidades (in) | T3S3 N°126 Tridem Super Simple |            |
|-------------------|--------------------|--------------------------------|------------|
|                   |                    | Esfuerzo (psi)                 |            |
|                   |                    | Vertical                       | Horizontal |
| 1                 | 0                  | 115                            | 378.185    |
| 2                 | 2                  | 80.908                         | 46.012     |
| 3                 | 4                  | 39.244                         | -251.708   |
| 4                 | 7                  | 24.792                         | -1.11      |
| 5                 | 14                 | 11.106                         | 0.058      |
| 6                 | 18                 | 8.316                          | -1.279     |
| 7                 | 60                 | 2.237                          | 0.158      |

| Punto de analisis | Profundidades (in) | T3S3 N°126 Tridem Convencional |            |
|-------------------|--------------------|--------------------------------|------------|
|                   |                    | Esfuerzo (psi)                 |            |
|                   |                    | Vertical                       | Horizontal |
| 1                 | 0                  | 95                             | 253.836    |
| 2                 | 2                  | 65.255                         | 34.999     |
| 3                 | 4                  | 26.861                         | -160.054   |
| 4                 | 7                  | 17.488                         | -0.574     |
| 5                 | 14                 | 9.571                          | 0.062      |
| 6                 | 18                 | 7.826                          | -1.028     |
| 7                 | 60                 | 2.437                          | 0.115      |

| Punto de analisis | T3S3 126 Profundidades (pulg) | Relacion Esfuerzo (psi) |            |
|-------------------|-------------------------------|-------------------------|------------|
|                   |                               | Vertical                | Horizontal |
|                   |                               | 1                       | 0          |
| 2                 | 2                             | 1.240                   | 1.315      |
| 3                 | 4                             | 1.461                   | 1.573      |
| 4                 | 7                             | 1.418                   | 1.934      |
| 5                 | 14                            | 1.160                   | 0.935      |
| 6                 | 18                            | 1.063                   | 1.244      |
| 7                 | 60                            | 0.918                   | 1.374      |

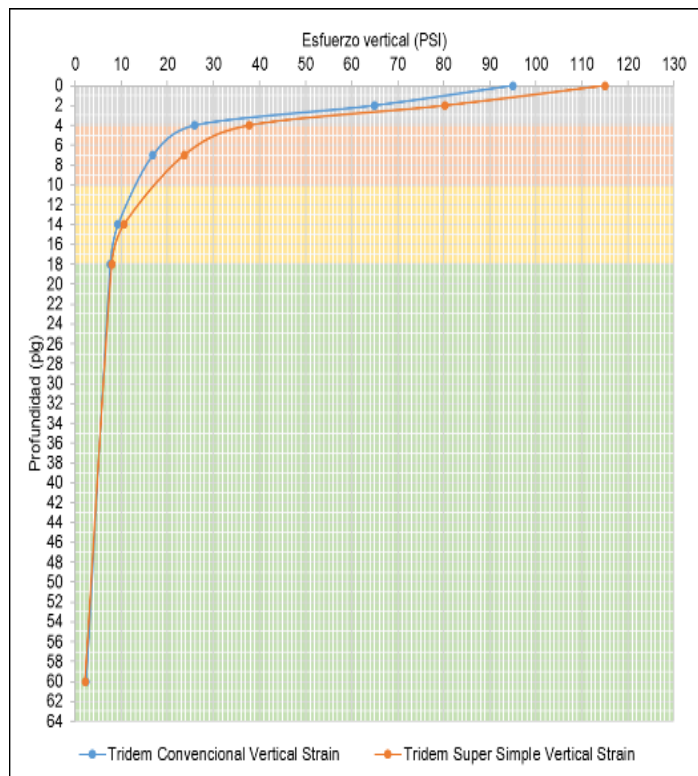


### T3S3 N° 127

| Punto de analisis | Profundidades (in) | T3S3 N°127 Tridem Super Simple |            |
|-------------------|--------------------|--------------------------------|------------|
|                   |                    | Esfuerzo (psi)                 |            |
|                   |                    | Vertical                       | Horizontal |
| 1                 | 0                  | 115                            | 367.344    |
| 2                 | 2                  | 80.288                         | 44.309     |
| 3                 | 4                  | 37.794                         | -244.016   |
| 4                 | 7                  | 23.666                         | -1.031     |
| 5                 | 14                 | 10.563                         | 0.065      |
| 6                 | 18                 | 7.923                          | -1.206     |
| 7                 | 60                 | 2.132                          | 0.143      |

| Punto de analisis | Profundidades (in) | T3S3 N°127 Tridem Convencional |            |
|-------------------|--------------------|--------------------------------|------------|
|                   |                    | Esfuerzo (psi)                 |            |
|                   |                    | Vertical                       | Horizontal |
| 1                 | 0                  | 95                             | 245.098    |
| 2                 | 2                  | 64.99                          | 33.783     |
| 3                 | 4                  | 25.953                         | -155.453   |
| 4                 | 7                  | 16.83                          | -0.565     |
| 5                 | 14                 | 9.228                          | 0.03       |
| 6                 | 18                 | 7.544                          | -1.021     |
| 7                 | 60                 | 2.319                          | 0.104      |

| Punto de analisis | T3S3 127 Profundidades (pulg) | Relacion Esfuerzo (psi) |            |
|-------------------|-------------------------------|-------------------------|------------|
|                   |                               | Vertical                | Horizontal |
|                   |                               | 1                       | 0          |
| 2                 | 2                             | 1.235                   | 1.312      |
| 3                 | 4                             | 1.456                   | 1.570      |
| 4                 | 7                             | 1.406                   | 1.825      |
| 5                 | 14                            | 1.145                   | 2.167      |
| 6                 | 18                            | 1.050                   | 1.181      |
| 7                 | 60                            | 0.919                   | 1.375      |

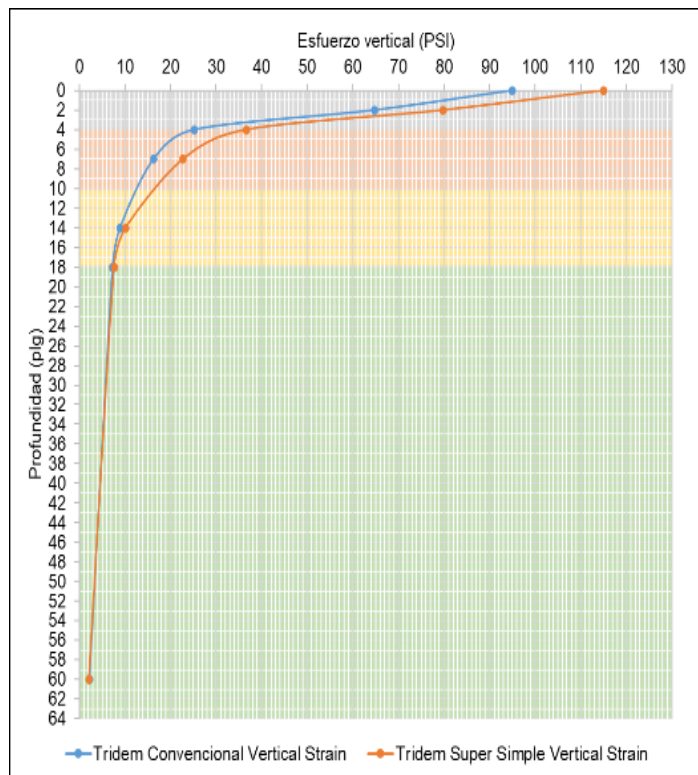


### T3S3 N° 128

| Punto de analisis | Profundidades (in) | T3S3 N°128 Tridem Super Simple |            |
|-------------------|--------------------|--------------------------------|------------|
|                   |                    | Esfuerzo (psi)                 |            |
|                   |                    | Vertical                       | Horizontal |
| 1                 | 0                  | 115                            | 366.756    |
| 2                 | 2                  | 79.836                         | 42.874     |
| 3                 | 4                  | 36.583                         | -237.487   |
| 4                 | 7                  | 22.737                         | -0.967     |
| 5                 | 14                 | 10.121                         | 0.067      |
| 6                 | 18                 | 7.604                          | -1.151     |
| 7                 | 60                 | 2.045                          | 0.132      |

| Punto de analisis | Profundidades (in) | T3S3 N°128 Tridem Convencional |            |
|-------------------|--------------------|--------------------------------|------------|
|                   |                    | Esfuerzo (psi)                 |            |
|                   |                    | Vertical                       | Horizontal |
| 1                 | 0                  | 95                             | 239.639    |
| 2                 | 2                  | 64.765                         | 32.748     |
| 3                 | 4                  | 25.193                         | -151.536   |
| 4                 | 7                  | 16.284                         | -0.558     |
| 5                 | 14                 | 8.942                          | 0.003      |
| 6                 | 18                 | 7.308                          | -1.015     |
| 7                 | 60                 | 2.222                          | 0.094      |

| Punto de analisis | T3S3 128 Profundidades (pulg) | Relacion Esfuerzo (psi) |            |
|-------------------|-------------------------------|-------------------------|------------|
|                   |                               | Vertical                | Horizontal |
|                   |                               | 1                       | 0          |
| 2                 | 2                             | 1.233                   | 1.309      |
| 3                 | 4                             | 1.452                   | 1.567      |
| 4                 | 7                             | 1.396                   | 1.733      |
| 5                 | 14                            | 1.132                   | 22.333     |
| 6                 | 18                            | 1.041                   | 1.134      |
| 7                 | 60                            | 0.920                   | 1.404      |

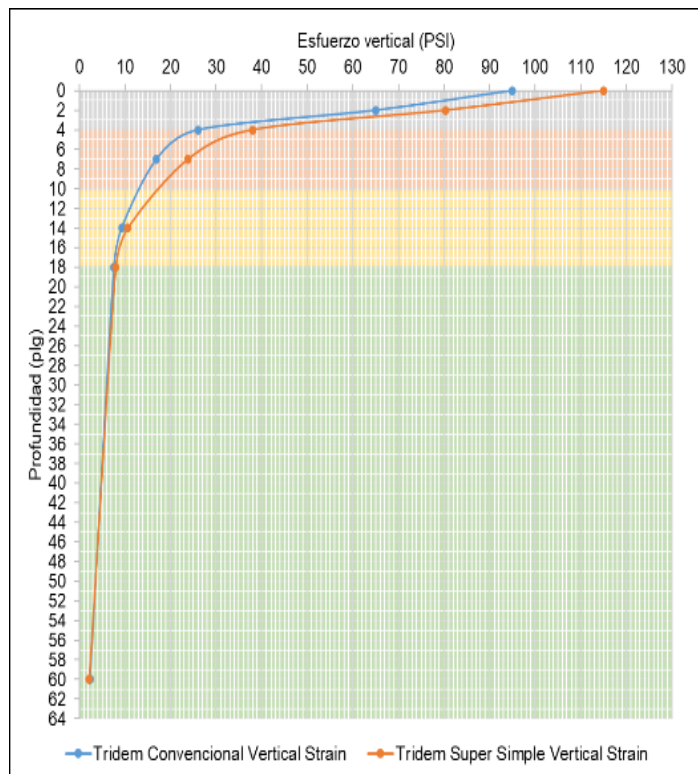


### T3S3 N° 129

| Punto de analisis | Profundades (in) | T3S3 N°129 Tridem Super Simple |            |
|-------------------|------------------|--------------------------------|------------|
|                   |                  | Esfuerzo (psi)                 |            |
|                   |                  | Vertical                       | Horizontal |
| 1                 | 0                | 115                            | 368.949    |
| 2                 | 2                | 80.369                         | 44.564     |
| 3                 | 4                | 38.009                         | -245.165   |
| 4                 | 7                | 23.832                         | -1.042     |
| 5                 | 14               | 10.642                         | 0.064      |
| 6                 | 18               | 7.981                          | -1.217     |
| 7                 | 60               | 2.147                          | 0.145      |

| Punto de analisis | Profundades (in) | T3S3 N°129 Tridem Convencional |            |
|-------------------|------------------|--------------------------------|------------|
|                   |                  | Esfuerzo (psi)                 |            |
|                   |                  | Vertical                       | Horizontal |
| 1                 | 0                | 95                             | 246.05     |
| 2                 | 2                | 65.028                         | 33.961     |
| 3                 | 4                | 26.085                         | -156.131   |
| 4                 | 7                | 16.926                         | -0.566     |
| 5                 | 14               | 9.278                          | 0.035      |
| 6                 | 18               | 7.585                          | -1.021     |
| 7                 | 60               | 2.337                          | 0.105      |

| Punto de analisis | T3S3 129 Profundades (pulg) | Relacion Esfuerzo (psi) |            |
|-------------------|-----------------------------|-------------------------|------------|
|                   |                             | Vertical                | Horizontal |
|                   |                             | 1                       | 0          |
| 2                 | 2                           | 1.236                   | 1.312      |
| 3                 | 4                           | 1.457                   | 1.570      |
| 4                 | 7                           | 1.408                   | 1.841      |
| 5                 | 14                          | 1.147                   | 1.829      |
| 6                 | 18                          | 1.052                   | 1.192      |
| 7                 | 60                          | 0.919                   | 1.381      |

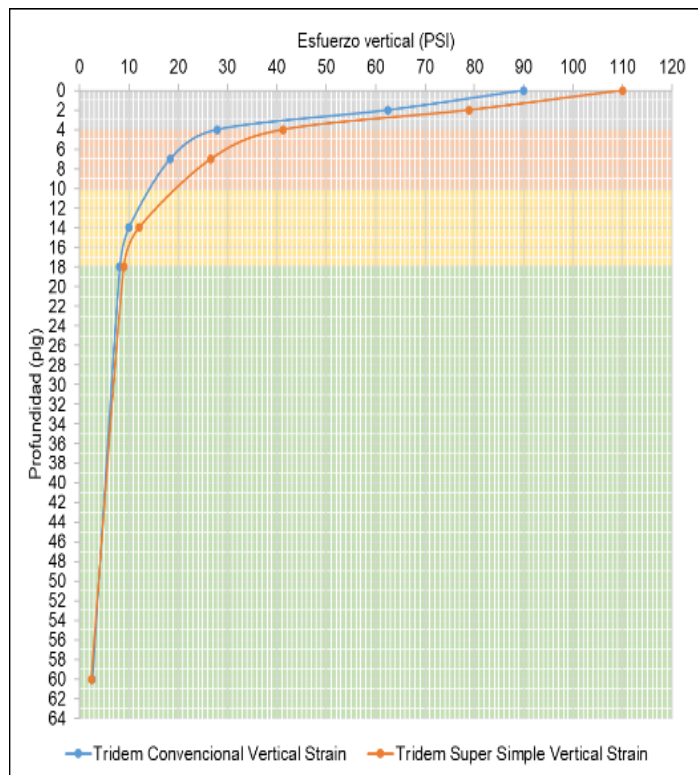


### T3S3 N° 130

| Punto de analisis | Profundidades (in) | T3S3 N°130 Tridem Super Simple |            |
|-------------------|--------------------|--------------------------------|------------|
|                   |                    | Esfuerzo (psi)                 |            |
|                   |                    | Vertical                       | Horizontal |
| 1                 | 0                  | 110                            | 384.453    |
| 2                 | 2                  | 78.897                         | 48.447     |
| 3                 | 4                  | 41.209                         | -259.583   |
| 4                 | 7                  | 26.628                         | -1.273     |
| 5                 | 14                 | 12.074                         | 0.017      |
| 6                 | 18                 | 9.006                          | -1.438     |
| 7                 | 60                 | 2.413                          | 0.192      |

| Punto de analisis | Profundidades (in) | T3S3 N°130 Tridem Convencional |            |
|-------------------|--------------------|--------------------------------|------------|
|                   |                    | Esfuerzo (psi)                 |            |
|                   |                    | Vertical                       | Horizontal |
| 1                 | 0                  | 90                             | 288.698    |
| 2                 | 2                  | 62.503                         | 36.331     |
| 3                 | 4                  | 27.877                         | -163.511   |
| 4                 | 7                  | 18.361                         | -0.578     |
| 5                 | 14                 | 10                             | 0.135      |
| 6                 | 18                 | 8.172                          | -1.001     |
| 7                 | 60                 | 2.627                          | 0.144      |

| Punto de analisis | T3S3 130 Profundidades (pulg) | Relacion Esfuerzo (psi) |            |
|-------------------|-------------------------------|-------------------------|------------|
|                   |                               | Vertical                | Horizontal |
|                   |                               | 1                       | 0          |
| 2                 | 2                             | 1.262                   | 1.333      |
| 3                 | 4                             | 1.478                   | 1.588      |
| 4                 | 7                             | 1.450                   | 2.202      |
| 5                 | 14                            | 1.207                   | 0.126      |
| 6                 | 18                            | 1.102                   | 1.437      |
| 7                 | 60                            | 0.919                   | 1.333      |

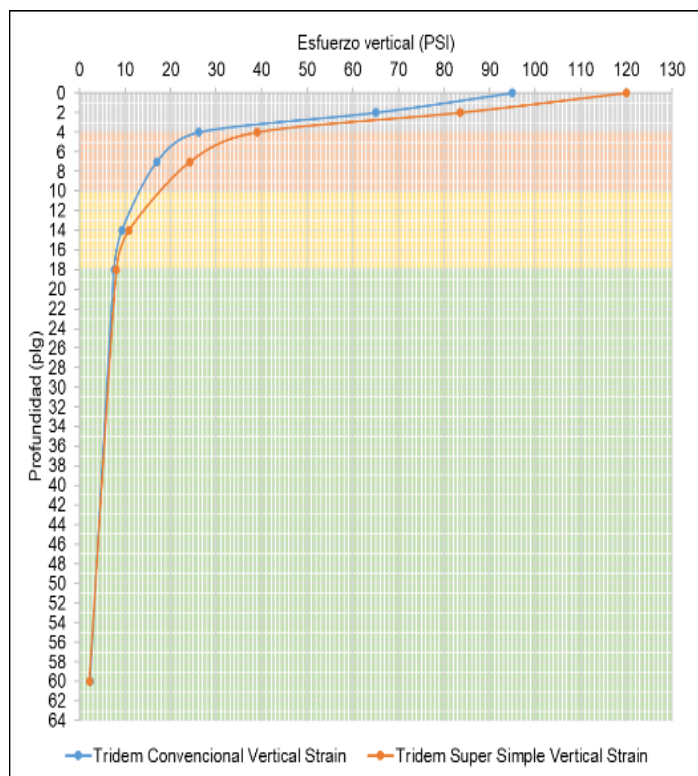


### T3S3 N° 131

| Punto de analisis | Profundades (in) | T3S3 N°131 Tridem Super Simple |            |
|-------------------|------------------|--------------------------------|------------|
|                   |                  | Esfuerzo (psi)                 |            |
|                   |                  | Vertical                       | Horizontal |
| 1                 | 0                | 120                            | 379.51     |
| 2                 | 2                | 83.586                         | 45.63      |
| 3                 | 4                | 38.928                         | -251.892   |
| 4                 | 7                | 24.302                         | -1.049     |
| 5                 | 14               | 10.835                         | 0.069      |
| 6                 | 18               | 8.132                          | -1.235     |
| 7                 | 60               | 2.188                          | 0.145      |

| Punto de analisis | Profundades (in) | T3S3 N°131 Tridem Convencional |            |
|-------------------|------------------|--------------------------------|------------|
|                   |                  | Esfuerzo (psi)                 |            |
|                   |                  | Vertical                       | Horizontal |
| 1                 | 0                | 95                             | 247.052    |
| 2                 | 2                | 65.069                         | 34.147     |
| 3                 | 4                | 26.224                         | -156.84    |
| 4                 | 7                | 17.025                         | -0.567     |
| 5                 | 14               | 9.329                          | 0.04       |
| 6                 | 18               | 7.628                          | -1.022     |
| 7                 | 60               | 2.354                          | 0.107      |

| Punto de analisis | T3S3 131 Profundades (pulg) | Relacion Esfuerzo (psi) |            |
|-------------------|-----------------------------|-------------------------|------------|
|                   |                             | Vertical                | Horizontal |
|                   |                             | 1                       | 0          |
| 2                 | 2                           | 1.285                   | 1.336      |
| 3                 | 4                           | 1.484                   | 1.606      |
| 4                 | 7                           | 1.427                   | 1.850      |
| 5                 | 14                          | 1.161                   | 1.725      |
| 6                 | 18                          | 1.066                   | 1.208      |
| 7                 | 60                          | 0.929                   | 1.355      |

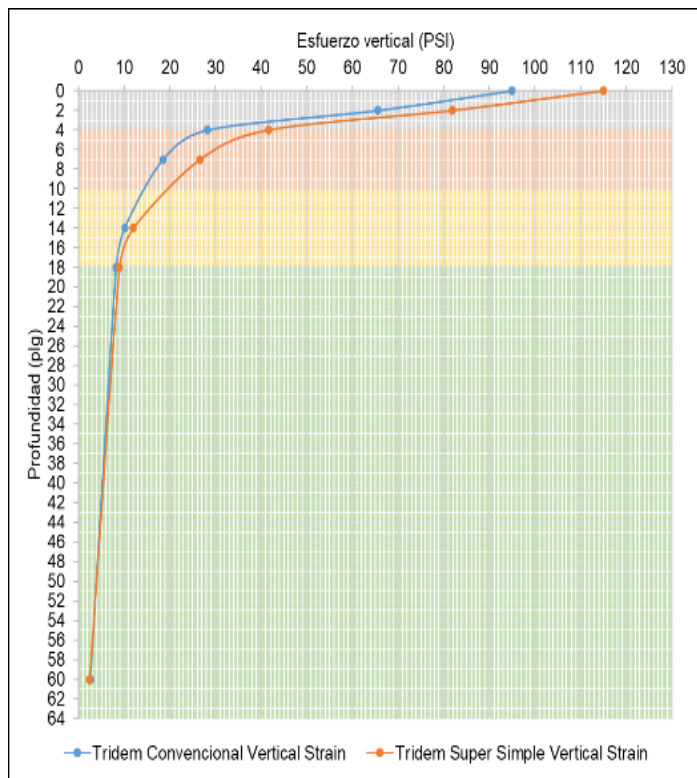


### T3S3 N° 132

| Punto de analisis | Profundidades (in) | T3S3 N°132 Tridem Super Simple |            |
|-------------------|--------------------|--------------------------------|------------|
|                   |                    | Esfuerzo (psi)                 |            |
|                   |                    | Vertical                       | Horizontal |
| 1                 | 0                  | 115                            | 390.927    |
| 2                 | 2                  | 81.838                         | 48.829     |
| 3                 | 4                  | 41.584                         | -263.83    |
| 4                 | 7                  | 26.638                         | -1.244     |
| 5                 | 14                 | 12.016                         | 0.037      |
| 6                 | 18                 | 8.976                          | -1.41      |
| 7                 | 60                 | 2.41                           | 0.183      |

| Punto de analisis | Profundidades (in) | T3S3 N°132 Tridem Convencional |            |
|-------------------|--------------------|--------------------------------|------------|
|                   |                    | Esfuerzo (psi)                 |            |
|                   |                    | Vertical                       | Horizontal |
| 1                 | 0                  | 95                             | 295.806    |
| 2                 | 2                  | 65.65                          | 36.938     |
| 3                 | 4                  | 28.33                          | -167.316   |
| 4                 | 7                  | 18.566                         | -0.594     |
| 5                 | 14                 | 10.132                         | 0.11       |
| 6                 | 18                 | 8.283                          | -1.042     |
| 7                 | 60                 | 2.629                          | 0.136      |

| Punto de analisis | T3S3 132 Profundidades (pulg) | Relacion Esfuerzo (psi) |            |
|-------------------|-------------------------------|-------------------------|------------|
|                   |                               | Vertical                | Horizontal |
|                   |                               | 1                       | 0          |
| 2                 | 2                             | 1.247                   | 1.322      |
| 3                 | 4                             | 1.468                   | 1.577      |
| 4                 | 7                             | 1.435                   | 2.094      |
| 5                 | 14                            | 1.186                   | 0.336      |
| 6                 | 18                            | 1.084                   | 1.353      |
| 7                 | 60                            | 0.917                   | 1.346      |

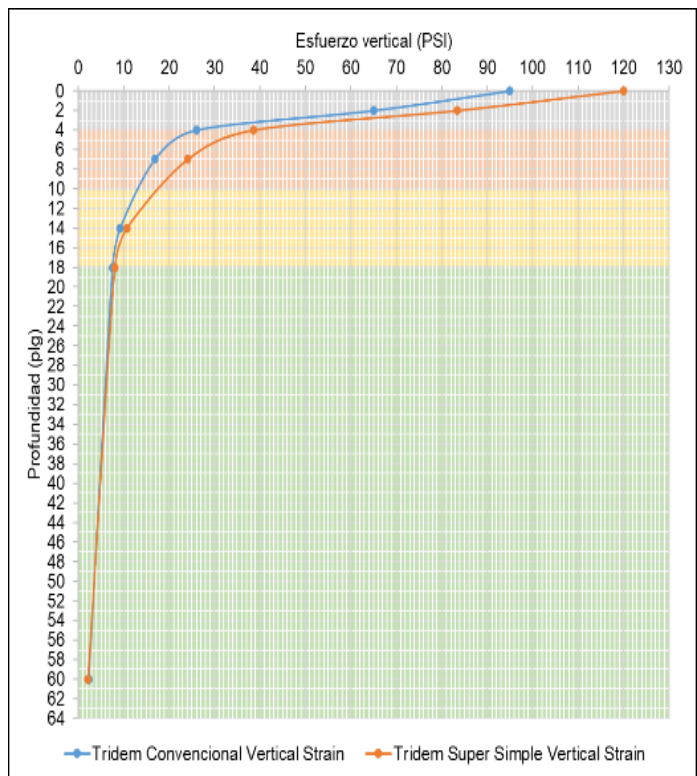


### T3S3 N° 133

| Punto de analisis | Profundidades (in) | T3S3 N°133 Tridem Super Simple |            |
|-------------------|--------------------|--------------------------------|------------|
|                   |                    | Esfuerzo (psi)                 |            |
|                   |                    | Vertical                       | Horizontal |
| 1                 | 0                  | 120                            | 377.116    |
| 2                 | 2                  | 83.467                         | 45.252     |
| 3                 | 4                  | 38.608                         | -250.16    |
| 4                 | 7                  | 24.057                         | -1.031     |
| 5                 | 14                 | 10.718                         | 0.069      |
| 6                 | 18                 | 8.048                          | -1.22      |
| 7                 | 60                 | 2.165                          | 0.141      |

| Punto de analisis | Profundidades (in) | T3S3 N°133 Tridem Convencional |            |
|-------------------|--------------------|--------------------------------|------------|
|                   |                    | Esfuerzo (psi)                 |            |
|                   |                    | Vertical                       | Horizontal |
| 1                 | 0                  | 95                             | 245.672    |
| 2                 | 2                  | 65.013                         | 33.891     |
| 3                 | 4                  | 26.033                         | -155.861   |
| 4                 | 7                  | 16.888                         | -0.565     |
| 5                 | 14                 | 9.258                          | 0.033      |
| 6                 | 18                 | 7.569                          | -1.021     |
| 7                 | 60                 | 2.33                           | 0.105      |

| Punto de analisis | T3S3 133 Profundidades (pulg) | Relacion Esfuerzo (psi) |            |
|-------------------|-------------------------------|-------------------------|------------|
|                   |                               | Vertical                | Horizontal |
|                   |                               | 1                       | 0          |
| 2                 | 2                             | 1.284                   | 1.335      |
| 3                 | 4                             | 1.483                   | 1.605      |
| 4                 | 7                             | 1.425                   | 1.825      |
| 5                 | 14                            | 1.158                   | 2.091      |
| 6                 | 18                            | 1.063                   | 1.195      |
| 7                 | 60                            | 0.929                   | 1.343      |

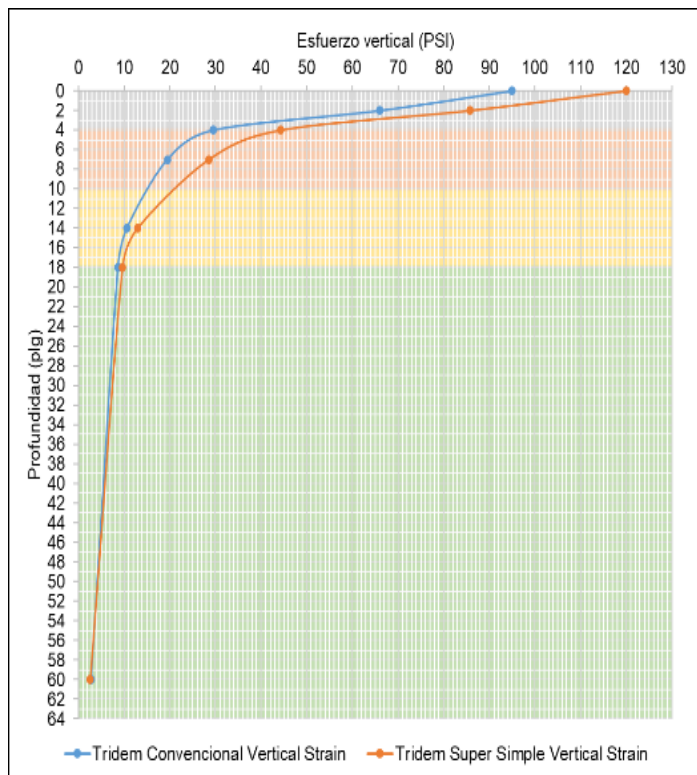


### T3S3 N° 134

| Punto de analisis | Profundidades (in) | T3S3 N°134 Tridem Super Simple |            |
|-------------------|--------------------|--------------------------------|------------|
|                   |                    | Esfuerzo (psi)                 |            |
|                   |                    | Vertical                       | Horizontal |
| 1                 | 0                  | 120                            | 414.848    |
| 2                 | 2                  | 85.8                           | 52.096     |
| 3                 | 4                  | 44.335                         | -280.07    |
| 4                 | 7                  | 28.551                         | -1.352     |
| 5                 | 14                 | 12.919                         | 0.027      |
| 6                 | 18                 | 9.641                          | -1.529     |
| 7                 | 60                 | 2.586                          | 0.202      |

| Punto de analisis | Profundidades (in) | T3S3 N°134 Tridem Convencional |            |
|-------------------|--------------------|--------------------------------|------------|
|                   |                    | Esfuerzo (psi)                 |            |
|                   |                    | Vertical                       | Horizontal |
| 1                 | 0                  | 95                             | 305.702    |
| 2                 | 2                  | 66.012                         | 38.5       |
| 3                 | 4                  | 29.544                         | -173.155   |
| 4                 | 7                  | 19.47                          | -0.612     |
| 5                 | 14                 | 10.603                         | 0.146      |
| 6                 | 18                 | 8.664                          | -1.058     |
| 7                 | 60                 | 2.788                          | 0.154      |

| Punto de analisis | T3S3 134 Profundidades (pulg) | Relacion Esfuerzo (psi) |            |
|-------------------|-------------------------------|-------------------------|------------|
|                   |                               | Vertical                | Horizontal |
|                   |                               | 1                       | 0          |
| 2                 | 2                             | 1.300                   | 1.353      |
| 3                 | 4                             | 1.501                   | 1.617      |
| 4                 | 7                             | 1.466                   | 2.209      |
| 5                 | 14                            | 1.218                   | 0.185      |
| 6                 | 18                            | 1.113                   | 1.445      |
| 7                 | 60                            | 0.928                   | 1.312      |

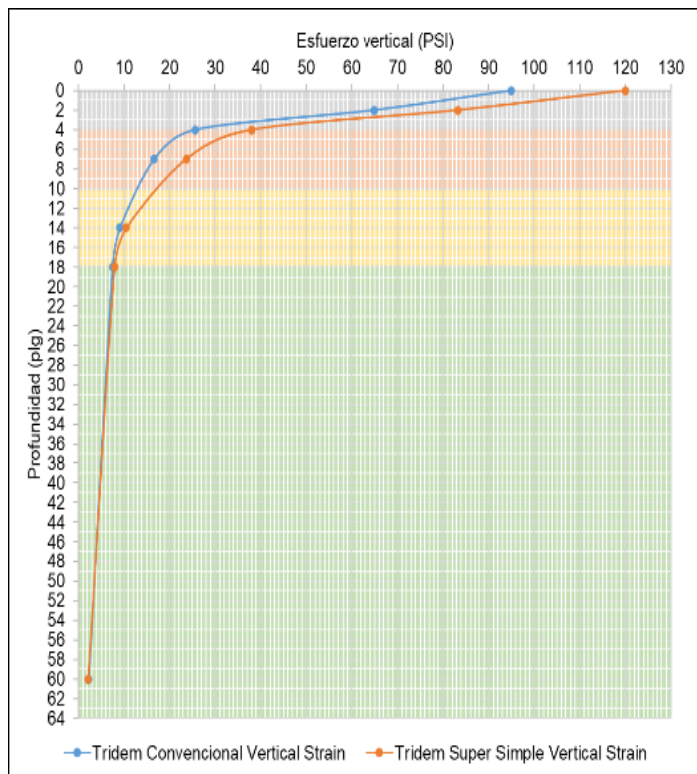


### T3S3 N° 135

| Punto de analisis | Profundidades (in) | T3S3 N°135 Tridem Super Simple |            |
|-------------------|--------------------|--------------------------------|------------|
|                   |                    | Esfuerzo (psi)                 |            |
|                   |                    | Vertical                       | Horizontal |
| 1                 | 0                  | 120                            | 381.892    |
| 2                 | 2                  | 83.269                         | 44.617     |
| 3                 | 4                  | 38.07                          | -247.24    |
| 4                 | 7                  | 23.646                         | -1.003     |
| 5                 | 14                 | 10.524                         | 0.07       |
| 6                 | 18                 | 7.908                          | -1.197     |
| 7                 | 60                 | 2.127                          | 0.136      |

| Punto de analisis | Profundidades (in) | T3S3 N°135 Tridem Convencional |            |
|-------------------|--------------------|--------------------------------|------------|
|                   |                    | Esfuerzo (psi)                 |            |
|                   |                    | Vertical                       | Horizontal |
| 1                 | 0                  | 95                             | 243.278    |
| 2                 | 2                  | 64.915                         | 33.44      |
| 3                 | 4                  | 25.7                           | -154.156   |
| 4                 | 7                  | 16.648                         | -0.562     |
| 5                 | 14                 | 9.132                          | 0.021      |
| 6                 | 18                 | 7.466                          | -1.019     |
| 7                 | 60                 | 2.287                          | 0.101      |

| Punto de analisis | T3S3 135 Profundidades (pulg) | Relacion Esfuerzo (psi) |            |
|-------------------|-------------------------------|-------------------------|------------|
|                   |                               | Vertical                | Horizontal |
|                   |                               | 1                       | 0          |
| 2                 | 2                             | 1.283                   | 1.334      |
| 3                 | 4                             | 1.481                   | 1.604      |
| 4                 | 7                             | 1.420                   | 1.785      |
| 5                 | 14                            | 1.152                   | 3.333      |
| 6                 | 18                            | 1.059                   | 1.175      |
| 7                 | 60                            | 0.930                   | 1.347      |



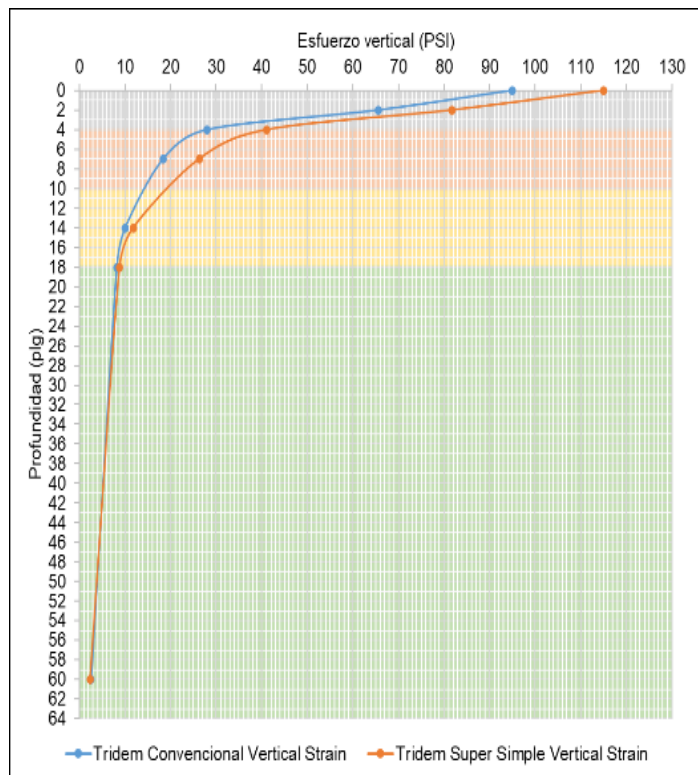


### T3S3 N° 136

| Punto de analisis | Profundidades (in) | T3S3 N°136 Tridem Super Simple |            |
|-------------------|--------------------|--------------------------------|------------|
|                   |                    | Esfuerzo (psi)                 |            |
|                   |                    | Vertical                       | Horizontal |
| 1                 | 0                  | 115                            | 387.47     |
| 2                 | 2                  | 81.683                         | 48.248     |
| 3                 | 4                  | 41.114                         | -261.423   |
| 4                 | 7                  | 26.265                         | -1.216     |
| 5                 | 14                 | 11.83                          | 0.042      |
| 6                 | 18                 | 8.841                          | -1.382     |
| 7                 | 60                 | 2.375                          | 0.178      |

| Punto de analisis | Profundidades (in) | T3S3 N°136 Tridem Convencional |            |
|-------------------|--------------------|--------------------------------|------------|
|                   |                    | Esfuerzo (psi)                 |            |
|                   |                    | Vertical                       | Horizontal |
| 1                 | 0                  | 95                             | 293.406    |
| 2                 | 2                  | 65.601                         | 36.544     |
| 3                 | 4                  | 28.036                         | -165.874   |
| 4                 | 7                  | 18.349                         | -0.589     |
| 5                 | 14                 | 10.019                         | 0.101      |
| 6                 | 18                 | 8.192                          | -1.039     |
| 7                 | 60                 | 2.59                           | 0.131      |

| Punto de analisis | T3S3 136 Profundidades (pulg) | Relacion Esfuerzo (psi) |            |
|-------------------|-------------------------------|-------------------------|------------|
|                   |                               | Vertical                | Horizontal |
|                   |                               | 1                       | 0          |
| 2                 | 2                             | 1.245                   | 1.320      |
| 3                 | 4                             | 1.466                   | 1.576      |
| 4                 | 7                             | 1.431                   | 2.065      |
| 5                 | 14                            | 1.181                   | 0.416      |
| 6                 | 18                            | 1.079                   | 1.330      |
| 7                 | 60                            | 0.917                   | 1.359      |

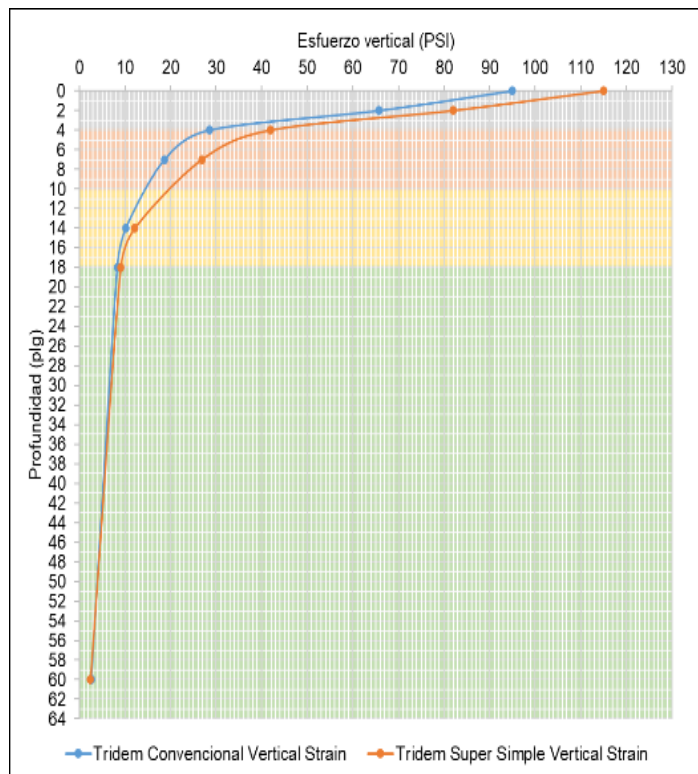


### T3S3 N° 137

| Punto de analisis | Profundidades (in) | T3S3 N°137 Tridem Super Simple |            |
|-------------------|--------------------|--------------------------------|------------|
|                   |                    | Esfuerzo (psi)                 |            |
|                   |                    | Vertical                       | Horizontal |
| 1                 | 0                  | 115                            | 393.186    |
| 2                 | 2                  | 81.969                         | 49.201     |
| 3                 | 4                  | 41.891                         | -265.391   |
| 4                 | 7                  | 26.883                         | -1.262     |
| 5                 | 14                 | 12.139                         | 0.034      |
| 6                 | 18                 | 9.065                          | -1.428     |
| 7                 | 60                 | 2.433                          | 0.187      |

| Punto de analisis | Profundidades (in) | T3S3 N°137 Tridem Convencional |            |
|-------------------|--------------------|--------------------------------|------------|
|                   |                    | Esfuerzo (psi)                 |            |
|                   |                    | Vertical                       | Horizontal |
| 1                 | 0                  | 95                             | 297.417    |
| 2                 | 2                  | 65.709                         | 37.195     |
| 3                 | 4                  | 28.528                         | -168.275   |
| 4                 | 7                  | 18.713                         | -0.596     |
| 5                 | 14                 | 10.209                         | 0.116      |
| 6                 | 18                 | 8.345                          | -1.045     |
| 7                 | 60                 | 2.655                          | 0.139      |

| Punto de analisis | T3S3 137 Profundidades (pulg) | Relacion Esfuerzo (psi) |            |
|-------------------|-------------------------------|-------------------------|------------|
|                   |                               | Vertical                | Horizontal |
|                   |                               | 1                       | 0          |
| 2                 | 2                             | 1.247                   | 1.323      |
| 3                 | 4                             | 1.468                   | 1.577      |
| 4                 | 7                             | 1.437                   | 2.117      |
| 5                 | 14                            | 1.189                   | 0.293      |
| 6                 | 18                            | 1.086                   | 1.367      |
| 7                 | 60                            | 0.916                   | 1.345      |



Fuente: Elaboración Propia

En la Figura 51 y Tabla 15 se puede observar que mediante la comparación que se hizo entre un eje súper simple con un eje convencional dio como resultado que en la superficie del pavimento el eje súper simple genera 1.22 veces más esfuerzo, a una profundidad de 2 pulgadas genera 1.26 veces más, a una profundidad de 4 pulgadas genera 1.47 veces más, a una profundidad de 7 pulgadas genera 1.44 veces más, a una profundidad de 14 pulgadas genera 1.19 veces más, y a una profundidad de 18 pulgadas genera 1.09 veces más; por lo tanto considerando los resultados se puede señalar que el eje súper simple genera mayor esfuerzo en la estructura del pavimento; mientras que los demás análisis de esfuerzos presentan resultados similares.

**Objetivo Específico 2:** Valorar las deformaciones generadas por los ejes súper simples para fines del diseño del pavimento.

A continuación, en la Tabla N°17 se observa la deformación que genera un eje tridem súper simple y en la Tabla N°18 la deformación que genera un eje tridem convencional a diferentes puntos de profundidad. Y finalmente en la Tabla N°19 se relacionó la deformación generada por ejes súper simples y convencionales.

**Tabla 17.** Deformaciones que genera un Eje Tridem Súper Simple

| Punto de análisis | Profundidades (in) | T3S3 N°1 Tridem Súper Simple |            |                          |                            |
|-------------------|--------------------|------------------------------|------------|--------------------------|----------------------------|
|                   |                    | Deformación $\mu\epsilon$    |            | Deformación por tracción | Deformación por compresión |
|                   |                    | Vertical                     | Horizontal |                          |                            |
| 1                 | 0                  | -293.5                       | 410.8      | -444.22                  | 709.80                     |
| 2                 | 2                  | 105.0                        | -4.6       |                          |                            |
| 3                 | 4                  | 502.0                        | -444.2     |                          |                            |
| 4                 | 7                  | 929.3                        | -455.5     |                          |                            |
| 5                 | 14                 | 826.3                        | -445.6     |                          |                            |
| 6                 | 18                 | 709.8                        | -437.4     |                          |                            |
| 7                 | 60                 | 219.0                        | -121.6     |                          |                            |

Fuente: Elaboración Propia

**Tabla 18.** *Deformaciones que genera un Eje Tridem Convencional*

| Punto de análisis | Profundidades (in) | T3S3 N°1 Tridem Convencional |            |                          |                            |
|-------------------|--------------------|------------------------------|------------|--------------------------|----------------------------|
|                   |                    | Deformación $\mu\epsilon$    |            | Deformación por tracción | Deformación por compresión |
|                   |                    | Vertical                     | Horizontal |                          |                            |
| 1                 | 0                  | -180.5                       | 275.3      | -128.60                  | 611.1                      |
| 2                 | 2                  | 85.4                         | -8.8       |                          |                            |
| 3                 | 4                  | 322.8                        | -301.7     |                          |                            |
| 4                 | 7                  | 613.4                        | -313.9     |                          |                            |
| 5                 | 14                 | 655.0                        | -372.2     |                          |                            |
| 6                 | 18                 | 611.1                        | -393.7     |                          |                            |
| 7                 | 60                 | 240.4                        | -130.0     |                          |                            |

Fuente: Elaboración Propia

**Tabla 19.** *Relación de deformaciones*

| Punto de análisis | Profundidades (in) | Relación                  |            |                          |                            |
|-------------------|--------------------|---------------------------|------------|--------------------------|----------------------------|
|                   |                    | Deformación $\mu\epsilon$ |            | Deformación por tracción | Deformación por compresión |
|                   |                    | Vertical                  | Horizontal |                          |                            |
| 1                 | 0                  | 1.626                     | 1.49       | 3.45                     | 1.16                       |
| 2                 | 2                  | 1.23                      | 0.52       |                          |                            |
| 3                 | 4                  | 1.55                      | 1.47       |                          |                            |
| 4                 | 7                  | 1.52                      | 1.45       |                          |                            |
| 5                 | 14                 | 1.26                      | 1.20       |                          |                            |
| 6                 | 18                 | 1.16                      | 1.11       |                          |                            |
| 7                 | 60                 | 0.91                      | 0.94       |                          |                            |

Fuente: Elaboración Propia

Se muestra en la Figura N°52 un grafico en el cual se visualiza la deformacion que genera un eje super simple y un eje equivalente estandar a diferentes puntos de profundidad. Se logra observar que un eje super simple genera una mayor deformacion en comparacion a un eje equivalente estandar.

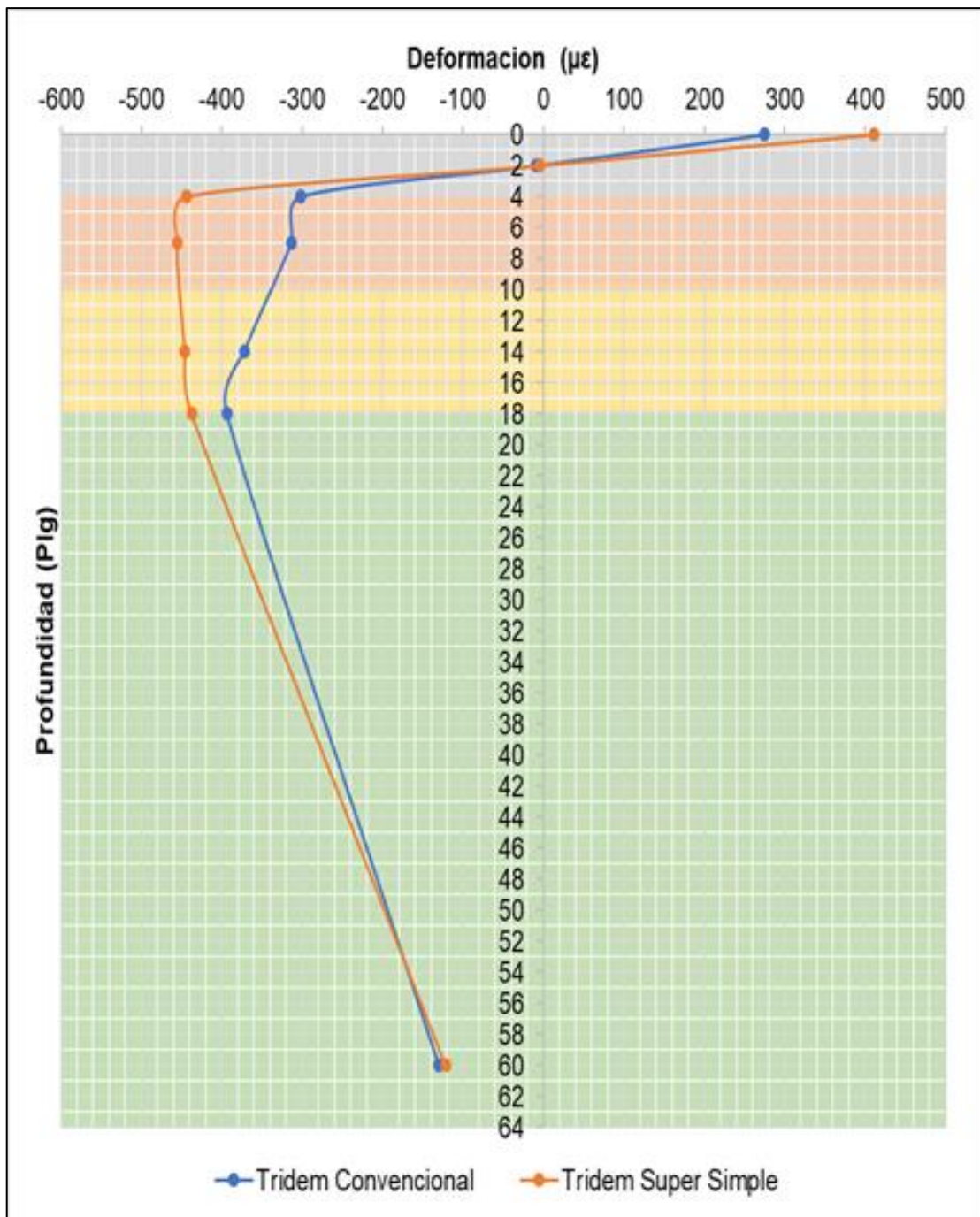
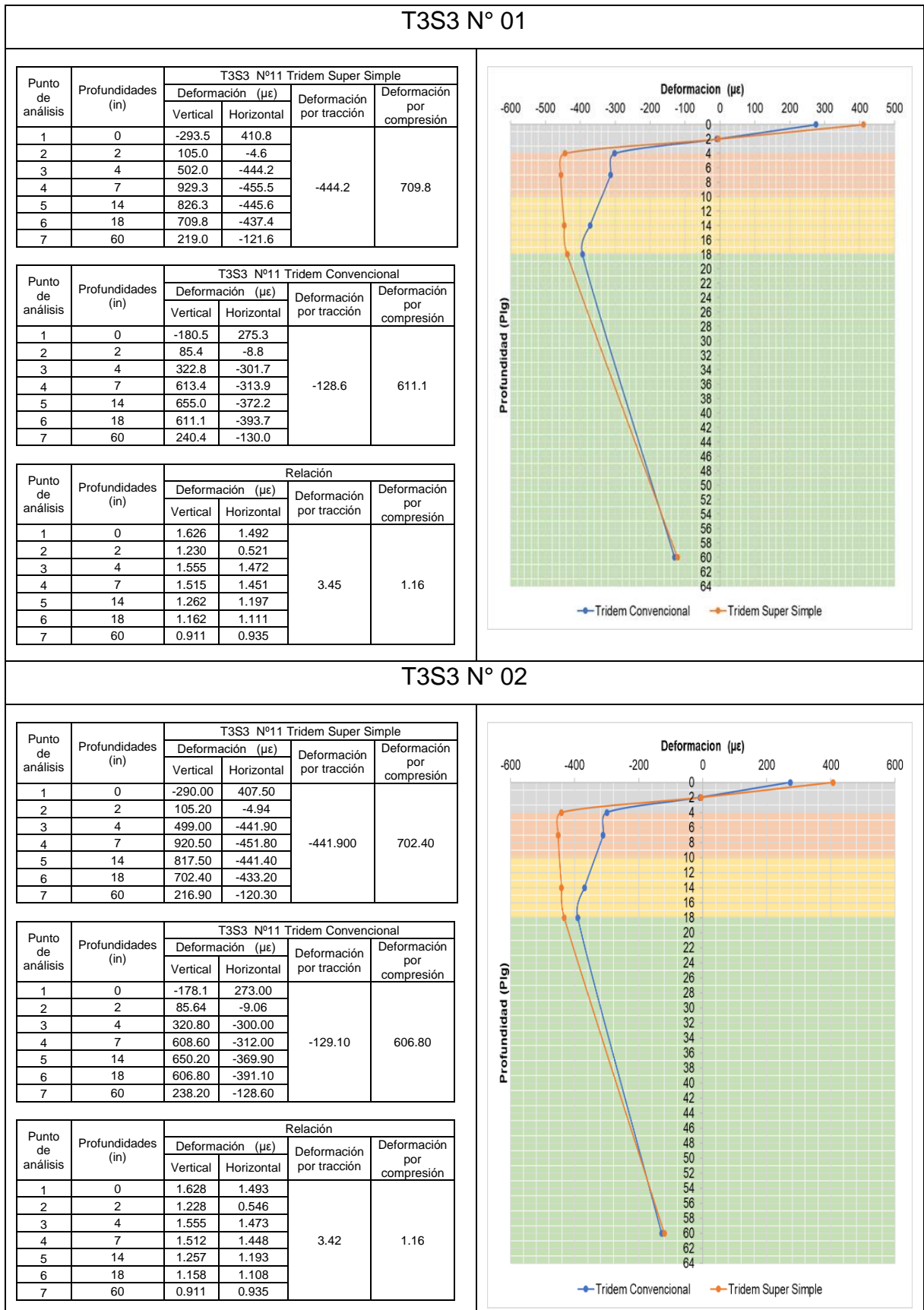


Figura 52. Distribución de deformaciones

Fuente: Elaboración Propia

**Tabla 20. Análisis de deformación**

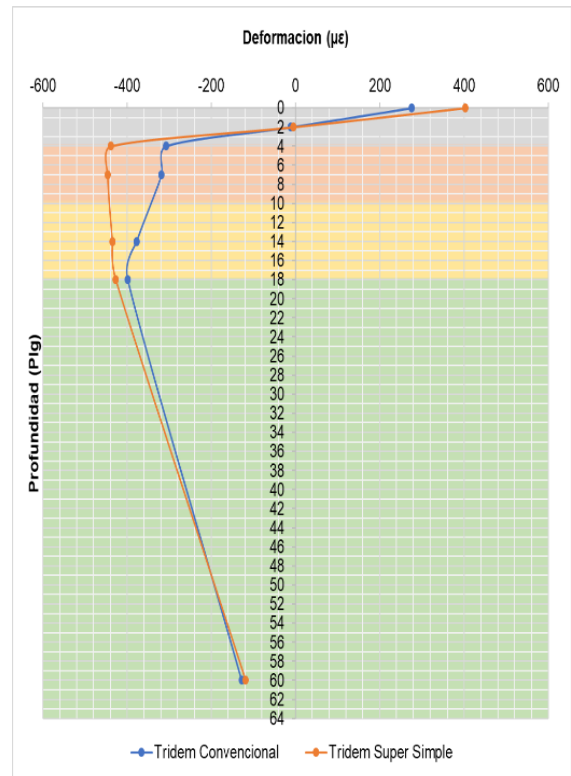


### T3S3 N° 03

| Punto de análisis | Profundidades (in) | T3S3 N°03 Tridem Super Simple |            |                          |                            |
|-------------------|--------------------|-------------------------------|------------|--------------------------|----------------------------|
|                   |                    | Deformación (µε)              |            | Deformación por tracción | Deformación por compresión |
|                   |                    | Vertical                      | Horizontal |                          |                            |
| 1                 | 0                  | -284.70                       | 402.60     | -438.400                 | 691.30                     |
| 2                 | 2                  | 105.70                        | -5.52      |                          |                            |
| 3                 | 4                  | 494.30                        | -438.40    |                          |                            |
| 4                 | 7                  | 907.40                        | -446.20    |                          |                            |
| 5                 | 14                 | 804.20                        | -435.10    |                          |                            |
| 6                 | 18                 | 691.30                        | -427.00    |                          |                            |
| 7                 | 60                 | 213.90                        | -118.40    |                          |                            |

| Punto de análisis | Profundidades (in) | T3S3 N°03 Tridem Convencional |            |                          |                            |
|-------------------|--------------------|-------------------------------|------------|--------------------------|----------------------------|
|                   |                    | Deformación (µε)              |            | Deformación por tracción | Deformación por compresión |
|                   |                    | Vertical                      | Horizontal |                          |                            |
| 1                 | 0                  | -174.4                        | 275.50     | -139.20                  | 616.50                     |
| 2                 | 2                  | 91.86                         | -10.95     |                          |                            |
| 3                 | 4                  | 327.40                        | -307.30    |                          |                            |
| 4                 | 7                  | 615.50                        | -318.20    |                          |                            |
| 5                 | 14                 | 659.80                        | -377.50    |                          |                            |
| 6                 | 18                 | 616.50                        | -398.50    |                          |                            |
| 7                 | 60                 | 238.70                        | -127.80    |                          |                            |

| Punto de análisis | Profundidades (in) | Relación         |            |                          |                            |
|-------------------|--------------------|------------------|------------|--------------------------|----------------------------|
|                   |                    | Deformación (µε) |            | Deformación por tracción | Deformación por compresión |
|                   |                    | Vertical         | Horizontal |                          |                            |
| 1                 | 0                  | 1.632            | 1.461      | 3.15                     | 1.12                       |
| 2                 | 2                  | 1.151            | 0.504      |                          |                            |
| 3                 | 4                  | 1.510            | 1.427      |                          |                            |
| 4                 | 7                  | 1.474            | 1.402      |                          |                            |
| 5                 | 14                 | 1.219            | 1.153      |                          |                            |
| 6                 | 18                 | 1.121            | 1.072      |                          |                            |
| 7                 | 60                 | 0.896            | 0.926      |                          |                            |

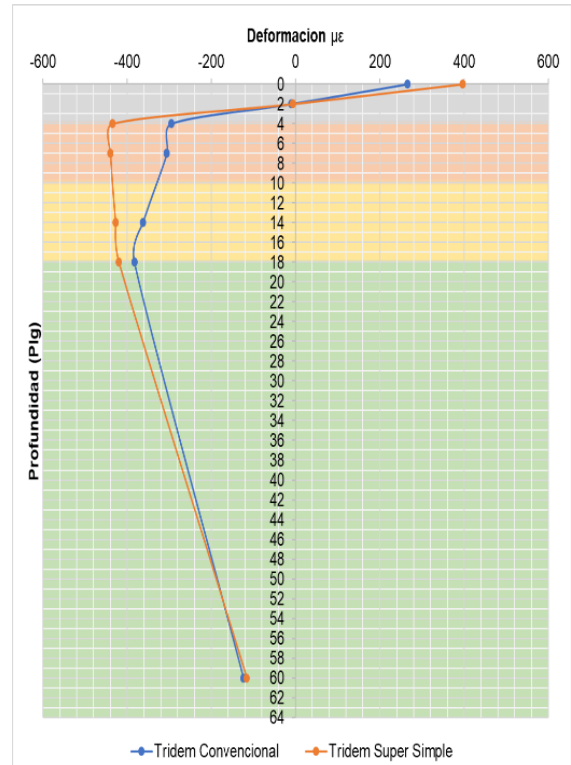


### T3S3 N° 04

| Punto de análisis | Profundidades (in) | T3S3 N°04 Tridem Super Simple |            |                          |                            |
|-------------------|--------------------|-------------------------------|------------|--------------------------|----------------------------|
|                   |                    | Deformación (µε)              |            | Deformación por tracción | Deformación por compresión |
|                   |                    | Vertical                      | Horizontal |                          |                            |
| 1                 | 0                  | -278.50                       | 396.80     | -434.300                 | 678.40                     |
| 2                 | 2                  | 106.20                        | -6.12      |                          |                            |
| 3                 | 4                  | 488.90                        | -434.30    |                          |                            |
| 4                 | 7                  | 892.00                        | -439.60    |                          |                            |
| 5                 | 14                 | 788.90                        | -427.80    |                          |                            |
| 6                 | 18                 | 678.40                        | -419.80    |                          |                            |
| 7                 | 60                 | 210.30                        | -116.10    |                          |                            |

| Punto de análisis | Profundidades (in) | T3S3 N°04 Tridem Convencional |            |                          |                            |
|-------------------|--------------------|-------------------------------|------------|--------------------------|----------------------------|
|                   |                    | Deformación (µε)              |            | Deformación por tracción | Deformación por compresión |
|                   |                    | Vertical                      | Horizontal |                          |                            |
| 1                 | 0                  | -170.3                        | 265.70     | -130.80                  | 593.00                     |
| 2                 | 2                  | 86.51                         | -9.88      |                          |                            |
| 3                 | 4                  | 314.40                        | -294.70    |                          |                            |
| 4                 | 7                  | 593.10                        | -305.60    |                          |                            |
| 5                 | 14                 | 635.00                        | -362.50    |                          |                            |
| 6                 | 18                 | 593.00                        | -382.90    |                          |                            |
| 7                 | 60                 | 230.90                        | -124.00    |                          |                            |

| Punto de análisis | Profundidades (in) | Relación         |            |                          |                            |
|-------------------|--------------------|------------------|------------|--------------------------|----------------------------|
|                   |                    | Deformación (µε) |            | Deformación por tracción | Deformación por compresión |
|                   |                    | Vertical         | Horizontal |                          |                            |
| 1                 | 0                  | 1.635            | 1.493      | 3.32                     | 1.14                       |
| 2                 | 2                  | 1.228            | 0.619      |                          |                            |
| 3                 | 4                  | 1.555            | 1.474      |                          |                            |
| 4                 | 7                  | 1.504            | 1.438      |                          |                            |
| 5                 | 14                 | 1.242            | 1.180      |                          |                            |
| 6                 | 18                 | 1.144            | 1.096      |                          |                            |
| 7                 | 60                 | 0.911            | 0.936      |                          |                            |

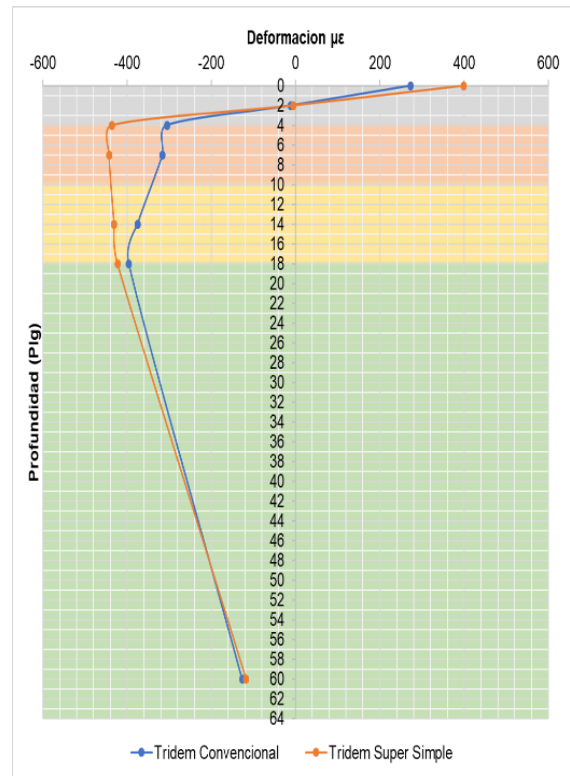


### T3S3 N° 05

| Punto de análisis | Profundidades (in) | T3S3 N°05 Tridem Super Simple |            |                          |                            |
|-------------------|--------------------|-------------------------------|------------|--------------------------|----------------------------|
|                   |                    | Deformación (με)              |            | Deformación por tracción | Deformación por compresión |
|                   |                    | Vertical                      | Horizontal |                          |                            |
| 1                 | 0                  | -281.10                       | 399.30     | -436.100                 | 683.90                     |
| 2                 | 2                  | 106.00                        | -5.86      |                          |                            |
| 3                 | 4                  | 491.20                        | -436.10    |                          |                            |
| 4                 | 7                  | 898.60                        | -442.40    |                          |                            |
| 5                 | 14                 | 795.50                        | -430.90    |                          |                            |
| 6                 | 18                 | 683.90                        | -422.90    |                          |                            |
| 7                 | 60                 | 211.80                        | -117.10    |                          |                            |

| Punto de análisis | Profundidades (in) | T3S3 N°05 Tridem Convencional |            |                          |                            |
|-------------------|--------------------|-------------------------------|------------|--------------------------|----------------------------|
|                   |                    | Deformación (με)              |            | Deformación por tracción | Deformación por compresión |
|                   |                    | Vertical                      | Horizontal |                          |                            |
| 1                 | 0                  | -171.7                        | 273.00     | -139.80                  | 611.60                     |
| 2                 | 2                  | 92.14                         | -11.23     |                          |                            |
| 3                 | 4                  | 325.10                        | -305.40    |                          |                            |
| 4                 | 7                  | 610.10                        | -316.00    |                          |                            |
| 5                 | 14                 | 654.50                        | -374.90    |                          |                            |
| 6                 | 18                 | 611.60                        | -395.50    |                          |                            |
| 7                 | 60                 | 236.20                        | -126.20    |                          |                            |

| Punto de análisis | Profundidades (in) | Relación         |            |                          |                            |
|-------------------|--------------------|------------------|------------|--------------------------|----------------------------|
|                   |                    | Deformación (με) |            | Deformación por tracción | Deformación por compresión |
|                   |                    | Vertical         | Horizontal |                          |                            |
| 1                 | 0                  | 1.637            | 1.463      | 3.12                     | 1.12                       |
| 2                 | 2                  | 1.150            | 0.522      |                          |                            |
| 3                 | 4                  | 1.511            | 1.428      |                          |                            |
| 4                 | 7                  | 1.473            | 1.400      |                          |                            |
| 5                 | 14                 | 1.215            | 1.149      |                          |                            |
| 6                 | 18                 | 1.118            | 1.069      |                          |                            |
| 7                 | 60                 | 0.897            | 0.928      |                          |                            |

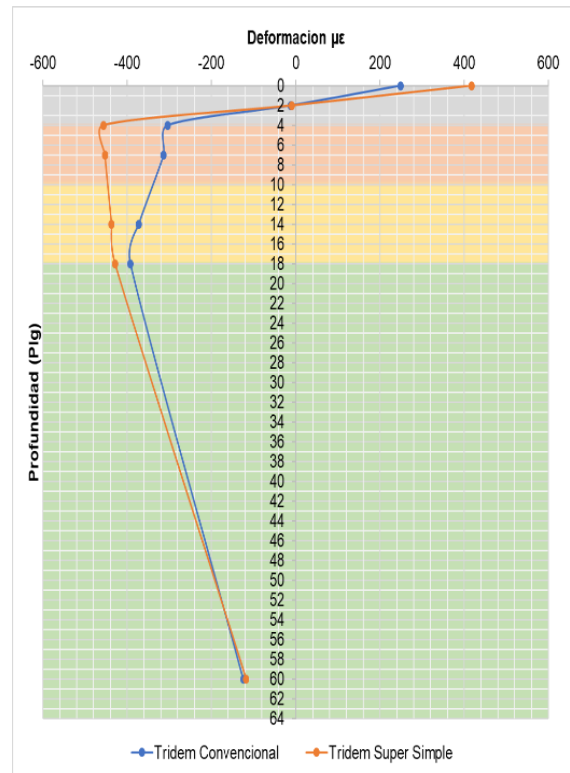


### T3S3 N° 06

| Punto de análisis | Profundidades (in) | T3S3 N°06 Tridem Super Simple |            |                          |                            |
|-------------------|--------------------|-------------------------------|------------|--------------------------|----------------------------|
|                   |                    | Deformación (με)              |            | Deformación por tracción | Deformación por compresión |
|                   |                    | Vertical                      | Horizontal |                          |                            |
| 1                 | 0                  | -280.40                       | 417.00     | -456.600                 | 689.20                     |
| 2                 | 2                  | 117.70                        | -9.11      |                          |                            |
| 3                 | 4                  | 510.80                        | -456.60    |                          |                            |
| 4                 | 7                  | 911.00                        | -453.00    |                          |                            |
| 5                 | 14                 | 799.80                        | -437.30    |                          |                            |
| 6                 | 18                 | 689.20                        | -429.10    |                          |                            |
| 7                 | 60                 | 214.90                        | -117.50    |                          |                            |

| Punto de análisis | Profundidades (in) | T3S3 N°06 Tridem Convencional |            |                          |                            |
|-------------------|--------------------|-------------------------------|------------|--------------------------|----------------------------|
|                   |                    | Deformación (με)              |            | Deformación por tracción | Deformación por compresión |
|                   |                    | Vertical                      | Horizontal |                          |                            |
| 1                 | 0                  | -184.8                        | 248.70     | -140.40                  | 606.90                     |
| 2                 | 2                  | 92.42                         | -11.50     |                          |                            |
| 3                 | 4                  | 322.80                        | -303.50    |                          |                            |
| 4                 | 7                  | 604.80                        | -313.80    |                          |                            |
| 5                 | 14                 | 649.30                        | -372.30    |                          |                            |
| 6                 | 18                 | 606.90                        | -392.60    |                          |                            |
| 7                 | 60                 | 233.70                        | -124.70    |                          |                            |

| Punto de análisis | Profundidades (in) | Relación         |            |                          |                            |
|-------------------|--------------------|------------------|------------|--------------------------|----------------------------|
|                   |                    | Deformación (με) |            | Deformación por tracción | Deformación por compresión |
|                   |                    | Vertical         | Horizontal |                          |                            |
| 1                 | 0                  | 1.517            | 1.677      | 3.25                     | 1.14                       |
| 2                 | 2                  | 1.274            | 0.792      |                          |                            |
| 3                 | 4                  | 1.582            | 1.504      |                          |                            |
| 4                 | 7                  | 1.506            | 1.444      |                          |                            |
| 5                 | 14                 | 1.232            | 1.175      |                          |                            |
| 6                 | 18                 | 1.136            | 1.093      |                          |                            |
| 7                 | 60                 | 0.920            | 0.942      |                          |                            |

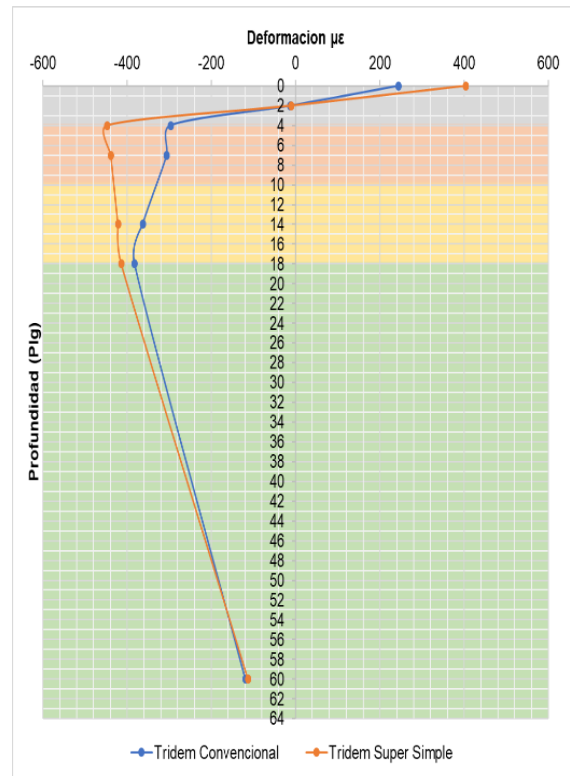


### T3S3 N° 07

| Punto de análisis | Profundidades (in) | T3S3 N°07 Tridem Super Simple |            |                          |                            |
|-------------------|--------------------|-------------------------------|------------|--------------------------|----------------------------|
|                   |                    | Deformación (µε)              |            | Deformación por tracción | Deformación por compresión |
|                   |                    | Vertical                      | Horizontal |                          |                            |
| 1                 | 0                  | -266.50                       | 403.90     | -447.000                 | 662.50                     |
| 2                 | 2                  | 118.60                        | -10.36     |                          |                            |
| 3                 | 4                  | 498.40                        | -447.00    |                          |                            |
| 4                 | 7                  | 877.80                        | -438.60    |                          |                            |
| 5                 | 14                 | 767.90                        | -421.70    |                          |                            |
| 6                 | 18                 | 662.50                        | -413.80    |                          |                            |
| 7                 | 60                 | 207.10                        | -112.70    |                          |                            |

| Punto de análisis | Profundidades (in) | T3S3 N°07 Tridem Convencional |            |                          |                            |
|-------------------|--------------------|-------------------------------|------------|--------------------------|----------------------------|
|                   |                    | Deformación (µε)              |            | Deformación por tracción | Deformación por compresión |
|                   |                    | Vertical                      | Horizontal |                          |                            |
| 1                 | 0                  | -174.7                        | 243.60     | -142.30                  | 589.80                     |
| 2                 | 2                  | 93.43                         | -12.48     |                          |                            |
| 3                 | 4                  | 314.60                        | -296.70    |                          |                            |
| 4                 | 7                  | 585.70                        | -305.90    |                          |                            |
| 5                 | 14                 | 630.50                        | -362.80    |                          |                            |
| 6                 | 18                 | 589.80                        | -382.00    |                          |                            |
| 7                 | 60                 | 224.60                        | -119.10    |                          |                            |

| Punto de análisis | Profundidades (in) | Relación         |            |                          |                            |
|-------------------|--------------------|------------------|------------|--------------------------|----------------------------|
|                   |                    | Deformación (µε) |            | Deformación por tracción | Deformación por compresión |
|                   |                    | Vertical         | Horizontal |                          |                            |
| 1                 | 0                  | 1.525            | 1.658      | 3.14                     | 1.12                       |
| 2                 | 2                  | 1.269            | 0.830      |                          |                            |
| 3                 | 4                  | 1.584            | 1.507      |                          |                            |
| 4                 | 7                  | 1.499            | 1.434      |                          |                            |
| 5                 | 14                 | 1.218            | 1.162      |                          |                            |
| 6                 | 18                 | 1.123            | 1.083      |                          |                            |
| 7                 | 60                 | 0.922            | 0.946      |                          |                            |

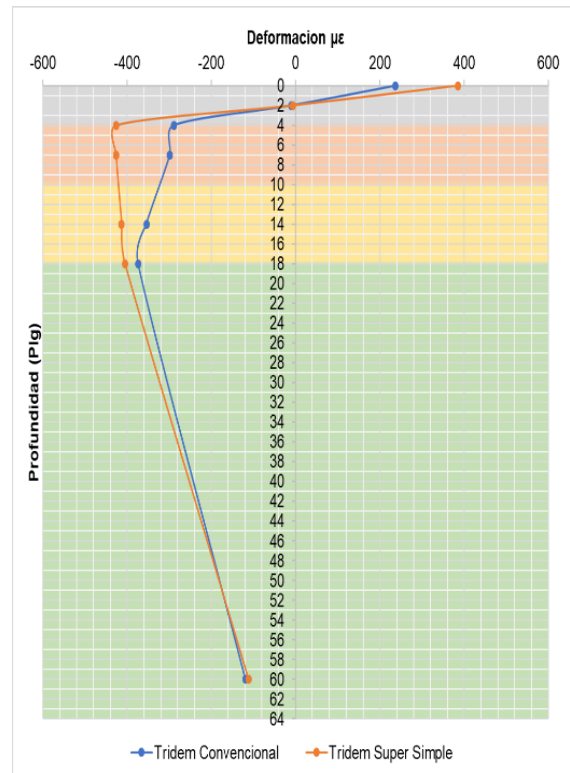


### T3S3 N° 08

| Punto de análisis | Profundidades (in) | T3S3 N°08 Tridem Super Simple |            |                          |                            |
|-------------------|--------------------|-------------------------------|------------|--------------------------|----------------------------|
|                   |                    | Deformación (µε)              |            | Deformación por tracción | Deformación por compresión |
|                   |                    | Vertical                      | Horizontal |                          |                            |
| 1                 | 0                  | -266.00                       | 385.20     | -425.900                 | 653.00                     |
| 2                 | 2                  | 107.10                        | -7.32      |                          |                            |
| 3                 | 4                  | 477.90                        | -425.90    |                          |                            |
| 4                 | 7                  | 861.30                        | -426.50    |                          |                            |
| 5                 | 14                 | 758.70                        | -413.30    |                          |                            |
| 6                 | 18                 | 653.00                        | -405.50    |                          |                            |
| 7                 | 60                 | 203.10                        | -111.60    |                          |                            |

| Punto de análisis | Profundidades (in) | T3S3 N°08 Tridem Convencional |            |                          |                            |
|-------------------|--------------------|-------------------------------|------------|--------------------------|----------------------------|
|                   |                    | Deformación (µε)              |            | Deformación por tracción | Deformación por compresión |
|                   |                    | Vertical                      | Horizontal |                          |                            |
| 1                 | 0                  | -176.5                        | 236.90     | -132.70                  | 577.70                     |
| 2                 | 2                  | 87.39                         | -10.74     |                          |                            |
| 3                 | 4                  | 307.10                        | -288.60    |                          |                            |
| 4                 | 7                  | 576.00                        | -298.60    |                          |                            |
| 5                 | 14                 | 618.10                        | -354.20    |                          |                            |
| 6                 | 18                 | 577.70                        | -373.60    |                          |                            |
| 7                 | 60                 | 222.80                        | -119.00    |                          |                            |

| Punto de análisis | Profundidades (in) | Relación         |            |                          |                            |
|-------------------|--------------------|------------------|------------|--------------------------|----------------------------|
|                   |                    | Deformación (µε) |            | Deformación por tracción | Deformación por compresión |
|                   |                    | Vertical         | Horizontal |                          |                            |
| 1                 | 0                  | 1.507            | 1.626      | 3.21                     | 1.13                       |
| 2                 | 2                  | 1.226            | 0.681      |                          |                            |
| 3                 | 4                  | 1.556            | 1.476      |                          |                            |
| 4                 | 7                  | 1.495            | 1.428      |                          |                            |
| 5                 | 14                 | 1.227            | 1.167      |                          |                            |
| 6                 | 18                 | 1.130            | 1.085      |                          |                            |
| 7                 | 60                 | 0.912            | 0.938      |                          |                            |



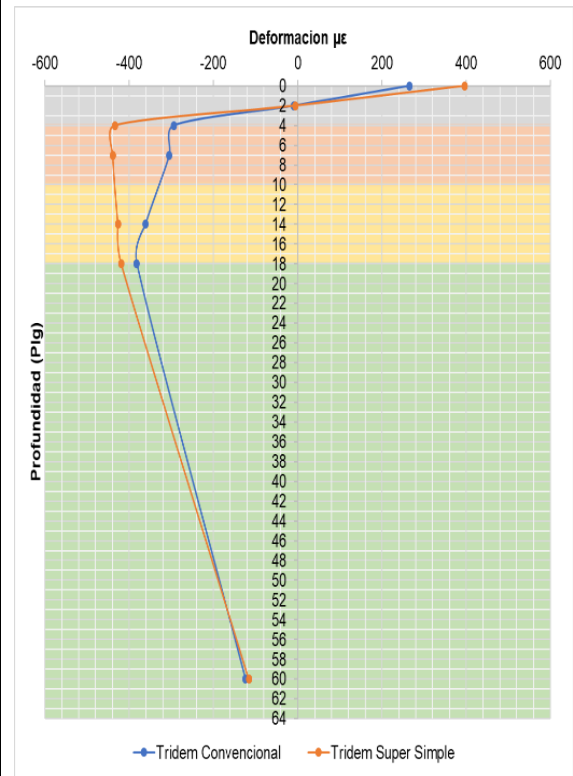


### T3S3 N° 09

| Punto de análisis | Profundidades (in) | T3S3 N°09 Tridem Super Simple |            |                          |                            |
|-------------------|--------------------|-------------------------------|------------|--------------------------|----------------------------|
|                   |                    | Deformación (µε)              |            | Deformación por tracción | Deformación por compresión |
|                   |                    | Vertical                      | Horizontal |                          |                            |
| 1                 | 0                  | -277.60                       | 396.00     | -433.700                 | 676.50                     |
| 2                 | 2                  | 106.20                        | -6.20      |                          |                            |
| 3                 | 4                  | 488.10                        | -433.70    |                          |                            |
| 4                 | 7                  | 889.80                        | -438.70    |                          |                            |
| 5                 | 14                 | 786.70                        | -426.80    |                          |                            |
| 6                 | 18                 | 676.50                        | -418.80    |                          |                            |
| 7                 | 60                 | 209.70                        | -115.80    |                          |                            |

| Punto de análisis | Profundidades (in) | T3S3 N°09 Tridem Convencional |            |                          |                            |
|-------------------|--------------------|-------------------------------|------------|--------------------------|----------------------------|
|                   |                    | Deformación (µε)              |            | Deformación por tracción | Deformación por compresión |
|                   |                    | Vertical                      | Horizontal |                          |                            |
| 1                 | 0                  | -169.7                        | 265.10     | -130.90                  | 591.90                     |
| 2                 | 2                  | 86.58                         | -9.94      |                          |                            |
| 3                 | 4                  | 313.80                        | -294.20    |                          |                            |
| 4                 | 7                  | 591.90                        | -305.10    |                          |                            |
| 5                 | 14                 | 633.80                        | -361.90    |                          |                            |
| 6                 | 18                 | 591.90                        | -382.20    |                          |                            |
| 7                 | 60                 | 230.30                        | -123.70    |                          |                            |

| Punto de análisis | Profundidades (in) | Relación         |            |                          |                            |
|-------------------|--------------------|------------------|------------|--------------------------|----------------------------|
|                   |                    | Deformación (µε) |            | Deformación por tracción | Deformación por compresión |
|                   |                    | Vertical         | Horizontal |                          |                            |
| 1                 | 0                  | 1.636            | 1.494      | 3.31                     | 1.14                       |
| 2                 | 2                  | 1.227            | 0.624      |                          |                            |
| 3                 | 4                  | 1.555            | 1.474      |                          |                            |
| 4                 | 7                  | 1.503            | 1.438      |                          |                            |
| 5                 | 14                 | 1.241            | 1.179      |                          |                            |
| 6                 | 18                 | 1.143            | 1.096      |                          |                            |
| 7                 | 60                 | 0.911            | 0.936      |                          |                            |

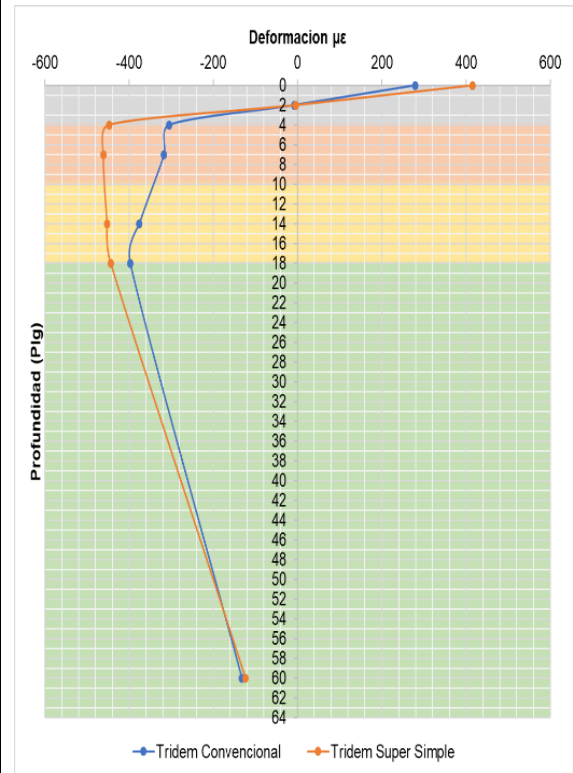


### T3S3 N° 10

| Punto de análisis | Profundidades (in) | T3S3 N°10 Tridem Super Simple |            |                          |                            |
|-------------------|--------------------|-------------------------------|------------|--------------------------|----------------------------|
|                   |                    | Deformación (µε)              |            | Deformación por tracción | Deformación por compresión |
|                   |                    | Vertical                      | Horizontal |                          |                            |
| 1                 | 0                  | -298.70                       | 415.70     | -447.700                 | 721.10                     |
| 2                 | 2                  | 104.60                        | -4.08      |                          |                            |
| 3                 | 4                  | 506.60                        | -447.70    |                          |                            |
| 4                 | 7                  | 942.50                        | -461.10    |                          |                            |
| 5                 | 14                 | 839.70                        | -452.00    |                          |                            |
| 6                 | 18                 | 721.10                        | -443.60    |                          |                            |
| 7                 | 60                 | 222.10                        | -123.60    |                          |                            |

| Punto de análisis | Profundidades (in) | T3S3 N°10 Tridem Convencional |            |                          |                            |
|-------------------|--------------------|-------------------------------|------------|--------------------------|----------------------------|
|                   |                    | Deformación (µε)              |            | Deformación por tracción | Deformación por compresión |
|                   |                    | Vertical                      | Horizontal |                          |                            |
| 1                 | 0                  | -184.4                        | 279.00     | -127.60                  | 618.10                     |
| 2                 | 2                  | 85.01                         | -8.43      |                          |                            |
| 3                 | 4                  | 326.00                        | -304.40    |                          |                            |
| 4                 | 7                  | 621.30                        | -317.20    |                          |                            |
| 5                 | 14                 | 662.80                        | -375.80    |                          |                            |
| 6                 | 18                 | 618.10                        | -397.80    |                          |                            |
| 7                 | 60                 | 244.10                        | -132.30    |                          |                            |

| Punto de análisis | Profundidades (in) | Relación         |            |                          |                            |
|-------------------|--------------------|------------------|------------|--------------------------|----------------------------|
|                   |                    | Deformación (µε) |            | Deformación por tracción | Deformación por compresión |
|                   |                    | Vertical         | Horizontal |                          |                            |
| 1                 | 0                  | 1.620            | 1.490      | 3.51                     | 1.17                       |
| 2                 | 2                  | 1.230            | 0.484      |                          |                            |
| 3                 | 4                  | 1.554            | 1.471      |                          |                            |
| 4                 | 7                  | 1.517            | 1.454      |                          |                            |
| 5                 | 14                 | 1.267            | 1.203      |                          |                            |
| 6                 | 18                 | 1.167            | 1.115      |                          |                            |
| 7                 | 60                 | 0.910            | 0.934      |                          |                            |

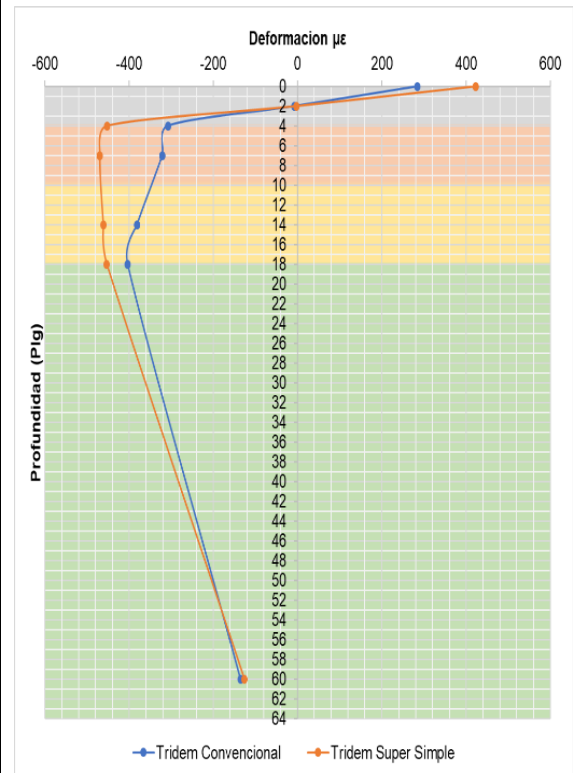


## T3S3 N° 11

| Punto de análisis | Profundidades (in) | T3S3 N°11 Tridem Super Simple |            |                          |                            |
|-------------------|--------------------|-------------------------------|------------|--------------------------|----------------------------|
|                   |                    | Deformación (με)              |            | Deformación por tracción | Deformación por compresión |
|                   |                    | Vertical                      | Horizontal |                          |                            |
| 1                 | 0                  | -306.60                       | 423.10     | -452.700                 | 738.20                     |
| 2                 | 2                  | 104.00                        | -3.29      |                          |                            |
| 3                 | 4                  | 513.30                        | -452.70    |                          |                            |
| 4                 | 7                  | 962.20                        | -469.40    |                          |                            |
| 5                 | 14                 | 860.00                        | -461.50    |                          |                            |
| 6                 | 18                 | 738.20                        | -453.00    |                          |                            |
| 7                 | 60                 | 226.70                        | -126.50    |                          |                            |

| Punto de análisis | Profundidades (in) | T3S3 N°11 Tridem Convencional |            |                          |                            |
|-------------------|--------------------|-------------------------------|------------|--------------------------|----------------------------|
|                   |                    | Deformación (με)              |            | Deformación por tracción | Deformación por compresión |
|                   |                    | Vertical                      | Horizontal |                          |                            |
| 1                 | 0                  | 189.70                        | 284.00     | -126.40                  | 627.50                     |
| 2                 | 2                  | 84.50                         | -7.91      |                          |                            |
| 3                 | 4                  | 330.30                        | -308.00    |                          |                            |
| 4                 | 7                  | 631.90                        | -321.50    |                          |                            |
| 5                 | 14                 | 673.30                        | -380.80    |                          |                            |
| 6                 | 18                 | 627.50                        | -403.20    |                          |                            |
| 7                 | 60                 | 249.00                        | -135.40    |                          |                            |

| Punto de análisis | Profundidades (in) | Relación         |            |                          |                            |
|-------------------|--------------------|------------------|------------|--------------------------|----------------------------|
|                   |                    | Deformación (με) |            | Deformación por tracción | Deformación por compresión |
|                   |                    | Vertical         | Horizontal |                          |                            |
| 1                 | 0                  | 1.616            | 1.490      | 3.58                     | 1.18                       |
| 2                 | 2                  | 1.231            | 0.416      |                          |                            |
| 3                 | 4                  | 1.554            | 1.470      |                          |                            |
| 4                 | 7                  | 1.523            | 1.460      |                          |                            |
| 5                 | 14                 | 1.277            | 1.212      |                          |                            |
| 6                 | 18                 | 1.176            | 1.124      |                          |                            |
| 7                 | 60                 | 0.910            | 0.934      |                          |                            |

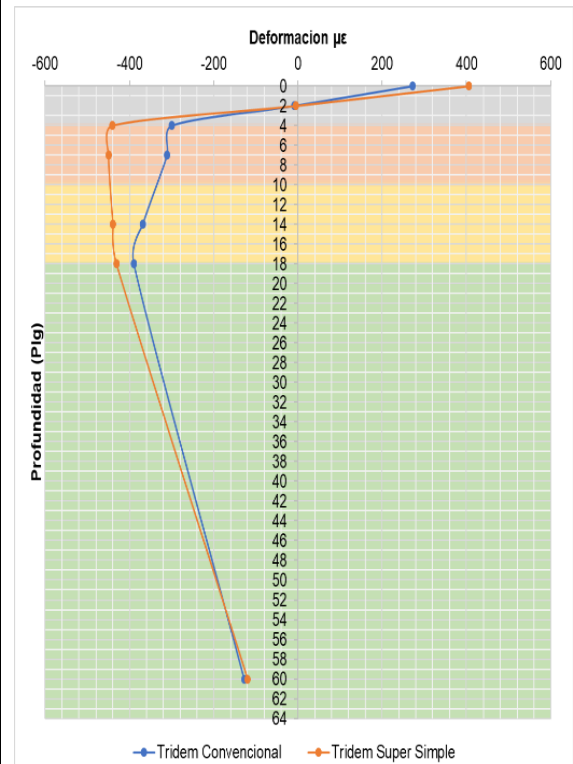


## T3S3 N° 12

| Punto de análisis | Profundidades (in) | T3S3 N°12 Tridem Super Simple |            |                          |                            |
|-------------------|--------------------|-------------------------------|------------|--------------------------|----------------------------|
|                   |                    | Deformación (με)              |            | Deformación por tracción | Deformación por compresión |
|                   |                    | Vertical                      | Horizontal |                          |                            |
| 1                 | 0                  | -288.20                       | 405.90     | -440.800                 | 698.70                     |
| 2                 | 2                  | 105.40                        | -5.12      |                          |                            |
| 3                 | 4                  | 497.40                        | -440.80    |                          |                            |
| 4                 | 7                  | 916.10                        | -449.90    |                          |                            |
| 5                 | 14                 | 813.00                        | -439.30    |                          |                            |
| 6                 | 18                 | 698.70                        | -431.10    |                          |                            |
| 7                 | 60                 | 215.90                        | -119.70    |                          |                            |

| Punto de análisis | Profundidades (in) | T3S3 N°12 Tridem Convencional |            |                          |                            |
|-------------------|--------------------|-------------------------------|------------|--------------------------|----------------------------|
|                   |                    | Deformación (με)              |            | Deformación por tracción | Deformación por compresión |
|                   |                    | Vertical                      | Horizontal |                          |                            |
| 1                 | 0                  | -177.0                        | 272.00     | -129.30                  | 604.90                     |
| 2                 | 2                  | 85.75                         | -9.16      |                          |                            |
| 3                 | 4                  | 319.90                        | -299.30    |                          |                            |
| 4                 | 7                  | 606.40                        | -311.10    |                          |                            |
| 5                 | 14                 | 648.10                        | -368.80    |                          |                            |
| 6                 | 18                 | 604.90                        | -390.00    |                          |                            |
| 7                 | 60                 | 237.10                        | -127.90    |                          |                            |

| Punto de análisis | Profundidades (in) | Relación         |            |                          |                            |
|-------------------|--------------------|------------------|------------|--------------------------|----------------------------|
|                   |                    | Deformación (με) |            | Deformación por tracción | Deformación por compresión |
|                   |                    | Vertical         | Horizontal |                          |                            |
| 1                 | 0                  | 1.628            | 1.492      | 3.41                     | 1.16                       |
| 2                 | 2                  | 1.229            | 0.558      |                          |                            |
| 3                 | 4                  | 1.555            | 1.473      |                          |                            |
| 4                 | 7                  | 1.511            | 1.446      |                          |                            |
| 5                 | 14                 | 1.254            | 1.191      |                          |                            |
| 6                 | 18                 | 1.155            | 1.105      |                          |                            |
| 7                 | 60                 | 0.911            | 0.936      |                          |                            |

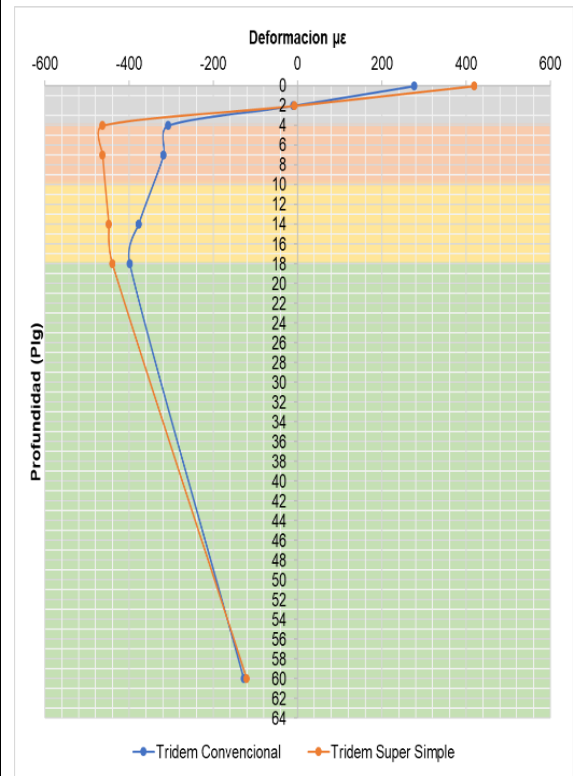


### T3S3 N° 13

| Punto de análisis | Profundidades (in) | T3S3 N°13 Tridem Super Simple |            |                          |                            |
|-------------------|--------------------|-------------------------------|------------|--------------------------|----------------------------|
|                   |                    | Deformación (µε)              |            | Deformación por tracción | Deformación por compresión |
|                   |                    | Vertical                      | Horizontal |                          |                            |
| 1                 | 0                  | -288.20                       | 418.40     | -463.300                 | 708.50                     |
| 2                 | 2                  | 117.00                        | -8.17      |                          |                            |
| 3                 | 4                  | 519.60                        | -463.30    |                          |                            |
| 4                 | 7                  | 934.90                        | -463.20    |                          |                            |
| 5                 | 14                 | 823.00                        | -448.60    |                          |                            |
| 6                 | 18                 | 708.50                        | -440.10    |                          |                            |
| 7                 | 60                 | 220.40                        | -121.00    |                          |                            |

| Punto de análisis | Profundidades (in) | T3S3 N°13 Tridem Convencional |            |                          |                            |
|-------------------|--------------------|-------------------------------|------------|--------------------------|----------------------------|
|                   |                    | Deformación (µε)              |            | Deformación por tracción | Deformación por compresión |
|                   |                    | Vertical                      | Horizontal |                          |                            |
| 1                 | 0                  | -175.0                        | 276.00     | -139.10                  | 617.50                     |
| 2                 | 2                  | 91.80                         | -10.90     |                          |                            |
| 3                 | 4                  | 327.90                        | -307.70    |                          |                            |
| 4                 | 7                  | 616.60                        | -318.70    |                          |                            |
| 5                 | 14                 | 660.90                        | -378.00    |                          |                            |
| 6                 | 18                 | 617.50                        | -399.10    |                          |                            |
| 7                 | 60                 | 239.30                        | -128.10    |                          |                            |

| Punto de análisis | Profundidades (in) | Relación         |            |                          |                            |
|-------------------|--------------------|------------------|------------|--------------------------|----------------------------|
|                   |                    | Deformación (µε) |            | Deformación por tracción | Deformación por compresión |
|                   |                    | Vertical         | Horizontal |                          |                            |
| 1                 | 0                  | 1.647            | 1.516      | 3.33                     | 1.15                       |
| 2                 | 2                  | 1.275            | 0.750      |                          |                            |
| 3                 | 4                  | 1.585            | 1.506      |                          |                            |
| 4                 | 7                  | 1.516            | 1.453      |                          |                            |
| 5                 | 14                 | 1.245            | 1.187      |                          |                            |
| 6                 | 18                 | 1.147            | 1.103      |                          |                            |
| 7                 | 60                 | 0.921            | 0.945      |                          |                            |

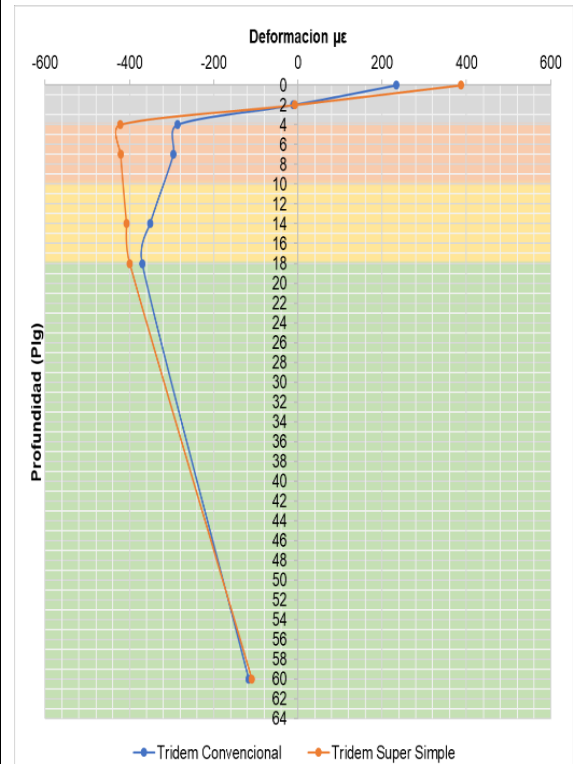


### T3S3 N° 14

| Punto de análisis | Profundidades (in) | T3S3 N°14 Tridem Super Simple |            |                          |                            |
|-------------------|--------------------|-------------------------------|------------|--------------------------|----------------------------|
|                   |                    | Deformación (µε)              |            | Deformación por tracción | Deformación por compresión |
|                   |                    | Vertical                      | Horizontal |                          |                            |
| 1                 | 0                  | -262.50                       | 387.40     | -422.300                 | 642.30                     |
| 2                 | 2                  | 107.50                        | -7.83      |                          |                            |
| 3                 | 4                  | 473.10                        | -422.30    |                          |                            |
| 4                 | 7                  | 848.20                        | -420.90    |                          |                            |
| 5                 | 14                 | 745.90                        | -407.10    |                          |                            |
| 6                 | 18                 | 642.30                        | -399.40    |                          |                            |
| 7                 | 60                 | 200.00                        | -109.60    |                          |                            |

| Punto de análisis | Profundidades (in) | T3S3 N°14 Tridem Convencional |            |                          |                            |
|-------------------|--------------------|-------------------------------|------------|--------------------------|----------------------------|
|                   |                    | Deformación (µε)              |            | Deformación por tracción | Deformación por compresión |
|                   |                    | Vertical                      | Horizontal |                          |                            |
| 1                 | 0                  | -173.2                        | 233.90     | -133.40                  | 571.30                     |
| 2                 | 2                  | 87.77                         | -11.10     |                          |                            |
| 3                 | 4                  | 304.00                        | -286.10    |                          |                            |
| 4                 | 7                  | 568.80                        | -295.60    |                          |                            |
| 5                 | 14                 | 611.00                        | -350.70    |                          |                            |
| 6                 | 18                 | 571.30                        | -369.70    |                          |                            |
| 7                 | 60                 | 219.40                        | -116.90    |                          |                            |

| Punto de análisis | Profundidades (in) | Relación         |            |                          |                            |
|-------------------|--------------------|------------------|------------|--------------------------|----------------------------|
|                   |                    | Deformación (µε) |            | Deformación por tracción | Deformación por compresión |
|                   |                    | Vertical         | Horizontal |                          |                            |
| 1                 | 0                  | 1.516            | 1.656      | 3.17                     | 1.12                       |
| 2                 | 2                  | 1.225            | 0.706      |                          |                            |
| 3                 | 4                  | 1.556            | 1.476      |                          |                            |
| 4                 | 7                  | 1.491            | 1.424      |                          |                            |
| 5                 | 14                 | 1.221            | 1.161      |                          |                            |
| 6                 | 18                 | 1.124            | 1.080      |                          |                            |
| 7                 | 60                 | 0.912            | 0.938      |                          |                            |

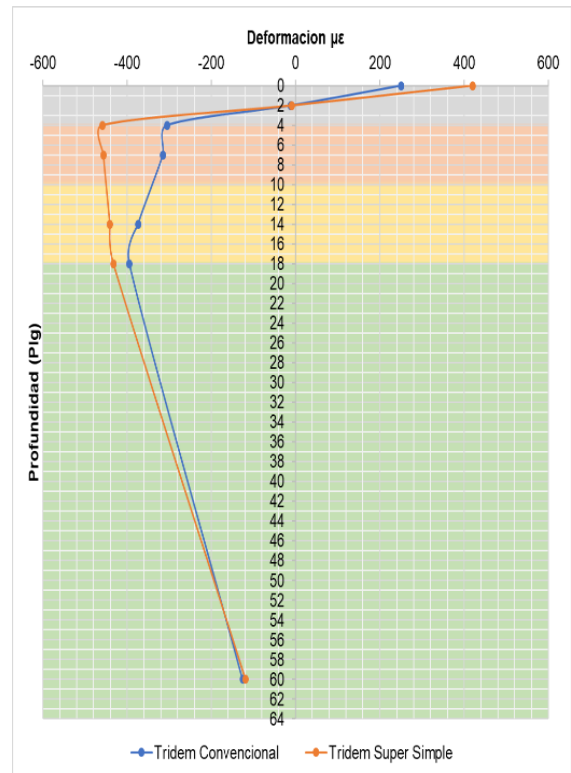


## T3S3 N° 15

| Punto de análisis | Profundidades (in) | T3S3 N°15 Tridem Super Simple |            |                          |                            |
|-------------------|--------------------|-------------------------------|------------|--------------------------|----------------------------|
|                   |                    | Deformación (με)              |            | Deformación por tracción | Deformación por compresión |
|                   |                    | Vertical                      | Horizontal |                          |                            |
| 1                 | 0                  | -283.4                        | 419.80     | -458.600                 | 694.90                     |
| 2                 | 2                  | 117.50                        | -8.82      |                          |                            |
| 3                 | 4                  | 513.50                        | -458.60    |                          |                            |
| 4                 | 7                  | 918.20                        | -456.00    |                          |                            |
| 5                 | 14                 | 806.70                        | -440.70    |                          |                            |
| 6                 | 18                 | 694.90                        | -432.40    |                          |                            |
| 7                 | 60                 | 216.50                        | -118.60    |                          |                            |

| Punto de análisis | Profundidades (in) | T3S3 N°15 Tridem Convencional |            |                          |                            |
|-------------------|--------------------|-------------------------------|------------|--------------------------|----------------------------|
|                   |                    | Deformación (με)              |            | Deformación por tracción | Deformación por compresión |
|                   |                    | Vertical                      | Horizontal |                          |                            |
| 1                 | 0                  | -186.1                        | 250.00     | -139.80                  | 609.60                     |
| 2                 | 2                  | 92.26                         | -11.35     |                          |                            |
| 3                 | 4                  | 324.10                        | -304.60    |                          |                            |
| 4                 | 7                  | 607.70                        | -315.00    |                          |                            |
| 5                 | 14                 | 652.20                        | -373.70    |                          |                            |
| 6                 | 18                 | 609.60                        | -394.20    |                          |                            |
| 7                 | 60                 | 235.10                        | -125.50    |                          |                            |

| Punto de análisis | Profundidades (in) | Relación         |            |                          |                            |
|-------------------|--------------------|------------------|------------|--------------------------|----------------------------|
|                   |                    | Deformación (με) |            | Deformación por tracción | Deformación por compresión |
|                   |                    | Vertical         | Horizontal |                          |                            |
| 1                 | 0                  | 1.523            | 1.679      | 3.28                     | 1.14                       |
| 2                 | 2                  | 1.274            | 0.777      |                          |                            |
| 3                 | 4                  | 1.584            | 1.506      |                          |                            |
| 4                 | 7                  | 1.511            | 1.448      |                          |                            |
| 5                 | 14                 | 1.237            | 1.179      |                          |                            |
| 6                 | 18                 | 1.140            | 1.097      |                          |                            |
| 7                 | 60                 | 0.921            | 0.945      |                          |                            |

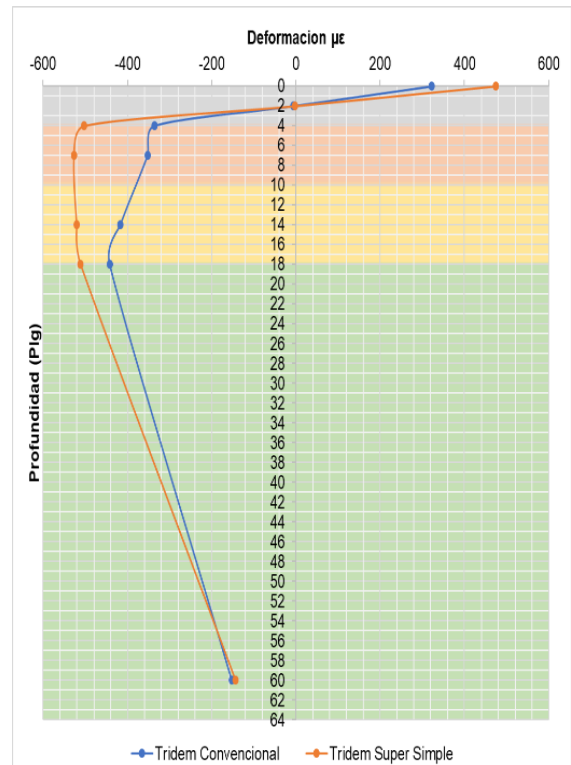


## T3S3 N° 16

| Punto de análisis | Profundidades (in) | T3S3 N°16 Tridem Super Simple |            |                          |                            |
|-------------------|--------------------|-------------------------------|------------|--------------------------|----------------------------|
|                   |                    | Deformación (με)              |            | Deformación por tracción | Deformación por compresión |
|                   |                    | Vertical                      | Horizontal |                          |                            |
| 1                 | 0                  | -348.60                       | 474.80     | -502.700                 | 836.80                     |
| 2                 | 2                  | 112.40                        | -2.16      |                          |                            |
| 3                 | 4                  | 571.70                        | -502.70    |                          |                            |
| 4                 | 7                  | 1086.00                       | -527.20    |                          |                            |
| 5                 | 14                 | 975.40                        | -520.90    |                          |                            |
| 6                 | 18                 | 836.80                        | -511.40    |                          |                            |
| 7                 | 60                 | 255.80                        | -143.50    |                          |                            |

| Punto de análisis | Profundidades (in) | T3S3 N°16 Tridem Convencional |            |                          |                            |
|-------------------|--------------------|-------------------------------|------------|--------------------------|----------------------------|
|                   |                    | Deformación (με)              |            | Deformación por tracción | Deformación por compresión |
|                   |                    | Vertical                      | Horizontal |                          |                            |
| 1                 | 0                  | -218.3                        | 322.10     | -129.50                  | 691.20                     |
| 2                 | 2                  | 87.77                         | -6.81      |                          |                            |
| 3                 | 4                  | 361.60                        | -335.80    |                          |                            |
| 4                 | 7                  | 699.40                        | -352.50    |                          |                            |
| 5                 | 14                 | 742.90                        | -416.80    |                          |                            |
| 6                 | 18                 | 691.20                        | -441.90    |                          |                            |
| 7                 | 60                 | 277.80                        | -152.50    |                          |                            |

| Punto de análisis | Profundidades (in) | Relación         |            |                          |                            |
|-------------------|--------------------|------------------|------------|--------------------------|----------------------------|
|                   |                    | Deformación (με) |            | Deformación por tracción | Deformación por compresión |
|                   |                    | Vertical         | Horizontal |                          |                            |
| 1                 | 0                  | 1.597            | 1.474      | 3.88                     | 1.21                       |
| 2                 | 2                  | 1.281            | 0.317      |                          |                            |
| 3                 | 4                  | 1.581            | 1.497      |                          |                            |
| 4                 | 7                  | 1.553            | 1.496      |                          |                            |
| 5                 | 14                 | 1.313            | 1.250      |                          |                            |
| 6                 | 18                 | 1.211            | 1.157      |                          |                            |
| 7                 | 60                 | 0.921            | 0.941      |                          |                            |

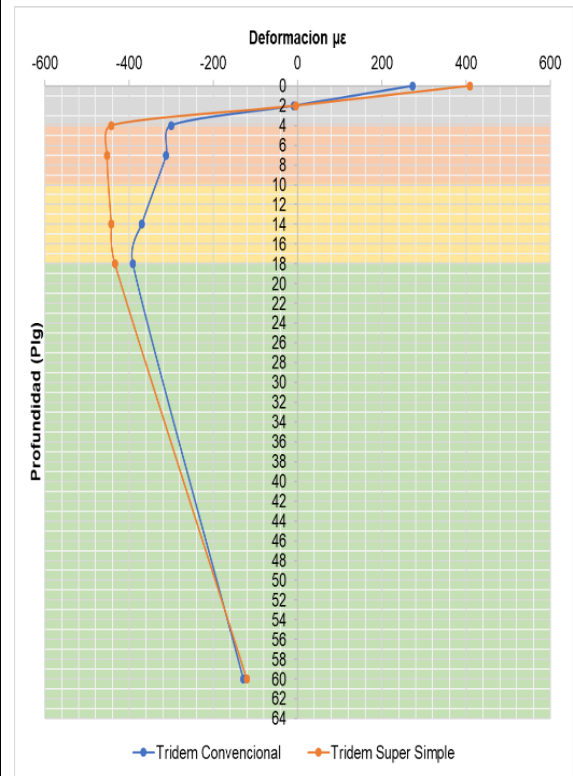


## T3S3 N° 17

| Punto de análisis | Profundidades (in) | T3S3 N°17 Tridem Super Simple |            |                          |                            |
|-------------------|--------------------|-------------------------------|------------|--------------------------|----------------------------|
|                   |                    | Deformación ( $\mu\epsilon$ ) |            | Deformación por tracción | Deformación por compresión |
|                   |                    | Vertical                      | Horizontal |                          |                            |
| 1                 | 0                  | -290.80                       | 408.40     | -442.500                 | 704.20                     |
| 2                 | 2                  | 105.20                        | -4.86      |                          |                            |
| 3                 | 4                  | 499.70                        | -442.50    |                          |                            |
| 4                 | 7                  | 922.70                        | -452.70    |                          |                            |
| 5                 | 14                 | 819.70                        | -442.50    |                          |                            |
| 6                 | 18                 | 704.20                        | -434.20    |                          |                            |
| 7                 | 60                 | 217.50                        | -120.60    |                          |                            |

| Punto de análisis | Profundidades (in) | T3S3 N°17 Tridem Convencional |            |                          |                            |
|-------------------|--------------------|-------------------------------|------------|--------------------------|----------------------------|
|                   |                    | Deformación ( $\mu\epsilon$ ) |            | Deformación por tracción | Deformación por compresión |
|                   |                    | Vertical                      | Horizontal |                          |                            |
| 1                 | 0                  | -178.4                        | 273.40     | -129.00                  | 607.50                     |
| 2                 | 2                  | 85.60                         | -9.02      |                          |                            |
| 3                 | 4                  | 321.10                        | -300.30    |                          |                            |
| 4                 | 7                  | 609.30                        | -312.30    |                          |                            |
| 5                 | 14                 | 651.00                        | -370.20    |                          |                            |
| 6                 | 18                 | 607.50                        | -391.50    |                          |                            |
| 7                 | 60                 | 238.50                        | -128.80    |                          |                            |

| Punto de análisis | Profundidades (in) | Relación                      |            |                          |                            |
|-------------------|--------------------|-------------------------------|------------|--------------------------|----------------------------|
|                   |                    | Deformación ( $\mu\epsilon$ ) |            | Deformación por tracción | Deformación por compresión |
|                   |                    | Vertical                      | Horizontal |                          |                            |
| 1                 | 0                  | 1.630                         | 1.494      | 3.43                     | 1.16                       |
| 2                 | 2                  | 1.229                         | 0.538      |                          |                            |
| 3                 | 4                  | 1.556                         | 1.474      |                          |                            |
| 4                 | 7                  | 1.514                         | 1.450      |                          |                            |
| 5                 | 14                 | 1.259                         | 1.195      |                          |                            |
| 6                 | 18                 | 1.159                         | 1.109      |                          |                            |
| 7                 | 60                 | 0.912                         | 0.936      |                          |                            |

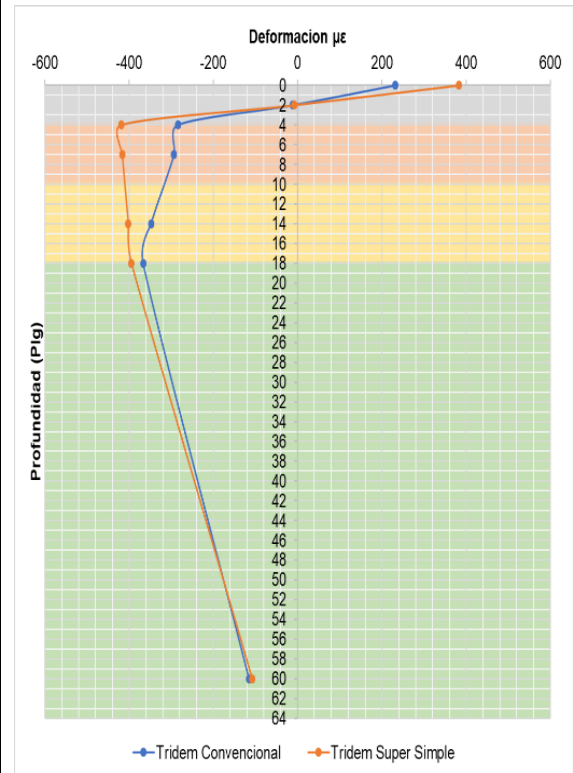


## T3S3 N° 18

| Punto de análisis | Profundidades (in) | T3S3 N°18 Tridem Super Simple |            |                          |                            |
|-------------------|--------------------|-------------------------------|------------|--------------------------|----------------------------|
|                   |                    | Deformación ( $\mu\epsilon$ ) |            | Deformación por tracción | Deformación por compresión |
|                   |                    | Vertical                      | Horizontal |                          |                            |
| 1                 | 0                  | -258.00                       | 383.10     | -419.200                 | 633.50                     |
| 2                 | 2                  | 107.80                        | -8.26      |                          |                            |
| 3                 | 4                  | 469.10                        | -419.20    |                          |                            |
| 4                 | 7                  | 837.30                        | -416.20    |                          |                            |
| 5                 | 14                 | 735.30                        | -401.90    |                          |                            |
| 6                 | 18                 | 633.50                        | -394.40    |                          |                            |
| 7                 | 60                 | 197.50                        | -108.00    |                          |                            |

| Punto de análisis | Profundidades (in) | T3S3 N°18 Tridem Convencional |            |                          |                            |
|-------------------|--------------------|-------------------------------|------------|--------------------------|----------------------------|
|                   |                    | Deformación ( $\mu\epsilon$ ) |            | Deformación por tracción | Deformación por compresión |
|                   |                    | Vertical                      | Horizontal |                          |                            |
| 1                 | 0                  | -170.7                        | 231.60     | -133.90                  | 566.40                     |
| 2                 | 2                  | 88.06                         | -11.38     |                          |                            |
| 3                 | 4                  | 301.70                        | -284.20    |                          |                            |
| 4                 | 7                  | 563.40                        | -293.30    |                          |                            |
| 5                 | 14                 | 605.70                        | -348.00    |                          |                            |
| 6                 | 18                 | 566.40                        | -366.70    |                          |                            |
| 7                 | 60                 | 216.90                        | -115.30    |                          |                            |

| Punto de análisis | Profundidades (in) | Relación                      |            |                          |                            |
|-------------------|--------------------|-------------------------------|------------|--------------------------|----------------------------|
|                   |                    | Deformación ( $\mu\epsilon$ ) |            | Deformación por tracción | Deformación por compresión |
|                   |                    | Vertical                      | Horizontal |                          |                            |
| 1                 | 0                  | 1.511                         | 1.654      | 3.13                     | 1.12                       |
| 2                 | 2                  | 1.224                         | 0.726      |                          |                            |
| 3                 | 4                  | 1.555                         | 1.475      |                          |                            |
| 4                 | 7                  | 1.486                         | 1.419      |                          |                            |
| 5                 | 14                 | 1.214                         | 1.155      |                          |                            |
| 6                 | 18                 | 1.118                         | 1.076      |                          |                            |
| 7                 | 60                 | 0.911                         | 0.937      |                          |                            |

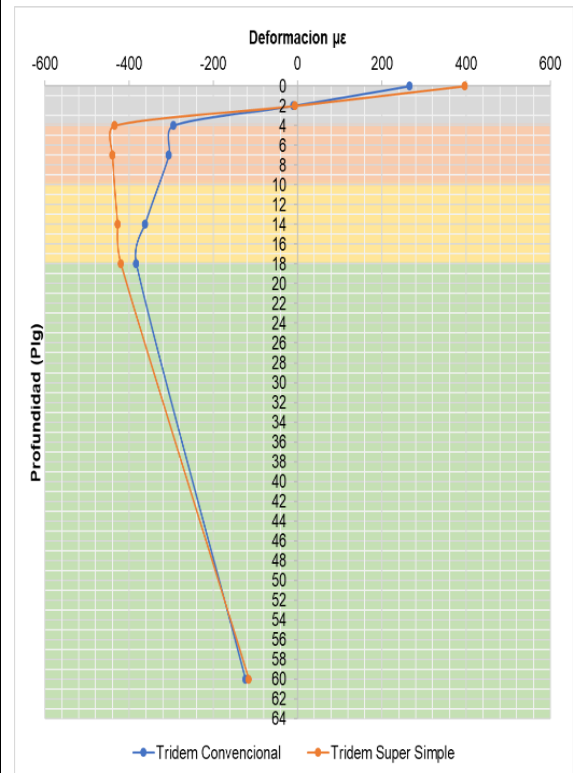


### T3S3 N° 19

| Punto de análisis | Profundidades (in) | T3S3 N°19 Tridem Super Simple |            |                          |                            |
|-------------------|--------------------|-------------------------------|------------|--------------------------|----------------------------|
|                   |                    | Deformación (µε)              |            | Deformación por tracción | Deformación por compresión |
|                   |                    | Vertical                      | Horizontal |                          |                            |
| 1                 | 0                  | -278.50                       | 396.80     | -434.300                 | 678.40                     |
| 2                 | 2                  | 106.20                        | -6.12      |                          |                            |
| 3                 | 4                  | 488.90                        | -434.30    |                          |                            |
| 4                 | 7                  | 892.00                        | -439.60    |                          |                            |
| 5                 | 14                 | 788.90                        | -427.80    |                          |                            |
| 6                 | 18                 | 678.40                        | -419.80    |                          |                            |
| 7                 | 60                 | 210.30                        | -116.10    |                          |                            |

| Punto de análisis | Profundidades (in) | T3S3 N°19 Tridem Convencional |            |                          |                            |
|-------------------|--------------------|-------------------------------|------------|--------------------------|----------------------------|
|                   |                    | Deformación (µε)              |            | Deformación por tracción | Deformación por compresión |
|                   |                    | Vertical                      | Horizontal |                          |                            |
| 1                 | 0                  | -170.4                        | 265.80     | -130.80                  | 593.20                     |
| 2                 | 2                  | 86.51                         | -9.87      |                          |                            |
| 3                 | 4                  | 314.40                        | -294.70    |                          |                            |
| 4                 | 7                  | 593.30                        | -305.70    |                          |                            |
| 5                 | 14                 | 635.20                        | -362.60    |                          |                            |
| 6                 | 18                 | 593.20                        | -383.00    |                          |                            |
| 7                 | 60                 | 231.00                        | -124.10    |                          |                            |

| Punto de análisis | Profundidades (in) | Relación         |            |                          |                            |
|-------------------|--------------------|------------------|------------|--------------------------|----------------------------|
|                   |                    | Deformación (µε) |            | Deformación por tracción | Deformación por compresión |
|                   |                    | Vertical         | Horizontal |                          |                            |
| 1                 | 0                  | 1.634            | 1.493      | 3.32                     | 1.14                       |
| 2                 | 2                  | 1.228            | 0.620      |                          |                            |
| 3                 | 4                  | 1.555            | 1.474      |                          |                            |
| 4                 | 7                  | 1.503            | 1.438      |                          |                            |
| 5                 | 14                 | 1.242            | 1.180      |                          |                            |
| 6                 | 18                 | 1.144            | 1.096      |                          |                            |
| 7                 | 60                 | 0.910            | 0.936      |                          |                            |

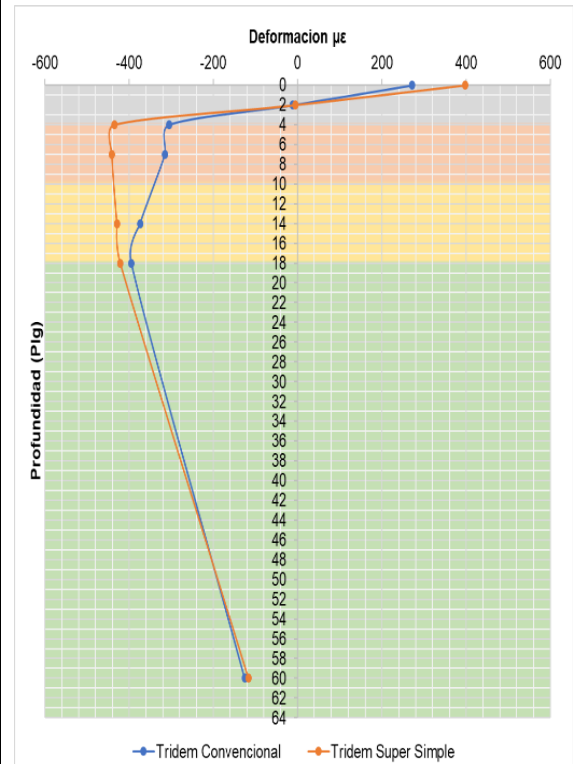


### T3S3 N° 20

| Punto de análisis | Profundidades (in) | T3S3 N°20 Tridem Super Simple |            |                          |                            |
|-------------------|--------------------|-------------------------------|------------|--------------------------|----------------------------|
|                   |                    | Deformación (µε)              |            | Deformación por tracción | Deformación por compresión |
|                   |                    | Vertical                      | Horizontal |                          |                            |
| 1                 | 0                  | -279.40                       | 397.60     | -434.900                 | 680.20                     |
| 2                 | 2                  | 106.10                        | -6.03      |                          |                            |
| 3                 | 4                  | 489.70                        | -434.90    |                          |                            |
| 4                 | 7                  | 894.20                        | -440.60    |                          |                            |
| 5                 | 14                 | 791.10                        | -428.90    |                          |                            |
| 6                 | 18                 | 680.20                        | -420.80    |                          |                            |
| 7                 | 60                 | 210.80                        | -116.40    |                          |                            |

| Punto de análisis | Profundidades (in) | T3S3 N°20 Tridem Convencional |            |                          |                            |
|-------------------|--------------------|-------------------------------|------------|--------------------------|----------------------------|
|                   |                    | Deformación (µε)              |            | Deformación por tracción | Deformación por compresión |
|                   |                    | Vertical                      | Horizontal |                          |                            |
| 1                 | 0                  | -170.9                        | 272.20     | -139.90                  | 610.20                     |
| 2                 | 2                  | 92.23                         | -11.31     |                          |                            |
| 3                 | 4                  | 324.40                        | -304.80    |                          |                            |
| 4                 | 7                  | 608.50                        | -315.30    |                          |                            |
| 5                 | 14                 | 652.90                        | -374.10    |                          |                            |
| 6                 | 18                 | 610.20                        | -394.60    |                          |                            |
| 7                 | 60                 | 235.40                        | -125.80    |                          |                            |

| Punto de análisis | Profundidades (in) | Relación         |            |                          |                            |
|-------------------|--------------------|------------------|------------|--------------------------|----------------------------|
|                   |                    | Deformación (µε) |            | Deformación por tracción | Deformación por compresión |
|                   |                    | Vertical         | Horizontal |                          |                            |
| 1                 | 0                  | 1.635            | 1.461      | 3.11                     | 1.11                       |
| 2                 | 2                  | 1.150            | 0.533      |                          |                            |
| 3                 | 4                  | 1.510            | 1.427      |                          |                            |
| 4                 | 7                  | 1.470            | 1.397      |                          |                            |
| 5                 | 14                 | 1.212            | 1.146      |                          |                            |
| 6                 | 18                 | 1.115            | 1.066      |                          |                            |
| 7                 | 60                 | 0.895            | 0.925      |                          |                            |

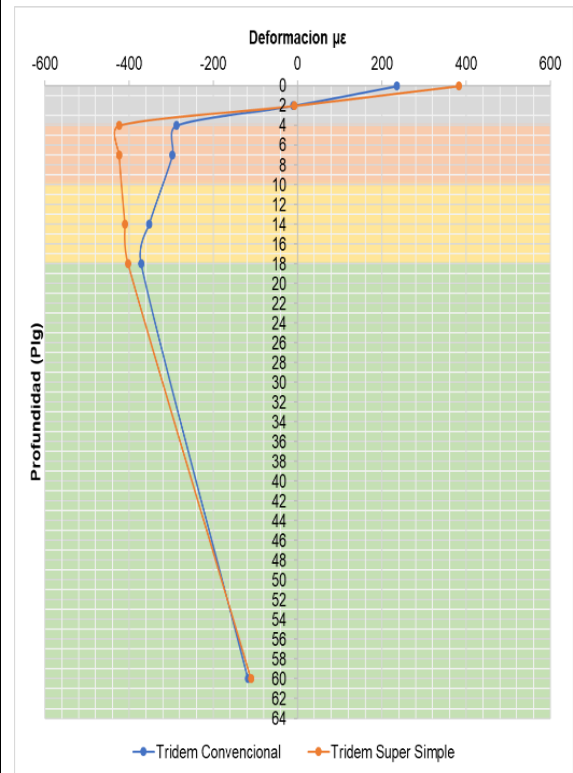


## T3S3 N° 21

| Punto de análisis | Profundidades (in) | T3S3 N°21 Tridem Super Simple |            |                          |                            |
|-------------------|--------------------|-------------------------------|------------|--------------------------|----------------------------|
|                   |                    | Deformación (µε)              |            | Deformación por tracción | Deformación por compresión |
|                   |                    | Vertical                      | Horizontal |                          |                            |
| 1                 | 0                  | -263.3                        | 382.70     | -424.100                 | 647.70                     |
| 2                 | 2                  | 107.30                        | -7.58      |                          |                            |
| 3                 | 4                  | 475.50                        | -424.10    |                          |                            |
| 4                 | 7                  | 854.80                        | -423.70    |                          |                            |
| 5                 | 14                 | 752.20                        | -410.20    |                          |                            |
| 6                 | 18                 | 647.70                        | -402.50    |                          |                            |
| 7                 | 60                 | 201.60                        | -110.60    |                          |                            |

| Punto de análisis | Profundidades (in) | T3S3 N°21 Tridem Convencional |            |                          |                            |
|-------------------|--------------------|-------------------------------|------------|--------------------------|----------------------------|
|                   |                    | Deformación (µε)              |            | Deformación por tracción | Deformación por compresión |
|                   |                    | Vertical                      | Horizontal |                          |                            |
| 1                 | 0                  | -175.0                        | 235.60     | -132.90                  | 574.80                     |
| 2                 | 2                  | 87.56                         | -10.90     |                          |                            |
| 3                 | 4                  | 305.80                        | -287.50    |                          |                            |
| 4                 | 7                  | 572.70                        | -297.20    |                          |                            |
| 5                 | 14                 | 614.90                        | -352.60    |                          |                            |
| 6                 | 18                 | 574.80                        | -371.80    |                          |                            |
| 7                 | 60                 | 221.30                        | -118.10    |                          |                            |

| Punto de análisis | Profundidades (in) | Relación         |            |                          |                            |
|-------------------|--------------------|------------------|------------|--------------------------|----------------------------|
|                   |                    | Deformación (µε) |            | Deformación por tracción | Deformación por compresión |
|                   |                    | Vertical         | Horizontal |                          |                            |
| 1                 | 0                  | 1.505            | 1.624      | 3.19                     | 1.13                       |
| 2                 | 2                  | 1.225            | 0.695      |                          |                            |
| 3                 | 4                  | 1.555            | 1.475      |                          |                            |
| 4                 | 7                  | 1.493            | 1.426      |                          |                            |
| 5                 | 14                 | 1.223            | 1.163      |                          |                            |
| 6                 | 18                 | 1.127            | 1.083      |                          |                            |
| 7                 | 60                 | 0.911            | 0.936      |                          |                            |

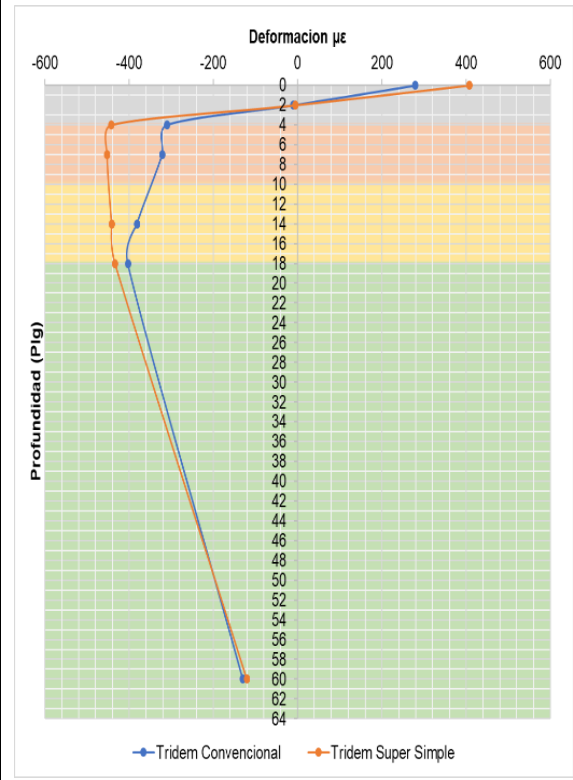


## T3S3 N° 22

| Punto de análisis | Profundidades (in) | T3S3 N°22 Tridem Super Simple |            |                          |                            |
|-------------------|--------------------|-------------------------------|------------|--------------------------|----------------------------|
|                   |                    | Deformación (µε)              |            | Deformación por tracción | Deformación por compresión |
|                   |                    | Vertical                      | Horizontal |                          |                            |
| 1                 | 0                  | -290.00                       | 407.50     | -441.900                 | 702.40                     |
| 2                 | 2                  | 105.20                        | -4.94      |                          |                            |
| 3                 | 4                  | 499.00                        | -441.90    |                          |                            |
| 4                 | 7                  | 920.50                        | -451.80    |                          |                            |
| 5                 | 14                 | 817.50                        | -441.40    |                          |                            |
| 6                 | 18                 | 702.40                        | -433.20    |                          |                            |
| 7                 | 60                 | 216.90                        | -120.30    |                          |                            |

| Punto de análisis | Profundidades (in) | T3S3 N°22 Tridem Convencional |            |                          |                            |
|-------------------|--------------------|-------------------------------|------------|--------------------------|----------------------------|
|                   |                    | Deformación (µε)              |            | Deformación por tracción | Deformación por compresión |
|                   |                    | Vertical                      | Horizontal |                          |                            |
| 1                 | 0                  | -                             | 279.30     | -138.40                  | 623.70                     |
| 2                 | 2                  | 178.50                        | -10.55     |                          |                            |
| 3                 | 4                  | 91.45                         | -310.10    |                          |                            |
| 4                 | 7                  | 330.70                        | -321.50    |                          |                            |
| 5                 | 14                 | 623.50                        | -381.40    |                          |                            |
| 6                 | 18                 | 667.70                        | -402.80    |                          |                            |
| 7                 | 60                 | 623.70                        | -402.80    |                          |                            |

| Punto de análisis | Profundidades (in) | Relación         |            |                          |                            |
|-------------------|--------------------|------------------|------------|--------------------------|----------------------------|
|                   |                    | Deformación (µε) |            | Deformación por tracción | Deformación por compresión |
|                   |                    | Vertical         | Horizontal |                          |                            |
| 1                 | 0                  | 1.625            | 1.459      | 3.19                     | 1.13                       |
| 2                 | 2                  | 1.150            | 0.468      |                          |                            |
| 3                 | 4                  | 1.509            | 1.425      |                          |                            |
| 4                 | 7                  | 1.476            | 1.405      |                          |                            |
| 5                 | 14                 | 1.224            | 1.157      |                          |                            |
| 6                 | 18                 | 1.126            | 1.075      |                          |                            |
| 7                 | 60                 | 0.894            | 0.925      |                          |                            |

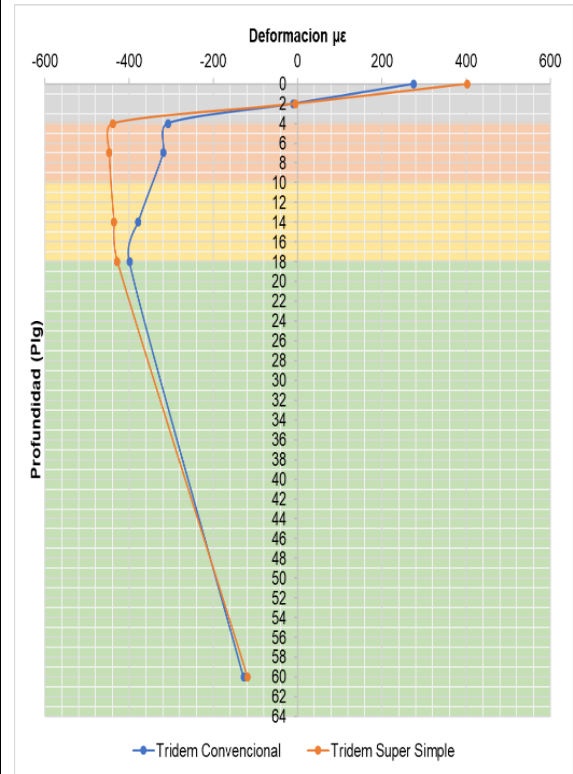


### T3S3 N° 23

| Punto de análisis | Profundidades (in) | T3S3 N°23 Tridem Super Simple |            |                          |                            |
|-------------------|--------------------|-------------------------------|------------|--------------------------|----------------------------|
|                   |                    | Deformación (µε)              |            | Deformación por tracción | Deformación por compresión |
|                   |                    | Vertical                      | Horizontal |                          |                            |
| 1                 | 0                  | -285.50                       | 403.40     | -439.000                 | 693.10                     |
| 2                 | 2                  | 105.60                        | -5.38      |                          |                            |
| 3                 | 4                  | 495.10                        | -439.00    |                          |                            |
| 4                 | 7                  | 909.60                        | -447.10    |                          |                            |
| 5                 | 14                 | 806.40                        | -436.20    |                          |                            |
| 6                 | 18                 | 693.10                        | -428.00    |                          |                            |
| 7                 | 60                 | 214.40                        | -118.70    |                          |                            |

| Punto de análisis | Profundidades (in) | T3S3 N°23 Tridem Convencional |            |                          |                            |
|-------------------|--------------------|-------------------------------|------------|--------------------------|----------------------------|
|                   |                    | Deformación (µε)              |            | Deformación por tracción | Deformación por compresión |
|                   |                    | Vertical                      | Horizontal |                          |                            |
| 1                 | 0                  | -174.9                        | 276.00     | -139.10                  | 617.40                     |
| 2                 | 2                  | 91.81                         | -10.90     |                          |                            |
| 3                 | 4                  | 327.80                        | -307.70    |                          |                            |
| 4                 | 7                  | 616.50                        | -318.60    |                          |                            |
| 5                 | 14                 | 660.80                        | -378.00    |                          |                            |
| 6                 | 18                 | 617.40                        | -399.00    |                          |                            |
| 7                 | 60                 | 239.20                        | -128.10    |                          |                            |

| Punto de análisis | Profundidades (in) | Relación         |            |                          |                            |
|-------------------|--------------------|------------------|------------|--------------------------|----------------------------|
|                   |                    | Deformación (µε) |            | Deformación por tracción | Deformación por compresión |
|                   |                    | Vertical         | Horizontal |                          |                            |
| 1                 | 0                  | 1.632            | 1.462      | 3.16                     | 1.12                       |
| 2                 | 2                  | 1.150            | 0.493      |                          |                            |
| 3                 | 4                  | 1.510            | 1.427      |                          |                            |
| 4                 | 7                  | 1.475            | 1.403      |                          |                            |
| 5                 | 14                 | 1.220            | 1.154      |                          |                            |
| 6                 | 18                 | 1.123            | 1.073      |                          |                            |
| 7                 | 60                 | 0.896            | 0.927      |                          |                            |

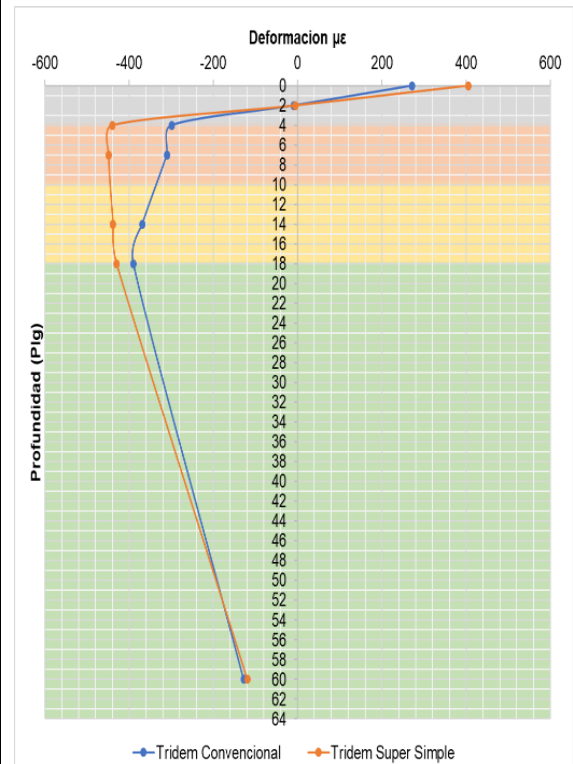


### T3S3 N° 24

| Punto de análisis | Profundidades (in) | T3S3 N°24 Tridem Super Simple |            |                          |                            |
|-------------------|--------------------|-------------------------------|------------|--------------------------|----------------------------|
|                   |                    | Deformación (µε)              |            | Deformación por tracción | Deformación por compresión |
|                   |                    | Vertical                      | Horizontal |                          |                            |
| 1                 | 0                  | -287.30                       | 405.10     | -440.200                 | 696.80                     |
| 2                 | 2                  | 105.40                        | -5.20      |                          |                            |
| 3                 | 4                  | 496.70                        | -440.20    |                          |                            |
| 4                 | 7                  | 914.00                        | -449.00    |                          |                            |
| 5                 | 14                 | 810.80                        | -438.30    |                          |                            |
| 6                 | 18                 | 696.80                        | -430.10    |                          |                            |
| 7                 | 60                 | 215.40                        | -119.30    |                          |                            |

| Punto de análisis | Profundidades (in) | T3S3 N°24 Tridem Convencional |            |                          |                            |
|-------------------|--------------------|-------------------------------|------------|--------------------------|----------------------------|
|                   |                    | Deformación (µε)              |            | Deformación por tracción | Deformación por compresión |
|                   |                    | Vertical                      | Horizontal |                          |                            |
| 1                 | 0                  | -176.5                        | 271.60     | -129.40                  | 604.00                     |
| 2                 | 2                  | 85.79                         | -9.21      |                          |                            |
| 3                 | 4                  | 319.50                        | -298.90    |                          |                            |
| 4                 | 7                  | 605.40                        | -310.70    |                          |                            |
| 5                 | 14                 | 647.10                        | -368.40    |                          |                            |
| 6                 | 18                 | 604.00                        | -389.50    |                          |                            |
| 7                 | 60                 | 236.70                        | -127.60    |                          |                            |

| Punto de análisis | Profundidades (in) | Relación         |            |                          |                            |
|-------------------|--------------------|------------------|------------|--------------------------|----------------------------|
|                   |                    | Deformación (µε) |            | Deformación por tracción | Deformación por compresión |
|                   |                    | Vertical         | Horizontal |                          |                            |
| 1                 | 0                  | 1.628            | 1.492      | 3.40                     | 1.15                       |
| 2                 | 2                  | 1.229            | 0.565      |                          |                            |
| 3                 | 4                  | 1.555            | 1.473      |                          |                            |
| 4                 | 7                  | 1.510            | 1.445      |                          |                            |
| 5                 | 14                 | 1.253            | 1.190      |                          |                            |
| 6                 | 18                 | 1.154            | 1.104      |                          |                            |
| 7                 | 60                 | 0.910            | 0.935      |                          |                            |



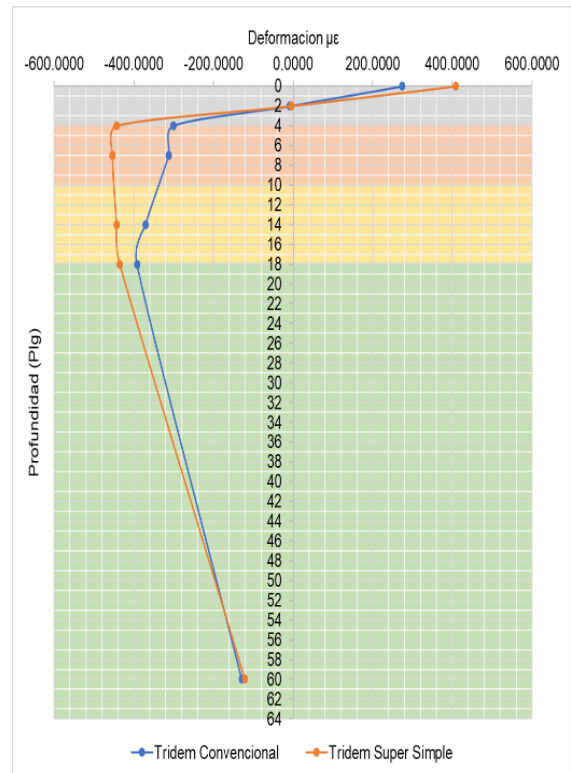


### T3S3 N° 25

| Punto de análisis | Profundidades (in) | T3S3 N°25 Tridem Super Simple |            |                          |                            |
|-------------------|--------------------|-------------------------------|------------|--------------------------|----------------------------|
|                   |                    | Deformación (µε)              |            | Deformación por tracción | Deformación por compresión |
|                   |                    | Vertical                      | Horizontal |                          |                            |
| 1                 | 0                  | -291.70                       | 409.20     | -443.100                 | 706.10                     |
| 2                 | 2                  | 105.10                        | -4.77      |                          |                            |
| 3                 | 4                  | 500.50                        | -443.10    |                          |                            |
| 4                 | 7                  | 924.90                        | -453.60    |                          |                            |
| 5                 | 14                 | 821.90                        | -443.50    |                          |                            |
| 6                 | 18                 | 706.10                        | -435.30    |                          |                            |
| 7                 | 60                 | 218.00                        | -121.00    |                          |                            |

| Punto de análisis | Profundidades (in) | T3S3 N°25 Tridem Convencional |            |                          |                            |
|-------------------|--------------------|-------------------------------|------------|--------------------------|----------------------------|
|                   |                    | Deformación (µε)              |            | Deformación por tracción | Deformación por compresión |
|                   |                    | Vertical                      | Horizontal |                          |                            |
| 1                 | 0                  | -179.1                        | 274.00     | -128.80                  | 608.50                     |
| 2                 | 2                  | 85.54                         | -8.96      |                          |                            |
| 3                 | 4                  | 321.60                        | -300.70    |                          |                            |
| 4                 | 7                  | 610.50                        | -312.80    |                          |                            |
| 5                 | 14                 | 652.20                        | -370.80    |                          |                            |
| 6                 | 18                 | 608.50                        | -392.10    |                          |                            |
| 7                 | 60                 | 239.10                        | -129.10    |                          |                            |

| Punto de análisis | Profundidades (in) | Relación         |            |                          |                            |
|-------------------|--------------------|------------------|------------|--------------------------|----------------------------|
|                   |                    | Deformación (µε) |            | Deformación por tracción | Deformación por compresión |
|                   |                    | Vertical         | Horizontal |                          |                            |
| 1                 | 0                  | 1.629            | 1.493      | 3.44                     | 1.16                       |
| 2                 | 2                  | 1.229            | 0.532      |                          |                            |
| 3                 | 4                  | 1.556            | 1.474      |                          |                            |
| 4                 | 7                  | 1.515            | 1.450      |                          |                            |
| 5                 | 14                 | 1.260            | 1.196      |                          |                            |
| 6                 | 18                 | 1.160            | 1.110      |                          |                            |
| 7                 | 60                 | 0.912            | 0.937      |                          |                            |

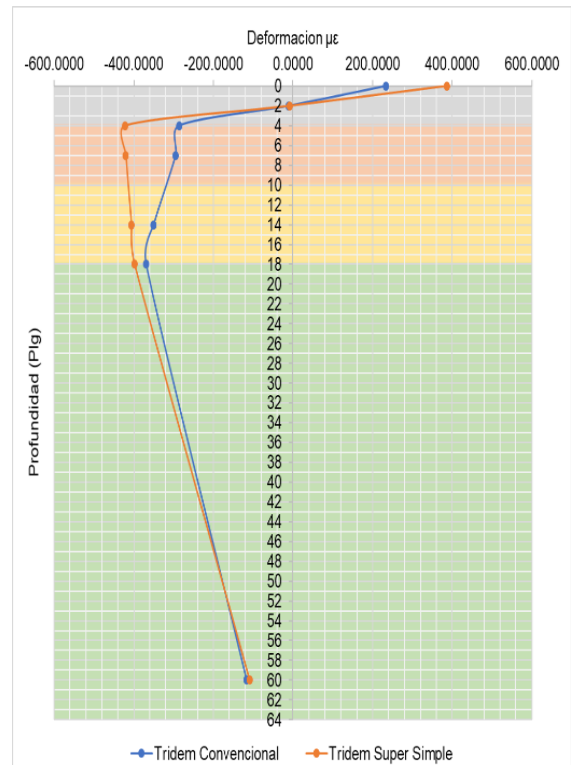


### T3S3 N° 26

| Punto de análisis | Profundidades (in) | T3S3 N°26 Tridem Super Simple |            |                          |                            |
|-------------------|--------------------|-------------------------------|------------|--------------------------|----------------------------|
|                   |                    | Deformación (µε)              |            | Deformación por tracción | Deformación por compresión |
|                   |                    | Vertical                      | Horizontal |                          |                            |
| 1                 | 0                  | -261.60                       | 386.50     | -421.600                 | 640.60                     |
| 2                 | 2                  | 107.50                        | -7.92      |                          |                            |
| 3                 | 4                  | 472.30                        | -421.60    |                          |                            |
| 4                 | 7                  | 846.00                        | -419.90    |                          |                            |
| 5                 | 14                 | 743.70                        | -406.00    |                          |                            |
| 6                 | 18                 | 640.60                        | -398.40    |                          |                            |
| 7                 | 60                 | 199.50                        | -109.30    |                          |                            |

| Punto de análisis | Profundidades (in) | T3S3 N°26 Tridem Convencional |            |                          |                            |
|-------------------|--------------------|-------------------------------|------------|--------------------------|----------------------------|
|                   |                    | Deformación (µε)              |            | Deformación por tracción | Deformación por compresión |
|                   |                    | Vertical                      | Horizontal |                          |                            |
| 1                 | 0                  | -172.8                        | 233.50     | -133.50                  | 570.50                     |
| 2                 | 2                  | 87.81                         | -11.14     |                          |                            |
| 3                 | 4                  | 303.70                        | -285.80    |                          |                            |
| 4                 | 7                  | 568.00                        | -295.30    |                          |                            |
| 5                 | 14                 | 610.20                        | -350.20    |                          |                            |
| 6                 | 18                 | 570.50                        | -369.20    |                          |                            |
| 7                 | 60                 | 219.10                        | -116.70    |                          |                            |

| Punto de análisis | Profundidades (in) | Relación         |            |                          |                            |
|-------------------|--------------------|------------------|------------|--------------------------|----------------------------|
|                   |                    | Deformación (µε) |            | Deformación por tracción | Deformación por compresión |
|                   |                    | Vertical         | Horizontal |                          |                            |
| 1                 | 0                  | 1.514            | 1.655      | 3.16                     | 1.12                       |
| 2                 | 2                  | 1.224            | 0.711      |                          |                            |
| 3                 | 4                  | 1.555            | 1.475      |                          |                            |
| 4                 | 7                  | 1.489            | 1.422      |                          |                            |
| 5                 | 14                 | 1.219            | 1.159      |                          |                            |
| 6                 | 18                 | 1.123            | 1.079      |                          |                            |
| 7                 | 60                 | 0.911            | 0.937      |                          |                            |

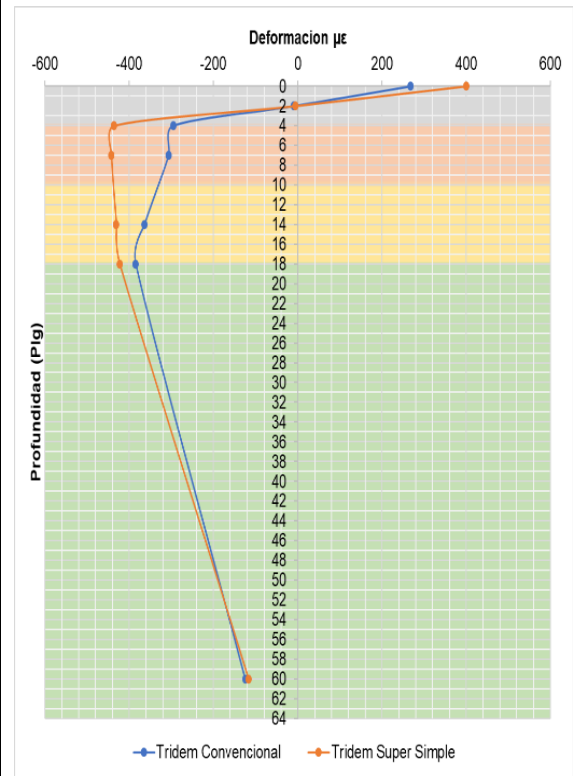


### T3S3 N° 27

| Punto de análisis | Profundidades (in) | T3S3 N°27 Tridem Super Simple |            |                          |                            |
|-------------------|--------------------|-------------------------------|------------|--------------------------|----------------------------|
|                   |                    | Deformación (µε)              |            | Deformación por tracción | Deformación por compresión |
|                   |                    | Vertical                      | Horizontal |                          |                            |
| 1                 | 0                  | -281.10                       | 399.30     | -436.100                 | 683.90                     |
| 2                 | 2                  | 106.00                        | -5.86      |                          |                            |
| 3                 | 4                  | 491.20                        | -436.10    |                          |                            |
| 4                 | 7                  | 898.60                        | -442.40    |                          |                            |
| 5                 | 14                 | 795.50                        | -430.90    |                          |                            |
| 6                 | 18                 | 683.90                        | -422.90    |                          |                            |
| 7                 | 60                 | 211.80                        | -117.10    |                          |                            |

| Punto de análisis | Profundidades (in) | T3S3 N°27 Tridem Convencional |            |                          |                            |
|-------------------|--------------------|-------------------------------|------------|--------------------------|----------------------------|
|                   |                    | Deformación (µε)              |            | Deformación por tracción | Deformación por compresión |
|                   |                    | Vertical                      | Horizontal |                          |                            |
| 1                 | 0                  | -172.4                        | 241.30     | -130.40                  | 596.00                     |
| 2                 | 2                  | 93.72                         | -12.75     |                          |                            |
| 3                 | 4                  | 312.30                        | -294.80    |                          |                            |
| 4                 | 7                  | 580.50                        | -303.70    |                          |                            |
| 5                 | 14                 | 625.30                        | -360.20    |                          |                            |
| 6                 | 18                 | 585.00                        | -379.00    |                          |                            |
| 7                 | 60                 | 222.20                        | -117.60    |                          |                            |

| Punto de análisis | Profundidades (in) | Relación         |            |                          |                            |
|-------------------|--------------------|------------------|------------|--------------------------|----------------------------|
|                   |                    | Deformación (µε) |            | Deformación por tracción | Deformación por compresión |
|                   |                    | Vertical         | Horizontal |                          |                            |
| 1                 | 0                  | 1.634            | 1.494      | 3.34                     | 1.15                       |
| 2                 | 2                  | 1.228            | 0.604      |                          |                            |
| 3                 | 4                  | 1.555            | 1.474      |                          |                            |
| 4                 | 7                  | 1.506            | 1.441      |                          |                            |
| 5                 | 14                 | 1.246            | 1.183      |                          |                            |
| 6                 | 18                 | 1.147            | 1.099      |                          |                            |
| 7                 | 60                 | 0.911            | 0.937      |                          |                            |

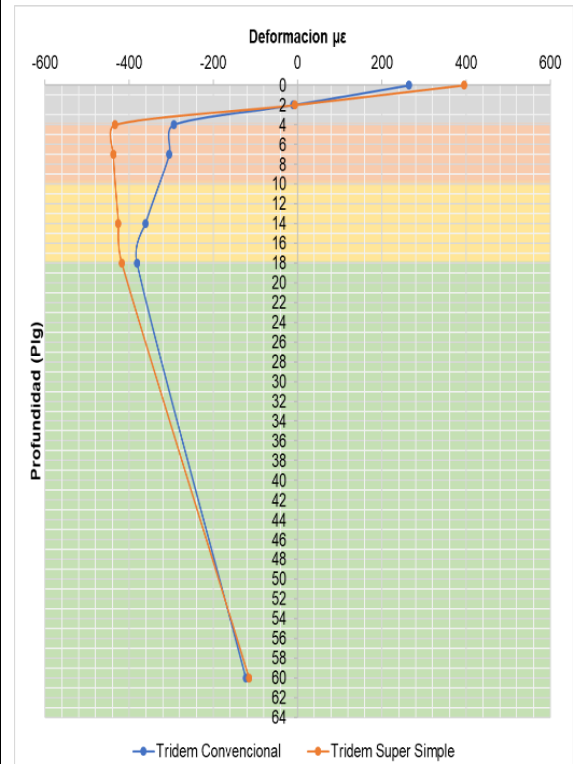


### T3S3 N° 28

| Punto de análisis | Profundidades (in) | T3S3 N°28 Tridem Super Simple |            |                          |                            |
|-------------------|--------------------|-------------------------------|------------|--------------------------|----------------------------|
|                   |                    | Deformación (µε)              |            | Deformación por tracción | Deformación por compresión |
|                   |                    | Vertical                      | Horizontal |                          |                            |
| 1                 | 0                  | -276.70                       | 395.20     | -433.100                 | 674.70                     |
| 2                 | 2                  | 106.30                        | -6.29      |                          |                            |
| 3                 | 4                  | 487.30                        | -433.10    |                          |                            |
| 4                 | 7                  | 887.60                        | -437.80    |                          |                            |
| 5                 | 14                 | 784.50                        | -425.70    |                          |                            |
| 6                 | 18                 | 674.70                        | -417.80    |                          |                            |
| 7                 | 60                 | 209.20                        | -115.40    |                          |                            |

| Punto de análisis | Profundidades (in) | T3S3 N°28 Tridem Convencional |            |                          |                            |
|-------------------|--------------------|-------------------------------|------------|--------------------------|----------------------------|
|                   |                    | Deformación (µε)              |            | Deformación por tracción | Deformación por compresión |
|                   |                    | Vertical                      | Horizontal |                          |                            |
| 1                 | 0                  | -169.1                        | 264.60     | -131.00                  | 590.90                     |
| 2                 | 2                  | 86.63                         | -9.99      |                          |                            |
| 3                 | 4                  | 313.40                        | -293.80    |                          |                            |
| 4                 | 7                  | 590.70                        | -304.60    |                          |                            |
| 5                 | 14                 | 632.60                        | -361.30    |                          |                            |
| 6                 | 18                 | 590.90                        | -381.60    |                          |                            |
| 7                 | 60                 | 229.80                        | -123.30    |                          |                            |

| Punto de análisis | Profundidades (in) | Relación         |            |                          |                            |
|-------------------|--------------------|------------------|------------|--------------------------|----------------------------|
|                   |                    | Deformación (µε) |            | Deformación por tracción | Deformación por compresión |
|                   |                    | Vertical         | Horizontal |                          |                            |
| 1                 | 0                  | 1.636            | 1.494      | 3.31                     | 1.14                       |
| 2                 | 2                  | 1.227            | 0.629      |                          |                            |
| 3                 | 4                  | 1.555            | 1.474      |                          |                            |
| 4                 | 7                  | 1.503            | 1.437      |                          |                            |
| 5                 | 14                 | 1.240            | 1.178      |                          |                            |
| 6                 | 18                 | 1.142            | 1.095      |                          |                            |
| 7                 | 60                 | 0.910            | 0.936      |                          |                            |

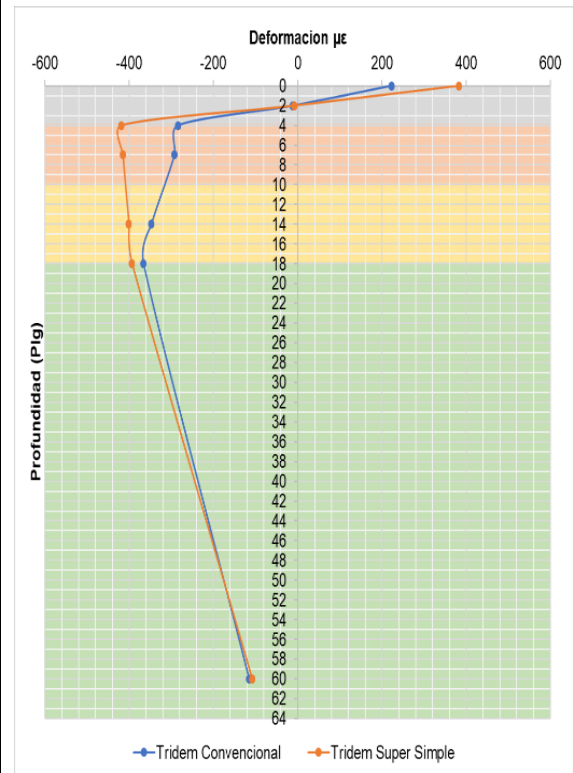


### T3S3 N° 29

| Punto de análisis | Profundidades (in) | T3S3 N°29 Tridem Super Simple |            |                          |                            |
|-------------------|--------------------|-------------------------------|------------|--------------------------|----------------------------|
|                   |                    | Deformación (µε)              |            | Deformación por tracción | Deformación por compresión |
|                   |                    | Vertical                      | Horizontal |                          |                            |
| 1                 | 0                  | -257.10                       | 382.20     | -418.600                 | 631.70                     |
| 2                 | 2                  | 107.90                        | -8.35      |                          |                            |
| 3                 | 4                  | 468.20                        | -418.60    |                          |                            |
| 4                 | 7                  | 835.10                        | -415.20    |                          |                            |
| 5                 | 14                 | 733.20                        | -400.90    |                          |                            |
| 6                 | 18                 | 631.70                        | -393.30    |                          |                            |
| 7                 | 60                 | 197.00                        | -107.70    |                          |                            |

| Punto de análisis | Profundidades (in) | T3S3 N°29 Tridem Convencional |            |                          |                            |
|-------------------|--------------------|-------------------------------|------------|--------------------------|----------------------------|
|                   |                    | Deformación (µε)              |            | Deformación por tracción | Deformación por compresión |
|                   |                    | Vertical                      | Horizontal |                          |                            |
| 1                 | 0                  | -167.7                        | 222.30     | -134.10                  | 565.20                     |
| 2                 | 2                  | 88.13                         | -11.45     |                          |                            |
| 3                 | 4                  | 301.10                        | -283.70    |                          |                            |
| 4                 | 7                  | 562.10                        | -292.80    |                          |                            |
| 5                 | 14                 | 604.40                        | -347.30    |                          |                            |
| 6                 | 18                 | 565.20                        | -365.90    |                          |                            |
| 7                 | 60                 | 216.20                        | -114.90    |                          |                            |

| Punto de análisis | Profundidades (in) | Relación         |            |                          |                            |
|-------------------|--------------------|------------------|------------|--------------------------|----------------------------|
|                   |                    | Deformación (µε) |            | Deformación por tracción | Deformación por compresión |
|                   |                    | Vertical         | Horizontal |                          |                            |
| 1                 | 0                  | 1.533            | 1.719      | 3.12                     | 1.12                       |
| 2                 | 2                  | 1.224            | 0.729      |                          |                            |
| 3                 | 4                  | 1.555            | 1.476      |                          |                            |
| 4                 | 7                  | 1.486            | 1.418      |                          |                            |
| 5                 | 14                 | 1.213            | 1.154      |                          |                            |
| 6                 | 18                 | 1.118            | 1.075      |                          |                            |
| 7                 | 60                 | 0.911            | 0.937      |                          |                            |

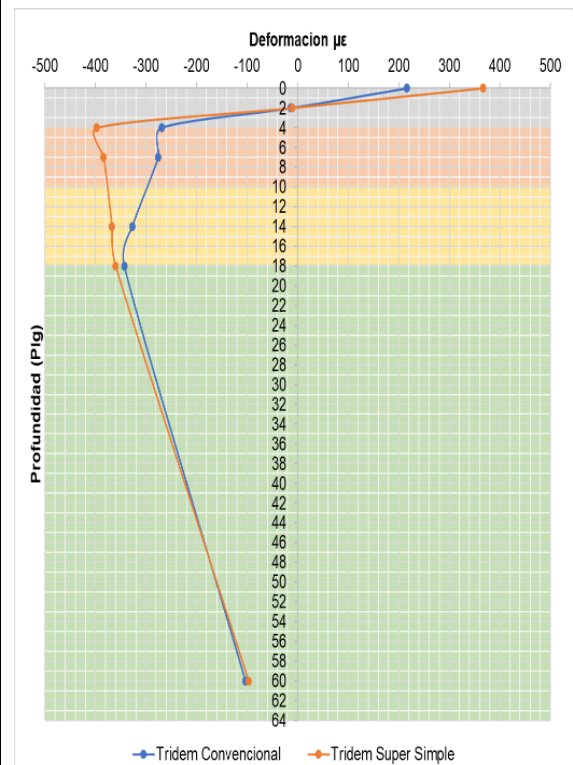


### T3S3 N° 30

| Punto de análisis | Profundidades (in) | T3S3 N°30 Tridem Super Simple |            |                          |                            |
|-------------------|--------------------|-------------------------------|------------|--------------------------|----------------------------|
|                   |                    | Deformación (µε)              |            | Deformación por tracción | Deformación por compresión |
|                   |                    | Vertical                      | Horizontal |                          |                            |
| 1                 | 0                  | -228.60                       | 366.50     | -397.500                 | 574.90                     |
| 2                 | 2                  | 110.10                        | -11.14     |                          |                            |
| 3                 | 4                  | 441.00                        | -397.50    |                          |                            |
| 4                 | 7                  | 763.40                        | -384.00    |                          |                            |
| 5                 | 14                 | 665.10                        | -367.40    |                          |                            |
| 6                 | 18                 | 574.90                        | -360.40    |                          |                            |
| 7                 | 60                 | 180.20                        | -97.31     |                          |                            |

| Punto de análisis | Profundidades (in) | T3S3 N°30 Tridem Convencional |            |                          |                            |
|-------------------|--------------------|-------------------------------|------------|--------------------------|----------------------------|
|                   |                    | Deformación (µε)              |            | Deformación por tracción | Deformación por compresión |
|                   |                    | Vertical                      | Horizontal |                          |                            |
| 1                 | 0                  | -150.5                        | 216.40     | -137.80                  | 528.80                     |
| 2                 | 2                  | 90.33                         | -13.55     |                          |                            |
| 3                 | 4                  | 283.50                        | -269.10    |                          |                            |
| 4                 | 7                  | 522.10                        | -276.00    |                          |                            |
| 5                 | 14                 | 564.80                        | -326.90    |                          |                            |
| 6                 | 18                 | 528.80                        | -342.90    |                          |                            |
| 7                 | 60                 | 197.10                        | -103.30    |                          |                            |

| Punto de análisis | Profundidades (in) | Relación         |            |                          |                            |
|-------------------|--------------------|------------------|------------|--------------------------|----------------------------|
|                   |                    | Deformación (µε) |            | Deformación por tracción | Deformación por compresión |
|                   |                    | Vertical         | Horizontal |                          |                            |
| 1                 | 0                  | 1.519            | 1.694      | 2.88                     | 1.09                       |
| 2                 | 2                  | 1.219            | 0.822      |                          |                            |
| 3                 | 4                  | 1.556            | 1.477      |                          |                            |
| 4                 | 7                  | 1.462            | 1.391      |                          |                            |
| 5                 | 14                 | 1.178            | 1.124      |                          |                            |
| 6                 | 18                 | 1.087            | 1.051      |                          |                            |
| 7                 | 60                 | 0.914            | 0.942      |                          |                            |

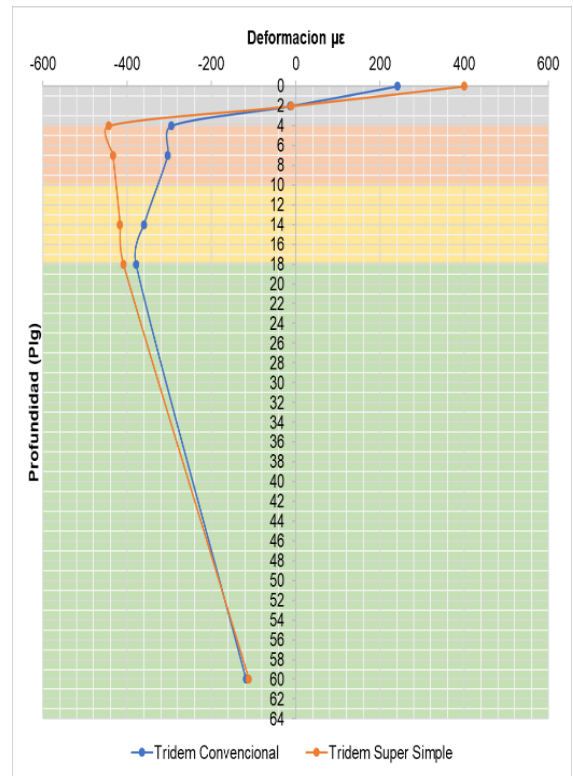


### T3S3 N° 31

| Punto de análisis | Profundidades (in) | T3S3 N°31 Tridem Super Simple |            |                          |                            |
|-------------------|--------------------|-------------------------------|------------|--------------------------|----------------------------|
|                   |                    | Deformación (µε)              |            | Deformación por tracción | Deformación por compresión |
|                   |                    | Vertical                      | Horizontal |                          |                            |
| 1                 | 0                  | -262.50                       | 400.20     | -444.300                 | 655.00                     |
| 2                 | 2                  | 118.90                        | -10.73     |                          |                            |
| 3                 | 4                  | 494.80                        | -444.30    |                          |                            |
| 4                 | 7                  | 868.30                        | -434.40    |                          |                            |
| 5                 | 14                 | 758.90                        | -417.30    |                          |                            |
| 6                 | 18                 | 655.00                        | -409.40    |                          |                            |
| 7                 | 60                 | 204.90                        | -111.30    |                          |                            |

| Punto de análisis | Profundidades (in) | T3S3 N°31 Tridem Convencional |            |                          |                            |
|-------------------|--------------------|-------------------------------|------------|--------------------------|----------------------------|
|                   |                    | Deformación (µε)              |            | Deformación por tracción | Deformación por compresión |
|                   |                    | Vertical                      | Horizontal |                          |                            |
| 1                 | 0                  | -172.4                        | 241.30     | -142.80                  | 585.00                     |
| 2                 | 2                  | 93.72                         | -12.75     |                          |                            |
| 3                 | 4                  | 312.30                        | -294.80    |                          |                            |
| 4                 | 7                  | 580.50                        | -303.70    |                          |                            |
| 5                 | 14                 | 625.30                        | -360.20    |                          |                            |
| 6                 | 18                 | 585.00                        | -379.00    |                          |                            |
| 7                 | 60                 | 222.20                        | -117.60    |                          |                            |

| Punto de análisis | Profundidades (in) | Relación         |            |                          |                            |
|-------------------|--------------------|------------------|------------|--------------------------|----------------------------|
|                   |                    | Deformación (µε) |            | Deformación por tracción | Deformación por compresión |
|                   |                    | Vertical         | Horizontal |                          |                            |
| 1                 | 0                  | 1.523            | 1.659      | 3.11                     | 1.12                       |
| 2                 | 2                  | 1.269            | 0.842      |                          |                            |
| 3                 | 4                  | 1.584            | 1.507      |                          |                            |
| 4                 | 7                  | 1.496            | 1.430      |                          |                            |
| 5                 | 14                 | 1.214            | 1.159      |                          |                            |
| 6                 | 18                 | 1.120            | 1.080      |                          |                            |
| 7                 | 60                 | 0.922            | 0.946      |                          |                            |

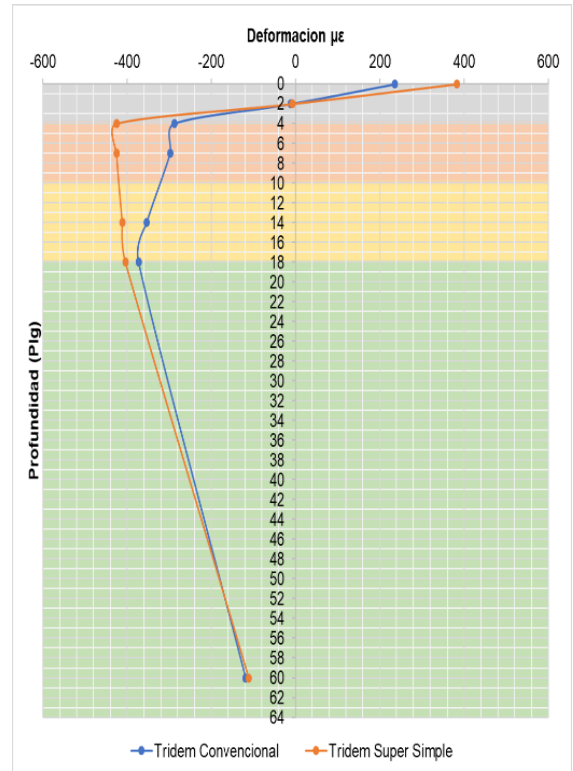


### T3S3 N° 32

| Punto de análisis | Profundidades (in) | T3S3 N°32 Tridem Super Simple |            |                          |                            |
|-------------------|--------------------|-------------------------------|------------|--------------------------|----------------------------|
|                   |                    | Deformación (µε)              |            | Deformación por tracción | Deformación por compresión |
|                   |                    | Vertical                      | Horizontal |                          |                            |
| 1                 | 0                  | -264.20                       | 383.50     | -424.700                 | 649.50                     |
| 2                 | 2                  | 107.20                        | -7.49      |                          |                            |
| 3                 | 4                  | 476.30                        | -424.70    |                          |                            |
| 4                 | 7                  | 857.00                        | -424.60    |                          |                            |
| 5                 | 14                 | 754.40                        | -411.20    |                          |                            |
| 6                 | 18                 | 649.50                        | -403.50    |                          |                            |
| 7                 | 60                 | 202.10                        | -110.90    |                          |                            |

| Punto de análisis | Profundidades (in) | T3S3 N°32 Tridem Convencional |            |                          |                            |
|-------------------|--------------------|-------------------------------|------------|--------------------------|----------------------------|
|                   |                    | Deformación (µε)              |            | Deformación por tracción | Deformación por compresión |
|                   |                    | Vertical                      | Horizontal |                          |                            |
| 1                 | 0                  | 175.30                        | 235.80     | -132.90                  | 575.30                     |
| 2                 | 2                  | 87.53                         | -10.87     |                          |                            |
| 3                 | 4                  | 306.00                        | -287.70    |                          |                            |
| 4                 | 7                  | 573.40                        | -297.50    |                          |                            |
| 5                 | 14                 | 615.50                        | -352.90    |                          |                            |
| 6                 | 18                 | 575.30                        | -372.20    |                          |                            |
| 7                 | 60                 | 221.60                        | -118.30    |                          |                            |

| Punto de análisis | Profundidades (in) | Relación         |            |                          |                            |
|-------------------|--------------------|------------------|------------|--------------------------|----------------------------|
|                   |                    | Deformación (µε) |            | Deformación por tracción | Deformación por compresión |
|                   |                    | Vertical         | Horizontal |                          |                            |
| 1                 | 0                  | 1.507            | 1.626      | 3.20                     | 1.13                       |
| 2                 | 2                  | 1.225            | 0.689      |                          |                            |
| 3                 | 4                  | 1.557            | 1.476      |                          |                            |
| 4                 | 7                  | 1.495            | 1.427      |                          |                            |
| 5                 | 14                 | 1.226            | 1.165      |                          |                            |
| 6                 | 18                 | 1.129            | 1.084      |                          |                            |
| 7                 | 60                 | 0.912            | 0.937      |                          |                            |

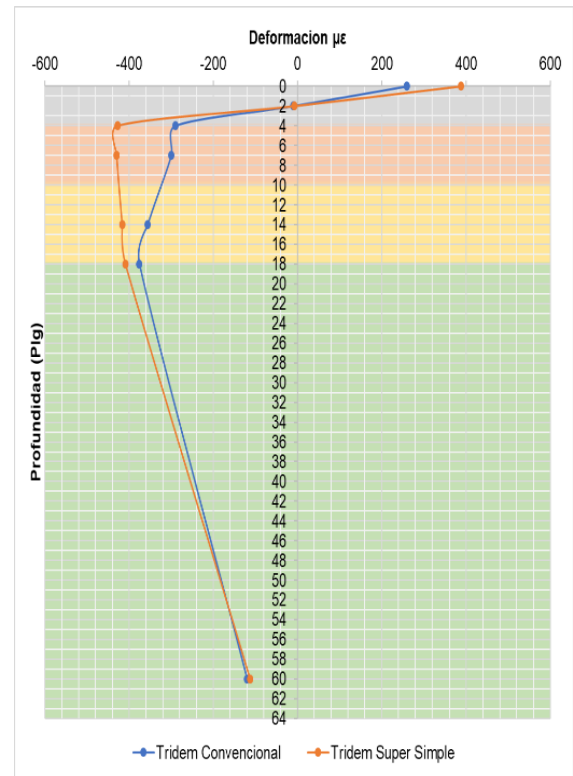


### T3S3 N° 33

| Punto de análisis | Profundidades (in) | T3S3 N°33 Tridem Super Simple |            |                          |                            |
|-------------------|--------------------|-------------------------------|------------|--------------------------|----------------------------|
|                   |                    | Deformación (µε)              |            | Deformación por tracción | Deformación por compresión |
|                   |                    | Vertical                      | Horizontal |                          |                            |
| 1                 | 0                  | -268.70                       | 387.70     | -427.700                 | 658.40                     |
| 2                 | 2                  | 106.90                        | -7.06      |                          |                            |
| 3                 | 4                  | 480.30                        | -427.70    |                          |                            |
| 4                 | 7                  | 867.90                        | -429.30    |                          |                            |
| 5                 | 14                 | 765.10                        | -416.40    |                          |                            |
| 6                 | 18                 | 658.40                        | -408.60    |                          |                            |
| 7                 | 60                 | 204.60                        | -112.50    |                          |                            |

| Punto de análisis | Profundidades (in) | T3S3 N°33 Tridem Convencional |            |                          |                            |
|-------------------|--------------------|-------------------------------|------------|--------------------------|----------------------------|
|                   |                    | Deformación (µε)              |            | Deformación por tracción | Deformación por compresión |
|                   |                    | Vertical                      | Horizontal |                          |                            |
| 1                 | 0                  | -163.6                        | 259.50     | -132.20                  | 581.10                     |
| 2                 | 2                  | 87.20                         | -10.54     |                          |                            |
| 3                 | 4                  | 308.80                        | -290.00    |                          |                            |
| 4                 | 7                  | 579.80                        | -300.10    |                          |                            |
| 5                 | 14                 | 621.80                        | -356.00    |                          |                            |
| 6                 | 18                 | 581.10                        | -375.70    |                          |                            |
| 7                 | 60                 | 224.60                        | -120.10    |                          |                            |

| Punto de análisis | Profundidades (in) | Relación         |            |                          |                            |
|-------------------|--------------------|------------------|------------|--------------------------|----------------------------|
|                   |                    | Deformación (µε) |            | Deformación por tracción | Deformación por compresión |
|                   |                    | Vertical         | Horizontal |                          |                            |
| 1                 | 0                  | 1.642            | 1.494      | 3.24                     | 1.13                       |
| 2                 | 2                  | 1.226            | 0.670      |                          |                            |
| 3                 | 4                  | 1.555            | 1.475      |                          |                            |
| 4                 | 7                  | 1.497            | 1.431      |                          |                            |
| 5                 | 14                 | 1.230            | 1.170      |                          |                            |
| 6                 | 18                 | 1.133            | 1.088      |                          |                            |
| 7                 | 60                 | 0.911            | 0.937      |                          |                            |

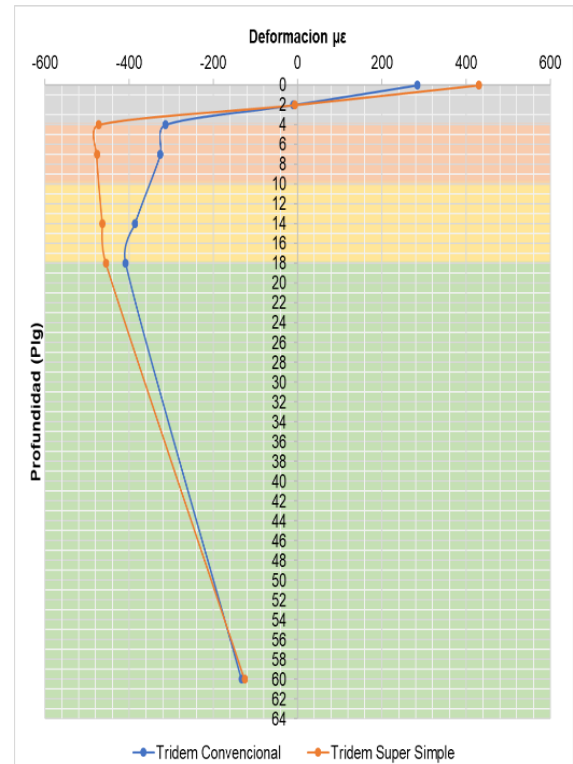


### T3S3 N° 34

| Punto de análisis | Profundidades (in) | T3S3 N°34 Tridem Super Simple |            |                          |                            |
|-------------------|--------------------|-------------------------------|------------|--------------------------|----------------------------|
|                   |                    | Deformación (µε)              |            | Deformación por tracción | Deformación por compresión |
|                   |                    | Vertical                      | Horizontal |                          |                            |
| 1                 | 0                  | -300.90                       | 430.20     | -471.900                 | 734.10                     |
| 2                 | 2                  | 116.00                        | -6.95      |                          |                            |
| 3                 | 4                  | 530.80                        | -471.90    |                          |                            |
| 4                 | 7                  | 965.90                        | -476.50    |                          |                            |
| 5                 | 14                 | 853.50                        | -463.30    |                          |                            |
| 6                 | 18                 | 734.10                        | -454.60    |                          |                            |
| 7                 | 60                 | 227.70                        | -125.60    |                          |                            |

| Punto de análisis | Profundidades (in) | T3S3 N°34 Tridem Convencional |            |                          |                            |
|-------------------|--------------------|-------------------------------|------------|--------------------------|----------------------------|
|                   |                    | Deformación (µε)              |            | Deformación por tracción | Deformación por compresión |
|                   |                    | Vertical                      | Horizontal |                          |                            |
| 1                 | 0                  | -183.4                        | 284.00     | -137.30                  | 632.50                     |
| 2                 | 2                  | 90.85                         | -10.01     |                          |                            |
| 3                 | 4                  | 334.90                        | -313.60    |                          |                            |
| 4                 | 7                  | 633.40                        | -325.60    |                          |                            |
| 5                 | 14                 | 677.50                        | -386.10    |                          |                            |
| 6                 | 18                 | 632.50                        | -408.10    |                          |                            |
| 7                 | 60                 | 247.20                        | -133.10    |                          |                            |

| Punto de análisis | Profundidades (in) | Relación         |            |                          |                            |
|-------------------|--------------------|------------------|------------|--------------------------|----------------------------|
|                   |                    | Deformación (µε) |            | Deformación por tracción | Deformación por compresión |
|                   |                    | Vertical         | Horizontal |                          |                            |
| 1                 | 0                  | 1.641            | 1.515      | 3.44                     | 1.16                       |
| 2                 | 2                  | 1.277            | 0.695      |                          |                            |
| 3                 | 4                  | 1.585            | 1.505      |                          |                            |
| 4                 | 7                  | 1.525            | 1.463      |                          |                            |
| 5                 | 14                 | 1.260            | 1.200      |                          |                            |
| 6                 | 18                 | 1.161            | 1.114      |                          |                            |
| 7                 | 60                 | 0.921            | 0.944      |                          |                            |

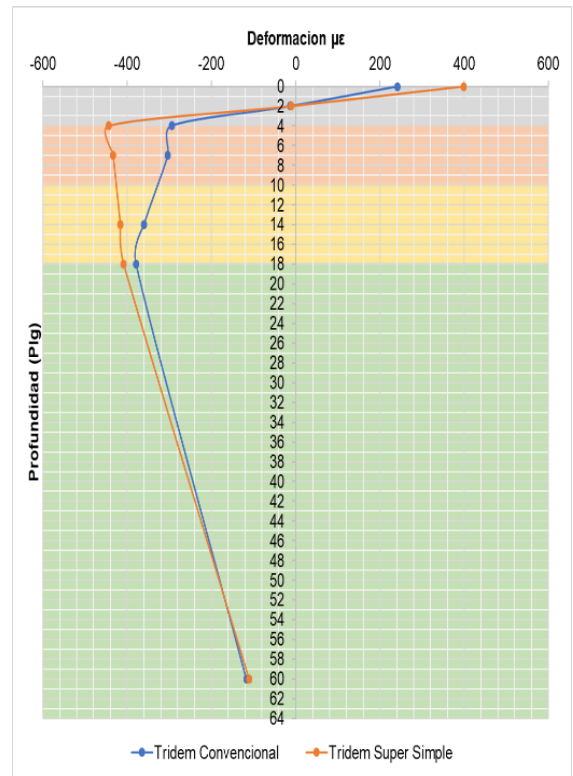


### T3S3 N° 35

| Punto de análisis | Profundidades (in) | T3S3 N°35 Tridem Super Simple |            |                          |                            |
|-------------------|--------------------|-------------------------------|------------|--------------------------|----------------------------|
|                   |                    | Deformación (µε)              |            | Deformación por tracción | Deformación por compresión |
|                   |                    | Vertical                      | Horizontal |                          |                            |
| 1                 | 0                  | -261.50                       | 399.20     | -443.600                 | 653.10                     |
| 2                 | 2                  | 119.00                        | -10.83     |                          |                            |
| 3                 | 4                  | 493.90                        | -443.60    |                          |                            |
| 4                 | 7                  | 865.90                        | -433.40    |                          |                            |
| 5                 | 14                 | 756.70                        | -416.20    |                          |                            |
| 6                 | 18                 | 653.10                        | -408.30    |                          |                            |
| 7                 | 60                 | 204.30                        | -110.90    |                          |                            |

| Punto de análisis | Profundidades (in) | T3S3 N°35 Tridem Convencional |            |                          |                            |
|-------------------|--------------------|-------------------------------|------------|--------------------------|----------------------------|
|                   |                    | Deformación (µε)              |            | Deformación por tracción | Deformación por compresión |
|                   |                    | Vertical                      | Horizontal |                          |                            |
| 1                 | 0                  | -171.9                        | 240.90     | -142.90                  | 584.20                     |
| 2                 | 2                  | 93.77                         | -12.80     |                          |                            |
| 3                 | 4                  | 311.90                        | -294.50    |                          |                            |
| 4                 | 7                  | 579.60                        | -303.40    |                          |                            |
| 5                 | 14                 | 624.40                        | -359.70    |                          |                            |
| 6                 | 18                 | 584.20                        | -378.50    |                          |                            |
| 7                 | 60                 | 221.70                        | -117.30    |                          |                            |

| Punto de análisis | Profundidades (in) | Relación         |            |                          |                            |
|-------------------|--------------------|------------------|------------|--------------------------|----------------------------|
|                   |                    | Deformación (µε) |            | Deformación por tracción | Deformación por compresión |
|                   |                    | Vertical         | Horizontal |                          |                            |
| 1                 | 0                  | 1.521            | 1.657      | 3.10                     | 1.12                       |
| 2                 | 2                  | 1.269            | 0.846      |                          |                            |
| 3                 | 4                  | 1.584            | 1.506      |                          |                            |
| 4                 | 7                  | 1.494            | 1.428      |                          |                            |
| 5                 | 14                 | 1.212            | 1.157      |                          |                            |
| 6                 | 18                 | 1.118            | 1.079      |                          |                            |
| 7                 | 60                 | 0.922            | 0.945      |                          |                            |

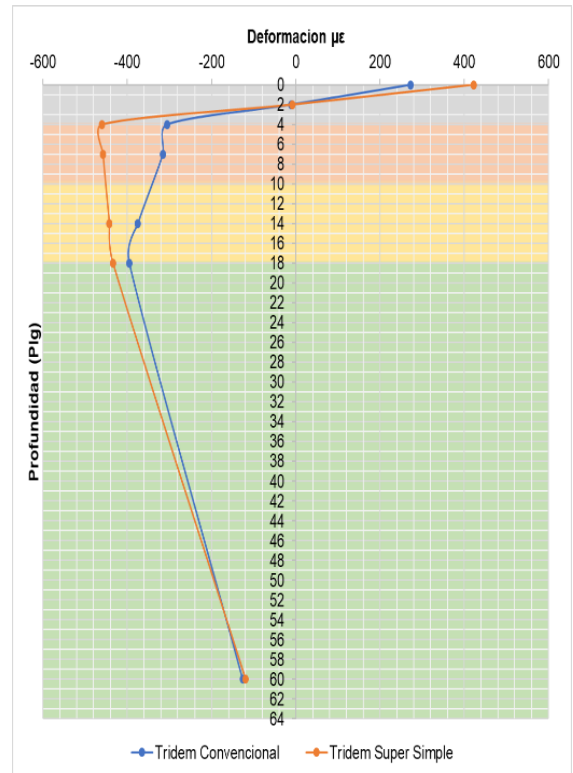


### T3S3 N° 36

| Punto de análisis | Profundidades (in) | T3S3 N°36 Tridem Super Simple |            |                          |                            |
|-------------------|--------------------|-------------------------------|------------|--------------------------|----------------------------|
|                   |                    | Deformación (µε)              |            | Deformación por tracción | Deformación por compresión |
|                   |                    | Vertical                      | Horizontal |                          |                            |
| 1                 | 0                  | -285.40                       | 421.60     | -460.000                 | 698.80                     |
| 2                 | 2                  | 117.30                        | -8.64      |                          |                            |
| 3                 | 4                  | 515.20                        | -460.00    |                          |                            |
| 4                 | 7                  | 923.00                        | -458.10    |                          |                            |
| 5                 | 14                 | 811.30                        | -443.00    |                          |                            |
| 6                 | 18                 | 698.80                        | -434.60    |                          |                            |
| 7                 | 60                 | 217.70                        | -119.30    |                          |                            |

| Punto de análisis | Profundidades (in) | T3S3 N°36 Tridem Convencional |            |                          |                            |
|-------------------|--------------------|-------------------------------|------------|--------------------------|----------------------------|
|                   |                    | Deformación (µε)              |            | Deformación por tracción | Deformación por compresión |
|                   |                    | Vertical                      | Horizontal |                          |                            |
| 1                 | 0                  | -171.8                        | 273.00     | -139.80                  | 611.80                     |
| 2                 | 2                  | 92.13                         | -11.22     |                          |                            |
| 3                 | 4                  | 325.20                        | -305.50    |                          |                            |
| 4                 | 7                  | 610.30                        | -316.10    |                          |                            |
| 5                 | 14                 | 654.70                        | -375.00    |                          |                            |
| 6                 | 18                 | 611.80                        | -395.60    |                          |                            |
| 7                 | 60                 | 236.30                        | -126.30    |                          |                            |

| Punto de análisis | Profundidades (in) | Relación         |            |                          |                            |
|-------------------|--------------------|------------------|------------|--------------------------|----------------------------|
|                   |                    | Deformación (µε) |            | Deformación por tracción | Deformación por compresión |
|                   |                    | Vertical         | Horizontal |                          |                            |
| 1                 | 0                  | 1.661            | 1.544      | 3.29                     | 1.14                       |
| 2                 | 2                  | 1.273            | 0.770      |                          |                            |
| 3                 | 4                  | 1.584            | 1.506      |                          |                            |
| 4                 | 7                  | 1.512            | 1.449      |                          |                            |
| 5                 | 14                 | 1.239            | 1.181      |                          |                            |
| 6                 | 18                 | 1.142            | 1.099      |                          |                            |
| 7                 | 60                 | 0.921            | 0.945      |                          |                            |

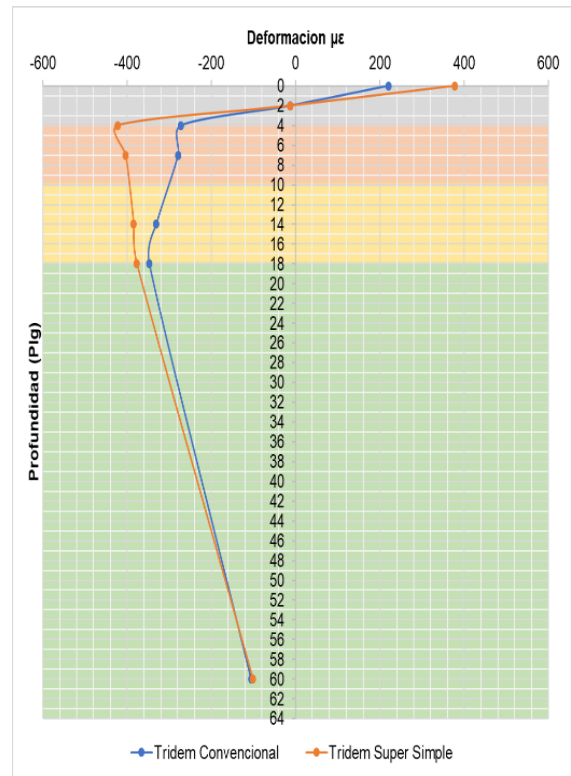


### T3S3 N° 37

| Punto de análisis | Profundidades (in) | T3S3 N°37 Tridem Super Simple |            |                          |                            |
|-------------------|--------------------|-------------------------------|------------|--------------------------|----------------------------|
|                   |                    | Deformación (μϵ)              |            | Deformación por tracción | Deformación por compresión |
|                   |                    | Vertical                      | Horizontal |                          |                            |
| 1                 | 0                  | -231.40                       | 377.30     | -422.800                 | 600.00                     |
| 2                 | 2                  | 121.30                        | -13.59     |                          |                            |
| 3                 | 4                  | 467.10                        | -422.80    |                          |                            |
| 4                 | 7                  | 797.50                        | -403.50    |                          |                            |
| 5                 | 14                 | 693.00                        | -384.50    |                          |                            |
| 6                 | 18                 | 600.00                        | -377.10    |                          |                            |
| 7                 | 60                 | 188.30                        | -101.10    |                          |                            |

| Punto de análisis | Profundidades (in) | T3S3 N°37 Tridem Convencional |            |                          |                            |
|-------------------|--------------------|-------------------------------|------------|--------------------------|----------------------------|
|                   |                    | Deformación (μϵ)              |            | Deformación por tracción | Deformación por compresión |
|                   |                    | Vertical                      | Horizontal |                          |                            |
| 1                 | 0                  | -154.3                        | 220.00     | -137.10                  | 536.50                     |
| 2                 | 2                  | 89.86                         | -13.11     |                          |                            |
| 3                 | 4                  | 287.20                        | -272.10    |                          |                            |
| 4                 | 7                  | 530.40                        | -279.50    |                          |                            |
| 5                 | 14                 | 573.00                        | -331.20    |                          |                            |
| 6                 | 18                 | 536.50                        | -347.80    |                          |                            |
| 7                 | 60                 | 201.10                        | -105.70    |                          |                            |

| Punto de análisis | Profundidades (in) | Relación         |            |                          |                            |
|-------------------|--------------------|------------------|------------|--------------------------|----------------------------|
|                   |                    | Deformación (μϵ) |            | Deformación por tracción | Deformación por compresión |
|                   |                    | Vertical         | Horizontal |                          |                            |
| 1                 | 0                  | 1.500            | 1.715      | 3.08                     | 1.12                       |
| 2                 | 2                  | 1.350            | 1.037      |                          |                            |
| 3                 | 4                  | 1.626            | 1.554      |                          |                            |
| 4                 | 7                  | 1.504            | 1.444      |                          |                            |
| 5                 | 14                 | 1.209            | 1.161      |                          |                            |
| 6                 | 18                 | 1.118            | 1.084      |                          |                            |
| 7                 | 60                 | 0.936            | 0.956      |                          |                            |

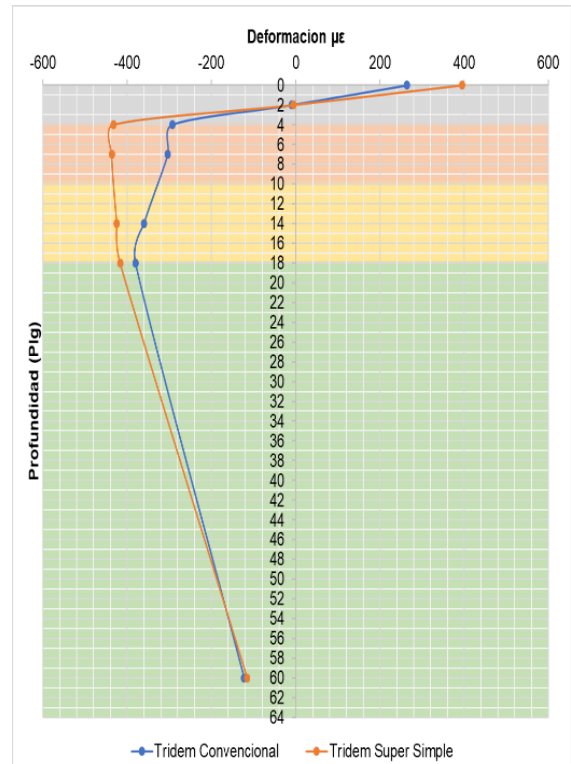


### T3S3 N° 38

| Punto de análisis | Profundidades (in) | T3S3 N°38 Tridem Super Simple |            |                          |                            |
|-------------------|--------------------|-------------------------------|------------|--------------------------|----------------------------|
|                   |                    | Deformación (μϵ)              |            | Deformación por tracción | Deformación por compresión |
|                   |                    | Vertical                      | Horizontal |                          |                            |
| 1                 | 0                  | -275.80                       | 394.30     | -432.500                 | 672.90                     |
| 2                 | 2                  | 106.40                        | -6.37      |                          |                            |
| 3                 | 4                  | 486.60                        | -432.50    |                          |                            |
| 4                 | 7                  | 885.40                        | -436.80    |                          |                            |
| 5                 | 14                 | 782.40                        | -424.70    |                          |                            |
| 6                 | 18                 | 672.90                        | -416.70    |                          |                            |
| 7                 | 60                 | 208.70                        | -115.10    |                          |                            |

| Punto de análisis | Profundidades (in) | T3S3 N°38 Tridem Convencional |            |                          |                            |
|-------------------|--------------------|-------------------------------|------------|--------------------------|----------------------------|
|                   |                    | Deformación (μϵ)              |            | Deformación por tracción | Deformación por compresión |
|                   |                    | Vertical                      | Horizontal |                          |                            |
| 1                 | 0                  | -168.4                        | 264.00     | -131.20                  | 589.80                     |
| 2                 | 2                  | 86.70                         | -10.06     |                          |                            |
| 3                 | 4                  | 312.80                        | -293.40    |                          |                            |
| 4                 | 7                  | 589.40                        | -304.10    |                          |                            |
| 5                 | 14                 | 631.40                        | -360.70    |                          |                            |
| 6                 | 18                 | 589.80                        | -380.90    |                          |                            |
| 7                 | 60                 | 229.20                        | -122.90    |                          |                            |

| Punto de análisis | Profundidades (in) | Relación         |            |                          |                            |
|-------------------|--------------------|------------------|------------|--------------------------|----------------------------|
|                   |                    | Deformación (μϵ) |            | Deformación por tracción | Deformación por compresión |
|                   |                    | Vertical         | Horizontal |                          |                            |
| 1                 | 0                  | 1.638            | 1.494      | 3.30                     | 1.14                       |
| 2                 | 2                  | 1.227            | 0.634      |                          |                            |
| 3                 | 4                  | 1.556            | 1.474      |                          |                            |
| 4                 | 7                  | 1.502            | 1.436      |                          |                            |
| 5                 | 14                 | 1.239            | 1.177      |                          |                            |
| 6                 | 18                 | 1.141            | 1.094      |                          |                            |
| 7                 | 60                 | 0.911            | 0.937      |                          |                            |

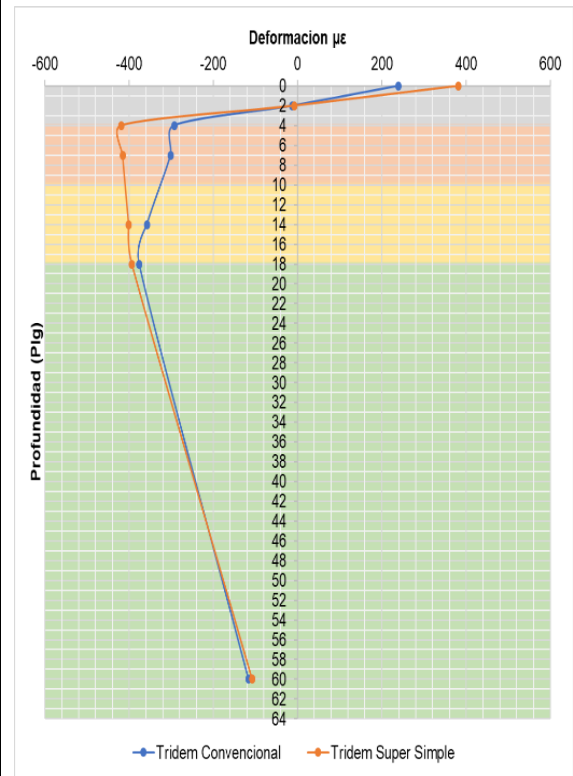


### T3S3 N° 39

| Punto de análisis | Profundidades (in) | T3S3 N°39 Tridem Super Simple |            |                          |                            |
|-------------------|--------------------|-------------------------------|------------|--------------------------|----------------------------|
|                   |                    | Deformación (µε)              |            | Deformación por tracción | Deformación por compresión |
|                   |                    | Vertical                      | Horizontal |                          |                            |
| 1                 | 0                  | -257.1                        | 382.20     | -418.600                 | 631.70                     |
| 2                 | 2                  | 107.90                        | -8.35      |                          |                            |
| 3                 | 4                  | 468.20                        | -418.60    |                          |                            |
| 4                 | 7                  | 835.10                        | -415.20    |                          |                            |
| 5                 | 14                 | 733.20                        | -400.90    |                          |                            |
| 6                 | 18                 | 631.70                        | -393.30    |                          |                            |
| 7                 | 60                 | 197.00                        | -107.70    |                          |                            |

| Punto de análisis | Profundidades (in) | T3S3 N°39 Tridem Convencional |            |                          |                            |
|-------------------|--------------------|-------------------------------|------------|--------------------------|----------------------------|
|                   |                    | Deformación (µε)              |            | Deformación por tracción | Deformación por compresión |
|                   |                    | Vertical                      | Horizontal |                          |                            |
| 1                 | 0                  | -170.0                        | 239.10     | -143.30                  | 580.40                     |
| 2                 | 2                  | 94.00                         | -13.02     |                          |                            |
| 3                 | 4                  | 310.10                        | -293.00    |                          |                            |
| 4                 | 7                  | 575.40                        | -301.60    |                          |                            |
| 5                 | 14                 | 620.20                        | -357.60    |                          |                            |
| 6                 | 18                 | 580.40                        | -376.10    |                          |                            |
| 7                 | 60                 | 219.70                        | -116.10    |                          |                            |

| Punto de análisis | Profundidades (in) | Relación         |            |                          |                            |
|-------------------|--------------------|------------------|------------|--------------------------|----------------------------|
|                   |                    | Deformación (µε) |            | Deformación por tracción | Deformación por compresión |
|                   |                    | Vertical         | Horizontal |                          |                            |
| 1                 | 0                  | 1.512            | 1.598      | 2.92                     | 1.09                       |
| 2                 | 2                  | 1.148            | 0.641      |                          |                            |
| 3                 | 4                  | 1.510            | 1.429      |                          |                            |
| 4                 | 7                  | 1.451            | 1.377      |                          |                            |
| 5                 | 14                 | 1.182            | 1.121      |                          |                            |
| 6                 | 18                 | 1.088            | 1.046      |                          |                            |
| 7                 | 60                 | 0.897            | 0.928      |                          |                            |

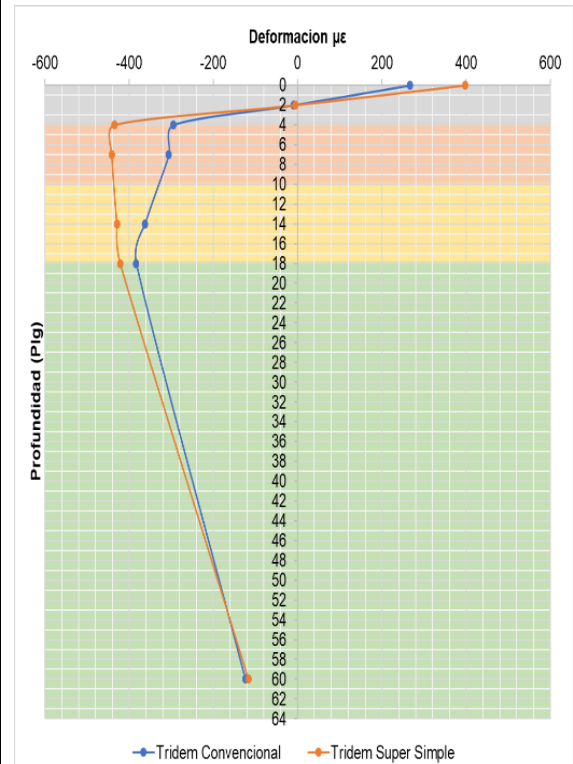


### T3S3 N° 40

| Punto de análisis | Profundidades (in) | T3S3 N°40 Tridem Super Simple |            |                          |                            |
|-------------------|--------------------|-------------------------------|------------|--------------------------|----------------------------|
|                   |                    | Deformación (µε)              |            | Deformación por tracción | Deformación por compresión |
|                   |                    | Vertical                      | Horizontal |                          |                            |
| 1                 | 0                  | -279.40                       | 397.60     | -434.900                 | 680.20                     |
| 2                 | 2                  | 106.10                        | -6.03      |                          |                            |
| 3                 | 4                  | 489.70                        | -434.90    |                          |                            |
| 4                 | 7                  | 894.20                        | -440.60    |                          |                            |
| 5                 | 14                 | 791.10                        | -428.90    |                          |                            |
| 6                 | 18                 | 680.20                        | -420.80    |                          |                            |
| 7                 | 60                 | 210.80                        | -116.40    |                          |                            |

| Punto de análisis | Profundidades (in) | T3S3 N°40 Tridem Convencional |            |                          |                            |
|-------------------|--------------------|-------------------------------|------------|--------------------------|----------------------------|
|                   |                    | Deformación (µε)              |            | Deformación por tracción | Deformación por compresión |
|                   |                    | Vertical                      | Horizontal |                          |                            |
| 1                 | 0                  | -170.7                        | 266.10     | -130.70                  | 593.70                     |
| 2                 | 2                  | 86.48                         | -9.84      |                          |                            |
| 3                 | 4                  | 314.70                        | -294.90    |                          |                            |
| 4                 | 7                  | 593.90                        | -305.90    |                          |                            |
| 5                 | 14                 | 635.70                        | -362.80    |                          |                            |
| 6                 | 18                 | 593.70                        | -383.30    |                          |                            |
| 7                 | 60                 | 231.30                        | -124.20    |                          |                            |

| Punto de análisis | Profundidades (in) | Relación         |            |                          |                            |
|-------------------|--------------------|------------------|------------|--------------------------|----------------------------|
|                   |                    | Deformación (µε) |            | Deformación por tracción | Deformación por compresión |
|                   |                    | Vertical         | Horizontal |                          |                            |
| 1                 | 0                  | 1.637            | 1.494      | 3.33                     | 1.15                       |
| 2                 | 2                  | 1.227            | 0.613      |                          |                            |
| 3                 | 4                  | 1.556            | 1.475      |                          |                            |
| 4                 | 7                  | 1.506            | 1.440      |                          |                            |
| 5                 | 14                 | 1.244            | 1.182      |                          |                            |
| 6                 | 18                 | 1.146            | 1.098      |                          |                            |
| 7                 | 60                 | 0.911            | 0.937      |                          |                            |



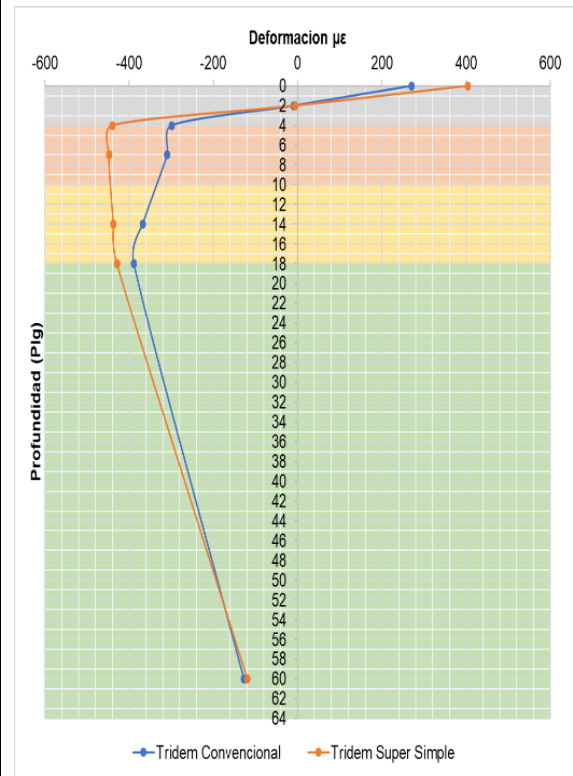


### T3S3 N° 41

| Punto de análisis | Profundidades (in) | T3S3 N°41 Tridem Super Simple |            |                          |                            |
|-------------------|--------------------|-------------------------------|------------|--------------------------|----------------------------|
|                   |                    | Deformación (µε)              |            | Deformación por tracción | Deformación por compresión |
|                   |                    | Vertical                      | Horizontal |                          |                            |
| 1                 | 0                  | -286.40                       | 404.30     | -439.600                 | 695.00                     |
| 2                 | 2                  | 105.50                        | -5.29      |                          |                            |
| 3                 | 4                  | 495.90                        | -439.60    |                          |                            |
| 4                 | 7                  | 911.80                        | -448.00    |                          |                            |
| 5                 | 14                 | 808.60                        | -437.20    |                          |                            |
| 6                 | 18                 | 695.00                        | -429.10    |                          |                            |
| 7                 | 60                 | 214.90                        | -119.00    |                          |                            |

| Punto de análisis | Profundidades (in) | T3S3 N°41 Tridem Convencional |            |                          |                            |
|-------------------|--------------------|-------------------------------|------------|--------------------------|----------------------------|
|                   |                    | Deformación (µε)              |            | Deformación por tracción | Deformación por compresión |
|                   |                    | Vertical                      | Horizontal |                          |                            |
| 1                 | 0                  | -175.9                        | 271.00     | -129.60                  | 603.00                     |
| 2                 | 2                  | 85.85                         | -9.27      |                          |                            |
| 3                 | 4                  | 319.00                        | -298.50    |                          |                            |
| 4                 | 7                  | 604.20                        | -310.20    |                          |                            |
| 5                 | 14                 | 646.00                        | -367.80    |                          |                            |
| 6                 | 18                 | 603.00                        | -388.90    |                          |                            |
| 7                 | 60                 | 236.10                        | -127.30    |                          |                            |

| Punto de análisis | Profundidades (in) | Relación         |            |                          |                            |
|-------------------|--------------------|------------------|------------|--------------------------|----------------------------|
|                   |                    | Deformación (µε) |            | Deformación por tracción | Deformación por compresión |
|                   |                    | Vertical         | Horizontal |                          |                            |
| 1                 | 0                  | 1.628            | 1.492      | 3.39                     | 1.15                       |
| 2                 | 2                  | 1.229            | 0.570      |                          |                            |
| 3                 | 4                  | 1.555            | 1.473      |                          |                            |
| 4                 | 7                  | 1.509            | 1.444      |                          |                            |
| 5                 | 14                 | 1.252            | 1.189      |                          |                            |
| 6                 | 18                 | 1.153            | 1.103      |                          |                            |
| 7                 | 60                 | 0.910            | 0.935      |                          |                            |

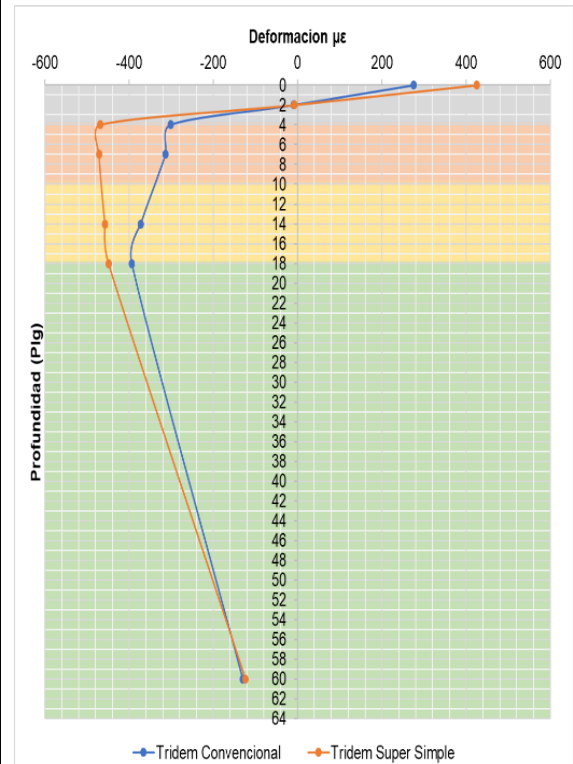


### T3S3 N° 42

| Punto de análisis | Profundidades (in) | T3S3 N°42 Tridem Super Simple |            |                          |                            |
|-------------------|--------------------|-------------------------------|------------|--------------------------|----------------------------|
|                   |                    | Deformación (µε)              |            | Deformación por tracción | Deformación por compresión |
|                   |                    | Vertical                      | Horizontal |                          |                            |
| 1                 | 0                  | -296.00                       | 425.70     | -468.600                 | 724.20                     |
| 2                 | 2                  | 116.40                        | -7.42      |                          |                            |
| 3                 | 4                  | 526.50                        | -468.60    |                          |                            |
| 4                 | 7                  | 954.00                        | -471.40    |                          |                            |
| 5                 | 14                 | 841.70                        | -457.60    |                          |                            |
| 6                 | 18                 | 724.20                        | -449.00    |                          |                            |
| 7                 | 60                 | 224.90                        | -123.80    |                          |                            |

| Punto de análisis | Profundidades (in) | T3S3 N°42 Tridem Convencional |            |                          |                            |
|-------------------|--------------------|-------------------------------|------------|--------------------------|----------------------------|
|                   |                    | Deformación (µε)              |            | Deformación por tracción | Deformación por compresión |
|                   |                    | Vertical                      | Horizontal |                          |                            |
| 1                 | 0                  | -180.5                        | 275.30     | -128.60                  | 611.10                     |
| 2                 | 2                  | 85.40                         | -8.82      |                          |                            |
| 3                 | 4                  | 322.80                        | -301.70    |                          |                            |
| 4                 | 7                  | 613.40                        | -313.90    |                          |                            |
| 5                 | 14                 | 655.00                        | -372.20    |                          |                            |
| 6                 | 18                 | 611.10                        | -393.70    |                          |                            |
| 7                 | 60                 | 240.40                        | -130.00    |                          |                            |

| Punto de análisis | Profundidades (in) | Relación         |            |                          |                            |
|-------------------|--------------------|------------------|------------|--------------------------|----------------------------|
|                   |                    | Deformación (µε) |            | Deformación por tracción | Deformación por compresión |
|                   |                    | Vertical         | Horizontal |                          |                            |
| 1                 | 0                  | 1.640            | 1.546      | 3.64                     | 1.19                       |
| 2                 | 2                  | 1.363            | 0.842      |                          |                            |
| 3                 | 4                  | 1.631            | 1.553      |                          |                            |
| 4                 | 7                  | 1.555            | 1.502      |                          |                            |
| 5                 | 14                 | 1.285            | 1.229      |                          |                            |
| 6                 | 18                 | 1.185            | 1.140      |                          |                            |
| 7                 | 60                 | 0.936            | 0.952      |                          |                            |

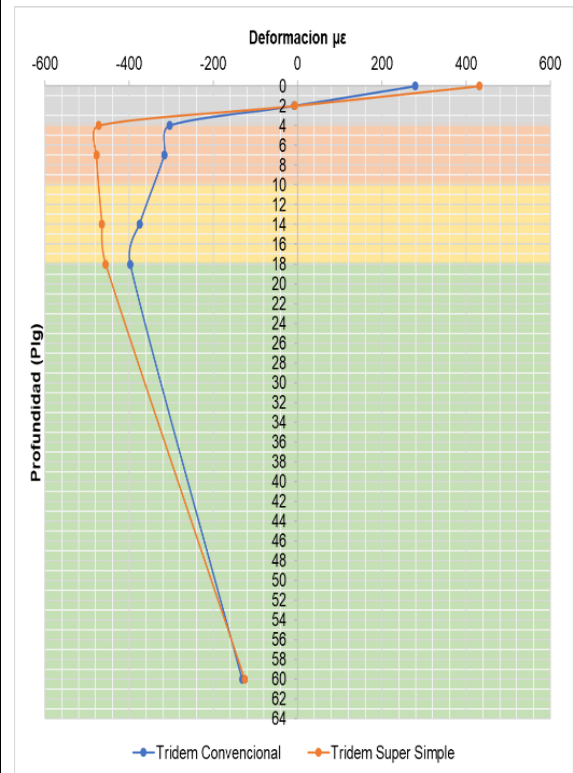


### T3S3 N° 43

| Punto de análisis | Profundidades (in) | T3S3 N°45 Tridem Super Simple |            |                          |                            |
|-------------------|--------------------|-------------------------------|------------|--------------------------|----------------------------|
|                   |                    | Deformación ( $\mu\epsilon$ ) |            | Deformación por tracción | Deformación por compresión |
|                   |                    | Vertical                      | Horizontal |                          |                            |
| 1                 | 0                  | -301.80                       | 431.10     | -472.500                 | 736.10                     |
| 2                 | 2                  | 116.00                        | -6.86      |                          |                            |
| 3                 | 4                  | 531.70                        | -472.50    |                          |                            |
| 4                 | 7                  | 968.30                        | -477.60    |                          |                            |
| 5                 | 14                 | 855.90                        | -464.40    |                          |                            |
| 6                 | 18                 | 736.10                        | -455.70    |                          |                            |
| 7                 | 60                 | 228.30                        | -125.90    |                          |                            |

| Punto de análisis | Profundidades (in) | T3S3 N°45 Tridem Convencional |            |                          |                            |
|-------------------|--------------------|-------------------------------|------------|--------------------------|----------------------------|
|                   |                    | Deformación ( $\mu\epsilon$ ) |            | Deformación por tracción | Deformación por compresión |
|                   |                    | Vertical                      | Horizontal |                          |                            |
| 1                 | 0                  | -184.1                        | 278.70     | -127.70                  | 617.60                     |
| 2                 | 2                  | 85.04                         | -8.46      |                          |                            |
| 3                 | 4                  | 325.80                        | -304.20    |                          |                            |
| 4                 | 7                  | 620.70                        | -316.90    |                          |                            |
| 5                 | 14                 | 662.20                        | -375.60    |                          |                            |
| 6                 | 18                 | 617.60                        | -397.50    |                          |                            |
| 7                 | 60                 | 243.80                        | -132.10    |                          |                            |

| Punto de análisis | Profundidades (in) | Relación                      |            |                          |                            |
|-------------------|--------------------|-------------------------------|------------|--------------------------|----------------------------|
|                   |                    | Deformación ( $\mu\epsilon$ ) |            | Deformación por tracción | Deformación por compresión |
|                   |                    | Vertical                      | Horizontal |                          |                            |
| 1                 | 0                  | 1.639                         | 1.547      | 3.70                     | 1.19                       |
| 2                 | 2                  | 1.364                         | 0.811      |                          |                            |
| 3                 | 4                  | 1.632                         | 1.553      |                          |                            |
| 4                 | 7                  | 1.560                         | 1.507      |                          |                            |
| 5                 | 14                 | 1.293                         | 1.236      |                          |                            |
| 6                 | 18                 | 1.192                         | 1.146      |                          |                            |
| 7                 | 60                 | 0.936                         | 0.953      |                          |                            |

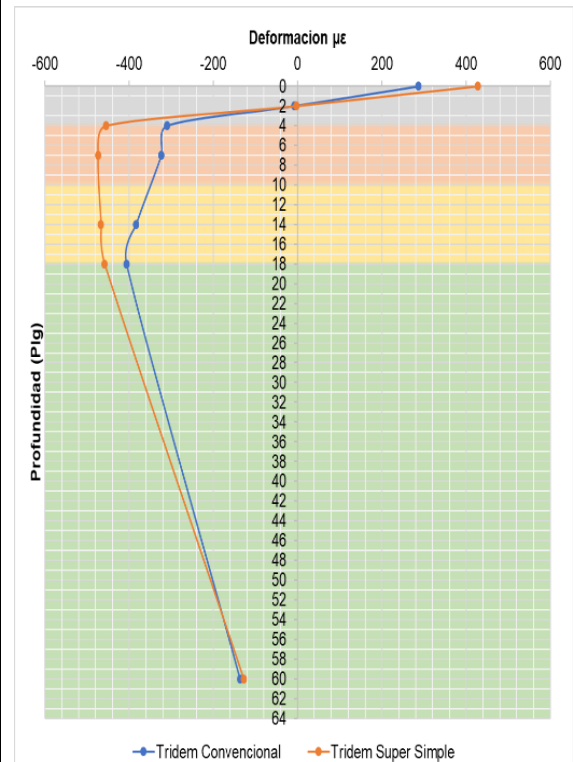


### T3S3 N° 44

| Punto de análisis | Profundidades (in) | T3S3 N°44 Tridem Super Simple |            |                          |                            |
|-------------------|--------------------|-------------------------------|------------|--------------------------|----------------------------|
|                   |                    | Deformación ( $\mu\epsilon$ ) |            | Deformación por tracción | Deformación por compresión |
|                   |                    | Vertical                      | Horizontal |                          |                            |
| 1                 | 0                  | -310.9                        | 427.20     | -125.70                  | 632.80                     |
| 2                 | 2                  | 103.70                        | -2.85      |                          |                            |
| 3                 | 4                  | 516.80                        | -455.30    |                          |                            |
| 4                 | 7                  | 973.20                        | -474.00    |                          |                            |
| 5                 | 14                 | 871.30                        | -466.80    |                          |                            |
| 6                 | 18                 | 747.70                        | -458.30    |                          |                            |
| 7                 | 60                 | 229.30                        | -128.20    |                          |                            |

| Punto de análisis | Profundidades (in) | T3S3 N°44 Tridem Convencional |            |                          |                            |
|-------------------|--------------------|-------------------------------|------------|--------------------------|----------------------------|
|                   |                    | Deformación ( $\mu\epsilon$ ) |            | Deformación por tracción | Deformación por compresión |
|                   |                    | Vertical                      | Horizontal |                          |                            |
| 1                 | 0                  | -192.6                        | 286.80     | -125.70                  | 632.80                     |
| 2                 | 2                  | 84.22                         | -7.62      |                          |                            |
| 3                 | 4                  | 332.70                        | -310.00    |                          |                            |
| 4                 | 7                  | 637.80                        | -323.90    |                          |                            |
| 5                 | 14                 | 679.10                        | -383.50    |                          |                            |
| 6                 | 18                 | 632.80                        | -406.20    |                          |                            |
| 7                 | 60                 | 251.70                        | -137.10    |                          |                            |

| Punto de análisis | Profundidades (in) | Relación                      |            |                          |                            |
|-------------------|--------------------|-------------------------------|------------|--------------------------|----------------------------|
|                   |                    | Deformación ( $\mu\epsilon$ ) |            | Deformación por tracción | Deformación por compresión |
|                   |                    | Vertical                      | Horizontal |                          |                            |
| 1                 | 0                  | 1.614                         | 1.490      | 3.62                     | 1.18                       |
| 2                 | 2                  | 1.231                         | 0.375      |                          |                            |
| 3                 | 4                  | 1.553                         | 1.469      |                          |                            |
| 4                 | 7                  | 1.526                         | 1.463      |                          |                            |
| 5                 | 14                 | 1.283                         | 1.217      |                          |                            |
| 6                 | 18                 | 1.182                         | 1.128      |                          |                            |
| 7                 | 60                 | 0.911                         | 0.935      |                          |                            |

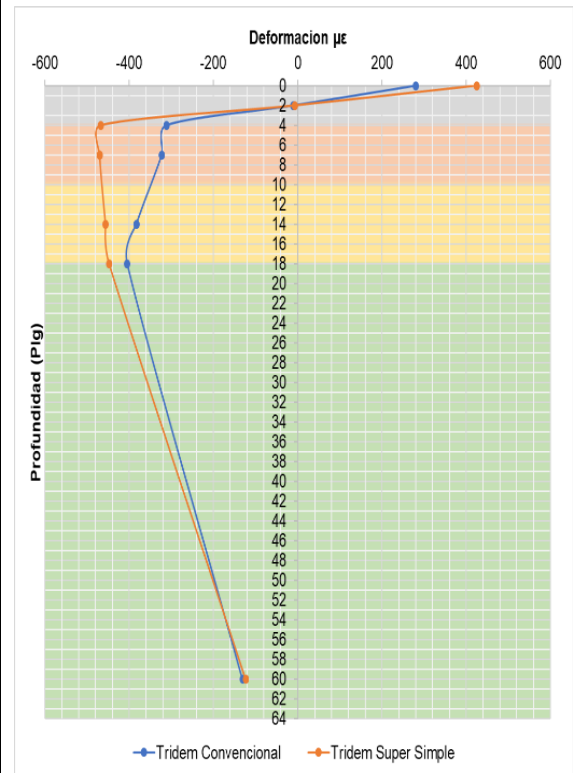


### T3S3 N° 45

| Punto de análisis | Profundidades (in) | T3S3 N°45 Tridem Super Simple |            |                          |                            |
|-------------------|--------------------|-------------------------------|------------|--------------------------|----------------------------|
|                   |                    | Deformación (µε)              |            | Deformación por tracción | Deformación por compresión |
|                   |                    | Vertical                      | Horizontal |                          |                            |
| 1                 | 0                  | -295.00                       | 424.80     | -467.900                 | 722.20                     |
| 2                 | 2                  | 116.50                        | -7.52      |                          |                            |
| 3                 | 4                  | 525.70                        | -467.90    |                          |                            |
| 4                 | 7                  | 951.60                        | -470.40    |                          |                            |
| 5                 | 14                 | 839.30                        | -456.50    |                          |                            |
| 6                 | 18                 | 722.20                        | -447.90    |                          |                            |
| 7                 | 60                 | 224.30                        | -123.50    |                          |                            |

| Punto de análisis | Profundidades (in) | T3S3 N°45 Tridem Convencional |            |                          |                            |
|-------------------|--------------------|-------------------------------|------------|--------------------------|----------------------------|
|                   |                    | Deformación (µε)              |            | Deformación por tracción | Deformación por compresión |
|                   |                    | Vertical                      | Horizontal |                          |                            |
| 1                 | 0                  | -180.1                        | 280.80     | -138.00                  | 626.50                     |
| 2                 | 2                  | 91.29                         | -10.39     |                          |                            |
| 3                 | 4                  | 332.10                        | -311.20    |                          |                            |
| 4                 | 7                  | 626.70                        | -322.90    |                          |                            |
| 5                 | 14                 | 670.90                        | -382.90    |                          |                            |
| 6                 | 18                 | 626.50                        | -404.50    |                          |                            |
| 7                 | 60                 | 244.00                        | -131.10    |                          |                            |

| Punto de análisis | Profundidades (in) | Relación         |            |                          |                            |
|-------------------|--------------------|------------------|------------|--------------------------|----------------------------|
|                   |                    | Deformación (µε) |            | Deformación por tracción | Deformación por compresión |
|                   |                    | Vertical         | Horizontal |                          |                            |
| 1                 | 0                  | 1.638            | 1.513      | 3.39                     | 1.15                       |
| 2                 | 2                  | 1.276            | 0.723      |                          |                            |
| 3                 | 4                  | 1.583            | 1.504      |                          |                            |
| 4                 | 7                  | 1.518            | 1.457      |                          |                            |
| 5                 | 14                 | 1.251            | 1.192      |                          |                            |
| 6                 | 18                 | 1.153            | 1.107      |                          |                            |
| 7                 | 60                 | 0.919            | 0.942      |                          |                            |

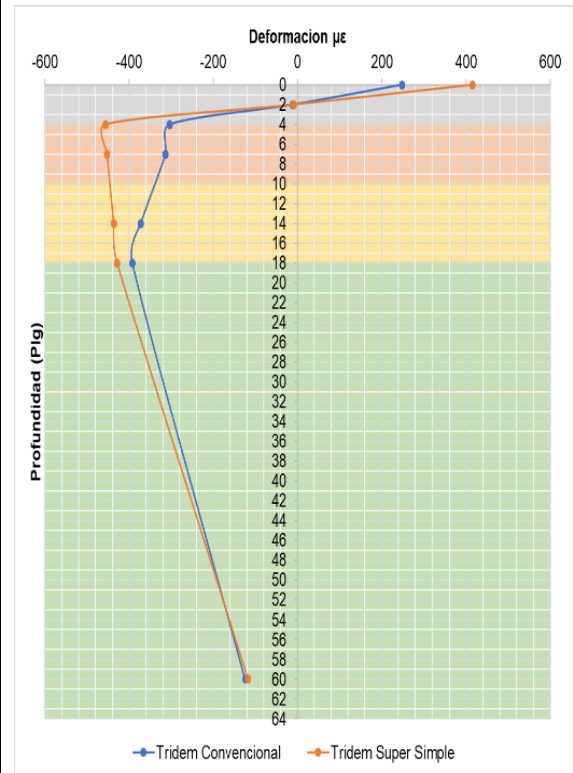


### T3S3 N° 46

| Punto de análisis | Profundidades (in) | T3S3 N°46 Tridem Super Simple |            |                          |                            |
|-------------------|--------------------|-------------------------------|------------|--------------------------|----------------------------|
|                   |                    | Deformación (µε)              |            | Deformación por tracción | Deformación por compresión |
|                   |                    | Vertical                      | Horizontal |                          |                            |
| 1                 | 0                  | -288.20                       | 418.40     | -463.300                 | 708.50                     |
| 2                 | 2                  | 117.00                        | -8.17      |                          |                            |
| 3                 | 4                  | 519.60                        | -463.30    |                          |                            |
| 4                 | 7                  | 934.90                        | -463.20    |                          |                            |
| 5                 | 14                 | 823.00                        | -448.60    |                          |                            |
| 6                 | 18                 | 708.50                        | -440.10    |                          |                            |
| 7                 | 60                 | 220.40                        | -121.00    |                          |                            |

| Punto de análisis | Profundidades (in) | T3S3 N°46 Tridem Convencional |            |                          |                            |
|-------------------|--------------------|-------------------------------|------------|--------------------------|----------------------------|
|                   |                    | Deformación (µε)              |            | Deformación por tracción | Deformación por compresión |
|                   |                    | Vertical                      | Horizontal |                          |                            |
| 1                 | 0                  | -184.1                        | 248.10     | -140.50                  | 605.60                     |
| 2                 | 2                  | 92.50                         | -11.57     |                          |                            |
| 3                 | 4                  | 322.20                        | -303.00    |                          |                            |
| 4                 | 7                  | 603.30                        | -313.20    |                          |                            |
| 5                 | 14                 | 647.80                        | -371.60    |                          |                            |
| 6                 | 18                 | 605.60                        | -391.80    |                          |                            |
| 7                 | 60                 | 233.00                        | -124.30    |                          |                            |

| Punto de análisis | Profundidades (in) | Relación         |            |                          |                            |
|-------------------|--------------------|------------------|------------|--------------------------|----------------------------|
|                   |                    | Deformación (µε) |            | Deformación por tracción | Deformación por compresión |
|                   |                    | Vertical         | Horizontal |                          |                            |
| 1                 | 0                  | 1.518            | 1.677      | -455.900                 | 687.20                     |
| 2                 | 2                  | 1.274            | 0.795      |                          |                            |
| 3                 | 4                  | 1.583            | 1.505      |                          |                            |
| 4                 | 7                  | 1.506            | 1.443      |                          |                            |
| 5                 | 14                 | 1.231            | 1.174      |                          |                            |
| 6                 | 18                 | 1.135            | 1.092      |                          |                            |
| 7                 | 60                 | 0.920            | 0.943      |                          |                            |

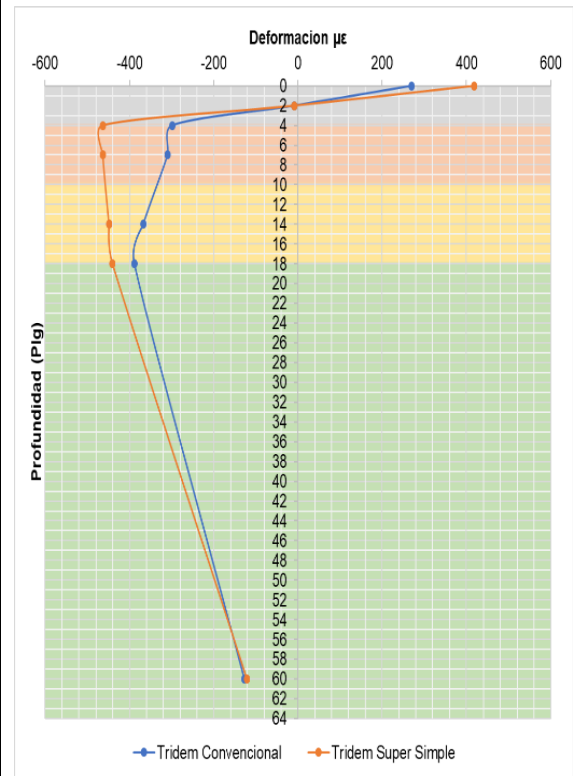


### T3S3 N° 47

| Punto de análisis | Profundidades (in) | T3S3 N°47 Tridem Super Simple |            |                          |                            |
|-------------------|--------------------|-------------------------------|------------|--------------------------|----------------------------|
|                   |                    | Deformación (µε)              |            | Deformación por tracción | Deformación por compresión |
|                   |                    | Vertical                      | Horizontal |                          |                            |
| 1                 | 0                  | -288.20                       | 418.40     | -463.300                 | 708.50                     |
| 2                 | 2                  | 117.00                        | -8.17      |                          |                            |
| 3                 | 4                  | 519.60                        | -463.30    |                          |                            |
| 4                 | 7                  | 934.90                        | -463.20    |                          |                            |
| 5                 | 14                 | 823.00                        | -448.60    |                          |                            |
| 6                 | 18                 | 708.50                        | -440.10    |                          |                            |
| 7                 | 60                 | 220.40                        | -121.00    |                          |                            |

| Punto de análisis | Profundidades (in) | T3S3 N°47 Tridem Convencional |            |                          |                            |
|-------------------|--------------------|-------------------------------|------------|--------------------------|----------------------------|
|                   |                    | Deformación (µε)              |            | Deformación por tracción | Deformación por compresión |
|                   |                    | Vertical                      | Horizontal |                          |                            |
| 1                 | 0                  | -175.0                        | 270.20     | -129.70                  | 601.40                     |
| 2                 | 2                  | 85.94                         | -9.36      |                          |                            |
| 3                 | 4                  | 318.30                        | -297.90    |                          |                            |
| 4                 | 7                  | 602.50                        | -309.50    |                          |                            |
| 5                 | 14                 | 644.20                        | -367.00    |                          |                            |
| 6                 | 18                 | 601.40                        | -387.90    |                          |                            |
| 7                 | 60                 | 235.30                        | -126.80    |                          |                            |

| Punto de análisis | Profundidades (in) | Relación         |            |                          |                            |
|-------------------|--------------------|------------------|------------|--------------------------|----------------------------|
|                   |                    | Deformación (µε) |            | Deformación por tracción | Deformación por compresión |
|                   |                    | Vertical         | Horizontal |                          |                            |
| 1                 | 0                  | 1.647            | 1.548      | 3.57                     | 1.18                       |
| 2                 | 2                  | 1.361            | 0.873      |                          |                            |
| 3                 | 4                  | 1.632            | 1.555      |                          |                            |
| 4                 | 7                  | 1.552            | 1.497      |                          |                            |
| 5                 | 14                 | 1.278            | 1.222      |                          |                            |
| 6                 | 18                 | 1.178            | 1.135      |                          |                            |
| 7                 | 60                 | 0.937            | 0.954      |                          |                            |

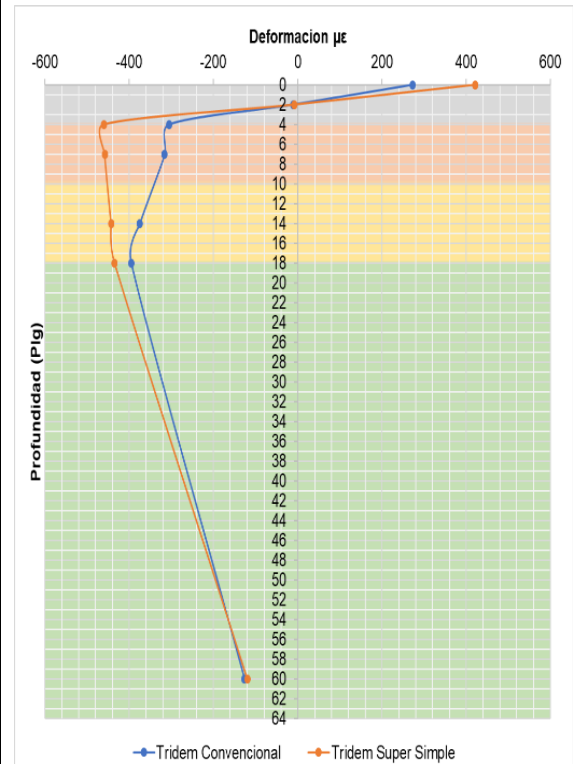


### T3S3 N° 48

| Punto de análisis | Profundidades (in) | T3S3 N°48 Tridem Super Simple |            |                          |                            |
|-------------------|--------------------|-------------------------------|------------|--------------------------|----------------------------|
|                   |                    | Deformación (µε)              |            | Deformación por tracción | Deformación por compresión |
|                   |                    | Vertical                      | Horizontal |                          |                            |
| 1                 | 0                  | -285.40                       | 421.60     | -460.000                 | 698.80                     |
| 2                 | 2                  | 117.30                        | -8.64      |                          |                            |
| 3                 | 4                  | 515.20                        | -460.00    |                          |                            |
| 4                 | 7                  | 923.00                        | -458.10    |                          |                            |
| 5                 | 14                 | 811.30                        | -443.00    |                          |                            |
| 6                 | 18                 | 698.80                        | -434.60    |                          |                            |
| 7                 | 60                 | 217.70                        | -119.30    |                          |                            |

| Punto de análisis | Profundidades (in) | T3S3 N°48 Tridem Convencional |            |                          |                            |
|-------------------|--------------------|-------------------------------|------------|--------------------------|----------------------------|
|                   |                    | Deformación (µε)              |            | Deformación por tracción | Deformación por compresión |
|                   |                    | Vertical                      | Horizontal |                          |                            |
| 1                 | 0                  | -171.7                        | 273.00     | -139.80                  | 611.70                     |
| 2                 | 2                  | 92.14                         | -11.22     |                          |                            |
| 3                 | 4                  | 325.10                        | -305.40    |                          |                            |
| 4                 | 7                  | 610.10                        | -316.00    |                          |                            |
| 5                 | 14                 | 654.60                        | -374.90    |                          |                            |
| 6                 | 18                 | 611.70                        | -395.60    |                          |                            |
| 7                 | 60                 | 236.20                        | -126.20    |                          |                            |

| Punto de análisis | Profundidades (in) | Relación         |            |                          |                            |
|-------------------|--------------------|------------------|------------|--------------------------|----------------------------|
|                   |                    | Deformación (µε) |            | Deformación por tracción | Deformación por compresión |
|                   |                    | Vertical         | Horizontal |                          |                            |
| 1                 | 0                  | 1.662            | 1.544      | 3.29                     | 1.14                       |
| 2                 | 2                  | 1.273            | 0.770      |                          |                            |
| 3                 | 4                  | 1.585            | 1.506      |                          |                            |
| 4                 | 7                  | 1.513            | 1.450      |                          |                            |
| 5                 | 14                 | 1.239            | 1.182      |                          |                            |
| 6                 | 18                 | 1.142            | 1.099      |                          |                            |
| 7                 | 60                 | 0.912            | 0.938      |                          |                            |

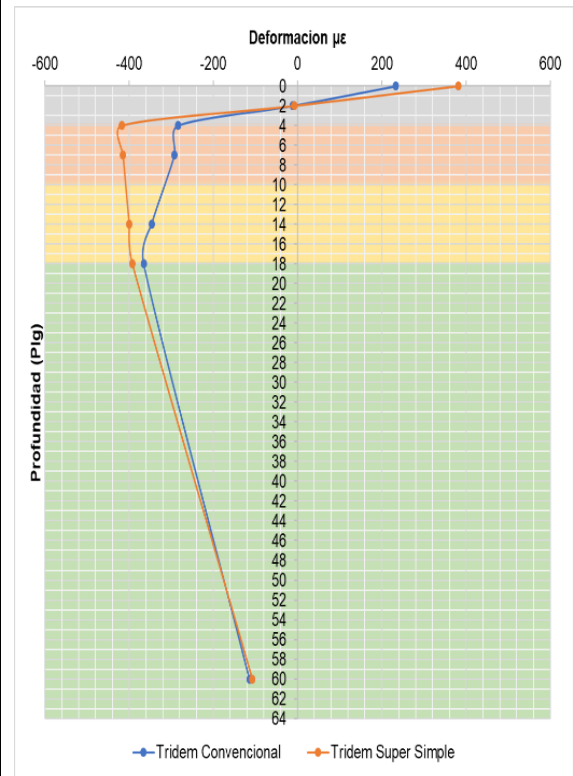


### T3S3 N° 49

| Punto de análisis | Profundidades (in) | T3S3 N°49 Tridem Super Simple |            |                          |                            |
|-------------------|--------------------|-------------------------------|------------|--------------------------|----------------------------|
|                   |                    | Deformación (µε)              |            | Deformación por tracción | Deformación por compresión |
|                   |                    | Vertical                      | Horizontal |                          |                            |
| 1                 | 0                  | -256.20                       | 381.40     | -417.900                 | 630.00                     |
| 2                 | 2                  | 108.00                        | -8.43      |                          |                            |
| 3                 | 4                  | 467.40                        | -417.90    |                          |                            |
| 4                 | 7                  | 832.90                        | -414.30    |                          |                            |
| 5                 | 14                 | 731.00                        | -399.90    |                          |                            |
| 6                 | 18                 | 630.00                        | -392.30    |                          |                            |
| 7                 | 60                 | 196.50                        | -107.40    |                          |                            |

| Punto de análisis | Profundidades (in) | T3S3 N°49 Tridem Convencional |            |                          |                            |
|-------------------|--------------------|-------------------------------|------------|--------------------------|----------------------------|
|                   |                    | Deformación (µε)              |            | Deformación por tracción | Deformación por compresión |
|                   |                    | Vertical                      | Horizontal |                          |                            |
| 1                 | 0                  | -168.1                        | 233.20     | -134.30                  | 563.80                     |
| 2                 | 2                  | 88.21                         | -11.53     |                          |                            |
| 3                 | 4                  | 300.50                        | -283.10    |                          |                            |
| 4                 | 7                  | 560.50                        | -292.20    |                          |                            |
| 5                 | 14                 | 602.90                        | -346.50    |                          |                            |
| 6                 | 18                 | 563.80                        | -365.10    |                          |                            |
| 7                 | 60                 | 215.50                        | -114.50    |                          |                            |

| Punto de análisis | Profundidades (in) | Relación         |            |                          |                            |
|-------------------|--------------------|------------------|------------|--------------------------|----------------------------|
|                   |                    | Deformación (µε) |            | Deformación por tracción | Deformación por compresión |
|                   |                    | Vertical         | Horizontal |                          |                            |
| 1                 | 0                  | 1.524            | 1.636      | 3.11                     | 1.12                       |
| 2                 | 2                  | 1.224            | 0.731      |                          |                            |
| 3                 | 4                  | 1.555            | 1.476      |                          |                            |
| 4                 | 7                  | 1.486            | 1.418      |                          |                            |
| 5                 | 14                 | 1.212            | 1.154      |                          |                            |
| 6                 | 18                 | 1.117            | 1.075      |                          |                            |
| 7                 | 60                 | 0.912            | 0.938      |                          |                            |

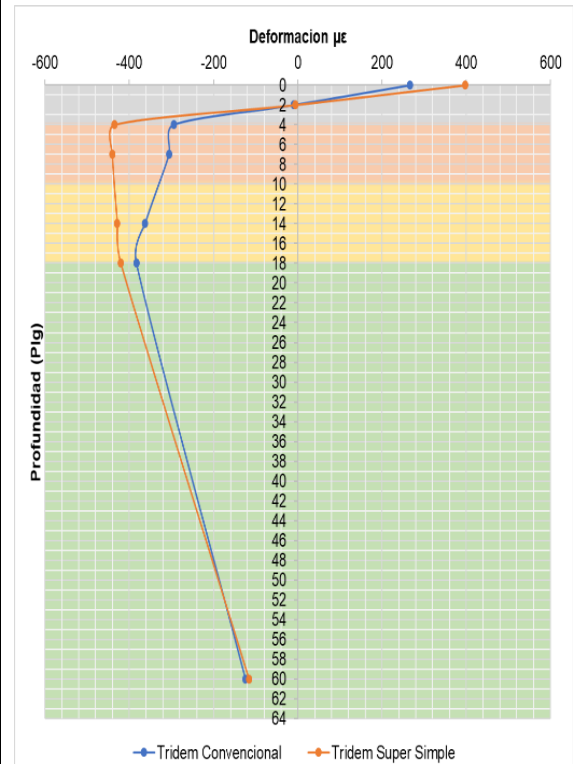


### T3S3 N° 50

| Punto de análisis | Profundidades (in) | T3S3 N°50 Tridem Super Simple |            |                          |                            |
|-------------------|--------------------|-------------------------------|------------|--------------------------|----------------------------|
|                   |                    | Deformación (µε)              |            | Deformación por tracción | Deformación por compresión |
|                   |                    | Vertical                      | Horizontal |                          |                            |
| 1                 | 0                  | -279.40                       | 397.60     | -434.900                 | 680.20                     |
| 2                 | 2                  | 106.10                        | -6.03      |                          |                            |
| 3                 | 4                  | 489.70                        | -434.90    |                          |                            |
| 4                 | 7                  | 894.20                        | -440.60    |                          |                            |
| 5                 | 14                 | 791.10                        | -428.90    |                          |                            |
| 6                 | 18                 | 680.20                        | -420.80    |                          |                            |
| 7                 | 60                 | 210.80                        | -116.40    |                          |                            |

| Punto de análisis | Profundidades (in) | T3S3 N°50 Tridem Convencional |            |                          |                            |
|-------------------|--------------------|-------------------------------|------------|--------------------------|----------------------------|
|                   |                    | Deformación (µε)              |            | Deformación por tracción | Deformación por compresión |
|                   |                    | Vertical                      | Horizontal |                          |                            |
| 1                 | 0                  | -170.7                        | 266.10     | -130.70                  | 593.70                     |
| 2                 | 2                  | 86.48                         | -9.84      |                          |                            |
| 3                 | 4                  | 314.70                        | -294.90    |                          |                            |
| 4                 | 7                  | 593.90                        | -305.90    |                          |                            |
| 5                 | 14                 | 635.70                        | -362.80    |                          |                            |
| 6                 | 18                 | 593.70                        | -383.30    |                          |                            |
| 7                 | 60                 | 231.30                        | -124.20    |                          |                            |

| Punto de análisis | Profundidades (in) | Relación         |            |                          |                            |
|-------------------|--------------------|------------------|------------|--------------------------|----------------------------|
|                   |                    | Deformación (µε) |            | Deformación por tracción | Deformación por compresión |
|                   |                    | Vertical         | Horizontal |                          |                            |
| 1                 | 0                  | 1.637            | 1.494      | 3.33                     | 1.15                       |
| 2                 | 2                  | 1.227            | 0.613      |                          |                            |
| 3                 | 4                  | 1.556            | 1.475      |                          |                            |
| 4                 | 7                  | 1.506            | 1.440      |                          |                            |
| 5                 | 14                 | 1.244            | 1.182      |                          |                            |
| 6                 | 18                 | 1.146            | 1.098      |                          |                            |
| 7                 | 60                 | 0.911            | 0.937      |                          |                            |

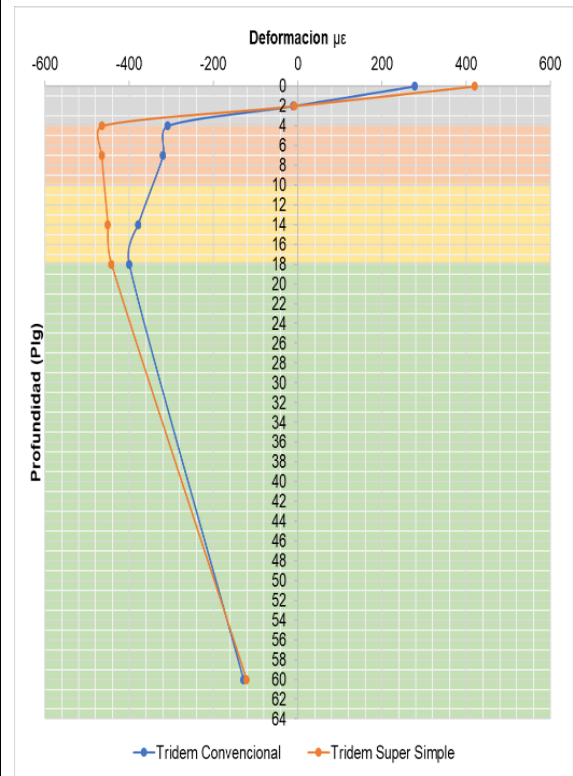


## T3S3 N° 51

| Punto de análisis | Profundidades (in) | T3S3 N°51 Tridem Super Simple |            |                          |                            |
|-------------------|--------------------|-------------------------------|------------|--------------------------|----------------------------|
|                   |                    | Deformación ( $\mu\epsilon$ ) |            | Deformación por tracción | Deformación por compresión |
|                   |                    | Vertical                      | Horizontal |                          |                            |
| 1                 | 0                  | -290.20                       | 420.20     | -464.600                 | 712.40                     |
| 2                 | 2                  | 116.80                        | -7.98      |                          |                            |
| 3                 | 4                  | 521.30                        | -464.60    |                          |                            |
| 4                 | 7                  | 939.60                        | -465.30    |                          |                            |
| 5                 | 14                 | 827.60                        | -450.80    |                          |                            |
| 6                 | 18                 | 712.40                        | -442.40    |                          |                            |
| 7                 | 60                 | 221.60                        | -121.70    |                          |                            |

| Punto de análisis | Profundidades (in) | T3S3 N°51 Tridem Convencional |            |                          |                            |
|-------------------|--------------------|-------------------------------|------------|--------------------------|----------------------------|
|                   |                    | Deformación ( $\mu\epsilon$ ) |            | Deformación por tracción | Deformación por compresión |
|                   |                    | Vertical                      | Horizontal |                          |                            |
| 1                 | 0                  | -176.3                        | 277.30     | -138.80                  | 619.80                     |
| 2                 | 2                  | 91.67                         | -10.77     |                          |                            |
| 3                 | 4                  | 328.90                        | -308.60    |                          |                            |
| 4                 | 7                  | 619.20                        | -319.70    |                          |                            |
| 5                 | 14                 | 663.40                        | -379.30    |                          |                            |
| 6                 | 18                 | 619.80                        | -400.40    |                          |                            |
| 7                 | 60                 | 240.50                        | -128.90    |                          |                            |

| Punto de análisis | Profundidades (in) | Relación                      |            |                          |                            |
|-------------------|--------------------|-------------------------------|------------|--------------------------|----------------------------|
|                   |                    | Deformación ( $\mu\epsilon$ ) |            | Deformación por tracción | Deformación por compresión |
|                   |                    | Vertical                      | Horizontal |                          |                            |
| 1                 | 0                  | 1.646                         | 1.515      | 3.35                     | 1.15                       |
| 2                 | 2                  | 1.274                         | 0.741      |                          |                            |
| 3                 | 4                  | 1.585                         | 1.506      |                          |                            |
| 4                 | 7                  | 1.517                         | 1.455      |                          |                            |
| 5                 | 14                 | 1.248                         | 1.189      |                          |                            |
| 6                 | 18                 | 1.149                         | 1.105      |                          |                            |
| 7                 | 60                 | 0.921                         | 0.944      |                          |                            |

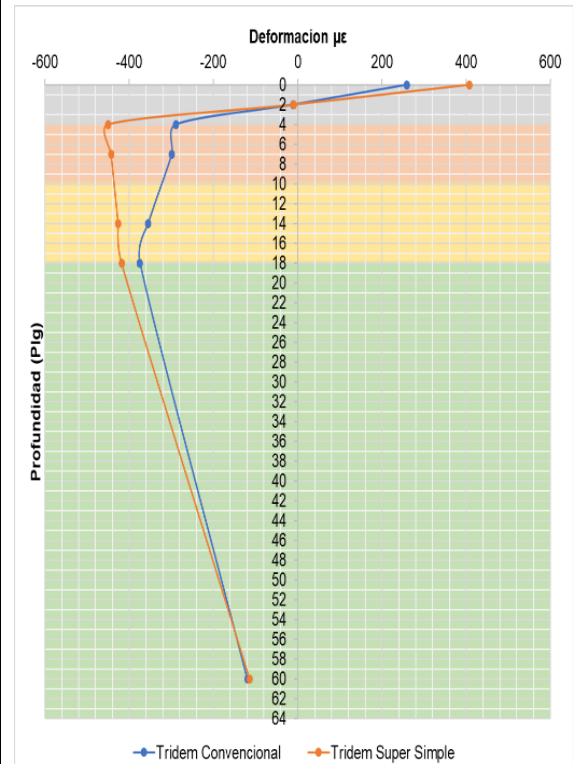


## T3S3 N° 52

| Punto de análisis | Profundidades (in) | T3S3 N°52 Tridem Super Simple |            |                          |                            |
|-------------------|--------------------|-------------------------------|------------|--------------------------|----------------------------|
|                   |                    | Deformación ( $\mu\epsilon$ ) |            | Deformación por tracción | Deformación por compresión |
|                   |                    | Vertical                      | Horizontal |                          |                            |
| 1                 | 0                  | -270.50                       | 407.60     | -449.800                 | 670.10                     |
| 2                 | 2                  | 118.30                        | -9.98      |                          |                            |
| 3                 | 4                  | 501.90                        | -449.80    |                          |                            |
| 4                 | 7                  | 887.30                        | -442.70    |                          |                            |
| 5                 | 14                 | 777.00                        | -426.20    |                          |                            |
| 6                 | 18                 | 670.10                        | -418.10    |                          |                            |
| 7                 | 60                 | 209.30                        | -114.00    |                          |                            |

| Punto de análisis | Profundidades (in) | T3S3 N°52 Tridem Convencional |            |                          |                            |
|-------------------|--------------------|-------------------------------|------------|--------------------------|----------------------------|
|                   |                    | Deformación ( $\mu\epsilon$ ) |            | Deformación por tracción | Deformación por compresión |
|                   |                    | Vertical                      | Horizontal |                          |                            |
| 1                 | 0                  | -162.7                        | 258.60     | -132.40                  | 579.50                     |
| 2                 | 2                  | 87.29                         | -10.64     |                          |                            |
| 3                 | 4                  | 308.00                        | -289.30    |                          |                            |
| 4                 | 7                  | 578.00                        | -299.40    |                          |                            |
| 5                 | 14                 | 620.00                        | -355.10    |                          |                            |
| 6                 | 18                 | 579.50                        | -374.70    |                          |                            |
| 7                 | 60                 | 223.80                        | -119.60    |                          |                            |

| Punto de análisis | Profundidades (in) | Relación                      |            |                          |                            |
|-------------------|--------------------|-------------------------------|------------|--------------------------|----------------------------|
|                   |                    | Deformación ( $\mu\epsilon$ ) |            | Deformación por tracción | Deformación por compresión |
|                   |                    | Vertical                      | Horizontal |                          |                            |
| 1                 | 0                  | 1.663                         | 1.576      | 3.40                     | 1.16                       |
| 2                 | 2                  | 1.355                         | 0.938      |                          |                            |
| 3                 | 4                  | 1.630                         | 1.555      |                          |                            |
| 4                 | 7                  | 1.535                         | 1.479      |                          |                            |
| 5                 | 14                 | 1.253                         | 1.200      |                          |                            |
| 6                 | 18                 | 1.156                         | 1.116      |                          |                            |
| 7                 | 60                 | 0.935                         | 0.953      |                          |                            |

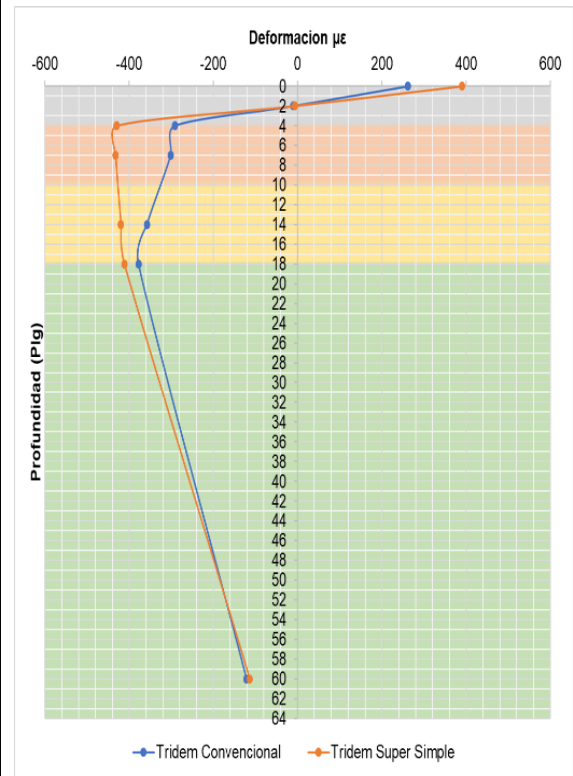


### T3S3 N° 53

| Punto de análisis | Profundidades (in) | T3S3 N°53 Tridem Super Simple |            |                          |                            |
|-------------------|--------------------|-------------------------------|------------|--------------------------|----------------------------|
|                   |                    | Deformación (µε)              |            | Deformación por tracción | Deformación por compresión |
|                   |                    | Vertical                      | Horizontal |                          |                            |
| 1                 | 0                  | -271.30                       | 390.20     | -429.500                 | 663.80                     |
| 2                 | 2                  | 106.70                        | -6.80      |                          |                            |
| 3                 | 4                  | 482.60                        | -429.50    |                          |                            |
| 4                 | 7                  | 874.50                        | -432.10    |                          |                            |
| 5                 | 14                 | 771.60                        | -419.50    |                          |                            |
| 6                 | 18                 | 663.80                        | -411.60    |                          |                            |
| 7                 | 60                 | 206.20                        | -113.50    |                          |                            |

| Punto de análisis | Profundidades (in) | T3S3 N°53 Tridem Convencional |            |                          |                            |
|-------------------|--------------------|-------------------------------|------------|--------------------------|----------------------------|
|                   |                    | Deformación (µε)              |            | Deformación por tracción | Deformación por compresión |
|                   |                    | Vertical                      | Horizontal |                          |                            |
| 1                 | 0                  | -165.4                        | 261.10     | -131.90                  | 584.30                     |
| 2                 | 2                  | 87.01                         | -10.36     |                          |                            |
| 3                 | 4                  | 310.30                        | -291.20    |                          |                            |
| 4                 | 7                  | 583.40                        | -301.60    |                          |                            |
| 5                 | 14                 | 625.40                        | -357.80    |                          |                            |
| 6                 | 18                 | 584.30                        | -377.70    |                          |                            |
| 7                 | 60                 | 226.30                        | -121.20    |                          |                            |

| Punto de análisis | Profundidades (in) | Relación         |            |                          |                            |
|-------------------|--------------------|------------------|------------|--------------------------|----------------------------|
|                   |                    | Deformación (µε) |            | Deformación por tracción | Deformación por compresión |
|                   |                    | Vertical         | Horizontal |                          |                            |
| 1                 | 0                  | 1.640            | 1.494      | 3.26                     | 1.14                       |
| 2                 | 2                  | 1.226            | 0.657      |                          |                            |
| 3                 | 4                  | 1.555            | 1.475      |                          |                            |
| 4                 | 7                  | 1.499            | 1.433      |                          |                            |
| 5                 | 14                 | 1.234            | 1.172      |                          |                            |
| 6                 | 18                 | 1.136            | 1.090      |                          |                            |
| 7                 | 60                 | 0.911            | 0.936      |                          |                            |

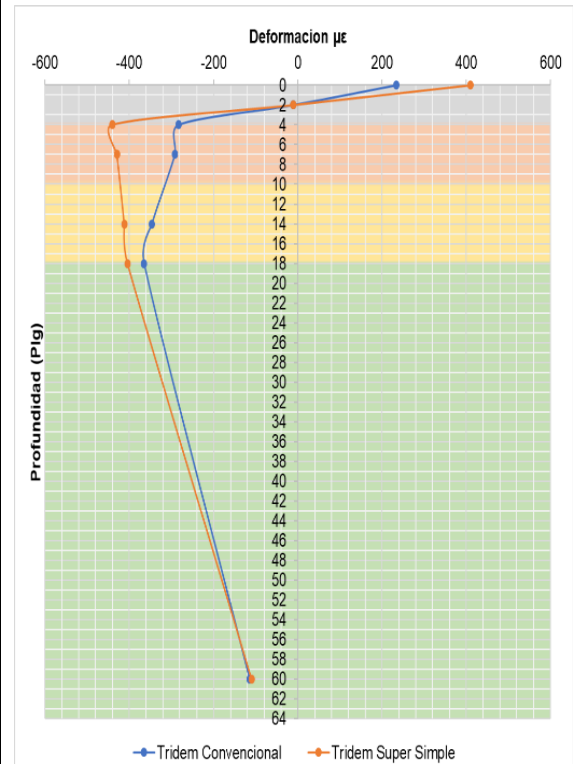


### T3S3 N° 54

| Punto de análisis | Profundidades (in) | T3S3 N°54 Tridem Super Simple |            |                          |                            |
|-------------------|--------------------|-------------------------------|------------|--------------------------|----------------------------|
|                   |                    | Deformación (µε)              |            | Deformación por tracción | Deformación por compresión |
|                   |                    | Vertical                      | Horizontal |                          |                            |
| 1                 | 0                  | -259.60                       | 409.70     | -440.800                 | 645.70                     |
| 2                 | 2                  | 119.30                        | -11.21     |                          |                            |
| 3                 | 4                  | 490.20                        | -440.80    |                          |                            |
| 4                 | 7                  | 856.50                        | -429.30    |                          |                            |
| 5                 | 14                 | 747.70                        | -411.80    |                          |                            |
| 6                 | 18                 | 645.70                        | -404.00    |                          |                            |
| 7                 | 60                 | 202.10                        | -109.60    |                          |                            |

| Punto de análisis | Profundidades (in) | T3S3 N°54 Tridem Convencional |            |                          |                            |
|-------------------|--------------------|-------------------------------|------------|--------------------------|----------------------------|
|                   |                    | Deformación (µε)              |            | Deformación por tracción | Deformación por compresión |
|                   |                    | Vertical                      | Horizontal |                          |                            |
| 1                 | 0                  | -168.3                        | 233.40     | -134.20                  | 564.20                     |
| 2                 | 2                  | 88.19                         | -11.51     |                          |                            |
| 3                 | 4                  | 300.70                        | -283.30    |                          |                            |
| 4                 | 7                  | 561.00                        | -292.30    |                          |                            |
| 5                 | 14                 | 603.30                        | -346.80    |                          |                            |
| 6                 | 18                 | 564.20                        | -365.30    |                          |                            |
| 7                 | 60                 | 215.70                        | -114.60    |                          |                            |

| Punto de análisis | Profundidades (in) | Relación         |            |                          |                            |
|-------------------|--------------------|------------------|------------|--------------------------|----------------------------|
|                   |                    | Deformación (µε) |            | Deformación por tracción | Deformación por compresión |
|                   |                    | Vertical         | Horizontal |                          |                            |
| 1                 | 0                  | 1.542            | 1.755      | 3.28                     | 1.14                       |
| 2                 | 2                  | 1.353            | 0.974      |                          |                            |
| 3                 | 4                  | 1.630            | 1.556      |                          |                            |
| 4                 | 7                  | 1.527            | 1.469      |                          |                            |
| 5                 | 14                 | 1.239            | 1.187      |                          |                            |
| 6                 | 18                 | 1.144            | 1.106      |                          |                            |
| 7                 | 60                 | 0.937            | 0.956      |                          |                            |

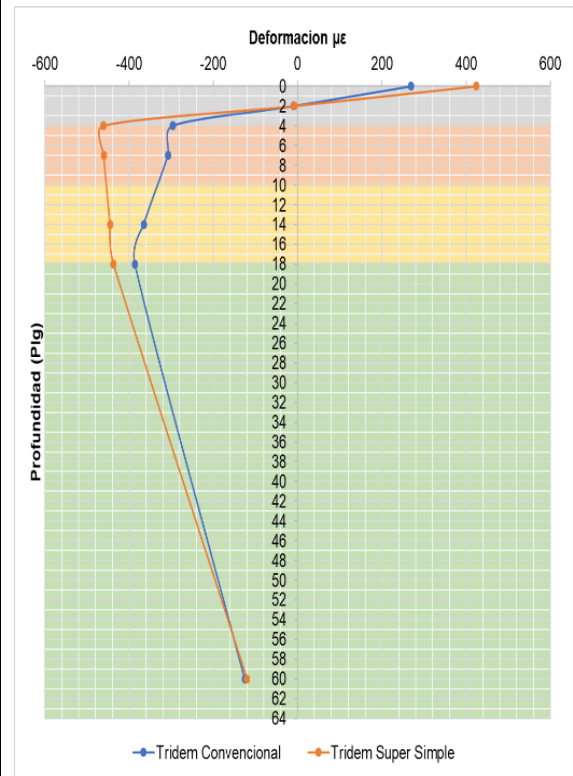


### T3S3 N° 55

| Punto de análisis | Profundidades (in) | T3S3 N°55 Tridem Super Simple |            |                          |                            |
|-------------------|--------------------|-------------------------------|------------|--------------------------|----------------------------|
|                   |                    | Deformación (µε)              |            | Deformación por tracción | Deformación por compresión |
|                   |                    | Vertical                      | Horizontal |                          |                            |
| 1                 | 0                  | -287.4                        | 423.50     | -461.300                 | 702.70                     |
| 2                 | 2                  | 117.20                        | -8.45      |                          |                            |
| 3                 | 4                  | 517.00                        | -461.30    |                          |                            |
| 4                 | 7                  | 927.70                        | -460.10    |                          |                            |
| 5                 | 14                 | 816.00                        | -445.20    |                          |                            |
| 6                 | 18                 | 702.70                        | -436.80    |                          |                            |
| 7                 | 60                 | 218.80                        | -120.00    |                          |                            |

| Punto de análisis | Profundidades (in) | T3S3 N°55 Tridem Convencional |            |                          |                            |
|-------------------|--------------------|-------------------------------|------------|--------------------------|----------------------------|
|                   |                    | Deformación (µε)              |            | Deformación por tracción | Deformación por compresión |
|                   |                    | Vertical                      | Horizontal |                          |                            |
| 1                 | 0                  | -173.3                        | 268.60     | -130.20                  | 598.40                     |
| 2                 | 2                  | 86.11                         | -9.53      |                          |                            |
| 3                 | 4                  | 316.90                        | -296.80    |                          |                            |
| 4                 | 7                  | 599.10                        | -308.10    |                          |                            |
| 5                 | 14                 | 640.90                        | -365.40    |                          |                            |
| 6                 | 18                 | 598.40                        | -386.10    |                          |                            |
| 7                 | 60                 | 233.70                        | -125.80    |                          |                            |

| Punto de análisis | Profundidades (in) | Relación         |            |                          |                            |
|-------------------|--------------------|------------------|------------|--------------------------|----------------------------|
|                   |                    | Deformación (µε) |            | Deformación por tracción | Deformación por compresión |
|                   |                    | Vertical         | Horizontal |                          |                            |
| 1                 | 0                  | 1.658            | 1.577      | 3.54                     | 1.17                       |
| 2                 | 2                  | 1.361            | 0.887      |                          |                            |
| 3                 | 4                  | 1.631            | 1.554      |                          |                            |
| 4                 | 7                  | 1.548            | 1.493      |                          |                            |
| 5                 | 14                 | 1.273            | 1.218      |                          |                            |
| 6                 | 18                 | 1.174            | 1.131      |                          |                            |
| 7                 | 60                 | 0.936            | 0.954      |                          |                            |

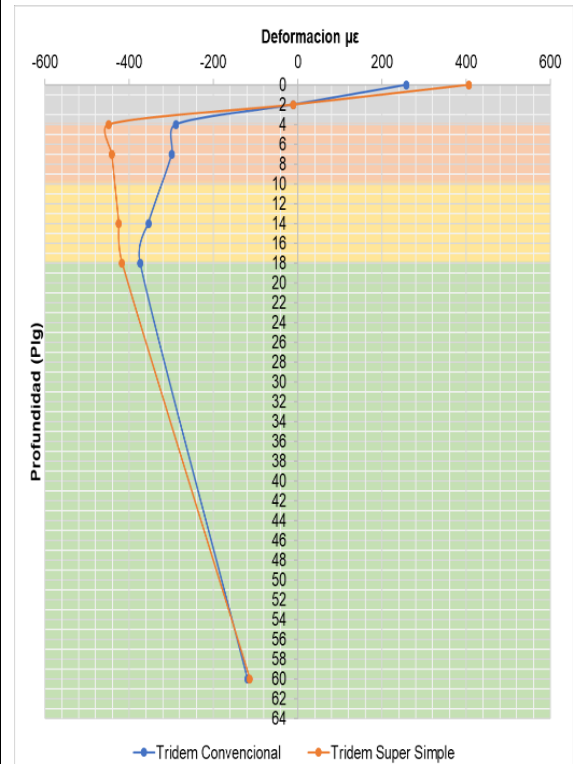


### T3S3 N° 56

| Punto de análisis | Profundidades (in) | T3S3 N°56 Tridem Super Simple |            |                          |                            |
|-------------------|--------------------|-------------------------------|------------|--------------------------|----------------------------|
|                   |                    | Deformación (µε)              |            | Deformación por tracción | Deformación por compresión |
|                   |                    | Vertical                      | Horizontal |                          |                            |
| 1                 | 0                  | -269.5                        | 406.70     | -449.100                 | 668.20                     |
| 2                 | 2                  | 118.40                        | -10.07     |                          |                            |
| 3                 | 4                  | 501.00                        | -449.10    |                          |                            |
| 4                 | 7                  | 884.90                        | -441.60    |                          |                            |
| 5                 | 14                 | 774.70                        | -425.10    |                          |                            |
| 6                 | 18                 | 668.20                        | -417.00    |                          |                            |
| 7                 | 60                 | 208.80                        | -113.70    |                          |                            |

| Punto de análisis | Profundidades (in) | T3S3 N°56 Tridem Convencional |            |                          |                            |
|-------------------|--------------------|-------------------------------|------------|--------------------------|----------------------------|
|                   |                    | Deformación (µε)              |            | Deformación por tracción | Deformación por compresión |
|                   |                    | Vertical                      | Horizontal |                          |                            |
| 1                 | 0                  | -162.0                        | 257.90     | -132.50                  | 578.20                     |
| 2                 | 2                  | 87.36                         | -10.71     |                          |                            |
| 3                 | 4                  | 307.40                        | -288.80    |                          |                            |
| 4                 | 7                  | 576.60                        | -298.80    |                          |                            |
| 5                 | 14                 | 618.70                        | -354.50    |                          |                            |
| 6                 | 18                 | 578.20                        | -373.90    |                          |                            |
| 7                 | 60                 | 223.10                        | -119.20    |                          |                            |

| Punto de análisis | Profundidades (in) | Relación         |            |                          |                            |
|-------------------|--------------------|------------------|------------|--------------------------|----------------------------|
|                   |                    | Deformación (µε) |            | Deformación por tracción | Deformación por compresión |
|                   |                    | Vertical         | Horizontal |                          |                            |
| 1                 | 0                  | 1.664            | 1.577      | 3.39                     | 1.16                       |
| 2                 | 2                  | 1.355            | 0.940      |                          |                            |
| 3                 | 4                  | 1.630            | 1.555      |                          |                            |
| 4                 | 7                  | 1.535            | 1.478      |                          |                            |
| 5                 | 14                 | 1.252            | 1.199      |                          |                            |
| 6                 | 18                 | 1.156            | 1.115      |                          |                            |
| 7                 | 60                 | 0.936            | 0.954      |                          |                            |



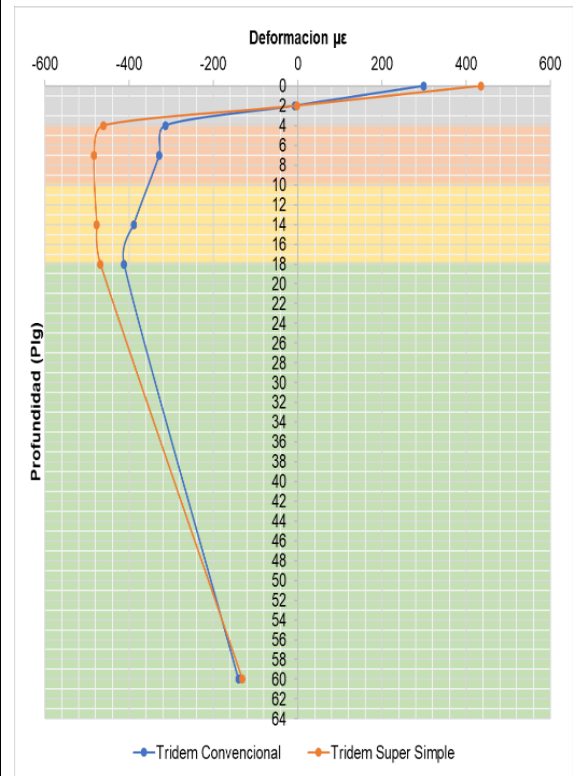


## T3S3 N° 57

| Punto de análisis | Profundidades (in) | T3S3 N°57 Tridem Super Simple |            |                          |                            |
|-------------------|--------------------|-------------------------------|------------|--------------------------|----------------------------|
|                   |                    | Deformación (µε)              |            | Deformación por tracción | Deformación por compresión |
|                   |                    | Vertical                      | Horizontal |                          |                            |
| 1                 | 0                  | -319.60                       | 435.30     | -460.800                 | 767.10                     |
| 2                 | 2                  | 103.10                        | -1.98      |                          |                            |
| 3                 | 4                  | 524.10                        | -460.80    |                          |                            |
| 4                 | 7                  | 995.10                        | -483.30    |                          |                            |
| 5                 | 14                 | 894.10                        | -477.50    |                          |                            |
| 6                 | 18                 | 767.10                        | -468.80    |                          |                            |
| 7                 | 60                 | 234.50                        | -131.50    |                          |                            |

| Punto de análisis | Profundidades (in) | T3S3 N°57 Tridem Convencional |            |                          |                            |
|-------------------|--------------------|-------------------------------|------------|--------------------------|----------------------------|
|                   |                    | Deformación (µε)              |            | Deformación por tracción | Deformación por compresión |
|                   |                    | Vertical                      | Horizontal |                          |                            |
| 1                 | 0                  | -200.5                        | 299.20     | -124.20                  | 643.70                     |
| 2                 | 2                  | 83.64                         | -7.02      |                          |                            |
| 3                 | 4                  | 337.60                        | -314.00    |                          |                            |
| 4                 | 7                  | 650.10                        | -328.90    |                          |                            |
| 5                 | 14                 | 691.40                        | -389.20    |                          |                            |
| 6                 | 18                 | 643.70                        | -412.40    |                          |                            |
| 7                 | 60                 | 257.40                        | -140.80    |                          |                            |

| Punto de análisis | Profundidades (in) | Relación         |            |                          |                            |
|-------------------|--------------------|------------------|------------|--------------------------|----------------------------|
|                   |                    | Deformación (µε) |            | Deformación por tracción | Deformación por compresión |
|                   |                    | Vertical         | Horizontal |                          |                            |
| 1                 | 0                  | 1.594            | 1.455      | 3.71                     | 1.19                       |
| 2                 | 2                  | 1.233            | 0.282      |                          |                            |
| 3                 | 4                  | 1.552            | 1.468      |                          |                            |
| 4                 | 7                  | 1.531            | 1.469      |                          |                            |
| 5                 | 14                 | 1.293            | 1.227      |                          |                            |
| 6                 | 18                 | 1.192            | 1.137      |                          |                            |
| 7                 | 60                 | 0.911            | 0.934      |                          |                            |

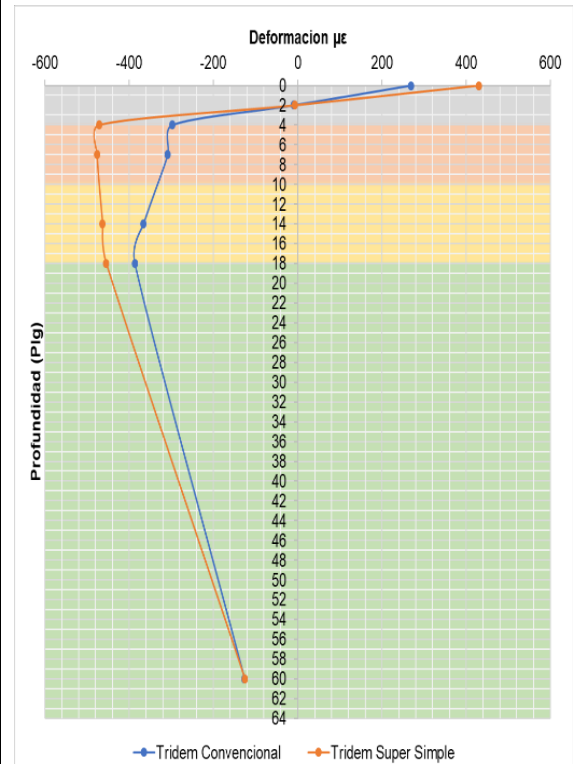


## T3S3 N° 58

| Punto de análisis | Profundidades (in) | T3S3 N°58 Tridem Super Simple |            |                          |                            |
|-------------------|--------------------|-------------------------------|------------|--------------------------|----------------------------|
|                   |                    | Deformación (µε)              |            | Deformación por tracción | Deformación por compresión |
|                   |                    | Vertical                      | Horizontal |                          |                            |
| 1                 | 0                  | -300.90                       | 430.20     | -471.900                 | 734.10                     |
| 2                 | 2                  | 116.00                        | -6.95      |                          |                            |
| 3                 | 4                  | 530.80                        | -471.90    |                          |                            |
| 4                 | 7                  | 965.90                        | -476.50    |                          |                            |
| 5                 | 14                 | 853.50                        | -463.30    |                          |                            |
| 6                 | 18                 | 734.10                        | -454.60    |                          |                            |
| 7                 | 60                 | 227.70                        | -125.60    |                          |                            |

| Punto de análisis | Profundidades (in) | T3S3 N°58 Tridem Convencional |            |                          |                            |
|-------------------|--------------------|-------------------------------|------------|--------------------------|----------------------------|
|                   |                    | Deformación (µε)              |            | Deformación por tracción | Deformación por compresión |
|                   |                    | Vertical                      | Horizontal |                          |                            |
| 1                 | 0                  | -174.2                        | 269.40     | -129.90                  | 599.90                     |
| 2                 | 2                  | 86.03                         | -9.44      |                          |                            |
| 3                 | 4                  | 317.60                        | -297.30    |                          |                            |
| 4                 | 7                  | 600.80                        | -308.80    |                          |                            |
| 5                 | 14                 | 642.50                        | -366.10    |                          |                            |
| 6                 | 18                 | 599.90                        | -387.00    |                          |                            |
| 7                 | 60                 | 234.50                        | -126.30    |                          |                            |

| Punto de análisis | Profundidades (in) | Relación         |            |                          |                            |
|-------------------|--------------------|------------------|------------|--------------------------|----------------------------|
|                   |                    | Deformación (µε) |            | Deformación por tracción | Deformación por compresión |
|                   |                    | Vertical         | Horizontal |                          |                            |
| 1                 | 0                  | 1.727            | 1.597      | 3.63                     | 1.22                       |
| 2                 | 2                  | 1.348            | 0.736      |                          |                            |
| 3                 | 4                  | 1.671            | 1.587      |                          |                            |
| 4                 | 7                  | 1.608            | 1.543      |                          |                            |
| 5                 | 14                 | 1.328            | 1.266      |                          |                            |
| 6                 | 18                 | 1.224            | 1.175      |                          |                            |
| 7                 | 60                 | 0.971            | 0.994      |                          |                            |

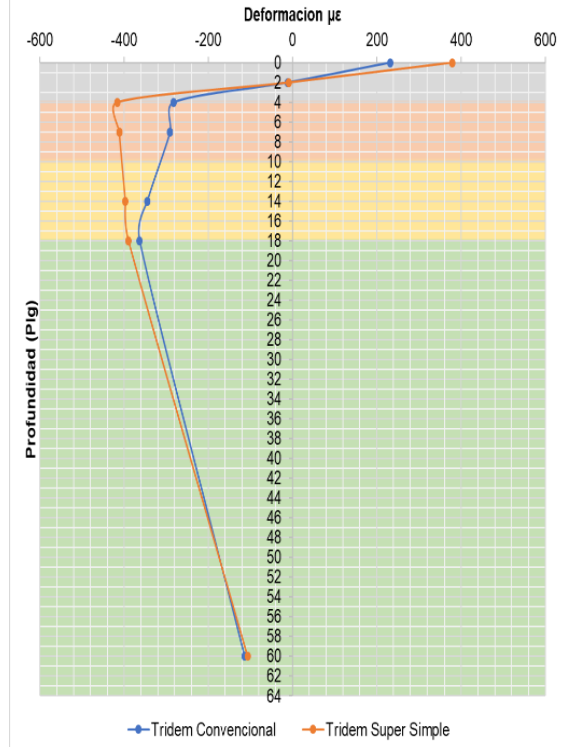


## T3S3 N° 59

| Punto de análisis | Profundidades (in) | T3S3 N°59 Tridem Super Simple |            |                          |                            |
|-------------------|--------------------|-------------------------------|------------|--------------------------|----------------------------|
|                   |                    | Deformación (μɛ)              |            | Deformación por tracción | Deformación por compresión |
|                   |                    | Vertical                      | Horizontal |                          |                            |
| 1                 | 0                  | -253.40                       | 378.80     | -416.100                 | 624.70                     |
| 2                 | 2                  | 108.20                        | -8.69      |                          |                            |
| 3                 | 4                  | 465.00                        | -416.10    |                          |                            |
| 4                 | 7                  | 826.40                        | -411.40    |                          |                            |
| 5                 | 14                 | 724.70                        | -396.80    |                          |                            |
| 6                 | 18                 | 624.70                        | -389.30    |                          |                            |
| 7                 | 60                 | 194.90                        | -106.40    |                          |                            |

| Punto de análisis | Profundidades (in) | T3S3 N°59 Tridem Convencional |            |                          |                            |
|-------------------|--------------------|-------------------------------|------------|--------------------------|----------------------------|
|                   |                    | Deformación (μɛ)              |            | Deformación por tracción | Deformación por compresión |
|                   |                    | Vertical                      | Horizontal |                          |                            |
| 1                 | 0                  | -166.3                        | 231.60     | -134.60                  | 560.30                     |
| 2                 | 2                  | 88.42                         | -11.73     |                          |                            |
| 3                 | 4                  | 298.80                        | -281.70    |                          |                            |
| 4                 | 7                  | 556.70                        | -290.50    |                          |                            |
| 5                 | 14                 | 599.10                        | -344.60    |                          |                            |
| 6                 | 18                 | 560.30                        | -362.90    |                          |                            |
| 7                 | 60                 | 213.70                        | -113.40    |                          |                            |

| Punto de análisis | Profundidades (in) | Relación         |            |                          |                            |
|-------------------|--------------------|------------------|------------|--------------------------|----------------------------|
|                   |                    | Deformación (μɛ) |            | Deformación por tracción | Deformación por compresión |
|                   |                    | Vertical         | Horizontal |                          |                            |
| 1                 | 0                  | 1.524            | 1.636      | 3.09                     | 1.11                       |
| 2                 | 2                  | 1.224            | 0.741      |                          |                            |
| 3                 | 4                  | 1.556            | 1.477      |                          |                            |
| 4                 | 7                  | 1.484            | 1.416      |                          |                            |
| 5                 | 14                 | 1.210            | 1.151      |                          |                            |
| 6                 | 18                 | 1.115            | 1.073      |                          |                            |
| 7                 | 60                 | 0.912            | 0.938      |                          |                            |

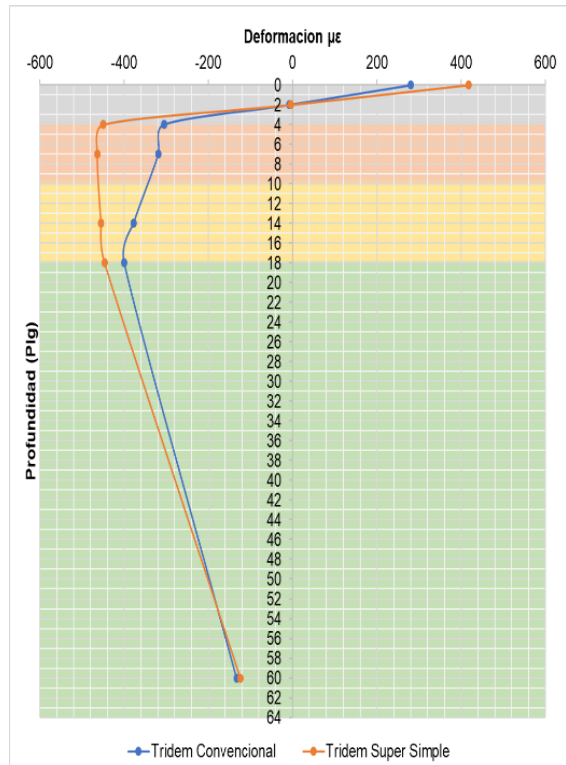


## T3S3 N° 60

| Punto de análisis | Profundidades (in) | T3S3 N°60 Tridem Super Simple |            |                          |                            |
|-------------------|--------------------|-------------------------------|------------|--------------------------|----------------------------|
|                   |                    | Deformación (μɛ)              |            | Deformación por tracción | Deformación por compresión |
|                   |                    | Vertical                      | Horizontal |                          |                            |
| 1                 | 0                  | -301.40                       | 418.20     | -449.400                 | 726.80                     |
| 2                 | 2                  | 104.40                        | -3.81      |                          |                            |
| 3                 | 4                  | 508.80                        | -449.40    |                          |                            |
| 4                 | 7                  | 949.00                        | -463.90    |                          |                            |
| 5                 | 14                 | 846.50                        | -455.10    |                          |                            |
| 6                 | 18                 | 726.80                        | -446.70    |                          |                            |
| 7                 | 60                 | 223.60                        | -124.60    |                          |                            |

| Punto de análisis | Profundidades (in) | T3S3 N°60 Tridem Convencional |            |                          |                            |
|-------------------|--------------------|-------------------------------|------------|--------------------------|----------------------------|
|                   |                    | Deformación (μɛ)              |            | Deformación por tracción | Deformación por compresión |
|                   |                    | Vertical                      | Horizontal |                          |                            |
| 1                 | 0                  | -186.1                        | 280.70     | -127.20                  | 621.20                     |
| 2                 | 2                  | 84.84                         | -8.26      |                          |                            |
| 3                 | 4                  | 327.40                        | -305.50    |                          |                            |
| 4                 | 7                  | 624.70                        | -318.60    |                          |                            |
| 5                 | 14                 | 666.20                        | -377.50    |                          |                            |
| 6                 | 18                 | 621.20                        | -399.50    |                          |                            |
| 7                 | 60                 | 245.70                        | -133.30    |                          |                            |

| Punto de análisis | Profundidades (in) | Relación         |            |                          |                            |
|-------------------|--------------------|------------------|------------|--------------------------|----------------------------|
|                   |                    | Deformación (μɛ) |            | Deformación por tracción | Deformación por compresión |
|                   |                    | Vertical         | Horizontal |                          |                            |
| 1                 | 0                  | 1.620            | 1.490      | 3.53                     | 1.17                       |
| 2                 | 2                  | 1.231            | 0.462      |                          |                            |
| 3                 | 4                  | 1.554            | 1.471      |                          |                            |
| 4                 | 7                  | 1.519            | 1.456      |                          |                            |
| 5                 | 14                 | 1.271            | 1.206      |                          |                            |
| 6                 | 18                 | 1.170            | 1.118      |                          |                            |
| 7                 | 60                 | 0.910            | 0.935      |                          |                            |

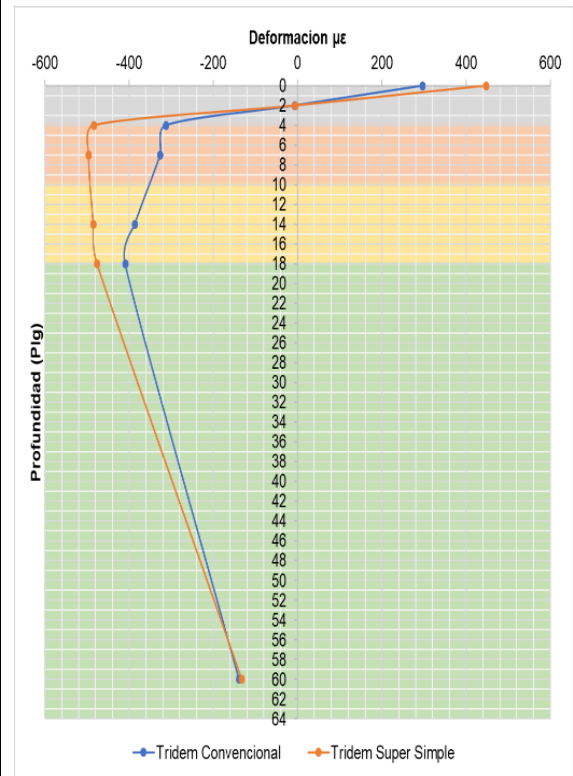


### T3S3 N° 61

| Punto de análisis | Profundidades (in) | T3S3 N°61 Tridem Super Simple |            |                          |                            |
|-------------------|--------------------|-------------------------------|------------|--------------------------|----------------------------|
|                   |                    | Deformación (µε)              |            | Deformación por tracción | Deformación por compresión |
|                   |                    | Vertical                      | Horizontal |                          |                            |
| 1                 | 0                  | -319.20                       | 447.30     | -484.000                 | 772.30                     |
| 2                 | 2                  | 114.60                        | -5.11      |                          |                            |
| 3                 | 4                  | 546.80                        | -484.00    |                          |                            |
| 4                 | 7                  | 1011.00                       | -495.90    |                          |                            |
| 5                 | 14                 | 899.00                        | -485.00    |                          |                            |
| 6                 | 18                 | 772.30                        | -476.00    |                          |                            |
| 7                 | 60                 | 238.30                        | -132.30    |                          |                            |

| Punto de análisis | Profundidades (in) | T3S3 N°61 Tridem Convencional |            |                          |                            |
|-------------------|--------------------|-------------------------------|------------|--------------------------|----------------------------|
|                   |                    | Deformación (µε)              |            | Deformación por tracción | Deformación por compresión |
|                   |                    | Vertical                      | Horizontal |                          |                            |
| 1                 | 0                  | -197.4                        | 296.10     | -124.90                  | 638.10                     |
| 2                 | 2                  | 83.93                         | -7.32      |                          |                            |
| 3                 | 4                  | 335.20                        | -312.00    |                          |                            |
| 4                 | 7                  | 643.90                        | -326.30    |                          |                            |
| 5                 | 14                 | 685.10                        | -386.30    |                          |                            |
| 6                 | 18                 | 638.10                        | -409.30    |                          |                            |
| 7                 | 60                 | 254.50                        | -138.90    |                          |                            |

| Punto de análisis | Profundidades (in) | Relación         |            |                          |                            |
|-------------------|--------------------|------------------|------------|--------------------------|----------------------------|
|                   |                    | Deformación (µε) |            | Deformación por tracción | Deformación por compresión |
|                   |                    | Vertical         | Horizontal |                          |                            |
| 1                 | 0                  | 1.617            | 1.511      | 3.88                     | 1.21                       |
| 2                 | 2                  | 1.365            | 0.698      |                          |                            |
| 3                 | 4                  | 1.631            | 1.551      |                          |                            |
| 4                 | 7                  | 1.570            | 1.520      |                          |                            |
| 5                 | 14                 | 1.312            | 1.256      |                          |                            |
| 6                 | 18                 | 1.210            | 1.163      |                          |                            |
| 7                 | 60                 | 0.936            | 0.952      |                          |                            |

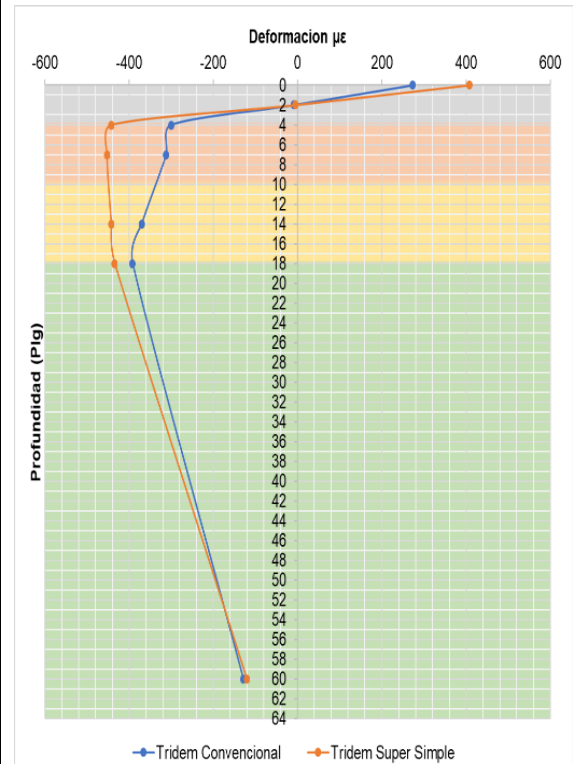


### T3S3 N° 62

| Punto de análisis | Profundidades (in) | T3S3 N°62 Tridem Super Simple |            |                          |                            |
|-------------------|--------------------|-------------------------------|------------|--------------------------|----------------------------|
|                   |                    | Deformación (µε)              |            | Deformación por tracción | Deformación por compresión |
|                   |                    | Vertical                      | Horizontal |                          |                            |
| 1                 | 0                  | -290.8                        | 408.40     | -442.500                 | 704.20                     |
| 2                 | 2                  | 105.20                        | -4.86      |                          |                            |
| 3                 | 4                  | 499.70                        | -442.50    |                          |                            |
| 4                 | 7                  | 922.70                        | -452.70    |                          |                            |
| 5                 | 14                 | 819.70                        | -442.50    |                          |                            |
| 6                 | 18                 | 704.20                        | -434.20    |                          |                            |
| 7                 | 60                 | 217.50                        | -120.60    |                          |                            |

| Punto de análisis | Profundidades (in) | T3S3 N°62 Tridem Convencional |            |                          |                            |
|-------------------|--------------------|-------------------------------|------------|--------------------------|----------------------------|
|                   |                    | Deformación (µε)              |            | Deformación por tracción | Deformación por compresión |
|                   |                    | Vertical                      | Horizontal |                          |                            |
| 1                 | 0                  | -178.6                        | 273.60     | -129.00                  | 607.80                     |
| 2                 | 2                  | 85.58                         | -9.00      |                          |                            |
| 3                 | 4                  | 321.30                        | -300.40    |                          |                            |
| 4                 | 7                  | 609.60                        | -312.40    |                          |                            |
| 5                 | 14                 | 651.30                        | -370.40    |                          |                            |
| 6                 | 18                 | 607.80                        | -391.70    |                          |                            |
| 7                 | 60                 | 238.70                        | -128.90    |                          |                            |

| Punto de análisis | Profundidades (in) | Relación         |            |                          |                            |
|-------------------|--------------------|------------------|------------|--------------------------|----------------------------|
|                   |                    | Deformación (µε) |            | Deformación por tracción | Deformación por compresión |
|                   |                    | Vertical         | Horizontal |                          |                            |
| 1                 | 0                  | 1.628            | 1.493      | 3.43                     | 1.16                       |
| 2                 | 2                  | 1.229            | 0.539      |                          |                            |
| 3                 | 4                  | 1.555            | 1.473      |                          |                            |
| 4                 | 7                  | 1.514            | 1.449      |                          |                            |
| 5                 | 14                 | 1.259            | 1.195      |                          |                            |
| 6                 | 18                 | 1.159            | 1.109      |                          |                            |
| 7                 | 60                 | 0.911            | 0.936      |                          |                            |

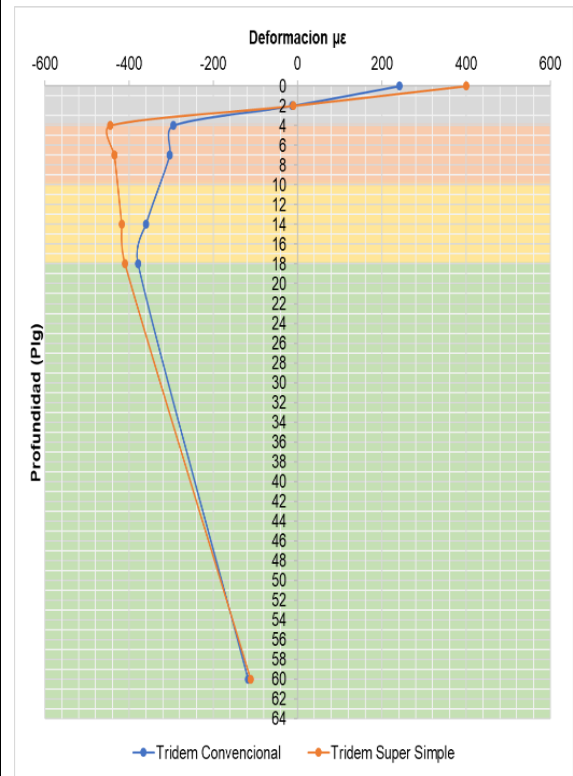


### T3S3 N° 63

| Punto de análisis | Profundidades (in) | T3S3 N°63 Tridem Super Simple |            |                          |                            |
|-------------------|--------------------|-------------------------------|------------|--------------------------|----------------------------|
|                   |                    | Deformación (µε)              |            | Deformación por tracción | Deformación por compresión |
|                   |                    | Vertical                      | Horizontal |                          |                            |
| 1                 | 0                  | -262.5                        | 400.20     | -444.300                 | 655.00                     |
| 2                 | 2                  | 118.90                        | -10.73     |                          |                            |
| 3                 | 4                  | 494.80                        | -444.30    |                          |                            |
| 4                 | 7                  | 868.30                        | -434.40    |                          |                            |
| 5                 | 14                 | 758.90                        | -417.30    |                          |                            |
| 6                 | 18                 | 655.00                        | -409.40    |                          |                            |
| 7                 | 60                 | 204.90                        | -111.30    |                          |                            |

| Punto de análisis | Profundidades (in) | T3S3 N°63 Tridem Convencional |            |                          |                            |
|-------------------|--------------------|-------------------------------|------------|--------------------------|----------------------------|
|                   |                    | Deformación (µε)              |            | Deformación por tracción | Deformación por compresión |
|                   |                    | Vertical                      | Horizontal |                          |                            |
| 1                 | 0                  | -172.5                        | 241.50     | -142.80                  | 585.40                     |
| 2                 | 2                  | 93.70                         | -12.73     |                          |                            |
| 3                 | 4                  | 312.50                        | -295.00    |                          |                            |
| 4                 | 7                  | 580.90                        | -303.90    |                          |                            |
| 5                 | 14                 | 625.70                        | -360.40    |                          |                            |
| 6                 | 18                 | 585.40                        | -379.20    |                          |                            |
| 7                 | 60                 | 222.30                        | -117.70    |                          |                            |

| Punto de análisis | Profundidades (in) | Relación         |            |                          |                            |
|-------------------|--------------------|------------------|------------|--------------------------|----------------------------|
|                   |                    | Deformación (µε) |            | Deformación por tracción | Deformación por compresión |
|                   |                    | Vertical         | Horizontal |                          |                            |
| 1                 | 0                  | 1.522            | 1.657      | 3.11                     | 1.12                       |
| 2                 | 2                  | 1.269            | 0.843      |                          |                            |
| 3                 | 4                  | 1.583            | 1.506      |                          |                            |
| 4                 | 7                  | 1.495            | 1.429      |                          |                            |
| 5                 | 14                 | 1.213            | 1.158      |                          |                            |
| 6                 | 18                 | 1.119            | 1.080      |                          |                            |
| 7                 | 60                 | 0.922            | 0.946      |                          |                            |

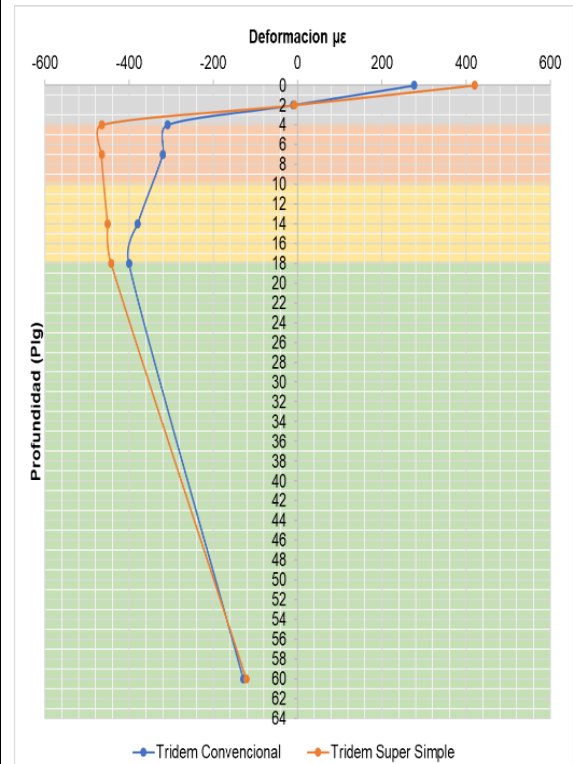


### T3S3 N° 64

| Punto de análisis | Profundidades (in) | T3S3 N°64 Tridem Super Simple |            |                          |                            |
|-------------------|--------------------|-------------------------------|------------|--------------------------|----------------------------|
|                   |                    | Deformación (µε)              |            | Deformación por tracción | Deformación por compresión |
|                   |                    | Vertical                      | Horizontal |                          |                            |
| 1                 | 0                  | -290.2                        | 420.20     | -464.600                 | 712.40                     |
| 2                 | 2                  | 116.80                        | -7.98      |                          |                            |
| 3                 | 4                  | 521.30                        | -464.60    |                          |                            |
| 4                 | 7                  | 939.60                        | -465.30    |                          |                            |
| 5                 | 14                 | 827.60                        | -450.80    |                          |                            |
| 6                 | 18                 | 712.40                        | -442.40    |                          |                            |
| 7                 | 60                 | 221.60                        | -121.70    |                          |                            |

| Punto de análisis | Profundidades (in) | T3S3 N°64 Tridem Convencional |            |                          |                            |
|-------------------|--------------------|-------------------------------|------------|--------------------------|----------------------------|
|                   |                    | Deformación (µε)              |            | Deformación por tracción | Deformación por compresión |
|                   |                    | Vertical                      | Horizontal |                          |                            |
| 1                 | 0                  | -176.3                        | 277.30     | -138.80                  | 619.80                     |
| 2                 | 2                  | 91.67                         | -10.77     |                          |                            |
| 3                 | 4                  | 328.90                        | -308.60    |                          |                            |
| 4                 | 7                  | 619.20                        | -319.70    |                          |                            |
| 5                 | 14                 | 663.40                        | -379.30    |                          |                            |
| 6                 | 18                 | 619.80                        | -400.40    |                          |                            |
| 7                 | 60                 | 240.50                        | -128.90    |                          |                            |

| Punto de análisis | Profundidades (in) | Relación         |            |                          |                            |
|-------------------|--------------------|------------------|------------|--------------------------|----------------------------|
|                   |                    | Deformación (µε) |            | Deformación por tracción | Deformación por compresión |
|                   |                    | Vertical         | Horizontal |                          |                            |
| 1                 | 0                  | 1.646            | 1.515      | 3.35                     | 1.15                       |
| 2                 | 2                  | 1.274            | 0.741      |                          |                            |
| 3                 | 4                  | 1.585            | 1.506      |                          |                            |
| 4                 | 7                  | 1.517            | 1.455      |                          |                            |
| 5                 | 14                 | 1.248            | 1.189      |                          |                            |
| 6                 | 18                 | 1.149            | 1.105      |                          |                            |
| 7                 | 60                 | 0.921            | 0.944      |                          |                            |

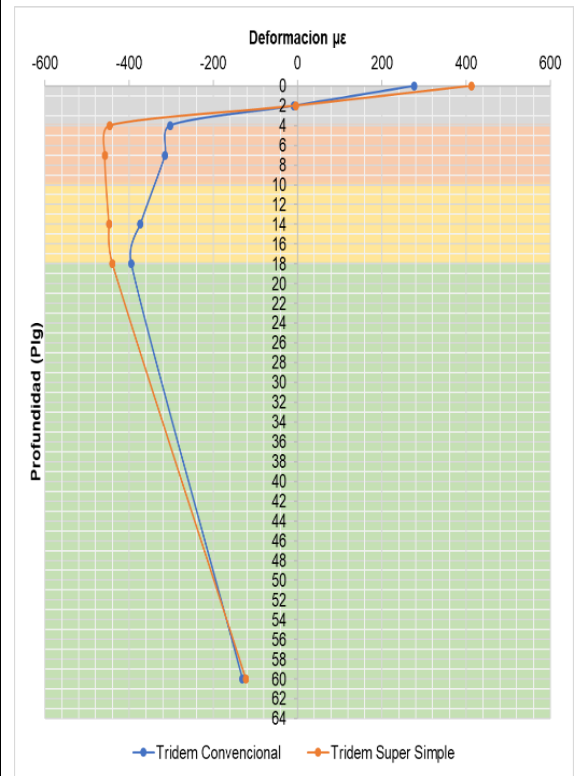


### T3S3 N° 65

| Punto de análisis | Profundidades (in) | T3S3 N°65 Tridem Super Simple |            |                          |                            |
|-------------------|--------------------|-------------------------------|------------|--------------------------|----------------------------|
|                   |                    | Deformación (µε)              |            | Deformación por tracción | Deformación por compresión |
|                   |                    | Vertical                      | Horizontal |                          |                            |
| 1                 | 0                  | -295.2                        | 412.50     | -445.400                 | 713.60                     |
| 2                 | 2                  | 104.80                        | -4.42      |                          |                            |
| 3                 | 4                  | 503.50                        | -445.40    |                          |                            |
| 4                 | 7                  | 933.70                        | -457.40    |                          |                            |
| 5                 | 14                 | 830.80                        | -447.70    |                          |                            |
| 6                 | 18                 | 713.60                        | -439.40    |                          |                            |
| 7                 | 60                 | 220.00                        | -122.30    |                          |                            |

| Punto de análisis | Profundidades (in) | T3S3 N°65 Tridem Convencional |            |                          |                            |
|-------------------|--------------------|-------------------------------|------------|--------------------------|----------------------------|
|                   |                    | Deformación (µε)              |            | Deformación por tracción | Deformación por compresión |
|                   |                    | Vertical                      | Horizontal |                          |                            |
| 1                 | 0                  | -182.0                        | 276.80     | -128.10                  | 613.80                     |
| 2                 | 2                  | 85.25                         | -8.67      |                          |                            |
| 3                 | 4                  | 324.10                        | -302.70    |                          |                            |
| 4                 | 7                  | 616.40                        | -315.20    |                          |                            |
| 5                 | 14                 | 658.00                        | -373.50    |                          |                            |
| 6                 | 18                 | 613.80                        | -395.20    |                          |                            |
| 7                 | 60                 | 241.80                        | -130.90    |                          |                            |

| Punto de análisis | Profundidades (in) | Relación         |            |                          |                            |
|-------------------|--------------------|------------------|------------|--------------------------|----------------------------|
|                   |                    | Deformación (µε) |            | Deformación por tracción | Deformación por compresión |
|                   |                    | Vertical         | Horizontal |                          |                            |
| 1                 | 0                  | 1.622            | 1.490      | 3.48                     | 1.16                       |
| 2                 | 2                  | 1.229            | 0.510      |                          |                            |
| 3                 | 4                  | 1.554            | 1.471      |                          |                            |
| 4                 | 7                  | 1.515            | 1.451      |                          |                            |
| 5                 | 14                 | 1.263            | 1.199      |                          |                            |
| 6                 | 18                 | 1.163            | 1.112      |                          |                            |
| 7                 | 60                 | 0.910            | 0.934      |                          |                            |

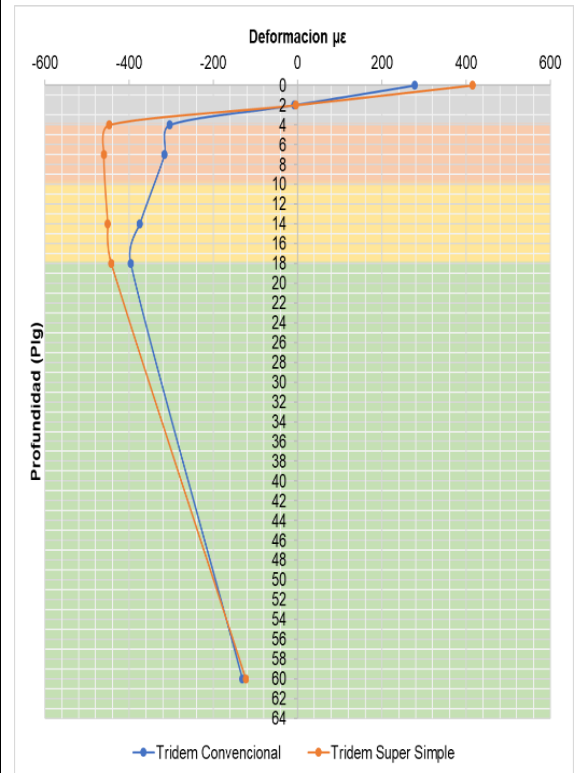


### T3S3 N° 66

| Punto de análisis | Profundidades (in) | T3S3 N°66 Tridem Super Simple |            |                          |                            |
|-------------------|--------------------|-------------------------------|------------|--------------------------|----------------------------|
|                   |                    | Deformación (µε)              |            | Deformación por tracción | Deformación por compresión |
|                   |                    | Vertical                      | Horizontal |                          |                            |
| 1                 | 0                  | -297.9                        | 414.90     | -447.100                 | 719.20                     |
| 2                 | 2                  | 104.70                        | -4.16      |                          |                            |
| 3                 | 4                  | 505.80                        | -447.10    |                          |                            |
| 4                 | 7                  | 940.30                        | -460.10    |                          |                            |
| 5                 | 14                 | 837.50                        | -450.90    |                          |                            |
| 6                 | 18                 | 719.20                        | -442.60    |                          |                            |
| 7                 | 60                 | 221.60                        | -123.30    |                          |                            |

| Punto de análisis | Profundidades (in) | T3S3 N°66 Tridem Convencional |            |                          |                            |
|-------------------|--------------------|-------------------------------|------------|--------------------------|----------------------------|
|                   |                    | Deformación (µε)              |            | Deformación por tracción | Deformación por compresión |
|                   |                    | Vertical                      | Horizontal |                          |                            |
| 1                 | 0                  | -183.5                        | 278.20     | -127.90                  | 616.50                     |
| 2                 | 2                  | 85.10                         | -8.52      |                          |                            |
| 3                 | 4                  | 325.30                        | -303.70    |                          |                            |
| 4                 | 7                  | 619.40                        | -316.40    |                          |                            |
| 5                 | 14                 | 661.00                        | -375.00    |                          |                            |
| 6                 | 18                 | 616.50                        | -396.80    |                          |                            |
| 7                 | 60                 | 243.20                        | -131.70    |                          |                            |

| Punto de análisis | Profundidades (in) | Relación         |            |                          |                            |
|-------------------|--------------------|------------------|------------|--------------------------|----------------------------|
|                   |                    | Deformación (µε) |            | Deformación por tracción | Deformación por compresión |
|                   |                    | Vertical         | Horizontal |                          |                            |
| 1                 | 0                  | 1.623            | 1.491      | 3.50                     | 1.17                       |
| 2                 | 2                  | 1.230            | 0.489      |                          |                            |
| 3                 | 4                  | 1.555            | 1.472      |                          |                            |
| 4                 | 7                  | 1.518            | 1.454      |                          |                            |
| 5                 | 14                 | 1.267            | 1.202      |                          |                            |
| 6                 | 18                 | 1.167            | 1.115      |                          |                            |
| 7                 | 60                 | 0.911            | 0.936      |                          |                            |

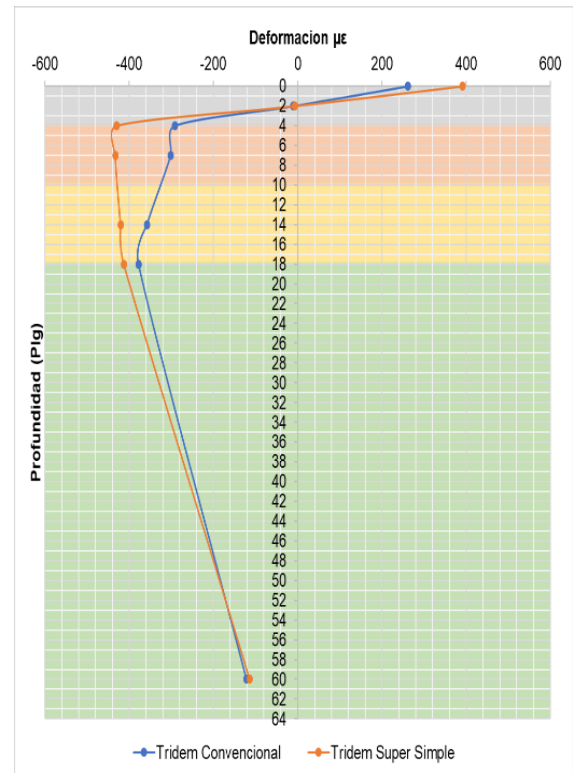


### T3S3 N° 67

| Punto de análisis | Profundidades (in) | T3S3 N°67 Tridem Super Simple |            |                          |                            |
|-------------------|--------------------|-------------------------------|------------|--------------------------|----------------------------|
|                   |                    | Deformación (µε)              |            | Deformación por tracción | Deformación por compresión |
|                   |                    | Vertical                      | Horizontal |                          |                            |
| 1                 | 0                  | -272.2                        | 391.00     | -430.100                 | 665.60                     |
| 2                 | 2                  | 106.60                        | -6.72      |                          |                            |
| 3                 | 4                  | 483.40                        | -430.10    |                          |                            |
| 4                 | 7                  | 876.60                        | -433.10    |                          |                            |
| 5                 | 14                 | 773.70                        | -420.50    |                          |                            |
| 6                 | 18                 | 665.60                        | -412.60    |                          |                            |
| 7                 | 60                 | 206.70                        | -113.80    |                          |                            |

| Punto de análisis | Profundidades (in) | T3S3 N°67 Tridem Convencional |            |                          |                            |
|-------------------|--------------------|-------------------------------|------------|--------------------------|----------------------------|
|                   |                    | Deformación (µε)              |            | Deformación por tracción | Deformación por compresión |
|                   |                    | Vertical                      | Horizontal |                          |                            |
| 1                 | 0                  | -165.7                        | 261.40     | -127.90                  | 584.80                     |
| 2                 | 2                  | 86.98                         | -10.33     |                          |                            |
| 3                 | 4                  | 310.50                        | -291.50    |                          |                            |
| 4                 | 7                  | 584.00                        | -301.80    |                          |                            |
| 5                 | 14                 | 625.90                        | -358.00    |                          |                            |
| 6                 | 18                 | 584.80                        | -377.90    |                          |                            |
| 7                 | 60                 | 226.60                        | -121.40    |                          |                            |

| Punto de análisis | Profundidades (in) | Relación         |            |                          |                            |
|-------------------|--------------------|------------------|------------|--------------------------|----------------------------|
|                   |                    | Deformación (µε) |            | Deformación por tracción | Deformación por compresión |
|                   |                    | Vertical         | Horizontal |                          |                            |
| 1                 | 0                  | 1.643            | 1.496      | 3.36                     | 1.14                       |
| 2                 | 2                  | 1.226            | 0.650      |                          |                            |
| 3                 | 4                  | 1.557            | 1.475      |                          |                            |
| 4                 | 7                  | 1.501            | 1.435      |                          |                            |
| 5                 | 14                 | 1.236            | 1.175      |                          |                            |
| 6                 | 18                 | 1.138            | 1.092      |                          |                            |
| 7                 | 60                 | 0.912            | 0.937      |                          |                            |

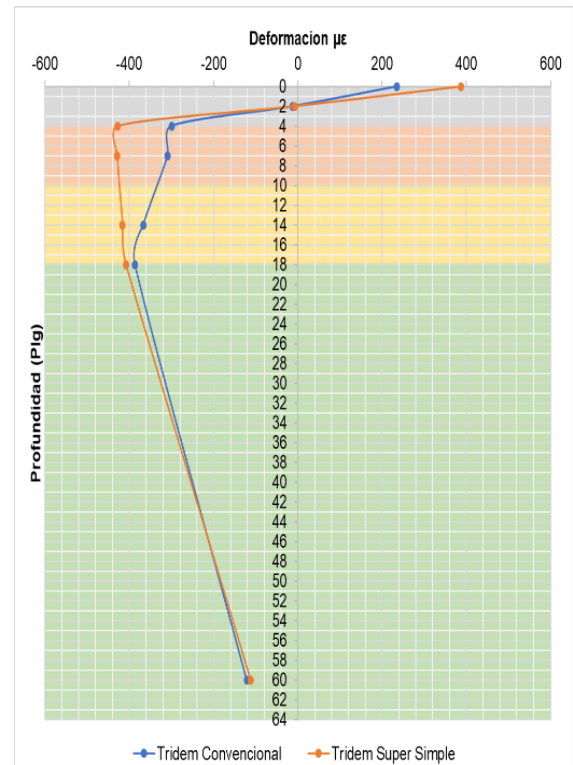


### T3S3 N° 68

| Punto de análisis | Profundidades (in) | T3S3 N°68 Tridem Super Simple |            |                          |                            |
|-------------------|--------------------|-------------------------------|------------|--------------------------|----------------------------|
|                   |                    | Deformación (µε)              |            | Deformación por tracción | Deformación por compresión |
|                   |                    | Vertical                      | Horizontal |                          |                            |
| 1                 | 0                  | -268.7                        | 387.70     | -427.70                  | 658.40                     |
| 2                 | 2                  | 106.90                        | -7.06      |                          |                            |
| 3                 | 4                  | 480.30                        | -427.70    |                          |                            |
| 4                 | 7                  | 867.90                        | -429.30    |                          |                            |
| 5                 | 14                 | 765.10                        | -416.40    |                          |                            |
| 6                 | 18                 | 658.40                        | -408.60    |                          |                            |
| 7                 | 60                 | 204.60                        | -112.50    |                          |                            |

| Punto de análisis | Profundidades (in) | T3S3 N°68 Tridem Convencional |            |                          |                            |
|-------------------|--------------------|-------------------------------|------------|--------------------------|----------------------------|
|                   |                    | Deformación (µε)              |            | Deformación por tracción | Deformación por compresión |
|                   |                    | Vertical                      | Horizontal |                          |                            |
| 1                 | 0                  | -177.1                        | 234.70     | -131.80                  | 596.70                     |
| 2                 | 2                  | 93.02                         | -12.08     |                          |                            |
| 3                 | 4                  | 317.90                        | -299.50    |                          |                            |
| 4                 | 7                  | 593.40                        | -309.10    |                          |                            |
| 5                 | 14                 | 638.10                        | -366.70    |                          |                            |
| 6                 | 18                 | 596.70                        | -386.30    |                          |                            |
| 7                 | 60                 | 228.30                        | -121.40    |                          |                            |

| Punto de análisis | Profundidades (in) | Relación         |            |                          |                            |
|-------------------|--------------------|------------------|------------|--------------------------|----------------------------|
|                   |                    | Deformación (µε) |            | Deformación por tracción | Deformación por compresión |
|                   |                    | Vertical         | Horizontal |                          |                            |
| 1                 | 0                  | 1.517            | 1.652      | 3.25                     | 1.10                       |
| 2                 | 2                  | 1.149            | 0.584      |                          |                            |
| 3                 | 4                  | 1.511            | 1.428      |                          |                            |
| 4                 | 7                  | 1.463            | 1.389      |                          |                            |
| 5                 | 14                 | 1.199            | 1.136      |                          |                            |
| 6                 | 18                 | 1.103            | 1.058      |                          |                            |
| 7                 | 60                 | 0.896            | 0.927      |                          |                            |

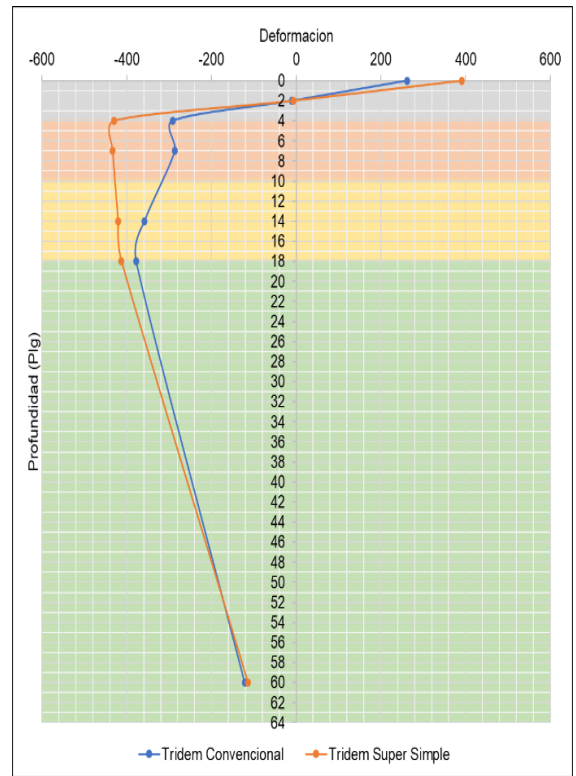


### T3S3 N° 69

| Punto de analisis | Profundidades (in) | Camion 69 T3S3 Tridem Super Simple |            |                          |                            |
|-------------------|--------------------|------------------------------------|------------|--------------------------|----------------------------|
|                   |                    | Deformacion ( $\mu\epsilon$ )      |            | Deformacion por traccion | Deformacion por compresion |
|                   |                    | Vertical                           | Horizontal |                          |                            |
| 1                 | 0                  | -                                  | 391.20     | -430.30                  | 666.00                     |
| 2                 | 2                  | 272.40                             | -6.70      |                          |                            |
| 3                 | 4                  | 106.60                             | -430.30    |                          |                            |
| 4                 | 7                  | 483.60                             | -433.30    |                          |                            |
| 5                 | 14                 | 877.10                             | -420.70    |                          |                            |
| 6                 | 18                 | 774.10                             | -412.80    |                          |                            |
| 7                 | 60                 | 666.00                             | -113.90    |                          |                            |

| Punto de analisis | Profundidades (in) | Camion 69 T3S3 Tridem Convencional |            |                          |                            |
|-------------------|--------------------|------------------------------------|------------|--------------------------|----------------------------|
|                   |                    | Deformacion ( $\mu\epsilon$ )      |            | Deformacion por traccion | Deformacion por compresion |
|                   |                    | Vertical                           | Horizontal |                          |                            |
| 1                 | 0                  | -                                  | 261.80     | -131.70                  | 585.60                     |
| 2                 | 2                  | 166.10                             | -10.29     |                          |                            |
| 3                 | 4                  | 86.94                              | -291.70    |                          |                            |
| 4                 | 7                  | 310.90                             | -302.20    |                          |                            |
| 5                 | 14                 | 584.80                             | -358.50    |                          |                            |
| 6                 | 18                 | 626.80                             | -378.40    |                          |                            |
| 7                 | 60                 | 585.60                             | -121.60    |                          |                            |

| Punto de analisis | Profundidades (in) | Relacion    |            |                          |                            |
|-------------------|--------------------|-------------|------------|--------------------------|----------------------------|
|                   |                    | Deformacion |            | Deformacion por traccion | Deformacion por compresion |
|                   |                    | Vertical    | Horizontal |                          |                            |
| 1                 | 0                  | 1.640       | 1.494      | 3.27                     | 1.14                       |
| 2                 | 2                  | 1.226       | 0.651      |                          |                            |
| 3                 | 4                  | 1.555       | 1.475      |                          |                            |
| 4                 | 7                  | 1.500       | 1.434      |                          |                            |
| 5                 | 14                 | 1.235       | 1.174      |                          |                            |
| 6                 | 18                 | 1.137       | 1.091      |                          |                            |
| 7                 | 60                 | 0.911       | 0.937      |                          |                            |

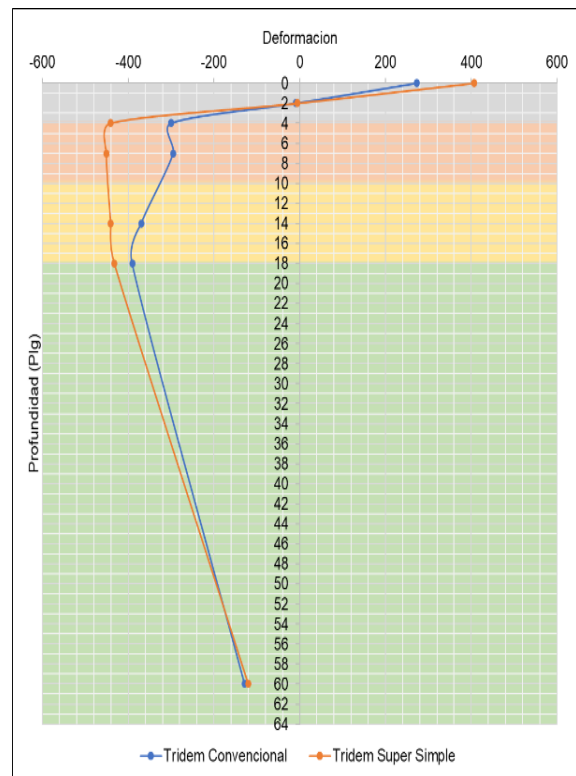


### T3S3 N° 70

| Punto de analisis | Profundidades (in) | Camion 70 T3S3 Tridem Super Simple |            |                          |                            |
|-------------------|--------------------|------------------------------------|------------|--------------------------|----------------------------|
|                   |                    | Deformacion ( $\mu\epsilon$ )      |            | Deformacion por traccion | Deformacion por compresion |
|                   |                    | Vertical                           | Horizontal |                          |                            |
| 1                 | 0                  | -                                  | 406.90     | -441.50                  | 700.90                     |
| 2                 | 2                  | 289.30                             | -5.01      |                          |                            |
| 3                 | 4                  | 105.30                             | -441.50    |                          |                            |
| 4                 | 7                  | 498.30                             | -451.00    |                          |                            |
| 5                 | 14                 | 918.80                             | -440.60    |                          |                            |
| 6                 | 18                 | 815.70                             | -432.40    |                          |                            |
| 7                 | 60                 | 700.90                             | -120.10    |                          |                            |

| Punto de analisis | Profundidades (in) | Camion 70 T3S3 Tridem Convencional |            |                          |                            |
|-------------------|--------------------|------------------------------------|------------|--------------------------|----------------------------|
|                   |                    | Deformacion ( $\mu\epsilon$ )      |            | Deformacion por traccion | Deformacion por compresion |
|                   |                    | Vertical                           | Horizontal |                          |                            |
| 1                 | 0                  | -                                  | 272.60     | -129.20                  | 606.00                     |
| 2                 | 2                  | 177.60                             | -9.10      |                          |                            |
| 3                 | 4                  | 85.68                              | -299.70    |                          |                            |
| 4                 | 7                  | 320.40                             | -311.60    |                          |                            |
| 5                 | 14                 | 607.60                             | -369.40    |                          |                            |
| 6                 | 18                 | 649.30                             | -390.60    |                          |                            |
| 7                 | 60                 | 606.00                             | -128.30    |                          |                            |

| Punto de analisis | Profundidades (in) | Relacion    |            |                          |                            |
|-------------------|--------------------|-------------|------------|--------------------------|----------------------------|
|                   |                    | Deformacion |            | Deformacion por traccion | Deformacion por compresion |
|                   |                    | Vertical    | Horizontal |                          |                            |
| 1                 | 0                  | 1.629       | 1.493      | 3.42                     | 1.16                       |
| 2                 | 2                  | 1.229       | 0.551      |                          |                            |
| 3                 | 4                  | 1.555       | 1.473      |                          |                            |
| 4                 | 7                  | 1.512       | 1.447      |                          |                            |
| 5                 | 14                 | 1.256       | 1.193      |                          |                            |
| 6                 | 18                 | 1.157       | 1.107      |                          |                            |
| 7                 | 60                 | 0.911       | 0.936      |                          |                            |

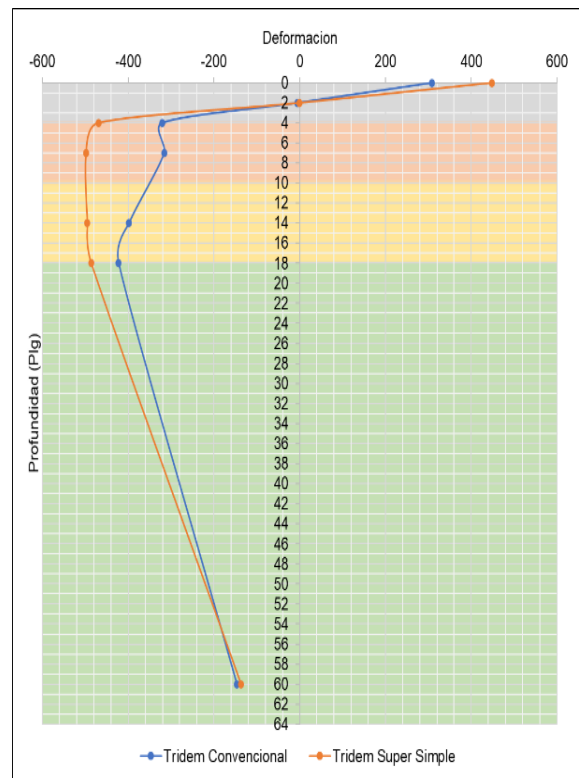


## T3S3 N° 71

| Punto de analisis | Profundidades (in) | Camion 71 T3S3 Tridem Super Simple |            |                          |                            |
|-------------------|--------------------|------------------------------------|------------|--------------------------|----------------------------|
|                   |                    | Deformacion ( $\mu\epsilon$ )      |            | Deformacion por traccion | Deformacion por compresion |
|                   |                    | Vertical                           | Horizontal |                          |                            |
| 1                 | 0                  | -                                  | 448.60     | -469.70                  | 799.70                     |
| 2                 | 2                  | 333.80                             | -0.44      |                          |                            |
| 3                 | 4                  | 101.90                             | -469.70    |                          |                            |
| 4                 | 7                  | 536.00                             | -498.50    |                          |                            |
| 5                 | 14                 | 1031.0                             | -495.40    |                          |                            |
| 6                 | 18                 | 932.60                             | -486.50    |                          |                            |
| 7                 | 60                 | 799.70                             | -137.10    |                          |                            |

| Punto de analisis | Profundidades (in) | Camion 71 T3S3 Tridem Convencional |            |                          |                            |
|-------------------|--------------------|------------------------------------|------------|--------------------------|----------------------------|
|                   |                    | Deformacion ( $\mu\epsilon$ )      |            | Deformacion por traccion | Deformacion por compresion |
|                   |                    | Vertical                           | Horizontal |                          |                            |
| 1                 | 0                  | -                                  | 308.90     | -121.70                  | 661.60                     |
| 2                 | 2                  | 210.60                             | -6.09      |                          |                            |
| 3                 | 4                  | 82.81                              | -320.70    |                          |                            |
| 4                 | 7                  | 345.50                             | -337.10    |                          |                            |
| 5                 | 14                 | 670.30                             | -398.30    |                          |                            |
| 6                 | 18                 | 711.40                             | -422.50    |                          |                            |
| 7                 | 60                 | 661.60                             | -146.70    |                          |                            |

| Punto de analisis | Profundidades (in) | Relacion    |            |                          |                            |
|-------------------|--------------------|-------------|------------|--------------------------|----------------------------|
|                   |                    | Deformacion |            | Deformacion por traccion | Deformacion por compresion |
|                   |                    | Vertical    | Horizontal |                          |                            |
| 1                 | 0                  | 1.585       | 1.452      | 3.86                     | 1.21                       |
| 2                 | 2                  | 1.231       | 0.072      |                          |                            |
| 3                 | 4                  | 1.551       | 1.465      |                          |                            |
| 4                 | 7                  | 1.538       | 1.479      |                          |                            |
| 5                 | 14                 | 1.311       | 1.244      |                          |                            |
| 6                 | 18                 | 1.209       | 1.151      |                          |                            |
| 7                 | 60                 | 0.912       | 0.935      |                          |                            |

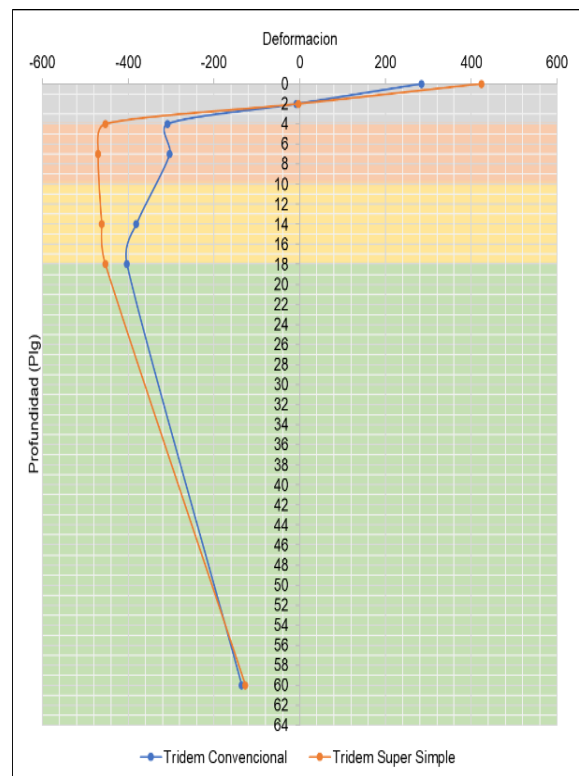


## T3S3 N° 72

| Punto de analisis | Profundidades (in) | Camion 72 T3S3 Tridem Super Simple |            |                          |                            |
|-------------------|--------------------|------------------------------------|------------|--------------------------|----------------------------|
|                   |                    | Deformacion ( $\mu\epsilon$ )      |            | Deformacion por traccion | Deformacion por compresion |
|                   |                    | Vertical                           | Horizontal |                          |                            |
| 1                 | 0                  | -                                  | 423.6      | -453.10                  | 739.30                     |
| 2                 | 2                  | 307.10                             | -3.24      |                          |                            |
| 3                 | 4                  | 104.00                             | -453.10    |                          |                            |
| 4                 | 7                  | 513.70                             | -470.00    |                          |                            |
| 5                 | 14                 | 963.50                             | -462.10    |                          |                            |
| 6                 | 18                 | 861.30                             | -453.60    |                          |                            |
| 7                 | 60                 | 739.30                             | -126.70    |                          |                            |

| Punto de analisis | Profundidades (in) | Camion 72 T3S3 Tridem Convencional |            |                          |                            |
|-------------------|--------------------|------------------------------------|------------|--------------------------|----------------------------|
|                   |                    | Deformacion ( $\mu\epsilon$ )      |            | Deformacion por traccion | Deformacion por compresion |
|                   |                    | Vertical                           | Horizontal |                          |                            |
| 1                 | 0                  | -                                  | 284.30     | -126.30                  | 628.10                     |
| 2                 | 2                  | 190.00                             | -7.88      |                          |                            |
| 3                 | 4                  | 84.47                              | -308.20    |                          |                            |
| 4                 | 7                  | 330.60                             | -321.70    |                          |                            |
| 5                 | 14                 | 632.50                             | -381.00    |                          |                            |
| 6                 | 18                 | 673.90                             | -403.50    |                          |                            |
| 7                 | 60                 | 628.10                             | -135.60    |                          |                            |

| Punto de analisis | Profundidades (in) | Relacion    |            |                          |                            |
|-------------------|--------------------|-------------|------------|--------------------------|----------------------------|
|                   |                    | Deformacion |            | Deformacion por traccion | Deformacion por compresion |
|                   |                    | Vertical    | Horizontal |                          |                            |
| 1                 | 0                  | 1.616       | 1.490      | 3.59                     | 1.18                       |
| 2                 | 2                  | 1.231       | 0.411      |                          |                            |
| 3                 | 4                  | 1.554       | 1.470      |                          |                            |
| 4                 | 7                  | 1.523       | 1.461      |                          |                            |
| 5                 | 14                 | 1.278       | 1.213      |                          |                            |
| 6                 | 18                 | 1.177       | 1.124      |                          |                            |
| 7                 | 60                 | 0.911       | 0.934      |                          |                            |



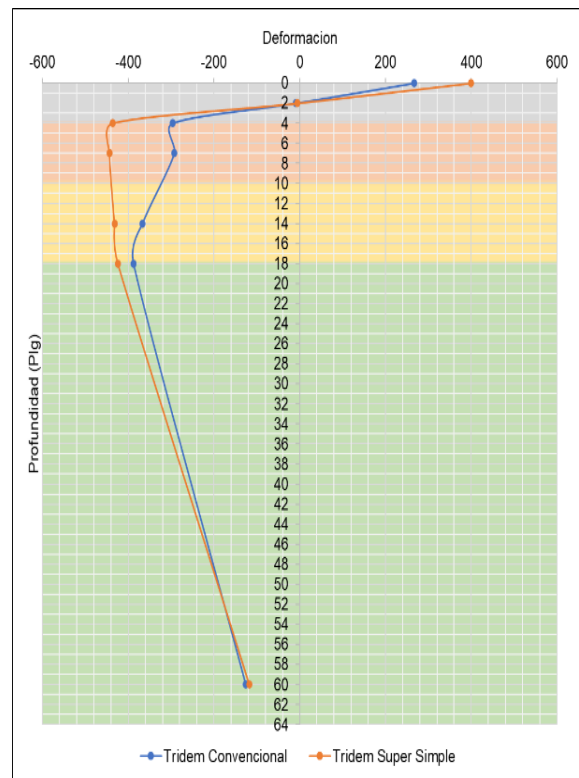


### T3S3 N° 73

| Punto de analisis | Profundidades (in) | Camion 73 T3S3 Tridem Super Simple |            |                          |                            |
|-------------------|--------------------|------------------------------------|------------|--------------------------|----------------------------|
|                   |                    | Deformacion ( $\mu\epsilon$ )      |            | Deformacion por traccion | Deformacion por compresion |
|                   |                    | Vertical                           | Horizontal |                          |                            |
| 1                 | 0                  | -                                  | 400.1      | -436.70                  | 685.70                     |
| 2                 | 2                  | 282.00                             | -5.77      |                          |                            |
| 3                 | 4                  | 492.00                             | -436.70    |                          |                            |
| 4                 | 7                  | 900.80                             | -443.40    |                          |                            |
| 5                 | 14                 | 797.60                             | -432.00    |                          |                            |
| 6                 | 18                 | 685.70                             | -423.90    |                          |                            |
| 7                 | 60                 | 212.30                             | -117.40    |                          |                            |

| Punto de analisis | Profundidades (in) | Camion 73 T3S3 Tridem Convencional |            |                          |                            |
|-------------------|--------------------|------------------------------------|------------|--------------------------|----------------------------|
|                   |                    | Deformacion ( $\mu\epsilon$ )      |            | Deformacion por traccion | Deformacion por compresion |
|                   |                    | Vertical                           | Horizontal |                          |                            |
| 1                 | 0                  | -                                  | 266.90     | -131.10                  | 600.10                     |
| 2                 | 2                  | 172.60                             | -9.58      |                          |                            |
| 3                 | 4                  | 316.20                             | -296.50    |                          |                            |
| 4                 | 7                  | 598.60                             | -308.90    |                          |                            |
| 5                 | 14                 | 642.10                             | -366.90    |                          |                            |
| 6                 | 18                 | 600.10                             | -387.70    |                          |                            |
| 7                 | 60                 | 234.20                             | -125.70    |                          |                            |

| Punto de analisis | Profundidades (in) | Relacion    |            |                          |                            |
|-------------------|--------------------|-------------|------------|--------------------------|----------------------------|
|                   |                    | Deformacion |            | Deformacion por traccion | Deformacion por compresion |
|                   |                    | Vertical    | Horizontal |                          |                            |
| 1                 | 0                  | 1.634       | 1.499      | 3.33                     | 1.14                       |
| 2                 | 2                  | 1.229       | 0.603      |                          |                            |
| 3                 | 4                  | 1.556       | 1.473      |                          |                            |
| 4                 | 7                  | 1.505       | 1.435      |                          |                            |
| 5                 | 14                 | 1.242       | 1.177      |                          |                            |
| 6                 | 18                 | 1.143       | 1.093      |                          |                            |
| 7                 | 60                 | 0.906       | 0.934      |                          |                            |

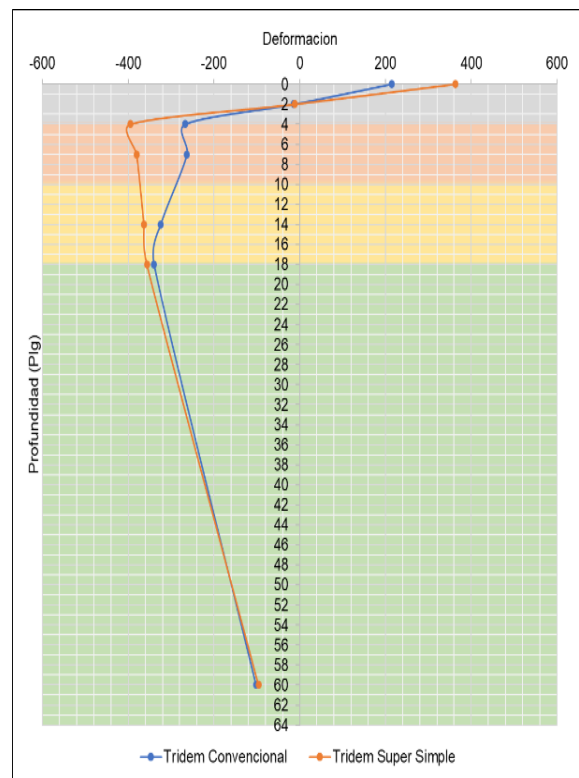


### T3S3 N° 74

| Punto de analisis | Profundidades (in) | Camion 74 T3S3 Tridem Super Simple |            |                          |                            |
|-------------------|--------------------|------------------------------------|------------|--------------------------|----------------------------|
|                   |                    | Deformacion ( $\mu\epsilon$ )      |            | Deformacion por traccion | Deformacion por compresion |
|                   |                    | Vertical                           | Horizontal |                          |                            |
| 1                 | 0                  | -                                  | 362.80     | -394.80                  | 580.10                     |
| 2                 | 2                  | 224.70                             | -11.50     |                          |                            |
| 3                 | 4                  | 437.50                             | -394.80    |                          |                            |
| 4                 | 7                  | 754.60                             | -380.20    |                          |                            |
| 5                 | 14                 | 656.90                             | -363.30    |                          |                            |
| 6                 | 18                 | 568.10                             | -356.40    |                          |                            |
| 7                 | 60                 | 178.10                             | -96.03     |                          |                            |

| Punto de analisis | Profundidades (in) | Camion 74 T3S3 Tridem Convencional |            |                          |                            |
|-------------------|--------------------|------------------------------------|------------|--------------------------|----------------------------|
|                   |                    | Deformacion ( $\mu\epsilon$ )      |            | Deformacion por traccion | Deformacion por compresion |
|                   |                    | Vertical                           | Horizontal |                          |                            |
| 1                 | 0                  | -                                  | 214.50     | -138.20                  | 524.80                     |
| 2                 | 2                  | 148.50                             | -13.82     |                          |                            |
| 3                 | 4                  | 281.40                             | -267.30    |                          |                            |
| 4                 | 7                  | 517.80                             | -274.20    |                          |                            |
| 5                 | 14                 | 560.40                             | -324.60    |                          |                            |
| 6                 | 18                 | 524.80                             | -340.30    |                          |                            |
| 7                 | 60                 | 195.00                             | -102.10    |                          |                            |

| Punto de analisis | Profundidades (in) | Relacion    |            |                          |                            |
|-------------------|--------------------|-------------|------------|--------------------------|----------------------------|
|                   |                    | Deformacion |            | Deformacion por traccion | Deformacion por compresion |
|                   |                    | Vertical    | Horizontal |                          |                            |
| 1                 | 0                  | 1.513       | 1.691      | 2.86                     | 1.11                       |
| 2                 | 2                  | 1.218       | 0.832      |                          |                            |
| 3                 | 4                  | 1.555       | 1.477      |                          |                            |
| 4                 | 7                  | 1.457       | 1.387      |                          |                            |
| 5                 | 14                 | 1.172       | 1.119      |                          |                            |
| 6                 | 18                 | 1.083       | 1.047      |                          |                            |
| 7                 | 60                 | 0.913       | 0.941      |                          |                            |

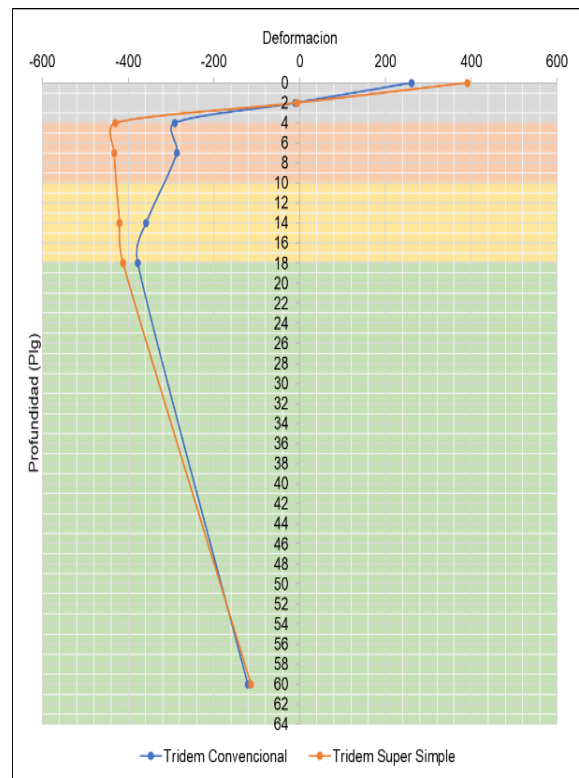


### T3S3 N° 75

| Punto de analisis | Profundidades (in) | Camion 75 T3S3 Tridem Super Simple |            |                          |                            |
|-------------------|--------------------|------------------------------------|------------|--------------------------|----------------------------|
|                   |                    | Deformacion ( $\mu\epsilon$ )      |            | Deformacion por traccion | Deformacion por compresion |
|                   |                    | Vertical                           | Horizontal |                          |                            |
| 1                 | 0                  | -                                  | 390.60     | -429.80                  | 664.70                     |
| 2                 | 2                  | 106.70                             | -6.76      |                          |                            |
| 3                 | 4                  | 483.00                             | -429.80    |                          |                            |
| 4                 | 7                  | 875.60                             | -432.60    |                          |                            |
| 5                 | 14                 | 772.60                             | -420.00    |                          |                            |
| 6                 | 18                 | 664.70                             | -412.10    |                          |                            |
| 7                 | 60                 | 206.40                             | -113.70    |                          |                            |

| Punto de analisis | Profundidades (in) | Camion 75 T3S3 Tridem Convencional |            |                          |                            |
|-------------------|--------------------|------------------------------------|------------|--------------------------|----------------------------|
|                   |                    | Deformacion ( $\mu\epsilon$ )      |            | Deformacion por traccion | Deformacion por compresion |
|                   |                    | Vertical                           | Horizontal |                          |                            |
| 1                 | 0                  | -                                  | 261.40     | -131.80                  | 584.90                     |
| 2                 | 2                  | 86.98                              | -10.33     |                          |                            |
| 3                 | 4                  | 310.50                             | -291.50    |                          |                            |
| 4                 | 7                  | 584.00                             | -301.90    |                          |                            |
| 5                 | 14                 | 626.00                             | -358.10    |                          |                            |
| 6                 | 18                 | 584.90                             | -378.00    |                          |                            |
| 7                 | 60                 | 226.60                             | -121.40    |                          |                            |

| Punto de analisis | Profundidades (in) | Relacion    |            |                          |                            |
|-------------------|--------------------|-------------|------------|--------------------------|----------------------------|
|                   |                    | Deformacion |            | Deformacion por traccion | Deformacion por compresion |
|                   |                    | Vertical    | Horizontal |                          |                            |
| 1                 | 0                  | 1.640       | 1.494      | 3.26                     | 1.14                       |
| 2                 | 2                  | 1.227       | 0.655      |                          |                            |
| 3                 | 4                  | 1.556       | 1.474      |                          |                            |
| 4                 | 7                  | 1.499       | 1.433      |                          |                            |
| 5                 | 14                 | 1.234       | 1.173      |                          |                            |
| 6                 | 18                 | 1.136       | 1.090      |                          |                            |
| 7                 | 60                 | 0.911       | 0.937      |                          |                            |

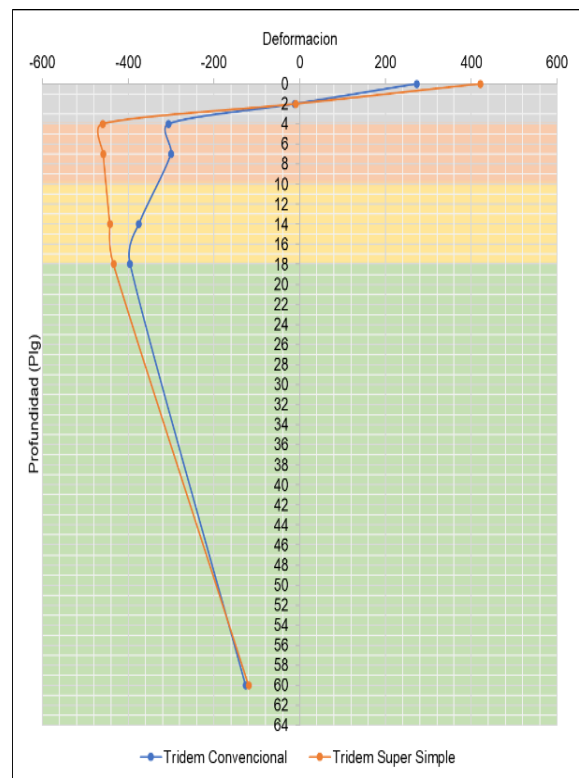


### T3S3 N° 76

| Punto de analisis | Profundidades (in) | Camion 76 T3S3 Tridem Super Simple |            |                          |                            |
|-------------------|--------------------|------------------------------------|------------|--------------------------|----------------------------|
|                   |                    | Deformacion ( $\mu\epsilon$ )      |            | Deformacion por traccion | Deformacion por compresion |
|                   |                    | Vertical                           | Horizontal |                          |                            |
| 1                 | 0                  | -                                  | 421.40     | -459.80                  | 698.20                     |
| 2                 | 2                  | 117.30                             | -8.67      |                          |                            |
| 3                 | 4                  | 514.90                             | -459.80    |                          |                            |
| 4                 | 7                  | 922.20                             | -457.80    |                          |                            |
| 5                 | 14                 | 810.60                             | -442.60    |                          |                            |
| 6                 | 18                 | 698.20                             | -434.30    |                          |                            |
| 7                 | 60                 | 217.50                             | -119.20    |                          |                            |

| Punto de analisis | Profundidades (in) | Camion 76 T3S3 Tridem Convencional |            |                          |                            |
|-------------------|--------------------|------------------------------------|------------|--------------------------|----------------------------|
|                   |                    | Deformacion ( $\mu\epsilon$ )      |            | Deformacion por traccion | Deformacion por compresion |
|                   |                    | Vertical                           | Horizontal |                          |                            |
| 1                 | 0                  | -                                  | 273.00     | -139.80                  | 611.80                     |
| 2                 | 2                  | 92.13                              | -11.22     |                          |                            |
| 3                 | 4                  | 325.20                             | -305.50    |                          |                            |
| 4                 | 7                  | 610.30                             | -316.10    |                          |                            |
| 5                 | 14                 | 654.70                             | -375.00    |                          |                            |
| 6                 | 18                 | 611.80                             | -395.60    |                          |                            |
| 7                 | 60                 | 236.30                             | -126.30    |                          |                            |

| Punto de analisis | Profundidades (in) | Relacion    |            |                          |                            |
|-------------------|--------------------|-------------|------------|--------------------------|----------------------------|
|                   |                    | Deformacion |            | Deformacion por traccion | Deformacion por compresion |
|                   |                    | Vertical    | Horizontal |                          |                            |
| 1                 | 0                  | 1.659       | 1.544      | 3.29                     | 1.14                       |
| 2                 | 2                  | 1.273       | 0.772      |                          |                            |
| 3                 | 4                  | 1.583       | 1.505      |                          |                            |
| 4                 | 7                  | 1.511       | 1.448      |                          |                            |
| 5                 | 14                 | 1.238       | 1.180      |                          |                            |
| 6                 | 18                 | 1.141       | 1.098      |                          |                            |
| 7                 | 60                 | 0.920       | 0.944      |                          |                            |

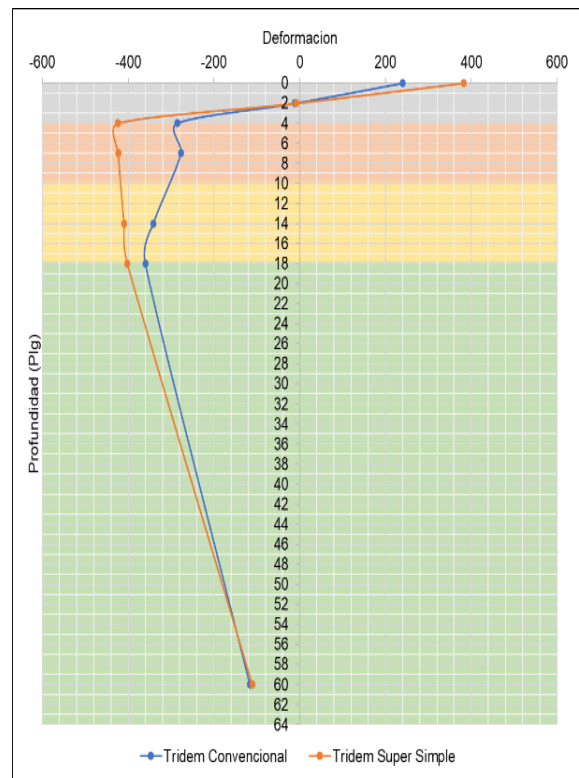


### T3S3 N° 77

| Punto de analisis | Profundidades (in) | Camion 77 T3S3 Tridem Super Simple |            |                          |                            |
|-------------------|--------------------|------------------------------------|------------|--------------------------|----------------------------|
|                   |                    | Deformacion ( $\mu\epsilon$ )      |            | Deformacion por traccion | Deformacion por compresion |
|                   |                    | Vertical                           | Horizontal |                          |                            |
| 1                 | 0                  | -                                  | 382.40     | -423.90                  | 647.00                     |
| 2                 | 2                  | 262.90                             | -7.61      |                          |                            |
| 3                 | 4                  | 107.30                             | -423.90    |                          |                            |
| 4                 | 7                  | 475.20                             | -423.30    |                          |                            |
| 5                 | 14                 | 853.90                             | -409.80    |                          |                            |
| 6                 | 18                 | 751.40                             | -402.00    |                          |                            |
| 7                 | 60                 | 647.00                             | -110.50    |                          |                            |

| Punto de analisis | Profundidades (in) | Camion 77 T3S3 Tridem Convencional |            |                          |                            |
|-------------------|--------------------|------------------------------------|------------|--------------------------|----------------------------|
|                   |                    | Deformacion ( $\mu\epsilon$ )      |            | Deformacion por traccion | Deformacion por compresion |
|                   |                    | Vertical                           | Horizontal |                          |                            |
| 1                 | 0                  | -                                  | 240.20     | -128.40                  | 560.10                     |
| 2                 | 2                  | 174.50                             | -11.24     |                          |                            |
| 3                 | 4                  | 88.11                              | -285.90    |                          |                            |
| 4                 | 7                  | 305.90                             | -290.00    |                          |                            |
| 5                 | 14                 | 567.80                             | -341.50    |                          |                            |
| 6                 | 18                 | 601.70                             | -360.20    |                          |                            |
| 7                 | 60                 | 215.90                             | -116.10    |                          |                            |

| Punto de analisis | Profundidades (in) | Relacion    |            |                          |                            |
|-------------------|--------------------|-------------|------------|--------------------------|----------------------------|
|                   |                    | Deformacion |            | Deformacion por traccion | Deformacion por compresion |
|                   |                    | Vertical    | Horizontal |                          |                            |
| 1                 | 0                  | 1.507       | 1.592      | 3.30                     | 1.16                       |
| 2                 | 2                  | 1.218       | 0.677      |                          |                            |
| 3                 | 4                  | 1.553       | 1.483      |                          |                            |
| 4                 | 7                  | 1.504       | 1.460      |                          |                            |
| 5                 | 14                 | 1.249       | 1.200      |                          |                            |
| 6                 | 18                 | 1.155       | 1.116      |                          |                            |
| 7                 | 60                 | 0.933       | 0.952      |                          |                            |

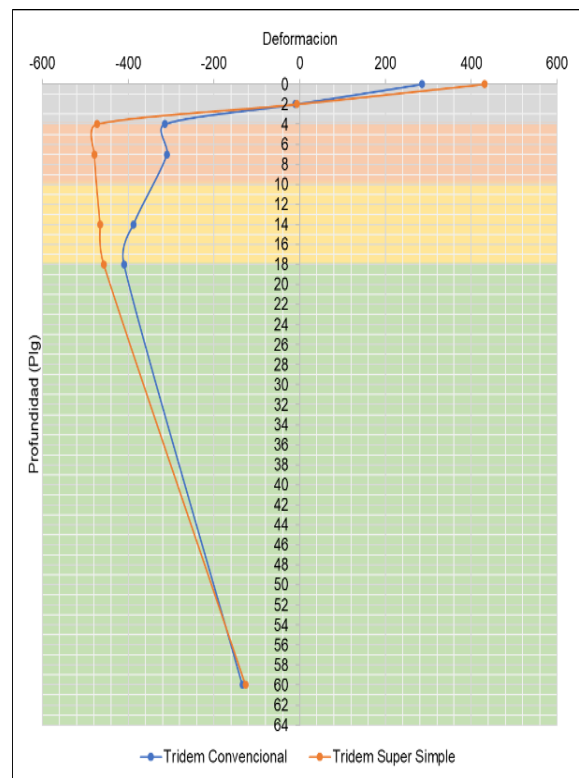


### T3S3 N° 78

| Punto de analisis | Profundidades (in) | Camion 78 T3S3 Tridem Super Simple |            |                          |                            |
|-------------------|--------------------|------------------------------------|------------|--------------------------|----------------------------|
|                   |                    | Deformacion ( $\mu\epsilon$ )      |            | Deformacion por traccion | Deformacion por compresion |
|                   |                    | Vertical                           | Horizontal |                          |                            |
| 1                 | 0                  | -                                  | 431.80     | -473.00                  | 737.60                     |
| 2                 | 2                  | 302.60                             | -6.79      |                          |                            |
| 3                 | 4                  | 115.90                             | -473.00    |                          |                            |
| 4                 | 7                  | 532.30                             | -478.40    |                          |                            |
| 5                 | 14                 | 970.20                             | -465.30    |                          |                            |
| 6                 | 18                 | 857.80                             | -456.60    |                          |                            |
| 7                 | 60                 | 737.60                             | -126.20    |                          |                            |

| Punto de analisis | Profundidades (in) | Camion 78 T3S3 Tridem Convencional |            |                          |                            |
|-------------------|--------------------|------------------------------------|------------|--------------------------|----------------------------|
|                   |                    | Deformacion ( $\mu\epsilon$ )      |            | Deformacion por traccion | Deformacion por compresion |
|                   |                    | Vertical                           | Horizontal |                          |                            |
| 1                 | 0                  | -                                  | 285.40     | -137.00                  | 635.20                     |
| 2                 | 2                  | 184.90                             | -9.86      |                          |                            |
| 3                 | 4                  | 90.70                              | -314.60    |                          |                            |
| 4                 | 7                  | 336.10                             | -326.80    |                          |                            |
| 5                 | 14                 | 636.30                             | -387.60    |                          |                            |
| 6                 | 18                 | 680.40                             | -409.70    |                          |                            |
| 7                 | 60                 | 635.20                             | -133.90    |                          |                            |

| Punto de analisis | Profundidades (in) | Relacion    |            |                          |                            |
|-------------------|--------------------|-------------|------------|--------------------------|----------------------------|
|                   |                    | Deformacion |            | Deformacion por traccion | Deformacion por compresion |
|                   |                    | Vertical    | Horizontal |                          |                            |
| 1                 | 0                  | 1.637       | 1.513      | 3.45                     | 1.16                       |
| 2                 | 2                  | 1.278       | 0.688      |                          |                            |
| 3                 | 4                  | 1.584       | 1.503      |                          |                            |
| 4                 | 7                  | 1.525       | 1.464      |                          |                            |
| 5                 | 14                 | 1.261       | 1.200      |                          |                            |
| 6                 | 18                 | 1.161       | 1.114      |                          |                            |
| 7                 | 60                 | 0.920       | 0.942      |                          |                            |

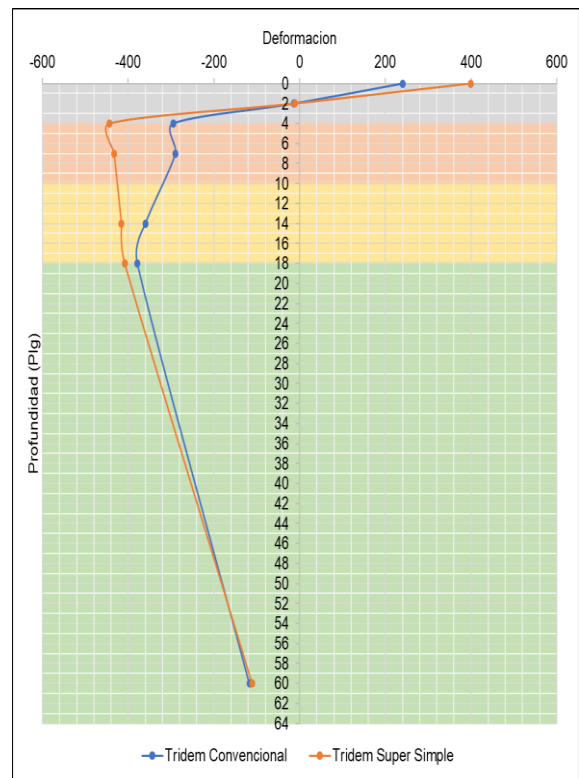


### T3S3 N° 79

| Punto de analisis | Profundidades (in) | Camion 79 T3S3 Tridem Super Simple |            |                          |                            |
|-------------------|--------------------|------------------------------------|------------|--------------------------|----------------------------|
|                   |                    | Deformacion ( $\mu\epsilon$ )      |            | Deformacion por traccion | Deformacion por compresion |
|                   |                    | Vertical                           | Horizontal |                          |                            |
| 1                 | 0                  | -                                  | 398.90     | -443.40                  | 660.20                     |
| 2                 | 2                  | 119.00                             | -10.86     |                          |                            |
| 3                 | 4                  | 493.60                             | -443.40    |                          |                            |
| 4                 | 7                  | 865.20                             | -433.10    |                          |                            |
| 5                 | 14                 | 756.00                             | -415.90    |                          |                            |
| 6                 | 18                 | 652.60                             | -408.00    |                          |                            |
| 7                 | 60                 | 204.20                             | -110.80    |                          |                            |

| Punto de analisis | Profundidades (in) | Camion 79 T3S3 Tridem Convencional |            |                          |                            |
|-------------------|--------------------|------------------------------------|------------|--------------------------|----------------------------|
|                   |                    | Deformacion ( $\mu\epsilon$ )      |            | Deformacion por traccion | Deformacion por compresion |
|                   |                    | Vertical                           | Horizontal |                          |                            |
| 1                 | 0                  | -                                  | 240.80     | -142.90                  | 584.00                     |
| 2                 | 2                  | 93.78                              | -12.81     |                          |                            |
| 3                 | 4                  | 311.80                             | -294.40    |                          |                            |
| 4                 | 7                  | 579.40                             | -303.30    |                          |                            |
| 5                 | 14                 | 624.20                             | -359.60    |                          |                            |
| 6                 | 18                 | 584.00                             | -378.40    |                          |                            |
| 7                 | 60                 | 221.60                             | -117.30    |                          |                            |

| Punto de analisis | Profundidades (in) | Relacion    |            |                          |                            |
|-------------------|--------------------|-------------|------------|--------------------------|----------------------------|
|                   |                    | Deformacion |            | Deformacion por traccion | Deformacion por compresion |
|                   |                    | Vertical    | Horizontal |                          |                            |
| 1                 | 0                  | 1.519       | 1.657      | 3.10                     | 1.13                       |
| 2                 | 2                  | 1.269       | 0.848      |                          |                            |
| 3                 | 4                  | 1.583       | 1.506      |                          |                            |
| 4                 | 7                  | 1.493       | 1.428      |                          |                            |
| 5                 | 14                 | 1.211       | 1.157      |                          |                            |
| 6                 | 18                 | 1.117       | 1.078      |                          |                            |
| 7                 | 60                 | 0.921       | 0.945      |                          |                            |

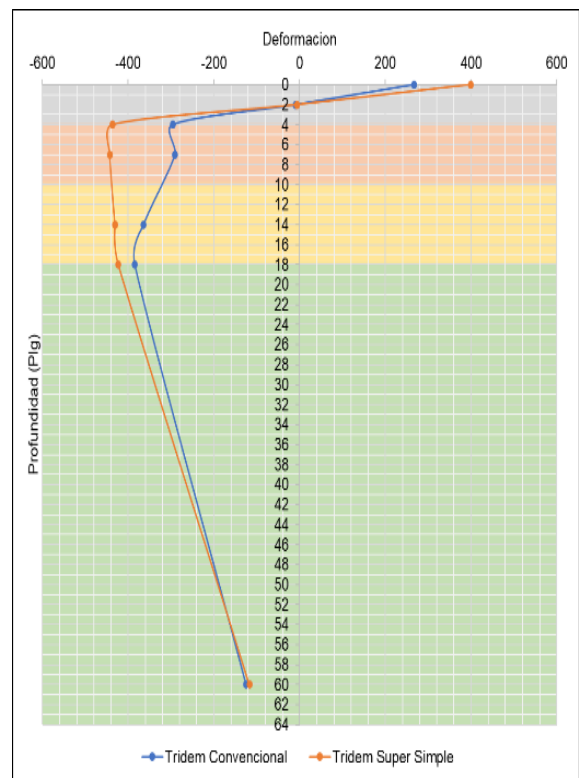


### T3S3 N° 80

| Punto de analisis | Profundidades (in) | Camion 80 T3S3 Tridem Super Simple |            |                          |                            |
|-------------------|--------------------|------------------------------------|------------|--------------------------|----------------------------|
|                   |                    | Deformacion ( $\mu\epsilon$ )      |            | Deformacion por traccion | Deformacion por compresion |
|                   |                    | Vertical                           | Horizontal |                          |                            |
| 1                 | 0                  | -                                  | 399.30     | -436.10                  | 683.90                     |
| 2                 | 2                  | 106.00                             | -5.86      |                          |                            |
| 3                 | 4                  | 491.20                             | -436.10    |                          |                            |
| 4                 | 7                  | 898.60                             | -442.40    |                          |                            |
| 5                 | 14                 | 795.40                             | -430.90    |                          |                            |
| 6                 | 18                 | 683.90                             | -422.90    |                          |                            |
| 7                 | 60                 | 211.80                             | -117.10    |                          |                            |

| Punto de analisis | Profundidades (in) | Camion 80 T3S3 Tridem Convencional |            |                          |                            |
|-------------------|--------------------|------------------------------------|------------|--------------------------|----------------------------|
|                   |                    | Deformacion ( $\mu\epsilon$ )      |            | Deformacion por traccion | Deformacion por compresion |
|                   |                    | Vertical                           | Horizontal |                          |                            |
| 1                 | 0                  | -                                  | 267.40     | -130.40                  | 596.20                     |
| 2                 | 2                  | 86.34                              | -9.70      |                          |                            |
| 3                 | 4                  | 315.90                             | -295.90    |                          |                            |
| 4                 | 7                  | 596.70                             | -307.10    |                          |                            |
| 5                 | 14                 | 638.50                             | -364.20    |                          |                            |
| 6                 | 18                 | 596.20                             | -384.80    |                          |                            |
| 7                 | 60                 | 232.60                             | -125.10    |                          |                            |

| Punto de analisis | Profundidades (in) | Relacion    |            |                          |                            |
|-------------------|--------------------|-------------|------------|--------------------------|----------------------------|
|                   |                    | Deformacion |            | Deformacion por traccion | Deformacion por compresion |
|                   |                    | Vertical    | Horizontal |                          |                            |
| 1                 | 0                  | 1.633       | 1.493      | 3.34                     | 1.15                       |
| 2                 | 2                  | 1.228       | 0.604      |                          |                            |
| 3                 | 4                  | 1.555       | 1.474      |                          |                            |
| 4                 | 7                  | 1.506       | 1.441      |                          |                            |
| 5                 | 14                 | 1.246       | 1.183      |                          |                            |
| 6                 | 18                 | 1.147       | 1.099      |                          |                            |
| 7                 | 60                 | 0.911       | 0.936      |                          |                            |

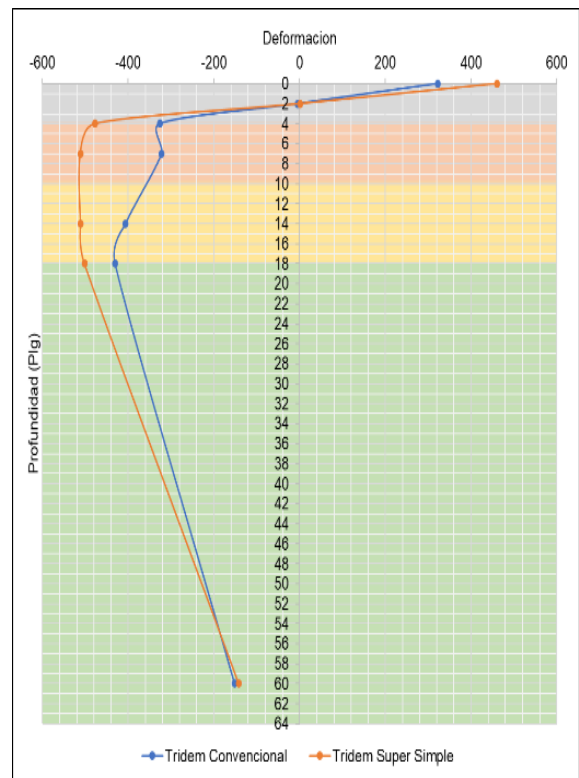


## T3S3 N° 81

| Punto de analisis | Profundidades (in) | Camion 81 T3S3 Tridem Super Simple |            |                          |                            |
|-------------------|--------------------|------------------------------------|------------|--------------------------|----------------------------|
|                   |                    | Deformacion ( $\mu\epsilon$ )      |            | Deformacion por traccion | Deformacion por compresion |
|                   |                    | Vertical                           | Horizontal |                          |                            |
| 1                 | 0                  | -                                  | 460.20     | -477.20                  | 829.00                     |
| 2                 | 2                  | 100.90                             | 0.88       |                          |                            |
| 3                 | 4                  | 546.20                             | -477.20    |                          |                            |
| 4                 | 7                  | 1063.0                             | -511.80    |                          |                            |
| 5                 | 14                 | 967.00                             | -511.20    |                          |                            |
| 6                 | 18                 | 829.00                             | -502.10    |                          |                            |
| 7                 | 60                 | 250.80                             | -142.00    |                          |                            |

| Punto de analisis | Profundidades (in) | Camion 81 T3S3 Tridem Convencional |            |                          |                            |
|-------------------|--------------------|------------------------------------|------------|--------------------------|----------------------------|
|                   |                    | Deformacion ( $\mu\epsilon$ )      |            | Deformacion por traccion | Deformacion por compresion |
|                   |                    | Vertical                           | Horizontal |                          |                            |
| 1                 | 0                  | -                                  | 321.90     | -119.50                  | 677.40                     |
| 2                 | 2                  | 82.05                              | -5.24      |                          |                            |
| 3                 | 4                  | 352.40                             | -326.50    |                          |                            |
| 4                 | 7                  | 688.20                             | -344.30    |                          |                            |
| 5                 | 14                 | 729.20                             | -406.30    |                          |                            |
| 6                 | 18                 | 677.40                             | -431.10    |                          |                            |
| 7                 | 60                 | 274.80                             | -152.00    |                          |                            |

| Punto de analisis | Profundidades (in) | Relacion    |            |                          |                            |
|-------------------|--------------------|-------------|------------|--------------------------|----------------------------|
|                   |                    | Deformacion |            | Deformacion por traccion | Deformacion por compresion |
|                   |                    | Vertical    | Horizontal |                          |                            |
| 1                 | 0                  | 1.563       | 1.430      | 3.99                     | 1.22                       |
| 2                 | 2                  | 1.230       | -0.167     |                          |                            |
| 3                 | 4                  | 1.550       | 1.462      |                          |                            |
| 4                 | 7                  | 1.545       | 1.486      |                          |                            |
| 5                 | 14                 | 1.326       | 1.258      |                          |                            |
| 6                 | 18                 | 1.224       | 1.165      |                          |                            |
| 7                 | 60                 | 0.913       | 0.934      |                          |                            |

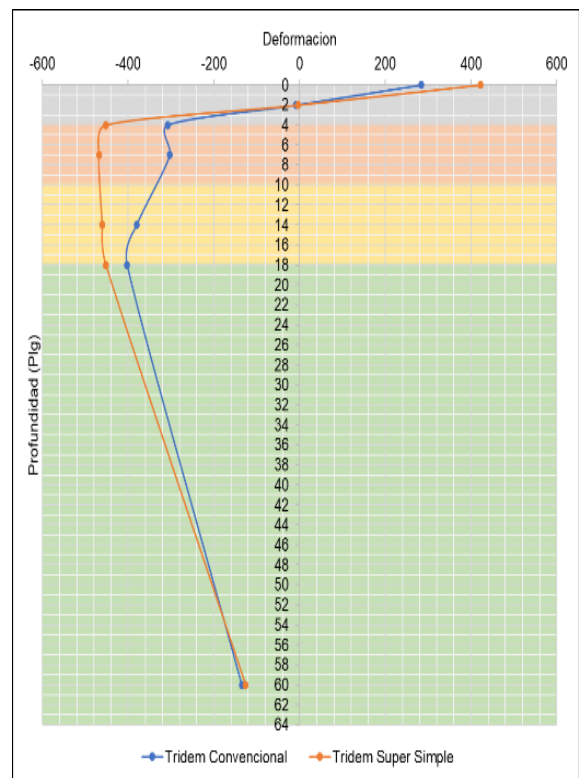


## T3S3 N° 82

| Punto de analisis | Profundidades (in) | Camion 82 T3S3 Tridem Super Simple |            |                          |                            |
|-------------------|--------------------|------------------------------------|------------|--------------------------|----------------------------|
|                   |                    | Deformacion ( $\mu\epsilon$ )      |            | Deformacion por traccion | Deformacion por compresion |
|                   |                    | Vertical                           | Horizontal |                          |                            |
| 1                 | 0                  | -                                  | 422.20     | -452.10                  | 736.10                     |
| 2                 | 2                  | 104.10                             | -3.39      |                          |                            |
| 3                 | 4                  | 512.50                             | -452.10    |                          |                            |
| 4                 | 7                  | 959.80                             | -468.40    |                          |                            |
| 5                 | 14                 | 857.50                             | -460.40    |                          |                            |
| 6                 | 18                 | 736.10                             | -451.90    |                          |                            |
| 7                 | 60                 | 226.20                             | -126.20    |                          |                            |

| Punto de analisis | Profundidades (in) | Camion 82 T3S3 Tridem Convencional |            |                          |                            |
|-------------------|--------------------|------------------------------------|------------|--------------------------|----------------------------|
|                   |                    | Deformacion ( $\mu\epsilon$ )      |            | Deformacion por traccion | Deformacion por compresion |
|                   |                    | Vertical                           | Horizontal |                          |                            |
| 1                 | 0                  | -                                  | 283.30     | -126.50                  | 626.10                     |
| 2                 | 2                  | 84.57                              | -7.98      |                          |                            |
| 3                 | 4                  | 329.70                             | -307.40    |                          |                            |
| 4                 | 7                  | 630.30                             | -320.80    |                          |                            |
| 5                 | 14                 | 671.70                             | -380.00    |                          |                            |
| 6                 | 18                 | 626.10                             | -402.40    |                          |                            |
| 7                 | 60                 | 248.30                             | -134.90    |                          |                            |

| Punto de analisis | Profundidades (in) | Relacion    |            |                          |                            |
|-------------------|--------------------|-------------|------------|--------------------------|----------------------------|
|                   |                    | Deformacion |            | Deformacion por traccion | Deformacion por compresion |
|                   |                    | Vertical    | Horizontal |                          |                            |
| 1                 | 0                  | 1.618       | 1.490      | 3.57                     | 1.18                       |
| 2                 | 2                  | 1.231       | 0.424      |                          |                            |
| 3                 | 4                  | 1.554       | 1.471      |                          |                            |
| 4                 | 7                  | 1.523       | 1.460      |                          |                            |
| 5                 | 14                 | 1.277       | 1.212      |                          |                            |
| 6                 | 18                 | 1.176       | 1.123      |                          |                            |
| 7                 | 60                 | 0.911       | 0.936      |                          |                            |

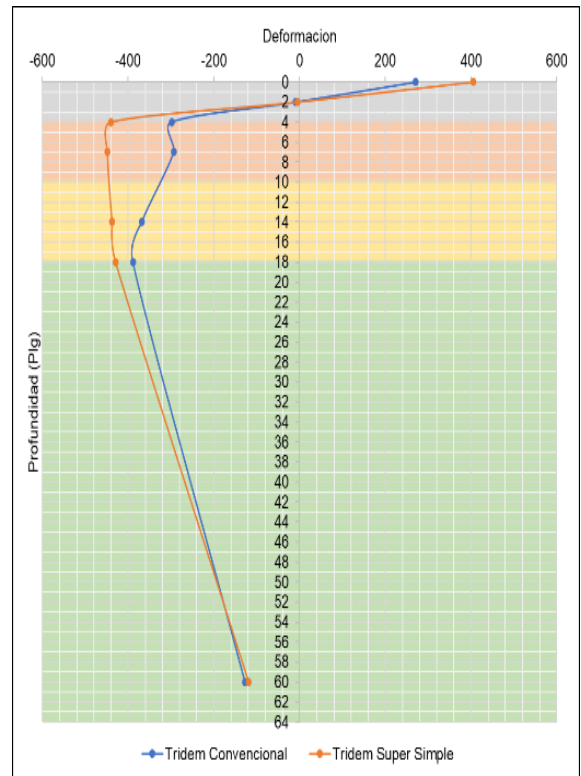


### T3S3 N° 83

| Punto de analisis | Profundidades (in) | Camion 83 T3S3 Tridem Super Simple |            |                          |                            |
|-------------------|--------------------|------------------------------------|------------|--------------------------|----------------------------|
|                   |                    | Deformacion ( $\mu\epsilon$ )      |            | Deformacion por traccion | Deformacion por compresion |
|                   |                    | Vertical                           | Horizontal |                          |                            |
| 1                 | 0                  | -                                  | 404.80     | -440.00                  | 696.20                     |
| 2                 | 2                  | 287.10                             | -5.23      |                          |                            |
| 3                 | 4                  | 496.40                             | -440.00    |                          |                            |
| 4                 | 7                  | 913.30                             | -448.70    |                          |                            |
| 5                 | 14                 | 810.20                             | -437.90    |                          |                            |
| 6                 | 18                 | 696.20                             | -429.80    |                          |                            |
| 7                 | 60                 | 215.20                             | -119.20    |                          |                            |

| Punto de analisis | Profundidades (in) | Camion 83 T3S3 Tridem Convencional |            |                          |                            |
|-------------------|--------------------|------------------------------------|------------|--------------------------|----------------------------|
|                   |                    | Deformacion ( $\mu\epsilon$ )      |            | Deformacion por traccion | Deformacion por compresion |
|                   |                    | Vertical                           | Horizontal |                          |                            |
| 1                 | 0                  | -                                  | 271.20     | -129.50                  | 603.30                     |
| 2                 | 2                  | 85.83                              | -9.25      |                          |                            |
| 3                 | 4                  | 319.20                             | -298.70    |                          |                            |
| 4                 | 7                  | 604.70                             | -310.40    |                          |                            |
| 5                 | 14                 | 646.40                             | -368.00    |                          |                            |
| 6                 | 18                 | 603.30                             | -389.00    |                          |                            |
| 7                 | 60                 | 236.30                             | -127.40    |                          |                            |

| Punto de analisis | Profundidades (in) | Relacion    |            |                          |                            |
|-------------------|--------------------|-------------|------------|--------------------------|----------------------------|
|                   |                    | Deformacion |            | Deformacion por traccion | Deformacion por compresion |
|                   |                    | Vertical    | Horizontal |                          |                            |
| 1                 | 0                  | 1.630       | 1.493      | 3.40                     | 1.15                       |
| 2                 | 2                  | 1.228       | 0.565      |                          |                            |
| 3                 | 4                  | 1.555       | 1.473      |                          |                            |
| 4                 | 7                  | 1.510       | 1.446      |                          |                            |
| 5                 | 14                 | 1.253       | 1.190      |                          |                            |
| 6                 | 18                 | 1.154       | 1.105      |                          |                            |
| 7                 | 60                 | 0.911       | 0.936      |                          |                            |

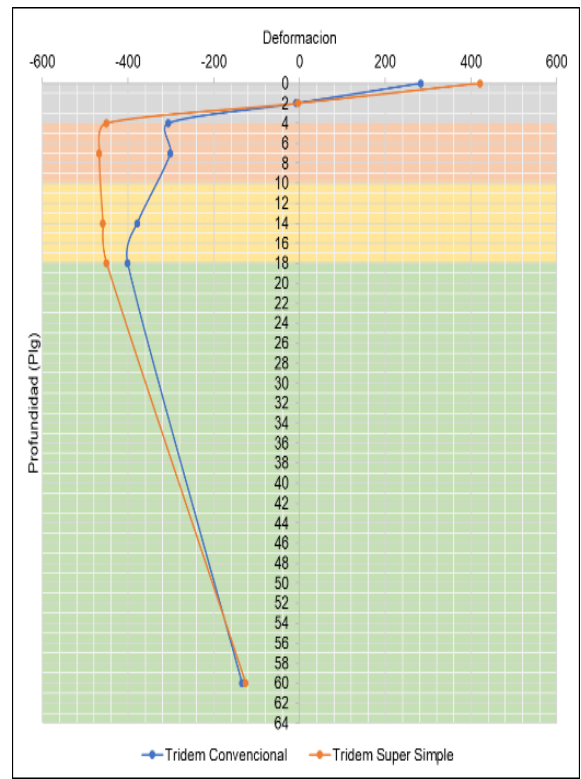


### T3S3 N° 84

| Punto de analisis | Profundidades (in) | Camion 84 T3S3 Tridem Super Simple |            |                          |                            |
|-------------------|--------------------|------------------------------------|------------|--------------------------|----------------------------|
|                   |                    | Deformacion ( $\mu\epsilon$ )      |            | Deformacion por traccion | Deformacion por compresion |
|                   |                    | Vertical                           | Horizontal |                          |                            |
| 1                 | 0                  | -                                  | 421.30     | -451.50                  | 734.00                     |
| 2                 | 2                  | 304.70                             | -3.48      |                          |                            |
| 3                 | 4                  | 511.70                             | -451.50    |                          |                            |
| 4                 | 7                  | 957.40                             | -467.40    |                          |                            |
| 5                 | 14                 | 855.00                             | -459.20    |                          |                            |
| 6                 | 18                 | 734.00                             | -450.70    |                          |                            |
| 7                 | 60                 | 225.60                             | -125.80    |                          |                            |

| Punto de analisis | Profundidades (in) | Camion 84 T3S3 Tridem Convencional |            |                          |                            |
|-------------------|--------------------|------------------------------------|------------|--------------------------|----------------------------|
|                   |                    | Deformacion ( $\mu\epsilon$ )      |            | Deformacion por traccion | Deformacion por compresion |
|                   |                    | Vertical                           | Horizontal |                          |                            |
| 1                 | 0                  | -                                  | 282.70     | -126.70                  | 625.10                     |
| 2                 | 2                  | 188.30                             | -8.04      |                          |                            |
| 3                 | 4                  | 329.20                             | -307.00    |                          |                            |
| 4                 | 7                  | 629.10                             | -320.30    |                          |                            |
| 5                 | 14                 | 670.50                             | -379.50    |                          |                            |
| 6                 | 18                 | 625.10                             | -401.80    |                          |                            |
| 7                 | 60                 | 247.70                             | -134.60    |                          |                            |

| Punto de analisis | Profundidades (in) | Relacion    |            |                          |                            |
|-------------------|--------------------|-------------|------------|--------------------------|----------------------------|
|                   |                    | Deformacion |            | Deformacion por traccion | Deformacion por compresion |
|                   |                    | Vertical    | Horizontal |                          |                            |
| 1                 | 0                  | 1.618       | 1.490      | 3.56                     | 1.17                       |
| 2                 | 2                  | 1.231       | 0.433      |                          |                            |
| 3                 | 4                  | 1.554       | 1.471      |                          |                            |
| 4                 | 7                  | 1.522       | 1.459      |                          |                            |
| 5                 | 14                 | 1.275       | 1.210      |                          |                            |
| 6                 | 18                 | 1.174       | 1.122      |                          |                            |
| 7                 | 60                 | 0.911       | 0.935      |                          |                            |

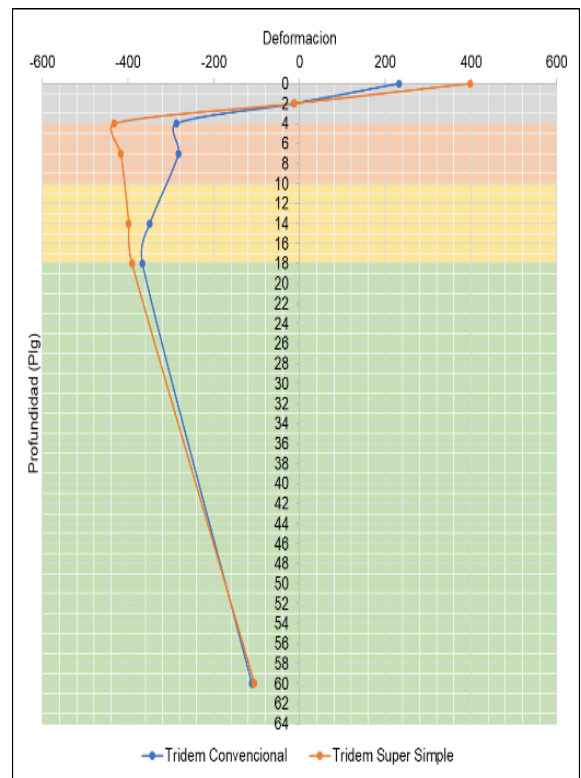


### T3S3 N° 85

| Punto de analisis | Profundidades (in) | Camion 85 T3S3 Tridem Super Simple |            |                          |                            |
|-------------------|--------------------|------------------------------------|------------|--------------------------|----------------------------|
|                   |                    | Deformacion ( $\mu\epsilon$ )      |            | Deformacion por traccion | Deformacion por compresion |
|                   |                    | Vertical                           | Horizontal |                          |                            |
| 1                 | 0                  | -                                  | 398.30     | -432.50                  | 636.70                     |
| 2                 | 2                  | 247.70                             | -12.31     |                          |                            |
| 3                 | 4                  | 120.20                             | -432.50    |                          |                            |
| 4                 | 7                  | 479.60                             | -417.30    |                          |                            |
| 5                 | 14                 | 829.10                             | -399.00    |                          |                            |
| 6                 | 18                 | 722.10                             | -391.50    |                          |                            |
| 7                 | 60                 | 624.30                             | -105.60    |                          |                            |

| Punto de analisis | Profundidades (in) | Camion 85 T3S3 Tridem Convencional |            |                          |                            |
|-------------------|--------------------|------------------------------------|------------|--------------------------|----------------------------|
|                   |                    | Deformacion ( $\mu\epsilon$ )      |            | Deformacion por traccion | Deformacion por compresion |
|                   |                    | Vertical                           | Horizontal |                          |                            |
| 1                 | 0                  | -                                  | 232.30     | -144.70                  | 566.40                     |
| 2                 | 2                  | 163.00                             | -13.83     |                          |                            |
| 3                 | 4                  | 94.85                              | -287.30    |                          |                            |
| 4                 | 7                  | 303.20                             | -295.10    |                          |                            |
| 5                 | 14                 | 560.10                             | -349.70    |                          |                            |
| 6                 | 18                 | 605.00                             | -367.20    |                          |                            |
| 7                 | 60                 | 566.40                             | -111.70    |                          |                            |

| Punto de analisis | Profundidades (in) | Relacion    |            |                          |                            |
|-------------------|--------------------|-------------|------------|--------------------------|----------------------------|
|                   |                    | Deformacion |            | Deformacion por traccion | Deformacion por compresion |
|                   |                    | Vertical    | Horizontal |                          |                            |
| 1                 | 0                  | 1.520       | 1.715      | 2.99                     | 1.12                       |
| 2                 | 2                  | 1.267       | 0.890      |                          |                            |
| 3                 | 4                  | 1.582       | 1.505      |                          |                            |
| 4                 | 7                  | 1.480       | 1.414      |                          |                            |
| 5                 | 14                 | 1.194       | 1.141      |                          |                            |
| 6                 | 18                 | 1.102       | 1.066      |                          |                            |
| 7                 | 60                 | 0.922       | 0.945      |                          |                            |

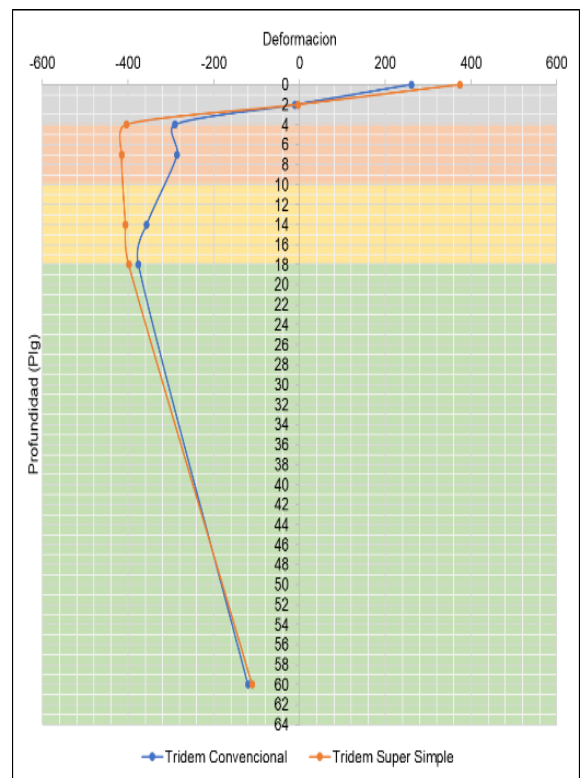


### T3S3 N° 86

| Punto de analisis | Profundidades (in) | Camion 86 T3S3 Tridem Super Simple |            |                          |                            |
|-------------------|--------------------|------------------------------------|------------|--------------------------|----------------------------|
|                   |                    | Deformacion ( $\mu\epsilon$ )      |            | Deformacion por traccion | Deformacion por compresion |
|                   |                    | Vertical                           | Horizontal |                          |                            |
| 1                 | 0                  | -                                  | 374.40     | -404.50                  | 647.30                     |
| 2                 | 2                  | 267.80                             | -4.08      |                          |                            |
| 3                 | 4                  | 95.36                              | -404.50    |                          |                            |
| 4                 | 7                  | 457.20                             | -415.10    |                          |                            |
| 5                 | 14                 | 847.20                             | -406.30    |                          |                            |
| 6                 | 18                 | 753.60                             | -398.70    |                          |                            |
| 7                 | 60                 | 647.30                             | -110.90    |                          |                            |

| Punto de analisis | Profundidades (in) | Camion 86 T3S3 Tridem Convencional |            |                          |                            |
|-------------------|--------------------|------------------------------------|------------|--------------------------|----------------------------|
|                   |                    | Deformacion ( $\mu\epsilon$ )      |            | Deformacion por traccion | Deformacion por compresion |
|                   |                    | Vertical                           | Horizontal |                          |                            |
| 1                 | 0                  | -                                  | 260.60     | -132.00                  | 583.20                     |
| 2                 | 2                  | 164.80                             | -10.43     |                          |                            |
| 3                 | 4                  | 87.08                              | -290.80    |                          |                            |
| 4                 | 7                  | 309.70                             | -301.10    |                          |                            |
| 5                 | 14                 | 582.10                             | -357.20    |                          |                            |
| 6                 | 18                 | 624.10                             | -376.90    |                          |                            |
| 7                 | 60                 | 583.20                             | -120.80    |                          |                            |

| Punto de analisis | Profundidades (in) | Relacion    |            |                          |                            |
|-------------------|--------------------|-------------|------------|--------------------------|----------------------------|
|                   |                    | Deformacion |            | Deformacion por traccion | Deformacion por compresion |
|                   |                    | Vertical    | Horizontal |                          |                            |
| 1                 | 0                  | 1.625       | 1.437      | 3.06                     | 1.11                       |
| 2                 | 2                  | 1.095       | 0.392      |                          |                            |
| 3                 | 4                  | 1.476       | 1.391      |                          |                            |
| 4                 | 7                  | 1.455       | 1.379      |                          |                            |
| 5                 | 14                 | 1.207       | 1.137      |                          |                            |
| 6                 | 18                 | 1.110       | 1.058      |                          |                            |
| 7                 | 60                 | 0.884       | 0.918      |                          |                            |

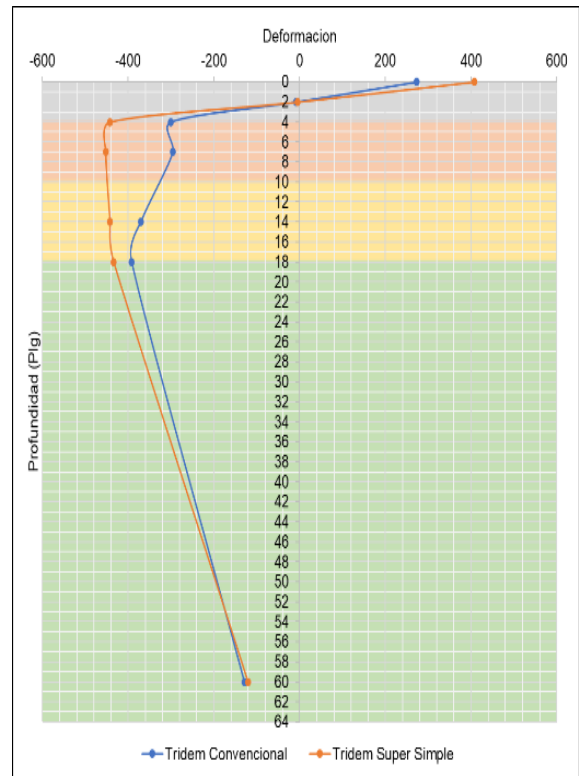


### T3S3 N° 87

| Punto de analisis | Profundidades (in) | Camion 87 T3S3 Tridem Super Simple |            |                          |                            |
|-------------------|--------------------|------------------------------------|------------|--------------------------|----------------------------|
|                   |                    | Deformacion ( $\mu\epsilon$ )      |            | Deformacion por traccion | Deformacion por compresion |
|                   |                    | Vertical                           | Horizontal |                          |                            |
| 1                 | 0                  | -                                  | 408.20     | -442.40                  | 703.90                     |
| 2                 | 2                  | 290.70                             | -4.87      |                          |                            |
| 3                 | 4                  | 105.20                             | -442.40    |                          |                            |
| 4                 | 7                  | 499.60                             | -452.50    |                          |                            |
| 5                 | 14                 | 922.30                             | -442.30    |                          |                            |
| 6                 | 18                 | 819.20                             | -434.00    |                          |                            |
| 7                 | 60                 | 703.90                             | -120.60    |                          |                            |

| Punto de analisis | Profundidades (in) | Camion 87 T3S3 Tridem Convencional |            |                          |                            |
|-------------------|--------------------|------------------------------------|------------|--------------------------|----------------------------|
|                   |                    | Deformacion ( $\mu\epsilon$ )      |            | Deformacion por traccion | Deformacion por compresion |
|                   |                    | Vertical                           | Horizontal |                          |                            |
| 1                 | 0                  | -                                  | 273.60     | -129.00                  | 607.80                     |
| 2                 | 2                  | 178.60                             | -9.00      |                          |                            |
| 3                 | 4                  | 85.58                              | -300.40    |                          |                            |
| 4                 | 7                  | 321.30                             | -312.40    |                          |                            |
| 5                 | 14                 | 609.60                             | -370.40    |                          |                            |
| 6                 | 18                 | 651.30                             | -391.70    |                          |                            |
| 7                 | 60                 | 607.80                             | -128.90    |                          |                            |

| Punto de analisis | Profundidades (in) | Relacion    |            |                          |                            |
|-------------------|--------------------|-------------|------------|--------------------------|----------------------------|
|                   |                    | Deformacion |            | Deformacion por traccion | Deformacion por compresion |
|                   |                    | Vertical    | Horizontal |                          |                            |
| 1                 | 0                  | 1.628       | 1.492      | 3.43                     | 1.16                       |
| 2                 | 2                  | 1.229       | 0.541      |                          |                            |
| 3                 | 4                  | 1.555       | 1.473      |                          |                            |
| 4                 | 7                  | 1.513       | 1.448      |                          |                            |
| 5                 | 14                 | 1.258       | 1.194      |                          |                            |
| 6                 | 18                 | 1.158       | 1.108      |                          |                            |
| 7                 | 60                 | 0.910       | 0.936      |                          |                            |

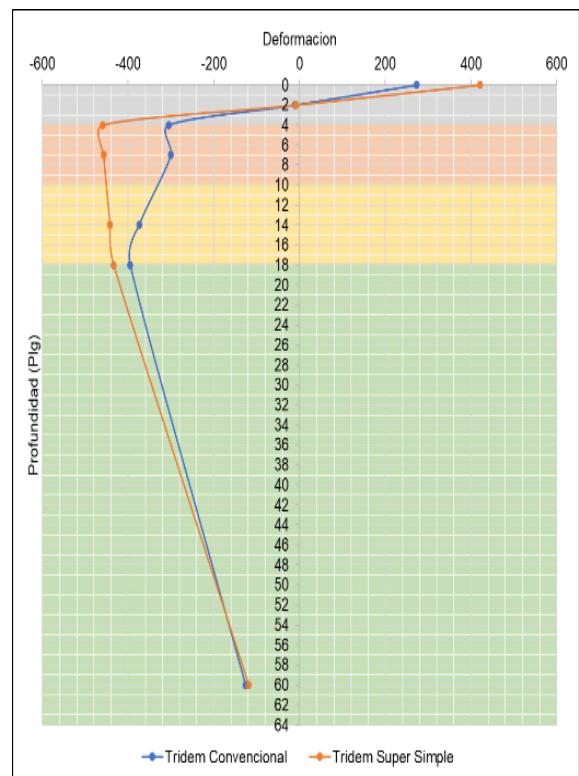


### T3S3 N° 88

| Punto de analisis | Profundidades (in) | Camion 88 T3S3 Tridem Super Simple |            |                          |                            |
|-------------------|--------------------|------------------------------------|------------|--------------------------|----------------------------|
|                   |                    | Deformacion ( $\mu\epsilon$ )      |            | Deformacion por traccion | Deformacion por compresion |
|                   |                    | Vertical                           | Horizontal |                          |                            |
| 1                 | 0                  | -                                  | 421.10     | -459.60                  | 697.70                     |
| 2                 | 2                  | 284.80                             | -8.69      |                          |                            |
| 3                 | 4                  | 117.40                             | -459.60    |                          |                            |
| 4                 | 7                  | 514.70                             | -457.50    |                          |                            |
| 5                 | 14                 | 921.50                             | -442.30    |                          |                            |
| 6                 | 18                 | 810.00                             | -434.00    |                          |                            |
| 7                 | 60                 | 697.70                             | -119.10    |                          |                            |

| Punto de analisis | Profundidades (in) | Camion 88 T3S3 Tridem Convencional |            |                          |                            |
|-------------------|--------------------|------------------------------------|------------|--------------------------|----------------------------|
|                   |                    | Deformacion ( $\mu\epsilon$ )      |            | Deformacion por traccion | Deformacion por compresion |
|                   |                    | Vertical                           | Horizontal |                          |                            |
| 1                 | 0                  | -                                  | 272.80     | -139.80                  | 611.40                     |
| 2                 | 2                  | 171.60                             | -11.24     |                          |                            |
| 3                 | 4                  | 92.16                              | -305.30    |                          |                            |
| 4                 | 7                  | 325.00                             | -315.90    |                          |                            |
| 5                 | 14                 | 609.80                             | -374.70    |                          |                            |
| 6                 | 18                 | 654.20                             | -395.30    |                          |                            |
| 7                 | 60                 | 611.40                             | -126.10    |                          |                            |

| Punto de analisis | Profundidades (in) | Relacion    |            |                          |                            |
|-------------------|--------------------|-------------|------------|--------------------------|----------------------------|
|                   |                    | Deformacion |            | Deformacion por traccion | Deformacion por compresion |
|                   |                    | Vertical    | Horizontal |                          |                            |
| 1                 | 0                  | 1.660       | 1.544      | 3.29                     | 1.14                       |
| 2                 | 2                  | 1.274       | 0.773      |                          |                            |
| 3                 | 4                  | 1.584       | 1.505      |                          |                            |
| 4                 | 7                  | 1.511       | 1.448      |                          |                            |
| 5                 | 14                 | 1.238       | 1.180      |                          |                            |
| 6                 | 18                 | 1.141       | 1.098      |                          |                            |
| 7                 | 60                 | 0.920       | 0.944      |                          |                            |



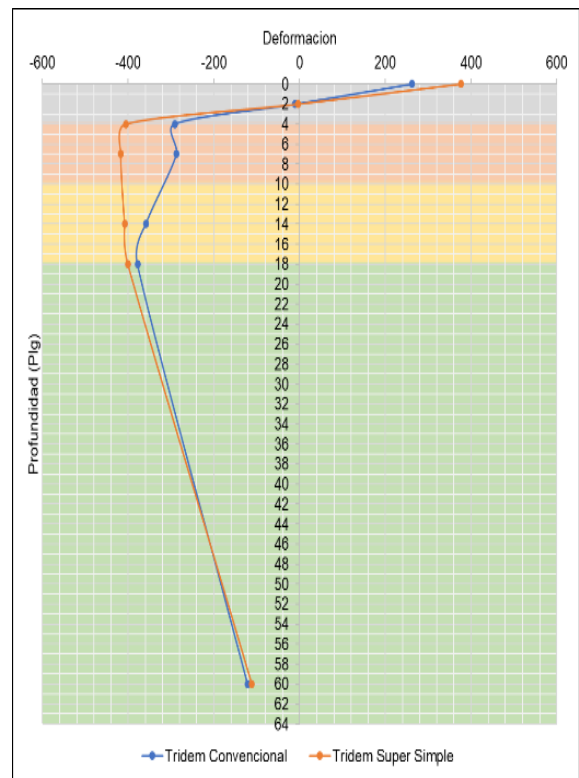


### T3S3 N° 89

| Punto de analisis | Profundidades (in) | Camion 89 T3S3 Tridem Super Simple |            |                          |                            |
|-------------------|--------------------|------------------------------------|------------|--------------------------|----------------------------|
|                   |                    | Deformacion ( $\mu\epsilon$ )      |            | Deformacion por traccion | Deformacion por compresion |
|                   |                    | Vertical                           | Horizontal |                          |                            |
| 1                 | 0                  | -                                  | 375.90     | -405.60                  | 650.90                     |
| 2                 | 2                  | 269.40                             | -3.92      |                          |                            |
| 3                 | 4                  | 458.60                             | -405.60    |                          |                            |
| 4                 | 7                  | 851.40                             | -416.90    |                          |                            |
| 5                 | 14                 | 757.90                             | -408.30    |                          |                            |
| 6                 | 18                 | 650.90                             | -400.70    |                          |                            |
| 7                 | 60                 | 200.60                             | -111.50    |                          |                            |

| Punto de analisis | Profundidades (in) | Camion 89 T3S3 Tridem Convencional |            |                          |                            |
|-------------------|--------------------|------------------------------------|------------|--------------------------|----------------------------|
|                   |                    | Deformacion ( $\mu\epsilon$ )      |            | Deformacion por traccion | Deformacion por compresion |
|                   |                    | Vertical                           | Horizontal |                          |                            |
| 1                 | 0                  | -                                  | 261.70     | -131.70                  | 585.40                     |
| 2                 | 2                  | 166.00                             | -10.30     |                          |                            |
| 3                 | 4                  | 310.80                             | -291.70    |                          |                            |
| 4                 | 7                  | 584.60                             | -302.10    |                          |                            |
| 5                 | 14                 | 626.60                             | -358.40    |                          |                            |
| 6                 | 18                 | 585.40                             | -378.30    |                          |                            |
| 7                 | 60                 | 226.90                             | -121.50    |                          |                            |

| Punto de analisis | Profundidades (in) | Relacion    |            |                          |                            |
|-------------------|--------------------|-------------|------------|--------------------------|----------------------------|
|                   |                    | Deformacion |            | Deformacion por traccion | Deformacion por compresion |
|                   |                    | Vertical    | Horizontal |                          |                            |
| 1                 | 0                  | 1.623       | 1.436      | 3.08                     | 1.11                       |
| 2                 | 2                  | 1.095       | 0.380      |                          |                            |
| 3                 | 4                  | 1.476       | 1.390      |                          |                            |
| 4                 | 7                  | 1.456       | 1.380      |                          |                            |
| 5                 | 14                 | 1.210       | 1.139      |                          |                            |
| 6                 | 18                 | 1.112       | 1.059      |                          |                            |
| 7                 | 60                 | 0.884       | 0.918      |                          |                            |

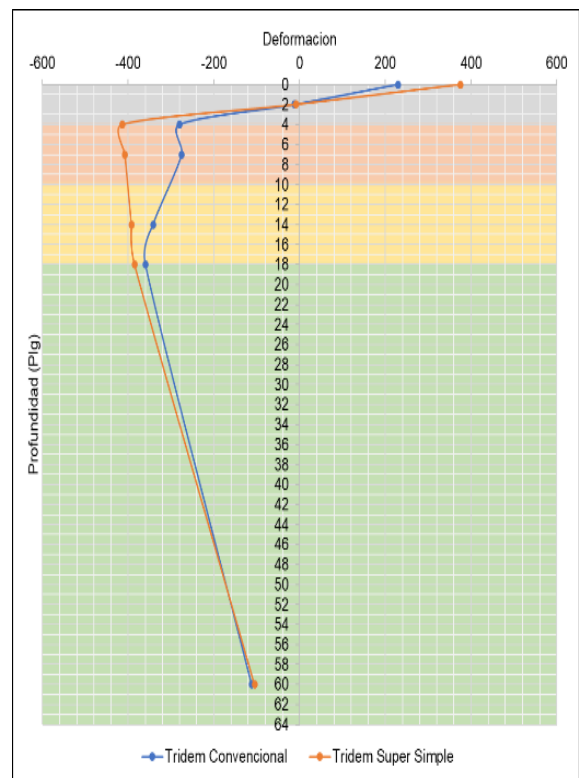


### T3S3 N° 90

| Punto de analisis | Profundidades (in) | Camion 90 T3S3 Tridem Super Simple |            |                          |                            |
|-------------------|--------------------|------------------------------------|------------|--------------------------|----------------------------|
|                   |                    | Deformacion ( $\mu\epsilon$ )      |            | Deformacion por traccion | Deformacion por compresion |
|                   |                    | Vertical                           | Horizontal |                          |                            |
| 1                 | 0                  | -                                  | 375.10     | -413.40                  | 617.20                     |
| 2                 | 2                  | 249.50                             | -9.00      |                          |                            |
| 3                 | 4                  | 461.50                             | -413.40    |                          |                            |
| 4                 | 7                  | 817.00                             | -407.40    |                          |                            |
| 5                 | 14                 | 715.70                             | -392.40    |                          |                            |
| 6                 | 18                 | 617.20                             | -385.00    |                          |                            |
| 7                 | 60                 | 192.70                             | -105.10    |                          |                            |

| Punto de analisis | Profundidades (in) | Camion 90 T3S3 Tridem Convencional |            |                          |                            |
|-------------------|--------------------|------------------------------------|------------|--------------------------|----------------------------|
|                   |                    | Deformacion ( $\mu\epsilon$ )      |            | Deformacion por traccion | Deformacion por compresion |
|                   |                    | Vertical                           | Horizontal |                          |                            |
| 1                 | 0                  | -                                  | 229.40     | -135.10                  | 555.90                     |
| 2                 | 2                  | 164.10                             | -11.98     |                          |                            |
| 3                 | 4                  | 296.70                             | -280.00    |                          |                            |
| 4                 | 7                  | 551.80                             | -288.50    |                          |                            |
| 5                 | 14                 | 594.20                             | -342.20    |                          |                            |
| 6                 | 18                 | 555.90                             | -360.10    |                          |                            |
| 7                 | 60                 | 211.30                             | -112.00    |                          |                            |

| Punto de analisis | Profundidades (in) | Relacion    |            |                          |                            |
|-------------------|--------------------|-------------|------------|--------------------------|----------------------------|
|                   |                    | Deformacion |            | Deformacion por traccion | Deformacion por compresion |
|                   |                    | Vertical    | Horizontal |                          |                            |
| 1                 | 0                  | 1.520       | 1.635      | 3.06                     | 1.11                       |
| 2                 | 2                  | 1.221       | 0.751      |                          |                            |
| 3                 | 4                  | 1.555       | 1.476      |                          |                            |
| 4                 | 7                  | 1.481       | 1.412      |                          |                            |
| 5                 | 14                 | 1.204       | 1.147      |                          |                            |
| 6                 | 18                 | 1.110       | 1.069      |                          |                            |
| 7                 | 60                 | 0.912       | 0.938      |                          |                            |

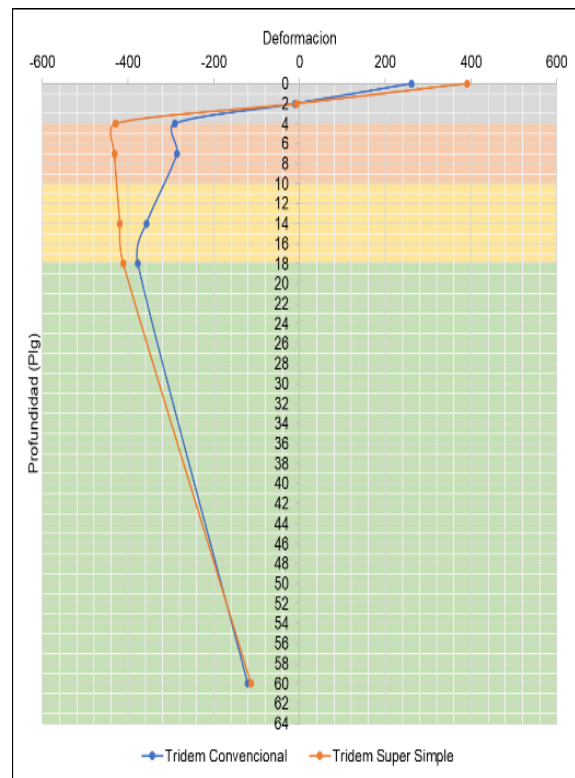


## T3S3 N° 91

| Punto de analisis | Profundidades (in) | Camion 91 T3S3 Tridem Super Simple |            |                          |                            |
|-------------------|--------------------|------------------------------------|------------|--------------------------|----------------------------|
|                   |                    | Deformacion ( $\mu\epsilon$ )      |            | Deformacion por traccion | Deformacion por compresion |
|                   |                    | Vertical                           | Horizontal |                          |                            |
| 1                 | 0                  | -                                  | 390.30     | -429.60                  | 664.00                     |
| 2                 | 2                  | 271.40                             | -6.79      |                          |                            |
| 3                 | 4                  | 482.70                             | -429.60    |                          |                            |
| 4                 | 7                  | 874.70                             | -432.20    |                          |                            |
| 5                 | 14                 | 771.80                             | -419.60    |                          |                            |
| 6                 | 18                 | 664.00                             | -411.70    |                          |                            |
| 7                 | 60                 | 206.20                             | -113.50    |                          |                            |

| Punto de analisis | Profundidades (in) | Camion 91 T3S3 Tridem Convencional |            |                          |                            |
|-------------------|--------------------|------------------------------------|------------|--------------------------|----------------------------|
|                   |                    | Deformacion ( $\mu\epsilon$ )      |            | Deformacion por traccion | Deformacion por compresion |
|                   |                    | Vertical                           | Horizontal |                          |                            |
| 1                 | 0                  | 165.40                             | 261.10     | -131.90                  | 584.30                     |
| 2                 | 2                  | 87.01                              | -10.36     |                          |                            |
| 3                 | 4                  | 310.30                             | -291.20    |                          |                            |
| 4                 | 7                  | 583.40                             | -301.60    |                          |                            |
| 5                 | 14                 | 625.40                             | -357.80    |                          |                            |
| 6                 | 18                 | 584.30                             | -377.70    |                          |                            |
| 7                 | 60                 | 226.30                             | -121.20    |                          |                            |

| Punto de analisis | T3S3 N°91<br>Profundidades (in) | Relacion    |            |                          |                            |
|-------------------|---------------------------------|-------------|------------|--------------------------|----------------------------|
|                   |                                 | Deformacion |            | Deformacion por traccion | Deformacion por compresion |
|                   |                                 | Vertical    | Horizontal |                          |                            |
| 1                 | 0                               | 1.641       | 1.495      | 3.26                     | 1.14                       |
| 2                 | 2                               | 1.226       | 0.656      |                          |                            |
| 3                 | 4                               | 1.556       | 1.475      |                          |                            |
| 4                 | 7                               | 1.499       | 1.433      |                          |                            |
| 5                 | 14                              | 1.234       | 1.173      |                          |                            |
| 6                 | 18                              | 1.136       | 1.090      |                          |                            |
| 7                 | 60                              | 0.911       | 0.936      |                          |                            |

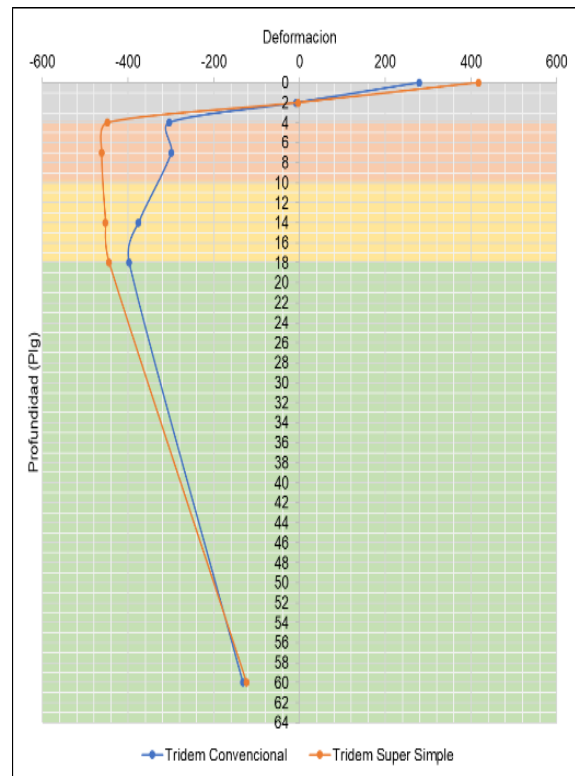


## T3S3 N° 92

| Punto de analisis | Profundidades (in) | Camion 92 T3S3 Tridem Super Simple |            |                          |                            |
|-------------------|--------------------|------------------------------------|------------|--------------------------|----------------------------|
|                   |                    | Deformacion ( $\mu\epsilon$ )      |            | Deformacion por traccion | Deformacion por compresion |
|                   |                    | Vertical                           | Horizontal |                          |                            |
| 1                 | 0                  | -                                  | 416.80     | -448.40                  | 723.60                     |
| 2                 | 2                  | 299.90                             | -3.96      |                          |                            |
| 3                 | 4                  | 104.50                             | -448.40    |                          |                            |
| 4                 | 7                  | 507.50                             | -462.30    |                          |                            |
| 5                 | 14                 | 945.30                             | -453.30    |                          |                            |
| 6                 | 18                 | 842.60                             | -445.00    |                          |                            |
| 7                 | 60                 | 723.60                             | -124.00    |                          |                            |

| Punto de analisis | Profundidades (in) | Camion 92 T3S3 Tridem Convencional |            |                          |                            |
|-------------------|--------------------|------------------------------------|------------|--------------------------|----------------------------|
|                   |                    | Deformacion ( $\mu\epsilon$ )      |            | Deformacion por traccion | Deformacion por compresion |
|                   |                    | Vertical                           | Horizontal |                          |                            |
| 1                 | 0                  | 184.90                             | 279.60     | -127.50                  | 619.10                     |
| 2                 | 2                  | 84.96                              | -8.37      |                          |                            |
| 3                 | 4                  | 326.50                             | -304.70    |                          |                            |
| 4                 | 7                  | 622.40                             | -317.60    |                          |                            |
| 5                 | 14                 | 663.90                             | -376.30    |                          |                            |
| 6                 | 18                 | 619.10                             | -398.30    |                          |                            |
| 7                 | 60                 | 244.60                             | -132.60    |                          |                            |

| Punto de analisis | T3S3 N°92<br>Profundidades (in) | Relacion    |            |                          |                            |
|-------------------|---------------------------------|-------------|------------|--------------------------|----------------------------|
|                   |                                 | Deformacion |            | Deformacion por traccion | Deformacion por compresion |
|                   |                                 | Vertical    | Horizontal |                          |                            |
| 1                 | 0                               | 1.622       | 1.491      | 3.52                     | 1.17                       |
| 2                 | 2                               | 1.230       | 0.473      |                          |                            |
| 3                 | 4                               | 1.554       | 1.472      |                          |                            |
| 4                 | 7                               | 1.519       | 1.456      |                          |                            |
| 5                 | 14                              | 1.269       | 1.205      |                          |                            |
| 6                 | 18                              | 1.169       | 1.117      |                          |                            |
| 7                 | 60                              | 0.911       | 0.935      |                          |                            |

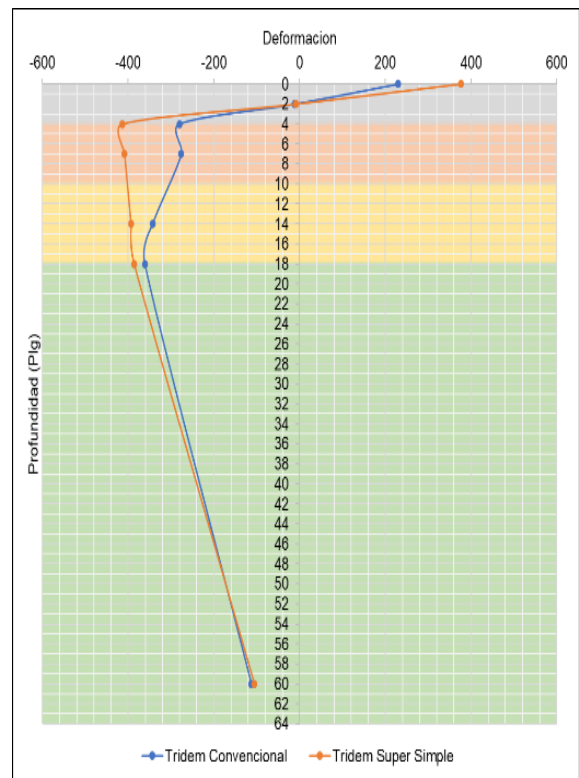


### T3S3 N° 93

| Punto de analisis | Profundidades (in) | Camion 93 T3S3 Tridem Super Simple |            |                          |                            |
|-------------------|--------------------|------------------------------------|------------|--------------------------|----------------------------|
|                   |                    | Deformacion ( $\mu\epsilon$ )      |            | Deformacion por traccion | Deformacion por compresion |
|                   |                    | Vertical                           | Horizontal |                          |                            |
| 1                 | 0                  | -                                  | 376.40     | -414.30                  | 622.60                     |
| 2                 | 2                  | 250.90                             | -8.87      |                          |                            |
| 3                 | 4                  | 108.20                             | -414.30    |                          |                            |
| 4                 | 7                  | 462.70                             | -408.80    |                          |                            |
| 5                 | 14                 | 820.30                             | -393.90    |                          |                            |
| 6                 | 18                 | 718.90                             | -386.50    |                          |                            |
| 7                 | 60                 | 619.80                             | -105.60    |                          |                            |

| Punto de analisis | Profundidades (in) | Camion 93 T3S3 Tridem Convencional |            |                          |                            |
|-------------------|--------------------|------------------------------------|------------|--------------------------|----------------------------|
|                   |                    | Deformacion ( $\mu\epsilon$ )      |            | Deformacion por traccion | Deformacion por compresion |
|                   |                    | Vertical                           | Horizontal |                          |                            |
| 1                 | 0                  | -                                  | 230.20     | -134.90                  | 557.60                     |
| 2                 | 2                  | 165.00                             | -11.88     |                          |                            |
| 3                 | 4                  | 88.58                              | -280.60    |                          |                            |
| 4                 | 7                  | 297.50                             | -289.30    |                          |                            |
| 5                 | 14                 | 553.70                             | -343.10    |                          |                            |
| 6                 | 18                 | 596.10                             | -361.20    |                          |                            |
| 7                 | 60                 | 557.60                             | -112.50    |                          |                            |

| Punto de analisis | Profundidades (in) | Relacion    |            |                          |                            |
|-------------------|--------------------|-------------|------------|--------------------------|----------------------------|
|                   |                    | Deformacion |            | Deformacion por traccion | Deformacion por compresion |
|                   |                    | Vertical    | Horizontal |                          |                            |
| 1                 | 0                  | 1.521       | 1.635      | 3.07                     | 1.12                       |
| 2                 | 2                  | 1.221       | 0.747      |                          |                            |
| 3                 | 4                  | 1.555       | 1.476      |                          |                            |
| 4                 | 7                  | 1.481       | 1.413      |                          |                            |
| 5                 | 14                 | 1.206       | 1.148      |                          |                            |
| 6                 | 18                 | 1.112       | 1.070      |                          |                            |
| 7                 | 60                 | 0.912       | 0.939      |                          |                            |

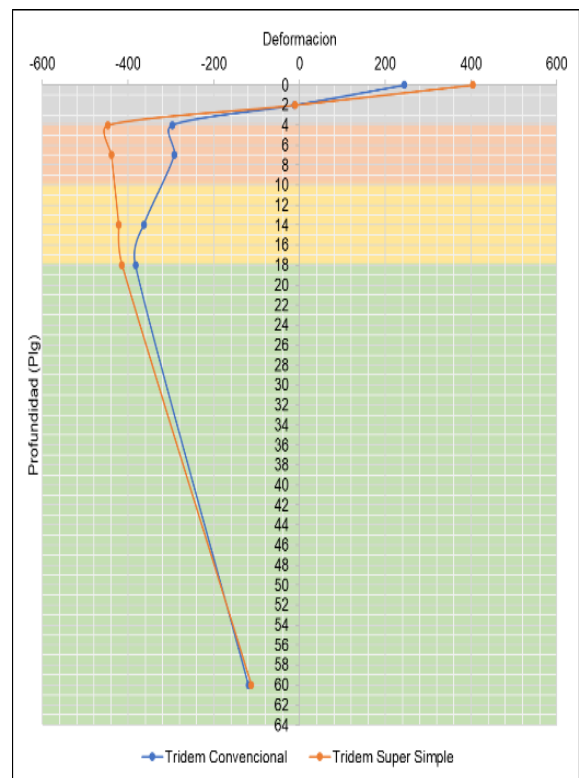


### T3S3 N° 94

| Punto de analisis | Profundidades (in) | Camion 94 T3S3 Tridem Super Simple |            |                          |                            |
|-------------------|--------------------|------------------------------------|------------|--------------------------|----------------------------|
|                   |                    | Deformacion ( $\mu\epsilon$ )      |            | Deformacion por traccion | Deformacion por compresion |
|                   |                    | Vertical                           | Horizontal |                          |                            |
| 1                 | 0                  | -                                  | 404.70     | -447.60                  | 669.50                     |
| 2                 | 2                  | 267.30                             | -10.28     |                          |                            |
| 3                 | 4                  | 118.50                             | -447.60    |                          |                            |
| 4                 | 7                  | 499.10                             | -439.40    |                          |                            |
| 5                 | 14                 | 879.70                             | -422.60    |                          |                            |
| 6                 | 18                 | 769.70                             | -414.60    |                          |                            |
| 7                 | 60                 | 664.00                             | -112.90    |                          |                            |

| Punto de analisis | Profundidades (in) | Camion 94 T3S3 Tridem Convencional |            |                          |                            |
|-------------------|--------------------|------------------------------------|------------|--------------------------|----------------------------|
|                   |                    | Deformacion ( $\mu\epsilon$ )      |            | Deformacion por traccion | Deformacion por compresion |
|                   |                    | Vertical                           | Horizontal |                          |                            |
| 1                 | 0                  | -                                  | 244.30     | -142.10                  | 591.20                     |
| 2                 | 2                  | 175.40                             | -12.40     |                          |                            |
| 3                 | 4                  | 93.35                              | -297.30    |                          |                            |
| 4                 | 7                  | 315.30                             | -306.60    |                          |                            |
| 5                 | 14                 | 587.30                             | -363.60    |                          |                            |
| 6                 | 18                 | 632.00                             | -382.90    |                          |                            |
| 7                 | 60                 | 591.20                             | -119.60    |                          |                            |

| Punto de analisis | Profundidades (in) | Relacion    |            |                          |                            |
|-------------------|--------------------|-------------|------------|--------------------------|----------------------------|
|                   |                    | Deformacion |            | Deformacion por traccion | Deformacion por compresion |
|                   |                    | Vertical    | Horizontal |                          |                            |
| 1                 | 0                  | 1.524       | 1.657      | 3.15                     | 1.13                       |
| 2                 | 2                  | 1.269       | 0.829      |                          |                            |
| 3                 | 4                  | 1.583       | 1.506      |                          |                            |
| 4                 | 7                  | 1.498       | 1.433      |                          |                            |
| 5                 | 14                 | 1.218       | 1.162      |                          |                            |
| 6                 | 18                 | 1.123       | 1.083      |                          |                            |
| 7                 | 60                 | 0.921       | 0.944      |                          |                            |

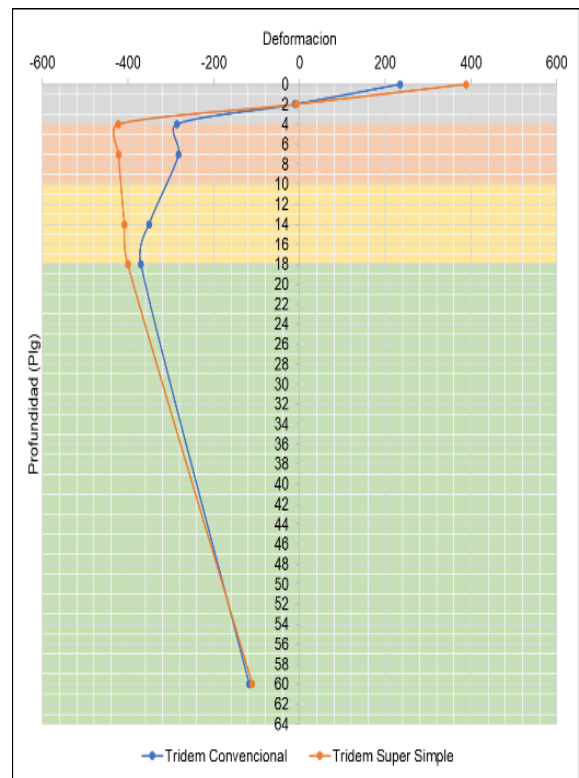


### T3S3 N° 95

| Punto de analisis | Profundidades (in) | Camion 95 T3S3 Tridem Super Simple |            |                          |                            |
|-------------------|--------------------|------------------------------------|------------|--------------------------|----------------------------|
|                   |                    | Deformacion ( $\mu\epsilon$ )      |            | Deformacion por traccion | Deformacion por compresion |
|                   |                    | Vertical                           | Horizontal |                          |                            |
| 1                 | 0                  | -                                  | 388.70     | -423.20                  | 645.20                     |
| 2                 | 2                  | 264.00                             | -7.70      |                          |                            |
| 3                 | 4                  | 474.40                             | -423.20    |                          |                            |
| 4                 | 7                  | 851.70                             | -422.40    |                          |                            |
| 5                 | 14                 | 749.20                             | -408.70    |                          |                            |
| 6                 | 18                 | 645.20                             | -401.00    |                          |                            |
| 7                 | 60                 | 200.80                             | -110.10    |                          |                            |

| Punto de analisis | Profundidades (in) | Camion 95 T3S3 Tridem Convencional |            |                          |                            |
|-------------------|--------------------|------------------------------------|------------|--------------------------|----------------------------|
|                   |                    | Deformacion ( $\mu\epsilon$ )      |            | Deformacion por traccion | Deformacion por compresion |
|                   |                    | Vertical                           | Horizontal |                          |                            |
| 1                 | 0                  | -                                  | 234.70     | -133.20                  | 573.00                     |
| 2                 | 2                  | 174.10                             | -11.00     |                          |                            |
| 3                 | 4                  | 304.90                             | -286.80    |                          |                            |
| 4                 | 7                  | 570.70                             | -296.40    |                          |                            |
| 5                 | 14                 | 612.90                             | -351.60    |                          |                            |
| 6                 | 18                 | 573.00                             | -370.70    |                          |                            |
| 7                 | 60                 | 220.40                             | -117.50    |                          |                            |

| Punto de analisis | Profundidades (in) | Relacion    |            |                          |                            |
|-------------------|--------------------|-------------|------------|--------------------------|----------------------------|
|                   |                    | Deformacion |            | Deformacion por traccion | Deformacion por compresion |
|                   |                    | Vertical    | Horizontal |                          |                            |
| 1                 | 0                  | 1.516       | 1.656      | 3.18                     | 1.13                       |
| 2                 | 2                  | 1.225       | 0.700      |                          |                            |
| 3                 | 4                  | 1.556       | 1.476      |                          |                            |
| 4                 | 7                  | 1.492       | 1.425      |                          |                            |
| 5                 | 14                 | 1.222       | 1.162      |                          |                            |
| 6                 | 18                 | 1.126       | 1.082      |                          |                            |
| 7                 | 60                 | 0.911       | 0.937      |                          |                            |

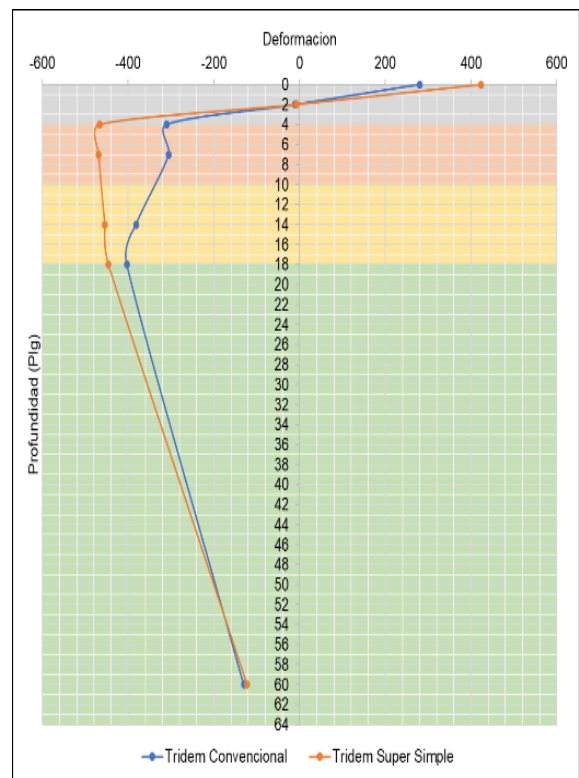


### T3S3 N° 96

| Punto de analisis | Profundidades (in) | Camion 96 T3S3 Tridem Super Simple |            |                          |                            |
|-------------------|--------------------|------------------------------------|------------|--------------------------|----------------------------|
|                   |                    | Deformacion ( $\mu\epsilon$ )      |            | Deformacion por traccion | Deformacion por compresion |
|                   |                    | Vertical                           | Horizontal |                          |                            |
| 1                 | 0                  | -                                  | 423.60     | -467.10                  | 719.60                     |
| 2                 | 2                  | 293.80                             | -7.64      |                          |                            |
| 3                 | 4                  | 524.50                             | -467.10    |                          |                            |
| 4                 | 7                  | 948.50                             | -469.10    |                          |                            |
| 5                 | 14                 | 836.30                             | -455.00    |                          |                            |
| 6                 | 18                 | 719.60                             | -446.50    |                          |                            |
| 7                 | 60                 | 223.60                             | -123.00    |                          |                            |

| Punto de analisis | Profundidades (in) | Camion 96 T3S3 Tridem Convencional |            |                          |                            |
|-------------------|--------------------|------------------------------------|------------|--------------------------|----------------------------|
|                   |                    | Deformacion ( $\mu\epsilon$ )      |            | Deformacion por traccion | Deformacion por compresion |
|                   |                    | Vertical                           | Horizontal |                          |                            |
| 1                 | 0                  | -                                  | 279.80     | -138.30                  | 624.70                     |
| 2                 | 2                  | 179.00                             | -10.50     |                          |                            |
| 3                 | 4                  | 331.20                             | -310.50    |                          |                            |
| 4                 | 7                  | 624.60                             | -322.00    |                          |                            |
| 5                 | 14                 | 668.80                             | -381.90    |                          |                            |
| 6                 | 18                 | 624.70                             | -403.40    |                          |                            |
| 7                 | 60                 | 243.10                             | -130.50    |                          |                            |

| Punto de analisis | Profundidades (in) | Relacion    |            |                          |                            |
|-------------------|--------------------|-------------|------------|--------------------------|----------------------------|
|                   |                    | Deformacion |            | Deformacion por traccion | Deformacion por compresion |
|                   |                    | Vertical    | Horizontal |                          |                            |
| 1                 | 0                  | 1.641       | 1.514      | 3.38                     | 1.15                       |
| 2                 | 2                  | 1.276       | 0.727      |                          |                            |
| 3                 | 4                  | 1.584       | 1.504      |                          |                            |
| 4                 | 7                  | 1.519       | 1.457      |                          |                            |
| 5                 | 14                 | 1.250       | 1.191      |                          |                            |
| 6                 | 18                 | 1.152       | 1.107      |                          |                            |
| 7                 | 60                 | 0.920       | 0.943      |                          |                            |

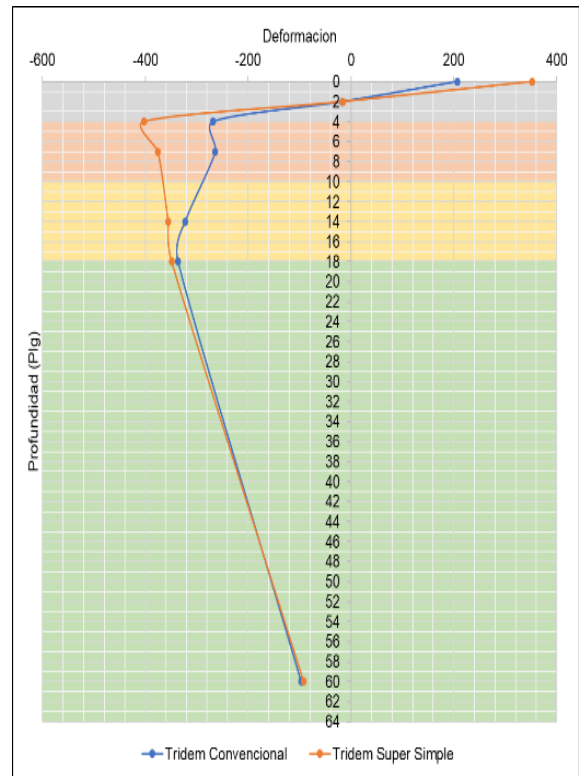


### T3S3 N° 97

| Punto de analisis | Profundidades (in) | Camion 97 T3S3 Tridem Super Simple |            |                          |                            |
|-------------------|--------------------|------------------------------------|------------|--------------------------|----------------------------|
|                   |                    | Deformacion ( $\mu\epsilon$ )      |            | Deformacion por traccion | Deformacion por compresion |
|                   |                    | Vertical                           | Horizontal |                          |                            |
| 1                 | 0                  | -                                  | 351.70     | -403.00                  | 575.70                     |
| 2                 | 2                  | 204.10                             | -16.11     |                          |                            |
| 3                 | 4                  | 441.80                             | -403.00    |                          |                            |
| 4                 | 7                  | 735.60                             | -376.00    |                          |                            |
| 5                 | 14                 | 636.90                             | -355.90    |                          |                            |
| 6                 | 18                 | 553.40                             | -349.10    |                          |                            |
| 7                 | 60                 | 173.80                             | -92.23     |                          |                            |

| Punto de analisis | Profundidades (in) | Camion 97 T3S3 Tridem Convencional |            |                          |                            |
|-------------------|--------------------|------------------------------------|------------|--------------------------|----------------------------|
|                   |                    | Deformacion ( $\mu\epsilon$ )      |            | Deformacion por traccion | Deformacion por compresion |
|                   |                    | Vertical                           | Horizontal |                          |                            |
| 1                 | 0                  | -                                  | 206.30     | -148.70                  | 519.70                     |
| 2                 | 2                  | 138.50                             | -16.59     |                          |                            |
| 3                 | 4                  | 280.10                             | -268.20    |                          |                            |
| 4                 | 7                  | 509.80                             | -273.60    |                          |                            |
| 5                 | 14                 | 554.70                             | -322.70    |                          |                            |
| 6                 | 18                 | 519.70                             | -336.80    |                          |                            |
| 7                 | 60                 | 187.90                             | -97.16     |                          |                            |

| Punto de analisis | Profundidades (in) | Relacion    |            |                          |                            |
|-------------------|--------------------|-------------|------------|--------------------------|----------------------------|
|                   |                    | Deformacion |            | Deformacion por traccion | Deformacion por compresion |
|                   |                    | Vertical    | Horizontal |                          |                            |
| 1                 | 0                  | 1.474       | 1.705      | 2.71                     | 1.11                       |
| 2                 | 2                  | 1.263       | 0.971      |                          |                            |
| 3                 | 4                  | 1.577       | 1.503      |                          |                            |
| 4                 | 7                  | 1.443       | 1.374      |                          |                            |
| 5                 | 14                 | 1.148       | 1.103      |                          |                            |
| 6                 | 18                 | 1.065       | 1.037      |                          |                            |
| 7                 | 60                 | 0.925       | 0.949      |                          |                            |

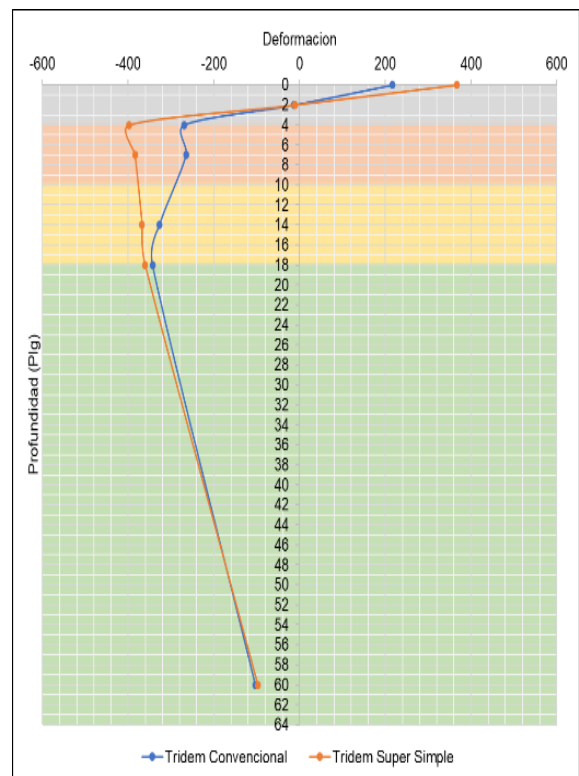


### T3S3 N° 98

| Punto de analisis | Profundidades (in) | Camion 98 T3S3 Tridem Super Simple |            |                          |                            |
|-------------------|--------------------|------------------------------------|------------|--------------------------|----------------------------|
|                   |                    | Deformacion ( $\mu\epsilon$ )      |            | Deformacion por traccion | Deformacion por compresion |
|                   |                    | Vertical                           | Horizontal |                          |                            |
| 1                 | 0                  | -                                  | 366.60     | -397.60                  | 586.10                     |
| 2                 | 2                  | 228.70                             | -11.13     |                          |                            |
| 3                 | 4                  | 441.10                             | -397.60    |                          |                            |
| 4                 | 7                  | 763.60                             | -384.20    |                          |                            |
| 5                 | 14                 | 665.30                             | -367.50    |                          |                            |
| 6                 | 18                 | 575.10                             | -360.50    |                          |                            |
| 7                 | 60                 | 180.30                             | -97.35     |                          |                            |

| Punto de analisis | Profundidades (in) | Camion 98 T3S3 Tridem Convencional |            |                          |                            |
|-------------------|--------------------|------------------------------------|------------|--------------------------|----------------------------|
|                   |                    | Deformacion ( $\mu\epsilon$ )      |            | Deformacion por traccion | Deformacion por compresion |
|                   |                    | Vertical                           | Horizontal |                          |                            |
| 1                 | 0                  | -                                  | 216.60     | -137.80                  | 529.20                     |
| 2                 | 2                  | 150.70                             | -13.53     |                          |                            |
| 3                 | 4                  | 283.70                             | -269.20    |                          |                            |
| 4                 | 7                  | 522.60                             | -276.20    |                          |                            |
| 5                 | 14                 | 565.20                             | -327.10    |                          |                            |
| 6                 | 18                 | 529.20                             | -343.20    |                          |                            |
| 7                 | 60                 | 197.30                             | -103.50    |                          |                            |

| Punto de analisis | Profundidades (in) | Relacion    |            |                          |                            |
|-------------------|--------------------|-------------|------------|--------------------------|----------------------------|
|                   |                    | Deformacion |            | Deformacion por traccion | Deformacion por compresion |
|                   |                    | Vertical    | Horizontal |                          |                            |
| 1                 | 0                  | 1.518       | 1.693      | 2.89                     | 1.11                       |
| 2                 | 2                  | 1.219       | 0.823      |                          |                            |
| 3                 | 4                  | 1.555       | 1.477      |                          |                            |
| 4                 | 7                  | 1.461       | 1.391      |                          |                            |
| 5                 | 14                 | 1.177       | 1.124      |                          |                            |
| 6                 | 18                 | 1.087       | 1.050      |                          |                            |
| 7                 | 60                 | 0.914       | 0.941      |                          |                            |

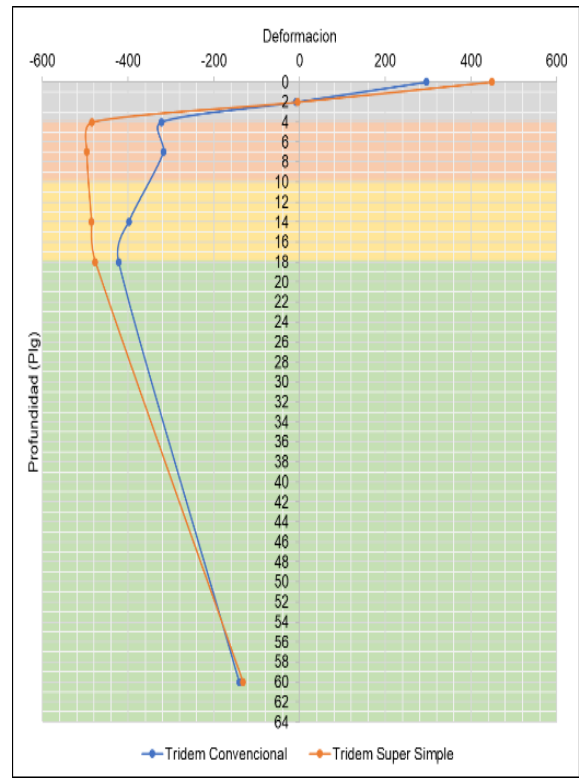


### T3S3 N° 99

| Punto de analisis | Profundidades (in) | Camion 99 T3S3 Tridem Super Simple |            |                          |                            |
|-------------------|--------------------|------------------------------------|------------|--------------------------|----------------------------|
|                   |                    | Deformacion ( $\mu\epsilon$ )      |            | Deformacion por traccion | Deformacion por compresion |
|                   |                    | Vertical                           | Horizontal |                          |                            |
| 1                 | 0                  | -320.10                            | 448.10     | -484.60                  | 774.20                     |
| 2                 | 2                  | 114.50                             | -5.02      |                          |                            |
| 3                 | 4                  | 547.60                             | -484.60    |                          |                            |
| 4                 | 7                  | 1014.00                            | -496.80    |                          |                            |
| 5                 | 14                 | 901.20                             | -486.00    |                          |                            |
| 6                 | 18                 | 774.20                             | -477.00    |                          |                            |
| 7                 | 60                 | 238.90                             | -132.60    |                          |                            |

| Punto de analisis | Profundidades (in) | Camion 99 T3S3 Tridem Convencional |            |                          |                            |
|-------------------|--------------------|------------------------------------|------------|--------------------------|----------------------------|
|                   |                    | Deformacion ( $\mu\epsilon$ )      |            | Deformacion por traccion | Deformacion por compresion |
|                   |                    | Vertical                           | Horizontal |                          |                            |
| 1                 | 0                  | -                                  | 296.40     | -134.20                  | 655.90                     |
| 2                 | 2                  | 89.54                              | -8.70      |                          |                            |
| 3                 | 4                  | 345.80                             | -322.60    |                          |                            |
| 4                 | 7                  | 659.70                             | -336.40    |                          |                            |
| 5                 | 14                 | 703.40                             | -398.50    |                          |                            |
| 6                 | 18                 | 655.90                             | -421.80    |                          |                            |
| 7                 | 60                 | 259.50                             | -140.80    |                          |                            |

| Punto de analisis | Profundidades (in) | Relacion    |            |                          |                            |
|-------------------|--------------------|-------------|------------|--------------------------|----------------------------|
|                   |                    | Deformacion |            | Deformacion por traccion | Deformacion por compresion |
|                   |                    | Vertical    | Horizontal |                          |                            |
| 1                 | 0                  | 1.628       | 1.512      | 3.61                     | 1.18                       |
| 2                 | 2                  | 1.279       | 0.577      |                          |                            |
| 3                 | 4                  | 1.584       | 1.502      |                          |                            |
| 4                 | 7                  | 1.537       | 1.477      |                          |                            |
| 5                 | 14                 | 1.281       | 1.220      |                          |                            |
| 6                 | 18                 | 1.180       | 1.131      |                          |                            |
| 7                 | 60                 | 0.921       | 0.942      |                          |                            |

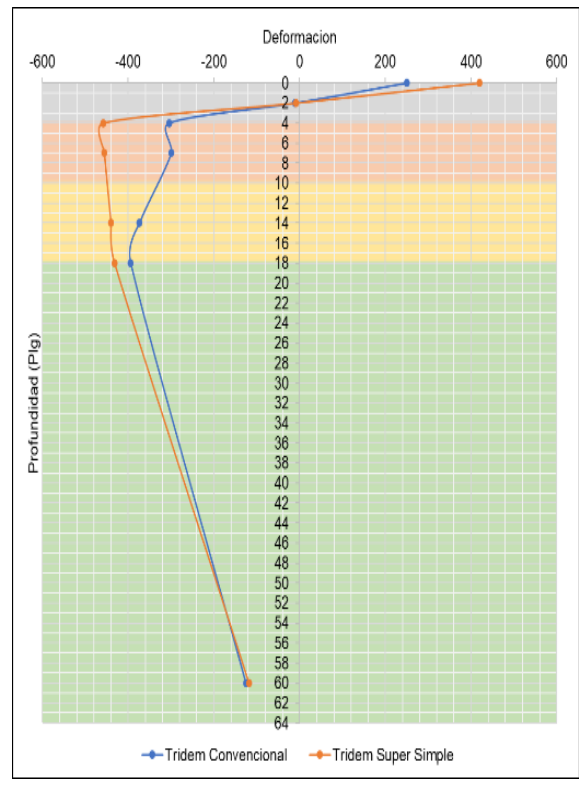


### T3S3 N° 100

| Punto de analisis | Profundidades (in) | Camion 100 T3S3 Tridem Super Simple |            |                          |                            |
|-------------------|--------------------|-------------------------------------|------------|--------------------------|----------------------------|
|                   |                    | Deformacion ( $\mu\epsilon$ )       |            | Deformacion por traccion | Deformacion por compresion |
|                   |                    | Vertical                            | Horizontal |                          |                            |
| 1                 | 0                  | -                                   | 419.40     | -458.40                  | 694.10                     |
| 2                 | 2                  | 117.50                              | -8.86      |                          |                            |
| 3                 | 4                  | 513.10                              | -458.40    |                          |                            |
| 4                 | 7                  | 917.20                              | -455.60    |                          |                            |
| 5                 | 14                 | 805.80                              | -440.20    |                          |                            |
| 6                 | 18                 | 694.10                              | -432.00    |                          |                            |
| 7                 | 60                 | 216.30                              | -118.40    |                          |                            |

| Punto de analisis | Profundidades (in) | Camion 100 T3S3 Tridem Convencional |            |                          |                            |
|-------------------|--------------------|-------------------------------------|------------|--------------------------|----------------------------|
|                   |                    | Deformacion ( $\mu\epsilon$ )       |            | Deformacion por traccion | Deformacion por compresion |
|                   |                    | Vertical                            | Horizontal |                          |                            |
| 1                 | 0                  | -                                   | 250.00     | -140.10                  | 609.60                     |
| 2                 | 2                  | 92.26                               | -11.35     |                          |                            |
| 3                 | 4                  | 324.10                              | -304.60    |                          |                            |
| 4                 | 7                  | 607.70                              | -315.00    |                          |                            |
| 5                 | 14                 | 652.20                              | -373.70    |                          |                            |
| 6                 | 18                 | 609.60                              | -394.20    |                          |                            |
| 7                 | 60                 | 235.10                              | -125.50    |                          |                            |

| Punto de analisis | Profundidades (in) | Relacion    |            |                          |                            |
|-------------------|--------------------|-------------|------------|--------------------------|----------------------------|
|                   |                    | Deformacion |            | Deformacion por traccion | Deformacion por compresion |
|                   |                    | Vertical    | Horizontal |                          |                            |
| 1                 | 0                  | 1.521       | 1.678      | 3.27                     | 1.14                       |
| 2                 | 2                  | 1.274       | 0.781      |                          |                            |
| 3                 | 4                  | 1.583       | 1.505      |                          |                            |
| 4                 | 7                  | 1.509       | 1.446      |                          |                            |
| 5                 | 14                 | 1.236       | 1.178      |                          |                            |
| 6                 | 18                 | 1.139       | 1.096      |                          |                            |
| 7                 | 60                 | 0.920       | 0.943      |                          |                            |

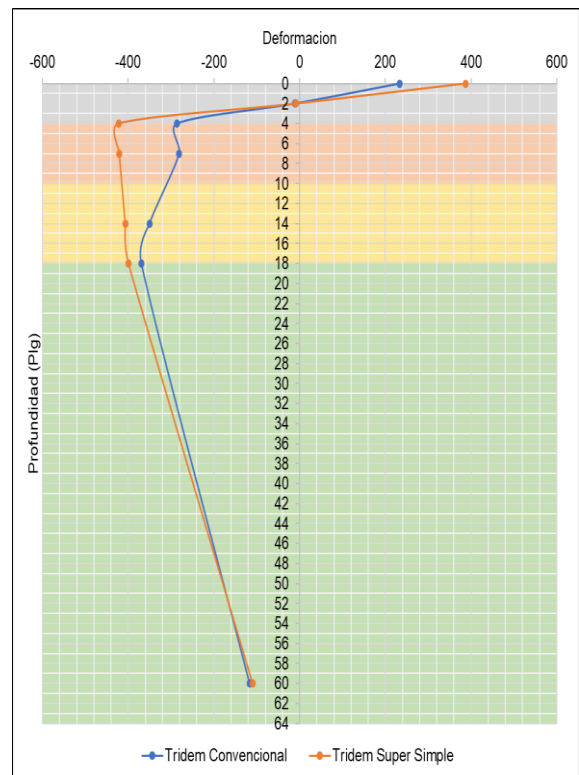


### T3S3 N° 101

| Punto de analisis | Profundidades (in) | Camion 101 T3S3 Tridem Super Simple |            |                          |                            |
|-------------------|--------------------|-------------------------------------|------------|--------------------------|----------------------------|
|                   |                    | Deformacion ( $\mu\epsilon$ )       |            | Deformacion por traccion | Deformacion por compresion |
|                   |                    | Vertical                            | Horizontal |                          |                            |
| 1                 | 0                  | -262.2                              | 387.00     | -422.00                  | 641.60                     |
| 2                 | 2                  | 107.50                              | -7.87      |                          |                            |
| 3                 | 4                  | 472.80                              | -422.00    |                          |                            |
| 4                 | 7                  | 847.40                              | -420.50    |                          |                            |
| 5                 | 14                 | 745.00                              | -406.70    |                          |                            |
| 6                 | 18                 | 641.60                              | -399.00    |                          |                            |
| 7                 | 60                 | 199.80                              | -109.50    |                          |                            |

| Punto de analisis | Profundidades (in) | Camion 101 T3S3 Tridem Convencional |            |                          |                            |
|-------------------|--------------------|-------------------------------------|------------|--------------------------|----------------------------|
|                   |                    | Deformacion ( $\mu\epsilon$ )       |            | Deformacion por traccion | Deformacion por compresion |
|                   |                    | Vertical                            | Horizontal |                          |                            |
| 1                 | 0                  | -172.9                              | 233.70     | -133.40                  | 570.80                     |
| 2                 | 2                  | 87.80                               | -11.13     |                          |                            |
| 3                 | 4                  | 303.80                              | -285.90    |                          |                            |
| 4                 | 7                  | 568.30                              | -295.40    |                          |                            |
| 5                 | 14                 | 610.50                              | -350.40    |                          |                            |
| 6                 | 18                 | 570.80                              | -369.40    |                          |                            |
| 7                 | 60                 | 219.20                              | -116.80    |                          |                            |

| Punto de analisis | Profundidades (in) | Relacion    |            |                          |                            |
|-------------------|--------------------|-------------|------------|--------------------------|----------------------------|
|                   |                    | Deformacion |            | Deformacion por traccion | Deformacion por compresion |
|                   |                    | Vertical    | Horizontal |                          |                            |
| 1                 | 0                  | 1.516       | 1.656      | 3.16                     | 1.12                       |
| 2                 | 2                  | 1.224       | 0.707      |                          |                            |
| 3                 | 4                  | 1.556       | 1.476      |                          |                            |
| 4                 | 7                  | 1.491       | 1.423      |                          |                            |
| 5                 | 14                 | 1.220       | 1.161      |                          |                            |
| 6                 | 18                 | 1.124       | 1.080      |                          |                            |
| 7                 | 60                 | 0.911       | 0.938      |                          |                            |

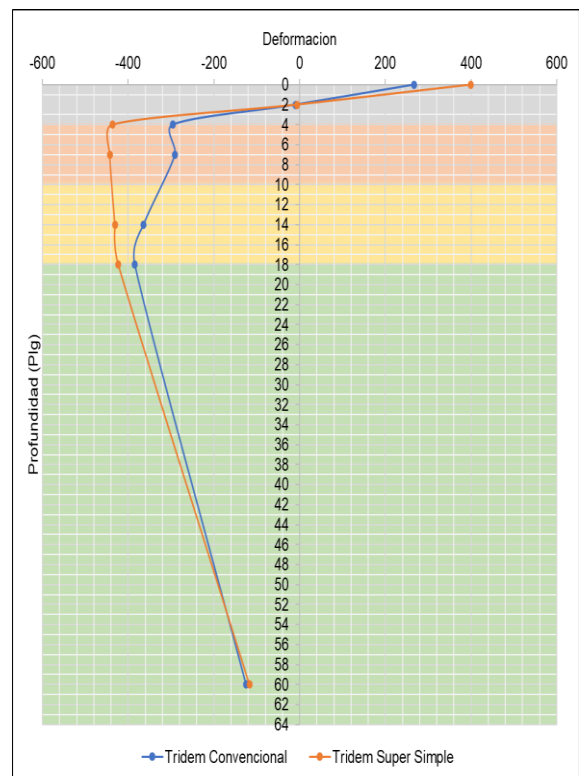


### T3S3 N° 102

| Punto de analisis | Profundidades (in) | Camion 102 T3S3 Tridem Super Simple |            |                          |                            |
|-------------------|--------------------|-------------------------------------|------------|--------------------------|----------------------------|
|                   |                    | Deformacion ( $\mu\epsilon$ )       |            | Deformacion por traccion | Deformacion por compresion |
|                   |                    | Vertical                            | Horizontal |                          |                            |
| 1                 | 0                  | -281.2                              | 399.40     | -436.10                  | 684.10                     |
| 2                 | 2                  | 106.00                              | -5.85      |                          |                            |
| 3                 | 4                  | 491.30                              | -436.10    |                          |                            |
| 4                 | 7                  | 898.80                              | -442.50    |                          |                            |
| 5                 | 14                 | 795.70                              | -431.00    |                          |                            |
| 6                 | 18                 | 684.10                              | -423.00    |                          |                            |
| 7                 | 60                 | 211.80                              | -117.10    |                          |                            |

| Punto de analisis | Profundidades (in) | Camion 102 T3S3 Tridem Convencional |            |                          |                            |
|-------------------|--------------------|-------------------------------------|------------|--------------------------|----------------------------|
|                   |                    | Deformacion ( $\mu\epsilon$ )       |            | Deformacion por traccion | Deformacion por compresion |
|                   |                    | Vertical                            | Horizontal |                          |                            |
| 1                 | 0                  | -172.1                              | 267.40     | -130.40                  | 596.10                     |
| 2                 | 2                  | 86.34                               | -9.70      |                          |                            |
| 3                 | 4                  | 315.80                              | -295.90    |                          |                            |
| 4                 | 7                  | 596.60                              | -307.00    |                          |                            |
| 5                 | 14                 | 638.40                              | -364.10    |                          |                            |
| 6                 | 18                 | 596.10                              | -384.80    |                          |                            |
| 7                 | 60                 | 232.60                              | -125.10    |                          |                            |

| Punto de analisis | Profundidades (in) | Relacion    |            |                          |                            |
|-------------------|--------------------|-------------|------------|--------------------------|----------------------------|
|                   |                    | Deformacion |            | Deformacion por traccion | Deformacion por compresion |
|                   |                    | Vertical    | Horizontal |                          |                            |
| 1                 | 0                  | 1.634       | 1.494      | 3.34                     | 1.15                       |
| 2                 | 2                  | 1.228       | 0.603      |                          |                            |
| 3                 | 4                  | 1.556       | 1.474      |                          |                            |
| 4                 | 7                  | 1.507       | 1.441      |                          |                            |
| 5                 | 14                 | 1.246       | 1.184      |                          |                            |
| 6                 | 18                 | 1.148       | 1.099      |                          |                            |
| 7                 | 60                 | 0.911       | 0.936      |                          |                            |

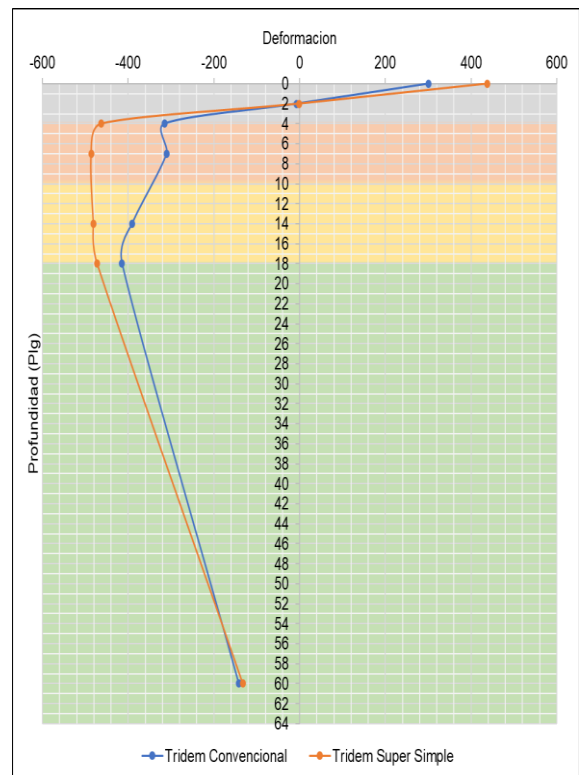


### T3S3 N° 103

| Punto de analisis | Profundidades (in) | Camion 103 T3S3 Tridem Super Simple |            |                          |                            |
|-------------------|--------------------|-------------------------------------|------------|--------------------------|----------------------------|
|                   |                    | Deformacion ( $\mu\epsilon$ )       |            | Deformacion por traccion | Deformacion por compresion |
|                   |                    | Vertical                            | Horizontal |                          |                            |
| 1                 | 0                  | -322.5                              | 438.00     | -462.60                  | 773.70                     |
| 2                 | 2                  | 102.90                              | -1.68      |                          |                            |
| 3                 | 4                  | 526.50                              | -462.60    |                          |                            |
| 4                 | 7                  | 1003.0                              | -486.40    |                          |                            |
| 5                 | 14                 | 902.00                              | -481.10    |                          |                            |
| 6                 | 18                 | 773.70                              | -472.40    |                          |                            |
| 7                 | 60                 | 236.30                              | -132.60    |                          |                            |

| Punto de analisis | Profundidades (in) | Camion 103 T3S3 Tridem Convencional |            |                          |                            |
|-------------------|--------------------|-------------------------------------|------------|--------------------------|----------------------------|
|                   |                    | Deformacion ( $\mu\epsilon$ )       |            | Deformacion por traccion | Deformacion por compresion |
|                   |                    | Vertical                            | Horizontal |                          |                            |
| 1                 | 0                  | -202.6                              | 301.10     | -123.70                  | 647.30                     |
| 2                 | 2                  | 83.45                               | -6.82      |                          |                            |
| 3                 | 4                  | 339.20                              | -315.40    |                          |                            |
| 4                 | 7                  | 654.20                              | -330.60    |                          |                            |
| 5                 | 14                 | 695.40                              | -391.00    |                          |                            |
| 6                 | 18                 | 647.30                              | -414.50    |                          |                            |
| 7                 | 60                 | 259.30                              | -142.00    |                          |                            |

| Punto de analisis | Profundidades (in) | Relacion    |            |                          |                            |
|-------------------|--------------------|-------------|------------|--------------------------|----------------------------|
|                   |                    | Deformacion |            | Deformacion por traccion | Deformacion por compresion |
|                   |                    | Vertical    | Horizontal |                          |                            |
| 1                 | 0                  | 1.592       | 1.455      | 3.74                     | 1.20                       |
| 2                 | 2                  | 1.233       | 0.246      |                          |                            |
| 3                 | 4                  | 1.552       | 1.467      |                          |                            |
| 4                 | 7                  | 1.533       | 1.471      |                          |                            |
| 5                 | 14                 | 1.297       | 1.230      |                          |                            |
| 6                 | 18                 | 1.195       | 1.140      |                          |                            |
| 7                 | 60                 | 0.911       | 0.934      |                          |                            |

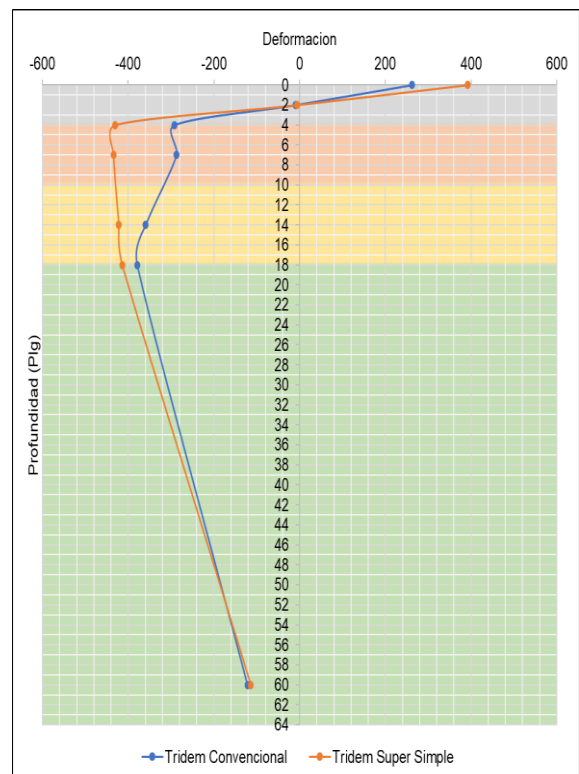


### T3S3 N° 104

| Punto de analisis | Profundidades (in) | Camion 104 T3S3 Tridem Super Simple |            |                          |                            |
|-------------------|--------------------|-------------------------------------|------------|--------------------------|----------------------------|
|                   |                    | Deformacion ( $\mu\epsilon$ )       |            | Deformacion por traccion | Deformacion por compresion |
|                   |                    | Vertical                            | Horizontal |                          |                            |
| 1                 | 0                  | -273.7                              | 392.30     | -431.10                  | 668.50                     |
| 2                 | 2                  | 106.50                              | -6.58      |                          |                            |
| 3                 | 4                  | 484.70                              | -431.10    |                          |                            |
| 4                 | 7                  | 880.10                              | -434.60    |                          |                            |
| 5                 | 14                 | 777.20                              | -422.20    |                          |                            |
| 6                 | 18                 | 668.50                              | -414.30    |                          |                            |
| 7                 | 60                 | 207.50                              | -114.30    |                          |                            |

| Punto de analisis | Profundidades (in) | Camion 104 T3S3 Tridem Convencional |            |                          |                            |
|-------------------|--------------------|-------------------------------------|------------|--------------------------|----------------------------|
|                   |                    | Deformacion ( $\mu\epsilon$ )       |            | Deformacion por traccion | Deformacion por compresion |
|                   |                    | Vertical                            | Horizontal |                          |                            |
| 1                 | 0                  | -167.0                              | 262.60     | -131.50                  | 587.10                     |
| 2                 | 2                  | 86.85                               | -10.21     |                          |                            |
| 3                 | 4                  | 311.60                              | -292.30    |                          |                            |
| 4                 | 7                  | 586.50                              | -302.90    |                          |                            |
| 5                 | 14                 | 628.40                              | -359.30    |                          |                            |
| 6                 | 18                 | 587.10                              | -379.30    |                          |                            |
| 7                 | 60                 | 227.80                              | -122.10    |                          |                            |

| Punto de analisis | Profundidades (in) | Relacion    |            |                          |                            |
|-------------------|--------------------|-------------|------------|--------------------------|----------------------------|
|                   |                    | Deformacion |            | Deformacion por traccion | Deformacion por compresion |
|                   |                    | Vertical    | Horizontal |                          |                            |
| 1                 | 0                  | 1.639       | 1.494      | 3.28                     | 1.14                       |
| 2                 | 2                  | 1.226       | 0.644      |                          |                            |
| 3                 | 4                  | 1.556       | 1.475      |                          |                            |
| 4                 | 7                  | 1.501       | 1.435      |                          |                            |
| 5                 | 14                 | 1.237       | 1.175      |                          |                            |
| 6                 | 18                 | 1.139       | 1.092      |                          |                            |
| 7                 | 60                 | 0.911       | 0.936      |                          |                            |



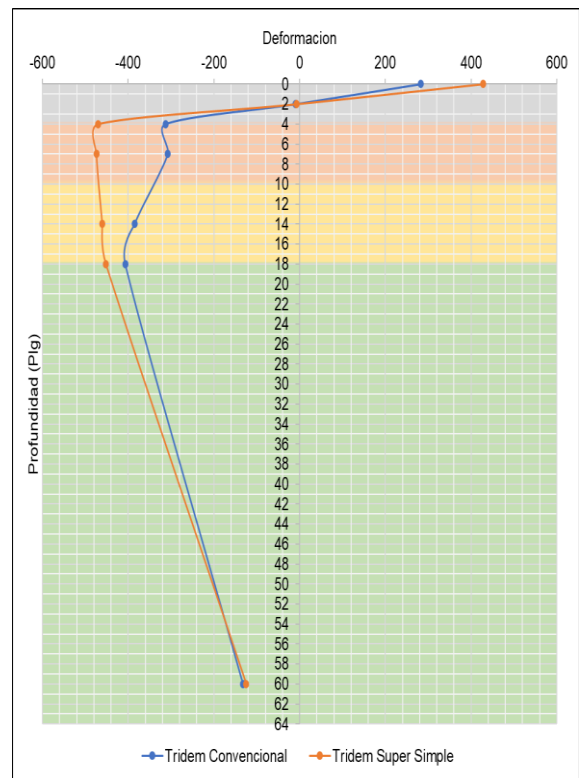


### T3S3 N° 105

| Punto de analisis | Profundidades (in) | Camion 105 T3S3 Tridem Super Simple |            |                          |                            |
|-------------------|--------------------|-------------------------------------|------------|--------------------------|----------------------------|
|                   |                    | Deformacion ( $\mu\epsilon$ )       |            | Deformacion por traccion | Deformacion por compresion |
|                   |                    | Vertical                            | Horizontal |                          |                            |
| 1                 | 0                  | -                                   | 428.40     | -470.60                  | 730.10                     |
| 2                 | 2                  | 116.20                              | -7.14      |                          |                            |
| 3                 | 4                  | 529.10                              | -470.60    |                          |                            |
| 4                 | 7                  | 961.10                              | -474.50    |                          |                            |
| 5                 | 14                 | 848.80                              | -461.00    |                          |                            |
| 6                 | 18                 | 730.10                              | -452.40    |                          |                            |
| 7                 | 60                 | 226.60                              | -124.90    |                          |                            |

| Punto de analisis | Profundidades (in) | Camion 105 T3S3 Tridem Convencional |            |                          |                            |
|-------------------|--------------------|-------------------------------------|------------|--------------------------|----------------------------|
|                   |                    | Deformacion ( $\mu\epsilon$ )       |            | Deformacion por traccion | Deformacion por compresion |
|                   |                    | Vertical                            | Horizontal |                          |                            |
| 1                 | 0                  | -                                   | 283.00     | -137.50                  | 630.60                     |
| 2                 | 2                  | 91.06                               | -10.16     |                          |                            |
| 3                 | 4                  | 334.00                              | -312.80    |                          |                            |
| 4                 | 7                  | 631.20                              | -324.70    |                          |                            |
| 5                 | 14                 | 675.30                              | -385.10    |                          |                            |
| 6                 | 18                 | 630.60                              | -406.90    |                          |                            |
| 7                 | 60                 | 246.20                              | -132.40    |                          |                            |

| Punto de analisis | Profundidades (in) | Relacion    |            |                          |                            |
|-------------------|--------------------|-------------|------------|--------------------------|----------------------------|
|                   |                    | Deformacion |            | Deformacion por traccion | Deformacion por compresion |
|                   |                    | Vertical    | Horizontal |                          |                            |
| 1                 | 0                  | 1.639       | 1.514      | 3.42                     | 1.16                       |
| 2                 | 2                  | 1.276       | 0.703      |                          |                            |
| 3                 | 4                  | 1.584       | 1.504      |                          |                            |
| 4                 | 7                  | 1.523       | 1.461      |                          |                            |
| 5                 | 14                 | 1.257       | 1.197      |                          |                            |
| 6                 | 18                 | 1.158       | 1.112      |                          |                            |
| 7                 | 60                 | 0.920       | 0.943      |                          |                            |

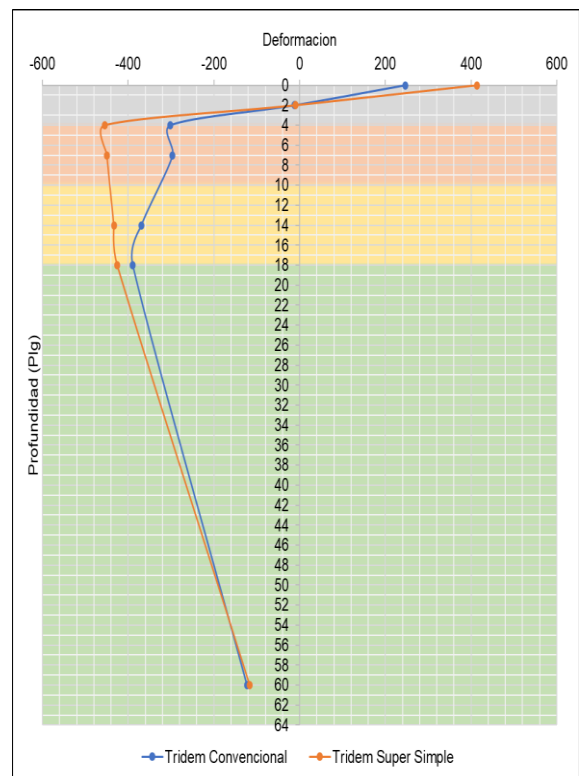


### T3S3 N° 106

| Punto de analisis | Profundidades (in) | Camion 106 T3S3 Tridem Super Simple |            |                          |                            |
|-------------------|--------------------|-------------------------------------|------------|--------------------------|----------------------------|
|                   |                    | Deformacion ( $\mu\epsilon$ )       |            | Deformacion por traccion | Deformacion por compresion |
|                   |                    | Vertical                            | Horizontal |                          |                            |
| 1                 | 0                  | -277.1                              | 413.80     | -454.30                  | 684.50                     |
| 2                 | 2                  | 117.90                              | -9.42      |                          |                            |
| 3                 | 4                  | 507.80                              | -454.30    |                          |                            |
| 4                 | 7                  | 903.00                              | -449.50    |                          |                            |
| 5                 | 14                 | 792.00                              | -433.50    |                          |                            |
| 6                 | 18                 | 682.60                              | -425.40    |                          |                            |
| 7                 | 60                 | 213.00                              | -116.30    |                          |                            |

| Punto de analisis | Profundidades (in) | Camion 106 T3S3 Tridem Convencional |            |                          |                            |
|-------------------|--------------------|-------------------------------------|------------|--------------------------|----------------------------|
|                   |                    | Deformacion ( $\mu\epsilon$ )       |            | Deformacion por traccion | Deformacion por compresion |
|                   |                    | Vertical                            | Horizontal |                          |                            |
| 1                 | 0                  | -182.5                              | 246.60     | -140.80                  | 602.30                     |
| 2                 | 2                  | 92.69                               | -11.76     |                          |                            |
| 3                 | 4                  | 320.70                              | -301.70    |                          |                            |
| 4                 | 7                  | 599.70                              | -311.70    |                          |                            |
| 5                 | 14                 | 644.30                              | -369.80    |                          |                            |
| 6                 | 18                 | 602.30                              | -389.80    |                          |                            |
| 7                 | 60                 | 231.30                              | -123.20    |                          |                            |

| Punto de analisis | Profundidades (in) | Relacion    |            |                          |                            |
|-------------------|--------------------|-------------|------------|--------------------------|----------------------------|
|                   |                    | Deformacion |            | Deformacion por traccion | Deformacion por compresion |
|                   |                    | Vertical    | Horizontal |                          |                            |
| 1                 | 0                  | 1.518       | 1.678      | 3.23                     | 1.14                       |
| 2                 | 2                  | 1.272       | 0.801      |                          |                            |
| 3                 | 4                  | 1.583       | 1.506      |                          |                            |
| 4                 | 7                  | 1.506       | 1.442      |                          |                            |
| 5                 | 14                 | 1.229       | 1.172      |                          |                            |
| 6                 | 18                 | 1.133       | 1.091      |                          |                            |
| 7                 | 60                 | 0.921       | 0.944      |                          |                            |

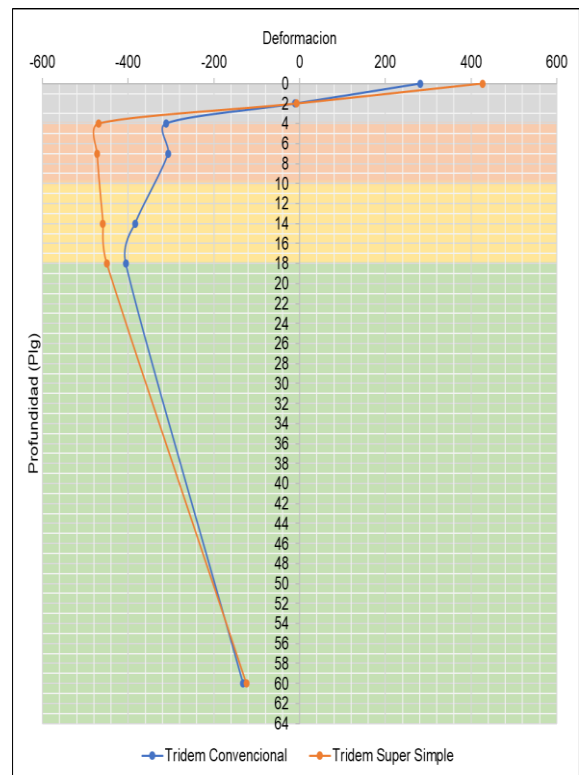


### T3S3 N° 107

| Punto de analisis | Profundidades (in) | Camion 107 T3S3 Tridem Super Simple |            |                          |                            |
|-------------------|--------------------|-------------------------------------|------------|--------------------------|----------------------------|
|                   |                    | Deformacion ( $\mu\epsilon$ )       |            | Deformacion por traccion | Deformacion por compresion |
|                   |                    | Vertical                            | Horizontal |                          |                            |
| 1                 | 0                  | -297.2                              | 426.70     | -469.40                  | 726.60                     |
| 2                 | 2                  | 116.30                              | -7.31      |                          |                            |
| 3                 | 4                  | 527.50                              | -469.40    |                          |                            |
| 4                 | 7                  | 956.80                              | -472.70    |                          |                            |
| 5                 | 14                 | 844.50                              | -459.00    |                          |                            |
| 6                 | 18                 | 726.60                              | -450.40    |                          |                            |
| 7                 | 60                 | 225.60                              | -124.20    |                          |                            |

| Punto de analisis | Profundidades (in) | Camion 107 T3S3 Tridem Convencional |            |                          |                            |
|-------------------|--------------------|-------------------------------------|------------|--------------------------|----------------------------|
|                   |                    | Deformacion ( $\mu\epsilon$ )       |            | Deformacion por traccion | Deformacion por compresion |
|                   |                    | Vertical                            | Horizontal |                          |                            |
| 1                 | 0                  | -181.2                              | 281.90     | -137.70                  | 628.60                     |
| 2                 | 2                  | 91.17                               | -10.28     |                          |                            |
| 3                 | 4                  | 333.10                              | -312.00    |                          |                            |
| 4                 | 7                  | 629.00                              | -323.80    |                          |                            |
| 5                 | 14                 | 673.10                              | -384.00    |                          |                            |
| 6                 | 18                 | 628.60                              | -405.70    |                          |                            |
| 7                 | 60                 | 245.10                              | -131.80    |                          |                            |

| Punto de analisis | Profundidades (in) | Relacion    |            |                          |                            |
|-------------------|--------------------|-------------|------------|--------------------------|----------------------------|
|                   |                    | Deformacion |            | Deformacion por traccion | Deformacion por compresion |
|                   |                    | Vertical    | Horizontal |                          |                            |
| 1                 | 0                  | 1.640       | 1.514      | 3.41                     | 1.16                       |
| 2                 | 2                  | 1.276       | 0.711      |                          |                            |
| 3                 | 4                  | 1.584       | 1.504      |                          |                            |
| 4                 | 7                  | 1.521       | 1.460      |                          |                            |
| 5                 | 14                 | 1.255       | 1.195      |                          |                            |
| 6                 | 18                 | 1.156       | 1.110      |                          |                            |
| 7                 | 60                 | 0.920       | 0.942      |                          |                            |

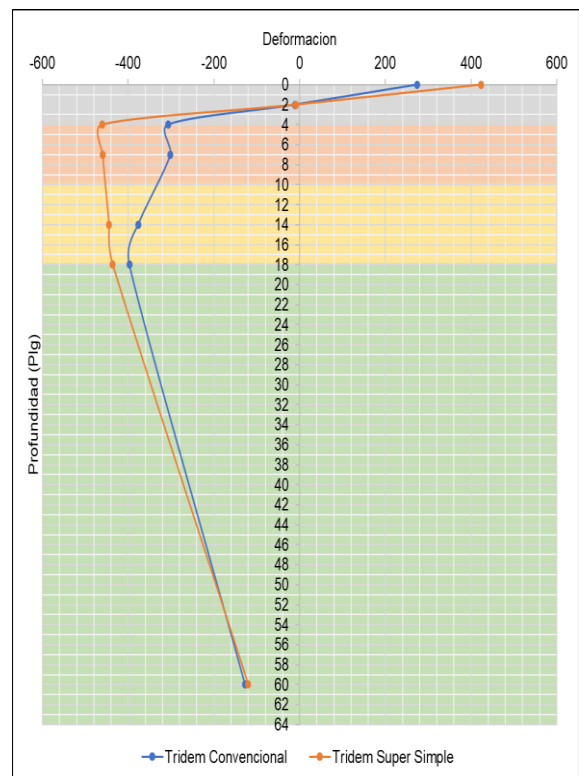


### T3S3 N° 108

| Punto de analisis | Profundidades (in) | Camion 108 T3S3 Tridem Super Simple |            |                          |                            |
|-------------------|--------------------|-------------------------------------|------------|--------------------------|----------------------------|
|                   |                    | Deformacion ( $\mu\epsilon$ )       |            | Deformacion por traccion | Deformacion por compresion |
|                   |                    | Vertical                            | Horizontal |                          |                            |
| 1                 | 0                  | -287.3                              | 423.40     | -461.30                  | 702.50                     |
| 2                 | 2                  | 117.20                              | -8.46      |                          |                            |
| 3                 | 4                  | 516.90                              | -461.30    |                          |                            |
| 4                 | 7                  | 927.50                              | -460.10    |                          |                            |
| 5                 | 14                 | 815.80                              | -445.10    |                          |                            |
| 6                 | 18                 | 702.50                              | -436.70    |                          |                            |
| 7                 | 60                 | 218.70                              | -119.90    |                          |                            |

| Punto de analisis | Profundidades (in) | Camion 108 T3S3 Tridem Convencional |            |                          |                            |
|-------------------|--------------------|-------------------------------------|------------|--------------------------|----------------------------|
|                   |                    | Deformacion ( $\mu\epsilon$ )       |            | Deformacion por traccion | Deformacion por compresion |
|                   |                    | Vertical                            | Horizontal |                          |                            |
| 1                 | 0                  | -173.2                              | 274.30     | -139.50                  | 614.30                     |
| 2                 | 2                  | 91.99                               | -11.08     |                          |                            |
| 3                 | 4                  | 326.30                              | -306.50    |                          |                            |
| 4                 | 7                  | 613.00                              | -317.20    |                          |                            |
| 5                 | 14                 | 657.40                              | -376.30    |                          |                            |
| 6                 | 18                 | 614.30                              | -397.10    |                          |                            |
| 7                 | 60                 | 237.60                              | -127.10    |                          |                            |

| Punto de analisis | Profundidades (in) | Relacion    |            |                          |                            |
|-------------------|--------------------|-------------|------------|--------------------------|----------------------------|
|                   |                    | Deformacion |            | Deformacion por traccion | Deformacion por compresion |
|                   |                    | Vertical    | Horizontal |                          |                            |
| 1                 | 0                  | 1.659       | 1.544      | 3.31                     | 1.14                       |
| 2                 | 2                  | 1.274       | 0.763      |                          |                            |
| 3                 | 4                  | 1.584       | 1.505      |                          |                            |
| 4                 | 7                  | 1.513       | 1.451      |                          |                            |
| 5                 | 14                 | 1.241       | 1.183      |                          |                            |
| 6                 | 18                 | 1.144       | 1.100      |                          |                            |
| 7                 | 60                 | 0.920       | 0.943      |                          |                            |

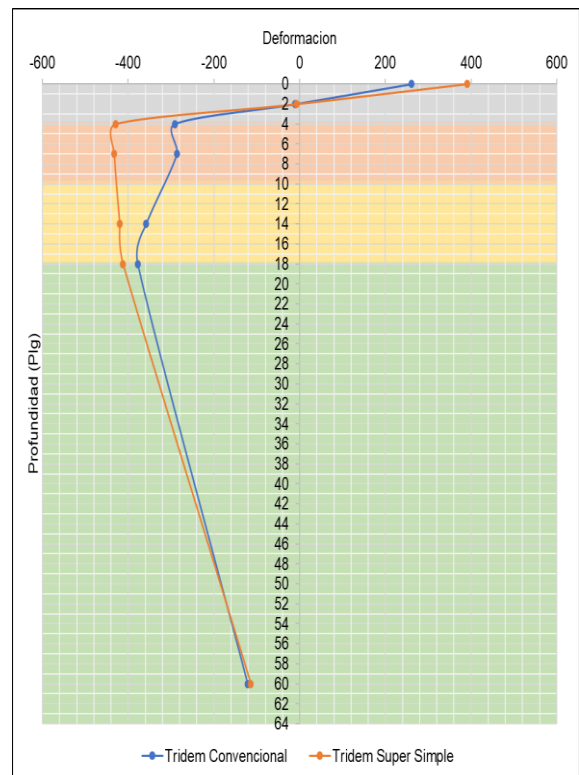


### T3S3 N° 109

| Punto de analisis | Profundidades (in) | Camion 109 T3S3 Tridem Super Simple |            |                          |                            |
|-------------------|--------------------|-------------------------------------|------------|--------------------------|----------------------------|
|                   |                    | Deformacion ( $\mu\epsilon$ )       |            | Deformacion por traccion | Deformacion por compresion |
|                   |                    | Vertical                            | Horizontal |                          |                            |
| 1                 | 0                  | -271.8                              | 390.60     | -429.80                  | 664.70                     |
| 2                 | 2                  | 106.70                              | -6.76      |                          |                            |
| 3                 | 4                  | 483.00                              | -429.80    |                          |                            |
| 4                 | 7                  | 875.60                              | -432.60    |                          |                            |
| 5                 | 14                 | 772.60                              | -420.00    |                          |                            |
| 6                 | 18                 | 664.70                              | -412.10    |                          |                            |
| 7                 | 60                 | 206.40                              | -113.70    |                          |                            |

| Punto de analisis | Profundidades (in) | Camion 109 T3S3 Tridem Convencional |            |                          |                            |
|-------------------|--------------------|-------------------------------------|------------|--------------------------|----------------------------|
|                   |                    | Deformacion ( $\mu\epsilon$ )       |            | Deformacion por traccion | Deformacion por compresion |
|                   |                    | Vertical                            | Horizontal |                          |                            |
| 1                 | 0                  | -165.7                              | 261.40     | -131.80                  | 584.90                     |
| 2                 | 2                  | 86.98                               | -10.33     |                          |                            |
| 3                 | 4                  | 310.50                              | -291.50    |                          |                            |
| 4                 | 7                  | 584.00                              | -301.90    |                          |                            |
| 5                 | 14                 | 626.00                              | -358.10    |                          |                            |
| 6                 | 18                 | 584.90                              | -378.00    |                          |                            |
| 7                 | 60                 | 226.60                              | -121.40    |                          |                            |

| Punto de analisis | Profundidades (in) | Relacion    |            |                          |                            |
|-------------------|--------------------|-------------|------------|--------------------------|----------------------------|
|                   |                    | Deformacion |            | Deformacion por traccion | Deformacion por compresion |
|                   |                    | Vertical    | Horizontal |                          |                            |
| 1                 | 0                  | 1.640       | 1.494      | 3.26                     | 1.14                       |
| 2                 | 2                  | 1.227       | 0.655      |                          |                            |
| 3                 | 4                  | 1.556       | 1.474      |                          |                            |
| 4                 | 7                  | 1.499       | 1.433      |                          |                            |
| 5                 | 14                 | 1.234       | 1.173      |                          |                            |
| 6                 | 18                 | 1.136       | 1.090      |                          |                            |
| 7                 | 60                 | 0.911       | 0.937      |                          |                            |

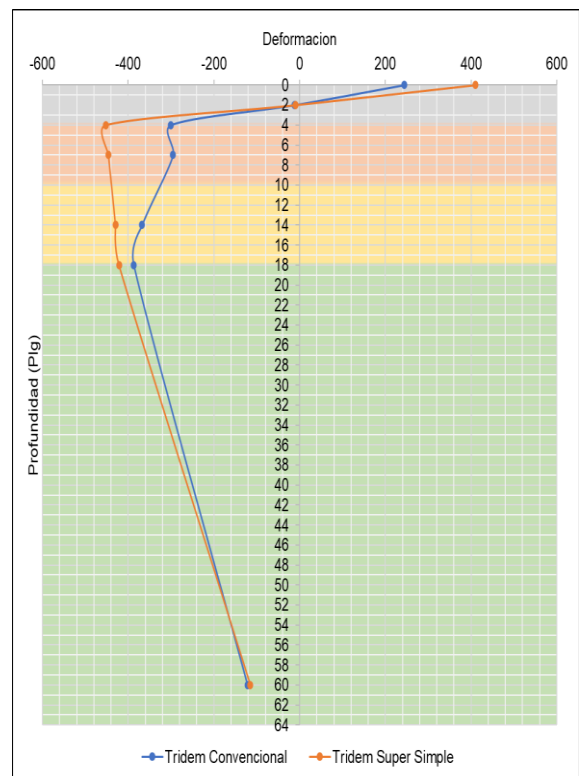


### T3S3 N° 110

| Punto de analisis | Profundidades (in) | Camion 110 T3S3 Tridem Super Simple |            |                          |                            |
|-------------------|--------------------|-------------------------------------|------------|--------------------------|----------------------------|
|                   |                    | Deformacion ( $\mu\epsilon$ )       |            | Deformacion por traccion | Deformacion por compresion |
|                   |                    | Vertical                            | Horizontal |                          |                            |
| 1                 | 0                  | -                                   | 423.60     | -467.10                  | 719.70                     |
| 2                 | 2                  | 116.60                              | -7.64      |                          |                            |
| 3                 | 4                  | 524.50                              | -467.10    |                          |                            |
| 4                 | 7                  | 948.50                              | -469.10    |                          |                            |
| 5                 | 14                 | 836.30                              | -455.00    |                          |                            |
| 6                 | 18                 | 719.70                              | -446.50    |                          |                            |
| 7                 | 60                 | 223.60                              | -123.00    |                          |                            |

| Punto de analisis | Profundidades (in) | Camion 110 T3S3 Tridem Convencional |            |                          |                            |
|-------------------|--------------------|-------------------------------------|------------|--------------------------|----------------------------|
|                   |                    | Deformacion ( $\mu\epsilon$ )       |            | Deformacion por traccion | Deformacion por compresion |
|                   |                    | Vertical                            | Horizontal |                          |                            |
| 1                 | 0                  | -                                   | 279.70     | -138.20                  | 624.50                     |
| 2                 | 2                  | 91.40                               | -10.50     |                          |                            |
| 3                 | 4                  | 331.10                              | -310.50    |                          |                            |
| 4                 | 7                  | 624.40                              | -321.90    |                          |                            |
| 5                 | 14                 | 668.60                              | -381.80    |                          |                            |
| 6                 | 18                 | 624.50                              | -403.30    |                          |                            |
| 7                 | 60                 | 243.00                              | -130.40    |                          |                            |

| Punto de analisis | Profundidades (in) | Relacion    |            |                          |                            |
|-------------------|--------------------|-------------|------------|--------------------------|----------------------------|
|                   |                    | Deformacion |            | Deformacion por traccion | Deformacion por compresion |
|                   |                    | Vertical    | Horizontal |                          |                            |
| 1                 | 0                  | 1.642       | 1.514      | 3.38                     | 1.15                       |
| 2                 | 2                  | 1.276       | 0.727      |                          |                            |
| 3                 | 4                  | 1.584       | 1.504      |                          |                            |
| 4                 | 7                  | 1.519       | 1.457      |                          |                            |
| 5                 | 14                 | 1.251       | 1.192      |                          |                            |
| 6                 | 18                 | 1.152       | 1.107      |                          |                            |
| 7                 | 60                 | 0.920       | 0.943      |                          |                            |

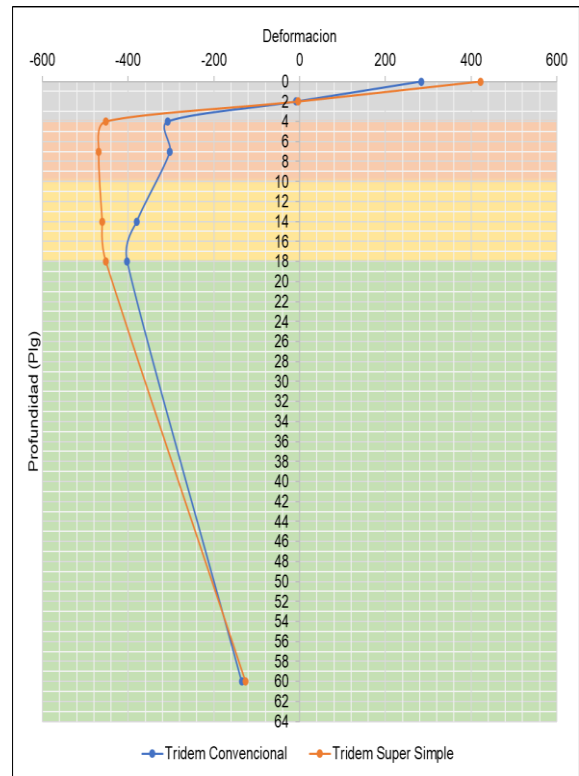


### T3S3 N° 111

| Punto de analisis | Profundidades (in) | Camion 111 T3S3 Tridem Super Simple |            |                          |                            |
|-------------------|--------------------|-------------------------------------|------------|--------------------------|----------------------------|
|                   |                    | Deformacion ( $\mu\epsilon$ )       |            | Deformacion por traccion | Deformacion por compresion |
|                   |                    | Vertical                            | Horizontal |                          |                            |
| 1                 | 0                  | -273.6                              | 410.50     | -451.90                  | 676.00                     |
| 2                 | 2                  | 118.10                              | -9.69      |                          |                            |
| 3                 | 4                  | 504.70                              | -451.90    |                          |                            |
| 4                 | 7                  | 894.60                              | -445.90    |                          |                            |
| 5                 | 14                 | 784.00                              | -429.60    |                          |                            |
| 6                 | 18                 | 676.00                              | -421.50    |                          |                            |
| 7                 | 60                 | 211.00                              | -115.10    |                          |                            |

| Punto de analisis | Profundidades (in) | Camion 111 T3S3 Tridem Convencional |            |                          |                            |
|-------------------|--------------------|-------------------------------------|------------|--------------------------|----------------------------|
|                   |                    | Deformacion ( $\mu\epsilon$ )       |            | Deformacion por traccion | Deformacion por compresion |
|                   |                    | Vertical                            | Horizontal |                          |                            |
| 1                 | 0                  | -180.5                              | 244.70     | -141.30                  | 598.50                     |
| 2                 | 2                  | 92.91                               | -11.98     |                          |                            |
| 3                 | 4                  | 318.80                              | -300.20    |                          |                            |
| 4                 | 7                  | 595.40                              | -309.90    |                          |                            |
| 5                 | 14                 | 640.00                              | -367.60    |                          |                            |
| 6                 | 18                 | 598.50                              | -387.40    |                          |                            |
| 7                 | 60                 | 229.20                              | -121.90    |                          |                            |

| Punto de analisis | Profundidades (in) | Relacion    |            |                          |                            |
|-------------------|--------------------|-------------|------------|--------------------------|----------------------------|
|                   |                    | Deformacion |            | Deformacion por traccion | Deformacion por compresion |
|                   |                    | Vertical    | Horizontal |                          |                            |
| 1                 | 0                  | 1.516       | 1.678      | 3.20                     | 1.13                       |
| 2                 | 2                  | 1.271       | 0.808      |                          |                            |
| 3                 | 4                  | 1.583       | 1.505      |                          |                            |
| 4                 | 7                  | 1.503       | 1.439      |                          |                            |
| 5                 | 14                 | 1.225       | 1.169      |                          |                            |
| 6                 | 18                 | 1.129       | 1.088      |                          |                            |
| 7                 | 60                 | 0.921       | 0.944      |                          |                            |

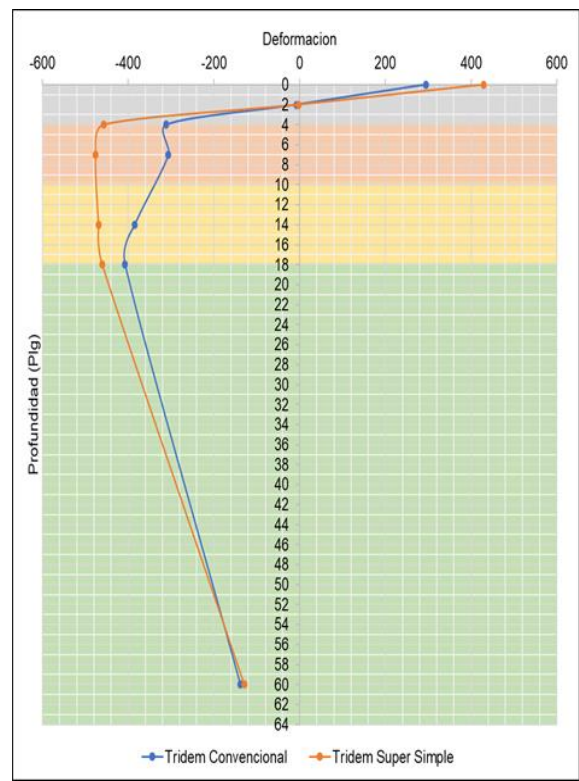


### T3S3 N° 112

| Punto de analisis | Profundidades (in) | Camion 112 T3S3 Tridem Super Simple |            |                          |                            |
|-------------------|--------------------|-------------------------------------|------------|--------------------------|----------------------------|
|                   |                    | Deformacion ( $\mu\epsilon$ )       |            | Deformacion por traccion | Deformacion por compresion |
|                   |                    | Vertical                            | Horizontal |                          |                            |
| 1                 | 0                  | -306.20                             | 422.70     | -452.50                  | 737.20                     |
| 2                 | 2                  | 104.00                              | -3.33      |                          |                            |
| 3                 | 4                  | 512.90                              | -452.50    |                          |                            |
| 4                 | 7                  | 961.10                              | -469.00    |                          |                            |
| 5                 | 14                 | 858.90                              | -461.00    |                          |                            |
| 6                 | 18                 | 737.20                              | -452.50    |                          |                            |
| 7                 | 60                 | 226.50                              | -126.40    |                          |                            |

| Punto de analisis | Profundidades (in) | Camion 112 T3S3 Tridem Convencional |            |                          |                            |
|-------------------|--------------------|-------------------------------------|------------|--------------------------|----------------------------|
|                   |                    | Deformacion ( $\mu\epsilon$ )       |            | Deformacion por traccion | Deformacion por compresion |
|                   |                    | Vertical                            | Horizontal |                          |                            |
| 1                 | 0                  | 189.30                              | 283.70     | -126.50                  | 626.80                     |
| 2                 | 2                  | 84.54                               | -7.94      |                          |                            |
| 3                 | 4                  | 330.00                              | -307.70    |                          |                            |
| 4                 | 7                  | 631.10                              | -321.20    |                          |                            |
| 5                 | 14                 | 672.50                              | -380.40    |                          |                            |
| 6                 | 18                 | 626.80                              | -402.80    |                          |                            |
| 7                 | 60                 | 248.60                              | -135.20    |                          |                            |

| Punto de analisis | Profundidades (in) | Relacion    |            |                          |                            |
|-------------------|--------------------|-------------|------------|--------------------------|----------------------------|
|                   |                    | Deformacion |            | Deformacion por traccion | Deformacion por compresion |
|                   |                    | Vertical    | Horizontal |                          |                            |
| 1                 | 0                  | 1.618       | 1.490      | 3.58                     | 1.18                       |
| 2                 | 2                  | 1.230       | 0.420      |                          |                            |
| 3                 | 4                  | 1.554       | 1.471      |                          |                            |
| 4                 | 7                  | 1.523       | 1.460      |                          |                            |
| 5                 | 14                 | 1.277       | 1.212      |                          |                            |
| 6                 | 18                 | 1.176       | 1.123      |                          |                            |
| 7                 | 60                 | 0.911       | 0.935      |                          |                            |

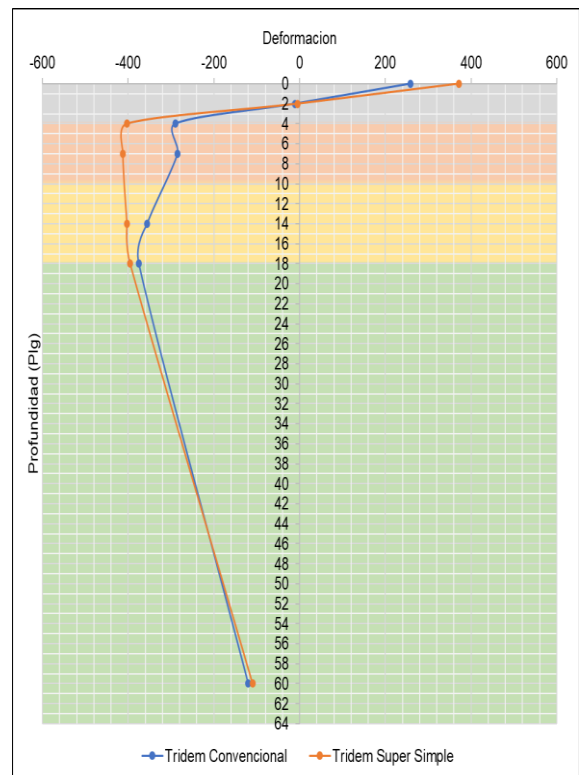


### T3S3 N° 113

| Punto de analisis | Profundidades (in) | Camion 113 T3S3 Tridem Super Simple |            |                          |                            |
|-------------------|--------------------|-------------------------------------|------------|--------------------------|----------------------------|
|                   |                    | Deformacion ( $\mu\epsilon$ )       |            | Deformacion por traccion | Deformacion por compresion |
|                   |                    | Vertical                            | Horizontal |                          |                            |
| 1                 | 0                  | -313.1                              | 429.20     | -456.70                  | 752.60                     |
| 2                 | 2                  | 103.50                              | -2.64      |                          |                            |
| 3                 | 4                  | 518.60                              | -456.70    |                          |                            |
| 4                 | 7                  | 978.60                              | -476.40    |                          |                            |
| 5                 | 14                 | 877.00                              | -469.50    |                          |                            |
| 6                 | 18                 | 752.60                              | -460.90    |                          |                            |
| 7                 | 60                 | 230.60                              | -129.00    |                          |                            |

| Punto de analisis | Profundidades (in) | Camion 113 T3S3 Tridem Convencional |            |                          |                            |
|-------------------|--------------------|-------------------------------------|------------|--------------------------|----------------------------|
|                   |                    | Deformacion ( $\mu\epsilon$ )       |            | Deformacion por traccion | Deformacion por compresion |
|                   |                    | Vertical                            | Horizontal |                          |                            |
| 1                 | 0                  | -195.8                              | 294.60     | -125.30                  | 635.40                     |
| 2                 | 2                  | 84.08                               | -7.47      |                          |                            |
| 3                 | 4                  | 333.90                              | -311.00    |                          |                            |
| 4                 | 7                  | 640.70                              | -325.10    |                          |                            |
| 5                 | 14                 | 682.00                              | -384.80    |                          |                            |
| 6                 | 18                 | 635.40                              | -407.70    |                          |                            |
| 7                 | 60                 | 253.10                              | -138.00    |                          |                            |

| Punto de analisis | T3S3 N°113<br>Profundidades (in) | Relacion    |            |                          |                            |
|-------------------|----------------------------------|-------------|------------|--------------------------|----------------------------|
|                   |                                  | Deformacion |            | Deformacion por traccion | Deformacion por compresion |
|                   |                                  | Vertical    | Horizontal |                          |                            |
| 1                 | 0                                | 1.599       | 1.457      | 3.64                     | 1.18                       |
| 2                 | 2                                | 1.231       | 0.353      |                          |                            |
| 3                 | 4                                | 1.553       | 1.468      |                          |                            |
| 4                 | 7                                | 1.527       | 1.465      |                          |                            |
| 5                 | 14                               | 1.286       | 1.220      |                          |                            |
| 6                 | 18                               | 1.184       | 1.130      |                          |                            |
| 7                 | 60                               | 0.911       | 0.935      |                          |                            |

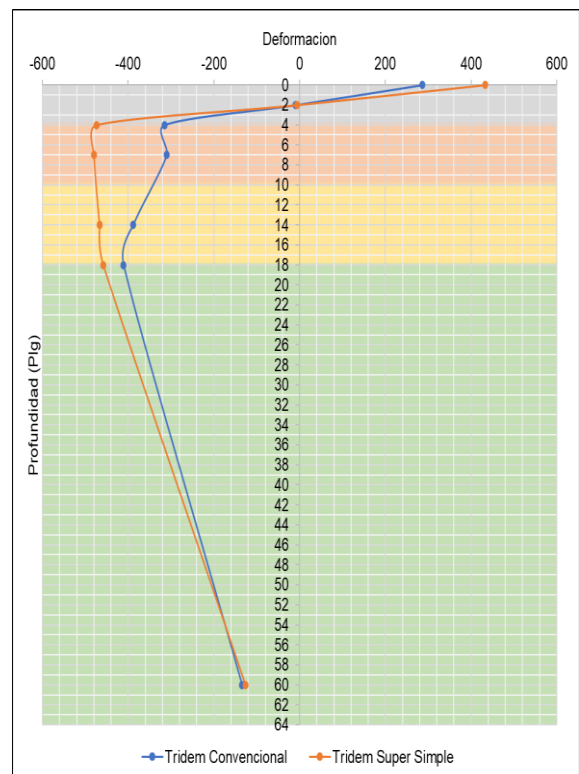


### T3S3 N° 114

| Punto de analisis | Profundidades (in) | Camion 114 T3S3 Tridem Super Simple |            |                          |                            |
|-------------------|--------------------|-------------------------------------|------------|--------------------------|----------------------------|
|                   |                    | Deformacion ( $\mu\epsilon$ )       |            | Deformacion por traccion | Deformacion por compresion |
|                   |                    | Vertical                            | Horizontal |                          |                            |
| 1                 | 0                  | -265.4                              | 372.10     | -402.90                  | 642.30                     |
| 2                 | 2                  | 95.53                               | -4.32      |                          |                            |
| 3                 | 4                  | 455.10                              | -402.90    |                          |                            |
| 4                 | 7                  | 841.20                              | -412.60    |                          |                            |
| 5                 | 14                 | 747.60                              | -403.40    |                          |                            |
| 6                 | 18                 | 642.30                              | -395.90    |                          |                            |
| 7                 | 60                 | 198.30                              | -110.00    |                          |                            |

| Punto de analisis | Profundidades (in) | Camion 114 T3S3 Tridem Convencional |            |                          |                            |
|-------------------|--------------------|-------------------------------------|------------|--------------------------|----------------------------|
|                   |                    | Deformacion ( $\mu\epsilon$ )       |            | Deformacion por traccion | Deformacion por compresion |
|                   |                    | Vertical                            | Horizontal |                          |                            |
| 1                 | 0                  | -163.1                              | 259.00     | -132.40                  | 580.20                     |
| 2                 | 2                  | 87.25                               | -10.60     |                          |                            |
| 3                 | 4                  | 308.30                              | -289.60    |                          |                            |
| 4                 | 7                  | 578.80                              | -299.70    |                          |                            |
| 5                 | 14                 | 620.80                              | -355.50    |                          |                            |
| 6                 | 18                 | 580.20                              | -375.10    |                          |                            |
| 7                 | 60                 | 224.20                              | -119.80    |                          |                            |

| Punto de analisis | T3S3 N°114<br>Profundidades (in) | Relacion    |            |                          |                            |
|-------------------|----------------------------------|-------------|------------|--------------------------|----------------------------|
|                   |                                  | Deformacion |            | Deformacion por traccion | Deformacion por compresion |
|                   |                                  | Vertical    | Horizontal |                          |                            |
| 1                 | 0                                | 1.627       | 1.437      | 3.04                     | 1.11                       |
| 2                 | 2                                | 1.095       | 0.407      |                          |                            |
| 3                 | 4                                | 1.476       | 1.391      |                          |                            |
| 4                 | 7                                | 1.453       | 1.377      |                          |                            |
| 5                 | 14                               | 1.204       | 1.135      |                          |                            |
| 6                 | 18                               | 1.107       | 1.055      |                          |                            |
| 7                 | 60                               | 0.884       | 0.918      |                          |                            |

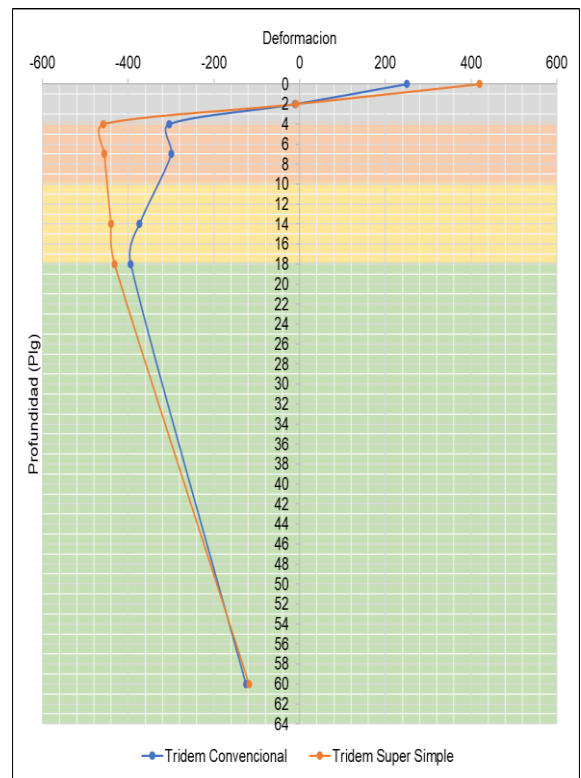


### T3S3 N° 115

| Punto de analisis | Profundidades (in) | Camion 115 T3S3 Tridem Super Simple |            |                          |                            |
|-------------------|--------------------|-------------------------------------|------------|--------------------------|----------------------------|
|                   |                    | Deformacion ( $\mu\epsilon$ )       |            | Deformacion por traccion | Deformacion por compresion |
|                   |                    | Vertical                            | Horizontal |                          |                            |
| 1                 | 0                  | -                                   | 433.30     | -474.10                  | 741.10                     |
| 2                 | 2                  | 115.80                              | -6.63      |                          |                            |
| 3                 | 4                  | 533.80                              | -474.10    |                          |                            |
| 4                 | 7                  | 974.30                              | -480.10    |                          |                            |
| 5                 | 14                 | 861.80                              | -467.30    |                          |                            |
| 6                 | 18                 | 741.10                              | -458.50    |                          |                            |
| 7                 | 60                 | 229.70                              | -126.80    |                          |                            |

| Punto de analisis | Profundidades (in) | Camion 115 T3S3 Tridem Convencional |            |                          |                            |
|-------------------|--------------------|-------------------------------------|------------|--------------------------|----------------------------|
|                   |                    | Deformacion ( $\mu\epsilon$ )       |            | Deformacion por traccion | Deformacion por compresion |
|                   |                    | Vertical                            | Horizontal |                          |                            |
| 1                 | 0                  | -                                   | 286.40     | -136.70                  | 637.00                     |
| 2                 | 2                  | 90.59                               | -9.75      |                          |                            |
| 3                 | 4                  | 337.00                              | -315.30    |                          |                            |
| 4                 | 7                  | 638.40                              | -327.70    |                          |                            |
| 5                 | 14                 | 682.50                              | -388.50    |                          |                            |
| 6                 | 18                 | 637.00                              | -410.80    |                          |                            |
| 7                 | 60                 | 249.60                              | -134.50    |                          |                            |

| Punto de analisis | Profundidades (in) | Relacion    |            |                          |                            |
|-------------------|--------------------|-------------|------------|--------------------------|----------------------------|
|                   |                    | Deformacion |            | Deformacion por traccion | Deformacion por compresion |
|                   |                    | Vertical    | Horizontal |                          |                            |
| 1                 | 0                  | 1.636       | 1.513      | 3.47                     | 1.16                       |
| 2                 | 2                  | 1.278       | 0.679      |                          |                            |
| 3                 | 4                  | 1.584       | 1.504      |                          |                            |
| 4                 | 7                  | 1.526       | 1.465      |                          |                            |
| 5                 | 14                 | 1.263       | 1.203      |                          |                            |
| 6                 | 18                 | 1.163       | 1.116      |                          |                            |
| 7                 | 60                 | 0.920       | 0.943      |                          |                            |

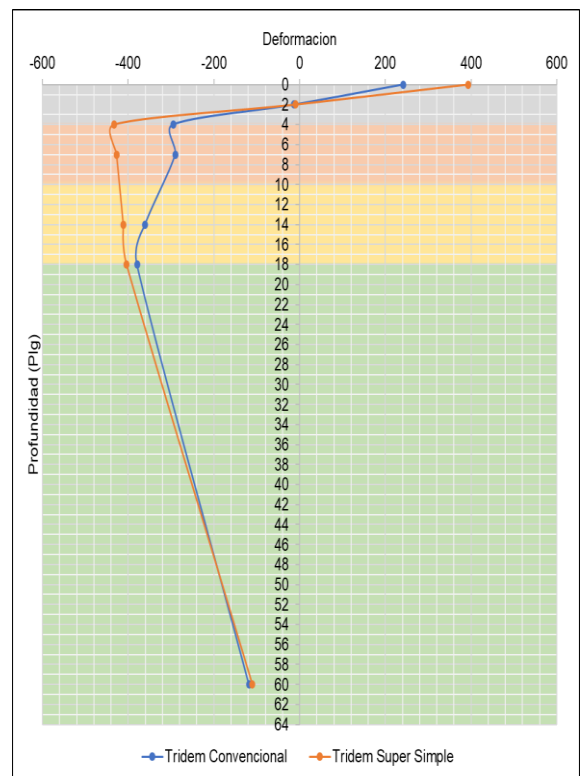


### T3S3 N° 116

| Punto de analisis | Profundidades (in) | Camion 116 T3S3 Tridem Super Simple |            |                          |                            |
|-------------------|--------------------|-------------------------------------|------------|--------------------------|----------------------------|
|                   |                    | Deformacion ( $\mu\epsilon$ )       |            | Deformacion por traccion | Deformacion por compresion |
|                   |                    | Vertical                            | Horizontal |                          |                            |
| 1                 | 0                  | -283.0                              | 419.40     | -458.40                  | 694.20                     |
| 2                 | 2                  | 117.50                              | -8.86      |                          |                            |
| 3                 | 4                  | 513.10                              | -458.40    |                          |                            |
| 4                 | 7                  | 917.20                              | -455.60    |                          |                            |
| 5                 | 14                 | 805.80                              | -440.30    |                          |                            |
| 6                 | 18                 | 694.20                              | -432.00    |                          |                            |
| 7                 | 60                 | 216.30                              | -118.40    |                          |                            |

| Punto de analisis | Profundidades (in) | Camion 116 T3S3 Tridem Convencional |            |                          |                            |
|-------------------|--------------------|-------------------------------------|------------|--------------------------|----------------------------|
|                   |                    | Deformacion ( $\mu\epsilon$ )       |            | Deformacion por traccion | Deformacion por compresion |
|                   |                    | Vertical                            | Horizontal |                          |                            |
| 1                 | 0                  | -186.0                              | 249.90     | -140.10                  | 609.40                     |
| 2                 | 2                  | 92.27                               | -11.36     |                          |                            |
| 3                 | 4                  | 324.00                              | -304.50    |                          |                            |
| 4                 | 7                  | 607.50                              | -314.90    |                          |                            |
| 5                 | 14                 | 652.00                              | -373.60    |                          |                            |
| 6                 | 18                 | 609.40                              | -394.10    |                          |                            |
| 7                 | 60                 | 235.00                              | -125.50    |                          |                            |

| Punto de analisis | Profundidades (in) | Relacion    |            |                          |                            |
|-------------------|--------------------|-------------|------------|--------------------------|----------------------------|
|                   |                    | Deformacion |            | Deformacion por traccion | Deformacion por compresion |
|                   |                    | Vertical    | Horizontal |                          |                            |
| 1                 | 0                  | 1.522       | 1.678      | 3.27                     | 1.14                       |
| 2                 | 2                  | 1.273       | 0.780      |                          |                            |
| 3                 | 4                  | 1.584       | 1.505      |                          |                            |
| 4                 | 7                  | 1.510       | 1.447      |                          |                            |
| 5                 | 14                 | 1.236       | 1.179      |                          |                            |
| 6                 | 18                 | 1.139       | 1.096      |                          |                            |
| 7                 | 60                 | 0.920       | 0.943      |                          |                            |

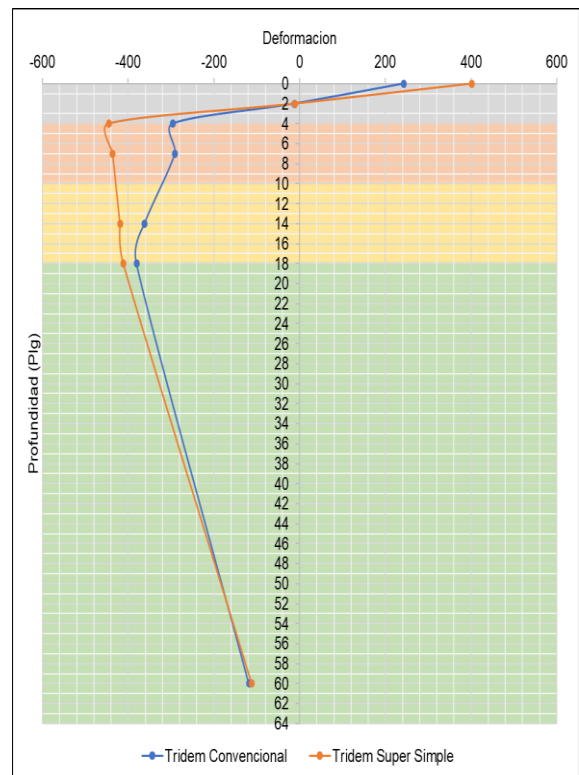


### T3S3 N° 117

| Punto de analisis | Profundidades (in) | Camion 117 T3S3 Tridem Super Simple |            |                          |                            |
|-------------------|--------------------|-------------------------------------|------------|--------------------------|----------------------------|
|                   |                    | Deformacion ( $\mu\epsilon$ )       |            | Deformacion por traccion | Deformacion por compresion |
|                   |                    | Vertical                            | Horizontal |                          |                            |
| 1                 | 0                  | -275.8                              | 412.60     | -453.40                  | 680.10                     |
| 2                 | 2                  | 117.90                              | -9.48      |                          |                            |
| 3                 | 4                  | 506.70                              | -453.40    |                          |                            |
| 4                 | 7                  | 899.90                              | -448.10    |                          |                            |
| 5                 | 14                 | 789.00                              | -432.10    |                          |                            |
| 6                 | 18                 | 680.10                              | -423.90    |                          |                            |
| 7                 | 60                 | 212.30                              | -115.90    |                          |                            |

| Punto de analisis | Profundidades (in) | Camion 117 T3S3 Tridem Convencional |            |                          |                            |
|-------------------|--------------------|-------------------------------------|------------|--------------------------|----------------------------|
|                   |                    | Deformacion ( $\mu\epsilon$ )       |            | Deformacion por traccion | Deformacion por compresion |
|                   |                    | Vertical                            | Horizontal |                          |                            |
| 1                 | 0                  | -181.7                              | 245.90     | -141.00                  | 600.90                     |
| 2                 | 2                  | 92.77                               | -11.84     |                          |                            |
| 3                 | 4                  | 320.00                              | -301.20    |                          |                            |
| 4                 | 7                  | 598.10                              | -311.00    |                          |                            |
| 5                 | 14                 | 642.70                              | -369.00    |                          |                            |
| 6                 | 18                 | 600.90                              | -388.90    |                          |                            |
| 7                 | 60                 | 230.50                              | -122.70    |                          |                            |

| Punto de analisis | Profundidades (in) | Relacion    |            |                          |                            |
|-------------------|--------------------|-------------|------------|--------------------------|----------------------------|
|                   |                    | Deformacion |            | Deformacion por traccion | Deformacion por compresion |
|                   |                    | Vertical    | Horizontal |                          |                            |
| 1                 | 0                  | 1.518       | 1.678      | 3.22                     | 1.13                       |
| 2                 | 2                  | 1.271       | 0.800      |                          |                            |
| 3                 | 4                  | 1.583       | 1.505      |                          |                            |
| 4                 | 7                  | 1.505       | 1.441      |                          |                            |
| 5                 | 14                 | 1.228       | 1.171      |                          |                            |
| 6                 | 18                 | 1.132       | 1.090      |                          |                            |
| 7                 | 60                 | 0.921       | 0.945      |                          |                            |

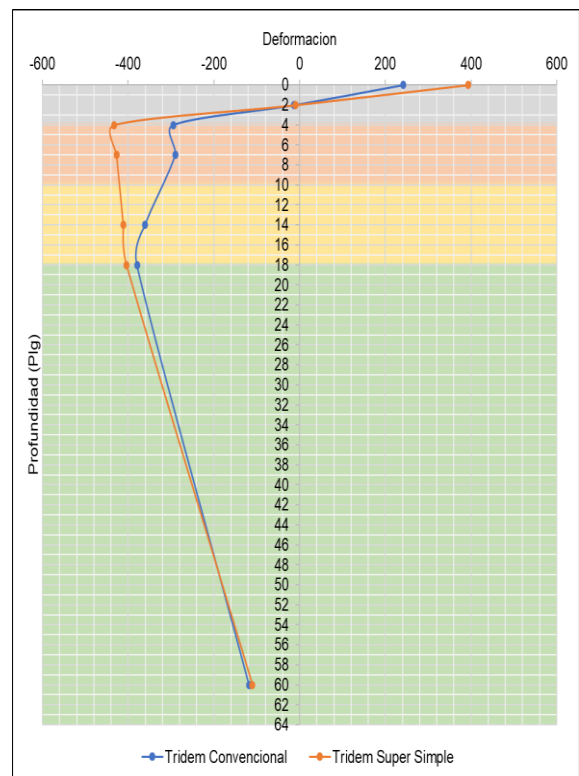


### T3S3 N° 118

| Punto de analisis | Profundidades (in) | Camion 118 T3S3 Tridem Super Simple |            |                          |                            |
|-------------------|--------------------|-------------------------------------|------------|--------------------------|----------------------------|
|                   |                    | Deformacion ( $\mu\epsilon$ )       |            | Deformacion por traccion | Deformacion por compresion |
|                   |                    | Vertical                            | Horizontal |                          |                            |
| 1                 | 0                  | -262.3                              | 393.50     | -433.20                  | 648.00                     |
| 2                 | 2                  | 113.10                              | -9.27      |                          |                            |
| 3                 | 4                  | 483.80                              | -433.20    |                          |                            |
| 4                 | 7                  | 857.60                              | -427.40    |                          |                            |
| 5                 | 14                 | 751.60                              | -411.90    |                          |                            |
| 6                 | 18                 | 648.00                              | -404.10    |                          |                            |
| 7                 | 60                 | 202.30                              | -110.40    |                          |                            |

| Punto de analisis | Profundidades (in) | Camion 118 T3S3 Tridem Convencional |            |                          |                            |
|-------------------|--------------------|-------------------------------------|------------|--------------------------|----------------------------|
|                   |                    | Deformacion ( $\mu\epsilon$ )       |            | Deformacion por traccion | Deformacion por compresion |
|                   |                    | Vertical                            | Horizontal |                          |                            |
| 1                 | 0                  | -172.6                              | 241.50     | -142.70                  | 585.40                     |
| 2                 | 2                  | 93.69                               | -12.72     |                          |                            |
| 3                 | 4                  | 312.50                              | -295.00    |                          |                            |
| 4                 | 7                  | 581.00                              | -303.90    |                          |                            |
| 5                 | 14                 | 625.80                              | -360.40    |                          |                            |
| 6                 | 18                 | 585.40                              | -379.30    |                          |                            |
| 7                 | 60                 | 222.40                              | -117.80    |                          |                            |

| Punto de analisis | Profundidades (in) | Relacion    |            |                          |                            |
|-------------------|--------------------|-------------|------------|--------------------------|----------------------------|
|                   |                    | Deformacion |            | Deformacion por traccion | Deformacion por compresion |
|                   |                    | Vertical    | Horizontal |                          |                            |
| 1                 | 0                  | 1.520       | 1.629      | 3.04                     | 1.11                       |
| 2                 | 2                  | 1.207       | 0.729      |                          |                            |
| 3                 | 4                  | 1.548       | 1.468      |                          |                            |
| 4                 | 7                  | 1.476       | 1.406      |                          |                            |
| 5                 | 14                 | 1.201       | 1.143      |                          |                            |
| 6                 | 18                 | 1.107       | 1.065      |                          |                            |
| 7                 | 60                 | 0.910       | 0.937      |                          |                            |

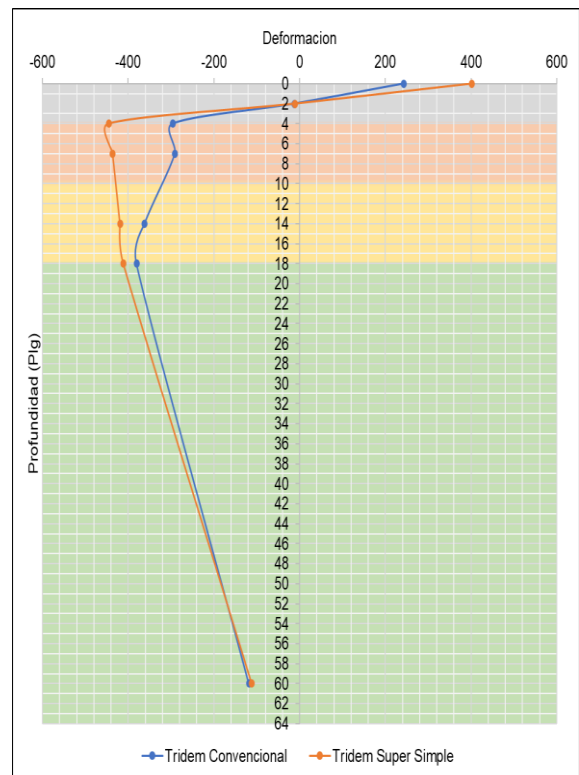


### T3S3 N° 119

| Punto de analisis | Profundidades (in) | Camion 119 T3S3 Tridem Super Simple |            |                          |                            |
|-------------------|--------------------|-------------------------------------|------------|--------------------------|----------------------------|
|                   |                    | Deformacion ( $\mu\epsilon$ )       |            | Deformacion por traccion | Deformacion por compresion |
|                   |                    | Vertical                            | Horizontal |                          |                            |
| 1                 | 0                  | -264.2                              | 401.80     | -445.40                  | 664.70                     |
| 2                 | 2                  | 118.80                              | -10.57     |                          |                            |
| 3                 | 4                  | 496.30                              | -445.40    |                          |                            |
| 4                 | 7                  | 872.30                              | -436.20    |                          |                            |
| 5                 | 14                 | 762.70                              | -419.20    |                          |                            |
| 6                 | 18                 | 658.20                              | -411.20    |                          |                            |
| 7                 | 60                 | 205.80                              | -111.90    |                          |                            |

| Punto de analisis | Profundidades (in) | Camion 119 T3S3 Tridem Convencional |            |                          |                            |
|-------------------|--------------------|-------------------------------------|------------|--------------------------|----------------------------|
|                   |                    | Deformacion ( $\mu\epsilon$ )       |            | Deformacion por traccion | Deformacion por compresion |
|                   |                    | Vertical                            | Horizontal |                          |                            |
| 1                 | 0                  | -173.6                              | 242.50     | -142.50                  | 587.50                     |
| 2                 | 2                  | 93.57                               | -12.61     |                          |                            |
| 3                 | 4                  | 313.50                              | -295.80    |                          |                            |
| 4                 | 7                  | 583.30                              | -304.90    |                          |                            |
| 5                 | 14                 | 628.00                              | -361.50    |                          |                            |
| 6                 | 18                 | 587.50                              | -380.60    |                          |                            |
| 7                 | 60                 | 223.50                              | -118.40    |                          |                            |

| Punto de analisis | Profundidades (in) | Relacion    |            |                          |                            |
|-------------------|--------------------|-------------|------------|--------------------------|----------------------------|
|                   |                    | Deformacion |            | Deformacion por traccion | Deformacion por compresion |
|                   |                    | Vertical    | Horizontal |                          |                            |
| 1                 | 0                  | 1.522       | 1.657      | 3.13                     | 1.13                       |
| 2                 | 2                  | 1.270       | 0.838      |                          |                            |
| 3                 | 4                  | 1.583       | 1.506      |                          |                            |
| 4                 | 7                  | 1.495       | 1.431      |                          |                            |
| 5                 | 14                 | 1.214       | 1.160      |                          |                            |
| 6                 | 18                 | 1.120       | 1.080      |                          |                            |
| 7                 | 60                 | 0.921       | 0.945      |                          |                            |

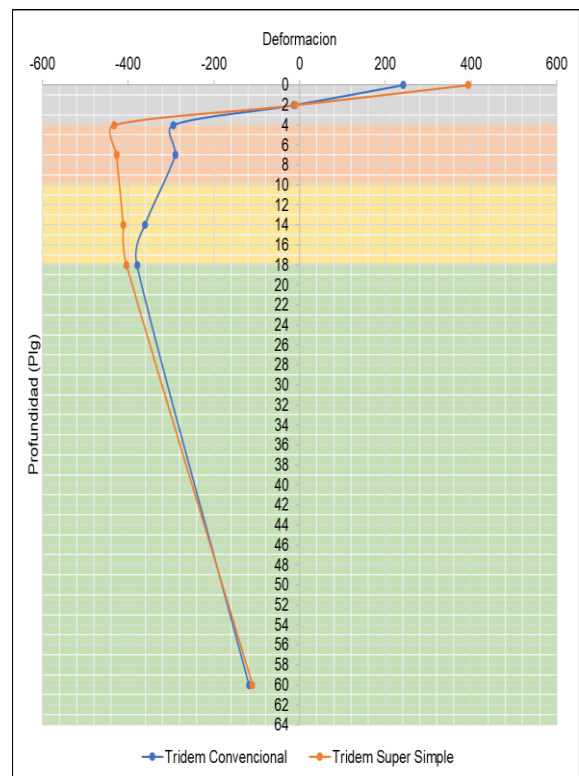


### T3S3 N° 121

| Punto de analisis | Profundidades (in) | Camion 121 T3S3 Tridem Super Simple |            |                          |                            |
|-------------------|--------------------|-------------------------------------|------------|--------------------------|----------------------------|
|                   |                    | Deformacion ( $\mu\epsilon$ )       |            | Deformacion por traccion | Deformacion por compresion |
|                   |                    | Vertical                            | Horizontal |                          |                            |
| 1                 | 0                  | -261.8                              | 399.50     | -443.70                  | 660.80                     |
| 2                 | 2                  | 119.00                              | -10.80     |                          |                            |
| 3                 | 4                  | 494.10                              | -443.70    |                          |                            |
| 4                 | 7                  | 866.60                              | -433.60    |                          |                            |
| 5                 | 14                 | 757.20                              | -416.40    |                          |                            |
| 6                 | 18                 | 653.50                              | -408.50    |                          |                            |
| 7                 | 60                 | 204.40                              | -111.00    |                          |                            |

| Punto de analisis | Profundidades (in) | Camion 121 T3S3 Tridem Convencional |            |                          |                            |
|-------------------|--------------------|-------------------------------------|------------|--------------------------|----------------------------|
|                   |                    | Deformacion ( $\mu\epsilon$ )       |            | Deformacion por traccion | Deformacion por compresion |
|                   |                    | Vertical                            | Horizontal |                          |                            |
| 1                 | 0                  | -172.4                              | 241.30     | -142.80                  | 585.00                     |
| 2                 | 2                  | 93.72                               | -12.75     |                          |                            |
| 3                 | 4                  | 312.30                              | -294.80    |                          |                            |
| 4                 | 7                  | 580.50                              | -303.70    |                          |                            |
| 5                 | 14                 | 625.30                              | -360.20    |                          |                            |
| 6                 | 18                 | 585.00                              | -379.00    |                          |                            |
| 7                 | 60                 | 222.20                              | -117.60    |                          |                            |

| Punto de analisis | Profundidades (in) | Relacion    |            |                          |                            |
|-------------------|--------------------|-------------|------------|--------------------------|----------------------------|
|                   |                    | Deformacion |            | Deformacion por traccion | Deformacion por compresion |
|                   |                    | Vertical    | Horizontal |                          |                            |
| 1                 | 0                  | 1.519       | 1.656      | 3.11                     | 1.13                       |
| 2                 | 2                  | 1.270       | 0.847      |                          |                            |
| 3                 | 4                  | 1.582       | 1.505      |                          |                            |
| 4                 | 7                  | 1.493       | 1.428      |                          |                            |
| 5                 | 14                 | 1.211       | 1.156      |                          |                            |
| 6                 | 18                 | 1.117       | 1.078      |                          |                            |
| 7                 | 60                 | 0.920       | 0.944      |                          |                            |



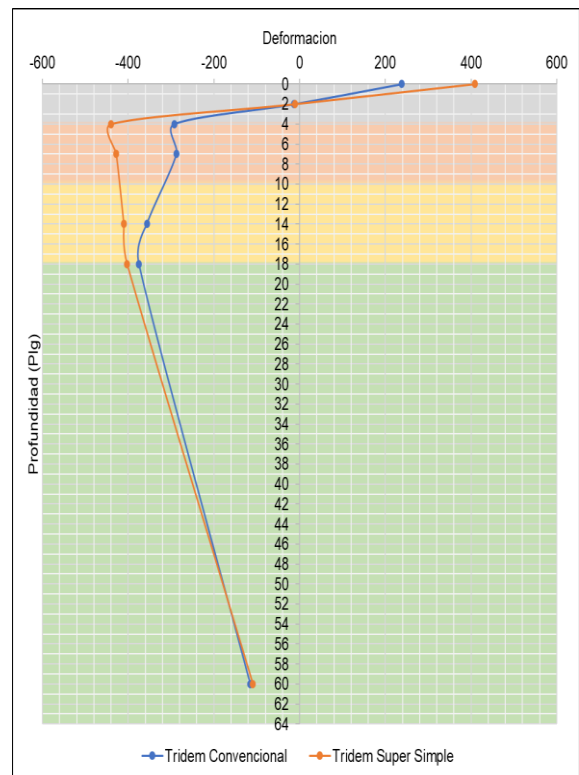


### T3S3 N° 122

| Punto de analisis | Profundidades (in) | Camion 122 T3S3 Tridem Super Simple |            |                          |                            |
|-------------------|--------------------|-------------------------------------|------------|--------------------------|----------------------------|
|                   |                    | Deformacion ( $\mu\epsilon$ )       |            | Deformacion por traccion | Deformacion por compresion |
|                   |                    | Vertical                            | Horizontal |                          |                            |
| 1                 | 0                  | -258.5                              | 408.60     | -440.00                  | 652.80                     |
| 2                 | 2                  | 119.40                              | -11.31     |                          |                            |
| 3                 | 4                  | 489.20                              | -440.00    |                          |                            |
| 4                 | 7                  | 853.80                              | -428.10    |                          |                            |
| 5                 | 14                 | 745.20                              | -410.60    |                          |                            |
| 6                 | 18                 | 643.60                              | -402.80    |                          |                            |
| 7                 | 60                 | 201.50                              | -109.20    |                          |                            |

| Punto de analisis | Profundidades (in) | Camion 122 T3S3 Tridem Convencional |            |                          |                            |
|-------------------|--------------------|-------------------------------------|------------|--------------------------|----------------------------|
|                   |                    | Deformacion ( $\mu\epsilon$ )       |            | Deformacion por traccion | Deformacion por compresion |
|                   |                    | Vertical                            | Horizontal |                          |                            |
| 1                 | 0                  | -169.1                              | 238.20     | -143.50                  | 578.40                     |
| 2                 | 2                  | 94.11                               | -13.13     |                          |                            |
| 3                 | 4                  | 309.10                              | -292.20    |                          |                            |
| 4                 | 7                  | 573.30                              | -300.70    |                          |                            |
| 5                 | 14                 | 618.10                              | -356.50    |                          |                            |
| 6                 | 18                 | 578.40                              | -374.90    |                          |                            |
| 7                 | 60                 | 218.70                              | -115.50    |                          |                            |

| Punto de analisis | T3S3 N° 122 | Profundidades (in) | Relacion    |            |                          |                            |
|-------------------|-------------|--------------------|-------------|------------|--------------------------|----------------------------|
|                   |             |                    | Deformacion |            | Deformacion por traccion | Deformacion por compresion |
|                   |             |                    | Vertical    | Horizontal |                          |                            |
| 1                 | 0           | 1.529              | 1.715       | 3.07       | 1.13                     |                            |
| 2                 | 2           | 1.269              | 0.861       |            |                          |                            |
| 3                 | 4           | 1.583              | 1.506       |            |                          |                            |
| 4                 | 7           | 1.489              | 1.424       |            |                          |                            |
| 5                 | 14          | 1.206              | 1.152       |            |                          |                            |
| 6                 | 18          | 1.113              | 1.074       |            |                          |                            |
| 7                 | 60          | 0.921              | 0.945       |            |                          |                            |

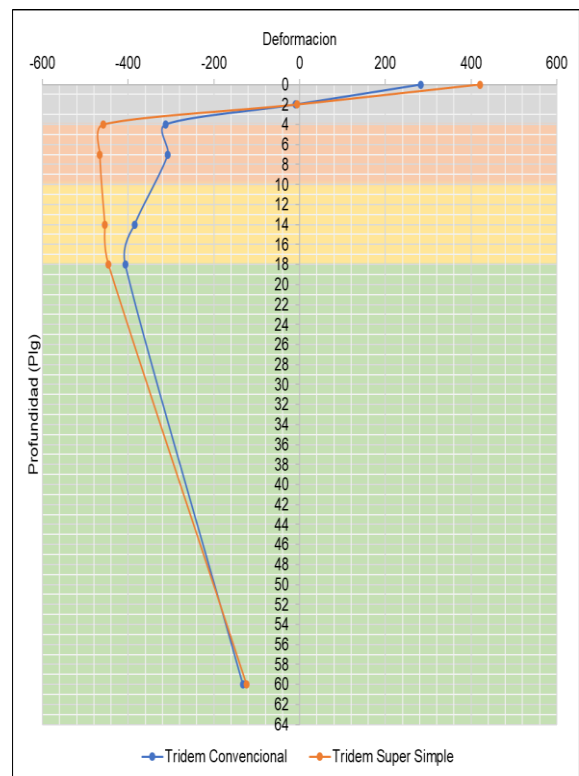


### T3S3 N° 123

| Punto de analisis | Profundidades (in) | Camion 123 T3S3 Tridem Super Simple |            |                          |                            |
|-------------------|--------------------|-------------------------------------|------------|--------------------------|----------------------------|
|                   |                    | Deformacion ( $\mu\epsilon$ )       |            | Deformacion por traccion | Deformacion por compresion |
|                   |                    | Vertical                            | Horizontal |                          |                            |
| 1                 | 0                  | -297.4                              | 420.70     | -458.20                  | 722.30                     |
| 2                 | 2                  | 110.60                              | -5.79      |                          |                            |
| 3                 | 4                  | 516.70                              | -458.20    |                          |                            |
| 4                 | 7                  | 948.20                              | -466.20    |                          |                            |
| 5                 | 14                 | 840.30                              | -454.70    |                          |                            |
| 6                 | 18                 | 722.30                              | -446.20    |                          |                            |
| 7                 | 60                 | 223.50                              | -123.70    |                          |                            |

| Punto de analisis | Profundidades (in) | Camion 123 T3S3 Tridem Convencional |            |                          |                            |
|-------------------|--------------------|-------------------------------------|------------|--------------------------|----------------------------|
|                   |                    | Deformacion ( $\mu\epsilon$ )       |            | Deformacion por traccion | Deformacion por compresion |
|                   |                    | Vertical                            | Horizontal |                          |                            |
| 1                 | 0                  | -182.3                              | 282.90     | 722.30                   | 630.50                     |
| 2                 | 2                  | 91.07                               | -10.17     |                          |                            |
| 3                 | 4                  | 333.90                              | -312.80    |                          |                            |
| 4                 | 7                  | 631.10                              | -324.70    |                          |                            |
| 5                 | 14                 | 675.20                              | -385.00    |                          |                            |
| 6                 | 18                 | 630.50                              | -406.90    |                          |                            |
| 7                 | 60                 | 246.10                              | -132.40    |                          |                            |

| Punto de analisis | T3S3 N°123 | Profundidades (in) | Relacion    |            |                          |                            |
|-------------------|------------|--------------------|-------------|------------|--------------------------|----------------------------|
|                   |            |                    | Deformacion |            | Deformacion por traccion | Deformacion por compresion |
|                   |            |                    | Vertical    | Horizontal |                          |                            |
| 1                 | 0          | 1.631              | 1.487       | -0.63      | 1.15                     |                            |
| 2                 | 2          | 1.214              | 0.569       |            |                          |                            |
| 3                 | 4          | 1.547              | 1.465       |            |                          |                            |
| 4                 | 7          | 1.502              | 1.436       |            |                          |                            |
| 5                 | 14         | 1.245              | 1.181       |            |                          |                            |
| 6                 | 18         | 1.146              | 1.097       |            |                          |                            |
| 7                 | 60         | 0.908              | 0.934       |            |                          |                            |

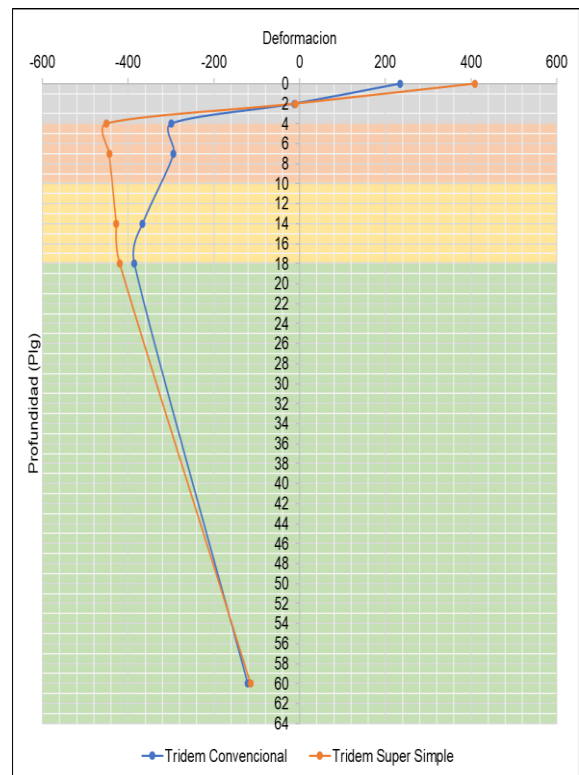


### T3S3 N° 124

| Punto de analisis | Profundidades (in) | Camion 124 T3S3 Tridem Super Simple |            |                          |                            |
|-------------------|--------------------|-------------------------------------|------------|--------------------------|----------------------------|
|                   |                    | Deformacion ( $\mu\epsilon$ )       |            | Deformacion por traccion | Deformacion por compresion |
|                   |                    | Vertical                            | Horizontal |                          |                            |
| 1                 | 0                  | -272.1                              | 409.10     | -450.90                  | 673.10                     |
| 2                 | 2                  | 118.20                              | -9.83      |                          |                            |
| 3                 | 4                  | 503.40                              | -450.90    |                          |                            |
| 4                 | 7                  | 891.10                              | -444.30    |                          |                            |
| 5                 | 14                 | 780.60                              | -428.00    |                          |                            |
| 6                 | 18                 | 673.10                              | -419.90    |                          |                            |
| 7                 | 60                 | 210.20                              | -114.60    |                          |                            |

| Punto de analisis | Profundidades (in) | Camion 124 T3S3 Tridem Convencional |            |                          |                            |
|-------------------|--------------------|-------------------------------------|------------|--------------------------|----------------------------|
|                   |                    | Deformacion ( $\mu\epsilon$ )       |            | Deformacion por traccion | Deformacion por compresion |
|                   |                    | Vertical                            | Horizontal |                          |                            |
| 1                 | 0                  | -177.1                              | 234.70     | -141.50                  | 596.70                     |
| 2                 | 2                  | 93.02                               | -12.08     |                          |                            |
| 3                 | 4                  | 317.90                              | -299.50    |                          |                            |
| 4                 | 7                  | 593.40                              | -309.10    |                          |                            |
| 5                 | 14                 | 638.10                              | -366.70    |                          |                            |
| 6                 | 18                 | 596.70                              | -386.30    |                          |                            |
| 7                 | 60                 | 228.30                              | -121.40    |                          |                            |

| Punto de analisis | Profundidades (in) | Relacion    |            |                          |                            |
|-------------------|--------------------|-------------|------------|--------------------------|----------------------------|
|                   |                    | Deformacion |            | Deformacion por traccion | Deformacion por compresion |
|                   |                    | Vertical    | Horizontal |                          |                            |
| 1                 | 0                  | 1.536       | 1.743      | 3.19                     | 1.13                       |
| 2                 | 2                  | 1.271       | 0.813      |                          |                            |
| 3                 | 4                  | 1.584       | 1.506      |                          |                            |
| 4                 | 7                  | 1.502       | 1.437      |                          |                            |
| 5                 | 14                 | 1.223       | 1.167      |                          |                            |
| 6                 | 18                 | 1.128       | 1.087      |                          |                            |
| 7                 | 60                 | 0.921       | 0.944      |                          |                            |

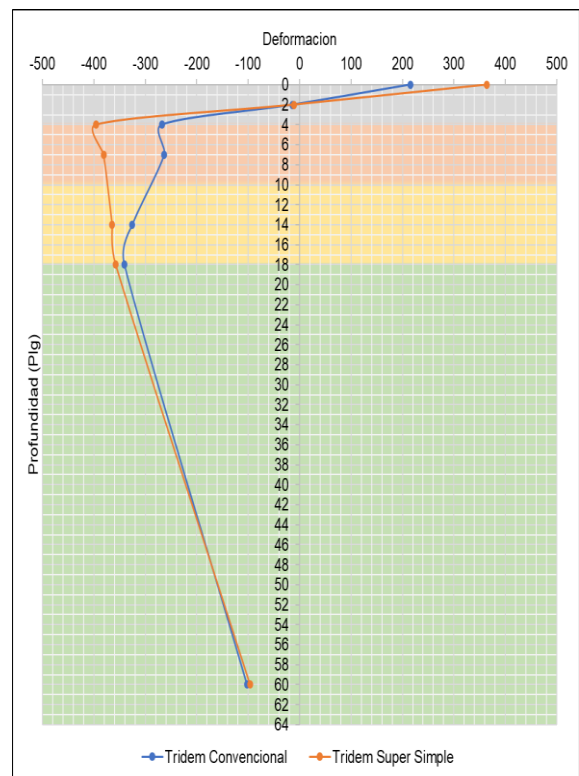


### T3S3 N° 125

| Punto de analisis | Profundidades (in) | Camion 125 T3S3 Tridem Super Simple |            |                          |                            |
|-------------------|--------------------|-------------------------------------|------------|--------------------------|----------------------------|
|                   |                    | Deformacion ( $\mu\epsilon$ )       |            | Deformacion por traccion | Deformacion por compresion |
|                   |                    | Vertical                            | Horizontal |                          |                            |
| 1                 | 0                  | -225.8                              | 363.90     | -395.60                  | 581.80                     |
| 2                 | 2                  | 110.30                              | -11.40     |                          |                            |
| 3                 | 4                  | 438.50                              | -395.60    |                          |                            |
| 4                 | 7                  | 757.20                              | -381.30    |                          |                            |
| 5                 | 14                 | 659.30                              | -364.50    |                          |                            |
| 6                 | 18                 | 570.10                              | -357.60    |                          |                            |
| 7                 | 60                 | 178.70                              | -96.41     |                          |                            |

| Punto de analisis | Profundidades (in) | Camion 125 T3S3 Tridem Convencional |            |                          |                            |
|-------------------|--------------------|-------------------------------------|------------|--------------------------|----------------------------|
|                   |                    | Deformacion ( $\mu\epsilon$ )       |            | Deformacion por traccion | Deformacion por compresion |
|                   |                    | Vertical                            | Horizontal |                          |                            |
| 1                 | 0                  | -149.1                              | 215.00     | -138.10                  | 526.00                     |
| 2                 | 2                  | 90.50                               | -13.72     |                          |                            |
| 3                 | 4                  | 282.00                              | -267.90    |                          |                            |
| 4                 | 7                  | 519.10                              | -274.70    |                          |                            |
| 5                 | 14                 | 561.70                              | -325.30    |                          |                            |
| 6                 | 18                 | 526.00                              | -341.10    |                          |                            |
| 7                 | 60                 | 195.60                              | -102.50    |                          |                            |

| Punto de analisis | Profundidades (in) | Relacion    |            |                          |                            |
|-------------------|--------------------|-------------|------------|--------------------------|----------------------------|
|                   |                    | Deformacion |            | Deformacion por traccion | Deformacion por compresion |
|                   |                    | Vertical    | Horizontal |                          |                            |
| 1                 | 0                  | 1.514       | 1.693      | 2.86                     | 1.11                       |
| 2                 | 2                  | 1.219       | 0.831      |                          |                            |
| 3                 | 4                  | 1.555       | 1.477      |                          |                            |
| 4                 | 7                  | 1.459       | 1.388      |                          |                            |
| 5                 | 14                 | 1.174       | 1.121      |                          |                            |
| 6                 | 18                 | 1.084       | 1.048      |                          |                            |
| 7                 | 60                 | 0.914       | 0.941      |                          |                            |

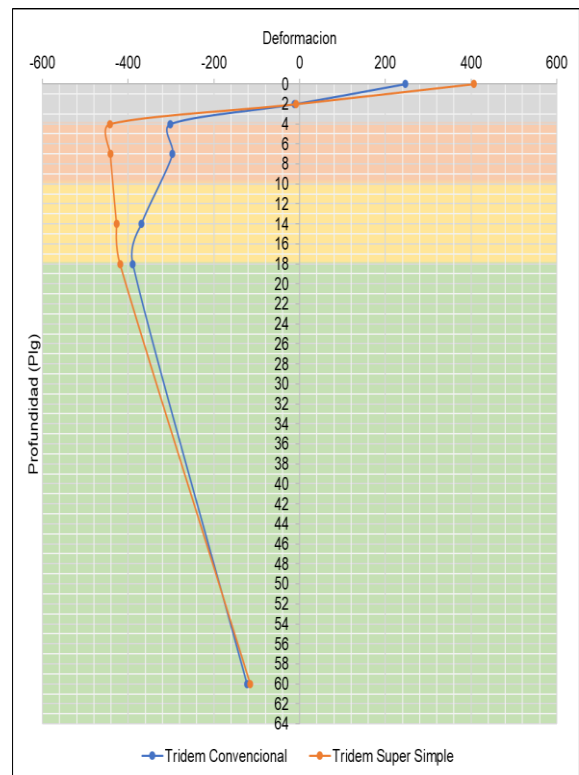


### T3S3 N° 126

| Punto de analisis | Profundidades (in) | Camion 126 T3S3 Tridem Super Simple |            |                          |                            |
|-------------------|--------------------|-------------------------------------|------------|--------------------------|----------------------------|
|                   |                    | Deformacion ( $\mu\epsilon$ )       |            | Deformacion por traccion | Deformacion por compresion |
|                   |                    | Vertical                            | Horizontal |                          |                            |
| 1                 | 0                  | -275.6                              | 406.10     | -442.20                  | 673.70                     |
| 2                 | 2                  | 112.30                              | -8.08      |                          |                            |
| 3                 | 4                  | 495.60                              | -442.20    |                          |                            |
| 4                 | 7                  | 889.50                              | -441.20    |                          |                            |
| 5                 | 14                 | 782.40                              | -426.90    |                          |                            |
| 6                 | 18                 | 673.70                              | -418.80    |                          |                            |
| 7                 | 60                 | 209.80                              | -115.00    |                          |                            |

| Punto de analisis | Profundidades (in) | Camion 126 T3S3 Tridem Convencional |            |                          |                            |
|-------------------|--------------------|-------------------------------------|------------|--------------------------|----------------------------|
|                   |                    | Deformacion ( $\mu\epsilon$ )       |            | Deformacion por traccion | Deformacion por compresion |
|                   |                    | Vertical                            | Horizontal |                          |                            |
| 1                 | 0                  | -182.0                              | 246.20     | -141.00                  | 601.50                     |
| 2                 | 2                  | 92.73                               | -11.80     |                          |                            |
| 3                 | 4                  | 320.20                              | -301.40    |                          |                            |
| 4                 | 7                  | 598.80                              | -311.30    |                          |                            |
| 5                 | 14                 | 643.40                              | -369.30    |                          |                            |
| 6                 | 18                 | 601.50                              | -389.30    |                          |                            |
| 7                 | 60                 | 230.90                              | -122.90    |                          |                            |

| Punto de analisis | Profundidades (in) | Relacion    |            |                          |                            |
|-------------------|--------------------|-------------|------------|--------------------------|----------------------------|
|                   |                    | Deformacion |            | Deformacion por traccion | Deformacion por compresion |
|                   |                    | Vertical    | Horizontal |                          |                            |
| 1                 | 0                  | 1.514       | 1.649      | 3.14                     | 1.12                       |
| 2                 | 2                  | 1.211       | 0.685      |                          |                            |
| 3                 | 4                  | 1.548       | 1.467      |                          |                            |
| 4                 | 7                  | 1.485       | 1.417      |                          |                            |
| 5                 | 14                 | 1.216       | 1.156      |                          |                            |
| 6                 | 18                 | 1.120       | 1.076      |                          |                            |
| 7                 | 60                 | 0.909       | 0.936      |                          |                            |

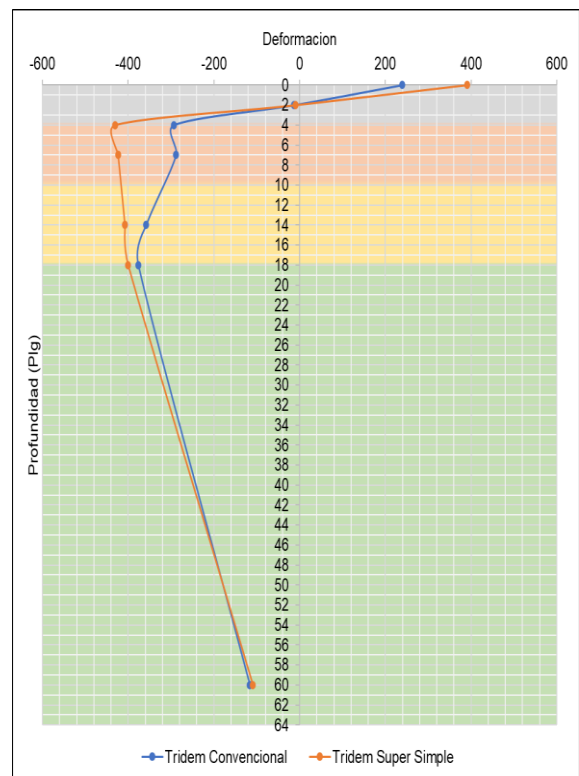


### T3S3 N° 127

| Punto de analisis | Profundidades (in) | Camion 127 T3S3 Tridem Super Simple |            |                          |                            |
|-------------------|--------------------|-------------------------------------|------------|--------------------------|----------------------------|
|                   |                    | Deformacion ( $\mu\epsilon$ )       |            | Deformacion por traccion | Deformacion por compresion |
|                   |                    | Vertical                            | Horizontal |                          |                            |
| 1                 | 0                  | -258.8                              | 390.30     | -430.80                  | 645.70                     |
| 2                 | 2                  | 113.40                              | -9.60      |                          |                            |
| 3                 | 4                  | 480.70                              | -430.80    |                          |                            |
| 4                 | 7                  | 849.40                              | -423.80    |                          |                            |
| 5                 | 14                 | 743.70                              | -408.00    |                          |                            |
| 6                 | 18                 | 641.40                              | -400.30    |                          |                            |
| 7                 | 60                 | 200.40                              | -109.20    |                          |                            |

| Punto de analisis | Profundidades (in) | Camion 127 T3S3 Tridem Convencional |            |                          |                            |
|-------------------|--------------------|-------------------------------------|------------|--------------------------|----------------------------|
|                   |                    | Deformacion ( $\mu\epsilon$ )       |            | Deformacion por traccion | Deformacion por compresion |
|                   |                    | Vertical                            | Horizontal |                          |                            |
| 1                 | 0                  | -170.6                              | 239.60     | -143.20                  | 581.60                     |
| 2                 | 2                  | 93.92                               | -12.95     |                          |                            |
| 3                 | 4                  | 310.60                              | -293.40    |                          |                            |
| 4                 | 7                  | 576.70                              | -302.10    |                          |                            |
| 5                 | 14                 | 621.60                              | -358.30    |                          |                            |
| 6                 | 18                 | 581.60                              | -376.90    |                          |                            |
| 7                 | 60                 | 220.30                              | -116.50    |                          |                            |

| Punto de analisis | Profundidades (in) | Relacion    |            |                          |                            |
|-------------------|--------------------|-------------|------------|--------------------------|----------------------------|
|                   |                    | Deformacion |            | Deformacion por traccion | Deformacion por compresion |
|                   |                    | Vertical    | Horizontal |                          |                            |
| 1                 | 0                  | 1.517       | 1.629      | 3.01                     | 1.11                       |
| 2                 | 2                  | 1.207       | 0.741      |                          |                            |
| 3                 | 4                  | 1.548       | 1.468      |                          |                            |
| 4                 | 7                  | 1.473       | 1.403      |                          |                            |
| 5                 | 14                 | 1.196       | 1.139      |                          |                            |
| 6                 | 18                 | 1.103       | 1.062      |                          |                            |
| 7                 | 60                 | 0.910       | 0.937      |                          |                            |

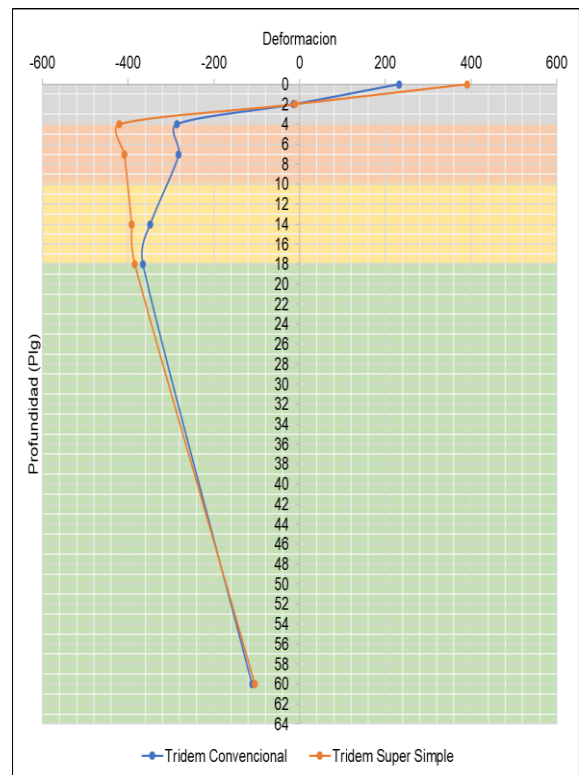


### T3S3 N° 128

| Punto de analisis | Profundidades (in) | Camion 128 T3S3 Tridem Super Simple |            |                          |                            |
|-------------------|--------------------|-------------------------------------|------------|--------------------------|----------------------------|
|                   |                    | Deformacion ( $\mu\epsilon$ )       |            | Deformacion por traccion | Deformacion por compresion |
|                   |                    | Vertical                            | Horizontal |                          |                            |
| 1                 | 0                  | -246.8                              | 390.80     | -421.00                  | 624.20                     |
| 2                 | 2                  | 114.50                              | -10.92     |                          |                            |
| 3                 | 4                  | 468.10                              | -421.00    |                          |                            |
| 4                 | 7                  | 816.20                              | -409.40    |                          |                            |
| 5                 | 14                 | 712.30                              | -392.50    |                          |                            |
| 6                 | 18                 | 615.20                              | -385.10    |                          |                            |
| 7                 | 60                 | 192.60                              | -104.30    |                          |                            |

| Punto de analisis | Profundidades (in) | Camion 128 T3S3 Tridem Convencional |            |                          |                            |
|-------------------|--------------------|-------------------------------------|------------|--------------------------|----------------------------|
|                   |                    | Deformacion ( $\mu\epsilon$ )       |            | Deformacion por traccion | Deformacion por compresion |
|                   |                    | Vertical                            | Horizontal |                          |                            |
| 1                 | 0                  | -162.2                              | 231.60     | -144.80                  | 564.80                     |
| 2                 | 2                  | 94.94                               | -13.92     |                          |                            |
| 3                 | 4                  | 302.50                              | -286.70    |                          |                            |
| 4                 | 7                  | 558.40                              | -294.40    |                          |                            |
| 5                 | 14                 | 603.40                              | -348.80    |                          |                            |
| 6                 | 18                 | 564.80                              | -366.20    |                          |                            |
| 7                 | 60                 | 211.50                              | -111.20    |                          |                            |

| Punto de analisis | Profundidades (in) | Relacion    |            |                          |                            |
|-------------------|--------------------|-------------|------------|--------------------------|----------------------------|
|                   |                    | Deformacion |            | Deformacion por traccion | Deformacion por compresion |
|                   |                    | Vertical    | Horizontal |                          |                            |
| 1                 | 0                  | 1.522       | 1.687      | 2.91                     | 1.11                       |
| 2                 | 2                  | 1.206       | 0.784      |                          |                            |
| 3                 | 4                  | 1.547       | 1.468      |                          |                            |
| 4                 | 7                  | 1.462       | 1.391      |                          |                            |
| 5                 | 14                 | 1.180       | 1.125      |                          |                            |
| 6                 | 18                 | 1.089       | 1.052      |                          |                            |
| 7                 | 60                 | 0.911       | 0.938      |                          |                            |

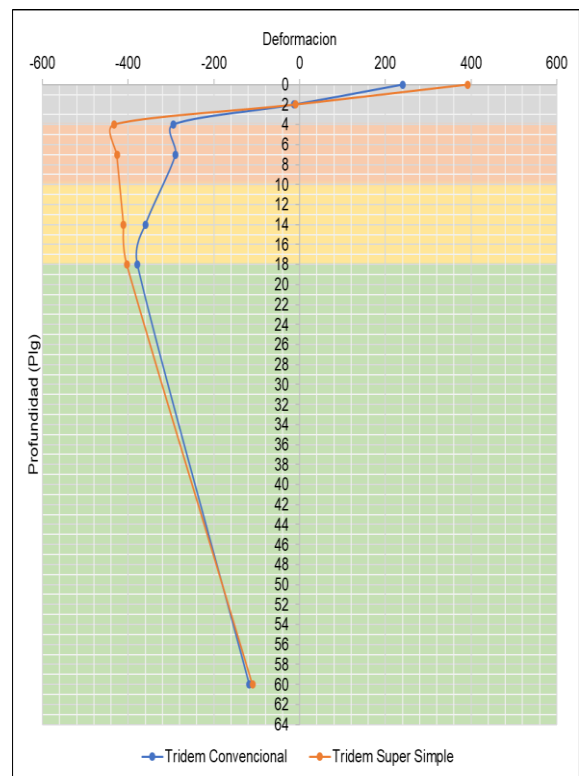


### T3S3 N° 129

| Punto de analisis | Profundidades (in) | Camion 129 T3S3 Tridem Super Simple |            |                          |                            |
|-------------------|--------------------|-------------------------------------|------------|--------------------------|----------------------------|
|                   |                    | Deformacion ( $\mu\epsilon$ )       |            | Deformacion por traccion | Deformacion por compresion |
|                   |                    | Vertical                            | Horizontal |                          |                            |
| 1                 | 0                  | -261.3                              | 392.60     | -432.50                  | 646.20                     |
| 2                 | 2                  | 113.20                              | -9.36      |                          |                            |
| 3                 | 4                  | 482.90                              | -432.50    |                          |                            |
| 4                 | 7                  | 855.30                              | -426.40    |                          |                            |
| 5                 | 14                 | 749.40                              | -410.80    |                          |                            |
| 6                 | 18                 | 646.20                              | -403.00    |                          |                            |
| 7                 | 60                 | 201.80                              | -110.00    |                          |                            |

| Punto de analisis | Profundidades (in) | Camion 129 T3S3 Tridem Convencional |            |                          |                            |
|-------------------|--------------------|-------------------------------------|------------|--------------------------|----------------------------|
|                   |                    | Deformacion ( $\mu\epsilon$ )       |            | Deformacion por traccion | Deformacion por compresion |
|                   |                    | Vertical                            | Horizontal |                          |                            |
| 1                 | 0                  | -172.1                              | 241.00     | -142.90                  | 584.50                     |
| 2                 | 2                  | 93.75                               | -12.78     |                          |                            |
| 3                 | 4                  | 312.00                              | -294.60    |                          |                            |
| 4                 | 7                  | 579.90                              | -303.50    |                          |                            |
| 5                 | 14                 | 624.70                              | -359.90    |                          |                            |
| 6                 | 18                 | 584.50                              | -378.70    |                          |                            |
| 7                 | 60                 | 221.90                              | -117.40    |                          |                            |

| Punto de analisis | Profundidades (in) | Relacion    |            |                          |                            |
|-------------------|--------------------|-------------|------------|--------------------------|----------------------------|
|                   |                    | Deformacion |            | Deformacion por traccion | Deformacion por compresion |
|                   |                    | Vertical    | Horizontal |                          |                            |
| 1                 | 0                  | 1.518       | 1.629      | 3.03                     | 1.11                       |
| 2                 | 2                  | 1.207       | 0.733      |                          |                            |
| 3                 | 4                  | 1.548       | 1.468      |                          |                            |
| 4                 | 7                  | 1.475       | 1.405      |                          |                            |
| 5                 | 14                 | 1.200       | 1.141      |                          |                            |
| 6                 | 18                 | 1.106       | 1.064      |                          |                            |
| 7                 | 60                 | 0.909       | 0.937      |                          |                            |

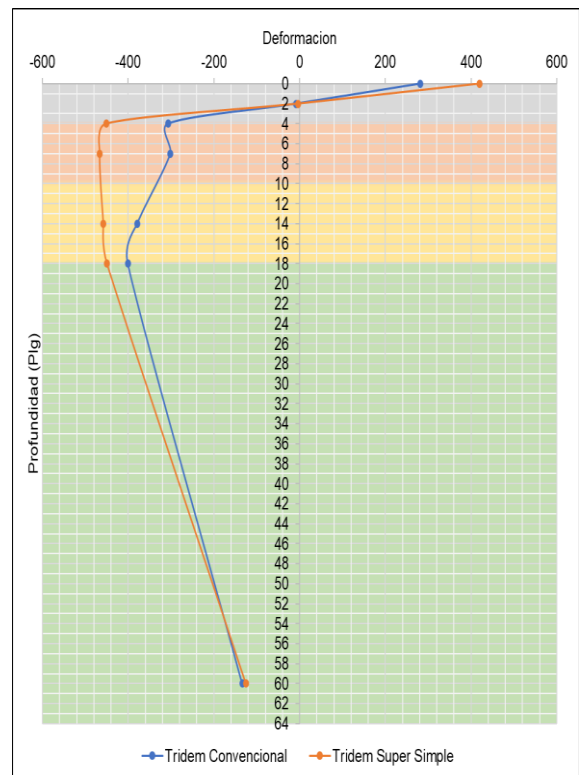


### T3S3 N° 130

| Punto de analisis | Profundidades (in) | Camion 130 T3S3 Tridem Super Simple |            |                          |                            |
|-------------------|--------------------|-------------------------------------|------------|--------------------------|----------------------------|
|                   |                    | Deformacion ( $\mu\epsilon$ )       |            | Deformacion por traccion | Deformacion por compresion |
|                   |                    | Vertical                            | Horizontal |                          |                            |
| 1                 | 0                  | -303.5                              | 420.20     | -450.80                  | 731.50                     |
| 2                 | 2                  | 104.20                              | -3.60      |                          |                            |
| 3                 | 4                  | 510.70                              | -450.80    |                          |                            |
| 4                 | 7                  | 954.50                              | -466.20    |                          |                            |
| 5                 | 14                 | 852.10                              | -457.80    |                          |                            |
| 6                 | 18                 | 731.50                              | -449.30    |                          |                            |
| 7                 | 60                 | 224.90                              | -125.40    |                          |                            |

| Punto de analisis | Profundidades (in) | Camion 130 T3S3 Tridem Convencional |            |                          |                            |
|-------------------|--------------------|-------------------------------------|------------|--------------------------|----------------------------|
|                   |                    | Deformacion ( $\mu\epsilon$ )       |            | Deformacion por traccion | Deformacion por compresion |
|                   |                    | Vertical                            | Horizontal |                          |                            |
| 1                 | 0                  | -187.5                              | 282.00     | -126.90                  | 623.70                     |
| 2                 | 2                  | 84.71                               | -8.12      |                          |                            |
| 3                 | 4                  | 328.60                              | -306.50    |                          |                            |
| 4                 | 7                  | 627.50                              | -319.70    |                          |                            |
| 5                 | 14                 | 669.00                              | -378.70    |                          |                            |
| 6                 | 18                 | 623.70                              | -401.00    |                          |                            |
| 7                 | 60                 | 247.00                              | -134.10    |                          |                            |

| Punto de analisis | Profundidades (in) | Relacion    |            |                          |                            |
|-------------------|--------------------|-------------|------------|--------------------------|----------------------------|
|                   |                    | Deformacion |            | Deformacion por traccion | Deformacion por compresion |
|                   |                    | Vertical    | Horizontal |                          |                            |
| 1                 | 0                  | 1.619       | 1.490      | 3.55                     | 1.17                       |
| 2                 | 2                  | 1.230       | 0.443      |                          |                            |
| 3                 | 4                  | 1.554       | 1.471      |                          |                            |
| 4                 | 7                  | 1.521       | 1.458      |                          |                            |
| 5                 | 14                 | 1.274       | 1.209      |                          |                            |
| 6                 | 18                 | 1.173       | 1.120      |                          |                            |
| 7                 | 60                 | 0.911       | 0.935      |                          |                            |

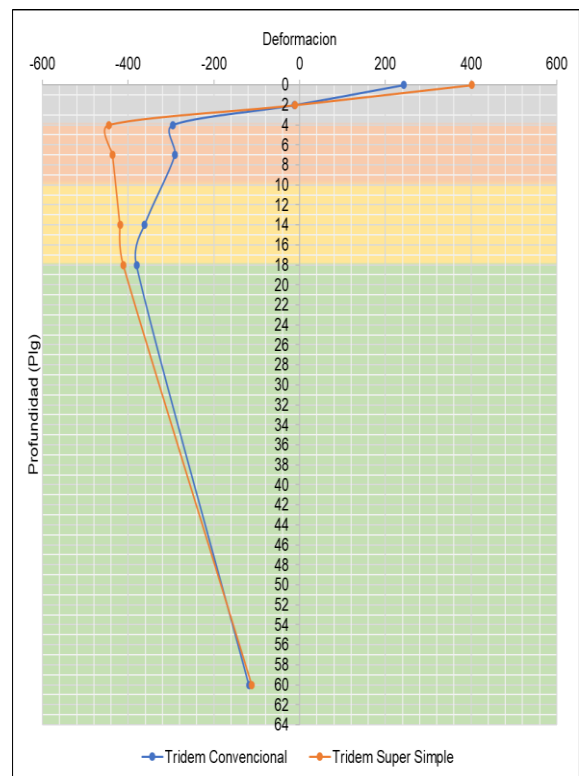


### T3S3 N° 131

| Punto de analisis | Profundidades (in) | Camion 131 T3S3 Tridem Super Simple |            |                          |                            |
|-------------------|--------------------|-------------------------------------|------------|--------------------------|----------------------------|
|                   |                    | Deformacion ( $\mu\epsilon$ )       |            | Deformacion por traccion | Deformacion por compresion |
|                   |                    | Vertical                            | Horizontal |                          |                            |
| 1                 | 0                  | -264.2                              | 401.80     | -445.40                  | 664.70                     |
| 2                 | 2                  | 118.80                              | -10.57     |                          |                            |
| 3                 | 4                  | 496.30                              | -445.40    |                          |                            |
| 4                 | 7                  | 872.30                              | -436.20    |                          |                            |
| 5                 | 14                 | 762.70                              | -419.20    |                          |                            |
| 6                 | 18                 | 658.20                              | -411.20    |                          |                            |
| 7                 | 60                 | 205.80                              | -111.90    |                          |                            |

| Punto de analisis | Profundidades (in) | Camion 131 T3S3 Tridem Convencional |            |                          |                            |
|-------------------|--------------------|-------------------------------------|------------|--------------------------|----------------------------|
|                   |                    | Deformacion ( $\mu\epsilon$ )       |            | Deformacion por traccion | Deformacion por compresion |
|                   |                    | Vertical                            | Horizontal |                          |                            |
| 1                 | 0                  | -173.6                              | 242.50     | -142.50                  | 587.50                     |
| 2                 | 2                  | 93.57                               | -12.61     |                          |                            |
| 3                 | 4                  | 313.50                              | -295.80    |                          |                            |
| 4                 | 7                  | 583.30                              | -304.90    |                          |                            |
| 5                 | 14                 | 628.00                              | -361.50    |                          |                            |
| 6                 | 18                 | 587.50                              | -380.60    |                          |                            |
| 7                 | 60                 | 223.50                              | -118.40    |                          |                            |

| Punto de analisis | Profundidades (in) | Relacion    |            |                          |                            |
|-------------------|--------------------|-------------|------------|--------------------------|----------------------------|
|                   |                    | Deformacion |            | Deformacion por traccion | Deformacion por compresion |
|                   |                    | Vertical    | Horizontal |                          |                            |
| 1                 | 0                  | 1.522       | 1.657      | 3.13                     | 1.13                       |
| 2                 | 2                  | 1.270       | 0.838      |                          |                            |
| 3                 | 4                  | 1.583       | 1.506      |                          |                            |
| 4                 | 7                  | 1.495       | 1.431      |                          |                            |
| 5                 | 14                 | 1.214       | 1.160      |                          |                            |
| 6                 | 18                 | 1.120       | 1.080      |                          |                            |
| 7                 | 60                 | 0.921       | 0.945      |                          |                            |

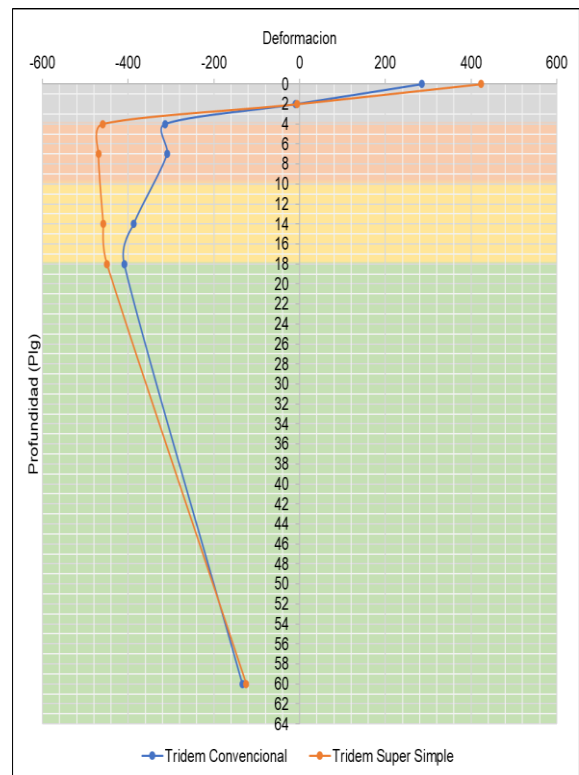


### T3S3 N° 132

| Punto de analisis | Profundidades (in) | Camion 132 T3S3 Tridem Super Simple |            |                          |                            |
|-------------------|--------------------|-------------------------------------|------------|--------------------------|----------------------------|
|                   |                    | Deformacion ( $\mu\epsilon$ )       |            | Deformacion por traccion | Deformacion por compresion |
|                   |                    | Vertical                            | Horizontal |                          |                            |
| 1                 | 0                  | -300.3                              | 423.40     | -460.10                  | 728.30                     |
| 2                 | 2                  | 110.20                              | -5.45      |                          |                            |
| 3                 | 4                  | 519.10                              | -460.10    |                          |                            |
| 4                 | 7                  | 955.30                              | -469.30    |                          |                            |
| 5                 | 14                 | 847.40                              | -458.10    |                          |                            |
| 6                 | 18                 | 728.30                              | -449.50    |                          |                            |
| 7                 | 60                 | 225.10                              | -124.70    |                          |                            |

| Punto de analisis | Profundidades (in) | Camion 132 T3S3 Tridem Convencional |            |                          |                            |
|-------------------|--------------------|-------------------------------------|------------|--------------------------|----------------------------|
|                   |                    | Deformacion ( $\mu\epsilon$ )       |            | Deformacion por traccion | Deformacion por compresion |
|                   |                    | Vertical                            | Horizontal |                          |                            |
| 1                 | 0                  | -184.3                              | 284.70     | -137.00                  | 633.90                     |
| 2                 | 2                  | 90.77                               | -9.93      |                          |                            |
| 3                 | 4                  | 335.60                              | -314.10    |                          |                            |
| 4                 | 7                  | 635.00                              | -326.30    |                          |                            |
| 5                 | 14                 | 679.00                              | -386.90    |                          |                            |
| 6                 | 18                 | 633.90                              | -408.90    |                          |                            |
| 7                 | 60                 | 247.90                              | -133.50    |                          |                            |

| Punto de analisis | Profundidades (in) | Relacion    |            |                          |                            |
|-------------------|--------------------|-------------|------------|--------------------------|----------------------------|
|                   |                    | Deformacion |            | Deformacion por traccion | Deformacion por compresion |
|                   |                    | Vertical    | Horizontal |                          |                            |
| 1                 | 0                  | 1.629       | 1.487      | 3.36                     | 1.15                       |
| 2                 | 2                  | 1.214       | 0.549      |                          |                            |
| 3                 | 4                  | 1.547       | 1.465      |                          |                            |
| 4                 | 7                  | 1.504       | 1.438      |                          |                            |
| 5                 | 14                 | 1.248       | 1.184      |                          |                            |
| 6                 | 18                 | 1.149       | 1.099      |                          |                            |
| 7                 | 60                 | 0.908       | 0.934      |                          |                            |

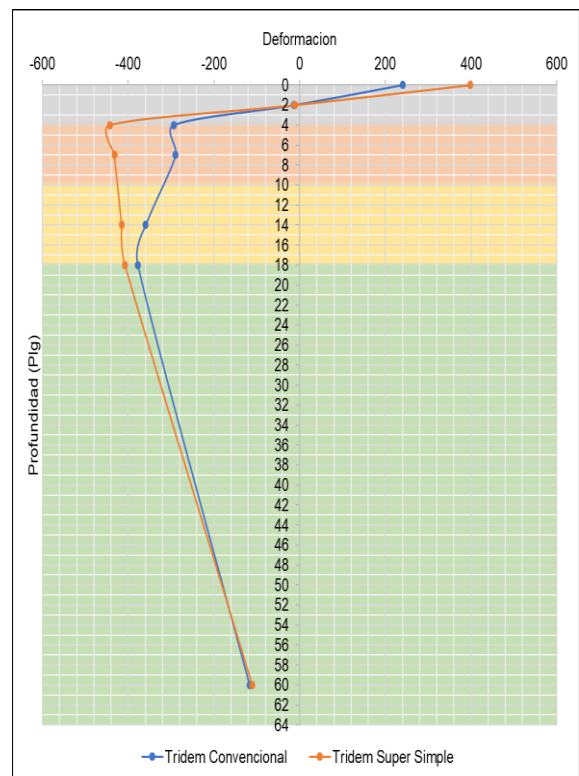


### T3S3 N° 133

| Punto de analisis | Profundidades (in) | Camion 133 T3S3 Tridem Super Simple |            |                          |                            |
|-------------------|--------------------|-------------------------------------|------------|--------------------------|----------------------------|
|                   |                    | Deformacion ( $\mu\epsilon$ )       |            | Deformacion por traccion | Deformacion por compresion |
|                   |                    | Vertical                            | Horizontal |                          |                            |
| 1                 | 0                  | -260.5                              | 398.30     | -442.90                  | 659.10                     |
| 2                 | 2                  | 119.10                              | -10.92     |                          |                            |
| 3                 | 4                  | 492.90                              | -442.90    |                          |                            |
| 4                 | 7                  | 863.60                              | -432.40    |                          |                            |
| 5                 | 14                 | 754.40                              | -415.10    |                          |                            |
| 6                 | 18                 | 651.30                              | -407.20    |                          |                            |
| 7                 | 60                 | 203.80                              | -110.60    |                          |                            |

| Punto de analisis | Profundidades (in) | Camion 133 T3S3 Tridem Convencional |            |                          |                            |
|-------------------|--------------------|-------------------------------------|------------|--------------------------|----------------------------|
|                   |                    | Deformacion ( $\mu\epsilon$ )       |            | Deformacion por traccion | Deformacion por compresion |
|                   |                    | Vertical                            | Horizontal |                          |                            |
| 1                 | 0                  | -171.5                              | 240.50     | -143.00                  | 583.30                     |
| 2                 | 2                  | 93.82                               | -12.85     |                          |                            |
| 3                 | 4                  | 311.50                              | -294.10    |                          |                            |
| 4                 | 7                  | 578.60                              | -303.00    |                          |                            |
| 5                 | 14                 | 623.50                              | -359.20    |                          |                            |
| 6                 | 18                 | 583.30                              | -378.00    |                          |                            |
| 7                 | 60                 | 221.30                              | -117.10    |                          |                            |

| Punto de analisis | Profundidades (in) | Relacion    |            |                          |                            |
|-------------------|--------------------|-------------|------------|--------------------------|----------------------------|
|                   |                    | Deformacion |            | Deformacion por traccion | Deformacion por compresion |
|                   |                    | Vertical    | Horizontal |                          |                            |
| 1                 | 0                  | 1.519       | 1.656      | 3.10                     | 1.13                       |
| 2                 | 2                  | 1.269       | 0.850      |                          |                            |
| 3                 | 4                  | 1.582       | 1.506      |                          |                            |
| 4                 | 7                  | 1.493       | 1.427      |                          |                            |
| 5                 | 14                 | 1.210       | 1.156      |                          |                            |
| 6                 | 18                 | 1.117       | 1.077      |                          |                            |
| 7                 | 60                 | 0.921       | 0.944      |                          |                            |

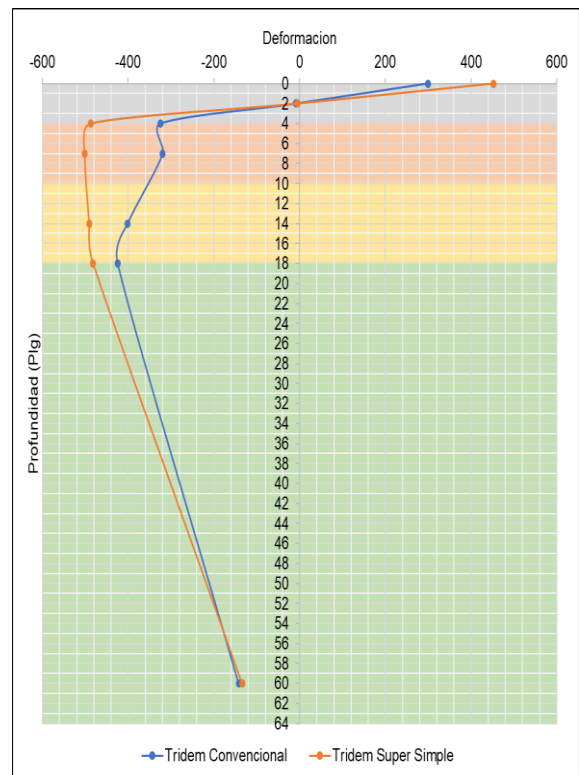


### T3S3 N° 134

| Punto de analisis | Profundidades (in) | Camion 134 T3S3 Tridem Super Simple |            |                          |                            |
|-------------------|--------------------|-------------------------------------|------------|--------------------------|----------------------------|
|                   |                    | Deformacion ( $\mu\epsilon$ )       |            | Deformacion por traccion | Deformacion por compresion |
|                   |                    | Vertical                            | Horizontal |                          |                            |
| 1                 | 0                  | -262.4                              | 451.800    | -487.20                  | 782.80                     |
| 2                 | 2                  | 118.40                              | -4.626     |                          |                            |
| 3                 | 4                  | 432.50                              | -487.200   |                          |                            |
| 4                 | 7                  | 845.40                              | -501.100   |                          |                            |
| 5                 | 14                 | 724.20                              | -490.900   |                          |                            |
| 6                 | 18                 | 625.10                              | -481.800   |                          |                            |
| 7                 | 60                 | 203.90                              | -134.100   |                          |                            |

| Punto de analisis | Profundidades (in) | Camion 134 T3S3 Tridem Convencional |            |                          |                            |
|-------------------|--------------------|-------------------------------------|------------|--------------------------|----------------------------|
|                   |                    | Deformacion ( $\mu\epsilon$ )       |            | Deformacion por traccion | Deformacion por compresion |
|                   |                    | Vertical                            | Horizontal |                          |                            |
| 1                 | 0                  | -199.4                              | 299.00     | -133.60                  | 661.00                     |
| 2                 | 2                  | 89.27                               | -8.42      |                          |                            |
| 3                 | 4                  | 348.00                              | -324.50    |                          |                            |
| 4                 | 7                  | 665.30                              | -338.70    |                          |                            |
| 5                 | 14                 | 709.10                              | -401.20    |                          |                            |
| 6                 | 18                 | 661.00                              | -424.80    |                          |                            |
| 7                 | 60                 | 262.10                              | -142.40    |                          |                            |

| Punto de analisis | Profundidades (in) | Relacion    |            |                          |                            |
|-------------------|--------------------|-------------|------------|--------------------------|----------------------------|
|                   |                    | Deformacion |            | Deformacion por traccion | Deformacion por compresion |
|                   |                    | Vertical    | Horizontal |                          |                            |
| 1                 | 0                  | 1.625       | 1.511      | 3.65                     | 1.18                       |
| 2                 | 2                  | 1.279       | 0.549      |                          |                            |
| 3                 | 4                  | 1.583       | 1.501      |                          |                            |
| 4                 | 7                  | 1.539       | 1.479      |                          |                            |
| 5                 | 14                 | 1.285       | 1.224      |                          |                            |
| 6                 | 18                 | 1.184       | 1.134      |                          |                            |
| 7                 | 60                 | 0.920       | 0.942      |                          |                            |

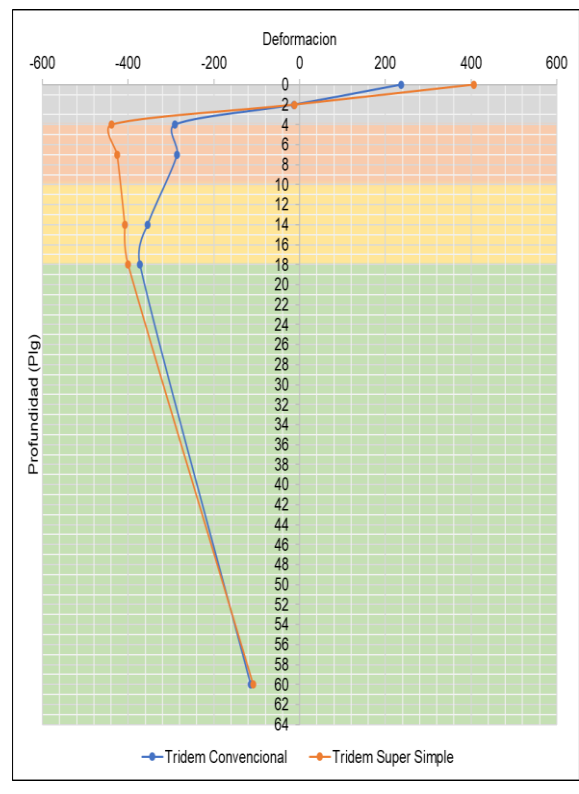


### T3S3 N° 135

| Punto de analisis | Profundidades (in) | Camion 135 T3S3 Tridem Super Simple |            |                          |                            |
|-------------------|--------------------|-------------------------------------|------------|--------------------------|----------------------------|
|                   |                    | Deformacion ( $\mu\epsilon$ )       |            | Deformacion por traccion | Deformacion por compresion |
|                   |                    | Vertical                            | Horizontal |                          |                            |
| 1                 | 0                  | -                                   | 406.60     | -438.50                  | 649.60                     |
| 2                 | 2                  | 119.60                              | -11.51     |                          |                            |
| 3                 | 4                  | 487.30                              | -438.50    |                          |                            |
| 4                 | 7                  | 848.90                              | -426.00    |                          |                            |
| 5                 | 14                 | 740.60                              | -408.30    |                          |                            |
| 6                 | 18                 | 639.80                              | -400.50    |                          |                            |
| 7                 | 60                 | 200.40                              | -108.50    |                          |                            |

| Punto de analisis | Profundidades (in) | Camion 135 T3S3 Tridem Convencional |            |                          |                            |
|-------------------|--------------------|-------------------------------------|------------|--------------------------|----------------------------|
|                   |                    | Deformacion ( $\mu\epsilon$ )       |            | Deformacion por traccion | Deformacion por compresion |
|                   |                    | Vertical                            | Horizontal |                          |                            |
| 1                 | 0                  | -                                   | 237.00     | -143.70                  | 576.00                     |
| 2                 | 2                  | 94.26                               | -13.27     |                          |                            |
| 3                 | 4                  | 307.90                              | -291.20    |                          |                            |
| 4                 | 7                  | 570.60                              | -299.60    |                          |                            |
| 5                 | 14                 | 615.50                              | -355.10    |                          |                            |
| 6                 | 18                 | 576.00                              | -373.30    |                          |                            |
| 7                 | 60                 | 217.40                              | -114.70    |                          |                            |

| Punto de analisis | Profundidades (in) | Relacion    |            |                          |                            |
|-------------------|--------------------|-------------|------------|--------------------------|----------------------------|
|                   |                    | Deformacion |            | Deformacion por traccion | Deformacion por compresion |
|                   |                    | Vertical    | Horizontal |                          |                            |
| 1                 | 0                  | 1.527       | 1.716      | 3.05                     | 1.13                       |
| 2                 | 2                  | -           | 0.867      |                          |                            |
| 3                 | 4                  | 1.583       | 1.506      |                          |                            |
| 4                 | 7                  | 1.488       | 1.422      |                          |                            |
| 5                 | 14                 | 1.203       | 1.150      |                          |                            |
| 6                 | 18                 | 1.111       | 1.073      |                          |                            |
| 7                 | 60                 | 0.922       | 0.946      |                          |                            |

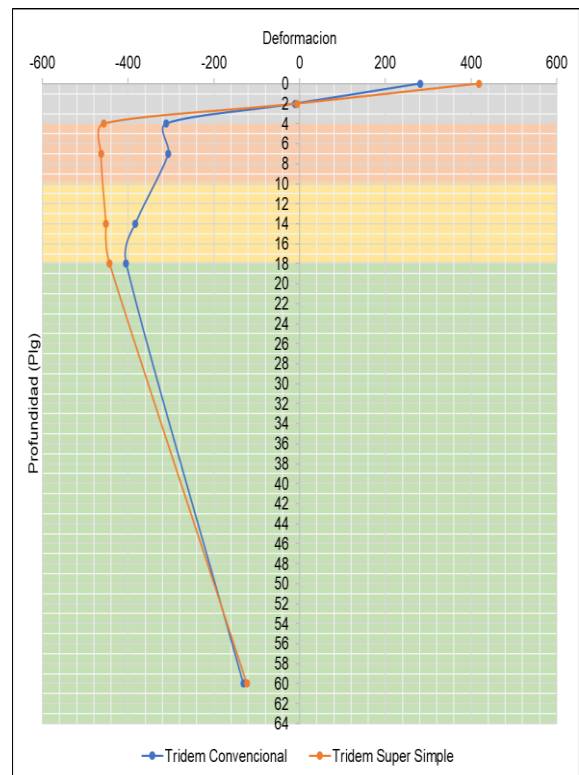


### T3S3 N° 136

| Punto de analisis | Profundidades (in) | Camion 136 T3S3 Tridem Super Simple |            |                          |                            |
|-------------------|--------------------|-------------------------------------|------------|--------------------------|----------------------------|
|                   |                    | Deformacion ( $\mu\epsilon$ )       |            | Deformacion por traccion | Deformacion por compresion |
|                   |                    | Vertical                            | Horizontal |                          |                            |
| 1                 | 0                  | -294.9                              | 418.40     | -456.60                  | 717.10                     |
| 2                 | 2                  | 110.70                              | -6.03      |                          |                            |
| 3                 | 4                  | 514.50                              | -456.60    |                          |                            |
| 4                 | 7                  | 942.00                              | -463.60    |                          |                            |
| 5                 | 14                 | 834.10                              | -451.70    |                          |                            |
| 6                 | 18                 | 717.10                              | -443.30    |                          |                            |
| 7                 | 60                 | 222.00                              | -122.80    |                          |                            |

| Punto de analisis | Profundidades (in) | Camion 136 T3S3 Tridem Convencional |            |                          |                            |
|-------------------|--------------------|-------------------------------------|------------|--------------------------|----------------------------|
|                   |                    | Deformacion ( $\mu\epsilon$ )       |            | Deformacion por traccion | Deformacion por compresion |
|                   |                    | Vertical                            | Horizontal |                          |                            |
| 1                 | 0                  | -180.6                              | 281.30     | -137.90                  | 627.50                     |
| 2                 | 2                  | 91.24                               | -10.34     |                          |                            |
| 3                 | 4                  | 332.50                              | -311.60    |                          |                            |
| 4                 | 7                  | 627.70                              | -323.30    |                          |                            |
| 5                 | 14                 | 671.90                              | -383.40    |                          |                            |
| 6                 | 18                 | 627.50                              | -405.10    |                          |                            |
| 7                 | 60                 | 244.50                              | -131.40    |                          |                            |

| Punto de analisis | Profundidades (in) | Relacion    |            |                          |                            |
|-------------------|--------------------|-------------|------------|--------------------------|----------------------------|
|                   |                    | Deformacion |            | Deformacion por traccion | Deformacion por compresion |
|                   |                    | Vertical    | Horizontal |                          |                            |
| 1                 | 0                  | 1.633       | 1.487      | 3.31                     | 1.14                       |
| 2                 | 2                  | 1.213       | 0.583      |                          |                            |
| 3                 | 4                  | 1.547       | 1.465      |                          |                            |
| 4                 | 7                  | 1.501       | 1.434      |                          |                            |
| 5                 | 14                 | 1.241       | 1.178      |                          |                            |
| 6                 | 18                 | 1.143       | 1.094      |                          |                            |
| 7                 | 60                 | 0.908       | 0.935      |                          |                            |

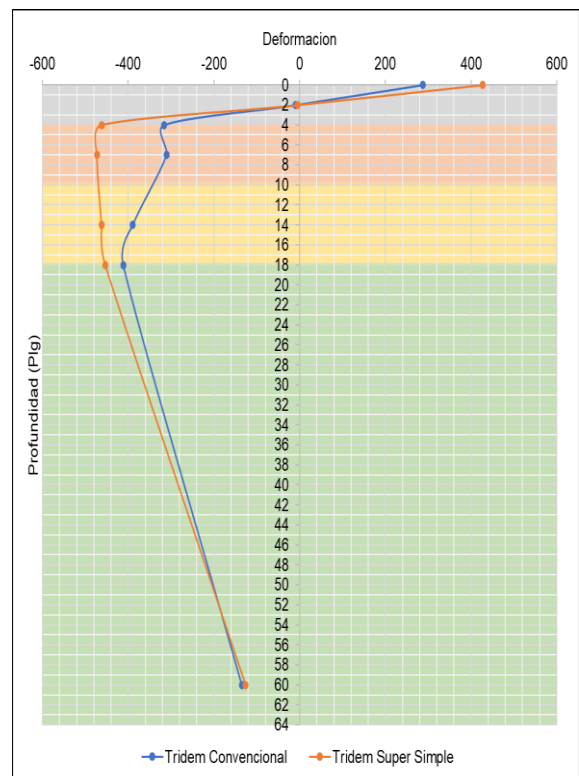


### T3S3 N° 137

| Punto de analisis | Profundidades (pulg) | Camion 137 T3S3 Tridem Super Simple |            |                          |                            |
|-------------------|----------------------|-------------------------------------|------------|--------------------------|----------------------------|
|                   |                      | Deformacion ( $\mu\epsilon$ )       |            | Deformacion por traccion | Deformacion por compresion |
|                   |                      | Vertical                            | Horizontal |                          |                            |
| 1                 | 0                    | -303.8                              | 426.70     | -462.40                  | 735.60                     |
| 2                 | 2                    | 110.00                              | -5.10      |                          |                            |
| 3                 | 4                    | 522.20                              | -462.40    |                          |                            |
| 4                 | 7                    | 964.00                              | -473.00    |                          |                            |
| 5                 | 14                   | 856.20                              | -462.20    |                          |                            |
| 6                 | 18                   | 735.60                              | -453.60    |                          |                            |
| 7                 | 60                   | 227.20                              | -126.00    |                          |                            |

| Punto de analisis | Profundidades (pulg) | Camion 137 T3S3 Tridem Convencional |            |                          |                            |
|-------------------|----------------------|-------------------------------------|------------|--------------------------|----------------------------|
|                   |                      | Deformacion ( $\mu\epsilon$ )       |            | Deformacion por traccion | Deformacion por compresion |
|                   |                      | Vertical                            | Horizontal |                          |                            |
| 1                 | 0                    | -186.7                              | 287.10     | -136.50                  | 638.40                     |
| 2                 | 2                    | 90.52                               | -9.68      |                          |                            |
| 3                 | 4                    | 337.60                              | -315.80    |                          |                            |
| 4                 | 7                    | 639.90                              | -328.30    |                          |                            |
| 5                 | 14                   | 684.00                              | -389.30    |                          |                            |
| 6                 | 18                   | 638.40                              | -411.60    |                          |                            |
| 7                 | 60                   | 250.20                              | -135.00    |                          |                            |

| Punto de analisis | Profundidades (in) | Relacion    |            |                          |                            |
|-------------------|--------------------|-------------|------------|--------------------------|----------------------------|
|                   |                    | Deformacion |            | Deformacion por traccion | Deformacion por compresion |
|                   |                    | Vertical    | Horizontal |                          |                            |
| 1                 | 0                  | 1.627       | 1.486      | 3.39                     | 1.15                       |
| 2                 | 2                  | 1.215       | 0.527      |                          |                            |
| 3                 | 4                  | 1.547       | 1.464      |                          |                            |
| 4                 | 7                  | 1.506       | 1.441      |                          |                            |
| 5                 | 14                 | 1.252       | 1.187      |                          |                            |
| 6                 | 18                 | 1.152       | 1.102      |                          |                            |
| 7                 | 60                 | 0.908       | 0.933      |                          |                            |



Fuente: Elaboración Propia



Según la Figura 52 y Tabla 19 el eje súper simple genera 3 veces más deformación por tracción y 1.16 veces más deformación por compresión que un eje convencional; y los demás análisis de deformación tienen resultados similares.

**Objetivo Específico 3:** Evaluar las deflexiones provocadas por ejes súper simples en el diseño de espesores de capas del pavimento flexible.

A continuación, en la Tabla N°21 se observa la deflexión que genera un eje tridem súper simple y en la Tabla N°22 la deflexión que genera un eje tridem convencional a diferentes puntos de profundidad. Y finalmente en la Tabla N°23 se relacionó la deflexión generada por ejes súper simples y convencionales.

**Tabla 21.** Deflexión (Eje Tridem Súper Simple)

| Puntos de análisis | Profundidades (in) | T3S3 N°1 Tridem Super Simple |
|--------------------|--------------------|------------------------------|
|                    |                    | Deflexión (0.01 mm)          |
| 1                  | 0                  | 127.89                       |
| 2                  | 2                  | 127.89                       |
| 3                  | 4                  | 126.39                       |
| 4                  | 7                  | 118.41                       |
| 5                  | 14                 | 102.01                       |
| 6                  | 18                 | 94.34                        |
| 7                  | 60                 | 52.68                        |

Fuente: Elaboración Propia

**Tabla 22.** Deflexión (Eje Tridem Convencional)

| Puntos de análisis | Profundidades (in) | T3S3 N°1 Tridem Super Simple |
|--------------------|--------------------|------------------------------|
|                    |                    | Deflexión (0.01 mm)          |
| 1                  | 0                  | 123.42                       |
| 2                  | 2                  | 121.67                       |
| 3                  | 4                  | 120.70                       |
| 4                  | 7                  | 115.47                       |
| 5                  | 14                 | 103.71                       |
| 6                  | 18                 | 97.36                        |
| 7                  | 60                 | 55.12                        |

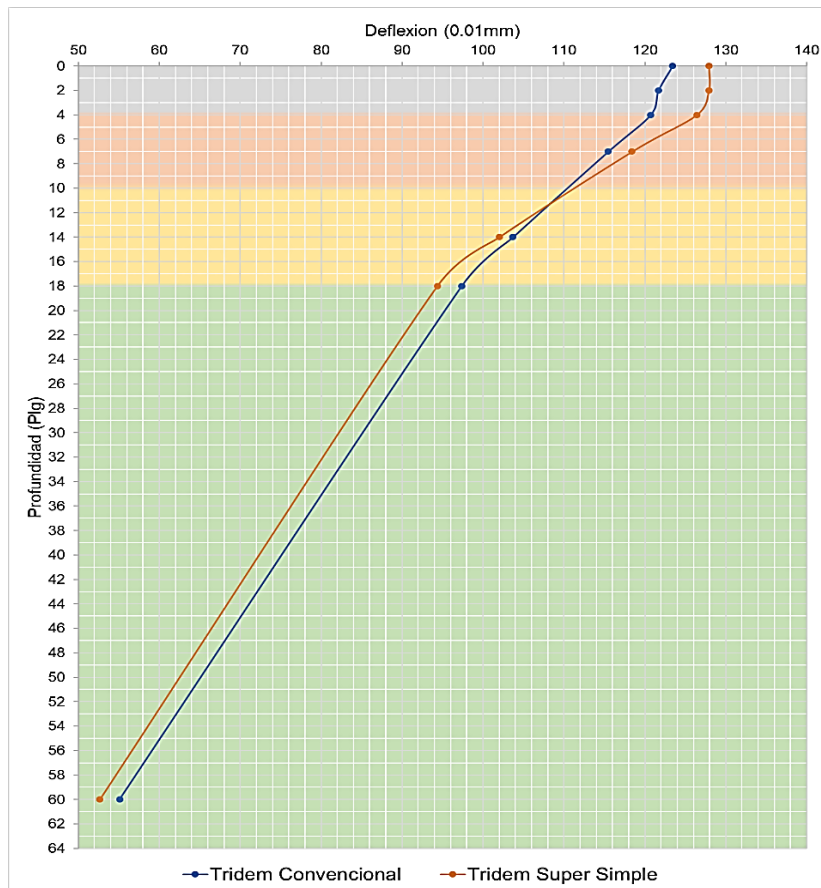
Fuente: Elaboración Propia

**Tabla 23. Relación de Deflexiones**

| Puntos de análisis | Profundidades (in) | T3S3 N°1 Tridem Super Simple |
|--------------------|--------------------|------------------------------|
|                    |                    | Deflexión (0.01 mm)          |
| 1                  | 0                  | 1.036                        |
| 2                  | 2                  | 1.051                        |
| 3                  | 4                  | 1.047                        |
| 4                  | 7                  | 1.026                        |
| 5                  | 14                 | 0.984                        |
| 6                  | 18                 | 0.969                        |
| 7                  | 60                 | 0.956                        |

Fuente: Elaboracion Propia

Se muestra en la Figura N°53 un gráfico en el cual se visualiza la deflexión que genera un eje súper simple y un eje equivalente estándar a diferentes puntos de profundidad.



**Figura 53. Distribución de deflexiones**

Fuente: Elaboracion Propia

**Tabla 24. Análisis de Deflexión**

| T3S3 N° 01        |                    |                              |                   |                    |                              |                   |                    |           |
|-------------------|--------------------|------------------------------|-------------------|--------------------|------------------------------|-------------------|--------------------|-----------|
| Punto de análisis | Profundidades (in) | T3S3 N°1 Tridem Súper Simple | Punto de análisis | Profundidades (in) | T3S3 N°1 Tridem Convencional | Punto de análisis | Profundidades (in) | Relación  |
|                   |                    | Deflexión (0.01mm)           |                   |                    | Deflexión (0.01mm)           |                   |                    | Deflexión |
| 1                 | 0                  | 127.9                        | 1                 | 0                  | 123.4                        | 1                 | 0                  | 1.036     |
| 2                 | 2                  | 127.9                        | 2                 | 2                  | 121.7                        | 2                 | 2                  | 1.051     |
| 3                 | 4                  | 126.4                        | 3                 | 4                  | 120.7                        | 3                 | 4                  | 1.047     |
| 4                 | 7                  | 118.4                        | 4                 | 7                  | 115.5                        | 4                 | 7                  | 1.026     |
| 5                 | 14                 | 102.0                        | 5                 | 14                 | 103.7                        | 5                 | 14                 | 0.984     |
| 6                 | 18                 | 94.3                         | 6                 | 18                 | 97.4                         | 6                 | 18                 | 0.969     |
| 7                 | 60                 | 52.7                         | 7                 | 60                 | 55.1                         | 7                 | 60                 | 0.956     |

| T3S3 N° 02        |                    |                              |                   |                    |                              |                   |                    |           |
|-------------------|--------------------|------------------------------|-------------------|--------------------|------------------------------|-------------------|--------------------|-----------|
| Punto de análisis | Profundidades (in) | T3S3 N°2 Tridem Súper Simple | Punto de análisis | Profundidades (in) | T3S3 N°2 Tridem Convencional | Punto de análisis | Profundidades (in) | Relación  |
|                   |                    | Deflexión (0.01mm)           |                   |                    | Deflexión (0.01mm)           |                   |                    | Deflexión |
| 1                 | 0                  | 126.54                       | 1                 | 0                  | 122.22                       | 1                 | 0                  | 1.035     |
| 2                 | 2                  | 126.54                       | 2                 | 2                  | 120.50                       | 2                 | 2                  | 1.050     |
| 3                 | 4                  | 125.07                       | 3                 | 4                  | 119.53                       | 3                 | 4                  | 1.046     |
| 4                 | 7                  | 117.14                       | 4                 | 7                  | 114.35                       | 4                 | 7                  | 1.024     |
| 5                 | 14                 | 100.89                       | 5                 | 14                 | 102.67                       | 5                 | 14                 | 0.983     |
| 6                 | 18                 | 93.32                        | 6                 | 18                 | 96.37                        | 6                 | 18                 | 0.968     |
| 7                 | 60                 | 52.07                        | 7                 | 60                 | 54.48                        | 7                 | 60                 | 0.956     |

| T3S3 N° 03        |                    |                              |                   |                    |                              |                   |                    |           |
|-------------------|--------------------|------------------------------|-------------------|--------------------|------------------------------|-------------------|--------------------|-----------|
| Punto de análisis | Profundidades (in) | T3S3 N°3 Tridem Súper Simple | Punto de análisis | Profundidades (in) | T3S3 N°3 Tridem Convencional | Punto de análisis | Profundidades (in) | Relación  |
|                   |                    | Deflexión (0.01mm)           |                   |                    | Deflexión (0.01mm)           |                   |                    | Deflexión |
| 1                 | 0                  | 124.54                       | 1                 | 0                  | 122.38                       | 1                 | 0                  | 1.018     |
| 2                 | 2                  | 124.54                       | 2                 | 2                  | 120.70                       | 2                 | 2                  | 1.032     |
| 3                 | 4                  | 123.06                       | 3                 | 4                  | 119.71                       | 3                 | 4                  | 1.028     |
| 4                 | 7                  | 115.24                       | 4                 | 7                  | 114.45                       | 4                 | 7                  | 1.007     |
| 5                 | 14                 | 99.26                        | 5                 | 14                 | 102.64                       | 5                 | 14                 | 0.967     |
| 6                 | 18                 | 91.80                        | 6                 | 18                 | 96.22                        | 6                 | 18                 | 0.954     |
| 7                 | 60                 | 51.13                        | 7                 | 60                 | 53.85                        | 7                 | 60                 | 0.950     |

| T3S3 N° 04        |                    |                              |                   |                    |                              |                   |                    |           |
|-------------------|--------------------|------------------------------|-------------------|--------------------|------------------------------|-------------------|--------------------|-----------|
| Punto de análisis | Profundidades (in) | T3S3 N°4 Tridem Súper Simple | Punto de análisis | Profundidades (in) | T3S3 N°4 Tridem Convencional | Punto de análisis | Profundidades (in) | Relación  |
|                   |                    | Deflexión (0.01mm)           |                   |                    | Deflexión (0.01mm)           |                   |                    | Deflexión |
| 1                 | 0                  | 122.22                       | 1                 | 0                  | 118.39                       | 1                 | 0                  | 1.032     |
| 2                 | 2                  | 122.20                       | 2                 | 2                  | 116.76                       | 2                 | 2                  | 1.047     |
| 3                 | 4                  | 120.75                       | 3                 | 4                  | 115.82                       | 3                 | 4                  | 1.043     |
| 4                 | 7                  | 113.03                       | 4                 | 7                  | 110.74                       | 4                 | 7                  | 1.021     |
| 5                 | 14                 | 97.36                        | 5                 | 14                 | 99.36                        | 5                 | 14                 | 0.980     |
| 6                 | 18                 | 90.04                        | 6                 | 18                 | 93.19                        | 6                 | 18                 | 0.966     |
| 7                 | 60                 | 50.06                        | 7                 | 60                 | 52.37                        | 7                 | 60                 | 0.956     |

| T3S3 N° 05        |                    |                              |                   |                    |                              |                   |                    |           |
|-------------------|--------------------|------------------------------|-------------------|--------------------|------------------------------|-------------------|--------------------|-----------|
| Punto de análisis | Profundidades (in) | T3S3 N°5 Tridem Súper Simple | Punto de análisis | Profundidades (in) | T3S3 N°5 Tridem Convencional | Punto de análisis | Profundidades (in) | Relación  |
|                   |                    | Deflexión (0.01mm)           |                   |                    | Deflexión (0.01mm)           |                   |                    | Deflexión |
| 1                 | 0                  | 123.22                       | 1                 | 0                  | 121.06                       | 1                 | 0                  | 1.018     |
| 2                 | 2                  | 123.19                       | 2                 | 2                  | 119.41                       | 2                 | 2                  | 1.032     |
| 3                 | 4                  | 121.74                       | 3                 | 4                  | 118.41                       | 3                 | 4                  | 1.028     |
| 4                 | 7                  | 113.97                       | 4                 | 7                  | 113.21                       | 4                 | 7                  | 1.007     |
| 5                 | 14                 | 98.17                        | 5                 | 14                 | 101.47                       | 5                 | 14                 | 0.967     |
| 6                 | 18                 | 90.81                        | 6                 | 18                 | 95.12                        | 6                 | 18                 | 0.955     |
| 7                 | 60                 | 50.52                        | 7                 | 60                 | 53.11                        | 7                 | 60                 | 0.951     |

### T3S3 N° 06

| Punto de análisis | Profundidades (in) | T3S3 N°6 Tridem Súper Simple |
|-------------------|--------------------|------------------------------|
|                   |                    | Deflexión (0.01mm)           |
| 1                 | 0                  | 124.23                       |
| 2                 | 2                  | 124.00                       |
| 3                 | 4                  | 122.48                       |
| 4                 | 7                  | 114.53                       |
| 5                 | 14                 | 98.63                        |
| 6                 | 18                 | 91.21                        |
| 7                 | 60                 | 50.32                        |

| Punto de análisis | Profundidades (in) | T3S3 N°6 Tridem Convencional |
|-------------------|--------------------|------------------------------|
|                   |                    | Deflexión (0.01mm)           |
| 1                 | 0                  | 119.20                       |
| 2                 | 2                  | 118.14                       |
| 3                 | 4                  | 117.14                       |
| 4                 | 7                  | 111.99                       |
| 5                 | 14                 | 100.36                       |
| 6                 | 18                 | 94.06                        |
| 7                 | 60                 | 52.40                        |

| Punto de análisis | Profundidades (in) | Relación  |
|-------------------|--------------------|-----------|
|                   |                    | Deflexión |
| 1                 | 0                  | 1.042     |
| 2                 | 2                  | 1.050     |
| 3                 | 4                  | 1.046     |
| 4                 | 7                  | 1.023     |
| 5                 | 14                 | 0.983     |
| 6                 | 18                 | 0.970     |
| 7                 | 60                 | 0.960     |

### T3S3 N° 07

| Punto de análisis | Profundidades (in) | T3S3 N°7 Tridem Súper Simple |
|-------------------|--------------------|------------------------------|
|                   |                    | Deflexión (0.01mm)           |
| 1                 | 0                  | 119.33                       |
| 2                 | 2                  | 119.08                       |
| 3                 | 4                  | 117.60                       |
| 4                 | 7                  | 109.91                       |
| 5                 | 14                 | 94.62                        |
| 6                 | 18                 | 87.48                        |
| 7                 | 60                 | 48.08                        |

| Punto de análisis | Profundidades (in) | T3S3 N°7 Tridem Convencional |
|-------------------|--------------------|------------------------------|
|                   |                    | Deflexión (0.01mm)           |
| 1                 | 0                  | 114.45                       |
| 2                 | 2                  | 113.56                       |
| 3                 | 4                  | 112.60                       |
| 4                 | 7                  | 107.57                       |
| 5                 | 14                 | 96.32                        |
| 6                 | 18                 | 90.17                        |
| 7                 | 60                 | 49.86                        |

| Punto de análisis | Profundidades (in) | Relación  |
|-------------------|--------------------|-----------|
|                   |                    | Deflexión |
| 1                 | 0                  | 1.043     |
| 2                 | 2                  | 1.049     |
| 3                 | 4                  | 1.044     |
| 4                 | 7                  | 1.022     |
| 5                 | 14                 | 0.982     |
| 6                 | 18                 | 0.970     |
| 7                 | 60                 | 0.964     |

### T3S3 N° 08

| Punto de análisis | Profundidades (in) | T3S3 N°8 Tridem Súper Simple |
|-------------------|--------------------|------------------------------|
|                   |                    | Deflexión (0.01mm)           |
| 1                 | 0                  | 117.63                       |
| 2                 | 2                  | 117.58                       |
| 3                 | 4                  | 116.15                       |
| 4                 | 7                  | 108.69                       |
| 5                 | 14                 | 93.60                        |
| 6                 | 18                 | 86.56                        |
| 7                 | 60                 | 47.93                        |

| Punto de análisis | Profundidades (in) | T3S3 N°8 Tridem Convencional |
|-------------------|--------------------|------------------------------|
|                   |                    | Deflexión (0.01mm)           |
| 1                 | 0                  | 113.67                       |
| 2                 | 2                  | 112.65                       |
| 3                 | 4                  | 111.71                       |
| 4                 | 7                  | 106.78                       |
| 5                 | 14                 | 95.73                        |
| 6                 | 18                 | 89.71                        |
| 7                 | 60                 | 50.06                        |

| Punto de análisis | Profundidades (in) | Relación  |
|-------------------|--------------------|-----------|
|                   |                    | Deflexión |
| 1                 | 0                  | 1.035     |
| 2                 | 2                  | 1.044     |
| 3                 | 4                  | 1.040     |
| 4                 | 7                  | 1.018     |
| 5                 | 14                 | 0.978     |
| 6                 | 18                 | 0.965     |
| 7                 | 60                 | 0.957     |

### T3S3 N° 09

| Punto de análisis | Profundidades (in) | T3S3 N°9 Tridem Súper Simple |
|-------------------|--------------------|------------------------------|
|                   |                    | Deflexión (0.01mm)           |
| 1                 | 0                  | 121.89                       |
| 2                 | 2                  | 121.87                       |
| 3                 | 4                  | 120.42                       |
| 4                 | 7                  | 112.73                       |
| 5                 | 14                 | 97.08                        |
| 6                 | 18                 | 89.79                        |
| 7                 | 60                 | 49.91                        |

| Punto de análisis | Profundidades (in) | T3S3 N°9 Tridem Convencional |
|-------------------|--------------------|------------------------------|
|                   |                    | Deflexión (0.01mm)           |
| 1                 | 0                  | 118.08                       |
| 2                 | 2                  | 116.48                       |
| 3                 | 4                  | 115.52                       |
| 4                 | 7                  | 110.46                       |
| 5                 | 14                 | 99.11                        |
| 6                 | 18                 | 92.94                        |
| 7                 | 60                 | 52.20                        |

| Punto de análisis | Profundidades (in) | Relación  |
|-------------------|--------------------|-----------|
|                   |                    | Deflexión |
| 1                 | 0                  | 1.032     |
| 2                 | 2                  | 1.046     |
| 3                 | 4                  | 1.042     |
| 4                 | 7                  | 1.020     |
| 5                 | 14                 | 0.979     |
| 6                 | 18                 | 0.966     |
| 7                 | 60                 | 0.956     |

### T3S3 N° 10

| Punto de análisis | Profundidades (in) | T3S3 N°10 Tridem Súper Simple |
|-------------------|--------------------|-------------------------------|
|                   |                    | Deflexión (0.01mm)            |
| 1                 | 0                  | 129.90                        |
| 2                 | 2                  | 129.90                        |
| 3                 | 4                  | 128.42                        |
| 4                 | 7                  | 120.32                        |
| 5                 | 14                 | 103.66                        |
| 6                 | 18                 | 95.89                         |
| 7                 | 60                 | 53.62                         |

| Punto de análisis | Profundidades (in) | T3S3 N°10 Tridem Convencional |
|-------------------|--------------------|-------------------------------|
|                   |                    | Deflexión (0.01mm)            |
| 1                 | 0                  | 125.37                        |
| 2                 | 2                  | 123.60                        |
| 3                 | 4                  | 122.61                        |
| 4                 | 7                  | 117.32                        |
| 5                 | 14                 | 105.41                        |
| 6                 | 18                 | 98.98                         |
| 7                 | 60                 | 56.21                         |

| Punto de análisis | Profundidades (in) | Relación  |
|-------------------|--------------------|-----------|
|                   |                    | Deflexión |
| 1                 | 0                  | 1.036     |
| 2                 | 2                  | 1.051     |
| 3                 | 4                  | 1.047     |
| 4                 | 7                  | 1.026     |
| 5                 | 14                 | 0.983     |
| 6                 | 18                 | 0.969     |
| 7                 | 60                 | 0.954     |

### T3S3 N° 11

| Punto de análisis | Profundidades (in) | T3S3 N°11 Tridem Súper Simple |
|-------------------|--------------------|-------------------------------|
|                   |                    | Deflexión (0.01mm)            |
| 1                 | 0                  | 132.94                        |
| 2                 | 2                  | 132.97                        |
| 3                 | 4                  | 131.45                        |
| 4                 | 7                  | 123.22                        |
| 5                 | 14                 | 106.17                        |
| 6                 | 18                 | 98.20                         |
| 7                 | 60                 | 55.04                         |

| Punto de análisis | Profundidades (in) | T3S3 N°11 Tridem Convencional |
|-------------------|--------------------|-------------------------------|
|                   |                    | Deflexión (0.01mm)            |
| 1                 | 0                  | 127.99                        |
| 2                 | 2                  | 126.16                        |
| 3                 | 4                  | 125.17                        |
| 4                 | 7                  | 119.79                        |
| 5                 | 14                 | 107.67                        |
| 6                 | 18                 | 101.14                        |
| 7                 | 60                 | 57.68                         |

| Punto de análisis | Profundidades (in) | Relación  |
|-------------------|--------------------|-----------|
|                   |                    | Deflexión |
| 1                 | 0                  | 1.039     |
| 2                 | 2                  | 1.054     |
| 3                 | 4                  | 1.050     |
| 4                 | 7                  | 1.029     |
| 5                 | 14                 | 0.986     |
| 6                 | 18                 | 0.971     |
| 7                 | 60                 | 0.954     |

### T3S3 N° 12

| Punto de análisis | Profundidades (in) | T3S3 N°12 Tridem Super Simple |
|-------------------|--------------------|-------------------------------|
|                   |                    | Deflexión (0.01mm)            |
| 1                 | 0                  | 125.88                        |
| 2                 | 2                  | 125.86                        |
| 3                 | 4                  | 124.41                        |
| 4                 | 7                  | 116.51                        |
| 5                 | 14                 | 100.36                        |
| 6                 | 18                 | 92.81                         |
| 7                 | 60                 | 51.74                         |

| Punto de análisis | Profundidades (in) | T3S3 N°12 Tridem Convencional |
|-------------------|--------------------|-------------------------------|
|                   |                    | Deflexión (0.01mm)            |
| 1                 | 0                  | 121.67                        |
| 2                 | 2                  | 119.99                        |
| 3                 | 4                  | 119.02                        |
| 4                 | 7                  | 113.84                        |
| 5                 | 14                 | 102.21                        |
| 6                 | 18                 | 95.91                         |
| 7                 | 60                 | 54.18                         |

| Punto de análisis | Profundidades (in) | Relación  |
|-------------------|--------------------|-----------|
|                   |                    | Deflexión |
| 1                 | 0                  | 1.035     |
| 2                 | 2                  | 1.049     |
| 3                 | 4                  | 1.045     |
| 4                 | 7                  | 1.023     |
| 5                 | 14                 | 0.982     |
| 6                 | 18                 | 0.968     |
| 7                 | 60                 | 0.955     |

### T3S3 N° 13

| Punto de análisis | Profundidades (in) | T3S3 N°13 Tridem Súper Simple |
|-------------------|--------------------|-------------------------------|
|                   |                    | Deflexión (0.01mm)            |
| 1                 | 0                  | 127.61                        |
| 2                 | 2                  | 127.56                        |
| 3                 | 4                  | 126.01                        |
| 4                 | 7                  | 117.88                        |
| 5                 | 14                 | 101.52                        |
| 6                 | 18                 | 93.88                         |
| 7                 | 60                 | 51.97                         |

| Punto de análisis | Profundidades (in) | T3S3 N°13 Tridem Convencional |
|-------------------|--------------------|-------------------------------|
|                   |                    | Deflexión (0.01mm)            |
| 1                 | 0                  | 122.66                        |
| 2                 | 2                  | 120.98                        |
| 3                 | 4                  | 119.99                        |
| 4                 | 7                  | 114.71                        |
| 5                 | 14                 | 102.87                        |
| 6                 | 18                 | 96.44                         |
| 7                 | 60                 | 54.00                         |

| Punto de análisis | Profundidades (in) | Relación  |
|-------------------|--------------------|-----------|
|                   |                    | Deflexión |
| 1                 | 0                  | 1.040     |
| 2                 | 2                  | 1.054     |
| 3                 | 4                  | 1.050     |
| 4                 | 7                  | 1.028     |
| 5                 | 14                 | 0.987     |
| 6                 | 18                 | 0.973     |
| 7                 | 60                 | 0.962     |

### T3S3 N° 14

| Punto de análisis | Profundidades (in) | T3S3 N°14 Tridem Súper Simple |
|-------------------|--------------------|-------------------------------|
|                   |                    | Deflexión (0.01mm)            |
| 1                 | 0                  | 115.82                        |
| 2                 | 2                  | 115.62                        |
| 3                 | 4                  | 114.22                        |
| 4                 | 7                  | 106.83                        |
| 5                 | 14                 | 92.00                         |
| 6                 | 18                 | 85.06                         |
| 7                 | 60                 | 47.04                         |

| Punto de análisis | Profundidades (in) | T3S3 N°14 Tridem Convencional |
|-------------------|--------------------|-------------------------------|
|                   |                    | Deflexión (0.01mm)            |
| 1                 | 0                  | 111.91                        |
| 2                 | 2                  | 110.92                        |
| 3                 | 4                  | 109.98                        |
| 4                 | 7                  | 105.13                        |
| 5                 | 14                 | 94.18                         |
| 6                 | 18                 | 88.27                         |
| 7                 | 60                 | 49.10                         |

| Punto de análisis | Profundidades (in) | Relación  |
|-------------------|--------------------|-----------|
|                   |                    | Deflexión |
| 1                 | 0                  | 1.035     |
| 2                 | 2                  | 1.042     |
| 3                 | 4                  | 1.039     |
| 4                 | 7                  | 1.016     |
| 5                 | 14                 | 0.977     |
| 6                 | 18                 | 0.964     |
| 7                 | 60                 | 0.958     |

### T3S3 N° 15

| Punto de análisis | Profundidades (in) | T3S3 N°15 Tridem Súper Simple |
|-------------------|--------------------|-------------------------------|
|                   |                    | Deflexión (0.01mm)            |
| 1                 | 0                  | 125.30                        |
| 2                 | 2                  | 125.07                        |
| 3                 | 4                  | 123.55                        |
| 4                 | 7                  | 115.54                        |
| 5                 | 14                 | 99.49                         |
| 6                 | 18                 | 92.00                         |
| 7                 | 60                 | 50.83                         |

| Punto de análisis | Profundidades (in) | T3S3 N°15 Tridem Convencional |
|-------------------|--------------------|-------------------------------|
|                   |                    | Deflexión (0.01mm)            |
| 1                 | 0                  | 119.91                        |
| 2                 | 2                  | 118.85                        |
| 3                 | 4                  | 117.86                        |
| 4                 | 7                  | 112.65                        |
| 5                 | 14                 | 100.97                        |
| 6                 | 18                 | 94.64                         |
| 7                 | 60                 | 52.81                         |

| Punto de análisis | Profundidades (in) | Relación  |
|-------------------|--------------------|-----------|
|                   |                    | Deflexión |
| 1                 | 0                  | 1.045     |
| 2                 | 2                  | 1.052     |
| 3                 | 4                  | 1.048     |
| 4                 | 7                  | 1.026     |
| 5                 | 14                 | 0.985     |
| 6                 | 18                 | 0.972     |
| 7                 | 60                 | 0.962     |

### T3S3 N° 16

| Punto de análisis | Profundidades (in) | T3S3 N°16 Tridem Súper Simple |
|-------------------|--------------------|-------------------------------|
|                   |                    | Deflexión (0.01mm)            |
| 1                 | 0                  | 150.62                        |
| 2                 | 2                  | 150.67                        |
| 3                 | 4                  | 149.00                        |
| 4                 | 7                  | 139.75                        |
| 5                 | 14                 | 120.42                        |
| 6                 | 18                 | 111.38                        |
| 7                 | 60                 | 62.64                         |

| Punto de análisis | Profundidades (in) | T3S3 N°16 Tridem Convencional |
|-------------------|--------------------|-------------------------------|
|                   |                    | deflexión (0.01mm)            |
| 1                 | 0                  | 143.38                        |
| 2                 | 2                  | 141.10                        |
| 3                 | 4                  | 140.00                        |
| 4                 | 7                  | 134.09                        |
| 5                 | 14                 | 120.68                        |
| 6                 | 18                 | 113.49                        |
| 7                 | 60                 | 65.43                         |

| Punto de análisis | Profundidades (in) | Relación  |
|-------------------|--------------------|-----------|
|                   |                    | Deflexión |
| 1                 | 0                  | 1.050     |
| 2                 | 2                  | 1.068     |
| 3                 | 4                  | 1.064     |
| 4                 | 7                  | 1.042     |
| 5                 | 14                 | 0.998     |
| 6                 | 18                 | 0.981     |
| 7                 | 60                 | 0.957     |

### T3S3 N° 17

| Punto de análisis | Profundidades (in) | T3S3 N°17 Tridem Súper Simple |
|-------------------|--------------------|-------------------------------|
|                   |                    | Deflexión (0.01mm)            |
| 1                 | 0                  | 126.87                        |
| 2                 | 2                  | 126.87                        |
| 3                 | 4                  | 125.40                        |
| 4                 | 7                  | 117.45                        |
| 5                 | 14                 | 101.17                        |
| 6                 | 18                 | 93.57                         |
| 7                 | 60                 | 52.22                         |

| Punto de análisis | Profundidades (in) | T3S3 N°17 Tridem Convencional |
|-------------------|--------------------|-------------------------------|
|                   |                    | Deflexión (0.01mm)            |
| 1                 | 0                  | 122.40                        |
| 2                 | 2                  | 120.70                        |
| 3                 | 4                  | 119.74                        |
| 4                 | 7                  | 114.53                        |
| 5                 | 14                 | 102.84                        |
| 6                 | 18                 | 96.52                         |
| 7                 | 60                 | 54.58                         |

| Punto de análisis | Profundidades (in) | Relación  |
|-------------------|--------------------|-----------|
|                   |                    | Deflexión |
| 1                 | 0                  | 1.037     |
| 2                 | 2                  | 1.051     |
| 3                 | 4                  | 1.047     |
| 4                 | 7                  | 1.026     |
| 5                 | 14                 | 0.984     |
| 6                 | 18                 | 0.969     |
| 7                 | 60                 | 0.957     |

### T3S3 N° 18

| Punto de análisis | Profundidades (in) | T3S3 N°18 Tridem Super Simple |
|-------------------|--------------------|-------------------------------|
|                   |                    | Deflexión (0.01mm)            |
| 1                 | 0                  | 114.20                        |
| 2                 | 2                  | 114.00                        |
| 3                 | 4                  | 112.60                        |
| 4                 | 7                  | 105.31                        |
| 5                 | 14                 | 90.68                         |
| 6                 | 18                 | 83.85                         |
| 7                 | 60                 | 46.28                         |

| Punto de análisis | Profundidades (in) | T3S3 N°18 Tridem Convencional |
|-------------------|--------------------|-------------------------------|
|                   |                    | Deflexión (0.01mm)            |
| 1                 | 0                  | 110.59                        |
| 2                 | 2                  | 109.63                        |
| 3                 | 4                  | 108.71                        |
| 4                 | 7                  | 103.89                        |
| 5                 | 14                 | 93.04                         |
| 6                 | 18                 | 87.15                         |
| 7                 | 60                 | 48.39                         |

| Punto de análisis | Profundidades (in) | Relación  |
|-------------------|--------------------|-----------|
|                   |                    | Deflexión |
| 1                 | 0                  | 1.033     |
| 2                 | 2                  | 1.040     |
| 3                 | 4                  | 1.036     |
| 4                 | 7                  | 1.014     |
| 5                 | 14                 | 0.975     |
| 6                 | 18                 | 0.962     |
| 7                 | 60                 | 0.956     |

### T3S3 N° 19

| Punto de análisis | Profundidades (in) | T3S3 N°19 Tridem Súper Simple |
|-------------------|--------------------|-------------------------------|
|                   |                    | Deflexión (0.01mm)            |
| 1                 | 0                  | 122.22                        |
| 2                 | 2                  | 122.20                        |
| 3                 | 4                  | 120.75                        |
| 4                 | 7                  | 113.03                        |
| 5                 | 14                 | 97.36                         |
| 6                 | 18                 | 90.04                         |
| 7                 | 60                 | 50.06                         |

| Punto de análisis | Profundidades (in) | T3S3 N°19 Tridem Convencional |
|-------------------|--------------------|-------------------------------|
|                   |                    | Deflexión (0.01mm)            |
| 1                 | 0                  | 118.44                        |
| 2                 | 2                  | 116.81                        |
| 3                 | 4                  | 115.85                        |
| 4                 | 7                  | 110.79                        |
| 5                 | 14                 | 99.42                         |
| 6                 | 18                 | 93.24                         |
| 7                 | 60                 | 52.37                         |

| Punto de análisis | Profundidades (in) | Relación  |
|-------------------|--------------------|-----------|
|                   |                    | Deflexión |
| 1                 | 0                  | 1.032     |
| 2                 | 2                  | 1.046     |
| 3                 | 4                  | 1.042     |
| 4                 | 7                  | 1.020     |
| 5                 | 14                 | 0.979     |
| 6                 | 18                 | 0.966     |
| 7                 | 60                 | 0.956     |

### T3S3 N° 20

| Punto de análisis | Profundidades (in) | T3S3 N°20 Tridem Súper Simple |
|-------------------|--------------------|-------------------------------|
|                   |                    | Deflexión (0.01mm)            |
| 1                 | 0                  | 122.56                        |
| 2                 | 2                  | 122.53                        |
| 3                 | 4                  | 121.08                        |
| 4                 | 7                  | 113.36                        |
| 5                 | 14                 | 97.64                         |
| 6                 | 18                 | 90.30                         |
| 7                 | 60                 | 50.22                         |

| Punto de análisis | Profundidades (in) | T3S3 N°20 Tridem Convencional |
|-------------------|--------------------|-------------------------------|
|                   |                    | Deflexión (0.01mm)            |
| 1                 | 0                  | 120.65                        |
| 2                 | 2                  | 119.02                        |
| 3                 | 4                  | 118.03                        |
| 4                 | 7                  | 112.83                        |
| 5                 | 14                 | 101.14                        |
| 6                 | 18                 | 94.79                         |
| 7                 | 60                 | 52.91                         |

| Punto de análisis | Profundidades (in) | Relación  |
|-------------------|--------------------|-----------|
|                   |                    | Deflexión |
| 1                 | 0                  | 1.016     |
| 2                 | 2                  | 1.029     |
| 3                 | 4                  | 1.026     |
| 4                 | 7                  | 1.005     |
| 5                 | 14                 | 0.965     |
| 6                 | 18                 | 0.953     |
| 7                 | 60                 | 0.949     |

### T3S3 N° 21

| Punto de análisis | Profundidades (in) | T3S3 N°21 Tridem Súper Simple |
|-------------------|--------------------|-------------------------------|
|                   |                    | Deflexión (0.01mm)            |
| 1                 | 0                  | 116.66                        |
| 2                 | 2                  | 116.59                        |
| 3                 | 4                  | 115.19                        |
| 4                 | 7                  | 107.75                        |
| 5                 | 14                 | 92.79                         |
| 6                 | 18                 | 85.80                         |
| 7                 | 60                 | 47.47                         |

| Punto de análisis | Profundidades (in) | T3S3 N°21 Tridem Convencional |
|-------------------|--------------------|-------------------------------|
|                   |                    | Deflexión (0.01mm)            |
| 1                 | 0                  | 112.88                        |
| 2                 | 2                  | 111.86                        |
| 3                 | 4                  | 110.95                        |
| 4                 | 7                  | 106.05                        |
| 5                 | 14                 | 95.02                         |
| 6                 | 18                 | 89.05                         |
| 7                 | 60                 | 49.63                         |

| Punto de análisis | Profundidades (in) | Relación  |
|-------------------|--------------------|-----------|
|                   |                    | Deflexión |
| 1                 | 0                  | 1.034     |
| 2                 | 2                  | 1.042     |
| 3                 | 4                  | 1.038     |
| 4                 | 7                  | 1.016     |
| 5                 | 14                 | 0.976     |
| 6                 | 18                 | 0.963     |
| 7                 | 60                 | 0.956     |

### T3S3 N° 22

| Punto de análisis | Profundidades (in) | T3S3 N°22 Tridem Súper Simple |
|-------------------|--------------------|-------------------------------|
|                   |                    | Deflexión (0.01mm)            |
| 1                 | 0                  | 126.54                        |
| 2                 | 2                  | 126.54                        |
| 3                 | 4                  | 125.07                        |
| 4                 | 7                  | 117.14                        |
| 5                 | 14                 | 100.89                        |
| 6                 | 18                 | 93.32                         |
| 7                 | 60                 | 52.07                         |

| Punto de análisis | Profundidades (in) | T3S3 N°22 Tridem Convencional |
|-------------------|--------------------|-------------------------------|
|                   |                    | Deflexión (0.01mm)            |
| 1                 | 0                  | 124.33                        |
| 2                 | 2                  | 122.63                        |
| 3                 | 4                  | 121.64                        |
| 4                 | 7                  | 116.31                        |
| 5                 | 14                 | 104.34                        |
| 6                 | 18                 | 97.84                         |
| 7                 | 60                 | 54.91                         |

| Punto de análisis | Profundidades (in) | Relación  |
|-------------------|--------------------|-----------|
|                   |                    | Deflexión |
| 1                 | 0                  | 1.018     |
| 2                 | 2                  | 1.032     |
| 3                 | 4                  | 1.028     |
| 4                 | 7                  | 1.007     |
| 5                 | 14                 | 0.967     |
| 6                 | 18                 | 0.954     |
| 7                 | 60                 | 0.948     |

### T3S3 N° 23

| Punto de análisis | Profundidades (in) | T3S3 N°23 Tridem Súper Simple |
|-------------------|--------------------|-------------------------------|
|                   |                    | Deflexión (0.01mm)            |
| 1                 | 0                  | 124.89                        |
| 2                 | 2                  | 124.87                        |
| 3                 | 4                  | 123.39                        |
| 4                 | 7                  | 115.54                        |
| 5                 | 14                 | 99.54                         |
| 6                 | 18                 | 92.05                         |
| 7                 | 60                 | 51.28                         |

| Punto de análisis | Profundidades (in) | T3S3 N°23 Tridem Convencional |
|-------------------|--------------------|-------------------------------|
|                   |                    | Deflexión (0.01mm)            |
| 1                 | 0                  | 122.61                        |
| 2                 | 2                  | 120.95                        |
| 3                 | 4                  | 119.94                        |
| 4                 | 7                  | 114.68                        |
| 5                 | 14                 | 102.84                        |
| 6                 | 18                 | 96.42                         |
| 7                 | 60                 | 53.98                         |

| Punto de análisis | Profundidades (in) | Relación  |
|-------------------|--------------------|-----------|
|                   |                    | Deflexión |
| 1                 | 0                  | 1.019     |
| 2                 | 2                  | 1.032     |
| 3                 | 4                  | 1.029     |
| 4                 | 7                  | 1.008     |
| 5                 | 14                 | 0.968     |
| 6                 | 18                 | 0.955     |
| 7                 | 60                 | 0.950     |

### T3S3 N° 24

| Punto de análisis | Profundidades (in) | T3S3 N°24 Tridem Súper Simple |
|-------------------|--------------------|-------------------------------|
|                   |                    | Deflexión (0.01mm)            |
| 1                 | 0                  | 125.55                        |
| 2                 | 2                  | 125.53                        |
| 3                 | 4                  | 124.05                        |
| 4                 | 7                  | 116.18                        |
| 5                 | 14                 | 100.08                        |
| 6                 | 18                 | 92.56                         |
| 7                 | 60                 | 51.59                         |

| Punto de análisis | Profundidades (in) | T3S3 N°24 Tridem Convencional |
|-------------------|--------------------|-------------------------------|
|                   |                    | Deflexión (0.01mm)            |
| 1                 | 0                  | 121.44                        |
| 2                 | 2                  | 119.76                        |
| 3                 | 4                  | 118.80                        |
| 4                 | 7                  | 113.61                        |
| 5                 | 14                 | 102.01                        |
| 6                 | 18                 | 95.73                         |
| 7                 | 60                 | 54.05                         |

| Punto de análisis | Profundidades (in) | Relación  |
|-------------------|--------------------|-----------|
|                   |                    | Deflexión |
| 1                 | 0                  | 1.034     |
| 2                 | 2                  | 1.048     |
| 3                 | 4                  | 1.044     |
| 4                 | 7                  | 1.023     |
| 5                 | 14                 | 0.981     |
| 6                 | 18                 | 0.967     |
| 7                 | 60                 | 0.954     |

### T3S3 N° 25

| Punto de análisis | Profundidades (in) | T3S3 N°25 Tridem Súper Simple |
|-------------------|--------------------|-------------------------------|
|                   |                    | Deflexión (0.01mm)            |
| 1                 | 0                  | 127.23                        |
| 2                 | 2                  | 127.20                        |
| 3                 | 4                  | 125.73                        |
| 4                 | 7                  | 117.78                        |
| 5                 | 14                 | 101.45                        |
| 6                 | 18                 | 93.83                         |
| 7                 | 60                 | 52.37                         |

| Punto de análisis | Profundidades (in) | T3S3 N°25 Tridem Convencional |
|-------------------|--------------------|-------------------------------|
|                   |                    | Deflexión (0.01mm)            |
| 1                 | 0                  | 122.71                        |
| 2                 | 2                  | 120.98                        |
| 3                 | 4                  | 120.02                        |
| 4                 | 7                  | 114.81                        |
| 5                 | 14                 | 103.10                        |
| 6                 | 18                 | 96.77                         |
| 7                 | 60                 | 54.74                         |

| Punto de análisis | Profundidades (in) | Relación  |
|-------------------|--------------------|-----------|
|                   |                    | Deflexión |
| 1                 | 0                  | 1.037     |
| 2                 | 2                  | 1.051     |
| 3                 | 4                  | 1.048     |
| 4                 | 7                  | 1.026     |
| 5                 | 14                 | 0.984     |
| 6                 | 18                 | 0.970     |
| 7                 | 60                 | 0.957     |

### T3S3 N° 26

| Punto de análisis | Profundidades (in) | T3S3 N°26 Tridem Súper Simple |
|-------------------|--------------------|-------------------------------|
|                   |                    | Deflexión (0.01mm)            |
| 1                 | 0                  | 115.49                        |
| 2                 | 2                  | 115.29                        |
| 3                 | 4                  | 113.89                        |
| 4                 | 7                  | 106.53                        |
| 5                 | 14                 | 91.72                         |
| 6                 | 18                 | 84.84                         |
| 7                 | 60                 | 46.89                         |

| Punto de análisis | Profundidades (in) | T3S3 N°26 Tridem Convencional |
|-------------------|--------------------|-------------------------------|
|                   |                    | Deflexión (0.01mm)            |
| 1                 | 0                  | 111.71                        |
| 2                 | 2                  | 110.74                        |
| 3                 | 4                  | 109.80                        |
| 4                 | 7                  | 104.95                        |
| 5                 | 14                 | 94.03                         |
| 6                 | 18                 | 88.09                         |
| 7                 | 60                 | 49.00                         |

| Punto de análisis | Profundidades (in) | Relación  |
|-------------------|--------------------|-----------|
|                   |                    | Deflexión |
| 1                 | 0                  | 1.034     |
| 2                 | 2                  | 1.041     |
| 3                 | 4                  | 1.037     |
| 4                 | 7                  | 1.015     |
| 5                 | 14                 | 0.975     |
| 6                 | 18                 | 0.963     |
| 7                 | 60                 | 0.957     |

### T3S3 N° 27

| Punto de análisis | Profundidades (in) | T3S3 N°27 Tridem Súper Simple |
|-------------------|--------------------|-------------------------------|
|                   |                    | Deflexión (0.01mm)            |
| 1                 | 0                  | 123.22                        |
| 2                 | 2                  | 123.19                        |
| 3                 | 4                  | 121.74                        |
| 4                 | 7                  | 113.97                        |
| 5                 | 14                 | 98.17                         |
| 6                 | 18                 | 90.81                         |
| 7                 | 60                 | 50.52                         |

| Punto de análisis | Profundidades (in) | T3S3 N°27 Tridem Convencional |
|-------------------|--------------------|-------------------------------|
|                   |                    | Deflexión (0.01mm)            |
| 1                 | 0                  | 119.23                        |
| 2                 | 2                  | 117.60                        |
| 3                 | 4                  | 116.64                        |
| 4                 | 7                  | 111.53                        |
| 5                 | 14                 | 100.10                        |
| 6                 | 18                 | 93.90                         |
| 7                 | 60                 | 52.83                         |

| Punto de análisis | Profundidades (in) | Relación  |
|-------------------|--------------------|-----------|
|                   |                    | Deflexión |
| 1                 | 0                  | 1.033     |
| 2                 | 2                  | 1.048     |
| 3                 | 4                  | 1.044     |
| 4                 | 7                  | 1.022     |
| 5                 | 14                 | 0.981     |
| 6                 | 18                 | 0.967     |
| 7                 | 60                 | 0.956     |

### T3S3 N° 28

| Punto de análisis | Profundidades (in) | T3S3 N°28 Tridem Súper Simple |
|-------------------|--------------------|-------------------------------|
|                   |                    | Deflexión (0.01mm)            |
| 1                 | 0                  | 121.56                        |
| 2                 | 2                  | 121.54                        |
| 3                 | 4                  | 120.09                        |
| 4                 | 7                  | 112.42                        |
| 5                 | 14                 | 96.82                         |
| 6                 | 18                 | 89.54                         |
| 7                 | 60                 | 49.76                         |

| Punto de análisis | Profundidades (in) | T3S3 N°28 Tridem Convencional |
|-------------------|--------------------|-------------------------------|
|                   |                    | Deflexión (0.01mm)            |
| 1                 | 0                  | 117.83                        |
| 2                 | 2                  | 116.21                        |
| 3                 | 4                  | 115.27                        |
| 4                 | 7                  | 110.21                        |
| 5                 | 14                 | 98.88                         |
| 6                 | 18                 | 92.74                         |
| 7                 | 60                 | 52.04                         |

| Punto de análisis | Profundidades (in) | Relación  |
|-------------------|--------------------|-----------|
|                   |                    | Deflexión |
| 1                 | 0                  | 1.032     |
| 2                 | 2                  | 1.046     |
| 3                 | 4                  | 1.042     |
| 4                 | 7                  | 1.020     |
| 5                 | 14                 | 0.979     |
| 6                 | 18                 | 0.965     |
| 7                 | 60                 | 0.956     |

### T3S3 N° 29

| Punto de análisis | Profundidades (in) | T3S3 N°29 Tridem Súper Simple |
|-------------------|--------------------|-------------------------------|
|                   |                    | Deflexión (0.01mm)            |
| 1                 | 0                  | 113.87                        |
| 2                 | 2                  | 113.67                        |
| 3                 | 4                  | 112.27                        |
| 4                 | 7                  | 105.00                        |
| 5                 | 14                 | 90.40                         |
| 6                 | 18                 | 83.59                         |
| 7                 | 60                 | 46.13                         |

| Punto de análisis | Profundidades (in) | T3S3 N°29 Tridem Convencional |
|-------------------|--------------------|-------------------------------|
|                   |                    | Deflexión (0.01mm)            |
| 1                 | 0                  | 110.06                        |
| 2                 | 2                  | 109.30                        |
| 3                 | 4                  | 108.38                        |
| 4                 | 7                  | 103.56                        |
| 5                 | 14                 | 92.76                         |
| 6                 | 18                 | 86.89                         |
| 7                 | 60                 | 48.21                         |

| Punto de análisis | Profundidades (in) | Relación  |
|-------------------|--------------------|-----------|
|                   |                    | Deflexión |
| 1                 | 0                  | 1.035     |
| 2                 | 2                  | 1.040     |
| 3                 | 4                  | 1.036     |
| 4                 | 7                  | 1.014     |
| 5                 | 14                 | 0.975     |
| 6                 | 18                 | 0.962     |
| 7                 | 60                 | 0.957     |

### T3S3 N° 30

| Punto de análisis | Profundidades (in) | T3S3 N°30 Tridem Súper Simple |
|-------------------|--------------------|-------------------------------|
|                   |                    | Deflexión (0.01mm)            |
| 1                 | 0                  | 103.56                        |
| 2                 | 2                  | 103.15                        |
| 3                 | 4                  | 101.80                        |
| 4                 | 7                  | 95.07                         |
| 5                 | 14                 | 81.84                         |
| 6                 | 18                 | 75.67                         |
| 7                 | 60                 | 41.30                         |

| Punto de análisis | Profundidades (in) | T3S3 N°30 Tridem Convencional |
|-------------------|--------------------|-------------------------------|
|                   |                    | Deflexión (0.01mm)            |
| 1                 | 0                  | 100.48                        |
| 2                 | 2                  | 99.75                         |
| 3                 | 4                  | 98.86                         |
| 4                 | 7                  | 94.36                         |
| 5                 | 14                 | 84.30                         |
| 6                 | 18                 | 78.82                         |
| 7                 | 60                 | 42.95                         |

| Punto de análisis | Profundidades (in) | Relación  |
|-------------------|--------------------|-----------|
|                   |                    | Deflexión |
| 1                 | 0                  | 1.031     |
| 2                 | 2                  | 1.034     |
| 3                 | 4                  | 1.030     |
| 4                 | 7                  | 1.008     |
| 5                 | 14                 | 0.971     |
| 6                 | 18                 | 0.960     |
| 7                 | 60                 | 0.962     |



### T3S3 N° 31

| Punto de análisis | Profundidades (in) | T3S3 N°31 Tridem Súper Simple |
|-------------------|--------------------|-------------------------------|
|                   |                    | Deflexión (0.01mm)            |
| 1                 | 0                  | 117.93                        |
| 2                 | 2                  | 117.68                        |
| 3                 | 4                  | 116.21                        |
| 4                 | 7                  | 108.59                        |
| 5                 | 14                 | 93.50                         |
| 6                 | 18                 | 86.44                         |
| 7                 | 60                 | 47.45                         |

| Punto de análisis | Profundidades (in) | T3S3 N°31 Tridem Convencional |
|-------------------|--------------------|-------------------------------|
|                   |                    | Deflexión (0.01mm)            |
| 1                 | 0                  | 113.18                        |
| 2                 | 2                  | 112.32                        |
| 3                 | 4                  | 111.35                        |
| 4                 | 7                  | 106.38                        |
| 5                 | 14                 | 95.20                         |
| 6                 | 18                 | 89.13                         |
| 7                 | 60                 | 49.20                         |

| Punto de análisis | Profundidades (in) | Relación  |
|-------------------|--------------------|-----------|
|                   |                    | Deflexión |
| 1                 | 0                  | 1.042     |
| 2                 | 2                  | 1.048     |
| 3                 | 4                  | 1.044     |
| 4                 | 7                  | 1.021     |
| 5                 | 14                 | 0.982     |
| 6                 | 18                 | 0.970     |
| 7                 | 60                 | 0.964     |

### T3S3 N° 32

| Punto de análisis | Profundidades (in) | T3S3 N°32 Tridem Súper Simple |
|-------------------|--------------------|-------------------------------|
|                   |                    | Deflexión (0.01mm)            |
| 1                 | 0                  | 116.97                        |
| 2                 | 2                  | 116.92                        |
| 3                 | 4                  | 115.52                        |
| 4                 | 7                  | 108.05                        |
| 5                 | 14                 | 93.07                         |
| 6                 | 18                 | 86.06                         |
| 7                 | 60                 | 47.63                         |

| Punto de análisis | Profundidades (in) | T3S3 N°32 Tridem Convencional |
|-------------------|--------------------|-------------------------------|
|                   |                    | Deflexión (0.01mm)            |
| 1                 | 0                  | 113.03                        |
| 2                 | 2                  | 112.01                        |
| 3                 | 4                  | 111.10                        |
| 4                 | 7                  | 106.17                        |
| 5                 | 14                 | 95.17                         |
| 6                 | 18                 | 89.18                         |
| 7                 | 60                 | 49.71                         |

| Punto de análisis | Profundidades (in) | Relación  |
|-------------------|--------------------|-----------|
|                   |                    | Deflexión |
| 1                 | 0                  | 1.035     |
| 2                 | 2                  | 1.044     |
| 3                 | 4                  | 1.040     |
| 4                 | 7                  | 1.018     |
| 5                 | 14                 | 0.978     |
| 6                 | 18                 | 0.965     |
| 7                 | 60                 | 0.958     |

### T3S3 N° 33

| Punto de análisis | Profundidades (in) | T3S3 N°33 Tridem Súper Simple |
|-------------------|--------------------|-------------------------------|
|                   |                    | Deflexión (0.01mm)            |
| 1                 | 0                  | 118.62                        |
| 2                 | 2                  | 118.57                        |
| 3                 | 4                  | 117.14                        |
| 4                 | 7                  | 109.60                        |
| 5                 | 14                 | 94.39                         |
| 6                 | 18                 | 87.30                         |
| 7                 | 60                 | 48.39                         |

| Punto de análisis | Profundidades (in) | T3S3 N°33 Tridem Convencional |
|-------------------|--------------------|-------------------------------|
|                   |                    | Deflexión (0.01mm)            |
| 1                 | 0                  | 115.14                        |
| 2                 | 2                  | 113.56                        |
| 3                 | 4                  | 112.62                        |
| 4                 | 7                  | 107.67                        |
| 5                 | 14                 | 96.55                         |
| 6                 | 18                 | 90.50                         |
| 7                 | 60                 | 50.57                         |

| Punto de análisis | Profundidades (in) | Relación  |
|-------------------|--------------------|-----------|
|                   |                    | Deflexión |
| 1                 | 0                  | 1.030     |
| 2                 | 2                  | 1.044     |
| 3                 | 4                  | 1.040     |
| 4                 | 7                  | 1.018     |
| 5                 | 14                 | 0.978     |
| 6                 | 18                 | 0.965     |
| 7                 | 60                 | 0.957     |

### T3S3 N° 34

| Punto de análisis | Profundidades (in) | T3S3 N°34 Tridem Súper Simple |
|-------------------|--------------------|-------------------------------|
|                   |                    | Deflexión (0.01mm)            |
| 1                 | 0                  | 132.26                        |
| 2                 | 2                  | 132.21                        |
| 3                 | 4                  | 130.66                        |
| 4                 | 7                  | 122.30                        |
| 5                 | 14                 | 105.31                        |
| 6                 | 18                 | 97.41                         |
| 7                 | 60                 | 54.10                         |

| Punto de análisis | Profundidades (in) | T3S3 N°34 Tridem Convencional |
|-------------------|--------------------|-------------------------------|
|                   |                    | Deflexión (0.01mm)            |
| 1                 | 0                  | 126.80                        |
| 2                 | 2                  | 125.02                        |
| 3                 | 4                  | 124.03                        |
| 4                 | 7                  | 118.62                        |
| 5                 | 14                 | 106.45                        |
| 6                 | 18                 | 99.87                         |
| 7                 | 60                 | 56.26                         |

| Punto de análisis | Profundidades (in) | Relación  |
|-------------------|--------------------|-----------|
|                   |                    | Deflexión |
| 1                 | 0                  | 1.043     |
| 2                 | 2                  | 1.057     |
| 3                 | 4                  | 1.053     |
| 4                 | 7                  | 1.031     |
| 5                 | 14                 | 0.989     |
| 6                 | 18                 | 0.975     |
| 7                 | 60                 | 0.962     |

### T3S3 N° 35

| Punto de análisis | Profundidades (in) | T3S3 N°35 Tridem Súper Simple |
|-------------------|--------------------|-------------------------------|
|                   |                    | Deflexión (0.01mm)            |
| 1                 | 0                  | 117.60                        |
| 2                 | 2                  | 117.35                        |
| 3                 | 4                  | 115.87                        |
| 4                 | 7                  | 108.25                        |
| 5                 | 14                 | 93.19                         |
| 6                 | 18                 | 86.18                         |
| 7                 | 60                 | 47.27                         |

| Punto de análisis | Profundidades (in) | T3S3 N°35 Tridem Convencional |
|-------------------|--------------------|-------------------------------|
|                   |                    | Deflexión (0.01mm)            |
| 1                 | 0                  | 112.98                        |
| 2                 | 2                  | 112.09                        |
| 3                 | 4                  | 111.13                        |
| 4                 | 7                  | 106.17                        |
| 5                 | 14                 | 95.00                         |
| 6                 | 18                 | 88.93                         |
| 7                 | 60                 | 49.07                         |

| Punto de análisis | Profundidades (in) | Relación  |
|-------------------|--------------------|-----------|
|                   |                    | Deflexión |
| 1                 | 0                  | 1.041     |
| 2                 | 2                  | 1.047     |
| 3                 | 4                  | 1.043     |
| 4                 | 7                  | 1.020     |
| 5                 | 14                 | 0.981     |
| 6                 | 18                 | 0.969     |
| 7                 | 60                 | 0.963     |

### T3S3 N° 36

| Punto de análisis | Profundidades (in) | T3S3 N°36 Tridem Súper Simple |
|-------------------|--------------------|-------------------------------|
|                   |                    | Deflexión (0.01mm)            |
| 1                 | 0                  | 126.01                        |
| 2                 | 2                  | 125.78                        |
| 3                 | 4                  | 124.23                        |
| 4                 | 7                  | 116.21                        |
| 5                 | 14                 | 100.08                        |
| 6                 | 18                 | 92.53                         |
| 7                 | 60                 | 51.16                         |

| Punto de análisis | Profundidades (in) | T3S3 N°36 Tridem Convencional |
|-------------------|--------------------|-------------------------------|
|                   |                    | Deflexión (0.01mm)            |
| 1                 | 0                  | 121.08                        |
| 2                 | 2                  | 119.46                        |
| 3                 | 4                  | 118.47                        |
| 4                 | 7                  | 113.26                        |
| 5                 | 14                 | 101.52                        |
| 6                 | 18                 | 95.17                         |
| 7                 | 60                 | 53.14                         |

| Punto de análisis | Profundidades (in) | Relación  |
|-------------------|--------------------|-----------|
|                   |                    | Deflexión |
| 1                 | 0                  | 1.041     |
| 2                 | 2                  | 1.053     |
| 3                 | 4                  | 1.049     |
| 4                 | 7                  | 1.026     |
| 5                 | 14                 | 0.986     |
| 6                 | 18                 | 0.972     |
| 7                 | 60                 | 0.963     |

### T3S3 N° 37

| Punto de análisis | Profundidades (in) | T3S3 N°37 Tridem Súper Simple |
|-------------------|--------------------|-------------------------------|
|                   |                    | Deflexión (0.01mm)            |
| 1                 | 0                  | 107.70                        |
| 2                 | 2                  | 107.42                        |
| 3                 | 4                  | 105.99                        |
| 4                 | 7                  | 98.93                         |
| 5                 | 14                 | 85.14                         |
| 6                 | 18                 | 78.69                         |
| 7                 | 60                 | 42.75                         |

| Punto de análisis | Profundidades (in) | T3S3 N°37 Tridem Convencional |
|-------------------|--------------------|-------------------------------|
|                   |                    | Deflexión (0.01mm)            |
| 1                 | 0                  | 102.51                        |
| 2                 | 2                  | 101.73                        |
| 3                 | 4                  | 100.84                        |
| 4                 | 7                  | 96.29                         |
| 5                 | 14                 | 86.06                         |
| 6                 | 18                 | 80.49                         |
| 7                 | 60                 | 44.04                         |

| Punto de análisis | Profundidades (in) | Relación  |
|-------------------|--------------------|-----------|
|                   |                    | Deflexión |
| 1                 | 0                  | 1.051     |
| 2                 | 2                  | 1.056     |
| 3                 | 4                  | 1.051     |
| 4                 | 7                  | 1.027     |
| 5                 | 14                 | 0.989     |
| 6                 | 18                 | 0.978     |
| 7                 | 60                 | 0.971     |

### T3S3 N° 38

| Punto de análisis | Profundidades (in) | T3S3 N°38 Tridem Súper Simple |
|-------------------|--------------------|-------------------------------|
|                   |                    | Deflexión (0.01mm)            |
| 1                 | 0                  | 121.23                        |
| 2                 | 2                  | 121.21                        |
| 3                 | 4                  | 119.76                        |
| 4                 | 7                  | 112.09                        |
| 5                 | 14                 | 96.55                         |
| 6                 | 18                 | 89.28                         |
| 7                 | 60                 | 49.61                         |

| Punto de análisis | Profundidades (in) | T3S3 N°38 Tridem Convencional |
|-------------------|--------------------|-------------------------------|
|                   |                    | Deflexión (0.01mm)            |
| 1                 | 0                  | 117.50                        |
| 2                 | 2                  | 115.87                        |
| 3                 | 4                  | 114.94                        |
| 4                 | 7                  | 109.91                        |
| 5                 | 14                 | 98.58                         |
| 6                 | 18                 | 92.46                         |
| 7                 | 60                 | 51.87                         |

| Punto de análisis | Profundidades (in) | Relación  |
|-------------------|--------------------|-----------|
|                   |                    | Deflexión |
| 1                 | 0                  | 1.032     |
| 2                 | 2                  | 1.046     |
| 3                 | 4                  | 1.042     |
| 4                 | 7                  | 1.020     |
| 5                 | 14                 | 0.979     |
| 6                 | 18                 | 0.966     |
| 7                 | 60                 | 0.956     |

### T3S3 N° 39

| Punto de análisis | Profundidades (in) | T3S3 N°39 Tridem Súper Simple |
|-------------------|--------------------|-------------------------------|
|                   |                    | Deflexión (0.01mm)            |
| 1                 | 0                  | 113.87                        |
| 2                 | 2                  | 113.67                        |
| 3                 | 4                  | 112.27                        |
| 4                 | 7                  | 105.00                        |
| 5                 | 14                 | 90.40                         |
| 6                 | 18                 | 83.59                         |
| 7                 | 60                 | 46.13                         |

| Punto de análisis | Profundidades (in) | T3S3 N°39 Tridem Convencional |
|-------------------|--------------------|-------------------------------|
|                   |                    | Deflexión (0.01mm)            |
| 1                 | 0                  | 111.96                        |
| 2                 | 2                  | 111.07                        |
| 3                 | 4                  | 110.13                        |
| 4                 | 7                  | 105.21                        |
| 5                 | 14                 | 94.11                         |
| 6                 | 18                 | 88.09                         |
| 7                 | 60                 | 48.51                         |

| Punto de análisis | Profundidades (in) | Relación  |
|-------------------|--------------------|-----------|
|                   |                    | Deflexión |
| 1                 | 0                  | 1.017     |
| 2                 | 2                  | 1.023     |
| 3                 | 4                  | 1.019     |
| 4                 | 7                  | 0.998     |
| 5                 | 14                 | 0.961     |
| 6                 | 18                 | 0.949     |
| 7                 | 60                 | 0.951     |

### T3S3 N° 40

| Punto de análisis | Profundidades (in) | T3S3 N°40 Tridem Súper Simple |
|-------------------|--------------------|-------------------------------|
|                   |                    | Deflexión (0.01mm)            |
| 1                 | 0                  | 122.56                        |
| 2                 | 2                  | 122.53                        |
| 3                 | 4                  | 121.08                        |
| 4                 | 7                  | 113.36                        |
| 5                 | 14                 | 97.64                         |
| 6                 | 18                 | 90.30                         |
| 7                 | 60                 | 50.22                         |

| Punto de análisis | Profundidades (in) | T3S3 N°40 Tridem Convencional |
|-------------------|--------------------|-------------------------------|
|                   |                    | Deflexión (0.01mm)            |
| 1                 | 0                  | 118.59                        |
| 2                 | 2                  | 116.97                        |
| 3                 | 4                  | 116.00                        |
| 4                 | 7                  | 110.92                        |
| 5                 | 14                 | 99.54                         |
| 6                 | 18                 | 93.35                         |
| 7                 | 60                 | 52.48                         |

| Punto de análisis | Profundidades (in) | Relación  |
|-------------------|--------------------|-----------|
|                   |                    | Deflexión |
| 1                 | 0                  | 1.033     |
| 2                 | 2                  | 1.048     |
| 3                 | 4                  | 1.044     |
| 4                 | 7                  | 1.022     |
| 5                 | 14                 | 0.981     |
| 6                 | 18                 | 0.967     |
| 7                 | 60                 | 0.957     |

### T3S3 N° 41

| Punto de análisis | Profundidades (in) | T3S3 N°41 Tridem Súper Simple |
|-------------------|--------------------|-------------------------------|
|                   |                    | Deflexión (0.01mm)            |
| 1                 | 0                  | 125.22                        |
| 2                 | 2                  | 125.20                        |
| 3                 | 4                  | 123.72                        |
| 4                 | 7                  | 115.87                        |
| 5                 | 14                 | 99.80                         |
| 6                 | 18                 | 92.30                         |
| 7                 | 60                 | 51.44                         |

| Punto de análisis | Profundidades (in) | T3S3 N°41 Tridem Convencional |
|-------------------|--------------------|-------------------------------|
|                   |                    | Deflexión (0.01mm)            |
| 1                 | 0                  | 121.16                        |
| 2                 | 2                  | 119.46                        |
| 3                 | 4                  | 118.49                        |
| 4                 | 7                  | 113.33                        |
| 5                 | 14                 | 101.75                        |
| 6                 | 18                 | 95.48                         |
| 7                 | 60                 | 53.87                         |

| Punto de análisis | Profundidades (in) | Relación  |
|-------------------|--------------------|-----------|
|                   |                    | Deflexión |
| 1                 | 0                  | 1.034     |
| 2                 | 2                  | 1.048     |
| 3                 | 4                  | 1.044     |
| 4                 | 7                  | 1.022     |
| 5                 | 14                 | 0.981     |
| 6                 | 18                 | 0.967     |
| 7                 | 60                 | 0.955     |

### T3S3 N° 42

| Punto de análisis | Profundidades (in) | T3S3 N°42 Tridem Super Simple |
|-------------------|--------------------|-------------------------------|
|                   |                    | Deflexión (0.01mm)            |
| 1                 | 0                  | 130.45                        |
| 2                 | 2                  | 130.43                        |
| 3                 | 4                  | 128.85                        |
| 4                 | 7                  | 120.60                        |
| 5                 | 14                 | 103.86                        |
| 6                 | 18                 | 96.04                         |
| 7                 | 60                 | 53.29                         |

| Punto de análisis | Profundidades (in) | T3S3 N°42 Tridem Convencional |
|-------------------|--------------------|-------------------------------|
|                   |                    | Deflexión (0.01mm)            |
| 1                 | 0                  | 123.42                        |
| 2                 | 2                  | 121.67                        |
| 3                 | 4                  | 120.70                        |
| 4                 | 7                  | 115.47                        |
| 5                 | 14                 | 103.71                        |
| 6                 | 18                 | 97.36                         |
| 7                 | 60                 | 55.12                         |

| Punto de análisis | Profundidades (in) | Relación  |
|-------------------|--------------------|-----------|
|                   |                    | Deflexión |
| 1                 | 0                  | 1.057     |
| 2                 | 2                  | 1.072     |
| 3                 | 4                  | 1.068     |
| 4                 | 7                  | 1.044     |
| 5                 | 14                 | 1.001     |
| 6                 | 18                 | 0.986     |
| 7                 | 60                 | 0.967     |

### T3S3 N° 43

| Punto de análisis | Profundidades (in) | T3S3 N°43 Tridem Super Simple |
|-------------------|--------------------|-------------------------------|
|                   |                    | Deflexión (0.01mm)            |
| 1                 | 0                  | 132.61                        |
| 2                 | 2                  | 132.59                        |
| 3                 | 4                  | 131.01                        |
| 4                 | 7                  | 122.63                        |
| 5                 | 14                 | 105.61                        |
| 6                 | 18                 | 97.69                         |
| 7                 | 60                 | 54.28                         |

| Punto de análisis | Profundidades (in) | T3S3 N°43 Tridem Convencional |
|-------------------|--------------------|-------------------------------|
|                   |                    | Deflexión (0.01mm)            |
| 1                 | 0                  | 125.22                        |
| 2                 | 2                  | 123.44                        |
| 3                 | 4                  | 122.45                        |
| 4                 | 7                  | 117.17                        |
| 5                 | 14                 | 105.28                        |
| 6                 | 18                 | 98.86                         |
| 7                 | 60                 | 56.13                         |

| Punto de análisis | Profundidades (in) | Relación  |
|-------------------|--------------------|-----------|
|                   |                    | Deflexión |
| 1                 | 0                  | 1.059     |
| 2                 | 2                  | 1.074     |
| 3                 | 4                  | 1.070     |
| 4                 | 7                  | 1.047     |
| 5                 | 14                 | 1.003     |
| 6                 | 18                 | 0.988     |
| 7                 | 60                 | 0.967     |

### T3S3 N° 44

| Punto de análisis | Profundidades (in) | T3S3 N°44 Tridem Super Simple |
|-------------------|--------------------|-------------------------------|
|                   |                    | Deflexión (0.01mm)            |
| 1                 | 0                  | 134.65                        |
| 2                 | 2                  | 134.67                        |
| 3                 | 4                  | 133.15                        |
| 4                 | 7                  | 124.84                        |
| 5                 | 14                 | 107.57                        |
| 6                 | 18                 | 99.49                         |
| 7                 | 60                 | 55.83                         |

| Punto de análisis | Profundidades (in) | T3S3 N°44 Tridem Convencional |
|-------------------|--------------------|-------------------------------|
|                   |                    | Deflexión (0.01mm)            |
| 1                 | 0                  | 129.46                        |
| 2                 | 2                  | 127.58                        |
| 3                 | 4                  | 126.59                        |
| 4                 | 7                  | 121.18                        |
| 5                 | 14                 | 108.97                        |
| 6                 | 18                 | 102.36                        |
| 7                 | 60                 | 58.50                         |

| Punto de análisis | Profundidades (in) | Relación  |
|-------------------|--------------------|-----------|
|                   |                    | Deflexión |
| 1                 | 0                  | 1.040     |
| 2                 | 2                  | 1.056     |
| 3                 | 4                  | 1.052     |
| 4                 | 7                  | 1.030     |
| 5                 | 14                 | 0.987     |
| 6                 | 18                 | 0.972     |
| 7                 | 60                 | 0.954     |

### T3S3 N° 45

| Punto de análisis | Profundidades (in) | T3S3 N°45 Tridem Súper Simple |
|-------------------|--------------------|-------------------------------|
|                   |                    | Deflexión (0.01mm)            |
| 1                 | 0                  | 130.10                        |
| 2                 | 2                  | 130.05                        |
| 3                 | 4                  | 128.50                        |
| 4                 | 7                  | 120.24                        |
| 5                 | 14                 | 103.56                        |
| 6                 | 18                 | 95.78                         |
| 7                 | 60                 | 53.11                         |

| Punto de análisis | Profundidades (in) | T3S3 N°45 Tridem Convencional |
|-------------------|--------------------|-------------------------------|
|                   |                    | Deflexión (0.01mm)            |
| 1                 | 0                  | 125.15                        |
| 2                 | 2                  | 123.42                        |
| 3                 | 4                  | 122.40                        |
| 4                 | 7                  | 117.04                        |
| 5                 | 14                 | 105.03                        |
| 6                 | 18                 | 98.50                         |
| 7                 | 60                 | 55.37                         |

| Punto de análisis | Profundidades (in) | Relación  |
|-------------------|--------------------|-----------|
|                   |                    | Deflexión |
| 1                 | 0                  | 1.040     |
| 2                 | 2                  | 1.054     |
| 3                 | 4                  | 1.050     |
| 4                 | 7                  | 1.027     |
| 5                 | 14                 | 0.986     |
| 6                 | 18                 | 0.972     |
| 7                 | 60                 | 0.959     |

### T3S3 N° 46

| Punto de análisis | Profundidades (in) | T3S3 N°46 Tridem Super Simple |
|-------------------|--------------------|-------------------------------|
|                   |                    | Deflexión (0.01mm)            |
| 1                 | 0                  | 123.88                        |
| 2                 | 2                  | 123.65                        |
| 3                 | 4                  | 122.12                        |
| 4                 | 7                  | 114.20                        |
| 5                 | 14                 | 98.32                         |
| 6                 | 18                 | 90.93                         |
| 7                 | 60                 | 50.17                         |

| Punto de análisis | Profundidades (in) | T3S3 N°46 Tridem Convencional |
|-------------------|--------------------|-------------------------------|
|                   |                    | Deflexión (0.01mm)            |
| 1                 | 0                  | 118.82                        |
| 2                 | 2                  | 117.78                        |
| 3                 | 4                  | 116.79                        |
| 4                 | 7                  | 111.63                        |
| 5                 | 14                 | 100.05                        |
| 6                 | 18                 | 93.75                         |
| 7                 | 60                 | 52.22                         |

| Punto de análisis | Profundidades (in) | Relación  |
|-------------------|--------------------|-----------|
|                   |                    | Deflexión |
| 1                 | 0                  | 1.043     |
| 2                 | 2                  | 1.050     |
| 3                 | 4                  | 1.046     |
| 4                 | 7                  | 1.023     |
| 5                 | 14                 | 0.983     |
| 6                 | 18                 | 0.970     |
| 7                 | 60                 | 0.961     |

### T3S3 N° 47

| Punto de análisis | Profundidades (in) | T3S3 N°47 Tridem Super Simple |
|-------------------|--------------------|-------------------------------|
|                   |                    | Deflexión (0.01mm)            |
| 1                 | 0                  | 127.61                        |
| 2                 | 2                  | 127.56                        |
| 3                 | 4                  | 126.01                        |
| 4                 | 7                  | 117.88                        |
| 5                 | 14                 | 101.52                        |
| 6                 | 18                 | 93.88                         |
| 7                 | 60                 | 51.97                         |

| Punto de análisis | Profundidades (in) | T3S3 N°47 Tridem Convencional |
|-------------------|--------------------|-------------------------------|
|                   |                    | Deflexión (0.01mm)            |
| 1                 | 0                  | 120.73                        |
| 2                 | 2                  | 119.05                        |
| 3                 | 4                  | 118.08                        |
| 4                 | 7                  | 112.93                        |
| 5                 | 14                 | 101.37                        |
| 6                 | 18                 | 95.12                         |
| 7                 | 60                 | 53.64                         |

| Punto de análisis | Profundidades (in) | Relación  |
|-------------------|--------------------|-----------|
|                   |                    | Deflexión |
| 1                 | 0                  | 1.057     |
| 2                 | 2                  | 1.071     |
| 3                 | 4                  | 1.067     |
| 4                 | 7                  | 1.044     |
| 5                 | 14                 | 1.002     |
| 6                 | 18                 | 0.987     |
| 7                 | 60                 | 0.969     |

### T3S3 N° 48

| Punto de análisis | Profundidades (in) | T3S3 N°48 Tridem Super Simple |
|-------------------|--------------------|-------------------------------|
|                   |                    | Deflexión (0.01mm)            |
| 1                 | 0                  | 126.01                        |
| 2                 | 2                  | 125.78                        |
| 3                 | 4                  | 124.23                        |
| 4                 | 7                  | 116.21                        |
| 5                 | 14                 | 100.08                        |
| 6                 | 18                 | 92.53                         |
| 7                 | 60                 | 51.16                         |

| Punto de análisis | Profundidades (in) | T3S3 N°48 Tridem Convencional |
|-------------------|--------------------|-------------------------------|
|                   |                    | Deflexión (0.01mm)            |
| 1                 | 0                  | 121.06                        |
| 2                 | 2                  | 119.43                        |
| 3                 | 4                  | 118.44                        |
| 4                 | 7                  | 113.21                        |
| 5                 | 14                 | 101.50                        |
| 6                 | 18                 | 95.12                         |
| 7                 | 60                 | 53.14                         |

| Punto de análisis | Profundidades (in) | Relación <sup>o</sup> |
|-------------------|--------------------|-----------------------|
|                   |                    | Deflexión             |
| 1                 | 0                  | 1.041                 |
| 2                 | 2                  | 1.053                 |
| 3                 | 4                  | 1.049                 |
| 4                 | 7                  | 1.026                 |
| 5                 | 14                 | 0.986                 |
| 6                 | 18                 | 0.973                 |
| 7                 | 60                 | 0.963                 |

### T3S3 N° 49

| Punto de análisis | Profundidades (in) | T3S3 N°49 Tridem Super Simple |
|-------------------|--------------------|-------------------------------|
|                   |                    | Deflexión (0.01mm)            |
| 1                 | 0                  | 113.56                        |
| 2                 | 2                  | 113.33                        |
| 3                 | 4                  | 111.96                        |
| 4                 | 7                  | 104.70                        |
| 5                 | 14                 | 90.14                         |
| 6                 | 18                 | 83.36                         |
| 7                 | 60                 | 45.97                         |

| Punto de análisis | Profundidades (in) | T3S3 N°49 Tridem Convencional |
|-------------------|--------------------|-------------------------------|
|                   |                    | Deflexión (0.01mm)            |
| 1                 | 0                  | 109.80                        |
| 2                 | 2                  | 108.94                        |
| 3                 | 4                  | 108.03                        |
| 4                 | 7                  | 103.23                        |
| 5                 | 14                 | 92.43                         |
| 6                 | 18                 | 86.56                         |
| 7                 | 60                 | 48.01                         |

| Punto de análisis | Profundidades (in) | Relación  |
|-------------------|--------------------|-----------|
|                   |                    | Deflexión |
| 1                 | 0                  | 1.034     |
| 2                 | 2                  | 1.040     |
| 3                 | 4                  | 1.036     |
| 4                 | 7                  | 1.014     |
| 5                 | 14                 | 0.975     |
| 6                 | 18                 | 0.963     |
| 7                 | 60                 | 0.958     |

### T3S3 N° 50

| Punto de análisis | Profundidades (in) | T3S3 N°50 Tridem Super Simple |
|-------------------|--------------------|-------------------------------|
|                   |                    | Deflexión (0.01mm)            |
| 1                 | 0                  | 122.56                        |
| 2                 | 2                  | 122.53                        |
| 3                 | 4                  | 121.08                        |
| 4                 | 7                  | 113.36                        |
| 5                 | 14                 | 97.64                         |
| 6                 | 18                 | 90.30                         |
| 7                 | 60                 | 50.22                         |

| Punto de análisis | Profundidades (in) | T3S3 N°50 Tridem Convencional |
|-------------------|--------------------|-------------------------------|
|                   |                    | Deflexión (0.01mm)            |
| 1                 | 0                  | 118.59                        |
| 2                 | 2                  | 116.97                        |
| 3                 | 4                  | 116.00                        |
| 4                 | 7                  | 110.92                        |
| 5                 | 14                 | 99.54                         |
| 6                 | 18                 | 93.35                         |
| 7                 | 60                 | 52.48                         |

| Punto de análisis | Profundidades (in) | Relación  |
|-------------------|--------------------|-----------|
|                   |                    | Deflexión |
| 1                 | 0                  | 1.033     |
| 2                 | 2                  | 1.048     |
| 3                 | 4                  | 1.044     |
| 4                 | 7                  | 1.022     |
| 5                 | 14                 | 0.981     |
| 6                 | 18                 | 0.967     |
| 7                 | 60                 | 0.957     |

### T3S3 N° 51

| Punto de análisis | Profundidades (in) | T3S3 N°51 Tridem Super Simple |
|-------------------|--------------------|-------------------------------|
|                   |                    | Deflexión (0.01mm)            |
| 1                 | 0                  | 128.32                        |
| 2                 | 2                  | 128.27                        |
| 3                 | 4                  | 126.72                        |
| 4                 | 7                  | 118.57                        |
| 5                 | 14                 | 102.11                        |
| 6                 | 18                 | 94.41                         |
| 7                 | 60                 | 52.30                         |

| Punto de análisis | Profundidades (in) | T3S3 N°51 Tridem Convencional |
|-------------------|--------------------|-------------------------------|
|                   |                    | Deflexión (0.01mm)            |
| 1                 | 0                  | 123.29                        |
| 2                 | 2                  | 121.62                        |
| 3                 | 4                  | 120.60                        |
| 4                 | 7                  | 115.32                        |
| 5                 | 14                 | 103.43                        |
| 6                 | 18                 | 96.98                         |
| 7                 | 60                 | 54.36                         |

| Punto de análisis | Profundidades (in) | Relación  |
|-------------------|--------------------|-----------|
|                   |                    | Deflexión |
| 1                 | 0                  | 1.041     |
| 2                 | 2                  | 1.055     |
| 3                 | 4                  | 1.051     |
| 4                 | 7                  | 1.028     |
| 5                 | 14                 | 0.987     |
| 6                 | 18                 | 0.974     |
| 7                 | 60                 | 0.962     |

### T3S3 N° 52

| Punto de análisis | Profundidades (in) | T3S3 N°52 Tridem Super Simple |
|-------------------|--------------------|-------------------------------|
|                   |                    | Deflexión (0.01mm)            |
| 1                 | 0                  | 120.73                        |
| 2                 | 2                  | 120.47                        |
| 3                 | 4                  | 118.97                        |
| 4                 | 7                  | 111.23                        |
| 5                 | 14                 | 95.76                         |
| 6                 | 18                 | 88.54                         |
| 7                 | 60                 | 48.72                         |

| Punto de análisis | Profundidades (in) | T3S3 N°52 Tridem Convencional |
|-------------------|--------------------|-------------------------------|
|                   |                    | Deflexión (0.01mm)            |
| 1                 | 0                  | 114.68                        |
| 2                 | 2                  | 113.13                        |
| 3                 | 4                  | 112.19                        |
| 4                 | 7                  | 107.24                        |
| 5                 | 14                 | 96.14                         |
| 6                 | 18                 | 90.12                         |
| 7                 | 60                 | 50.32                         |

| Punto de análisis | Profundidades (in) | Relación  |
|-------------------|--------------------|-----------|
|                   |                    | Deflexión |
| 1                 | 0                  | 1.053     |
| 2                 | 2                  | 1.065     |
| 3                 | 4                  | 1.060     |
| 4                 | 7                  | 1.037     |
| 5                 | 14                 | 0.996     |
| 6                 | 18                 | 0.983     |
| 7                 | 60                 | 0.968     |

### T3S3 N° 53

| Punto de análisis | Profundidades (in) | T3S3 N°53 Tridem Super Simple |
|-------------------|--------------------|-------------------------------|
|                   |                    | Deflexión (0.01mm)            |
| 1                 | 0                  | 119.58                        |
| 2                 | 2                  | 119.56                        |
| 3                 | 4                  | 118.11                        |
| 4                 | 7                  | 110.54                        |
| 5                 | 14                 | 95.20                         |
| 6                 | 18                 | 88.04                         |
| 7                 | 60                 | 48.84                         |

| Punto de análisis | Profundidades (in) | T3S3 N°53 Tridem Convencional |
|-------------------|--------------------|-------------------------------|
|                   |                    | Deflexión (0.01mm)            |
| 1                 | 0                  | 116.00                        |
| 2                 | 2                  | 114.43                        |
| 3                 | 4                  | 113.49                        |
| 4                 | 7                  | 108.51                        |
| 5                 | 14                 | 97.31                         |
| 6                 | 18                 | 91.21                         |
| 7                 | 60                 | 51.05                         |

| Punto de análisis | Profundidades (in) | Relación  |
|-------------------|--------------------|-----------|
|                   |                    | Deflexión |
| 1                 | 0                  | 1.031     |
| 2                 | 2                  | 1.045     |
| 3                 | 4                  | 1.041     |
| 4                 | 7                  | 1.019     |
| 5                 | 14                 | 0.978     |
| 6                 | 18                 | 0.965     |
| 7                 | 60                 | 0.957     |

### T3S3 N° 54

| Punto de análisis | Profundidades (in) | T3S3 N°54 Tridem Super Simple |
|-------------------|--------------------|-------------------------------|
|                   |                    | Deflexión (0.01mm)            |
| 1                 | 0                  | 116.43                        |
| 2                 | 2                  | 115.95                        |
| 3                 | 4                  | 114.48                        |
| 4                 | 7                  | 106.96                        |
| 5                 | 14                 | 92.08                         |
| 6                 | 18                 | 85.14                         |
| 7                 | 60                 | 46.63                         |

| Punto de análisis | Profundidades (in) | T3S3 N°54 Tridem Convencional |
|-------------------|--------------------|-------------------------------|
|                   |                    | Deflexión (0.01mm)            |
| 1                 | 0                  | 109.91                        |
| 2                 | 2                  | 109.04                        |
| 3                 | 4                  | 108.13                        |
| 4                 | 7                  | 103.33                        |
| 5                 | 14                 | 92.53                         |
| 6                 | 18                 | 86.66                         |
| 7                 | 60                 | 48.06                         |

| Punto de análisis | Profundidades (in) | Relación  |
|-------------------|--------------------|-----------|
|                   |                    | Deflexión |
| 1                 | 0                  | 1.059     |
| 2                 | 2                  | 1.063     |
| 3                 | 4                  | 1.059     |
| 4                 | 7                  | 1.035     |
| 5                 | 14                 | 0.995     |
| 6                 | 18                 | 0.982     |
| 7                 | 60                 | 0.970     |

### T3S3 N° 55

| Punto de análisis | Profundidades (in) | T3S3 N°55 Tridem Super Simple |
|-------------------|--------------------|-------------------------------|
|                   |                    | Deflexión (0.01mm)            |
| 1                 | 0                  | 126.72                        |
| 2                 | 2                  | 126.49                        |
| 3                 | 4                  | 124.94                        |
| 4                 | 7                  | 116.89                        |
| 5                 | 14                 | 100.63                        |
| 6                 | 18                 | 93.07                         |
| 7                 | 60                 | 51.46                         |

| Punto de análisis | Profundidades (in) | T3S3 N°55 Tridem Convencional |
|-------------------|--------------------|-------------------------------|
|                   |                    | Deflexión (0.01mm)            |
| 1                 | 0                  | 119.89                        |
| 2                 | 2                  | 118.24                        |
| 3                 | 4                  | 117.27                        |
| 4                 | 7                  | 112.17                        |
| 5                 | 14                 | 100.66                        |
| 6                 | 18                 | 94.44                         |
| 7                 | 60                 | 53.19                         |

| Punto de análisis | Profundidades (in) | Relación  |
|-------------------|--------------------|-----------|
|                   |                    | Deflexión |
| 1                 | 0                  | 1.057     |
| 2                 | 2                  | 1.070     |
| 3                 | 4                  | 1.065     |
| 4                 | 7                  | 1.042     |
| 5                 | 14                 | 1.000     |
| 6                 | 18                 | 0.985     |
| 7                 | 60                 | 0.968     |

### T3S3 N° 56

| Punto de análisis | Profundidades (in) | T3S3 N°56 Tridem Súper Simple |
|-------------------|--------------------|-------------------------------|
|                   |                    | Deflexión (0.01mm)            |
| 1                 | 0                  | 120.37                        |
| 2                 | 2                  | 120.14                        |
| 3                 | 4                  | 118.64                        |
| 4                 | 7                  | 110.90                        |
| 5                 | 14                 | 95.48                         |
| 6                 | 18                 | 88.29                         |
| 7                 | 60                 | 48.56                         |

| Punto de análisis | Profundidades (in) | T3S3 N°56 Tridem Convencional |
|-------------------|--------------------|-------------------------------|
|                   |                    | Deflexión (0.01mm)            |
| 1                 | 0                  | 114.33                        |
| 2                 | 2                  | 112.80                        |
| 3                 | 4                  | 111.86                        |
| 4                 | 7                  | 106.93                        |
| 5                 | 14                 | 95.86                         |
| 6                 | 18                 | 89.84                         |
| 7                 | 60                 | 50.14                         |

| Punto de análisis | Profundidades (in) | Relación  |
|-------------------|--------------------|-----------|
|                   |                    | Deflexión |
| 1                 | 0                  | 1.053     |
| 2                 | 2                  | 1.065     |
| 3                 | 4                  | 1.061     |
| 4                 | 7                  | 1.037     |
| 5                 | 14                 | 0.996     |
| 6                 | 18                 | 0.983     |
| 7                 | 60                 | 0.969     |

### T3S3 N° 57

| Punto de análisis | Profundidades (in) | T3S3 N°57 Tridem Súper Simple |
|-------------------|--------------------|-------------------------------|
|                   |                    | Deflexión (0.01mm)            |
| 1                 | 0                  | 138.07                        |
| 2                 | 2                  | 138.10                        |
| 3                 | 4                  | 136.58                        |
| 4                 | 7                  | 128.09                        |
| 5                 | 14                 | 110.39                        |
| 6                 | 18                 | 102.11                        |
| 7                 | 60                 | 57.43                         |

| Punto de análisis | Profundidades (in) | T3S3 N°57 Tridem Convencional |
|-------------------|--------------------|-------------------------------|
|                   |                    | Deflexión (0.01mm)            |
| 1                 | 0                  | 132.69                        |
| 2                 | 2                  | 130.61                        |
| 3                 | 4                  | 129.59                        |
| 4                 | 7                  | 124.08                        |
| 5                 | 14                 | 111.63                        |
| 6                 | 18                 | 104.93                        |
| 7                 | 60                 | 60.22                         |

| Punto de análisis | Profundidades (in) | Relación  |
|-------------------|--------------------|-----------|
|                   |                    | Deflexión |
| 1                 | 0                  | 1.041     |
| 2                 | 2                  | 1.057     |
| 3                 | 4                  | 1.054     |
| 4                 | 7                  | 1.032     |
| 5                 | 14                 | 0.989     |
| 6                 | 18                 | 0.973     |
| 7                 | 60                 | 0.954     |

### T3S3 N° 58

| Punto de análisis | Profundidades (in) | T3S3 N°58 Tridem Super Simple |
|-------------------|--------------------|-------------------------------|
|                   |                    | Deflexión (0.01mm)            |
| 1                 | 0                  | 132.26                        |
| 2                 | 2                  | 132.21                        |
| 3                 | 4                  | 130.66                        |
| 4                 | 7                  | 122.30                        |
| 5                 | 14                 | 105.31                        |
| 6                 | 18                 | 97.41                         |
| 7                 | 60                 | 54.10                         |

| Punto de análisis | Profundidades (in) | T3S3 N°58 Tridem Convencional |
|-------------------|--------------------|-------------------------------|
|                   |                    | Deflexión (0.01mm)            |
| 1                 | 0                  | 120.29                        |
| 2                 | 2                  | 118.62                        |
| 3                 | 4                  | 117.68                        |
| 4                 | 7                  | 112.55                        |
| 5                 | 14                 | 101.02                        |
| 6                 | 18                 | 94.77                         |
| 7                 | 60                 | 53.42                         |

| Punto de análisis | Profundidades (in) | Relación  |
|-------------------|--------------------|-----------|
|                   |                    | Deflexión |
| 1                 | 0                  | 1.099     |
| 2                 | 2                  | 1.115     |
| 3                 | 4                  | 1.110     |
| 4                 | 7                  | 1.087     |
| 5                 | 14                 | 1.042     |
| 6                 | 18                 | 1.028     |
| 7                 | 60                 | 1.013     |

### T3S3 N° 59

| Punto de análisis | Profundidades (in) | T3S3 N°59 Tridem Super Simple |
|-------------------|--------------------|-------------------------------|
|                   |                    | Deflexión (0.01mm)            |
| 1                 | 0                  | 112.60                        |
| 2                 | 2                  | 112.37                        |
| 3                 | 4                  | 111.00                        |
| 4                 | 7                  | 103.78                        |
| 5                 | 14                 | 89.36                         |
| 6                 | 18                 | 82.63                         |
| 7                 | 60                 | 45.54                         |

| Punto de análisis | Profundidades (in) | T3S3 N°59 Tridem Convencional |
|-------------------|--------------------|-------------------------------|
|                   |                    | Deflexión (0.01mm)            |
| 1                 | 0                  | 108.86                        |
| 2                 | 2                  | 108.03                        |
| 3                 | 4                  | 107.09                        |
| 4                 | 7                  | 102.34                        |
| 5                 | 14                 | 91.62                         |
| 6                 | 18                 | 85.80                         |
| 7                 | 60                 | 47.50                         |

| Punto de análisis | Profundidades (in) | Relación  |
|-------------------|--------------------|-----------|
|                   |                    | Deflexión |
| 1                 | 0                  | 1.034     |
| 2                 | 2                  | 1.040     |
| 3                 | 4                  | 1.037     |
| 4                 | 7                  | 1.014     |
| 5                 | 14                 | 0.975     |
| 6                 | 18                 | 0.963     |
| 7                 | 60                 | 0.959     |

### T3S3 N° 60

| Punto de análisis | Profundidades (in) | T3S3 N°60 Tridem Super Simple |
|-------------------|--------------------|-------------------------------|
|                   |                    | Deflexión (0.01mm)            |
| 1                 | 0                  | 130.91                        |
| 2                 | 2                  | 130.91                        |
| 3                 | 4                  | 129.44                        |
| 4                 | 7                  | 121.29                        |
| 5                 | 14                 | 104.50                        |
| 6                 | 18                 | 96.65                         |
| 7                 | 60                 | 54.10                         |

| Punto de análisis | Profundidades (in) | T3S3 N°60 Tridem Convencional |
|-------------------|--------------------|-------------------------------|
|                   |                    | Deflexión (0.01mm)            |
| 1                 | 0                  | 126.21                        |
| 2                 | 2                  | 124.41                        |
| 3                 | 4                  | 123.44                        |
| 4                 | 7                  | 118.11                        |
| 5                 | 14                 | 106.15                        |
| 6                 | 18                 | 99.67                         |
| 7                 | 60                 | 56.69                         |

| Punto de análisis | Profundidades (in) | Relación  |
|-------------------|--------------------|-----------|
|                   |                    | Deflexión |
| 1                 | 0                  | 1.037     |
| 2                 | 2                  | 1.052     |
| 3                 | 4                  | 1.049     |
| 4                 | 7                  | 1.027     |
| 5                 | 14                 | 0.984     |
| 6                 | 18                 | 0.970     |
| 7                 | 60                 | 0.954     |

### T3S3 N° 61

| Punto de análisis | Profundidades (in) | T3S3 N°61 Tridem Súper Simple |
|-------------------|--------------------|-------------------------------|
|                   |                    | Deflexión (0.01mm)            |
| 1                 | 0                  | 139.14                        |
| 2                 | 2                  | 139.14                        |
| 3                 | 4                  | 137.52                        |
| 4                 | 7                  | 128.83                        |
| 5                 | 14                 | 110.97                        |
| 6                 | 18                 | 102.64                        |
| 7                 | 60                 | 57.30                         |

| Punto de análisis | Profundidades (in) | T3S3 N°61 Tridem Súper Convencional |
|-------------------|--------------------|-------------------------------------|
|                   |                    | Deflexión (0.01mm)                  |
| 1                 | 0                  | 131.11                              |
| 2                 | 2                  | 129.08                              |
| 3                 | 4                  | 128.07                              |
| 4                 | 7                  | 122.61                              |
| 5                 | 14                 | 110.26                              |
| 6                 | 18                 | 103.63                              |
| 7                 | 60                 | 59.36                               |

| Punto de análisis | Profundidades (in) | Relación  |
|-------------------|--------------------|-----------|
|                   |                    | Deflexión |
| 1                 | 0                  | 1.061     |
| 2                 | 2                  | 1.078     |
| 3                 | 4                  | 1.074     |
| 4                 | 7                  | 1.051     |
| 5                 | 14                 | 1.006     |
| 6                 | 18                 | 0.990     |
| 7                 | 60                 | 0.965     |

### T3S3 N° 62

| Punto de análisis | Profundidades (in) | T3S3 N°62 Tridem Súper Simple |
|-------------------|--------------------|-------------------------------|
|                   |                    | Deflexión (0.01mm)            |
| 1                 | 0                  | 126.87                        |
| 2                 | 2                  | 126.87                        |
| 3                 | 4                  | 125.40                        |
| 4                 | 7                  | 117.45                        |
| 5                 | 14                 | 101.17                        |
| 6                 | 18                 | 93.57                         |
| 7                 | 60                 | 52.22                         |

| Punto de análisis | Profundidades (in) | T3S3 N°62 Tridem Súper Convencional |
|-------------------|--------------------|-------------------------------------|
|                   |                    | Deflexión (0.01mm)                  |
| 1                 | 0                  | 122.48                              |
| 2                 | 2                  | 120.78                              |
| 3                 | 4                  | 119.79                              |
| 4                 | 7                  | 114.60                              |
| 5                 | 14                 | 102.92                              |
| 6                 | 18                 | 96.60                               |
| 7                 | 60                 | 54.61                               |

| Punto de análisis | Profundidades (in) | Relación  |
|-------------------|--------------------|-----------|
|                   |                    | Deflexión |
| 1                 | 0                  | 1.036     |
| 2                 | 2                  | 1.050     |
| 3                 | 4                  | 1.047     |
| 4                 | 7                  | 1.025     |
| 5                 | 14                 | 0.983     |
| 6                 | 18                 | 0.969     |
| 7                 | 60                 | 0.956     |

### T3S3 N° 63

| Punto de análisis | Profundidades (in) | T3S3 N°63 Tridem Súper Simple |
|-------------------|--------------------|-------------------------------|
|                   |                    | Deflexión (0.01mm)            |
| 1                 | 0                  | 117.93                        |
| 2                 | 2                  | 117.68                        |
| 3                 | 4                  | 116.21                        |
| 4                 | 7                  | 108.59                        |
| 5                 | 14                 | 93.50                         |
| 6                 | 18                 | 86.44                         |
| 7                 | 60                 | 47.45                         |

| Punto de análisis | Profundidades (in) | T3S3 N°63 Tridem Súper Convencional |
|-------------------|--------------------|-------------------------------------|
|                   |                    | Deflexión (0.01mm)                  |
| 1                 | 0                  | 113.28                              |
| 2                 | 2                  | 112.40                              |
| 3                 | 4                  | 111.43                              |
| 4                 | 7                  | 106.45                              |
| 5                 | 14                 | 95.28                               |
| 6                 | 18                 | 89.20                               |
| 7                 | 60                 | 49.23                               |

| Punto de análisis | Profundidades (in) | Relación  |
|-------------------|--------------------|-----------|
|                   |                    | Deflexión |
| 1                 | 0                  | 1.041     |
| 2                 | 2                  | 1.047     |
| 3                 | 4                  | 1.043     |
| 4                 | 7                  | 1.020     |
| 5                 | 14                 | 0.981     |
| 6                 | 18                 | 0.969     |
| 7                 | 60                 | 0.964     |

### T3S3 N° 64

| Punto de análisis | Profundidades (in) | T3S3 N°64 Tridem Súper Simple |
|-------------------|--------------------|-------------------------------|
|                   |                    | Deflexión (0.01mm)            |
| 1                 | 0                  | 128.32                        |
| 2                 | 2                  | 128.27                        |
| 3                 | 4                  | 126.72                        |
| 4                 | 7                  | 118.57                        |
| 5                 | 14                 | 102.11                        |
| 6                 | 18                 | 94.41                         |
| 7                 | 60                 | 52.30                         |

| Punto de análisis | Profundidades (in) | T3S3 N°64 Tridem Súper Convencional |
|-------------------|--------------------|-------------------------------------|
|                   |                    | Deflexión (0.01mm)                  |
| 1                 | 0                  | 123.29                              |
| 2                 | 2                  | 121.62                              |
| 3                 | 4                  | 120.60                              |
| 4                 | 7                  | 115.32                              |
| 5                 | 14                 | 103.43                              |
| 6                 | 18                 | 96.98                               |
| 7                 | 60                 | 54.36                               |

| Punto de análisis | Profundidades (in) | Relación  |
|-------------------|--------------------|-----------|
|                   |                    | Deflexión |
| 1                 | 0                  | 1.041     |
| 2                 | 2                  | 1.055     |
| 3                 | 4                  | 1.051     |
| 4                 | 7                  | 1.028     |
| 5                 | 14                 | 0.987     |
| 6                 | 18                 | 0.974     |
| 7                 | 60                 | 0.962     |

### T3S3 N° 65

| Punto de análisis | Profundidades (in) | T3S3 N°65 Tridem Súper Simple |
|-------------------|--------------------|-------------------------------|
|                   |                    | Deflexión (0.01mm)            |
| 1                 | 0                  | 128.55                        |
| 2                 | 2                  | 128.55                        |
| 3                 | 4                  | 127.08                        |
| 4                 | 7                  | 119.05                        |
| 5                 | 14                 | 102.54                        |
| 6                 | 18                 | 94.84                         |
| 7                 | 60                 | 52.98                         |

| Punto de análisis | Profundidades (in) | T3S3 N°65 Tridem Súper Convencional |
|-------------------|--------------------|-------------------------------------|
|                   |                    | Deflexión (0.01mm)                  |
| 1                 | 0                  | 124.16                              |
| 2                 | 2                  | 122.43                              |
| 3                 | 4                  | 121.44                              |
| 4                 | 7                  | 116.18                              |
| 5                 | 14                 | 104.37                              |
| 6                 | 18                 | 97.99                               |
| 7                 | 60                 | 55.55                               |

| Punto de análisis | Profundidades (in) | Relación  |
|-------------------|--------------------|-----------|
|                   |                    | Deflexión |
| 1                 | 0                  | 1.035     |
| 2                 | 2                  | 1.050     |
| 3                 | 4                  | 1.046     |
| 4                 | 7                  | 1.025     |
| 5                 | 14                 | 0.982     |
| 6                 | 18                 | 0.968     |
| 7                 | 60                 | 0.954     |

### T3S3 N° 66

| Punto de análisis | Profundidades (in) | T3S3 N°66 Tridem Súper Simple |
|-------------------|--------------------|-------------------------------|
|                   |                    | Deflexión (0.01mm)            |
| 1                 | 0                  | 129.57                        |
| 2                 | 2                  | 129.57                        |
| 3                 | 4                  | 128.07                        |
| 4                 | 7                  | 120.02                        |
| 5                 | 14                 | 103.38                        |
| 6                 | 18                 | 95.63                         |
| 7                 | 60                 | 53.47                         |

| Punto de análisis | Profundidades (in) | T3S3 N°66 Tridem Convencional |
|-------------------|--------------------|-------------------------------|
|                   |                    | Deflexión (0.01mm)            |
| 1                 | 0                  | 124.92                        |
| 2                 | 2                  | 123.14                        |
| 3                 | 4                  | 122.15                        |
| 4                 | 7                  | 116.89                        |
| 5                 | 14                 | 105.00                        |
| 6                 | 18                 | 98.60                         |
| 7                 | 60                 | 55.96                         |

| Punto de análisis | Profundidades (in) | Relación  |
|-------------------|--------------------|-----------|
|                   |                    | Deflexión |
| 1                 | 0                  | 1.037     |
| 2                 | 2                  | 1.052     |
| 3                 | 4                  | 1.048     |
| 4                 | 7                  | 1.027     |
| 5                 | 14                 | 0.985     |
| 6                 | 18                 | 0.970     |
| 7                 | 60                 | 0.956     |

### T3S3 N° 67

| Punto de análisis | Profundidades (in) | T3S3 N°67 Tridem Súper Simple |
|-------------------|--------------------|-------------------------------|
|                   |                    | Deflexión (0.01mm)            |
| 1                 | 0                  | 119.91                        |
| 2                 | 2                  | 119.89                        |
| 3                 | 4                  | 118.44                        |
| 4                 | 7                  | 110.85                        |
| 5                 | 14                 | 95.45                         |
| 6                 | 18                 | 88.29                         |
| 7                 | 60                 | 49.00                         |

| Punto de análisis | Profundidades (in) | T3S3 N°67 Tridem Convencional |
|-------------------|--------------------|-------------------------------|
|                   |                    | Deflexión (0.01mm)            |
| 1                 | 0                  | 116.15                        |
| 2                 | 2                  | 114.58                        |
| 3                 | 4                  | 113.61                        |
| 4                 | 7                  | 108.64                        |
| 5                 | 14                 | 97.43                         |
| 6                 | 18                 | 91.34                         |
| 7                 | 60                 | 51.13                         |

| Punto de análisis | Profundidades (in) | Relación  |
|-------------------|--------------------|-----------|
|                   |                    | Deflexión |
| 1                 | 0                  | 1.032     |
| 2                 | 2                  | 1.046     |
| 3                 | 4                  | 1.042     |
| 4                 | 7                  | 1.020     |
| 5                 | 14                 | 0.980     |
| 6                 | 18                 | 0.967     |
| 7                 | 60                 | 0.958     |

### T3S3 N° 68

| Punto de análisis | Profundidades (in) | T3S3 N°68 Tridem Súper Simple |
|-------------------|--------------------|-------------------------------|
|                   |                    | Deflexión (0.01mm)            |
| 1                 | 0                  | 118.62                        |
| 2                 | 2                  | 118.57                        |
| 3                 | 4                  | 117.14                        |
| 4                 | 7                  | 109.60                        |
| 5                 | 14                 | 94.39                         |
| 6                 | 18                 | 87.30                         |
| 7                 | 60                 | 48.39                         |

| Punto de análisis | Profundidades (in) | T3S3 N°68 Tridem Convencional |
|-------------------|--------------------|-------------------------------|
|                   |                    | Deflexión (0.01mm)            |
| 1                 | 0                  | 116.21                        |
| 2                 | 2                  | 115.42                        |
| 3                 | 4                  | 114.43                        |
| 4                 | 7                  | 109.35                        |
| 5                 | 14                 | 97.94                         |
| 6                 | 18                 | 91.74                         |
| 7                 | 60                 | 50.90                         |

| Punto de análisis | Profundidades (in) | Relación  |
|-------------------|--------------------|-----------|
|                   |                    | Deflexión |
| 1                 | 0                  | 1.021     |
| 2                 | 2                  | 1.027     |
| 3                 | 4                  | 1.024     |
| 4                 | 7                  | 1.002     |
| 5                 | 14                 | 0.964     |
| 6                 | 18                 | 0.952     |
| 7                 | 60                 | 0.951     |

### T3S3 N° 69

| Punto de análisis | Profundidades (in) | T3S3 N°69 Tridem Súper Simple |
|-------------------|--------------------|-------------------------------|
|                   |                    | Deflexión (0.01 mm)           |
| 1                 | 0                  | 119.99                        |
| 2                 | 2                  | 119.94                        |
| 3                 | 4                  | 118.52                        |
| 4                 | 7                  | 110.92                        |
| 5                 | 14                 | 95.53                         |
| 6                 | 18                 | 88.34                         |
| 7                 | 60                 | 49.02                         |

| Punto de análisis | Profundidades (in) | T3S3 N°69 Tridem Convencional |
|-------------------|--------------------|-------------------------------|
|                   |                    | Deflexión (0.01 mm)           |
| 1                 | 0                  | 116.36                        |
| 2                 | 2                  | 114.76                        |
| 3                 | 4                  | 113.82                        |
| 4                 | 7                  | 108.81                        |
| 5                 | 14                 | 97.59                         |
| 6                 | 18                 | 91.49                         |
| 7                 | 60                 | 51.23                         |

| Punto de análisis | Profundidades (in) | T3S3 N°69 Relación |
|-------------------|--------------------|--------------------|
|                   |                    | Deflexión          |
| 1                 | 0                  | 1.031              |
| 2                 | 2                  | 1.045              |
| 3                 | 4                  | 1.041              |
| 4                 | 7                  | 1.019              |
| 5                 | 14                 | 0.979              |
| 6                 | 18                 | 0.966              |
| 7                 | 60                 | 0.957              |

### T3S3 N° 70

| Punto de análisis | Profundidades (in) | T3S3 N°70 Tridem Súper Simple |
|-------------------|--------------------|-------------------------------|
|                   |                    | Deflexión (0.01 mm)           |
| 1                 | 0                  | 122.61                        |
| 2                 | 2                  | 121.67                        |
| 3                 | 4                  | 120.60                        |
| 4                 | 7                  | 115.14                        |
| 5                 | 14                 | 102.84                        |
| 6                 | 18                 | 96.14                         |
| 7                 | 60                 | 52.37                         |

| Punto de análisis | Profundidades (in) | T3S3 N°70 Tridem Convencional |
|-------------------|--------------------|-------------------------------|
|                   |                    | Deflexión (0.01 mm)           |
| 1                 | 0                  | 122.00                        |
| 2                 | 2                  | 120.27                        |
| 3                 | 4                  | 119.30                        |
| 4                 | 7                  | 114.12                        |
| 5                 | 14                 | 102.49                        |
| 6                 | 18                 | 96.16                         |
| 7                 | 60                 | 54.36                         |

| Punto de análisis | Profundidades (in) | T3S3 N°70 Relación |
|-------------------|--------------------|--------------------|
|                   |                    | Deflexión          |
| 1                 | 0                  | 1.005              |
| 2                 | 2                  | 1.012              |
| 3                 | 4                  | 1.011              |
| 4                 | 7                  | 1.009              |
| 5                 | 14                 | 1.003              |
| 6                 | 18                 | 1.000              |
| 7                 | 60                 | 0.964              |



### T3S3 N° 71

| Punto de analisis | Profundidades (in) | T3S3 N°71 Tridem Super Simple |
|-------------------|--------------------|-------------------------------|
|                   |                    | Deflexion (0.01 mm)           |
| 1                 | 0                  | 122.61                        |
| 2                 | 2                  | 121.67                        |
| 3                 | 4                  | 120.60                        |
| 4                 | 7                  | 115.14                        |
| 5                 | 14                 | 102.84                        |
| 6                 | 18                 | 96.14                         |
| 7                 | 60                 | 52.37                         |

| Punto de analisis | Profundidades (in) | T3S3 N°71 Tridem Convencional |
|-------------------|--------------------|-------------------------------|
|                   |                    | Deflexion (0.01 mm)           |
| 1                 | 0                  | 143.8402                      |
| 2                 | 2                  | 143.891                       |
| 3                 | 4                  | 142.3162                      |
| 4                 | 7                  | 133.5786                      |
| 5                 | 14                 | 115.1128                      |
| 6                 | 18                 | 106.5022                      |
| 7                 | 60                 | 60.0964                       |

| Punto de analisis | Profundidades (in) | T3S3 N°71 Relacion |
|-------------------|--------------------|--------------------|
|                   |                    | Deflexion          |
| 1                 | 0                  | 0.852              |
| 2                 | 2                  | 0.846              |
| 3                 | 4                  | 0.847              |
| 4                 | 7                  | 0.862              |
| 5                 | 14                 | 0.893              |
| 6                 | 18                 | 0.903              |
| 7                 | 60                 | 0.872              |

### T3S3 N° 72

| Punto de analisis | Profundidades (in) | T3S3 N°72 Tridem Super Simple |
|-------------------|--------------------|-------------------------------|
|                   |                    | Deflexion (0.01 mm)           |
| 1                 | 0                  | 122.61                        |
| 2                 | 2                  | 121.67                        |
| 3                 | 4                  | 120.60                        |
| 4                 | 7                  | 115.14                        |
| 5                 | 14                 | 102.84                        |
| 6                 | 18                 | 96.14                         |
| 7                 | 60                 | 52.37                         |

| Punto de analisis | Profundidades (in) | T3S3 N°72 Tridem Convencional |
|-------------------|--------------------|-------------------------------|
|                   |                    | Deflexion (0.01 mm)           |
| 1                 | 0                  | 133.1468                      |
| 2                 | 2                  | 133.1722                      |
| 3                 | 4                  | 131.6482                      |
| 4                 | 7                  | 123.4186                      |
| 5                 | 14                 | 106.3244                      |
| 6                 | 18                 | 98.3488                       |
| 7                 | 60                 | 55.118                        |

| Punto de analisis | Profundidades (in) | T3S3 N°72 Relacion |
|-------------------|--------------------|--------------------|
|                   |                    | Deflexion          |
| 1                 | 0                  | 0.921              |
| 2                 | 2                  | 0.914              |
| 3                 | 4                  | 0.916              |
| 4                 | 7                  | 0.933              |
| 5                 | 14                 | 0.967              |
| 6                 | 18                 | 0.978              |
| 7                 | 60                 | 0.950              |

### T3S3 N° 73

| Punto de analisis | Profundidades (in) | T3S3 N°73 Tridem Super Simple |
|-------------------|--------------------|-------------------------------|
|                   |                    | Deflexion (0.01 mm)           |
| 1                 | 0                  | 122.61                        |
| 2                 | 2                  | 121.67                        |
| 3                 | 4                  | 120.60                        |
| 4                 | 7                  | 115.14                        |
| 5                 | 14                 | 102.84                        |
| 6                 | 18                 | 96.14                         |
| 7                 | 60                 | 52.37                         |

| Punto de analisis | Profundidades (in) | T3S3 N°73 Tridem Convencional |
|-------------------|--------------------|-------------------------------|
|                   |                    | Deflexion (0.01 mm)           |
| 1                 | 0                  | 123.5456                      |
| 2                 | 2                  | 123.5202                      |
| 3                 | 4                  | 122.0724                      |
| 4                 | 7                  | 114.3                         |
| 5                 | 14                 | 98.4504                       |
| 6                 | 18                 | 91.059                        |
| 7                 | 60                 | 50.673                        |

| Punto de analisis | Profundidades (in) | T3S3 N°73 Relacion |
|-------------------|--------------------|--------------------|
|                   |                    | Deflexion          |
| 1                 | 0                  | 0.992              |
| 2                 | 2                  | 0.985              |
| 3                 | 4                  | 0.988              |
| 4                 | 7                  | 1.007              |
| 5                 | 14                 | 1.045              |
| 6                 | 18                 | 1.056              |
| 7                 | 60                 | 1.034              |

### T3S3 N° 74

| Punto de analisis | Profundidades (in) | T3S3 N°74 Tridem Super Simple |
|-------------------|--------------------|-------------------------------|
|                   |                    | Deflexion (0.01 mm)           |
| 1                 | 0                  | 122.61                        |
| 2                 | 2                  | 121.67                        |
| 3                 | 4                  | 120.60                        |
| 4                 | 7                  | 115.14                        |
| 5                 | 14                 | 102.84                        |
| 6                 | 18                 | 96.14                         |
| 7                 | 60                 | 52.37                         |

| Punto de analisis | Profundidades (in) | T3S3 N°74 Tridem Convencional |
|-------------------|--------------------|-------------------------------|
|                   |                    | Deflexion (0.01 mm)           |
| 1                 | 0                  | 102.2858                      |
| 2                 | 2                  | 101.854                       |
| 3                 | 4                  | 100.5332                      |
| 4                 | 7                  | 93.8784                       |
| 5                 | 14                 | 80.7974                       |
| 6                 | 18                 | 74.7014                       |
| 7                 | 60                 | 40.7162                       |

| Punto de analisis | Profundidades (in) | T3S3 N°74 Relacion |
|-------------------|--------------------|--------------------|
|                   |                    | Deflexion          |
| 1                 | 0                  | 1.199              |
| 2                 | 2                  | 1.195              |
| 3                 | 4                  | 1.200              |
| 4                 | 7                  | 1.226              |
| 5                 | 14                 | 1.273              |
| 6                 | 18                 | 1.287              |
| 7                 | 60                 | 1.286              |

### T3S3 N° 75

| Punto de analisis | Profundidades (in) | T3S3 N°75 Tridem Super Simple |
|-------------------|--------------------|-------------------------------|
|                   |                    | Deflexion (0.01 mm)           |
| 1                 | 0                  | 122.38                        |
| 2                 | 2                  | 121.46                        |
| 3                 | 4                  | 120.37                        |
| 4                 | 7                  | 114.91                        |
| 5                 | 14                 | 102.64                        |
| 6                 | 18                 | 95.94                         |
| 7                 | 60                 | 52.27                         |

| Punto de analisis | Profundidades (in) | T3S3 N°75 Tridem Convencional |
|-------------------|--------------------|-------------------------------|
|                   |                    | Deflexion (0.01 mm)           |
| 1                 | 0                  | 119.761                       |
| 2                 | 2                  | 119.7102                      |
| 3                 | 4                  | 118.2878                      |
| 4                 | 7                  | 110.6932                      |
| 5                 | 14                 | 95.3262                       |
| 6                 | 18                 | 88.1634                       |
| 7                 | 60                 | 48.9204                       |

| Punto de analisis | Profundidades (in) | T3S3 N°75 Relacion |
|-------------------|--------------------|--------------------|
|                   |                    | Deflexion          |
| 1                 | 0                  | 1.022              |
| 2                 | 2                  | 1.015              |
| 3                 | 4                  | 1.018              |
| 4                 | 7                  | 1.038              |
| 5                 | 14                 | 1.077              |
| 6                 | 18                 | 1.088              |
| 7                 | 60                 | 1.069              |

### T3S3 N° 76

| Punto de analisis | Profundidades (in) | T3S3 N°76 Tridem Super Simple |
|-------------------|--------------------|-------------------------------|
|                   |                    | Deflexion (0.01 mm)           |
| 1                 | 0                  | 128.83                        |
| 2                 | 2                  | 127.86                        |
| 3                 | 4                  | 126.72                        |
| 4                 | 7                  | 120.90                        |
| 5                 | 14                 | 107.87                        |
| 6                 | 18                 | 100.76                        |
| 7                 | 60                 | 54.51                         |

| Punto de analisis | Profundidades (in) | T3S3 N°76 Tridem Convencional |
|-------------------|--------------------|-------------------------------|
|                   |                    | Deflexion (0.01 mm)           |
| 1                 | 0                  | 125.8824                      |
| 2                 | 2                  | 125.6538                      |
| 3                 | 4                  | 124.1298                      |
| 4                 | 7                  | 116.1034                      |
| 5                 | 14                 | 99.9744                       |
| 6                 | 18                 | 92.456                        |
| 7                 | 60                 | 51.1048                       |

| Punto de analisis | Profundidades (in) | T3S3 N°76 Relacion |
|-------------------|--------------------|--------------------|
|                   |                    | Deflexion          |
| 1                 | 0                  | 1.023              |
| 2                 | 2                  | 1.018              |
| 3                 | 4                  | 1.021              |
| 4                 | 7                  | 1.041              |
| 5                 | 14                 | 1.079              |
| 6                 | 18                 | 1.090              |
| 7                 | 60                 | 1.067              |

### T3S3 N° 77

| Punto de analisis | Profundidades (in) | T3S3 N°77 Tridem Super Simple |
|-------------------|--------------------|-------------------------------|
|                   |                    | Deflexion (0.01 mm)           |
| 1                 | 0                  | 119.28                        |
| 2                 | 2                  | 118.39                        |
| 3                 | 4                  | 117.32                        |
| 4                 | 7                  | 111.96                        |
| 5                 | 14                 | 99.92                         |
| 6                 | 18                 | 93.35                         |
| 7                 | 60                 | 50.60                         |

| Punto de analisis | Profundidades (in) | T3S3 N°77 Tridem Convencional |
|-------------------|--------------------|-------------------------------|
|                   |                    | Deflexion (0.01 mm)           |
| 1                 | 0                  | 116.5352                      |
| 2                 | 2                  | 116.459                       |
| 3                 | 4                  | 115.062                       |
| 4                 | 7                  | 107.6198                      |
| 5                 | 14                 | 92.6846                       |
| 6                 | 18                 | 85.725                        |
| 7                 | 60                 | 47.4218                       |

| Punto de analisis | Profundidades (in) | T3S3 N°77 Relacion |
|-------------------|--------------------|--------------------|
|                   |                    | Deflexion          |
| 1                 | 0                  | 1.024              |
| 2                 | 2                  | 1.017              |
| 3                 | 4                  | 1.020              |
| 4                 | 7                  | 1.040              |
| 5                 | 14                 | 1.078              |
| 6                 | 18                 | 1.089              |
| 7                 | 60                 | 1.067              |

### T3S3 N° 78

| Punto de analisis | Profundidades (in) | T3S3 N°78 Tridem Super Simple |
|-------------------|--------------------|-------------------------------|
|                   |                    | Deflexion (0.01 mm)           |
| 1                 | 0                  | 135.69                        |
| 2                 | 2                  | 134.67                        |
| 3                 | 4                  | 133.48                        |
| 4                 | 7                  | 127.46                        |
| 5                 | 14                 | 113.89                        |
| 6                 | 18                 | 106.50                        |
| 7                 | 60                 | 58.19                         |

| Punto de analisis | Profundidades (in) | T3S3 N°78 Tridem Convencional |
|-------------------|--------------------|-------------------------------|
|                   |                    | Deflexion (0.01 mm)           |
| 1                 | 0                  | 132.9182                      |
| 2                 | 2                  | 132.8674                      |
| 3                 | 4                  | 131.2926                      |
| 4                 | 7                  | 122.9106                      |
| 5                 | 14                 | 105.8418                      |
| 6                 | 18                 | 97.8916                       |
| 7                 | 60                 | 54.4068                       |

| Punto de analisis | Profundidades (in) | T3S3 N°78 Relacion |
|-------------------|--------------------|--------------------|
|                   |                    | Deflexion          |
| 1                 | 0                  | 1.021              |
| 2                 | 2                  | 1.014              |
| 3                 | 4                  | 1.017              |
| 4                 | 7                  | 1.037              |
| 5                 | 14                 | 1.076              |
| 6                 | 18                 | 1.088              |
| 7                 | 60                 | 1.070              |

### T3S3 N° 79

| Punto de analisis | Profundidades (in) | T3S3 N°79 Tridem Super Simple |
|-------------------|--------------------|-------------------------------|
|                   |                    | Deflexion (0.01 mm)           |
| 1                 | 0                  | 120.60                        |
| 2                 | 2                  | 119.84                        |
| 3                 | 4                  | 118.72                        |
| 4                 | 7                  | 113.21                        |
| 5                 | 14                 | 100.79                        |
| 6                 | 18                 | 94.01                         |
| 7                 | 60                 | 50.22                         |

| Punto de analisis | Profundidades (in) | T3S3 N°79 Tridem Convencional |
|-------------------|--------------------|-------------------------------|
|                   |                    | Deflexion (0.01 mm)           |
| 1                 | 0                  | 117.5004                      |
| 2                 | 2                  | 117.2464                      |
| 3                 | 4                  | 115.7732                      |
| 4                 | 7                  | 108.1786                      |
| 5                 | 14                 | 93.1164                       |
| 6                 | 18                 | 86.106                        |
| 7                 | 60                 | 47.2186                       |

| Punto de analisis | Profundidades (in) | T3S3 N°79 Relacion |
|-------------------|--------------------|--------------------|
|                   |                    | Deflexion          |
| 1                 | 0                  | 1.026              |
| 2                 | 2                  | 1.022              |
| 3                 | 4                  | 1.025              |
| 4                 | 7                  | 1.046              |
| 5                 | 14                 | 1.082              |
| 6                 | 18                 | 1.092              |
| 7                 | 60                 | 1.063              |

### T3S3 N° 80

| Punto de analisis | Profundidades (in) | T3S3 N°80 Tridem Super Simple |
|-------------------|--------------------|-------------------------------|
|                   |                    | Deflexion (0.01 mm)           |
| 1                 | 0                  | 125.73                        |
| 2                 | 2                  | 124.76                        |
| 3                 | 4                  | 123.67                        |
| 4                 | 7                  | 118.11                        |
| 5                 | 14                 | 105.56                        |
| 6                 | 18                 | 98.73                         |
| 7                 | 60                 | 54.05                         |

| Punto de analisis | Profundidades (in) | T3S3 N°80 Tridem Convencional |
|-------------------|--------------------|-------------------------------|
|                   |                    | Deflexion (0.01 mm)           |
| 1                 | 0                  | 123.2154                      |
| 2                 | 2                  | 123.19                        |
| 3                 | 4                  | 121.7422                      |
| 4                 | 7                  | 113.9698                      |
| 5                 | 14                 | 98.171                        |
| 6                 | 18                 | 90.805                        |
| 7                 | 60                 | 50.5206                       |

| Punto de analisis | Profundidades (in) | T3S3 N°80 Relacion |
|-------------------|--------------------|--------------------|
|                   |                    | Deflexion          |
| 1                 | 0                  | 1.020              |
| 2                 | 2                  | 1.013              |
| 3                 | 4                  | 1.016              |
| 4                 | 7                  | 1.036              |
| 5                 | 14                 | 1.075              |
| 6                 | 18                 | 1.087              |
| 7                 | 60                 | 1.070              |

### T3S3 N° 81

| Punto de analisis | Profundidades (in) | T3S3 N°81 Tridem Super Simple |
|-------------------|--------------------|-------------------------------|
|                   |                    | Deflexion (0.01 mm)           |
| 1                 | 0                  | 150.83                        |
| 2                 | 2                  | 148.72                        |
| 3                 | 4                  | 147.52                        |
| 4                 | 7                  | 141.12                        |
| 5                 | 14                 | 126.75                        |
| 6                 | 18                 | 118.97                        |
| 7                 | 60                 | 67.39                         |

| Punto de analisis | Profundidades (in) | T3S3 N°81 Tridem Convencional |
|-------------------|--------------------|-------------------------------|
|                   |                    | Deflexion (0.01 mm)           |
| 1                 | 0                  | 148.9456                      |
| 2                 | 2                  | 149.0218                      |
| 3                 | 4                  | 147.4216                      |
| 4                 | 7                  | 138.4554                      |
| 5                 | 14                 | 119.3546                      |
| 6                 | 18                 | 110.3884                      |
| 7                 | 60                 | 62.484                        |

| Punto de analisis | Profundidades (in) | T3S3 N°81 Relacion |
|-------------------|--------------------|--------------------|
|                   |                    | Deflexion          |
| 1                 | 0                  | 1.013              |
| 2                 | 2                  | 0.998              |
| 3                 | 4                  | 1.001              |
| 4                 | 7                  | 1.019              |
| 5                 | 14                 | 1.062              |
| 6                 | 18                 | 1.078              |
| 7                 | 60                 | 1.078              |

### T3S3 N° 82

| Punto de analisis | Profundidades (in) | T3S3 N°82 Tridem Super Simple |
|-------------------|--------------------|-------------------------------|
|                   |                    | Deflexion (0.01 mm)           |
| 1                 | 0                  | 134.42                        |
| 2                 | 2                  | 133.50                        |
| 3                 | 4                  | 132.36                        |
| 4                 | 7                  | 126.49                        |
| 5                 | 14                 | 113.28                        |
| 6                 | 18                 | 106.12                        |
| 7                 | 60                 | 58.85                         |

| Punto de analisis | Profundidades (in) | T3S3 N°82 Tridem Convencional |
|-------------------|--------------------|-------------------------------|
|                   |                    | Deflexion (0.01 mm)           |
| 1                 | 0                  | 132.588                       |
| 2                 | 2                  | 132.588                       |
| 3                 | 4                  | 131.0894                      |
| 4                 | 7                  | 122.8598                      |
| 5                 | 14                 | 105.8672                      |
| 6                 | 18                 | 97.917                        |
| 7                 | 60                 | 54.864                        |

| Punto de analisis | Profundidades (in) | T3S3 N°82 Relacion |
|-------------------|--------------------|--------------------|
|                   |                    | Deflexion          |
| 1                 | 0                  | 1.014              |
| 2                 | 2                  | 1.007              |
| 3                 | 4                  | 1.010              |
| 4                 | 7                  | 1.030              |
| 5                 | 14                 | 1.070              |
| 6                 | 18                 | 1.084              |
| 7                 | 60                 | 1.073              |

### T3S3 N° 83

| Punto de analisis | Profundidades (in) | T3S3 N°83 Tridem Super Simple |
|-------------------|--------------------|-------------------------------|
|                   |                    | Deflexion (0.01 mm)           |
| 1                 | 0                  | 127.84                        |
| 2                 | 2                  | 126.85                        |
| 3                 | 4                  | 125.76                        |
| 4                 | 7                  | 120.09                        |
| 5                 | 14                 | 107.42                        |
| 6                 | 18                 | 100.48                        |
| 7                 | 60                 | 55.19                         |

| Punto de analisis | Profundidades (in) | T3S3 N°83 Tridem Convencional |
|-------------------|--------------------|-------------------------------|
|                   |                    | Deflexion (0.01 mm)           |
| 1                 | 0                  | 125.4506                      |
| 2                 | 2                  | 125.4252                      |
| 3                 | 4                  | 123.952                       |
| 4                 | 7                  | 116.1034                      |
| 5                 | 14                 | 99.9998                       |
| 6                 | 18                 | 92.4814                       |
| 7                 | 60                 | 51.562                        |

| Punto de analisis | Profundidades (in) | T3S3 N°83 Relacion |
|-------------------|--------------------|--------------------|
|                   |                    | Deflexion          |
| 1                 | 0                  | 1.019              |
| 2                 | 2                  | 1.011              |
| 3                 | 4                  | 1.015              |
| 4                 | 7                  | 1.034              |
| 5                 | 14                 | 1.074              |
| 6                 | 18                 | 1.087              |
| 7                 | 60                 | 1.070              |

### T3S3 N° 84

| Punto de analisis | Profundidades (in) | T3S3 N°84 Tridem Super Simple |
|-------------------|--------------------|-------------------------------|
|                   |                    | Deflexion (0.01 mm)           |
| 1                 | 0                  | 134.24                        |
| 2                 | 2                  | 133.20                        |
| 3                 | 4                  | 132.05                        |
| 4                 | 7                  | 126.19                        |
| 5                 | 14                 | 113.00                        |
| 6                 | 18                 | 105.84                        |
| 7                 | 60                 | 58.67                         |

| Punto de analisis | Profundidades (in) | T3S3 N°84 Tridem Convencional |
|-------------------|--------------------|-------------------------------|
|                   |                    | Deflexion (0.01 mm)           |
| 1                 | 0                  | 132.207                       |
| 2                 | 2                  | 132.207                       |
| 3                 | 4                  | 130.7084                      |
| 4                 | 7                  | 122.5042                      |
| 5                 | 14                 | 105.537                       |
| 6                 | 18                 | 97.6376                       |
| 7                 | 60                 | 54.6862                       |

| Punto de analisis | Profundidades (in) | T3S3 N°84 Relacion |
|-------------------|--------------------|--------------------|
|                   |                    | Deflexion          |
| 1                 | 0                  | 1.015              |
| 2                 | 2                  | 1.007              |
| 3                 | 4                  | 1.010              |
| 4                 | 7                  | 1.030              |
| 5                 | 14                 | 1.071              |
| 6                 | 18                 | 1.084              |
| 7                 | 60                 | 1.073              |

### T3S3 N° 85

| Punto de analisis | Profundidades (in) | T3S3 N°85 Tridem Super Simple |
|-------------------|--------------------|-------------------------------|
|                   |                    | Deflexion (0.01 mm)           |
| 1                 | 0                  | 115.52                        |
| 2                 | 2                  | 114.78                        |
| 3                 | 4                  | 113.69                        |
| 4                 | 7                  | 108.36                        |
| 5                 | 14                 | 96.34                         |
| 6                 | 18                 | 89.74                         |
| 7                 | 60                 | 47.57                         |

| Punto de analisis | Profundidades (in) | T3S3 N°85 Tridem Convencional |
|-------------------|--------------------|-------------------------------|
|                   |                    | Deflexion (0.01 mm)           |
| 1                 | 0                  | 112.4458                      |
| 2                 | 2                  | 111.9632                      |
| 3                 | 4                  | 110.5154                      |
| 4                 | 7                  | 103.2002                      |
| 5                 | 14                 | 88.8492                       |
| 6                 | 18                 | 82.1182                       |
| 7                 | 60                 | 44.8056                       |

| Punto de analisis | Profundidades (in) | T3S3 N°85 Relacion |
|-------------------|--------------------|--------------------|
|                   |                    | Deflexion          |
| 1                 | 0                  | 1.027              |
| 2                 | 2                  | 1.025              |
| 3                 | 4                  | 1.029              |
| 4                 | 7                  | 1.050              |
| 5                 | 14                 | 1.084              |
| 6                 | 18                 | 1.093              |
| 7                 | 60                 | 1.062              |

### T3S3 N° 86

| Punto de analisis | Profundidades (in) | T3S3 N°86 Tridem Super Simple |
|-------------------|--------------------|-------------------------------|
|                   |                    | Deflexion (0.01 mm)           |
| 1                 | 0                  | 118.67                        |
| 2                 | 2                  | 117.75                        |
| 3                 | 4                  | 116.74                        |
| 4                 | 7                  | 111.51                        |
| 5                 | 14                 | 99.80                         |
| 6                 | 18                 | 93.42                         |
| 7                 | 60                 | 51.51                         |

| Punto de analisis | Profundidades (in) | T3S3 N°86 Tridem Convencional |
|-------------------|--------------------|-------------------------------|
|                   |                    | Deflexion (0.01 mm)           |
| 1                 | 0                  | 116.6368                      |
| 2                 | 2                  | 116.6114                      |
| 3                 | 4                  | 115.2652                      |
| 4                 | 7                  | 108.0008                      |
| 5                 | 14                 | 93.0402                       |
| 6                 | 18                 | 86.0552                       |
| 7                 | 60                 | 48.0568                       |

| Punto de analisis | Profundidades (in) | T3S3 N°86 Relacion |
|-------------------|--------------------|--------------------|
|                   |                    | Deflexion          |
| 1                 | 0                  | 1.017              |
| 2                 | 2                  | 1.010              |
| 3                 | 4                  | 1.013              |
| 4                 | 7                  | 1.032              |
| 5                 | 14                 | 1.073              |
| 6                 | 18                 | 1.086              |
| 7                 | 60                 | 1.072              |

### T3S3 N° 87

| Punto de analisis | Profundidades (in) | T3S3 N°87 Tridem Super Simple |
|-------------------|--------------------|-------------------------------|
|                   |                    | Deflexion (0.01 mm)           |
| 1                 | 0                  | 129.13                        |
| 2                 | 2                  | 128.14                        |
| 3                 | 4                  | 127.03                        |
| 4                 | 7                  | 121.34                        |
| 5                 | 14                 | 108.56                        |
| 6                 | 18                 | 101.57                        |
| 7                 | 60                 | 55.91                         |

| Punto de analisis | Profundidades (in) | T3S3 N°87 Tridem Convencional |
|-------------------|--------------------|-------------------------------|
|                   |                    | Deflexion (0.01 mm)           |
| 1                 | 0                  | 126.8222                      |
| 2                 | 2                  | 126.7968                      |
| 3                 | 4                  | 125.3236                      |
| 4                 | 7                  | 117.3988                      |
| 5                 | 14                 | 101.1174                      |
| 6                 | 18                 | 93.5228                       |
| 7                 | 60                 | 52.197                        |

| Punto de analisis | Profundidades (in) | T3S3 N°87 Relacion |
|-------------------|--------------------|--------------------|
|                   |                    | Deflexion          |
| 1                 | 0                  | 1.018              |
| 2                 | 2                  | 1.011              |
| 3                 | 4                  | 1.014              |
| 4                 | 7                  | 1.034              |
| 5                 | 14                 | 1.074              |
| 6                 | 18                 | 1.086              |
| 7                 | 60                 | 1.071              |

### T3S3 N° 88

| Punto de analisis | Profundidades (in) | T3S3 N°88 Tridem Super Simple |
|-------------------|--------------------|-------------------------------|
|                   |                    | Deflexion (0.01 mm)           |
| 1                 | 0                  | 128.68                        |
| 2                 | 2                  | 127.71                        |
| 3                 | 4                  | 126.57                        |
| 4                 | 7                  | 120.78                        |
| 5                 | 14                 | 107.75                        |
| 6                 | 18                 | 100.63                        |
| 7                 | 60                 | 54.43                         |

| Punto de analisis | Profundidades (in) | T3S3 N°88 Tridem Convencional |
|-------------------|--------------------|-------------------------------|
|                   |                    | Deflexion (0.01 mm)           |
| 1                 | 0                  | 125.7808                      |
| 2                 | 2                  | 125.5522                      |
| 3                 | 4                  | 124.0282                      |
| 4                 | 7                  | 116.0018                      |
| 5                 | 14                 | 99.8982                       |
| 6                 | 18                 | 92.3798                       |
| 7                 | 60                 | 51.054                        |

| Punto de analisis | Profundidades (in) | T3S3 N°88 Relacion |
|-------------------|--------------------|--------------------|
|                   |                    | Deflexion          |
| 1                 | 0                  | 1.023              |
| 2                 | 2                  | 1.017              |
| 3                 | 4                  | 1.020              |
| 4                 | 7                  | 1.041              |
| 5                 | 14                 | 1.079              |
| 6                 | 18                 | 1.089              |
| 7                 | 60                 | 1.066              |

### T3S3 N° 89

| Punto de analisis | Profundidades (in) | T3S3 N°89 Tridem Super Simple |
|-------------------|--------------------|-------------------------------|
|                   |                    | Deflexion (0.01 mm)           |
| 1                 | 0                  | 119.28                        |
| 2                 | 2                  | 118.36                        |
| 3                 | 4                  | 117.35                        |
| 4                 | 7                  | 112.09                        |
| 5                 | 14                 | 100.33                        |
| 6                 | 18                 | 93.93                         |
| 7                 | 60                 | 51.84                         |

| Punto de analisis | Profundidades (in) | T3S3 N°89 Tridem Convencional |
|-------------------|--------------------|-------------------------------|
|                   |                    | Deflexion (0.01 mm)           |
| 1                 | 0                  | 117.2718                      |
| 2                 | 2                  | 117.2718                      |
| 3                 | 4                  | 115.9256                      |
| 4                 | 7                  | 108.6104                      |
| 5                 | 14                 | 93.5482                       |
| 6                 | 18                 | 86.5378                       |
| 7                 | 60                 | 48.3616                       |

| Punto de analisis | Profundidades (in) | T3S3 N°89 Relacion |
|-------------------|--------------------|--------------------|
|                   |                    | Deflexion          |
| 1                 | 0                  | 1.017              |
| 2                 | 2                  | 1.009              |
| 3                 | 4                  | 1.012              |
| 4                 | 7                  | 1.032              |
| 5                 | 14                 | 1.072              |
| 6                 | 18                 | 1.085              |
| 7                 | 60                 | 1.072              |

### T3S3 N° 90

| Punto de analisis | Profundidades (in) | T3S3 N°90 Tridem Super Simple |
|-------------------|--------------------|-------------------------------|
|                   |                    | Deflexion (0.01 mm)           |
| 1                 | 0                  | 114.05                        |
| 2                 | 2                  | 113.21                        |
| 3                 | 4                  | 112.17                        |
| 4                 | 7                  | 106.98                        |
| 5                 | 14                 | 95.35                         |
| 6                 | 18                 | 89.00                         |
| 7                 | 60                 | 47.83                         |

| Punto de analisis | Profundidades (in) | T3S3 N°90 Tridem Convencional |
|-------------------|--------------------|-------------------------------|
|                   |                    | Deflexion (0.01 mm)           |
| 1                 | 0                  | 111.2012                      |
| 2                 | 2                  | 110.998                       |
| 3                 | 4                  | 109.601                       |
| 4                 | 7                  | 102.4636                      |
| 5                 | 14                 | 88.2142                       |
| 6                 | 18                 | 81.5848                       |
| 7                 | 60                 | 44.9072                       |

| Punto de analisis | Profundidades (in) | T3S3 N°90 Relacion |
|-------------------|--------------------|--------------------|
|                   |                    | Deflexion          |
| 1                 | 0                  | 1.026              |
| 2                 | 2                  | 1.020              |
| 3                 | 4                  | 1.023              |
| 4                 | 7                  | 1.044              |
| 5                 | 14                 | 1.081              |
| 6                 | 18                 | 1.091              |
| 7                 | 60                 | 1.065              |

### T3S3 N° 91

| Punto de analisis | Profundidades (in) | T3S3 N°91 Tridem Super Simple |
|-------------------|--------------------|-------------------------------|
|                   |                    | Deflexion (0.01 mm)           |
| 1                 | 0                  | 122.25                        |
| 2                 | 2                  | 121.34                        |
| 3                 | 4                  | 120.24                        |
| 4                 | 7                  | 114.78                        |
| 5                 | 14                 | 102.51                        |
| 6                 | 18                 | 95.83                         |
| 7                 | 60                 | 52.20                         |

| Punto de analisis | Profundidades (in) | T3S3 N°91 Tridem Convencional |
|-------------------|--------------------|-------------------------------|
|                   |                    | Deflexion (0.01 mm)           |
| 1                 | 0                  | 119.634                       |
| 2                 | 2                  | 119.5832                      |
| 3                 | 4                  | 118.1608                      |
| 4                 | 7                  | 110.5662                      |
| 5                 | 14                 | 95.2246                       |
| 6                 | 18                 | 88.0618                       |
| 7                 | 60                 | 48.8696                       |

| Punto de analisis | Profundidades (in) | T3S3 N°91 Relacion |
|-------------------|--------------------|--------------------|
|                   |                    | Deflexion          |
| 1                 | 0                  | 1.022              |
| 2                 | 2                  | 1.015              |
| 3                 | 4                  | 1.018              |
| 4                 | 7                  | 1.038              |
| 5                 | 14                 | 1.077              |
| 6                 | 18                 | 1.088              |
| 7                 | 60                 | 1.068              |

### T3S3 N° 92

| Punto de analisis | Profundidades (in) | T3S3 N°92 Tridem Super Simple |
|-------------------|--------------------|-------------------------------|
|                   |                    | Deflexion (0.01 mm)           |
| 1                 | 0                  | 132.49                        |
| 2                 | 2                  | 131.45                        |
| 3                 | 4                  | 130.33                        |
| 4                 | 7                  | 124.51                        |
| 5                 | 14                 | 111.46                        |
| 6                 | 18                 | 104.37                        |
| 7                 | 60                 | 57.71                         |

| Punto de analisis | Profundidades (in) | T3S3 N°92 Tridem Convencional |
|-------------------|--------------------|-------------------------------|
|                   |                    | Deflexion (0.01 mm)           |
| 1                 | 0                  | 130.3528                      |
| 2                 | 2                  | 130.3528                      |
| 3                 | 4                  | 128.8542                      |
| 4                 | 7                  | 120.7516                      |
| 5                 | 14                 | 104.013                       |
| 6                 | 18                 | 96.2152                       |
| 7                 | 60                 | 53.8226                       |

| Punto de analisis | Profundidades (in) | T3S3 N°92 Relacion |
|-------------------|--------------------|--------------------|
|                   |                    | Deflexion          |
| 1                 | 0                  | 1.016              |
| 2                 | 2                  | 1.008              |
| 3                 | 4                  | 1.011              |
| 4                 | 7                  | 1.031              |
| 5                 | 14                 | 1.072              |
| 6                 | 18                 | 1.085              |
| 7                 | 60                 | 1.072              |

### T3S3 N° 93

| Punto de analisis | Profundidades (in) | T3S3 N°93 Tridem Super Simple |
|-------------------|--------------------|-------------------------------|
|                   |                    | Deflexion (0.01 mm)           |
| 1                 | 0                  | 114.48                        |
| 2                 | 2                  | 113.64                        |
| 3                 | 4                  | 112.60                        |
| 4                 | 7                  | 107.39                        |
| 5                 | 14                 | 95.73                         |
| 6                 | 18                 | 89.36                         |
| 7                 | 60                 | 48.06                         |

| Punto de analisis | Profundidades (in) | T3S3 N°93 Tridem Convencional |
|-------------------|--------------------|-------------------------------|
|                   |                    | Deflexion (0.01 mm)           |
| 1                 | 0                  | 111.6838                      |
| 2                 | 2                  | 111.4806                      |
| 3                 | 4                  | 110.0836                      |
| 4                 | 7                  | 102.9208                      |
| 5                 | 14                 | 88.6206                       |
| 6                 | 18                 | 81.9404                       |
| 7                 | 60                 | 45.1358                       |

| Punto de analisis | Profundidades (in) | T3S3 N°93 Relacion |
|-------------------|--------------------|--------------------|
|                   |                    | Deflexion          |
| 1                 | 0                  | 1.025              |
| 2                 | 2                  | 1.019              |
| 3                 | 4                  | 1.023              |
| 4                 | 7                  | 1.043              |
| 5                 | 14                 | 1.080              |
| 6                 | 18                 | 1.091              |
| 7                 | 60                 | 1.065              |

### T3S3 N° 94

| Punto de analisis | Profundidades (in) | T3S3 N°94 Tridem Super Simple |
|-------------------|--------------------|-------------------------------|
|                   |                    | Deflexion (0.01 mm)           |
| 1                 | 0                  | 122.73                        |
| 2                 | 2                  | 121.84                        |
| 3                 | 4                  | 120.73                        |
| 4                 | 7                  | 115.14                        |
| 5                 | 14                 | 102.57                        |
| 6                 | 18                 | 95.68                         |
| 7                 | 60                 | 51.31                         |

| Punto de analisis | Profundidades (in) | T3S3 N°94 Tridem Convencional |
|-------------------|--------------------|-------------------------------|
|                   |                    | Deflexion (0.01 mm)           |
| 1                 | 0                  | 119.6086                      |
| 2                 | 2                  | 119.3546                      |
| 3                 | 4                  | 117.8814                      |
| 4                 | 7                  | 110.1598                      |
| 5                 | 14                 | 94.8436                       |
| 6                 | 18                 | 87.7062                       |
| 7                 | 60                 | 48.2092                       |

| Punto de analisis | Profundidades (in) | T3S3 N°94 Relacion |
|-------------------|--------------------|--------------------|
|                   |                    | Deflexion          |
| 1                 | 0                  | 1.026              |
| 2                 | 2                  | 1.021              |
| 3                 | 4                  | 1.024              |
| 4                 | 7                  | 1.045              |
| 5                 | 14                 | 1.081              |
| 6                 | 18                 | 1.091              |
| 7                 | 60                 | 1.064              |

### T3S3 N° 95

| Punto de analisis | Profundidades (in) | T3S3 N°95 Tridem Super Simple |
|-------------------|--------------------|-------------------------------|
|                   |                    | Deflexion (0.01 mm)           |
| 1                 | 0                  | 118.97                        |
| 2                 | 2                  | 118.08                        |
| 3                 | 4                  | 117.02                        |
| 4                 | 7                  | 111.66                        |
| 5                 | 14                 | 99.64                         |
| 6                 | 18                 | 93.09                         |
| 7                 | 60                 | 50.44                         |

| Punto de analisis | Profundidades (in) | T3S3 N°95 Tridem Convencional |
|-------------------|--------------------|-------------------------------|
|                   |                    | Deflexion (0.01 mm)           |
| 1                 | 0                  | 116.332                       |
| 2                 | 2                  | 116.1288                      |
| 3                 | 4                  | 114.7318                      |
| 4                 | 7                  | 107.315                       |
| 5                 | 14                 | 92.4052                       |
| 6                 | 18                 | 85.471                        |
| 7                 | 60                 | 47.2694                       |

| Punto de analisis | Profundidades (in) | T3S3 N°95 Relacion |
|-------------------|--------------------|--------------------|
|                   |                    | Deflexion          |
| 1                 | 0                  | 1.023              |
| 2                 | 2                  | 1.017              |
| 3                 | 4                  | 1.020              |
| 4                 | 7                  | 1.040              |
| 5                 | 14                 | 1.078              |
| 6                 | 18                 | 1.089              |
| 7                 | 60                 | 1.067              |

### T3S3 N° 96

| Punto de analisis | Profundidades (in) | T3S3 N°96 Tridem Super Simple |
|-------------------|--------------------|-------------------------------|
|                   |                    | Deflexion (0.01 mm)           |
| 1                 | 0                  | 132.59                        |
| 2                 | 2                  | 131.60                        |
| 3                 | 4                  | 130.43                        |
| 4                 | 7                  | 124.49                        |
| 5                 | 14                 | 111.18                        |
| 6                 | 18                 | 103.91                        |
| 7                 | 60                 | 56.52                         |

| Punto de analisis | Profundidades (in) | T3S3 N°96 Tridem Convencional |
|-------------------|--------------------|-------------------------------|
|                   |                    | Deflexion (0.01 mm)           |
| 1                 | 0                  | 129.6416                      |
| 2                 | 2                  | 129.5908                      |
| 3                 | 4                  | 128.0414                      |
| 4                 | 7                  | 119.8118                      |
| 5                 | 14                 | 103.1748                      |
| 6                 | 18                 | 95.4278                       |
| 7                 | 60                 | 52.9082                       |

| Punto de analisis | Profundidades (in) | T3S3 N°96 Relacion |
|-------------------|--------------------|--------------------|
|                   |                    | Deflexion          |
| 1                 | 0                  | 1.023              |
| 2                 | 2                  | 1.015              |
| 3                 | 4                  | 1.019              |
| 4                 | 7                  | 1.039              |
| 5                 | 14                 | 1.078              |
| 6                 | 18                 | 1.089              |
| 7                 | 60                 | 1.068              |

### T3S3 N° 97

| Punto de analisis | Profundidades (in) | T3S3 N°97 Tridem Super Simple |
|-------------------|--------------------|-------------------------------|
|                   |                    | Deflexion (0.01 mm)           |
| 1                 | 0                  | 103.71                        |
| 2                 | 2                  | 101.78                        |
| 3                 | 4                  | 100.74                        |
| 4                 | 7                  | 95.89                         |
| 5                 | 14                 | 84.89                         |
| 6                 | 18                 | 78.87                         |
| 7                 | 60                 | 40.87                         |

| Punto de analisis | Profundidades (in) | T3S3 N°97 Tridem Convencional |
|-------------------|--------------------|-------------------------------|
|                   |                    | Deflexion (0.01 mm)           |
| 1                 | 0                  | 98.8822                       |
| 2                 | 2                  | 98.552                        |
| 3                 | 4                  | 97.2058                       |
| 4                 | 7                  | 90.6272                       |
| 5                 | 14                 | 77.978                        |
| 6                 | 18                 | 72.0344                       |
| 7                 | 60                 | 38.735                        |

| Punto de analisis | Profundidades (in) | T3S3 N°97 Relacion |
|-------------------|--------------------|--------------------|
|                   |                    | Deflexion          |
| 1                 | 0                  | 1.049              |
| 2                 | 2                  | 1.033              |
| 3                 | 4                  | 1.036              |
| 4                 | 7                  | 1.058              |
| 5                 | 14                 | 1.089              |
| 6                 | 18                 | 1.095              |
| 7                 | 60                 | 1.055              |

### T3S3 N° 98

| Punto de analisis | Profundidades (in) | T3S3 N°98 Tridem Super Simple |
|-------------------|--------------------|-------------------------------|
|                   |                    | Deflexion (0.01 mm)           |
| 1                 | 0                  | 106.35                        |
| 2                 | 2                  | 105.66                        |
| 3                 | 4                  | 104.67                        |
| 4                 | 7                  | 99.77                         |
| 5                 | 14                 | 88.72                         |
| 6                 | 18                 | 82.65                         |
| 7                 | 60                 | 43.84                         |

| Punto de analisis | Profundidades (in) | T3S3 N°98 Tridem Convencional |
|-------------------|--------------------|-------------------------------|
|                   |                    | Deflexion (0.01 mm)           |
| 1                 | 0                  | 103.6066                      |
| 2                 | 2                  | 103.1748                      |
| 3                 | 4                  | 101.854                       |
| 4                 | 7                  | 95.123                        |
| 5                 | 14                 | 81.8642                       |
| 6                 | 18                 | 75.692                        |
| 7                 | 60                 | 41.3258                       |

| Punto de analisis | Profundidades (in) | T3S3 N°98 Relacion |
|-------------------|--------------------|--------------------|
|                   |                    | Deflexion          |
| 1                 | 0                  | 1.026              |
| 2                 | 2                  | 1.024              |
| 3                 | 4                  | 1.028              |
| 4                 | 7                  | 1.049              |
| 5                 | 14                 | 1.084              |
| 6                 | 18                 | 1.092              |
| 7                 | 60                 | 1.061              |

### T3S3 N° 99

| Punto de analisis | Profundidades (in) | T3S3 N°99 Tridem Super Simple |
|-------------------|--------------------|-------------------------------|
|                   |                    | Deflexion (0.01 mm)           |
| 1                 | 0                  | 141.91                        |
| 2                 | 2                  | 140.79                        |
| 3                 | 4                  | 139.60                        |
| 4                 | 7                  | 133.35                        |
| 5                 | 14                 | 119.30                        |
| 6                 | 18                 | 111.68                        |
| 7                 | 60                 | 61.54                         |

| Punto de analisis | Profundidades (in) | T3S3 N°99 Tridem Convencional |
|-------------------|--------------------|-------------------------------|
|                   |                    | Deflexion (0.01 mm)           |
| 1                 | 0                  | 139.4714                      |
| 2                 | 2                  | 139.4714                      |
| 3                 | 4                  | 137.8458                      |
| 4                 | 7                  | 129.1336                      |
| 5                 | 14                 | 111.252                       |
| 6                 | 18                 | 102.8954                      |
| 7                 | 60                 | 57.4548                       |

| Punto de analisis | Profundidades (in) | T3S3 N°99 Relacion |
|-------------------|--------------------|--------------------|
|                   |                    | Deflexion          |
| 1                 | 0                  | 1.017              |
| 2                 | 2                  | 1.009              |
| 3                 | 4                  | 1.013              |
| 4                 | 7                  | 1.033              |
| 5                 | 14                 | 1.072              |
| 6                 | 18                 | 1.085              |
| 7                 | 60                 | 1.071              |

### T3S3 N° 100

| Punto de analisis | Profundidades (in) | T3S3 N°100 Tridem Super Simple |
|-------------------|--------------------|--------------------------------|
|                   |                    | Deflexion (0.01 mm)            |
| 1                 | 0                  | 128.09                         |
| 2                 | 2                  | 127.15                         |
| 3                 | 4                  | 125.98                         |
| 4                 | 7                  | 120.22                         |
| 5                 | 14                 | 107.24                         |
| 6                 | 18                 | 100.15                         |
| 7                 | 60                 | 54.13                          |

| Punto de analisis | Profundidades (in) | T3S3 N°100 Tridem Convencional |
|-------------------|--------------------|--------------------------------|
|                   |                    | Deflexion (0.01 mm)            |
| 1                 | 0                  | 125.1458                       |
| 2                 | 2                  | 124.9172                       |
| 3                 | 4                  | 123.3932                       |
| 4                 | 7                  | 115.3922                       |
| 5                 | 14                 | 99.3648                        |
| 6                 | 18                 | 91.8972                        |
| 7                 | 60                 | 50.7492                        |

| Punto de analisis | Profundidades (in) | T3S3 N°100 Relacion |
|-------------------|--------------------|---------------------|
|                   |                    | Deflexion           |
| 1                 | 0                  | 1.024               |
| 2                 | 2                  | 1.018               |
| 3                 | 4                  | 1.021               |
| 4                 | 7                  | 1.042               |
| 5                 | 14                 | 1.079               |
| 6                 | 18                 | 1.090               |
| 7                 | 60                 | 1.067               |

### T3S3 N° 101

| Punto de analisis | Profundidades (in) | T3S3 N°101 Tridem Super Simple |
|-------------------|--------------------|--------------------------------|
|                   |                    | Deflexion (0.01 mm)            |
| 1                 | 0                  | 118.36                         |
| 2                 | 2                  | 117.48                         |
| 3                 | 4                  | 116.41                         |
| 4                 | 7                  | 111.10                         |
| 5                 | 14                 | 99.11                          |
| 6                 | 18                 | 92.58                          |
| 7                 | 60                 | 50.11                          |

| Punto de analisis | Profundidades (in) | T3S3 N°101 Tridem Convencional |
|-------------------|--------------------|--------------------------------|
|                   |                    | Deflexion (0.01 mm)            |
| 1                 | 0                  | 115.697                        |
| 2                 | 2                  | 115.4938                       |
| 3                 | 4                  | 114.0968                       |
| 4                 | 7                  | 106.7054                       |
| 5                 | 14                 | 91.8972                        |
| 6                 | 18                 | 84.9884                        |
| 7                 | 60                 | 46.9646                        |

| Punto de analisis | Profundidades (in) | T3S3 N°101 Relacion |
|-------------------|--------------------|---------------------|
|                   |                    | Deflexion           |
| 1                 | 0                  | 1.023               |
| 2                 | 2                  | 1.017               |
| 3                 | 4                  | 1.020               |
| 4                 | 7                  | 1.041               |
| 5                 | 14                 | 1.078               |
| 6                 | 18                 | 1.089               |
| 7                 | 60                 | 1.067               |

### T3S3 N° 102

| Punto de analisis | Profundidades (in) | T3S3 N°102 Tridem Super Simple |
|-------------------|--------------------|--------------------------------|
|                   |                    | Deflexion (0.01 mm)            |
| 1                 | 0                  | 125.73                         |
| 2                 | 2                  | 124.76                         |
| 3                 | 4                  | 123.67                         |
| 4                 | 7                  | 118.08                         |
| 5                 | 14                 | 105.56                         |
| 6                 | 18                 | 98.73                          |
| 7                 | 60                 | 54.05                          |

| Punto de analisis | Profundidades (in) | T3S3 N°102 Tridem Convencional |
|-------------------|--------------------|--------------------------------|
|                   |                    | Deflexion (0.01 mm)            |
| 1                 | 0                  | 123.2408                       |
| 2                 | 2                  | 123.2154                       |
| 3                 | 4                  | 121.7676                       |
| 4                 | 7                  | 114.0206                       |
| 5                 | 14                 | 98.1964                        |
| 6                 | 18                 | 90.8304                        |
| 7                 | 60                 | 50.546                         |

| Punto de analisis | Profundidades (in) | T3S3 N°102 Relacion |
|-------------------|--------------------|---------------------|
|                   |                    | Deflexion           |
| 1                 | 0                  | 1.020               |
| 2                 | 2                  | 1.013               |
| 3                 | 4                  | 1.016               |
| 4                 | 7                  | 1.036               |
| 5                 | 14                 | 1.075               |
| 6                 | 18                 | 1.087               |
| 7                 | 60                 | 1.069               |



### T3S3 N° 103

| Punto de analisis | Profundidades (in) | T3S3 N°103 Tridem Super Simple |
|-------------------|--------------------|--------------------------------|
|                   |                    | Deflexion (0.01 mm)            |
| 1                 | 0                  | 141.63                         |
| 2                 | 2                  | 139.73                         |
| 3                 | 4                  | 138.56                         |
| 4                 | 7                  | 132.49                         |
| 5                 | 14                 | 118.80                         |
| 6                 | 18                 | 111.38                         |
| 7                 | 60                 | 62.33                          |

| Punto de analisis | Profundidades (in) | T3S3 N°103 Tridem Convencional |
|-------------------|--------------------|--------------------------------|
|                   |                    | Deflexion (0.01 mm)            |
| 1                 | 0                  | 139.2428                       |
| 2                 | 2                  | 139.2936                       |
| 3                 | 4                  | 137.7442                       |
| 4                 | 7                  | 129.2098                       |
| 5                 | 14                 | 111.3536                       |
| 6                 | 18                 | 102.997                        |
| 7                 | 60                 | 57.9628                        |

| Punto de analisis | Profundidades (in) | T3S3 N°103 Relacion |
|-------------------|--------------------|---------------------|
|                   |                    | Deflexion           |
| 1                 | 0                  | 1.017               |
| 2                 | 2                  | 1.003               |
| 3                 | 4                  | 1.006               |
| 4                 | 7                  | 1.025               |
| 5                 | 14                 | 1.067               |
| 6                 | 18                 | 1.081               |
| 7                 | 60                 | 1.075               |

### T3S3 N° 104

| Punto de analisis | Profundidades (in) | T3S3 N°104 Tridem Super Simple |
|-------------------|--------------------|--------------------------------|
|                   |                    | Deflexion (0.01 mm)            |
| 1                 | 0                  | 123.04                         |
| 2                 | 2                  | 122.12                         |
| 3                 | 4                  | 121.03                         |
| 4                 | 7                  | 115.54                         |
| 5                 | 14                 | 103.23                         |
| 6                 | 18                 | 96.49                          |
| 7                 | 60                 | 52.63                          |

| Punto de analisis | Profundidades (in) | T3S3 N°104 Tridem Convencional |
|-------------------|--------------------|--------------------------------|
|                   |                    | Deflexion (0.01 mm)            |
| 1                 | 0                  | 120.4468                       |
| 2                 | 2                  | 120.396                        |
| 3                 | 4                  | 118.9736                       |
| 4                 | 7                  | 111.3536                       |
| 5                 | 14                 | 95.885                         |
| 6                 | 18                 | 88.6968                        |
| 7                 | 60                 | 49.2252                        |

| Punto de analisis | Profundidades (in) | T3S3 N°104 Relacion |
|-------------------|--------------------|---------------------|
|                   |                    | Deflexion           |
| 1                 | 0                  | 1.022               |
| 2                 | 2                  | 1.014               |
| 3                 | 4                  | 1.017               |
| 4                 | 7                  | 1.038               |
| 5                 | 14                 | 1.077               |
| 6                 | 18                 | 1.088               |
| 7                 | 60                 | 1.069               |

### T3S3 N° 105

| Punto de analisis | Profundidades (in) | T3S3 N°105 Tridem Super Simple |
|-------------------|--------------------|--------------------------------|
|                   |                    | Deflexion (0.01 mm)            |
| 1                 | 0                  | 164.64                         |
| 2                 | 2                  | 163.47                         |
| 3                 | 4                  | 156.26                         |
| 4                 | 7                  | 145.26                         |
| 5                 | 14                 | 123.39                         |
| 6                 | 18                 | 113.92                         |
| 7                 | 60                 | 60.58                          |

| Punto de analisis | Profundidades (in) | T3S3 N°105 Tridem Convencional |
|-------------------|--------------------|--------------------------------|
|                   |                    | Deflexion (0.01 mm)            |
| 1                 | 0                  | 131.5466                       |
| 2                 | 2                  | 131.4958                       |
| 3                 | 4                  | 129.921                        |
| 4                 | 7                  | 121.6152                       |
| 5                 | 14                 | 104.7242                       |
| 6                 | 18                 | 96.8756                        |
| 7                 | 60                 | 53.7718                        |

| Punto de analisis | Profundidades (in) | T3S3 N°105 Relacion |
|-------------------|--------------------|---------------------|
|                   |                    | Deflexion           |
| 1                 | 0                  | 1.252               |
| 2                 | 2                  | 1.243               |
| 3                 | 4                  | 1.203               |
| 4                 | 7                  | 1.194               |
| 5                 | 14                 | 1.178               |
| 6                 | 18                 | 1.176               |
| 7                 | 60                 | 1.127               |

### T3S3 N° 106

| Punto de analisis | Profundidades (in) | T3S3 N°106 Tridem Super Simple |
|-------------------|--------------------|--------------------------------|
|                   |                    | Deflexion (0.01 mm)            |
| 1                 | 0                  | 126.03                         |
| 2                 | 2                  | 125.10                         |
| 3                 | 4                  | 123.95                         |
| 4                 | 7                  | 118.26                         |
| 5                 | 14                 | 105.44                         |
| 6                 | 18                 | 98.43                          |
| 7                 | 60                 | 53.04                          |

| Punto de analisis | Profundidades (in) | T3S3 N°106 Tridem Convencional |
|-------------------|--------------------|--------------------------------|
|                   |                    | Deflexion (0.01 mm)            |
| 1                 | 0                  | 123.0376                       |
| 2                 | 2                  | 122.809                        |
| 3                 | 4                  | 121.285                        |
| 4                 | 7                  | 113.411                        |
| 5                 | 14                 | 97.6376                        |
| 6                 | 18                 | 90.297                         |
| 7                 | 60                 | 49.784                         |

| Punto de analisis | Profundidades (in) | T3S3 N°106 Relacion |
|-------------------|--------------------|---------------------|
|                   |                    | Deflexion           |
| 1                 | 0                  | 1.024               |
| 2                 | 2                  | 1.019               |
| 3                 | 4                  | 1.022               |
| 4                 | 7                  | 1.043               |
| 5                 | 14                 | 1.080               |
| 6                 | 18                 | 1.090               |
| 7                 | 60                 | 1.065               |

### T3S3 N° 107

| Punto de analisis | Profundidades (in) | T3S3 N°107 Tridem Super Simple |
|-------------------|--------------------|--------------------------------|
|                   |                    | Deflexion (0.01 mm)            |
| 1                 | 0                  | 133.76                         |
| 2                 | 2                  | 132.74                         |
| 3                 | 4                  | 131.57                         |
| 4                 | 7                  | 125.60                         |
| 5                 | 14                 | 112.19                         |
| 6                 | 18                 | 104.88                         |
| 7                 | 60                 | 57.15                          |

| Punto de analisis | Profundidades (in) | T3S3 N°107 Tridem Convencional |
|-------------------|--------------------|--------------------------------|
|                   |                    | Deflexion (0.01 mm)            |
| 1                 | 0                  | 130.9116                       |
| 2                 | 2                  | 130.8608                       |
| 3                 | 4                  | 129.286                        |
| 4                 | 7                  | 121.0056                       |
| 5                 | 14                 | 104.2162                       |
| 6                 | 18                 | 96.3676                        |
| 7                 | 60                 | 53.4924                        |

| Punto de analisis | Profundidades (in) | T3S3 N°107 Relacion |
|-------------------|--------------------|---------------------|
|                   |                    | Deflexion           |
| 1                 | 0                  | 1.022               |
| 2                 | 2                  | 1.014               |
| 3                 | 4                  | 1.018               |
| 4                 | 7                  | 1.038               |
| 5                 | 14                 | 1.077               |
| 6                 | 18                 | 1.088               |
| 7                 | 60                 | 1.068               |

### T3S3 N° 108

| Punto de analisis | Profundidades (in) | T3S3 N°108 Tridem Super Simple |
|-------------------|--------------------|--------------------------------|
|                   |                    | Deflexion (0.01 mm)            |
| 1                 | 0                  | 129.54                         |
| 2                 | 2                  | 128.57                         |
| 3                 | 4                  | 127.43                         |
| 4                 | 7                  | 121.59                         |
| 5                 | 14                 | 108.51                         |
| 6                 | 18                 | 101.37                         |
| 7                 | 60                 | 54.89                          |

| Punto de analisis | Profundidades (in) | T3S3 N°108 Tridem Convencional |
|-------------------|--------------------|--------------------------------|
|                   |                    | Deflexion (0.01 mm)            |
| 1                 | 0                  | 126.6698                       |
| 2                 | 2                  | 126.4412                       |
| 3                 | 4                  | 124.9172                       |
| 4                 | 7                  | 116.84                         |
| 5                 | 14                 | 100.6094                       |
| 6                 | 18                 | 93.0402                        |
| 7                 | 60                 | 51.4604                        |

| Punto de analisis | Profundidades (in) | T3S3 N°108 Relacion |
|-------------------|--------------------|---------------------|
|                   |                    | Deflexion           |
| 1                 | 0                  | 1.023               |
| 2                 | 2                  | 1.017               |
| 3                 | 4                  | 1.020               |
| 4                 | 7                  | 1.041               |
| 5                 | 14                 | 1.079               |
| 6                 | 18                 | 1.090               |
| 7                 | 60                 | 1.067               |

### T3S3 N° 109

| Punto de analisis | Profundidades (in) | T3S3 N°109 Tridem Super Simple |
|-------------------|--------------------|--------------------------------|
|                   |                    | Deflexion (0.01 mm)            |
| 1                 | 0                  | 122.38                         |
| 2                 | 2                  | 121.46                         |
| 3                 | 4                  | 120.37                         |
| 4                 | 7                  | 114.91                         |
| 5                 | 14                 | 102.64                         |
| 6                 | 18                 | 95.94                          |
| 7                 | 60                 | 52.27                          |

| Punto de analisis | Profundidades (in) | T3S3 N°109 Tridem Convencional |
|-------------------|--------------------|--------------------------------|
|                   |                    | Deflexion (0.01 mm)            |
| 1                 | 0                  | 119.761                        |
| 2                 | 2                  | 119.7102                       |
| 3                 | 4                  | 118.2878                       |
| 4                 | 7                  | 110.6932                       |
| 5                 | 14                 | 95.3262                        |
| 6                 | 18                 | 88.1634                        |
| 7                 | 60                 | 48.9204                        |

| Punto de analisis | Profundidades (in) | T3S3 N°109 Relacion |
|-------------------|--------------------|---------------------|
|                   |                    | Deflexion           |
| 1                 | 0                  | 1.022               |
| 2                 | 2                  | 1.015               |
| 3                 | 4                  | 1.018               |
| 4                 | 7                  | 1.038               |
| 5                 | 14                 | 1.077               |
| 6                 | 18                 | 1.088               |
| 7                 | 60                 | 1.069               |

### T3S3 N° 110

| Punto de analisis | Profundidades (in) | T3S3 N°110 Tridem Super Simple |
|-------------------|--------------------|--------------------------------|
|                   |                    | Deflexion (0.01 mm)            |
| 1                 | 0                  | 132.54                         |
| 2                 | 2                  | 131.55                         |
| 3                 | 4                  | 130.38                         |
| 4                 | 7                  | 124.43                         |
| 5                 | 14                 | 111.13                         |
| 6                 | 18                 | 103.86                         |
| 7                 | 60                 | 56.49                          |

| Punto de analisis | Profundidades (in) | T3S3 N°110 Tridem Convencional |
|-------------------|--------------------|--------------------------------|
|                   |                    | Deflexion (0.01 mm)            |
| 1                 | 0                  | 129.6416                       |
| 2                 | 2                  | 129.5908                       |
| 3                 | 4                  | 128.0414                       |
| 4                 | 7                  | 119.8118                       |
| 5                 | 14                 | 103.1748                       |
| 6                 | 18                 | 95.4278                        |
| 7                 | 60                 | 52.9082                        |

| Punto de analisis | Profundidades (in) | T3S3 N°110 Relacion |
|-------------------|--------------------|---------------------|
|                   |                    | Deflexion           |
| 1                 | 0                  | 1.022               |
| 2                 | 2                  | 1.015               |
| 3                 | 4                  | 1.018               |
| 4                 | 7                  | 1.039               |
| 5                 | 14                 | 1.077               |
| 6                 | 18                 | 1.088               |
| 7                 | 60                 | 1.068               |

### T3S3 N° 111

| Punto de analisis | Profundidades (in) | T3S3 N°111 Tridem Super Simple |
|-------------------|--------------------|--------------------------------|
|                   |                    | Deflexion (0.01 mm)            |
| 1                 | 0                  | 124.84                         |
| 2                 | 2                  | 123.90                         |
| 3                 | 4                  | 122.78                         |
| 4                 | 7                  | 117.12                         |
| 5                 | 14                 | 104.39                         |
| 6                 | 18                 | 97.43                          |
| 7                 | 60                 | 52.40                          |

| Punto de analisis | Profundidades (in) | T3S3 N°111 Tridem Convencional |
|-------------------|--------------------|--------------------------------|
|                   |                    | Deflexion (0.01 mm)            |
| 1                 | 0                  | 121.8184                       |
| 2                 | 2                  | 121.5644                       |
| 3                 | 4                  | 120.0658                       |
| 4                 | 7                  | 112.2426                       |
| 5                 | 14                 | 96.647                         |
| 6                 | 18                 | 89.3572                        |
| 7                 | 60                 | 49.2252                        |

| Punto de analisis | Profundidades (in) | T3S3 N°111 Relacion |
|-------------------|--------------------|---------------------|
|                   |                    | Deflexion           |
| 1                 | 0                  | 1.025               |
| 2                 | 2                  | 1.019               |
| 3                 | 4                  | 1.023               |
| 4                 | 7                  | 1.043               |
| 5                 | 14                 | 1.080               |
| 6                 | 18                 | 1.090               |
| 7                 | 60                 | 1.064               |

### T3S3 N° 112

| Punto de analisis | Profundidades (in) | T3S3 N°112 Tridem Super Simple |
|-------------------|--------------------|--------------------------------|
|                   |                    | Deflexion (0.01 mm)            |
| 1                 | 0                  | 134.65                         |
| 2                 | 2                  | 133.73                         |
| 3                 | 4                  | 132.59                         |
| 4                 | 7                  | 126.72                         |
| 5                 | 14                 | 113.49                         |
| 6                 | 18                 | 106.30                         |
| 7                 | 60                 | 58.98                          |

| Punto de analisis | Profundidades (in) | T3S3 N°112 Tridem Convencional |
|-------------------|--------------------|--------------------------------|
|                   |                    | Deflexion (0.01 mm)            |
| 1                 | 0                  | 132.7912                       |
| 2                 | 2                  | 132.7912                       |
| 3                 | 4                  | 131.2926                       |
| 4                 | 7                  | 123.063                        |
| 5                 | 14                 | 106.0196                       |
| 6                 | 18                 | 98.0694                        |
| 7                 | 60                 | 54.9656                        |

| Punto de analisis | Profundidades (in) | T3S3 N°112 Relacion |
|-------------------|--------------------|---------------------|
|                   |                    | Deflexion           |
| 1                 | 0                  | 1.014               |
| 2                 | 2                  | 1.007               |
| 3                 | 4                  | 1.010               |
| 4                 | 7                  | 1.030               |
| 5                 | 14                 | 1.070               |
| 6                 | 18                 | 1.084               |
| 7                 | 60                 | 1.073               |

### T3S3 N° 113

| Punto de analisis | Profundidades (in) | T3S3 N°113 Tridem Super Simple |
|-------------------|--------------------|--------------------------------|
|                   |                    | Deflexion (0.01 mm)            |
| 1                 | 0                  | 137.46                         |
| 2                 | 2                  | 136.25                         |
| 3                 | 4                  | 135.10                         |
| 4                 | 7                  | 129.13                         |
| 5                 | 14                 | 115.72                         |
| 6                 | 18                 | 108.43                         |
| 7                 | 60                 | 60.38                          |

| Punto de analisis | Profundidades (in) | T3S3 N°113 Tridem Convencional |
|-------------------|--------------------|--------------------------------|
|                   |                    | Deflexion (0.01 mm)            |
| 1                 | 0                  | 135.509                        |
| 2                 | 2                  | 135.5344                       |
| 3                 | 4                  | 134.0104                       |
| 4                 | 7                  | 125.6538                       |
| 5                 | 14                 | 108.2548                       |
| 6                 | 18                 | 100.1522                       |
| 7                 | 60                 | 56.2356                        |

| Punto de analisis | Profundidades (in) | T3S3 N°113 Relacion |
|-------------------|--------------------|---------------------|
|                   |                    | Deflexion           |
| 1                 | 0                  | 1.014               |
| 2                 | 2                  | 1.005               |
| 3                 | 4                  | 1.008               |
| 4                 | 7                  | 1.028               |
| 5                 | 14                 | 1.069               |
| 6                 | 18                 | 1.083               |
| 7                 | 60                 | 1.074               |

### T3S3 N° 114

| Punto de analisis | Profundidades (in) | T3S3 N°114 Tridem Super Simple |
|-------------------|--------------------|--------------------------------|
|                   |                    | Deflexion (0.01 mm)            |
| 1                 | 0                  | 117.75                         |
| 2                 | 2                  | 116.84                         |
| 3                 | 4                  | 115.85                         |
| 4                 | 7                  | 110.64                         |
| 5                 | 14                 | 98.98                          |
| 6                 | 18                 | 92.66                          |
| 7                 | 60                 | 51.03                          |

| Punto de analisis | Profundidades (in) | T3S3 N°114 Tridem Convencional |
|-------------------|--------------------|--------------------------------|
|                   |                    | Deflexion (0.01 mm)            |
| 1                 | 0                  | 115.7224                       |
| 2                 | 2                  | 115.697                        |
| 3                 | 4                  | 114.3762                       |
| 4                 | 7                  | 107.1372                       |
| 5                 | 14                 | 92.2782                        |
| 6                 | 18                 | 85.344                         |
| 7                 | 60                 | 47.6504                        |

| Punto de analisis | Profundidades (in) | T3S3 N°114 Relacion |
|-------------------|--------------------|---------------------|
|                   |                    | Deflexion           |
| 1                 | 0                  | 1.018               |
| 2                 | 2                  | 1.010               |
| 3                 | 4                  | 1.013               |
| 4                 | 7                  | 1.033               |
| 5                 | 14                 | 1.073               |
| 6                 | 18                 | 1.086               |
| 7                 | 60                 | 1.071               |

### T3S3 N° 115

| Punto de analisis | Profundidades (in) | T3S3 N°115 Tridem Super Simple |
|-------------------|--------------------|--------------------------------|
|                   |                    | Deflexion (0.01 mm)            |
| 1                 | 0                  | 136.22                         |
| 2                 | 2                  | 135.18                         |
| 3                 | 4                  | 133.99                         |
| 4                 | 7                  | 127.94                         |
| 5                 | 14                 | 114.35                         |
| 6                 | 18                 | 106.93                         |
| 7                 | 60                 | 58.47                          |

| Punto de analisis | Profundidades (in) | T3S3 N°115 Tridem Convencional |
|-------------------|--------------------|--------------------------------|
|                   |                    | Deflexion (0.01 mm)            |
| 1                 | 0                  | 133.5278                       |
| 2                 | 2                  | 133.477                        |
| 3                 | 4                  | 131.9022                       |
| 4                 | 7                  | 123.4948                       |
| 5                 | 14                 | 106.3498                       |
| 6                 | 18                 | 98.3742                        |
| 7                 | 60                 | 54.6862                        |

| Punto de analisis | Profundidades (in) | T3S3 N°115 Relacion |
|-------------------|--------------------|---------------------|
|                   |                    | Deflexion           |
| 1                 | 0                  | 1.020               |
| 2                 | 2                  | 1.013               |
| 3                 | 4                  | 1.016               |
| 4                 | 7                  | 1.036               |
| 5                 | 14                 | 1.075               |
| 6                 | 18                 | 1.087               |
| 7                 | 60                 | 1.069               |

### T3S3 N° 116

| Punto de analisis | Profundidades (in) | T3S3 N°116 Tridem Super Simple |
|-------------------|--------------------|--------------------------------|
|                   |                    | Deflexion (0.01 mm)            |
| 1                 | 0                  | 128.04                         |
| 2                 | 2                  | 127.10                         |
| 3                 | 4                  | 125.93                         |
| 4                 | 7                  | 120.17                         |
| 5                 | 14                 | 107.19                         |
| 6                 | 18                 | 100.10                         |
| 7                 | 60                 | 54.10                          |

| Punto de analisis | Profundidades (in) | T3S3 N°116 Tridem Convencional |
|-------------------|--------------------|--------------------------------|
|                   |                    | Deflexion (0.01 mm)            |
| 1                 | 0                  | 125.1458                       |
| 2                 | 2                  | 124.9172                       |
| 3                 | 4                  | 123.3932                       |
| 4                 | 7                  | 115.4176                       |
| 5                 | 14                 | 99.3648                        |
| 6                 | 18                 | 91.8972                        |
| 7                 | 60                 | 50.7492                        |

| Punto de analisis | Profundidades (in) | T3S3 N°116 Relacion |
|-------------------|--------------------|---------------------|
|                   |                    | Deflexion           |
| 1                 | 0                  | 1.023               |
| 2                 | 2                  | 1.017               |
| 3                 | 4                  | 1.021               |
| 4                 | 7                  | 1.041               |
| 5                 | 14                 | 1.079               |
| 6                 | 18                 | 1.089               |
| 7                 | 60                 | 1.066               |

### T3S3 N° 117

| Punto de analisis | Profundidades (in) | T3S3 N°117 Tridem Super Simple |
|-------------------|--------------------|--------------------------------|
|                   |                    | Deflexion (0.01 mm)            |
| 1                 | 0                  | 125.60                         |
| 2                 | 2                  | 124.69                         |
| 3                 | 4                  | 123.55                         |
| 4                 | 7                  | 117.86                         |
| 5                 | 14                 | 105.05                         |
| 6                 | 18                 | 98.07                          |
| 7                 | 60                 | 52.81                          |

| Punto de analisis | Profundidades (in) | T3S3 N°117 Tridem Convencional |
|-------------------|--------------------|--------------------------------|
|                   |                    | Deflexion (0.01 mm)            |
| 1                 | 0                  | 122.5804                       |
| 2                 | 2                  | 122.3518                       |
| 3                 | 4                  | 120.8278                       |
| 4                 | 7                  | 112.9792                       |
| 5                 | 14                 | 97.282                         |
| 6                 | 18                 | 89.9414                        |
| 7                 | 60                 | 49.5554                        |

| Punto de analisis | Profundidades (in) | T3S3 N°117 Relacion |
|-------------------|--------------------|---------------------|
|                   |                    | Deflexion           |
| 1                 | 0                  | 1.025               |
| 2                 | 2                  | 1.019               |
| 3                 | 4                  | 1.022               |
| 4                 | 7                  | 1.043               |
| 5                 | 14                 | 1.080               |
| 6                 | 18                 | 1.090               |
| 7                 | 60                 | 1.066               |

### T3S3 N° 118

| Punto de analisis | Profundidades (in) | T3S3 N°118 Tridem Super Simple |
|-------------------|--------------------|--------------------------------|
|                   |                    | Deflexion (0.01 mm)            |
| 1                 | 0                  | 119.68                         |
| 2                 | 2                  | 118.80                         |
| 3                 | 4                  | 117.73                         |
| 4                 | 7                  | 112.29                         |
| 5                 | 14                 | 100.10                         |
| 6                 | 18                 | 93.42                          |
| 7                 | 60                 | 50.24                          |

| Punto de analisis | Profundidades (in) | T3S3 N°118 Tridem Convencional |
|-------------------|--------------------|--------------------------------|
|                   |                    | Deflexion (0.01 mm)            |
| 1                 | 0                  | 116.7638                       |
| 2                 | 2                  | 116.5352                       |
| 3                 | 4                  | 115.0874                       |
| 4                 | 7                  | 107.5944                       |
| 5                 | 14                 | 92.6338                        |
| 6                 | 18                 | 85.6742                        |
| 7                 | 60                 | 47.1678                        |

| Punto de analisis | Profundidades (in) | T3S3 N°118 Relacion |
|-------------------|--------------------|---------------------|
|                   |                    | Deflexion           |
| 1                 | 0                  | 1.025               |
| 2                 | 2                  | 1.019               |
| 3                 | 4                  | 1.023               |
| 4                 | 7                  | 1.044               |
| 5                 | 14                 | 1.081               |
| 6                 | 18                 | 1.090               |
| 7                 | 60                 | 1.065               |

### T3S3 N° 119

| Punto de analisis | Profundidades (in) | T3S3 N°119 Tridem Super Simple |
|-------------------|--------------------|--------------------------------|
|                   |                    | Deflexion (0.01 mm)            |
| 1                 | 0                  | 121.69                         |
| 2                 | 2                  | 120.80                         |
| 3                 | 4                  | 119.68                         |
| 4                 | 7                  | 114.12                         |
| 5                 | 14                 | 101.65                         |
| 6                 | 18                 | 94.82                          |
| 7                 | 60                 | 50.75                          |

| Punto de analisis | Profundidades (in) | T3S3 N°119 Tridem Convencional |
|-------------------|--------------------|--------------------------------|
|                   |                    | Deflexion (0.01 mm)            |
| 1                 | 0                  | 118.5164                       |
| 2                 | 2                  | 118.2878                       |
| 3                 | 4                  | 116.7892                       |
| 4                 | 7                  | 109.1438                       |
| 5                 | 14                 | 93.9546                        |
| 6                 | 18                 | 86.8934                        |
| 7                 | 60                 | 47.7012                        |

| Punto de analisis | Profundidades (in) | T3S3 N°119 Relacion |
|-------------------|--------------------|---------------------|
|                   |                    | Deflexion           |
| 1                 | 0                  | 1.027               |
| 2                 | 2                  | 1.021               |
| 3                 | 4                  | 1.025               |
| 4                 | 7                  | 1.046               |
| 5                 | 14                 | 1.082               |
| 6                 | 18                 | 1.091               |
| 7                 | 60                 | 1.064               |

### T3S3 N° 120

| Punto de analisis | Profundidades (in) | T3S3 N°120 Tridem Super Simple |
|-------------------|--------------------|--------------------------------|
|                   |                    | Deflexion (0.01 mm)            |
| 1                 | 0                  | 119.63                         |
| 2                 | 2                  | 118.75                         |
| 3                 | 4                  | 117.65                         |
| 4                 | 7                  | 112.24                         |
| 5                 | 14                 | 100.05                         |
| 6                 | 18                 | 93.37                          |
| 7                 | 60                 | 50.22                          |

| Punto de analisis | Profundidades (in) | T3S3 N°120 Tridem Convencional |
|-------------------|--------------------|--------------------------------|
|                   |                    | Deflexion (0.01 mm)            |
| 1                 | 0                  | 116.7384                       |
| 2                 | 2                  | 116.5098                       |
| 3                 | 4                  | 115.062                        |
| 4                 | 7                  | 107.569                        |
| 5                 | 14                 | 92.6084                        |
| 6                 | 18                 | 85.6488                        |
| 7                 | 60                 | 47.1678                        |

| Punto de analisis | Profundidades (in) | T3S3 N°120 Relacion |
|-------------------|--------------------|---------------------|
|                   |                    | Deflexion           |
| 1                 | 0                  | 1.025               |
| 2                 | 2                  | 1.019               |
| 3                 | 4                  | 1.023               |
| 4                 | 7                  | 1.043               |
| 5                 | 14                 | 1.080               |
| 6                 | 18                 | 1.090               |
| 7                 | 60                 | 1.065               |

### T3S3 N° 121

| Punto de analisis | Profundidades (in) | T3S3 N°121 Tridem Super Simple |
|-------------------|--------------------|--------------------------------|
|                   |                    | Deflexion (0.01 mm)            |
| 1                 | 0                  | 120.88                         |
| 2                 | 2                  | 120.09                         |
| 3                 | 4                  | 118.97                         |
| 4                 | 7                  | 113.46                         |
| 5                 | 14                 | 101.02                         |
| 6                 | 18                 | 94.23                          |
| 7                 | 60                 | 50.37                          |

| Punto de analisis | Profundidades (in) | T3S3 N°121 Tridem Convencional |
|-------------------|--------------------|--------------------------------|
|                   |                    | Deflexion (0.01 mm)            |
| 1                 | 0                  | 117.6782                       |
| 2                 | 2                  | 117.4242                       |
| 3                 | 4                  | 115.951                        |
| 4                 | 7                  | 108.331                        |
| 5                 | 14                 | 93.2688                        |
| 6                 | 18                 | 86.233                         |
| 7                 | 60                 | 47.3202                        |

| Punto de analisis | Profundidades (in) | T3S3 N°121 Relacion |
|-------------------|--------------------|---------------------|
|                   |                    | Deflexion           |
| 1                 | 0                  | 1.027               |
| 2                 | 2                  | 1.023               |
| 3                 | 4                  | 1.026               |
| 4                 | 7                  | 1.047               |
| 5                 | 14                 | 1.083               |
| 6                 | 18                 | 1.093               |
| 7                 | 60                 | 1.064               |

### T3S3 N° 122

| Punto de analisis | Profundidades (in) | T3S3 N°122 Tridem Super Simple |
|-------------------|--------------------|--------------------------------|
|                   |                    | Deflexion (0.01 mm)            |
| 1                 | 0                  | 119.00                         |
| 2                 | 2                  | 118.21                         |
| 3                 | 4                  | 117.12                         |
| 4                 | 7                  | 111.66                         |
| 5                 | 14                 | 99.36                          |
| 6                 | 18                 | 92.66                          |
| 7                 | 60                 | 49.38                          |

| Punto de analisis | Profundidades (in) | T3S3 N°122 Tridem Convencional |
|-------------------|--------------------|--------------------------------|
|                   |                    | Deflexion (0.01 mm)            |
| 1                 | 0                  | 116.0526                       |
| 2                 | 2                  | 115.57                         |
| 3                 | 4                  | 114.0968                       |
| 4                 | 7                  | 106.6038                       |
| 5                 | 14                 | 91.7702                        |
| 6                 | 18                 | 84.836                         |
| 7                 | 60                 | 46.4566                        |

| Punto de analisis | Profundidades (in) | T3S3 N°122 Relacion |
|-------------------|--------------------|---------------------|
|                   |                    | Deflexion           |
| 1                 | 0                  | 1.025               |
| 2                 | 2                  | 1.023               |
| 3                 | 4                  | 1.026               |
| 4                 | 7                  | 1.047               |
| 5                 | 14                 | 1.083               |
| 6                 | 18                 | 1.092               |
| 7                 | 60                 | 1.063               |

### T3S3 N° 123

| Punto de analisis | Profundidades (in) | T3S3 N°123 Tridem Super Simple |
|-------------------|--------------------|--------------------------------|
|                   |                    | Deflexion (0.01 mm)            |
| 1                 | 0                  | 132.64                         |
| 2                 | 2                  | 131.62                         |
| 3                 | 4                  | 130.48                         |
| 4                 | 7                  | 124.61                         |
| 5                 | 14                 | 111.43                         |
| 6                 | 18                 | 104.24                         |
| 7                 | 60                 | 57.18                          |

| Punto de analisis | Profundidades (in) | T3S3 N°123 Tridem Convencional |
|-------------------|--------------------|--------------------------------|
|                   |                    | Deflexion (0.01 mm)            |
| 1                 | 0                  | 130.1496                       |
| 2                 | 2                  | 130.1242                       |
| 3                 | 4                  | 128.6002                       |
| 4                 | 7                  | 120.4214                       |
| 5                 | 14                 | 103.7082                       |
| 6                 | 18                 | 95.9358                        |
| 7                 | 60                 | 53.4162                        |

| Punto de analisis | Profundidades (in) | T3S3 N°123 Relacion |
|-------------------|--------------------|---------------------|
|                   |                    | Deflexion           |
| 1                 | 0                  | 1.019               |
| 2                 | 2                  | 1.012               |
| 3                 | 4                  | 1.015               |
| 4                 | 7                  | 1.035               |
| 5                 | 14                 | 1.074               |
| 6                 | 18                 | 1.087               |
| 7                 | 60                 | 1.070               |

### T3S3 N° 124

| Punto de analisis | Profundidades (in) | T3S3 N°124 Tridem Super Simple |
|-------------------|--------------------|--------------------------------|
|                   |                    | Deflexion (0.01 mm)            |
| 1                 | 0                  | 124.36                         |
| 2                 | 2                  | 123.44                         |
| 3                 | 4                  | 122.30                         |
| 4                 | 7                  | 116.66                         |
| 5                 | 14                 | 103.99                         |
| 6                 | 18                 | 97.03                          |
| 7                 | 60                 | 52.15                          |

| Punto de analisis | Profundidades (in) | T3S3 N°124 Tridem Convencional |
|-------------------|--------------------|--------------------------------|
|                   |                    | Deflexion (0.01 mm)            |
| 1                 | 0                  | 121.285                        |
| 2                 | 2                  | 121.031                        |
| 3                 | 4                  | 119.5324                       |
| 4                 | 7                  | 111.76                         |
| 5                 | 14                 | 96.2152                        |
| 6                 | 18                 | 88.9762                        |
| 7                 | 60                 | 48.9712                        |

| Punto de analisis | Profundidades (in) | T3S3 N°124 Relacion |
|-------------------|--------------------|---------------------|
|                   |                    | Deflexion           |
| 1                 | 0                  | 1.025               |
| 2                 | 2                  | 1.020               |
| 3                 | 4                  | 1.023               |
| 4                 | 7                  | 1.044               |
| 5                 | 14                 | 1.081               |
| 6                 | 18                 | 1.090               |
| 7                 | 60                 | 1.065               |

### T3S3 N° 125

| Punto de analisis | Profundidades (in) | T3S3 N°125 Tridem Super Simple |
|-------------------|--------------------|--------------------------------|
|                   |                    | Deflexion (0.01 mm)            |
| 1                 | 0                  | 104.75                         |
| 2                 | 2                  | 104.06                         |
| 3                 | 4                  | 103.02                         |
| 4                 | 7                  | 98.50                          |
| 5                 | 14                 | 87.78                          |
| 6                 | 18                 | 81.76                          |
| 7                 | 60                 | 44.50                          |

| Punto de analisis | Profundidades (in) | T3S3 N°125 Tridem Convencional |
|-------------------|--------------------|--------------------------------|
|                   |                    | Deflexion (0.01 mm)            |
| 1                 | 0                  | 102.6668                       |
| 2                 | 2                  | 102.235                        |
| 3                 | 4                  | 100.9142                       |
| 4                 | 7                  | 94.234                         |
| 5                 | 14                 | 81.1022                        |
| 6                 | 18                 | 74.9808                        |
| 7                 | 60                 | 40.894                         |

| Punto de analisis | Profundidades (in) | T3S3 N°125 Relacion |
|-------------------|--------------------|---------------------|
|                   |                    | Deflexion           |
| 1                 | 0                  | 1.020               |
| 2                 | 2                  | 1.018               |
| 3                 | 4                  | 1.021               |
| 4                 | 7                  | 1.045               |
| 5                 | 14                 | 1.082               |
| 6                 | 18                 | 1.090               |
| 7                 | 60                 | 1.088               |

### T3S3 N° 126

| Punto de analisis | Profundidades (in) | T3S3 N°126 Tridem Super Simple |
|-------------------|--------------------|--------------------------------|
|                   |                    | Deflexion (0.01 mm)            |
| 1                 | 0                  | 124.23                         |
| 2                 | 2                  | 123.29                         |
| 3                 | 4                  | 122.20                         |
| 4                 | 7                  | 116.61                         |
| 5                 | 14                 | 104.06                         |
| 6                 | 18                 | 97.21                          |
| 7                 | 60                 | 52.65                          |

| Punto de analisis | Profundidades (in) | T3S3 N°126 Tridem Convencional |
|-------------------|--------------------|--------------------------------|
|                   |                    | Deflexion (0.01 mm)            |
| 1                 | 0                  | 121.4882                       |
| 2                 | 2                  | 121.285                        |
| 3                 | 4                  | 119.8118                       |
| 4                 | 7                  | 112.0648                       |
| 5                 | 14                 | 96.4946                        |
| 6                 | 18                 | 89.2556                        |
| 7                 | 60                 | 49.3522                        |

| Punto de analisis | Profundidades (in) | T3S3 N°126 Relacion |
|-------------------|--------------------|---------------------|
|                   |                    | Deflexion           |
| 1                 | 0                  | 1.023               |
| 2                 | 2                  | 1.017               |
| 3                 | 4                  | 1.020               |
| 4                 | 7                  | 1.041               |
| 5                 | 14                 | 1.078               |
| 6                 | 18                 | 1.089               |
| 7                 | 60                 | 1.067               |

### T3S3 N° 127

| Punto de analisis | Profundidades (in) | T3S3 N°127 Tridem Super Simple |
|-------------------|--------------------|--------------------------------|
|                   |                    | Deflexion (0.01 mm)            |
| 1                 | 0                  | 118.54                         |
| 2                 | 2                  | 117.68                         |
| 3                 | 4                  | 116.59                         |
| 4                 | 7                  | 111.20                         |
| 5                 | 14                 | 99.09                          |
| 6                 | 18                 | 92.46                          |
| 7                 | 60                 | 49.63                          |

| Punto de analisis | Profundidades (in) | T3S3 N°127 Tridem Convencional |
|-------------------|--------------------|--------------------------------|
|                   |                    | Deflexion (0.01 mm)            |
| 1                 | 0                  | 115.57                         |
| 2                 | 2                  | 115.316                        |
| 3                 | 4                  | 113.8936                       |
| 4                 | 7                  | 106.4514                       |
| 5                 | 14                 | 91.6686                        |
| 6                 | 18                 | 84.7598                        |
| 7                 | 60                 | 46.6344                        |

| Punto de analisis | Profundidades (in) | T3S3 N°127 Relacion |
|-------------------|--------------------|---------------------|
|                   |                    | Deflexion           |
| 1                 | 0                  | 1.026               |
| 2                 | 2                  | 1.020               |
| 3                 | 4                  | 1.024               |
| 4                 | 7                  | 1.045               |
| 5                 | 14                 | 1.081               |
| 6                 | 18                 | 1.091               |
| 7                 | 60                 | 1.064               |

### T3S3 N° 128

| Punto de analisis | Profundidades (in) | T3S3 N°128 Tridem Super Simple |
|-------------------|--------------------|--------------------------------|
|                   |                    | Deflexion (0.01 mm)            |
| 1                 | 0                  | 113.77                         |
| 2                 | 2                  | 113.03                         |
| 3                 | 4                  | 111.96                         |
| 4                 | 7                  | 106.76                         |
| 5                 | 14                 | 95.00                          |
| 6                 | 18                 | 88.57                          |
| 7                 | 60                 | 47.19                          |

| Punto de analisis | Profundidades (in) | T3S3 N°128 Tridem Convencional |
|-------------------|--------------------|--------------------------------|
|                   |                    | Deflexion (0.01 mm)            |
| 1                 | 0                  | 110.8964                       |
| 2                 | 2                  | 110.4646                       |
| 3                 | 4                  | 109.0676                       |
| 4                 | 7                  | 101.8794                       |
| 5                 | 14                 | 87.7062                        |
| 6                 | 18                 | 81.0768                        |
| 7                 | 60                 | 44.3992                        |

| Punto de analisis | Profundidades (in) | T3S3 N°128 Relacion |
|-------------------|--------------------|---------------------|
|                   |                    | Deflexion           |
| 1                 | 0                  | 1.026               |
| 2                 | 2                  | 1.023               |
| 3                 | 4                  | 1.027               |
| 4                 | 7                  | 1.048               |
| 5                 | 14                 | 1.083               |
| 6                 | 18                 | 1.092               |
| 7                 | 60                 | 1.063               |

### T3S3 N° 129

| Punto de analisis | Profundidades (in) | T3S3 N°129 Tridem Super Simple |
|-------------------|--------------------|--------------------------------|
|                   |                    | Deflexion (0.01 mm)            |
| 1                 | 0                  | 119.35                         |
| 2                 | 2                  | 118.49                         |
| 3                 | 4                  | 117.40                         |
| 4                 | 7                  | 111.99                         |
| 5                 | 14                 | 99.80                          |
| 6                 | 18                 | 93.14                          |
| 7                 | 60                 | 50.06                          |

| Punto de analisis | Profundidades (in) | T3S3 N°129 Tridem Convencional |
|-------------------|--------------------|--------------------------------|
|                   |                    | Deflexion (0.01 mm)            |
| 1                 | 0                  | 116.4336                       |
| 2                 | 2                  | 116.205                        |
| 3                 | 4                  | 114.7572                       |
| 4                 | 7                  | 107.2896                       |
| 5                 | 14                 | 92.3798                        |
| 6                 | 18                 | 85.4202                        |
| 7                 | 60                 | 47.0154                        |

| Punto de analisis | Profundidades (in) | T3S3 N°129 Relacion |
|-------------------|--------------------|---------------------|
|                   |                    | Deflexion           |
| 1                 | 0                  | 1.025               |
| 2                 | 2                  | 1.020               |
| 3                 | 4                  | 1.023               |
| 4                 | 7                  | 1.044               |
| 5                 | 14                 | 1.080               |
| 6                 | 18                 | 1.090               |
| 7                 | 60                 | 1.065               |

### T3S3 N° 130

| Punto de analisis | Profundidades (in) | T3S3 N°130 Tridem Super Simple |
|-------------------|--------------------|--------------------------------|
|                   |                    | Deflexion (0.01 mm)            |
| 1                 | 0                  | 133.83                         |
| 2                 | 2                  | 132.79                         |
| 3                 | 4                  | 131.65                         |
| 4                 | 7                  | 125.81                         |
| 5                 | 14                 | 112.65                         |
| 6                 | 18                 | 105.51                         |
| 7                 | 60                 | 58.47                          |

| Punto de analisis | Profundidades (in) | T3S3 N°130 Tridem Convencional |
|-------------------|--------------------|--------------------------------|
|                   |                    | Deflexion (0.01 mm)            |
| 1                 | 0                  | 131.7752                       |
| 2                 | 2                  | 131.7752                       |
| 3                 | 4                  | 130.2766                       |
| 4                 | 7                  | 122.0978                       |
| 5                 | 14                 | 105.1814                       |
| 6                 | 18                 | 97.282                         |
| 7                 | 60                 | 54.483                         |

| Punto de analisis | Profundidades (in) | T3S3 N°130 Relacion |
|-------------------|--------------------|---------------------|
|                   |                    | Deflexion           |
| 1                 | 0                  | 1.016               |
| 2                 | 2                  | 1.008               |
| 3                 | 4                  | 1.011               |
| 4                 | 7                  | 1.030               |
| 5                 | 14                 | 1.071               |
| 6                 | 18                 | 1.085               |
| 7                 | 60                 | 1.073               |

### T3S3 N° 131

| Punto de analisis | Profundidades (in) | T3S3 N°131 Tridem Super Simple |
|-------------------|--------------------|--------------------------------|
|                   |                    | Deflexion (0.01 mm)            |
| 1                 | 0                  | 121.69                         |
| 2                 | 2                  | 120.80                         |
| 3                 | 4                  | 119.68                         |
| 4                 | 7                  | 114.12                         |
| 5                 | 14                 | 101.65                         |
| 6                 | 18                 | 94.82                          |
| 7                 | 60                 | 50.75                          |

| Punto de analisis | Profundidades (in) | T3S3 N°131 Tridem Convencional |
|-------------------|--------------------|--------------------------------|
|                   |                    | Deflexion (0.01 mm)            |
| 1                 | 0                  | 118.5164                       |
| 2                 | 2                  | 118.2878                       |
| 3                 | 4                  | 116.7892                       |
| 4                 | 7                  | 109.1438                       |
| 5                 | 14                 | 93.9546                        |
| 6                 | 18                 | 86.8934                        |
| 7                 | 60                 | 47.7012                        |

| Punto de analisis | Profundidades (in) | T3S3 N°131 Relacion |
|-------------------|--------------------|---------------------|
|                   |                    | Deflexion           |
| 1                 | 0                  | 1.027               |
| 2                 | 2                  | 1.021               |
| 3                 | 4                  | 1.025               |
| 4                 | 7                  | 1.046               |
| 5                 | 14                 | 1.082               |
| 6                 | 18                 | 1.091               |
| 7                 | 60                 | 1.064               |

### T3S3 N° 132

| Punto de analisis | Profundidades (in) | T3S3 N°132 Tridem Super Simple |
|-------------------|--------------------|--------------------------------|
|                   |                    | Deflexion (0.01 mm)            |
| 1                 | 0                  | 133.68                         |
| 2                 | 2                  | 132.66                         |
| 3                 | 4                  | 131.50                         |
| 4                 | 7                  | 125.60                         |
| 5                 | 14                 | 112.32                         |
| 6                 | 18                 | 105.11                         |
| 7                 | 60                 | 57.73                          |

| Punto de analisis | Profundidades (in) | T3S3 N°132 Tridem Convencional |
|-------------------|--------------------|--------------------------------|
|                   |                    | Deflexion (0.01 mm)            |
| 1                 | 0                  | 131.2164                       |
| 2                 | 2                  | 131.191                        |
| 3                 | 4                  | 129.667                        |
| 4                 | 7                  | 121.4374                       |
| 5                 | 14                 | 104.5972                       |
| 6                 | 18                 | 96.7486                        |
| 7                 | 60                 | 53.9242                        |

| Punto de analisis | Profundidades (in) | T3S3 N°132 Relacion |
|-------------------|--------------------|---------------------|
|                   |                    | Deflexion           |
| 1                 | 0                  | 1.019               |
| 2                 | 2                  | 1.011               |
| 3                 | 4                  | 1.014               |
| 4                 | 7                  | 1.034               |
| 5                 | 14                 | 1.074               |
| 6                 | 18                 | 1.086               |
| 7                 | 60                 | 1.071               |

### T3S3 N° 133

| Punto de analisis | Profundidades (in) | T3S3 N°133 Tridem Super Simple |
|-------------------|--------------------|--------------------------------|
|                   |                    | Deflexion (0.01 mm)            |
| 1                 | 0                  | 120.37                         |
| 2                 | 2                  | 119.58                         |
| 3                 | 4                  | 118.47                         |
| 4                 | 7                  | 112.95                         |
| 5                 | 14                 | 100.58                         |
| 6                 | 18                 | 93.80                          |
| 7                 | 60                 | 50.09                          |

| Punto de analisis | Profundidades (in) | T3S3 N°133 Tridem Convencional |
|-------------------|--------------------|--------------------------------|
|                   |                    | Deflexion (0.01 mm)            |
| 1                 | 0                  | 117.2464                       |
| 2                 | 2                  | 116.9924                       |
| 3                 | 4                  | 115.5192                       |
| 4                 | 7                  | 107.95                         |
| 5                 | 14                 | 92.9132                        |
| 6                 | 18                 | 85.9282                        |
| 7                 | 60                 | 47.117                         |

| Punto de analisis | Profundidades (in) | T3S3 N°133 Relacion |
|-------------------|--------------------|---------------------|
|                   |                    | Deflexion           |
| 1                 | 0                  | 1.027               |
| 2                 | 2                  | 1.022               |
| 3                 | 4                  | 1.026               |
| 4                 | 7                  | 1.046               |
| 5                 | 14                 | 1.083               |
| 6                 | 18                 | 1.092               |
| 7                 | 60                 | 1.063               |

### T3S3 N° 134

| Punto de analisis | Profundidades (in) | T3S3 N°134 Tridem Super Simple |
|-------------------|--------------------|--------------------------------|
|                   |                    | Deflexion (0.01 mm)            |
| 1                 | 0                  | 144.07                         |
| 2                 | 2                  | 142.95                         |
| 3                 | 4                  | 141.73                         |
| 4                 | 7                  | 135.43                         |
| 5                 | 14                 | 121.23                         |
| 6                 | 18                 | 113.49                         |
| 7                 | 60                 | 62.51                          |

| Punto de analisis | Profundidades (in) | T3S3 N°134 Tridem Convencional |
|-------------------|--------------------|--------------------------------|
|                   |                    | Deflexion (0.01 mm)            |
| 1                 | 0                  | 141.0208                       |
| 2                 | 2                  | 141.0208                       |
| 3                 | 4                  | 139.3952                       |
| 4                 | 7                  | 130.6068                       |
| 5                 | 14                 | 112.522                        |
| 6                 | 18                 | 104.0638                       |
| 7                 | 60                 | 58.166                         |

| Punto de analisis | Profundidades (in) | T3S3 N°134 Relacion |
|-------------------|--------------------|---------------------|
|                   |                    | Deflexion           |
| 1                 | 0                  | 1.022               |
| 2                 | 2                  | 1.014               |
| 3                 | 4                  | 1.017               |
| 4                 | 7                  | 1.037               |
| 5                 | 14                 | 1.077               |
| 6                 | 18                 | 1.091               |
| 7                 | 60                 | 1.075               |



| T3S3 N° 135       |                    |                                |                   |                    |                                |                   |                    |                     |
|-------------------|--------------------|--------------------------------|-------------------|--------------------|--------------------------------|-------------------|--------------------|---------------------|
| Punto de analisis | Profundidades (in) | T3S3 N°135 Tridem Super Simple | Punto de analisis | Profundidades (in) | T3S3 N°135 Tridem Convencional | Punto de analisis | Profundidades (in) | T3S3 N°135 Relacion |
|                   |                    | Deflexion (0.01 mm)            |                   |                    | Deflexion (0.01 mm)            |                   |                    | Deflexion           |
| 1                 | 0                  | 118.29                         | 1                 | 0                  | 115.316                        | 1                 | 0                  | 1.026               |
| 2                 | 2                  | 117.53                         | 2                 | 2                  | 114.8588                       | 2                 | 2                  | 1.023               |
| 3                 | 4                  | 116.43                         | 3                 | 4                  | 113.3856                       | 3                 | 4                  | 1.027               |
| 4                 | 7                  | 111.00                         | 4                 | 7                  | 105.918                        | 4                 | 7                  | 1.048               |
| 5                 | 14                 | 98.76                          | 5                 | 14                 | 91.186                         | 5                 | 14                 | 1.083               |
| 6                 | 18                 | 92.05                          | 6                 | 18                 | 84.3026                        | 6                 | 18                 | 1.092               |
| 7                 | 60                 | 49.02                          | 7                 | 60                 | 46.1264                        | 7                 | 60                 | 1.063               |

| T3S3 N° 136       |                    |                                |                   |                    |                                |                   |                    |                     |
|-------------------|--------------------|--------------------------------|-------------------|--------------------|--------------------------------|-------------------|--------------------|---------------------|
| Punto de analisis | Profundidades (in) | T3S3 N°136 Tridem Super Simple | Punto de analisis | Profundidades (in) | T3S3 N°136 Tridem Convencional | Punto de analisis | Profundidades (in) | T3S3 N°136 Relacion |
|                   |                    | Deflexion (0.01 mm)            |                   |                    | Deflexion (0.01 mm)            |                   |                    | Deflexion           |
| 1                 | 0                  | 131.78                         | 1                 | 0                  | 129.2098                       | 1                 | 0                  | 1.020               |
| 2                 | 2                  | 130.76                         | 2                 | 2                  | 129.1844                       | 2                 | 2                  | 1.012               |
| 3                 | 4                  | 129.62                         | 3                 | 4                  | 127.6604                       | 3                 | 4                  | 1.015               |
| 4                 | 7                  | 123.77                         | 4                 | 7                  | 119.5324                       | 4                 | 7                  | 1.035               |
| 5                 | 14                 | 110.64                         | 5                 | 14                 | 102.9462                       | 5                 | 14                 | 1.075               |
| 6                 | 18                 | 103.51                         | 6                 | 18                 | 95.2246                        | 6                 | 18                 | 1.087               |
| 7                 | 60                 | 56.69                          | 7                 | 60                 | 52.9844                        | 7                 | 60                 | 1.070               |

| T3S3 N° 137       |                    |                                |                   |                    |                                |                   |                    |                     |
|-------------------|--------------------|--------------------------------|-------------------|--------------------|--------------------------------|-------------------|--------------------|---------------------|
| Punto de analisis | Profundidades (in) | T3S3 N°137 Tridem Super Simple | Punto de analisis | Profundidades (in) | T3S3 N°137 Tridem Convencional | Punto de analisis | Profundidades (in) | T3S3 N°137 Relacion |
|                   |                    | Deflexion (0.01 mm)            |                   |                    | Deflexion (0.01 mm)            |                   |                    | Deflexion           |
| 1                 | 0                  | 134.95                         | 1                 | 0                  | 132.5372                       | 1                 | 0                  | 1.018               |
| 2                 | 2                  | 133.91                         | 2                 | 2                  | 132.5372                       | 2                 | 2                  | 1.010               |
| 3                 | 4                  | 132.77                         | 3                 | 4                  | 130.9878                       | 3                 | 4                  | 1.014               |
| 4                 | 7                  | 126.80                         | 4                 | 7                  | 122.682                        | 4                 | 7                  | 1.034               |
| 5                 | 14                 | 113.44                         | 5                 | 14                 | 105.6894                       | 5                 | 14                 | 1.073               |
| 6                 | 18                 | 106.15                         | 6                 | 18                 | 97.7646                        | 6                 | 18                 | 1.086               |
| 7                 | 60                 | 58.42                          | 7                 | 60                 | 54.5338                        | 7                 | 60                 | 1.071               |

Fuente: Elaboración Propia

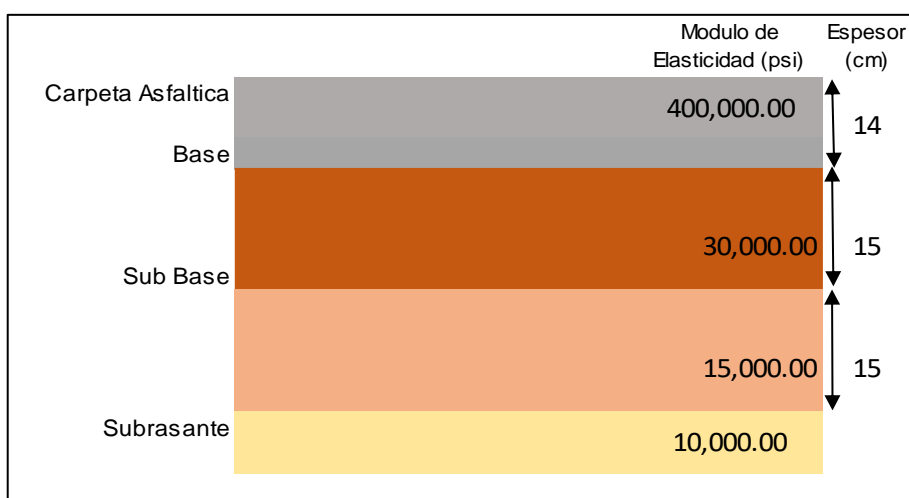
Según las Figura 53 y Tabla 23 muestra que el eje súper simple en la superficie genera 1.036 veces más deflexión que un eje convencional, a una profundidad de 2 pulgadas el eje súper simple genera 1.051 veces más deflexión, a una profundidad de 4 pulgadas 1.047 veces más deflexión y a una profundidad de 7 pulgadas 1.026 veces más deflexión.

Se realizó un diseño de pavimento para ejes convencionales, tomando en cuenta el daño que genera un eje simple, tándem y un eje tridem convencional que dio como resultado 6.79.

**Tabla 25.** Datos para el diseño de pavimento (Eje convencional)

| IMD | D    | L   | GY (10 AÑOS) | EALF | DIAS | ESAL     |
|-----|------|-----|--------------|------|------|----------|
| 137 | 0.45 | 0.9 | 12.58        | 6.79 | 365  | 1.73E+06 |

Fuente: Elaboración Propia



*Figura 54.* Diseño del Pavimento para un eje convencional

Fuente: Elaboración Propia

En función a la relación se obtuvo como resultado que el eje súper simple genera 3 veces más daño que un eje convencional, se realizó el diseño de un pavimento para un eje súper simple determinando que el daño sería igual a 14.07.

**Tabla 26.** Datos para el diseño de un pavimento (Eje Súper Simple)

| IMD | D    | L   | GY (10 AÑOS) | EALF  | DIAS | ESAL     |
|-----|------|-----|--------------|-------|------|----------|
| 137 | 0.45 | 0.9 | 12.58        | 14.07 | 365  | 3.58E+06 |

Fuente: Elaboración Propia

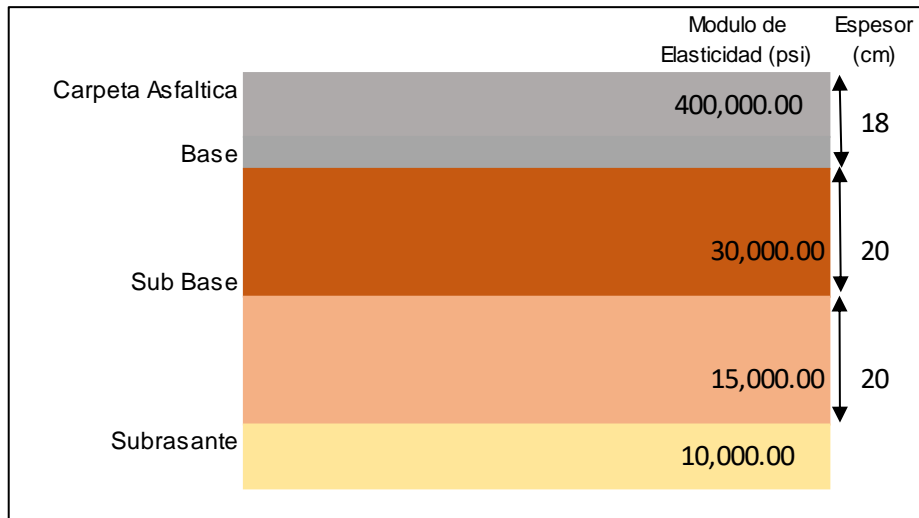


Figura 55. Diseño del Pavimento para un eje súper simple

Fuente: Elaboración Propia

## Contrastación de hipótesis 1

### Normalidad

#### Formulación de la Hipótesis:

Ho: Datos se aproximan a la distribución normal ( $P \geq 0.05$ )

Ha: Datos no se aproximan a la distribución normal ( $P < 0.05$ )

#### Nivel de significancia:

$$\alpha = 5\% = 0.05$$

#### Elección de la prueba estadística:

Kolmogorov Smirnov (Para muestras  $n > 50$ )

Shapiro Wilk (Para muestras  $n \leq 50$ )

#### Regla general para Hipótesis estadística:

Ho: p-valor  $\geq 0.05$

Ha: p-valor  $< 0.05$

Entonces:

Si Sig. (p-valor)  $> 0.05$  aceptamos Ho (Hipótesis nula) ---> distribución normal

Si Sig. (p-valor)  $< 0.05$  se rechaza Ho (Hipótesis nula) ---> distribución no normal

**Tabla 27. Pruebas de normalidad**

|          | Profundidad | Kolmogorov-Smirnov <sup>a</sup> |     |       | Shapiro-Wilk |     |       |
|----------|-------------|---------------------------------|-----|-------|--------------|-----|-------|
|          |             | Estadístico                     | gl  | Sig.  | Estadístico  | gl  | Sig.  |
| Esfuerzo | .00         | .325                            | 137 | <.001 | .735         | 137 | <.001 |
|          | 2.00        | .170                            | 137 | <.001 | .903         | 137 | <.001 |
|          | 4.00        | .039                            | 137 | .200* | .988         | 137 | .282  |
|          | 7.00        | .055                            | 137 | .200* | .985         | 137 | .149  |
|          | 14.00       | .062                            | 137 | .200* | .983         | 137 | .089  |
|          | 18.00       | .065                            | 137 | .200* | .983         | 137 | .090  |
|          | 60.00       | .061                            | 137 | .200* | .984         | 137 | .122  |

\*. Esto es un límite inferior de la significación verdadera.

a. Corrección de significación de Lilliefors

Fuente: Software SPSS V.27

### **Formulación de hipótesis**

H0: Los datos de la variable esfuerzo tienen normalidad.

H1: Los datos de la variable esfuerzo no tienen normalidad.

### **Nivel de significancia**

$\alpha = 5\%$  (0.05)

### **Elección de la prueba estadística**

Kolmogorov Smirnov (Para muestras  $n > 50$ )

### **Regla de decisión**

$P > 0.05$ ... aceptamos  $H_0$  (Hipótesis nula) ---> distribución normal

P-valor= Nivel de significancia= 0.2

$0.2 > 0.05$

Entonces decimos que, se acepta la hipótesis nula

### **Conclusión:**

Los datos de la variable de Esfuerzo tienen normalidad con un nivel de significancia de 5%.

Por lo tanto, el siguiente análisis estadístico corresponderá con pruebas paramétricas, en este caso será la prueba "coeficiente de correlación de Pearson", el cual se usa cuando quiere medir la relación entre dos variables y se cumple el supuesto de normalidad en la distribución de valores.

## Prueba De Correlación De Pearson (Prueba Paramétrica)

### Prueba Estadística “r”

Tabla 28. Correlaciones

|             |                        | Profundidad | Esfuerzo |
|-------------|------------------------|-------------|----------|
| Profundidad | Correlación de Pearson | 1           | -.622**  |
|             | Sig. (bilateral)       |             | <.001    |
|             | N                      | 959         | 959      |
| Esfuerzo    | Correlación de Pearson | -.622**     | 1        |
|             | Sig. (bilateral)       | <.001       |          |
|             | N                      | 959         | 959      |

\*\* . La correlación es significativa en el nivel 0,01 (bilateral).

Fuente: Software SPSS V.27

### Hipótesis planteada

Ho: No hay relación lineal entre la variable profundidad y el Esfuerzo Súper Simple

Ha: Hay relación lineal entre la variable profundidad y el Esfuerzo Súper Simple

### Regla de decisión

P-valor<0.05 se rechaza la Ho

0.001<0.05

Entonces se rechaza la hipótesis nula

Según el coeficiente de Pearson:



Figura 56. Tabla Pearson

Fuente: Software SPSS V.27

### Conclusión

Se encontró una relación lineal estadísticamente significativa negativa, muy alta y directamente proporcional, entre la profundidad y el Esfuerzo Tridem Súper Simple ( $r_s = -0.62$ ,  $p < 0.01$ ). Es decir, señala que existe una fuerte asociación

negativa, es decir que a medida que aumenta un valor el otro decrece. Por lo tanto, se rechaza la Hipótesis nula y se acepta la Hipótesis alterna.

## Contrastación de hipótesis 2

### Normalidad

**Tabla 29.** Pruebas de normalidad

|             | Profundidad | Kolmogorov-Smirnov <sup>a</sup> |     |       | Shapiro-Wilk |     |      |
|-------------|-------------|---------------------------------|-----|-------|--------------|-----|------|
|             |             | Estadístico                     | gl  | Sig.  | Estadístico  | gl  | Sig. |
| Deformación | .00         | .051                            | 137 | .200* | .989         | 137 | .386 |
|             | 2.00        | .035                            | 137 | .200* | .994         | 137 | .848 |
|             | 4.00        | .046                            | 137 | .200* | .992         | 137 | .647 |
|             | 7.00        | .043                            | 137 | .200* | .987         | 137 | .250 |
|             | 14.00       | .052                            | 137 | .200* | .985         | 137 | .146 |
|             | 18.00       | .052                            | 137 | .200* | .985         | 137 | .141 |
|             | 60.00       | .063                            | 137 | .200* | .983         | 137 | .097 |

\*. Esto es un límite inferior de la significación verdadera.

a. Corrección de significación de Lilliefors

Fuente: Software SPSS V.27

### Formulación de hipótesis

H0: Los datos de la variable deformación tienen normalidad.

H1: Los datos de la variable deformación no tienen normalidad.

### Nivel de significancia

$\alpha = 5\%$  (0.05)

### Elección de la prueba estadística

Kolmogorov Smirnov (Para muestras  $n > 50$ )

### Regla de decisión

$P > 0.05$ ... aceptamos  $H_0$  (Hipótesis nula) ---> distribución normal

P-valor= Nivel de significancia= 0.2

$0.2 > 0.05$

Entonces decimos que, se acepta la hipótesis nula

### Conclusión:

Los datos de la variable Deformación tienen normalidad con un nivel de significancia de 5%.

## Prueba De Correlación De Pearson (Prueba Paramétrica)

### Prueba Estadística “r”

Tabla 30. Correlaciones

|             |                        | Profundidad | Deformación |
|-------------|------------------------|-------------|-------------|
| Profundidad | Correlación de Pearson | 1           | -.090**     |
|             | Sig. (bilateral)       |             | .005        |
|             | N                      | 959         | 959         |
| Deformación | Correlación de Pearson | -.090**     | 1           |
|             | Sig. (bilateral)       | .005        |             |
|             | N                      | 959         | 959         |

\*\* . La correlación es significativa en el nivel 0,01 (bilateral).

Fuente: Software SPSS V.27

### Hipótesis planteada

Ho: No hay relación lineal entre la variable profundidad y el Deformación Súper Simple

Ha: Hay relación lineal entre la variable profundidad y el Deformación Súper Simple

### Regla de decisión

P-valor < 0.05 se rechaza la h0

0.005 < 0.01

Entonces se rechaza la hipótesis nula

Según el coeficiente de Pearson:



Figura 57. Tabla Pearson

### Conclusión

Se encontró una relación lineal estadísticamente significativa negativa, muy alta y directamente proporcional, entre la profundidad y la Deformación Tridem Súper Simple ( $r_s = -0.90$ ,  $p < 0.05$ ). Es decir, señala que existe una fuerte asociación

negativa, es decir que a medida que aumenta un valor el otro decrece. Por lo tanto, se rechaza la Hipótesis nula y se acepta la Hipótesis alterna.

### Contrastación de hipótesis 3

#### Normalidad

**Tabla 31.** Pruebas de normalidad

|           | Profundidad | Kolmogorov-Smirnov <sup>a</sup> |     |       | Shapiro-Wilk |     |      |
|-----------|-------------|---------------------------------|-----|-------|--------------|-----|------|
|           |             | Estadístico                     | gl  | Sig.  | Estadístico  | gl  | Sig. |
| Deflexión | .00         | .064                            | 137 | .200* | .983         | 137 | .087 |
|           | 2.00        | .062                            | 137 | .200* | .983         | 137 | .095 |
|           | 4.00        | .063                            | 137 | .200* | .983         | 137 | .093 |
|           | 7.00        | .062                            | 137 | .200* | .983         | 137 | .090 |
|           | 14.00       | .063                            | 137 | .200* | .983         | 137 | .088 |
|           | 18.00       | .062                            | 137 | .200* | .983         | 137 | .090 |
|           | 60.00       | .057                            | 137 | .200* | .983         | 137 | .091 |

\*. Esto es un límite inferior de la significación verdadera.

a. Corrección de significación de Lilliefors

Fuente: Software SPSS V.27

#### Formulación de hipótesis-

H0: Los datos de la variable Deflexión tienen normalidad.

H1: Los datos de la variable Deflexión no tienen normalidad.

#### Nivel de significancia

$\alpha = 5\%$  (0.05)

#### Elección de la prueba estadística

Kolmogorov Smirnov (Para muestras  $n > 50$ )

#### Regla de decisión

$P \leq 0.05$ ... Se rechaza la hipótesis nula

P-valor= Nivel de significancia= 0.2

$0.2 > 0.05$

Entonces decimos que, se acepta la hipótesis nula

#### Conclusión:

Los datos de la variable Resistencia tienen normalidad con un nivel de significancia de 5%.



## Prueba De Correlación De Pearson (Prueba Paramétrica)

### Prueba Estadística “r”

Tabla 32. Correlaciones

|             |                        | Profundidad | Deflexión |
|-------------|------------------------|-------------|-----------|
| Profundidad | Correlación de Pearson | 1           | -.937**   |
|             | Sig. (bilateral)       |             | <.001     |
|             | N                      | 959         | 959       |
| Deflexión   | Correlación de Pearson | -.937**     | 1         |
|             | Sig. (bilateral)       | <.001       |           |
|             | N                      | 959         | 959       |

\*\* . La correlación es significativa en el nivel 0,01 (bilateral).

Fuente: Software SPSS V.27

### Hipótesis planteada

Ho: No hay relación lineal entre la variable profundidad y la Deflexión Súper Simple

Ha: Hay relación lineal entre la variable profundidad y la Deflexión Súper Simple

### Regla de decisión

P-valor < 0.05 se rechaza la h0

0.001 < 0.05

Entonces se rechaza la hipótesis nula

Según el coeficiente de Pearson:



Figura 58. Tabla Pearson

### Conclusión

Se encontró una relación lineal estadísticamente significativa negativa, muy alta y directamente proporcional, entre la profundidad y el Esfuerzo Tridem Súper Simple ( $r_s = -0.937$ ,  $p < 0.05$ ). Es decir, señala que existe una fuerte asociación negativa, es decir que a medida que aumenta un valor el otro decrece. Por lo tanto, se rechaza la Hipótesis nula y se acepta la Hipótesis alterna.

## V. DISCUSIÓN

Discusión1: Hermosa y Coronado (2021), quienes señalan que el área de contacto de un eje de rueda doble es mayor que un eje de banda ancha, es decir a menor área de contacto el daño es mayor A partir de los resultados encontrados, se ha determinado que el eje súper simple genera un daño mayor, porque presenta un área de contacto de 635.9 pulgadas<sup>2</sup>, mientras que un eje convencional presenta un área de contacto de 777.2 pulgadas<sup>2</sup>, estos resultados guardan relación con la referencia.

Discusión 2: Hermosa y Coronado (2021) en su proyecto de investigación señalan que el eje súper simple genera 2.44 más daños en términos de esfuerzo vertical a la de un eje convencional. En la presente investigación se pudo estimar que el esfuerzo que genera un eje súper simple en la estructura del pavimento, a diferentes profundidades de 0, 2, 4, 7, 14, 18 y 60 pulgadas los esfuerzos generados por el eje súper simple son 110, 78.5, 40.3, 25.9, 11.7, 8.7 y 2.3 psi respectivamente ;mientras que, a esa mismas profundidades los esfuerzos generados por el eje convencional son 90, 62.3, 27.3, 17.9 , 9.7, 7.9, 2.5 psi respectivamente, por lo que se puede observar que el eje súper simple hace mayor daño que el eje convencional a diferentes profundidades, estas conclusiones coinciden con la referencia antes indicada.

Discusión 3: Según Hermosa y Coronado (2021), señala que la deformación por tracción incremento el 23% del eje estándar, además al haber un incremento de camiones con eje súper simple, aumenta el daño por fatiga y si todos los vehículos recurren a estos cambios, la estructura del pavimento sufriría daños a más del 74%. por otro lado, Imad L. Al-Qadi (2009) señala que el eje súper simple genera un mayor daño por fatiga en el pavimento, pero estas proporciones relativas en daños va disminuyendo si el espesor del pavimento va aumentando. El segundo objetivo especificó consta en hallar la deformación que genera un eje súper simple en el pavimento flexible, en sus 2 puntos críticos que son; la deformación por tracción y la deformación por compresión y mediante una comparación se determinó que la deformación por tracción de un eje súper simple es de 444.20  $\mu\epsilon$  y su deformación

por compresión es de 709.80  $\mu\epsilon$ , por el contrario la deformación por tracción de un eje tridem convencional es de 128.60  $\mu\epsilon$  y su deformación por compresión es 611.10  $\mu\epsilon$ , estos resultados guardan relación con la referencia.

## VI. CONCLUSIONES

Conclusión 1: Con la presente investigación se busca analizar el daño que ejercen los ejes súper simple en comparación con los ejes convencionales de rueda doble en el pavimento, se realizó un censo de cargas y de presiones de inflado en la carretera MO-612 en la región Moquegua y se analizó el daño en términos de esfuerzo, deformación y deflexión, para finalmente hacer un diseño de pavimento comparando los resultados del eje súper simple con el eje convencional.

Conclusión 2: De acuerdo al análisis de los datos de pesaje de camiones y presión de inflado de los neumáticos, se determinó que un eje súper simple tiene un área de contacto de 635.9 pulgadas<sup>2</sup>; mientras tanto, un eje tridem convencional presenta un área de contacto de 777.2 pulgadas<sup>2</sup>; por lo tanto, se puede apreciar que el eje súper simple al tener menor área de contacto con la superficie del pavimento genera mayor daño.

Conclusión 3: Se realizó el análisis mecanístico para fines de estimar los esfuerzos de los ejes súper simples se obtiene que a una profundidad de 0, 2, 4, 7, 14, 18 y 60 pulgadas, el esfuerzo que ejerce el eje súper simple son 110, 78.5, 40.3, 25.9, 11.7, 8.7 y 2.3 psi respectivamente; mientras tanto, en relación al análisis mecanístico del eje convencional y a las mismas profundidades de análisis los esfuerzos fueron 90, 62.3, 27.3, 17.9, 9.7, 7.9, 2.5 psi respectivamente; se verifica que los esfuerzos se disipan conforme se profundizan y también los mayores esfuerzos los generan los ejes súper simples a diferentes profundidades.

Conclusión 4: De los resultados expuestos se puede observar que los ejes súper simples generan mayor deformación es así que de la modelación se obtiene que a una profundidad de 4 pulgadas la deformación por tracción del eje súper simple es de 444.2  $\mu\epsilon$ ; mientras tanto, la deformación por tracción del eje convencional es de 128.6  $\mu\epsilon$ , y además se determinó que a una profundidad de 18 pulgadas la deformación por compresión de un eje súper simple es de 709.8  $\mu\epsilon$  y de un eje convencional es de 611.1  $\mu\epsilon$ , se puede verificar que el eje súper simple genera mayor deformación en comparación con un eje convencional.

Conclusión 5: Se verificó que el eje súper simple en términos de deflexión genera mayor daño que los ejes convencionales, de la modelación se obtiene a una profundidad de 0, 2, 4, 7, 14, 18 y 60 pulgadas la deflexión que ejerce el eje súper simple son 127.8, 127.8, 126.3, 118.4, 102.0, 94.3, 52.6 respectivamente; y del eje convencional son 123.4, 121.6, 120.7, 115.4, 103.7, 97.3, 55.1 (0.01mm), se aprecia que hay un mayor daño en términos de deflexión en la carpeta asfáltica y base.

Conclusión 6: Realizando el diseño del pavimento bajo la metodología AASHTO 93 se tiene que, considerando que todos los camiones presentan una configuración tridem convencional el diseño del pavimento es 14 cm de carpeta asfáltica, 15 cm de base, 15 cm de sub-base; mientras tanto que considerando el daño en términos de deformación que hace un eje súper simple en comparación con un eje convencional, el diseño calculado es 18 cm de carpeta asfáltica, 20 cm de base y 20 cm de sub-base; se puede apreciar que a causa del daño del eje súper simple los espesores de las capas del pavimento se incrementan lo cual no es considerado en los estudios de tráfico en el Perú por lo cual los pavimentos fallan de forma prematura dado que al diseñar con las formulas de la cuarta potencia para los ejes convencionales simple, tándem y tridem los espesores son subdimensionados.

## VII. RECOMENDACIONES

Recomendación 1: Se requiere actualizar las relaciones de carga del manual de Pavimentos del Ministerio de Transportes y Comunicaciones para la estimación de los factores de daño para los Ejes Súper Simples.

Recomendación 2: Se recomienda que esta propuesta sea tomada en cuenta junto con investigaciones internacionales para fines de estimar realmente el daño este eje y considerar en el diseño del pavimento, de esa manera las estructuras no presentaran fallas prematuras.

Recomendación 3: Se recomienda en futuras investigaciones ampliar el alcance de la tesis considerando un mayor período del censo de carga y presión de inflado.

Recomendación 4: Se recomienda validar la ecuación que plantea la cuarta potencia.

Recomendación 5: Se recomienda modificar en futuras investigaciones las ecuaciones logarítmicas para calcular el EALF intentando alcanzar una ecuación analítica.

Recomendación 6: Se recomienda que las futuras investigaciones accedan a datos de las condiciones viales en el Perú para ver la estadística real anual de los camiones que transitan por las carreteras.

Recomendación 7: Se recomienda en futuras investigaciones analizar la sobrecarga que están en los camiones que pasan por las carreteras del Perú, dado que no tenemos un pesaje continuo.

## REFERENCIAS

- HERNÁNDEZ, Roberto y MENDOZA, Christian “Metodología de la Investigación: las rutas cuantitativas, cualitativa y mixta”, 2018.
- LOZADA, Jose “Investigación Aplicada: Definición, Propiedad Intelectual e Industria”. CienciAmérica: Revista de divulgación científica de la Universidad Tecnológica Indoamérica, 2014, Disponible en: <https://dialnet.unirioja.es/servlet/articulo?codigo=6163749&info=resumen&idioma=ENG>
- MUÑOZ, R. “Metodología de la investigación”. Editorial Progreso S.A de C.V, 2015
- MARTINEZ, D. S. “Impacto del control de pesos por eje de vehículos pesados sobre la estructura de los pavimentos.”, 2015, Disponible en: <https://repositorio.urp.edu.pe/handle/20.500.14138/2404>
- PONCE, J. L. “El espectro de carga para validar la carga de tráfico acumulada calculado por la AASHTO-93”, 2019, Disponible en: <https://repositorio.urp.edu.pe/handle/20.500.14138/2487>
- SOSA, H. R. “Aplicación de los métodos de diseño de pavimento flexible mecanístico empírico y AASHTO 93 en la carretera mo-107 Moquegua 2018.”, 2020, Disponible en: <http://repositorio.ujcm.edu.pe/handle/20.500.12819/1181>
- AGUILAR, A.A. y SALINAS, P.A. “Evaluación de la vida útil del pavimento flexible de la vía Conococha – Yanacancha ante el incremento de los ejes equivalentes no proyectados, utilizando la metodología ASSHTO 93” Universidad Peruana de Ciencias Aplicadas(UPC)., Lima, Perú, 2019, Disponible en: <http://doi.org/10.19083/tesis/625384>
- UPTC, “Los cuencos de deflexión en estructuras de pavimentos flexibles”. Revista FI-UPTC. 2010, (20) , Disponible en: <https://dialnet.unirioja.es/servlet/articulo?codigo=5029425#:~:text=Las%20cargas%20impuestas%20por%20el,tanto%2C%20en%20su%20vida%20%203%20BAtil.>
- MACEA, Luis y FUENTES Alex y ÁLVAREZ. “Evaluación de factores camión de los vehículos comerciales de carga que circulan por la red vial principal colombiana. Revista Facultad de Ingeniería Universidad de Antioquia”. (66),

- 57–70, 2013, Disponible en:  
[http://www.scielo.org.co/scielo.php?script=sci\\_arttext&pid=S0120-62302013000100005](http://www.scielo.org.co/scielo.php?script=sci_arttext&pid=S0120-62302013000100005)
- DÍAZ, Echaveguren y VARGAS, Tejeda. “Camiones de alto tonelaje y su impacto en ciclo de vida de pavimentos asfálticos.” Revista de la construcción (Universidad Católica de Chile). 2012, Disponible en:  
[https://www.scielo.cl/scielo.php?script=sci\\_arttext&pid=S0718-915X2012000100010](https://www.scielo.cl/scielo.php?script=sci_arttext&pid=S0718-915X2012000100010)
- ASTO Manrique y YAURI Lulo, “Evaluación de los coeficientes de daño producido por vehículos en la estructura de pavimento de la carretera Huancavelica – Huancayo”, 2015, Disponible en:  
<http://repositorio.unh.edu.pe/handle/UNH/264>
- VASQUEZ Monteros “Factores de equivalencia de daño en pavimentos flexibles: análisis para condiciones típicas de Argentina” 2016, Disponible en:  
<http://sedici.unlp.edu.ar/handle/10915/52700>
- CORONADO Correa Y HERMOSA Tovar “Evaluación estructural de pavimentos considerando la influencia de camiones con llantas de banda ancha” 2021, Disponible en: <http://repository.unipiloto.edu.co/handle/20.500.12277/10576>
- INEI, Informe Técnico “Flujo Vehicular por Unidades de Peaje” 2022, Disponible en:  
<https://m.inei.gob.pe/media/MenuRecursivo/boletines/09-informe-tecnico-flujo-vehicular-jul-2022.pdf>
- MTC, “Manual de Carreteras: Suelos, Geología y Pavimentos. Lima, Perú.” 2014
- MTC, “Glosario de Términos de Uso Frecuente en Mantenimiento de Infraestructura Vial. Lima, Perú.” 2008
- MTC, “Reglamento Nacional de Vehículos. Decreto Supremo N°058-2003-MTC”, Lima, 2003.
- MTV Perú Ingenieros. “Estudio de tráfico y pesaje de Carretera Atico-Camiara.” Estudio de tráfico, Lima, 2013.
- CASPROWITS Arias. “Determinación de Factores Camión para el Diseño de Pavimentos Flexibles en Guatemala.”,2010
- GUEVARA Malpartida “Influencia de la Presión de Inflados de los Neumáticos en la vida útil de los Pavimentos”,2007



- AGUIRRE Gutierrez. "La sobrecarga de los camiones y su efecto sobre los pavimentos flexibles.",2010
- GARNICA Anguas, Investigación de México "Espectro de Carga y Daño para diseño de Pavimento.",2009
- TRONCOSO Rivera, Tesis de Maestría, Bogotá: Universidad Nacional de Colombia "Evaluación del Espectro de Carga y Coeficientes de Daño en el Corredor de la Avenida Boyacá.", 2011
- RODRIGUEZ, "Cálculo del Índice de Condición del Pavimento flexible de la Av. Luis Montero, distrito de Castilla", 2009
- ILIEV, Il Congreso de pavimentos, 2019, Disponible en: <http://ilievlima.org/2do-congreso-nacional-de-pavimentos/pdf/conferenciantes/dia-15/Ev-de-da%C3%B1os-en-el-pav-debido-a-nuevos-dise%C3%B1os-de-neum%C3%A1ticos%20%20Marco%20Montalvo%20Farf%C3%A1n.pdf>
- RUEDAS, Dieciocho. "Dieciocho ruedas: finalmente las llantas super single se imponen en el mercado americano", 2014
- Unidad de Gestión Municipal PITRA-LanammeUCR "Presion de inflado de los neumáticos y la forma en que afecta la estructura del pavimento", 2013
- ARIAS y HERNANDEZ, "Evaluación de Factores de equivalencia y sus efectos en la reducción de la vida útil en las estructuras de los pavimentos de la vía Barranquilla Ciénaga", 2016
- PRIMITIVO, "Análisis y procedimiento para un estudio de cargas por eje", 2016, Disponible en: <https://www.umsa.bo/documents/1745551/1817265/AN%C3%81LISIS+Y+PROCEDIMIENTO+PARA+UN+-ITVC.pdf/4f230c56-a535-90e3-89d1-b635e52b386c>
- MONTOYA, "Tema 5: Ingeniería de Transito", 2005, Disponible en: <https://sjnavarro.files.wordpress.com/2008/08/apuntes-ingenieria-de-transito.pdf>
- RUPAM R. y UMESH C. "Pavement responses under wide base tyres subjected to moving loads, International Journal of Transportation Science and Technology", 2022, Disponible en: <https://www.sciencedirect.com/science/article/pii/S2046043022000508>

- JAMES G., ULAS T., SUNGHO K, TOM B. BOUZID C. "Impact Of Wide-Base Single Tires On Pavement Damage", 2009, Disponible en: <https://www.fdot.gov/docs/defaultsource/materials/administration/resources/library/publications/researchreports/pavement/09-528.pdf>
- JAIME A., MARIANO S., JOSE A. & LUIS L, "Presión De Inflado De Los Neumáticos Y La Forma En Que Afecta La Estructura Del Pavimento", 2014, Disponible en: <https://www.lanamme.ucr.ac.cr/repositorio/handle/50625112500/1361>
- PONNIAH, J. & HAAS, R. & JIANG, Z. & MADILL, R. & ADEDAPO, A. "Wide base single tires vs. dual tires: Assessment of impact on asphalt pavements.", 2009, Disponible en: <http://conf.tacatc.ca/english/resourcecentre/readingroom/conference/conf2009/pdf/Ponniah2.pdf>
- AL QADI I. & WANG H. "Evaluation of Pavement Damage Due to New Tire Designs", 2009, Disponible en: <https://rosap.nsl.bts.gov/view/dot/38415>
- RODRIGO S. & DAEHYEON K. "Effects Of Heavier Truck Loadings And Super-Single Tires On Subgrades", 2002
- AL-QADI I. L., AND ELSEIFI M. A. "New Generation of Wide-Base Tire: Impact on Trucking Operations, Environment, and Pavements. In Transportation Research Record: Journal of the Transportation Research Board", pp. 100–109, 2008.
- IMAD L., Jaime H., ANGELI G., MOJTABA Z. & OSMAN E. "Impact of Wide-Base Tires on Pavements: A National Study", 2018, Disponible en: <https://journals.sagepub.com/doi/abs/10.1177/0361198118757969?journalCode=trra>
- KIM D., SALGADO R. & ALTSCHAEFFL A. "Effects of Supersingle Tire Loadings on Pavements" *Journal of Transportation Engineering*, 131(10), 732-743, 2005.
- FERNANDO E., MUSANI D., PARK D. & LIU W. (2006) "Evaluation Of Effects Of Tire Size And Inflation Pressure On Tire Contact Stresses And Pavement Responde" Texas, Estados Unidos: Texas Transportation Institute.
- COST 334, Effects of Wide Single Tires and Dual Tires, Informe final de la acción (versión 29), Cooperación europea en el ámbito de la investigación científica y técnica, Bruselas, Bélgica. 2001.

- ARIAS, F. *El proyecto de investigación*. Caracas: Editorial Episteme, 2012.
- GUILLERMINA B. Metodología de la investigación, 2017.
- HUMBERTO Ñ., ELIAS M. & ELIANA N. ALBERTO V. Metodología de la investigación, 2017.
- ROBERTO H. Metodología de la investigación, 2014.
- FIDIAS A. El proyecto de investigación: Introducción a la metodología científica, 2012.
- ARIAS (2021) Diseño y metodología de la investigación, 2021.

## ANEXOS

### Anexo 1. “Matriz de Operacionalización de variables”

**TÍTULO:** Análisis del daño producido por ejes super simples en el Pavimentos flexibles de la carretera MO-612 Ilo, Moquegua, 2023

**AUTORES:** Carapi Marce Bryan Gonzalo y Copa Nina Yosselin Rossmerie

| Variables                        | Definición Conceptual  | Definición Operacional   | Dimensión                   | Indicadores      | Escala  |
|----------------------------------|--|--|-----------------------------|------------------|---|
| TIPO DE EJE                      | La clasificación de los vehículos de carga en el Perú se llega a determinar teniendo en cuenta siempre en cuenta la configuración del mismo, basado en la disposición de los ejes, existen diferentes tipos de ejes los cuales son el eje simple, simple dual, tandem, tridem. | El eje tridem convencional es compuesto por 12 neumáticos simples que soportan una carga de 25 toneladas y el eje super simple está compuesto por 6 neumáticos de banda ancha que soportan mayor carga que un eje tridem convencional. | Neumático Super Simple      | Área de contacto | Tipo de investigación: Aplicada               |
|                                  |  |  | Neumático Dual convencional |                  | Enfoque de la investigación: Cuantitativo     |
| DAÑO                             | Se señala que el daño al pavimento es causado por cualquier carga que circula sobre la estructura del pavimento.   | El daño al pavimento genera fallas como fisuras y ahuecamiento.  | Modelación Mecánica         | Esfuerzo         | Diseño de la investigación: No experimental   |
|                                  |  |  |                             | Deformación      | El nivel de la investigación: Explicativo     |
|                                  |  |  |                             |                  | Población: 486 vehículos                      |
|                                  |  |  |                             | Deflexión        | Muestra: 137 vehículos con ejes super simples |
| Tipo de Muestreo: Probabilístico |  |  |                             |                  |   |












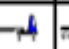
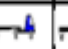
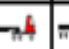




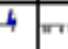
## Anexo 2. “Matriz de consistencia”

TITULO: Análisis del daño producido por ejes super simples en el pavimento flexible de la carretera MO-612 Ilo, Moquegua, 2023

AUTORES: Carapi Marce Bryan Gonzalo y Copa Nina Yosselin Rossmarie

| PROBLEMA GENERAL   | OBJETIVO GENERAL  | HIPÓTESIS GENERAL   | VARIABLE INDEPENDIENTE | DIMENSIONES                 | INDICADORES        | INSTRUMENTOS        | METODOLOGÍA                                   |
|--|---|---|------------------------|-----------------------------|--------------------|---------------------|---|
|  |   |   |                        |                             |                    |                     |   |
| Durante el Censo de Carga y Presión para el Estudio de Tráfico Vehicular de la Carretera MO-612 en Ilo-Moquegua se verificó la circulación de Camiones con Ejes Super Simples, los mismos que no se encuentran tipificados en la Tabla de Pesos y Medidas Vehiculares del MTC ni en el Manual de Carreteras del MTC, no es posible estimar su daño en términos de ESAL para el diseño de pavimento. ¿Cómo influye el daño de los ejes súper simples en el diseño de pavimento de la carretera MO-612, Ilo, Moquegua? | Analizar el daño de ejes super simples para fines del diseño del pavimento flexible en la Carretera MO-612 Ilo - Moquegua.                              | Los ejes super simples al generar mayor daño en el pavimento elevaría los espesores de capas del pavimento de la carretera MO-612, Ilo, Moquegua. | Tipo de Eje            | Neumático Super Simple      | Área de contacto   | Estación de Pesaje  | Tipo de investigación: Aplicada               |
|  |   |   |                        | Neumático Dual convencional |                    |                     | Enfoque de la investigación: Cuantitativo     |
| <b>PROBLEMAS ESPECÍFICOS</b>   | <b>OBJETIVOS ESPECÍFICOS</b>  | <b>HIPÓTESIS ESPECÍFICAS</b>  | <b>DEPENDIENTE</b>     | <b>DIMENSIONES</b>          | <b>INDICADORES</b> | <b>INSTRUMENTOS</b> | Diseño de la investigación: No experimental   |
| En Perú los camiones con ejes Super Simples circulan con licencia de eje no convencional dado que no están tipificados en la clasificación vehicular del MTC; sin embargo no se cuantifica el daño que provocan en los pavimentos, produciendo muchas veces fallas prematuras de la estructura. ¿De qué manera el análisis de esfuerzos de ejes super simples influye en el diseño del pavimento de la carretera MO-612 Ilo-Moquegua?  | Estimar los esfuerzos provocados por ejes super simples para fines del diseño del pavimento flexible de la carretera MO-612 en Moquegua.                | Considerando el análisis de esfuerzos de ejes super simples se elevaría los espesores de las capas del pavimento.                                 | DAÑO (EALF)            | Modelación Mecánica         | Esfuerzo           | Software KENPAVE    | El nivel de la investigación: Explicativo     |
| Los ejes super simples de camiones T3S3 circulan con mayores magnitudes de radio y ancho de rueda provocando mayor fatiga y deformación. ¿Cómo se podría relacionar la deformación provocada por ejes súper simples en el diseño del pavimento flexible de la carretera MO-612 Ilo-Moquegua?   | Valorar las deformaciones generadas por los ejes super simples para fines del diseño del pavimento de la carretera MO-612 en Moquegua.                  | Considerando las deformaciones provocadas por ejes super simples en el diseño de pavimentos incrementa el espesor de las capas del pavimento.     |                        |                             | Deformación        |                     | Muestra: 137 vehículos con ejes super simples |
| Durante la construcción de carreteras la deflexión suele ser un parámetro de control de calidad crítico y determinante para la falla del pavimento. ¿De qué manera la deflexión provocada por el eje súper simple influye en el diseño del pavimento de la carretera MO-612 Ilo-Moquegua?  | Evaluar las deflexiones provocadas por ejes super simples en el diseño de espesores de capas del pavimento flexible de la carretera MO-612 en Moquegua. | Considerando las deflexiones de ejes super simples en el diseño de pavimentos eleva el espesor de las capas del pavimento.                        |                        |                             | Deflexión          |                     | Tipo de Muestreo: Probabilístico              |

**Anexo 3.** Instrumentos de recolección de datos

| HORA  | AUTO | STATION WAGON | CAMIONETAS  |   |   |   | MICRO | BUS   |   |   | CAMION   |   |   | SEMI TRAYLER  |   |   |   |   | TRAYLER   |   |   |   | TOTAL |  |
|-------|------|---------------|---|---|---|---|-------|---|---|---|--|---|---|---|---|---|---|---|---|---|---|---|-------|--|
|       |      |               | PICK UP   | PANEL   | RURAL Combi   | 2 E   |       | 3 E   | 4 E   | 2 E   | 3 E  | 4 E   | 2S1   | 2S2   | 2S3   | 3S1   | 3S2   | >= 3S3  | 2T2   | 2T3   | 3T2   | 3T3   |       |  |
|       |      |               |  |  |  |  |       |  |  |  |  |  |  |  |  |  |  |  |  |  |  |  |       |  |
| 00-01 |      |               |   |   |   |   |       |   |   |   |  |   |   |   |   |   |   |   |   |   |   |   |       |  |
| 01-02 |      |               |   |   |   |   |       |   |   |   |  |   |   |   |   |   |   |   |   |   |   |   |       |  |
| 02-03 |      |               |   |   |   |   |       |   |   |   |  |   |   |   |   |   |   |   |   |   |   |   |       |  |
| 03-04 |      |               |   |   |   |   |       |   |   |   |  |   |   |   |   |   |   |   |   |   |   |   |       |  |
| 04-05 |      |               |   |   |   |   |       |   |   |   |  |   |   |   |   |   |   |   |   |   |   |   |       |  |
| 05-06 |      |               |   |   |   |   |       |   |   |   |  |   |   |   |   |   |   |   |   |   |   |   |       |  |
| 06-07 |      |               |   |   |   |   |       |   |   |   |  |   |   |   |   |   |   |   |   |   |   |   |       |  |
| 07-08 |      |               |   |   |   |   |       |   |   |   |  |   |   |   |   |   |   |   |   |   |   |   |       |  |
| 08-09 |      |               |   |   |   |   |       |   |   |   |  |   |   |   |   |   |   |   |   |   |   |   |       |  |
| 09-10 |      |               |   |   |   |   |       |   |   |   |  |   |   |   |   |   |   |   |   |   |   |   |       |  |
| 10-11 |      |               |   |   |   |   |       |   |   |   |  |   |   |   |   |   |   |   |   |   |   |   |       |  |
| 11-12 |      |               |   |   |   |   |       |   |   |   |  |   |   |   |   |   |   |   |   |   |   |   |       |  |
| 12-13 |      |               |   |   |   |   |       |   |   |   |  |   |   |   |   |   |   |   |   |   |   |   |       |  |
| 13-14 |      |               |   |   |   |   |       |   |   |   |  |   |   |   |   |   |   |   |   |   |   |   |       |  |
| 14-15 |      |               |   |   |   |   |       |   |   |   |  |   |   |   |   |   |   |   |   |   |   |   |       |  |
| 15-16 |      |               |   |   |   |   |       |   |   |   |  |   |   |   |   |   |   |   |   |   |   |   |       |  |
| 16-17 |      |               |   |   |   |   |       |   |   |   |  |   |   |   |   |   |   |   |   |   |   |   |       |  |
| 17-18 |      |               |   |   |   |   |       |   |   |   |  |   |   |   |   |   |   |   |   |   |   |   |       |  |
| 18-19 |      |               |   |   |   |   |       |   |   |   |  |   |   |   |   |   |   |   |   |   |   |   |       |  |
| 19-20 |      |               |   |   |   |   |       |   |   |   |  |   |   |   |   |   |   |   |   |   |   |   |       |  |
| 20-21 |      |               |   |   |   |   |       |   |   |   |  |   |   |   |   |   |   |   |   |   |   |   |       |  |
| 21-22 |      |               |   |   |   |   |       |   |   |   |  |   |   |   |   |   |   |   |   |   |   |   |       |  |
| 22-23 |      |               |   |   |   |   |       |   |   |   |  |   |   |   |   |   |   |   |   |   |   |   |       |  |
| 23-24 |      |               |   |   |   |   |       |   |   |   |  |   |   |   |   |   |   |   |   |   |   |   |       |  |
| TOTAL |      |               |   |   |   |   |       |   |   |   |  |   |   |   |   |   |   |   |   |   |   |   |       |  |

Activar Windows  
 Ve a Configuración para activar



## Anexo 4. Fichas de validación del trabajo de investigación



### CERTIFICADO DE VALIDEZ DE CONTENIDO DEL INSTRUMENTO QUE MIDE .....

| Nº | VARIABLES7DIMENSIONE7INDICADORES           | Pertinencia <sup>1</sup>            |                          | Relevancia <sup>2</sup>             |                          | Claridad <sup>3</sup>               |                          | Sugerencias |
|----|--|-------------------------------------|--------------------------|-------------------------------------|--------------------------|-------------------------------------|--------------------------|-------------|
|    |  | Si                                  | No                       | Si                                  | No                       | Si                                  | No                       |             |
|    | <b>VARIABLE INDEPENDIENTE: Tipo de Eje</b> | <input checked="" type="checkbox"/> | <input type="checkbox"/> | <input checked="" type="checkbox"/> | <input type="checkbox"/> | <input checked="" type="checkbox"/> | <input type="checkbox"/> |             |
|    | <i>DIMENSIÓN 1</i>                         | <input checked="" type="checkbox"/> | <input type="checkbox"/> | <input checked="" type="checkbox"/> | <input type="checkbox"/> | <input checked="" type="checkbox"/> | <input type="checkbox"/> |             |
| 1  | Neumático Súper Simple                     |                                     |                          |                                     |                          |                                     |                          |             |
|    | <i>DIMENSIÓN 2</i>                         | <input checked="" type="checkbox"/> | <input type="checkbox"/> | <input checked="" type="checkbox"/> | <input type="checkbox"/> | <input checked="" type="checkbox"/> | <input type="checkbox"/> |             |
| 2  | Neumático Convencional                     |                                     |                          |                                     |                          |                                     |                          |             |
|    | <b>VARIABLE DEPENDIENTE: Daño</b>          | <input checked="" type="checkbox"/> | <input type="checkbox"/> | <input checked="" type="checkbox"/> | <input type="checkbox"/> | <input checked="" type="checkbox"/> | <input type="checkbox"/> |             |
|    | <i>DIMENSIÓN 1:</i>                        | <input checked="" type="checkbox"/> | <input type="checkbox"/> | <input checked="" type="checkbox"/> | <input type="checkbox"/> | <input checked="" type="checkbox"/> | <input type="checkbox"/> |             |
| 3  | Modelación Mecanística                     |                                     |                          |                                     |                          |                                     |                          |             |
|    |  |                                     |                          |                                     |                          |                                     |                          |             |
|    |  |                                     |                          |                                     |                          |                                     |                          |             |
|    |  |                                     |                          |                                     |                          |                                     |                          |             |
|    |  |                                     |                          |                                     |                          |                                     |                          |             |
|    |  |                                     |                          |                                     |                          |                                     |                          |             |
|    |  |                                     |                          |                                     |                          |                                     |                          |             |
|    |  |                                     |                          |                                     |                          |                                     |                          |             |
|    |  |                                     |                          |                                     |                          |                                     |                          |             |

Observaciones (precisar si hay suficiencia): \_\_\_\_\_

Opinión de aplicabilidad: **Aplicable**  **Aplicable después de corregir**  **No aplicable**

Apellidos y nombres del juez validador: DOMIAN CCAVATA, Gilmer

DNI: 70212336

Especialidad del validador: INGENIERIA CIVIL

<sup>1</sup>Pertinencia: El ítem corresponde al concepto teórico formulado.

<sup>2</sup>Relevancia: El ítem es apropiado para representar al componente o dimensión específica del constructo

<sup>3</sup>Claridad: Se entiende sin dificultad alguna el enunciado del ítem, es conciso, exacto y directo

**Nota:** Suficiencia, se dice suficiencia cuando los ítems planteados son suficientes para medir la dimensión

17 de Marzo del 2023

Firma del Experto Informante.



**CERTIFICADO DE VALIDEZ DE CONTENIDO DEL INSTRUMENTO QUE MIDE .....**

| N° | VARIABLES7DIMENSIONE7INDICADORES           | Pertinencia <sup>1</sup>               | Relevancia <sup>2</sup>                | Claridad <sup>3</sup>                  | Sugerencias |
|----|--|--|--|--|-------------|
|    | <b>VARIABLE INDEPENDIENTE: Tipo de Eje</b> | <input checked="" type="checkbox"/> No | <input checked="" type="checkbox"/> No | <input checked="" type="checkbox"/> No |             |
|    | <b>DIMENSIÓN 1</b>                         | <input checked="" type="checkbox"/> No | <input checked="" type="checkbox"/> No | <input checked="" type="checkbox"/> No |             |
| 1  | Neumático Súper Simple                     |  |  |  |             |
|    | <b>DIMENSIÓN 2</b>                         | <input checked="" type="checkbox"/> No | <input checked="" type="checkbox"/> No | <input checked="" type="checkbox"/> No |             |
| 2  | Neumático Convencional                     |  |  |  |             |
|    | <b>VARIABLE DEPENDIENTE: Daño</b>          | <input checked="" type="checkbox"/> No | <input checked="" type="checkbox"/> No | <input checked="" type="checkbox"/> No |             |
|    | <b>DIMENSIÓN 1:</b>                        | <input checked="" type="checkbox"/> No | <input checked="" type="checkbox"/> No | <input checked="" type="checkbox"/> No |             |
| 3  | Modelación Mecanística                     |  |  |  |             |
|    |  |  |  |  |             |
|    |  |  |  |  |             |
|    |  |  |  |  |             |
|    |  |  |  |  |             |
|    |  |  |  |  |             |
|    |  |  |  |  |             |
|    |  |  |  |  |             |
|    |  |  |  |  |             |
|    |  |  |  |  |             |
|    |  |  |  |  |             |

**Observaciones (precisar si hay suficiencia):** \_\_\_\_\_

**Opinión de aplicabilidad:** Aplicable [] Aplicable después de corregir [ ] No aplicable [ ]

**Apellidos y nombres del juez validador:** Quispe Quiñonez Esteban Ricardo

**DNI:** 04647562

**Especialidad del validador:** Ingeniero Civil

<sup>1</sup>**Pertinencia:** El ítem corresponde al concepto teórico formulado.

<sup>2</sup>**Relevancia:** El ítem es apropiado para representar al componente o dimensión específica del constructo

<sup>3</sup>**Claridad:** Se entiende sin dificultad alguna el enunciado del ítem, es conciso, exacto y directo

**Nota:** Suficiencia, se dice suficiencia cuando los ítems planteados son suficientes para medir la dimensión

Ilo, 17 de Marzo del 2023

  
 **Esteban R. Quispe Quiñonez**  
 INGENIERO CIVIL  
 CIP. 186133

**Firma del Experto Informante.**

**CERTIFICADO DE VALIDEZ DE CONTENIDO DEL INSTRUMENTO QUE MIDE .....**

| N° | VARIABLES7DIMENSIONE7INDICADORES           | Pertinencia <sup>1</sup> |    | Relevancia <sup>2</sup> |    | Claridad <sup>3</sup> |    | Sugerencias |
|----|--|--------------------------|----|-------------------------|----|-----------------------|----|-------------|
|    |  | Sí                       | No | Sí                      | No | Sí                    | No |             |
|    | <b>VARIABLE INDEPENDIENTE: Tipo de Eje</b> | <del>Sí</del>            | No | <del>Sí</del>           | No | <del>Sí</del>         | No |             |
|    | <b>DIMENSIÓN 1</b>                         | <del>Sí</del>            | No | <del>Sí</del>           | No | <del>Sí</del>         | No |             |
| 1  | Neumático Súper Simple                     |                          |    |                         |    |                       |    |             |
|    | <b>DIMENSIÓN 2.</b>                        | <del>Sí</del>            | No | <del>Sí</del>           | No | <del>Sí</del>         | No |             |
| 2  | Neumático Convencional                     |                          |    |                         |    |                       |    |             |
|    | <b>VARIABLE DEPENDIENTE: Daño</b>          | <del>Sí</del>            | No | <del>Sí</del>           | No | <del>Sí</del>         | No |             |
|    | <b>DIMENSIÓN 1:</b>                        | <del>Sí</del>            | No | <del>Sí</del>           | No | <del>Sí</del>         | No |             |
| 3  | Modelación Mecanística                     |                          |    |                         |    |                       |    |             |
|    |  |                          |    |                         |    |                       |    |             |
|    |  |                          |    |                         |    |                       |    |             |
|    |  |                          |    |                         |    |                       |    |             |
|    |  |                          |    |                         |    |                       |    |             |
|    |  |                          |    |                         |    |                       |    |             |

**Observaciones (precisar si hay suficiencia):** \_\_\_\_\_

**Opinión de aplicabilidad:** Aplicable [] Aplicable después de corregir [  ] No aplicable [  ]

**Apellidos y nombres del juez validador:** QUISPE LIANOS KATERINE TATIANA .....

**DNI:** 46232800 .....

**Especialidad del validador:** ING. CIVIL .....

<sup>1</sup>**Pertinencia:** El ítem corresponde al concepto teórico formulado.

<sup>2</sup>**Relevancia:** El ítem es apropiado para representar al componente o dimensión específica del constructo

<sup>3</sup>**Claridad:** Se entiende sin dificultad alguna el enunciado del ítem, es conciso, exacto y directo

**Nota:** Suficiencia, se dice suficiencia cuando los ítems planteados son suficientes para medir la dimensión

, 18 de Marzo del 2023



COLEGIO DE INGENIEROS DEL PERÚ

INGENIERO CIVIL

Katerine Tatiana Quispe Lianos

N° Reg. C. I. P. 20918

**Firma del Experto Informante.**

## Anexo 5. “Mapas y Planos”

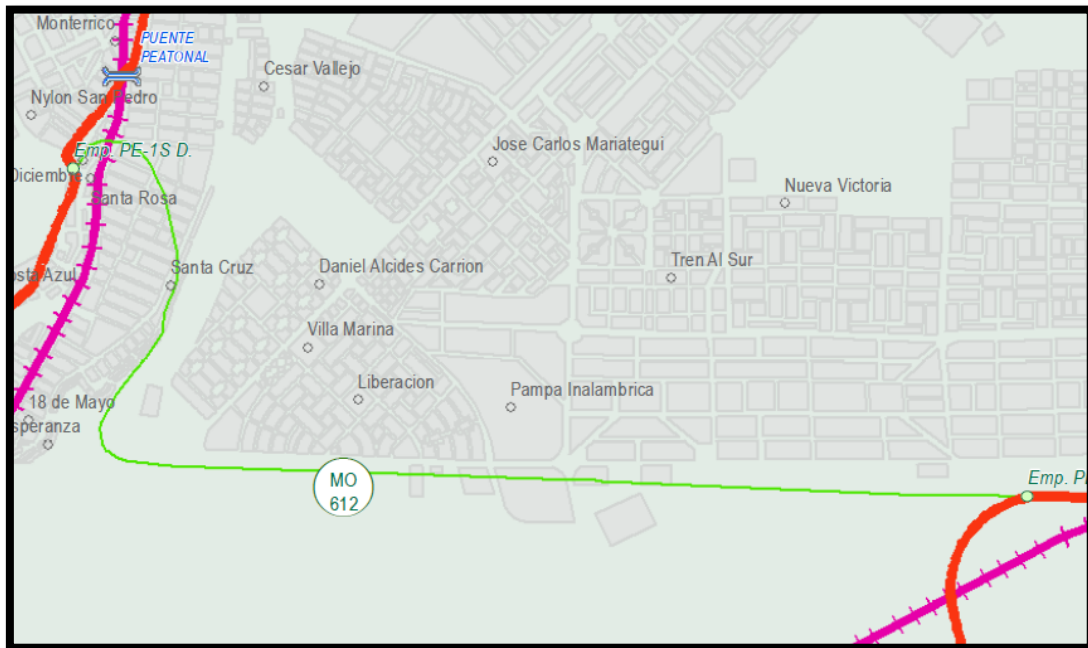


Ilustración 1. Ubicación

Fuente: Ministerio de Transportes y Comunicaciones

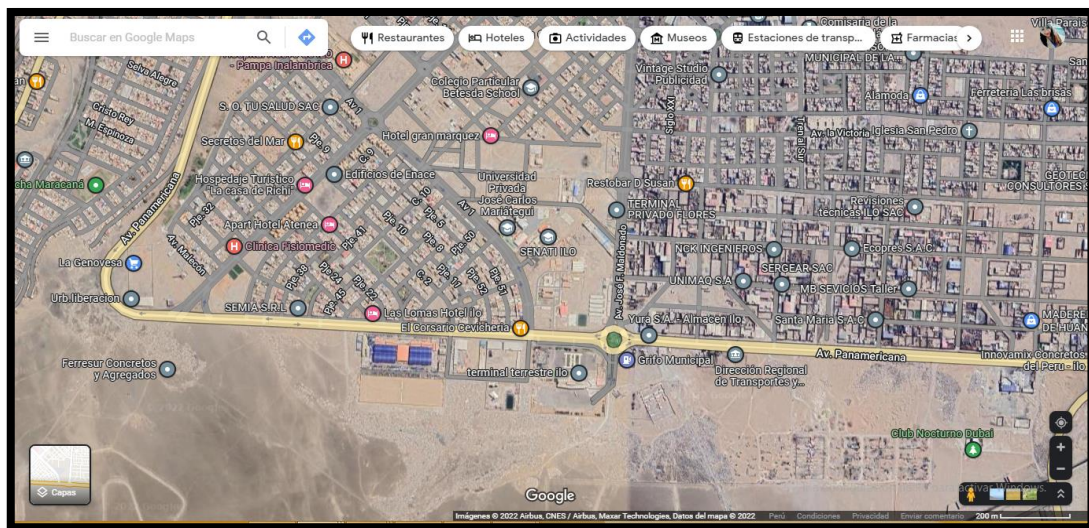


Ilustración 2. Ubicación Satelital

Fuente: Google Earth

**Anexo 6. "Panel fotográfico"**



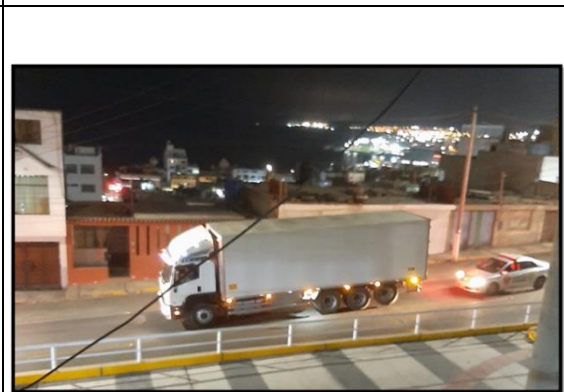
Conteo Vehicular



Recolección de datos



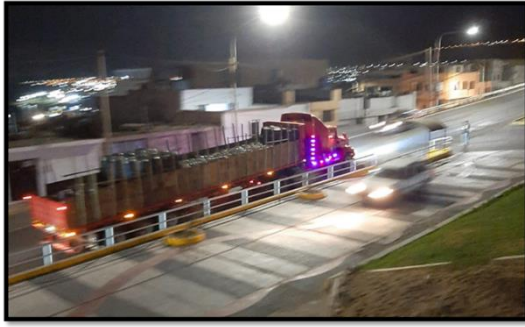
Eje Tridem



Detección de fallas



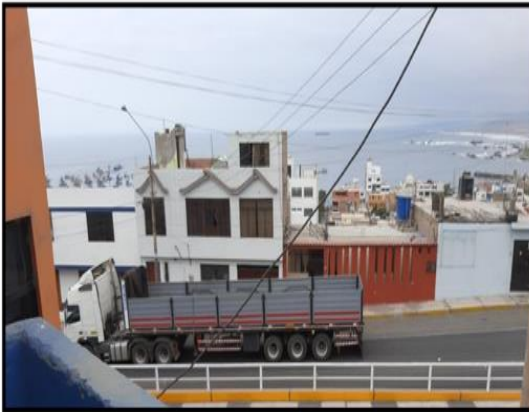
Detección de fallas



Camión T3S3



Presión de inflado de un Súper Simple





**UNIVERSIDAD CÉSAR VALLEJO**

**FACULTAD DE INGENIERÍA Y ARQUITECTURA  
ESCUELA PROFESIONAL DE INGENIERÍA CIVIL**

### **Declaratoria de Autenticidad del Asesor**

Yo, OLARTE PINARES JORGE RICHARD, docente de la FACULTAD DE INGENIERÍA Y ARQUITECTURA de la escuela profesional de INGENIERÍA CIVIL de la UNIVERSIDAD CÉSAR VALLEJO SAC - LIMA NORTE, asesor de Tesis titulada: "Análisis del daño producido por ejes super simples en el pavimento flexible de la Carretera MO-612, Ilo, Moquegua, 2023", cuyos autores son COPA NINA YOSSELIN ROSSMERIE, CARAPI MARCE BRYAN GONZALO, constato que la investigación tiene un índice de similitud de 4.00%, verificable en el reporte de originalidad del programa Turnitin, el cual ha sido realizado sin filtros, ni exclusiones.

He revisado dicho reporte y concluyo que cada una de las coincidencias detectadas no constituyen plagio. A mi leal saber y entender la Tesis cumple con todas las normas para el uso de citas y referencias establecidas por la Universidad César Vallejo.

En tal sentido, asumo la responsabilidad que corresponda ante cualquier falsedad, ocultamiento u omisión tanto de los documentos como de información aportada, por lo cual me someto a lo dispuesto en las normas académicas vigentes de la Universidad César Vallejo.

LIMA, 29 de Marzo del 2023

| <b>Apellidos y Nombres del Asesor:</b>  | <b>Firma</b>   |
|---|--|
| OLARTE PINARES JORGE RICHARD<br><b>DNI:</b> 40752422<br><b>ORCID:</b> 0000-0001-5699-1323 | Firmado electrónicamente<br>por: JOLARTEP el 29-03-<br>2023 11:07:56 |

Código documento Trilce: TRI - 0539250